

This is a digital copy of a book that was preserved for generations on library shelves before it was carefully scanned by Google as part of a project to make the world's books discoverable online.

It has survived long enough for the copyright to expire and the book to enter the public domain. A public domain book is one that was never subject to copyright or whose legal copyright term has expired. Whether a book is in the public domain may vary country to country. Public domain books are our gateways to the past, representing a wealth of history, culture and knowledge that's often difficult to discover.

Marks, notations and other marginalia present in the original volume will appear in this file - a reminder of this book's long journey from the publisher to a library and finally to you.

#### Usage guidelines

Google is proud to partner with libraries to digitize public domain materials and make them widely accessible. Public domain books belong to the public and we are merely their custodians. Nevertheless, this work is expensive, so in order to keep providing this resource, we have taken steps to prevent abuse by commercial parties, including placing technical restrictions on automated querying.

We also ask that you:

- + *Make non-commercial use of the files* We designed Google Book Search for use by individuals, and we request that you use these files for personal, non-commercial purposes.
- + Refrain from automated querying Do not send automated queries of any sort to Google's system: If you are conducting research on machine translation, optical character recognition or other areas where access to a large amount of text is helpful, please contact us. We encourage the use of public domain materials for these purposes and may be able to help.
- + *Maintain attribution* The Google "watermark" you see on each file is essential for informing people about this project and helping them find additional materials through Google Book Search. Please do not remove it.
- + *Keep it legal* Whatever your use, remember that you are responsible for ensuring that what you are doing is legal. Do not assume that just because we believe a book is in the public domain for users in the United States, that the work is also in the public domain for users in other countries. Whether a book is still in copyright varies from country to country, and we can't offer guidance on whether any specific use of any specific book is allowed. Please do not assume that a book's appearance in Google Book Search means it can be used in any manner anywhere in the world. Copyright infringement liability can be quite severe.

#### **About Google Book Search**

Google's mission is to organize the world's information and to make it universally accessible and useful. Google Book Search helps readers discover the world's books while helping authors and publishers reach new audiences. You can search through the full text of this book on the web at http://books.google.com/



#### Über dieses Buch

Dies ist ein digitales Exemplar eines Buches, das seit Generationen in den Regalen der Bibliotheken aufbewahrt wurde, bevor es von Google im Rahmen eines Projekts, mit dem die Bücher dieser Welt online verfügbar gemacht werden sollen, sorgfältig gescannt wurde.

Das Buch hat das Urheberrecht überdauert und kann nun öffentlich zugänglich gemacht werden. Ein öffentlich zugängliches Buch ist ein Buch, das niemals Urheberrechten unterlag oder bei dem die Schutzfrist des Urheberrechts abgelaufen ist. Ob ein Buch öffentlich zugänglich ist, kann von Land zu Land unterschiedlich sein. Öffentlich zugängliche Bücher sind unser Tor zur Vergangenheit und stellen ein geschichtliches, kulturelles und wissenschaftliches Vermögen dar, das häufig nur schwierig zu entdecken ist.

Gebrauchsspuren, Anmerkungen und andere Randbemerkungen, die im Originalband enthalten sind, finden sich auch in dieser Datei – eine Erinnerung an die lange Reise, die das Buch vom Verleger zu einer Bibliothek und weiter zu Ihnen hinter sich gebracht hat.

#### Nutzungsrichtlinien

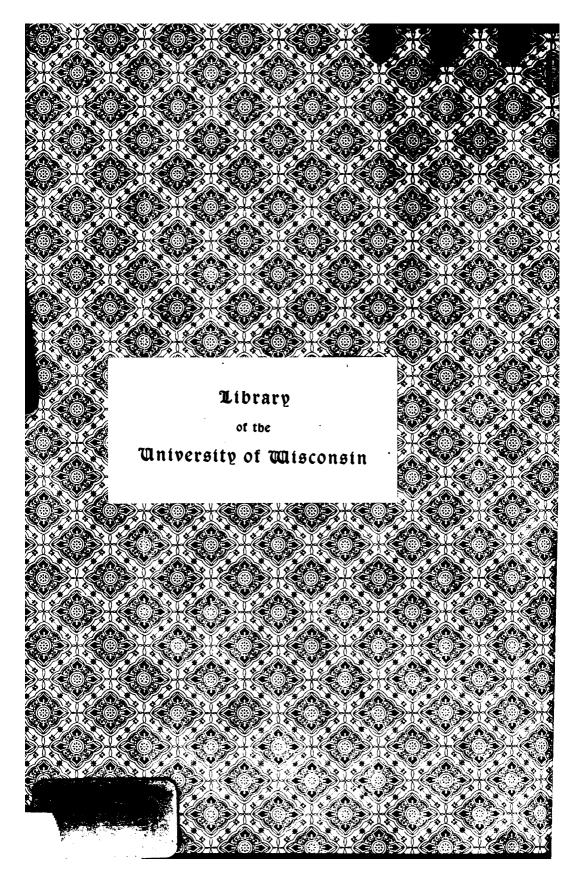
Google ist stolz, mit Bibliotheken in partnerschaftlicher Zusammenarbeit öffentlich zugängliches Material zu digitalisieren und einer breiten Masse zugänglich zu machen. Öffentlich zugängliche Bücher gehören der Öffentlichkeit, und wir sind nur ihre Hüter. Nichtsdestotrotz ist diese Arbeit kostspielig. Um diese Ressource weiterhin zur Verfügung stellen zu können, haben wir Schritte unternommen, um den Missbrauch durch kommerzielle Parteien zu verhindern. Dazu gehören technische Einschränkungen für automatisierte Abfragen.

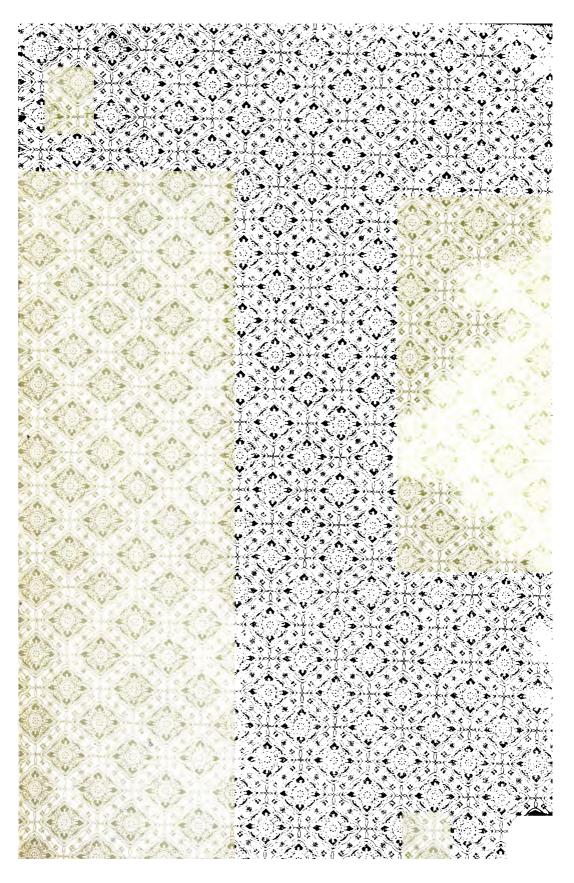
Wir bitten Sie um Einhaltung folgender Richtlinien:

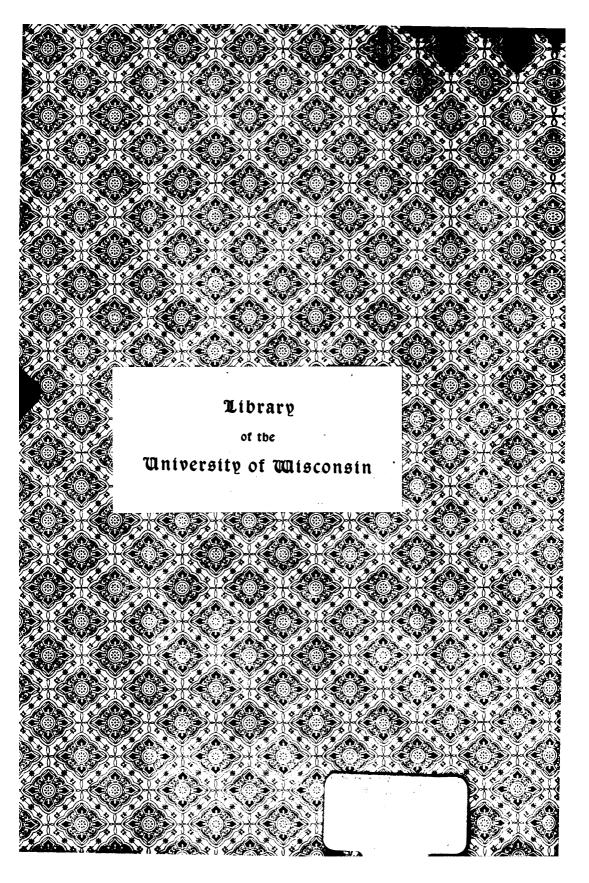
- + *Nutzung der Dateien zu nichtkommerziellen Zwecken* Wir haben Google Buchsuche für Endanwender konzipiert und möchten, dass Sie diese Dateien nur für persönliche, nichtkommerzielle Zwecke verwenden.
- + *Keine automatisierten Abfragen* Senden Sie keine automatisierten Abfragen irgendwelcher Art an das Google-System. Wenn Sie Recherchen über maschinelle Übersetzung, optische Zeichenerkennung oder andere Bereiche durchführen, in denen der Zugang zu Text in großen Mengen nützlich ist, wenden Sie sich bitte an uns. Wir fördern die Nutzung des öffentlich zugänglichen Materials für diese Zwecke und können Ihnen unter Umständen helfen.
- + Beibehaltung von Google-Markenelementen Das "Wasserzeichen" von Google, das Sie in jeder Datei finden, ist wichtig zur Information über dieses Projekt und hilft den Anwendern weiteres Material über Google Buchsuche zu finden. Bitte entfernen Sie das Wasserzeichen nicht.
- + Bewegen Sie sich innerhalb der Legalität Unabhängig von Ihrem Verwendungszweck müssen Sie sich Ihrer Verantwortung bewusst sein, sicherzustellen, dass Ihre Nutzung legal ist. Gehen Sie nicht davon aus, dass ein Buch, das nach unserem Dafürhalten für Nutzer in den USA öffentlich zugänglich ist, auch für Nutzer in anderen Ländern öffentlich zugänglich ist. Ob ein Buch noch dem Urheberrecht unterliegt, ist von Land zu Land verschieden. Wir können keine Beratung leisten, ob eine bestimmte Nutzung eines bestimmten Buches gesetzlich zulässig ist. Gehen Sie nicht davon aus, dass das Erscheinen eines Buchs in Google Buchsuche bedeutet, dass es in jeder Form und überall auf der Welt verwendet werden kann. Eine Urheberrechtsverletzung kann schwerwiegende Folgen haben.

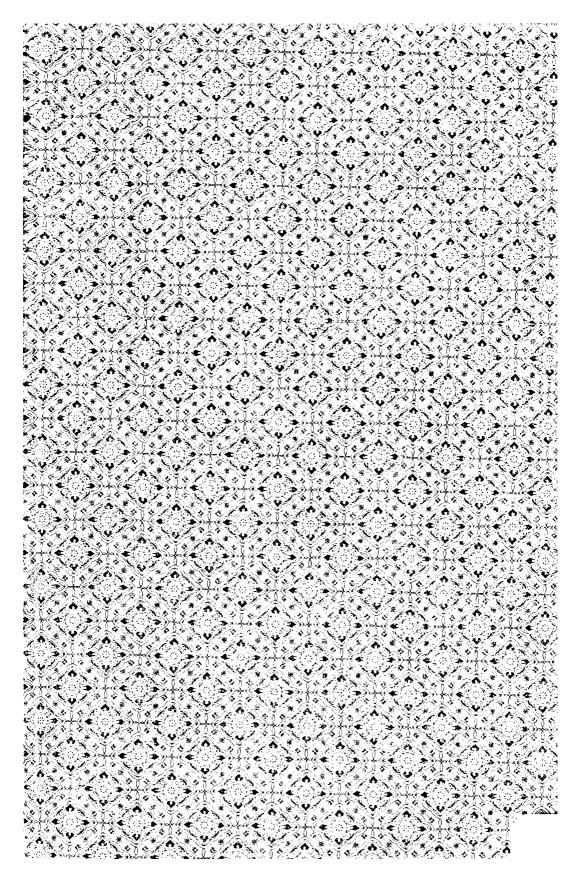
### Über Google Buchsuche

Das Ziel von Google besteht darin, die weltweiten Informationen zu organisieren und allgemein nutzbar und zugänglich zu machen. Google Buchsuche hilft Lesern dabei, die Bücher dieser Welt zu entdecken, und unterstützt Autoren und Verleger dabei, neue Zielgruppen zu erreichen. Den gesamten Buchtext können Sie im Internet unter http://books.google.com/durchsuchen.









. 

## Vorträge

über

# Mechanik

als Grundlage für das

## Bau- und Maschinenwesen.

Von

### Wilh. Keck,

weil. Geh. Regierungsrat, Professor an der Technischen Hochschule zu Hannover.

#### Erster Teil:

## Mechanik starrer Körper.

Dritte Auflage,

bearbeitet von

## Ludwig Hotopp,

Baurat.

Professor an der Technischen Hochschule zu Hannover.

Mit 418 Holzschnitten



#### Haunover.

Helwingsche Verlagsbuchhandlung. 1905.

٠.-

Druck von Th. Schäfer, Hannover.

611mg

130911 JUL 9 1909 SD .K23

## Vorwort zur ersten Auflage.

Das vorliegende Buch enthält im wesentlichen dasjenige, was als die erste Hälfte des Lehrfaches "Mechanik" im Winter des ersten Studienjahres an der Technischen Hochschule zu Hannover vorgetragen wird. Der Studienplan der Hochschule ist so eingerichtet, dass die Vorträge über Mechanik erst beginnen, nachdem die Studierenden etwa 2½ Monate lang Differential- und Integralrechnung gehört haben. Auf Grund dieser Anordnung kann in den Vorträgen über Mechanik von den Grundbegriffen der Differential- und Integralrechnung Anwendung gemacht werden. Dieser Vorgang kommt nicht nur der Mechanik, sondern auch dem mathematischen Unterrichte zu statten, weil dessen Ergebnisse durch die Anwendungen, die sie in der Mechanik finden, geübt und befestigt werden.

Besonderes Gewicht wurde auf Einfachheit und Anschaulichkeit gelegt, sowie auf allmählichen Übergang vom Leichten zum Verwickelteren. Allen wichtigen Sätzen sind erläuternde Beispiele aus dem praktischen Leben und aus der Technik in kleinerem Drucke beigefügt.

Der vorliegende erste Teil der Vorträge über Mechanik behandelt die Mechanik des Punktes und der starren Körper. Die Mechanik der elastischen und der flüssigen Körper soll einen zweiten Teil, die allgemeine (analytische) Mechanik einen dritten Teil bilden, während eine eingehendere Elastizitätslehre vom Verfasser bereits 1892/93 herausgegeben wurde.

Bei der Abfassung des Buches ist auf Angabe der Quellen, auch der geschichtlichen, größtenteils verzichtet worden; doch sei hervorgehoben, daß mir das Lehrbuch der technischen Mechanik von A. Ritter in Aachen, meinem hochverehrten Lehrer, in vielen Beziehungen ein Vorbild gewesen ist. Diejenigen Stellen, an denen ich Ritters Werk unmittelbar benutzte, sind im Buche angegeben.

Auch dem Lehrbuche der technischen Mechanik von Oscar Hoppe in Clausthal verdanke ich wertvolle Anregung.

Den Schlus des Buches bildet ein alphabetisches Verzeichnis der in den Formeln benutzten Buchstaben, sowie ein alphabetisches Inhaltsverzeichnis.

Hannover, im Januar 1896.

Keck.

## Vorwort zur zweiten Auflage.

Mit Rücksicht auf die freundliche Aufnahme, welche diesem Buche bei seinem ersten Erscheinen zuteil geworden ist, habe ich bei der Bearbeitung der zweiten Auflage den Hauptplan der ersten Ausgabe beibehalten.

Die Einfachheit und Anschaulichkeit der Behandlung des Stoffes habe ich zu verbessern gesucht durch Hinzufügung einiger neuen Holzschnitte, durch Verbesserung solcher Figuren, die nicht nach Wunsch ausgefallen waren, sowie durch zahlreiche kleine Änderungen und Ergänzungen im Texte. Auch die Zahl der erläuternden Beispiele wurde vermehrt durch die Vorführung der Steinzange und des Bremsberges.

Den in dankenswerter Weise mir erteilten Winken und Ratschlägen zur Verbesserung des Buches habe ich nach Möglichkeit Rechnung getragen.

Hannover, im Januar 1900.

Keck.

## Vorwort zur dritten Auflage.

Nachdem mit Ablauf weniger Jahre wiederum eine Neuauflage dieses Buches erforderlich geworden, habe ich auf Ersuchen der Verlagsbuchhandlung und im Einvernehmen mit den Erben des leider zu früh verstorbenen Verfassers die Durchsicht und Bearbeitung In Rücksicht auf den regen Zuspruch, derselben übernommen. welchen das Buch in seinem jetzigem Bestande seit seinem ersten Erscheinen im Jahre 1896 gefunden hat, und insbesondere gegenüber den darin niedergelegten, einer langjährigen erfolgreichen Lehrtätigkeit entsprungenen Erfahrungen des Verfassers im Bereiche des behandelten Lehrgebietes habe ich, selbst erst seit einigen Jahren der Lehrtätigkeit obliegend, mir die weitgehendste Zurückhaltung bei vorliegender Bearbeitung auferlegen zu sollen geglaubt. Aus demselben Grunde ist auch davon abgesehen, den veränderten Lehrplänen, welche sich aus der Einführung gesonderter Vorlesungen über Mechanik bezw. Statik für Architekten, Bauingenieure und Maschineningenieure an der Technischen Hochschule zu Hannover im Oktober 1901 ergeben haben, im einzelnen Rechnung zu tragen.

In den Kapiteln über Zusammensetzung und Zerlegung von Kräften in einer Ebene, Ermittelung der Momente von Kräften etc. sind, entsprechend der Stoffanordnung in den Vorträgen, die graphischen Methoden etwas eingehender als in den vorhergehenden Auflagen und in unmittelbarer Nebeneinanderstellung mit der analytischen Behandlung des Gegenstandes berücksichtigt. Auch sind im Anschluß daran einige weitere wichtige graphostatische Sätze und Regeln hinzugefügt. — Die theoretische Behandlung der Schraube hat eine geringe Ergänzung erfahren und ist als Beispiel für die Anwendung nicht sperrenden Gewindes die sogenannte "Stützspindel" aufgenommen. —

Im übrigen haben wesentliche Änderungen nicht stattgefunden, so dass das Buch auch in seiner neuen Auflage in der Hauptsache noch als Werk seines Urhebers gelten muß.

Hannover, im Herbst 1904.

L. Hotopp.

.

## Inhalt.

Mechanik des Massenpunktes.  1. Darstellung des Gesetzes der geradlinigen Bewegung eines Punktes.  a) Gleichförmige Bewegung eines Punktes; Geschwindigkeit .  b) Ungleichförmige Bewegung eines Punktes .  2. Darstellung des Geschwindigkeits-Gesetzes der geradlinigen Bewegung eines Punktes .  a) Gleichförmig veränderte Bewegung; Beschleunigung .  b) Ungleichförmig veränderte Bewegung; Beschleunigung .  b) Ungleichförmig veränderte Bewegung .  3. Zusammensetzung mehrerer gleichzeitigen Bewegungen eines Punktes a) Zusammensetzung der Geschwindigkeiten .  b) Zusammensetzung der Beschleunigungen .  c) Zusammensetzung krummliniger Seitenbewegungen .  d) Zerlegung von Bewegungen, Geschwindigkeiten und Beschleunigungen .  4. Physikalische Grundgesetze der Mechanik .  Maßeinheiten der Physik .  5. Geradlinige Bewegung eines Massenpunktes unter alleiniger Einwirkung der Schwere .  7. Mechanische Arbeit einer Kraft .  8. Arbeitsvermögen (kinetische Energie oder lebendige Kraft) eines Massenpunktes .  9. Parabolische Wurfbewegung .  10. Gesetz der allgemeinen Massenanziehung .  11. Parabolische Bewegung im allgemeinen .  12. Tangential- und Normalbeschleunigung .  3. Gleichgewicht eines Massenpunktes .  4. Bewegung auf vorgeschriebener Bahn .  5. Vorgeschriebene Bewegung in lotrechtem Halbkreise .  17. Einfaches (mathematisches) Pendel .  18. Scheinbare (relative) Bewegung in Bezug auf einen fortschreitenden Raum .  19. Ruhe in Bezug auf einen sich gleichmäßig drehenden Raum .		
Mechanik des Massenpunktes.  1. Darstellung des Gesetzes der geradlinigen Bewegung eines Punktes.  a) Gleichförmige Bewegung eines Punktes; Geschwindigkeit  b) Ungleichförmige Bewegung eines Punktes  2. Darstellung des Geschwindigkeits-Gesetzes der geradlinigen Bewegung eines Punktes  a) Gleichförmig veränderte Bewegung; Beschleunigung  b) Ungleichförmig veränderte Bewegung; Beschleunigung  b) Ungleichförmig veränderte Bewegung  3. Zusammensetzung mehrerer gleichzeitigen Bewegungen eines Punktes  a) Zusammensetzung der Geschwindigkeiten  c) Zusammensetzung krummliniger Seitenbewegungen  d) Zerlegung von Bewegungen, Geschwindigkeiten und Beschleunigungen  4. Physikalische Grundgesetze der Mechanik  Maßeinheiten der Physik  5. Geradlinige Bewegung eines Massenpunktes unter alleiniger Einwirkung der Schwere  7. Mechanische Arbeit einer Kraft  8. Arbeitsvermögen (kinetische Energie oder lebendige Kraft) eines Massenpunktes  9. Parabolische Wurfbewegung  10. Gesetz der allgemeinen Massenanziehung  11. Parabolische Bewegung im allgemeinen  12. Tangential- und Normalbeschleunigung  13. Gleichgewicht eines Massenpunktes  14. Bewegung auf vorgeschriebener Bahn  15. Vorgeschriebene Bewegung in wagerechtem Kreise  16. Vorgeschriebene Bewegung in lotrechtem Halbkreise  17. Einfaches (mathematisches) Pendel  18. Scheinbare (relative) Bewegung in Bezug auf einen fortschreitenden Raum  19. Ruhe in Bezug auf einen sich gleichmäßig drehenden Raum  19. Ruhe in Bezug auf einen sich gleichmäßig drehenden Raum	All	gemeines
1. Darstellung des Gesetzes der geradlinigen Bewegung eines Punktes.  a) Gleichförmige Bewegung eines Punktes; Geschwindigkeit .  b) Ungleichförmige Bewegung eines Punktes		Erste Abteilung.
1. Darstellung des Gesetzes der geradlinigen Bewegung eines Punktes.  a) Gleichförmige Bewegung eines Punktes; Geschwindigkeit .  b) Ungleichförmige Bewegung eines Punktes		Mechanik des Massenpunktes.
a) Gleichförmige Bewegung eines Punktes; Geschwindigkeit . b) Ungleichförmige Bewegung eines Punktes	1.	•
b) Ungleichförmige Bewegung eines Punktes  2. Darstellung des Geschwindigkeits-Gesetzes der geradlinigen Bewegung eines Punktes  a) Gleichförmig veränderte Bewegung; Beschleunigung. b) Ungleichförmig veränderte Bewegung  3. Zusammensetzung mehrerer gleichzeitigen Bewegungen eines Punktes a) Zusammensetzung der Geschwindigkeiten b) Zusammensetzung krummliniger Seitenbewegungen c) Zusammensetzung krummliniger Seitenbewegungen d) Zerlegung von Bewegungen, Geschwindigkeiten und Beschleunigungen  4. Physikalische Grundgesetze der Mechanik Maßeinheiten der Physik  5. Geradlinige Bewegung eines Massenpunktes unter alleiniger Einwirkung der Schwere  7. Mechanische Arbeit einer Kraft  8. Arbeitsvermögen (kinetische Energie oder lebendige Kraft) eines Massenpunktes  9. Parabolische Wurf bewegung  10. Gesetz der allgemeinen Massenanziehung  11. Parabolische Bewegung im allgemeinen 12. Tangential- und Normalbeschleunigung 13. Gleichgewicht eines Massenpunktes 14. Bewegung auf vorgeschriebener Bahn 15. Vorgeschriebene Bewegung in wagerechtem Kreise 16. Vorgeschriebene Bewegung in lotrechtem Halbkreise 17. Einfaches (mathematisches) Pendel 18. Scheinbare (relative) Bewegung in Bezug auf einen fortschreitenden Raum  19. Ruhe in Bezug auf einen sich gleichmäßig drehenden Raum  19. Ruhe in Bezug auf einen sich gleichmäßig drehenden Raum		
2. Darstellung des Geschwindigkeits-Gesetzes der geradlinigen Bewegung eines Punktes  a) Gleichförmig veränderte Bewegung; Beschleunigung. b) Ungleichförmig veränderte Bewegung  3. Zusammensetzung mehrerer gleichzeitigen Bewegungen eines Punktes a) Zusammensetzung der Geschwindigkeiten. b) Zusammensetzung der Beschleunigungen. c) Zusammensetzung krummliniger Seitenbewegungen. d) Zerlegung von Bewegungen, Geschwindigkeiten und Beschleunigungen.  4. Physikalische Grundgesetze der Mechanik. Maßeinheiten der Physik.  5. Geradlinige Bewegung eines Massenpunktes unter alleiniger Einwirkung der Schwere.  7. Mechanische Arbeit einer Kraft  8. Arbeitsvermögen (kinetische Energie oder lebendige Kraft) eines Massenpunktes.  9. Parabolische Wurfbewegung.  10. Gesetz der allgemeinen Massenanziehung 11. Parabolische Bewegung im allgemeinen. 12. Tangential- und Normalbeschleunigung 13. Gleichgewicht eines Massenpunktes. 14. Bewegung auf vorgeschriebener Bahn. 15. Vorgeschriebene Bewegung in lotrechtem Halbkreise 16. Vorgeschriebene Bewegung in lotrechtem Halbkreise 17. Einfaches (mathematisches) Pendel 18. Scheinbare (relative) Bewegung in Bezug auf einen fortschreitenden Raum.  19. Ruhe in Bezug auf einen sich gleichmäßig drehenden Raum.		• • • • • • • • • • • • • • • • • • • •
eines Punktes  a) Gleichförmig veränderte Bewegung; Beschleunigung. b) Ungleichförmig veränderte Bewegung  3. Zusammensetzung mehrerer gleichzeitigen Bewegungen eines Punktes a) Zusammensetzung der Geschwindigkeiten. b) Zusammensetzung krummliniger Seitenbewegungen. c) Zusammensetzung krummliniger Seitenbewegungen. d) Zerlegung von Bewegungen, Geschwindigkeiten und Beschleunigungen.  4. Physikalische Grundgesetze der Mechanik. Maßeinheiten der Physik. 5. Geradlinige Bewegung eines Massenpunktes unter alleiniger Einwirkung der Schwere.  7. Mechanische Arbeit einer Kraft 8. Arbeitsvermögen (kinetische Energie oder lebendige Kraft) eines Massenpunktes.  9. Parabolische Wurf bewegung. 10. Gesetz der allgemeinen Massenanziehung 11. Parabolische Bewegung im allgemeinen 12. Tangential- und Normalbeschleunigung 13. Gleichgewicht eines Massenpunktes. 14. Bewegung auf vorgeschriebener Bahn. 15. Vorgeschriebene Bewegung in wagerechtem Kreise 16. Vorgeschriebene Bewegung in lotrechtem Halbkreise 17. Einfaches (mathematisches) Pendel 18. Scheinbare (relative) Bewegung in Bezug auf einen fortschreitenden Raum.  19. Ruhe in Bezug auf einen sich gleichmäßig drehenden Raum.	2.	
a) Gleichförmig veränderte Bewegung; Beschleunigung b) Ungleichförmig veränderte Bewegung 3. Zusammensetzung mehrerer gleichzeitigen Bewegungen eines Punktes a) Zusammensetzung der Geschwindigkeiten b) Zusammensetzung krummliniger Seitenbewegungen c) Zusammensetzung krummliniger Seitenbewegungen d) Zerlegung von Bewegungen, Geschwindigkeiten und Beschleunigungen 4. Physikalische Grundgesetze der Mechanik Maßeinheiten der Physik 5. Geradlinige Bewegung eines Massenpunktes unter alleiniger Einwirkung der Schwere 7. Mechanische Arbeit einer Kraft 8. Arbeitsvermögen (kinetische Energie oder lebendige Kraft) eines Massenpunktes 9. Parabolische Wurfbewegung 10. Gesetz der allgemeinen Massenanziehung 11. Parabolische Bewegung im allgemeinen 12. Tangential- und Normalbeschleunigung 13. Gleichgewicht eines Massenpunktes 14. Bewegung auf vorgeschriebener Bahn 15. Vorgeschriebene Bewegung in wagerechtem Kreise 16. Vorgeschriebene Bewegung in lotrechtem Halbkreise 17. Einfaches (mathematisches) Pendel 18. Scheinbare (relative) Bewegung in Bezug auf einen fortschreitenden Raum 19. Ruhe in Bezug auf einen sich gleichmäßig drehenden Raum		
3. Zusammensetzung mehrerer gleichzeitigen Bewegungen eines Punktes a) Zusammensetzung der Geschwindigkeiten		
a) Zusammensetzung der Geschwindigkeiten b) Zusammensetzung der Beschleunigungen c) Zusammensetzung krummliniger Seitenbewegungen d) Zerlegung von Bewegungen, Geschwindigkeiten und Beschleunigungen 4. Physikalische Grundgesetze der Mechanik Maßeinheiten der Physik 5. Geradlinige Bewegung eines Massenpunktes unter alleiniger Einwirkung der Schwere 7. Mechanische Arbeit einer Kraft 8. Arbeitsvermögen (kinetische Energie oder lebendige Kraft) eines Massenpunktes 9. Parabolische Wurfbewegung 10. Gesetz der allgemeinen Massenanziehung 11. Parabolische Bewegung im allgemeinen 12. Tangential- und Normalbeschleunigung 13. Gleichgewicht eines Massenpunktes 14. Bewegung auf vorgeschriebener Bahn 15. Vorgeschriebene Bewegung in wagerechtem Kreise 16. Vorgeschriebene Bewegung in lotrechtem Halbkreise 17. Einfaches (mathematisches) Pendel 18. Scheinbare (relative) Bewegung in Bezug auf einen fortschreitenden Raum 19. Ruhe in Bezug auf einen sich gleichmäßig drehenden Raum		b) Ungleichförmig veränderte Bewegung
b) Zusammensetzung der Beschleunigungen	3.	Zusammensetzung mehrerer gleichzeitigen Bewegungen eines Punktes
c) Zusammensetzung krummliniger Seitenbewegungen. d) Zerlegung von Bewegungen, Geschwindigkeiten und Beschleunigungen.  4. Physikalische Grundgesetze der Mechanik.  Maßeinheiten der Physik.  5. Geradlinige Bewegung eines Massenpunktes unter alleiniger Einwirkung der Schwere.  7. Mechanische Arbeit einer Kraft.  8. Arbeitsvermögen (kinetische Energie oder lebendige Kraft) eines Massenpunktes.  9. Parabolische Wurfbewegung.  10. Gesetz der allgemeinen Massenanziehung.  11. Parabolische Bewegung im allgemeinen.  12. Tangential- und Normalbeschleunigung  13. Gleichgewicht eines Massenpunktes.  14. Bewegung auf vorgeschriebener Bahn.  15. Vorgeschriebene Bewegung in wagerechtem Kreise.  16. Vorgeschriebene Bewegung in lotrechtem Halbkreise.  17. Einfaches (mathematisches) Pendel  18. Scheinbare (relative) Bewegung in Bezug auf einen fortschreitenden Raum.  19. Ruhe in Bezug auf einen sich gleichmäßig drehenden Raum.		
d) Zerlegung von Bewegungen, Geschwindigkeiten und Beschleunigungen		
schleunigungen		
4. Physikalische Grundgesetze der Mechanik  Mafseinheiten der Physik  5. Geradlinige Bewegung eines Massenpunktes unter alleiniger Einwirkung der Schwere  7. Mechanische Arbeit einer Kraft  8. Arbeitsvermögen (kinetische Energie oder lebendige Kraft) eines Massenpunktes  9. Parabolische Wurfbewegung  10. Gesetz der allgemeinen Massenanziehung  11. Parabolische Bewegung im allgemeinen  12. Tangential- und Normalbeschleunigung  13. Gleichgewicht eines Massenpunktes  14. Bewegung auf vorgeschriebener Bahn  15. Vorgeschriebene Bewegung in wagerechtem Kreise  16. Vorgeschriebene Bewegung in lotrechtem Halbkreise  17. Einfaches (mathematisches) Pendel  18. Scheinbare (relative) Bewegung in Bezug auf einen fortschreitenden Raum  19. Ruhe in Bezug auf einen sich gleichmäßig drehenden Raum		
Maſseinheiten der Physik		schleunigungen
5. Geradlinige Bewegung eines Massenpunktes unter alleiniger Einwirkung der Schwere	4.	
wirkung der Schwere	_	Maßeinheiten der Physik
7. Mechanische Arbeit einer Kraft  8. Arbeitsvermögen (kinetische Energie oder lebendige Kraft) eines Massenpunktes  9. Parabolische Wurfbewegung  10. Gesetz der allgemeinen Massenanziehung  11. Parabolische Bewegung im allgemeinen  12. Tangential- und Normalbeschleunigung  13. Gleichgewicht eines Massenpunktes  14. Bewegung auf vorgeschriebener Bahn  15. Vorgeschriebene Bewegung in wagerechtem Kreise  16. Vorgeschriebene Bewegung in lotrechtem Halbkreise  17. Einfaches (mathematisches) Pendel  18. Scheinbare (relative) Bewegung in Bezug auf einen fortschreitenden Raum  19. Ruhe in Bezug auf einen sich gleichmäßig drehenden Raum	<b>5</b> .	
8. Arbeitsvermögen (kinetische Energie oder lebendige Kraft) eines Massenpunktes	_	wirkung der Schwere
Massenpunktes		
9. Parabolische Wurfbewegung	8.	
10. Gesetz der allgemeinen Massenanziehung	•	
11. Parabolische Bewegung im allgemeinen		
12. Tangential- und Normalbeschleunigung		
<ol> <li>Gleichgewicht eines Massenpunktes</li></ol>	11.	Parapolische Bewegung im aligemeinen
<ol> <li>Bewegung auf vorgeschriebener Bahn</li></ol>	12.	Claich cowiebt cines Messannunktes
<ul> <li>15. Vorgeschriebene Bewegung in wagerechtem Kreise</li> <li>16. Vorgeschriebene Bewegung in lotrechtem Halbkreise</li> <li>17. Einfaches (mathematisches) Pendel</li> <li>18. Scheinbare (relative) Bewegung in Bezug auf einen fortschreitenden Raum</li> <li>19. Ruhe in Bezug auf einen sich gleichmäßig drehenden Raum</li> </ul>	10.	Rewagner out wargagehrichener Rahn
<ul> <li>16. Vorgeschriebene Bewegung in lotrechtem Halbkreise</li> <li>17. Einfaches (mathematisches) Pendel</li> <li>18. Scheinbare (relative) Bewegung in Bezug auf einen fortschreitenden Raum</li> <li>19. Ruhe in Bezug auf einen sich gleichmäßig drehenden Raum</li> </ul>		
<ul> <li>17. Einfaches (mathematisches) Pendel</li></ul>		
<ul> <li>18. Scheinbare (relative) Bewegung in Bezug auf einen fortschreitenden Raum.</li> <li>19. Ruhe in Bezug auf einen sich gleichmäßig drehenden Raum.</li> </ul>		
Raum		
19. Ruhe in Bezug auf einen sich gleichmäßig drehenden Raum	10.	, , , , , , , , , , , , , , , , , , , ,
	19	Ruhe in Rezug auf einen sich gleichmäßig drehenden Raum
20. Einfluß der Drehung der Erde auf das scheinbare Gewicht		Einflus der Drehung der Erde auf das scheinbare Gewicht

## Zweite Abteilung.

	Mechanik starrer Körper.	Seite
1.	Einleitung	95
2.	Einleitung	
	gemeinsamem Angriffspunkte	96
3.	Satz der Drehmomente	98
	Zusammensetzung beliebiger Kräfte in einer Ebene	102
	a) Zeichnerisches (graphisches) Verfahren	102
	b) Rechnerisches (analytisches) Verfahren	109
5.	Zerlegung einer Kraft in Seitenkräfte (zeichnerisch und rechnerisch)	114
	Zeichnerische Ermittelung des Momentes einer beliebigen Kräftegruppe	
	in einer Ebene	120
7.	Polarachse zweier mit verschiedenen Polen zu einer Kräftegruppe	
	gezeichneter Seilecke	123
8.	Graphische Merkmale für das Gleichgewicht einer Kräftegruppe	125
	Zeichnung eines Seilecks durch gegebene Punkte	127
	Zusammensetzung von Kräftepaaren	130
	Zusammensetzung von Kräften im Raume mit verschiedenen Angriffs-	
•	punkten	135
12.	Zentralachse einer Kräftegruppe	139
	Zusammensetzung von Parallelkräften gleichen Sinnes im Raume.	14:
	Mittelpunkt der Massen (Schwerpunkt) eines starren Körpers	144
15.	Zeichnerische Ermittelung des Schwerpunktes einer ebenen Fläche.	160
	Arbeit der Schwerkräfte an einer beliebigen Massengruppe	162
	Der Satz d'Alembert's	163
18.	Satz von der Bewegung des Schwerpunktes	165
	Satz der Arbeit	166
	A. Gjeichgewicht starrer Körper.	
	Gleichgewichts-Bedingungen	169
	An einer Stelle befestigter bezw. unterstützter Körper	171
	Hebel	175
	Hebelwagen	176
	Zweifach befestigter bezw. unterstützter Körper	181
	Dreifach und mehrfach befestigter bezw. unterstützter Körper	188
	Gleichgewicht einer Verbindung von Gelenkstangen	194
8.	Kettenlinien	205
9.	Brücken- und Tafelwagen	210
10.	Reibung	213
	a) Reibungsziffer, Reibungswinkel und Reibungskegel	213
	b) Schiefe Ebene	216
	c) Bewegung in Keilnuten	2 <b>2</b> 0
	d) Stabförmiger Körper, von zwei Ebenen gestützt	222
	e) Gleichförmiges Heben eines Pochstempels	227
	f) Festklemmen eines Stabes zwischen zwei Flächen	229

	Inhalt.
	g) Steinzange zum Heben und Versetzen schwerer Werksteine.
	h) Keil in dem Spalt eines Baumstammes oder dergl
	i) Gleichförmige Bewegung zweier sich berührenden Keile k) Wirkung der Keilpresse
	k) Wirkung der Keilpresse
	m) Drucklinie eines Gewölbes
31.	Wirkung der Reibung bei gleichmäßig sich drehenden Körpern .
~	a) Reibungsmoment eines Tragzapfens
	b) Reibungsmoment eines Stützzapfens
	c) Reibungswage von Hirn
	d) Bremszaum von Prony
	e) Reibungsräder
	f) Seilreibung
	g) Bandbremse
	h) Riemenscheiben
_	i) Seilrollen und Flaschenzüge
	Rollwiderstand der Walzen und Räder. Gleichmäßige Bewegung d
	Fuhrwerke
	Die Schraube
	Schlußbemerkung über Reibung
	B. Beschleunigte Bewegung starrer Körper.
	Größe des Arbeitsvermögens eines Körpers bei einer Verschiebur
_	bezw. einer Drehung um eine feste Achse
	Trägheitsmomente
	Winkelbeschleunigung
	Physisches Pendel
	Widerstände der festen Drehachse eines Körpers
	Freie Achsen
	Gleichzeitige Verschiebung und Drehung eines Körpers
••	a) Arbeitsvermögen
	b) Bewegung eines freien Körpers
	c) Rollbewegung auf schiefer Ebene, Fuhrwerke
	d) Das Anhalten der Wagen einer selbstwirkenden Seilbah
	eines sog. Bremsberges
	e) Gleitbewegung sich drehender Körper auf schiefer Ebene .
	f) Beschleunigte Schraubenbewegung

## Allgemeines.

Die Mechanik ist die Lehre von der Bewegung der Körper und von den Ursachen der Bewegung, den Kräften.

Während ein Körper sich bewegt, führt jeder Punkt desselben seine besondere Bewegung aus, und es wird die Bewegung des ganzen Körpers erst dann völlig bekannt sein, wenn man sie für jeden einzelnen seiner Punkte angeben kann.

Ein Punkt beschreibt bei seiner Bewegung eine ununterbrochene Bahnlinie, während zugleich eine gewisse Zeit verfließt. Zur Kenntnis der Bewegung eines Punktes ist daher erforderlich, daß man die Form der Bahnlinie kennt und außerdem anzugeben vermag, an welcher Stelle seiner Bahn der bewegliche Punkt sich in jedem Augenblicke befindet.

Soll die Bewegung eines Körpers aus ihren Ursachen hergeleitet werden, so muß man außer der geometrischen Form und Größe der Körper auch noch gewisse physikalische Eigenschaften derselben, zunächst ihre Stoffmenge, ihren Gehalt an träger Materie, berücksichtigen, weil diese von wesentlichem Einfluß auf die Bewegung ist. Die Menge der trägen Materie wird kurz die Masse des Körpers genannt.

Je kleiner die räumliche Ausdehnung eines Körpers ist im Verhältnisse zur Längenerstreckung der Bahnlinien seiner einzelnen Punkte, desto näher werden diese einzelnen Bahnlinien aneinander rücken, desto weniger werden sie sich also räumlich voneinander Betrachtet man z. B. die Bewegung einer geworfenen unterscheiden. Kugel aus einiger Entfernung, so wird man in vielen Fällen nicht mehr die verschiedenen Bahnlinien der einzelnen Punkte getrennt auffassen, sondern man wird diese sämtlichen Bahnlinien als zu einer einzigen (etwa der des Mittelpunktes) zusammengeschrumpft ansehen und nur von einer Bahnlinie der geworfenen Kugel sprechen. Dabei wird also die räumliche Ausdehnung der Kugel völlig vernachlässigt, sie wird hinsichtlich der geometrischen Untersuchung als zu einem Punkte verdichtet angesehen; jedoch denkt man sich diesen Punkt als behaftet mit der Masse des entsprechenden Körpers und bezeichnet ihn als einen Massenpunkt (materiellen Punkt). Wenn man z. B. sagt, die Erde bewege sich in einer Ellipse um die Sonne, so faßt man damit unseren ganzen Planeten als einen einzigen Massenpunkt auf, indem man sich die ganze Masse der Erde in ihrem Mittelpunkte vereinigt denkt. Wir wissen freilich, daß, wegen der gleichzeitigen Drehung der Erde um ihre Achse, die einzelnen Punkte der Erde durchaus nicht sämtlich Ellipsen, sondern verschiedene cykloidenartige Kurven beschreiben, aber dennoch ist die Auffassung der Erde als einfacher Massenpunkt bei solchen Untersuchungen zulässig, bei denen es auf die Verschiedenartigkeit der Bewegungen der einzelnen Punkte nicht ankommt, während dagegen bei anderen Untersuchungen gerade die verschiedene Lage der einzelnen Punkte der Erde von Wichtigkeit sein kann, so daß dann natürlich die räumliche Ausdehnung der Erde nicht vernachlässigt werden darf.

In Fällen dieser Art, wo die Form und Größe eines Körpers nicht unberücksichtigt bleiben darf, betrachtet man ihn als aus Massenpunkten zusammengesetzt und bezeichnet ihn als eine Gruppe von Massenpunkten.

Ob man also in einem gegebenen Falle den sich bewegenden Körper als einfachen Massenpunkt, oder aber als eine Massengruppe zu behandeln hat, hängt nicht so sehr von der Größe des Körpers, sondern vielmehr von der Art der vorliegenden Aufgabe ab. Übrigens wird später gezeigt werden, daß die Ergebnisse der Untersuchungen, bei denen ein sich bewegender Körper als zu einem Punkte verdichtet angesehen wurde, nicht etwa ungenau, oder nur annähernd richtig sind, sondern für einen bestimmten Punkt des Körpers (den Schwerpunkt) vollständige Gültigkeit haben.

Es kann daher eine Untersuchung, bei welcher ein Körper als Massenpunkt angesehen wurde, jederzeit weiter ausgeführt und eingehender behandelt werden, indem man dazu übergeht, den betreffenden Körper nunmehr als eine Massen gruppe aufzufassen. Es ist dann nur eine Vervollständigung, nicht aber eine Verbesserung oder Berichtigung der ersten einfacheren Untersuchung nötig.

Wir werden uns nun zunächst mit der Bewegung eines einfachen Massenpunktes beschäftigen und erst später zu der Behandlung von Massengruppen übergehen.

### Erste Abteilung.

## Mechanik des Massenpunktes.

Die Bewegung eines Massenpunktes heist geradlinig oder krummlinig, je nachdem die Bahnlinie eine Gerade oder eine Kurve ist. Unter der "Richtung der Bewegung" versteht man die Richtung der Bahnlinie an derjenigen Stelle, wo der Massenpunkt sich augenblicklich befindet. Bei der geradlinigen Bewegung ist also die Bewegungsrichtung dauernd dieselbe; bei der krummlinigen Bewegung ändert sie sich fortwährend.

## 1. Darstellung des Gesetzes der geradlinigen Bewegung eines Punktes.

Bewegt sich ein Massenpunkt auf einer Geraden, so kann der  $Ort\ P$  desselben in irgend einem Augenblicke durch seinen Abstand s

von einem festen Punkte A der Bahnlinie A M (Fig. 1) angegeben werden. Die während der Bewegung verfließende Zeit wird von irgend einem Zeitpunkt an nach Zeiteinheiten (etwa Sekunden) gezählt und mit t (von tempus) bezeichnet, während s (von spatium) in Längeneinheiten (etwa Metern) ausgedrückt wird. Ist nun zwischen den beiden veränderlichen Größen s und t eine Beziehung bekannt, etwa

 $\mathbf{s} = f(t),$ 

P A

so kann man für jeden Wert von t, d. h. für jeden Zeitpunkt, die zugehörige Größe s und damit die Lage des Massenpunktes auf seiner Bahnlinie berechnen. Es wird daher die Gleichung s = f(t) das Bewegungsgesetz der geradlinigen Bewegung des Massenpunktes genannt.

Ein solches Bewegungsgesetz wird am besten anschaulich gemacht durch eine bildliche Darstellung, indem man die Zeitgrößen t nach einem beliebig gewählten Maßstab als Abszissen, die Längen s ebenso als Ordinaten aufträgt. Die Bahnlinie AM kann dann unmittelbar als Ordinatenachse benutzt werden. Die so erhaltene

Linie BQ (Fig. 2) nennen wir die Wegeslängen-Kurve (die man aber ja nicht als Bahnlinie auffassen darf). Aus Fig. 2 erkennt

man, dass der Massenpunkt zu Anfang der Betrachtung, d. h. für t=0, schon in einem Abstand  $AB=s_0$  von dem Festpunkt A sich befand, und dass dieser Abstand s sich mit wachsender Zeit vergrößert, dass der Massenpunkt sich also in der Richtung von A nach M bewegen wird. Nach t=AR Zeiteinheiten ist s=QR; zieht man nun durch Q eine Parallele zur Zeitachse, so bestimmt diese den angenblichlichen Ort R auf de

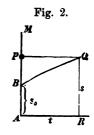


Fig. 3.

bestimmt diese den augenblicklichen Ort P auf der Bahnlinie A M.

Beispiel: Das Bewegungsgesetz  $s=1+\frac{1}{4}t^2$  liefert für angenommene Werte 0, 1, 2, . . . folgende zugehörige Werte von s:

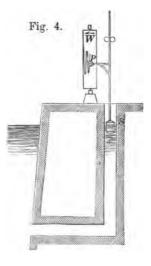
$$t = 0$$
 1 2 3 4  $s = 1$   $1^{1/4}$  2  $3^{1/4}$  5.

Das Bewegungsgesetz läßt sich auch schreiben  $t^2=2\cdot 2$  (s-1); dies ist die Gleichung einer Parabel mit lotrechter Achse und dem Scheitel B (Fig. 3).

In manchen Fällen, wo das Gesetz einer Bewegung nicht bekannt ist, verschafft man

sich dadurch eine möglichst genaue Kenntnis desselben, dass man den als Massenpunkt zu betrachtenden beweglichen Körper mit einem

Schreibstifte versieht, der auf einer durch ein Uhrwerk gleichmäßig gedrehten Papierwalze W die bildliche Darstellung des Bewegungsgesetzes selbsttätig aufzeichnet. So kann z. B. ein veränderlicher Wasserstand durch Schwimmer sich selbsttätig auftragen, indem ein mit dem Schwimmer S verbundener Schreibstift P die entsprechende Kurve (Flutkurve) beschreibt (Fig. 4). Gewöhnlich ist der Wechsel der Wasserstandshöhe zur unmittelbaren Auftragung zu groß; alsdann ist die lotrechte Bewegung durch geeignetes Räderwerk in verkleinertem Maßstab (etwa 1:25) zur Darstellung zu bringen.



### a) Gleichförmige Bewegung eines Punktes. Geschwindigkeit.

Der einfachste Fall eines Bewegungsgesetzes ist offenbar die geradlinige (lineare) Form

1)  $s = s_0 + ct$  (mit  $s_0$  und c als unveränderlichen Größen), welche durch die Gerade BQ (Fig. 5) dargestellt wird. Für t = AR ist s = RQ = AP. Gibt man t einen anderen, etwa größeren Wert  $t_1 = AR_1$ , so wird

Fig. 5.

$$s_1 = s_0 + ct_1 = R_1Q_1 = AP_1$$
.

Durch Abziehen der ersten Gleichung von der letzten entsteht

$$s_1 - s = c(t_1 - t)$$
 oder  $c = \frac{s_1 - s}{t_1 - t} = \frac{\text{zurückgelegter Weg}}{\text{entsprechende Zeit}}$ 

Die unveränderliche Größe c der Gl. 1 ist also das Verhältnis der zurückgelegten Wegeslänge zu der Anzahl der dazu verbrauchten Zeiteinheiten. Eine Bewegung, bei der dieses Verhältnis des Weges zur Zeit sich nicht ändert, bei der also in gleichen Zeiträumen stets gleiche Wegeslängen zurückgelegt werden, heißt eine gleichförmige.

Wählt man den beliebigen Zeitraum  $t_1 - t$  gleich der Zeiteinheit, so bedeutet  $c = s_1 - s$  die in jeder Zeiteinheit zurückgelegte Wegeslänge, und dieses Verhältnis: Weg durch Zeit, oder die in jeder Zeiteinheit zurückgelegte Wegeslänge heißt die Geschwindigkeit c (von celeritas) der gleichförmigen Bewegung.

In der Darstellung des Bewegungsgesetzes (Fig. 5) erscheint die Geschwindigkeit  $c=\frac{s_1-s}{t_1-t}=\frac{Q_1\,N}{Q\,N}=\operatorname{tg}\,\alpha$  als das Ansteigungsverhältnis der Wegeslängen-Kurve BQ.

Ist das Ansteigungsverhältnis der Geraden BQ negativ (Fig. 6), so erhalten wir das Gesetz  $s=s_0-ct$  mit negativer Geschwindigkeit c; es bedeutet dies eine rückläufige Bewegung von B nach dem Festpunkt A hin.

Ist BQ der Zeitachse parallel, d. h. ist tg  $\alpha$  und damit die Geschwindigkeit c = 0, so bleibt s unverändert  $= s_0$ ; der Massenpunkt ruht also.

P

Fig. 6.

### b) Ungleichformige Bewegung eines Punktes.

Hat das Bewegungsgesetz s = f(t) nicht die einfach lineare Form, ist die Wegeslängen-Kurve also eine krumme Linie (Fig. 7), so ist das Verhältnis von  $s_1 - s$  zu  $t_1 - t$  veränderlich; man rennt denn die Bewegung eine ungleichförmige

Verhältnis von  $s_1-s$  zu  $t_1-t$  veränderlich; man nennt dann die Bewegung eine ungleichförmige. Während des Zeitraumes  $RR_1=t_1-t=\Delta t$  wird eine Wegeslänge  $PP_1=s_1-s=\Delta s$  zurückgelegt. Stellt man sich nun vor, daß diese Strecke  $\Delta s$ , statt nach dem gegebenen Bewegungsgesetze von dem Massenpunkte gleichförmig durchlaufen würde, so wäre

1) 
$$\frac{s_1 - s}{t_1 - t} = \frac{\Delta s}{\Delta t} = v_m$$

die Geschwindigkeit dieser gedachten gleichförmigen Bewegung; die Sehne  $QQ_1$  gäbe die Darstellung des Gesetzes derselben, und das Ansteigungs-Verhältnis dieser Sehne das Maß der Geschwindigkeit  $v_m$ . Die Geschwindigkeit  $v_m$  (von velocitas) dieser gleichförmigen Bewegung, vermöge deren der sich bewegende Punkt in dem Zeitraume  $t_1-t$  dieselbe Wegeslänge  $s_1-s$  zurücklegen würde wie nach dem wirklichen Bewegungsgesetze, nennt man die mittlere Geschwindigkeit für den Zeitraum  $t_1-t$ .

Die stellvertretende gleichförmige Bewegung, dargestellt durch die Sehne  $QQ_1$ , wird sich nun der gegebenen Bewegung, dargestellt durch die Kurve  $QQ_1$ , in der Nähe des Zeitpunktes t um so mehr anschmiegen, also von ihr um so weniger abweichen, je kleiner man den Zeitraum  $t_1-t=\Delta t$  und mithin auch die Sehne  $QQ_1$  wählt. Läßt man den Zeitraum  $\Delta t$  im Sinne der Differentialrechnung zu einem unendlich kleinen Zeitteilchen dt werden, so rückt auch der Kurvenpunkt  $Q_1$  dem Punkte Q unendlich nahe, und aus der Sehne  $QQ_1$  wird dann eine Berührungsgerade der Kurve im Punkte Q. Die für das unendlich kleine Zeitteilchen dt berechnete mittlere Geschwindigkeit

$$\mathbf{v} = \mathbf{d}\mathbf{s} : \mathbf{d}\mathbf{t}$$

bezeichnet man als die Geschwindigkeit der gegebenen Bewegung im Zeitpunkte t. Sie erscheint als das Ansteigungs-Verhältnis der entsprechenden Berührungsgeraden der Wegeslängen-Kurve oder (was dasselbe ist) als das Ansteigungs-Verhältnis der Wegeslängen-Kurve selbst. Man bestimmt die Geschwindigkeit im Zeitpunkte t als die erste Abgeleitete oder den ersten Differential-Quotienten  $v = \frac{ds}{dt} = f'(t)$  des gegebenen Bewegungs-Gesetzes s = f(t).

Die Form  $v = \frac{ds}{dt}$ , in welcher bei ungleichförmiger Bewegung

die Geschwindigkeit ausgedrückt wird, entspricht der Form  $c = \frac{s_1 - s}{t_1 - t}$  bei der gleichförmigen Bewegung; man betrachtet aber nur ein unendlich kleines Teilchen der Bewegung und denkt sich dieses durch eine gleichförmige mit derselben Wegeslänge ds ersetzt.

Beispiel: Dem Bewegungsgesetz  $s=1+\frac{1}{4}t^2$  (S. 4) entspricht hiernach eine von der Zeit t abhängige Geschwindigkeit, ein Geschwindigkeitsgesetz

$$v = \frac{ds}{dt} = \frac{1}{2}t.$$

Für t=0 ist v=0; mit fortlaufender Zeit nimmt die Geschwindigkeit v gleichmäßig zu. Man ersieht auch aus Fig. 3, daß das Ansteigungs-Verhältnis der Kurve BQ bei B gleich Null ist und nach rechts fortwährend zunimmt.

Da die Geschwindigkeit die auf eine Zeiteinheit bezogene Wegeslänge bezeichnet, so müssen bei einer Geschwindigkeits-Zahl selbstverständlich auch die Längeneinheit und die Zeiteinheit bekannt sein, auf welche sich die Zahl bezieht. Rechnet man nach Metern und Sekunden, so schreibt man z. B.  $v=3\,\mathrm{m/_{sek}}$  wenn die sekundliche Geschwindigkeit 3 Meter beträgt, während  $v=10\,\mathrm{km/_{std}}$  eine Geschwindigkeit von 10 Kilometern in einer Stunde bedeutet.

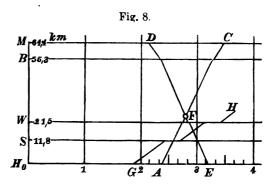
Kilometer, Meter, Centimeter und Millimeter werden durch km, m, cm und mm bezeichnet, während Stunde, Minute und Sekunde durch std, min und sek ausgedrückt werden sollen.

Zuweilen kennt man von einer Bewegung nur die in einzelnen größeren Zeiträumen zurückgelegten Wegeslängen, kann daraus dann die mittlere Geschwindigkeit für jeden dieser Zeiträume berechnen und betrachtet diese annäherungsweise als wahre Geschwindigkeiten, indem man jeden Bewegungsteil als einen gleichförmigen ansieht.

Beispiel 1: Letzteres findet Anwendung bei der zeichnerischen Darstellung der Fahrpläne der Eisenbahnzüge. Ein Eisenbahnzug ist freilich eine vielfältig zusammengesetzte Körpergruppe, deren einzelne Teile die verschiedenartigsten Bewegungen ausführen. Für den Zweck der Fahrpläne kommen aber diese verwickelten Verhältnisse nicht in Betracht. Vielmehr denkt man sich den

ganzen Zug zu einem Punkte zusammengedrängt, denkt sich die Mittellinie des Gleises geradlinig gestreckt und längs dieser Mittellinie den Punkt sich verschiebend. Als Wegeslängen trägt man die Strecken von Mitte zu Mitte der Stationen auf. Die Bewegungen von Station zu Station, welche in Wirklichkeit zum Teil ungleichförmige sind, betrachtet man annähernd als gleichförmig, indem man die Bewegungsgesetze nach mittleren Geschwindigkeiten durch gerade

Linien darstellt. Auf der wagerechten Grundlinie (Fig. 8) sind die Zeiten, von Mitternacht beginnend, aufgetragen, und zwar bedeuten die kleinen Teile je 10 Minuten. Auf der lotrechten Achse sind die Strecken der Bahnlinie, nach Kilometern angegeben, abgeteilt, und z. B. mit H (Hannover), S(Seelze), W(Wunstorf), B (Bückeburg) und M



(Minden) bezeichnet. Ein Nachtschnellzug, um 2 Uhr 25 Min. von Hannover abfahrend, trifft 2 Uhr 45 Min. in Wunstorf ein, fährt nach 1 Minute Aufenthalt weiter, ist 3 Uhr 16 Minuten in Bückeburg, hat 1 Minute Aufenthalt und langt 3 Uhr 37 Min. in Minden an. Dieser Zug ist durch die gebrochene Linie AC dargestellt. Den Stationsaufenthalt bezeichnet ein kurzer wagerechter Strich oder Absatz. Der Linienzug DE bezieht sich auf einen Gegenzug, der um 2 Uhr 11 Min. in Minden abfährt und 3 Uhr 12 Min. in Hannover eintrifft. Der Schnittpunkt F beider Linien kennzeichnet den Zeitpunkt und die Stelle (zwischen B und W), wo beide Züge aneinander vorbeifahren. Da die Eisenbahn doppelgleisig ist, kann dies auf freier Strecke (zwischen 2 Bahnhöfen) geschehen, wogegen es bei eingleisigen Bahnen nur auf einer Station möglich wäre. Der Linienzug GH bezeichnet einen Güterzug, dessen erheblich geringere Geschwindigkeit aus der schwächeren Ansteigung hervorgeht. Dieser Güterzug hält längere Zeit in Seelze und wird hier von dem ohne Aufenthalt durchfahrenden Schnellzug überholt. Linien, die nach derselben Seite hin ansteigen, bezeichnen Züge in derselben Richtung, die auf demselben Gleise fahren, sich daher nur auf Stationen überholen können. Dieserhalb dürfen Linien, die nach derselben Seite hin ansteigen, sich nur auf Stationslinien durchschneiden. Solche Fahrpläne enthalten in Wirklichkeit sämtliche Züge zu einem Bilde vereinigt und sind ein unentbehrliches Hülfsmittel des Betriebes, wenn es sich um Einlegung von Sonderzügen, um Ausführung von Gleisarbeiten u. dergl. handelt, weil man daraus klar erkennen kann, zu welchen Zeiten die Gleise für neue Züge oder für Arbeiten frei sind. In der wirklichen Ausführung liegt freilich die Zeitachse lotrecht, die Längenachse wagerecht, doch lediglich aus äußeren Zweckmäßigkeits-Rücksichten, die mit dem Wesen der Sache nichts zu tun haben.

Die 33,8 km zwischen Wunstorf und Bückeburg werden in 30 Minuten zurückgelegt, d. h. mit einer mittleren Geschwindigkeit von 1,127 Kilometern in der Minute

= 1,127 km/min = 
$$60 \cdot 1$$
,127 km/60 min =  $67$ ,62 km/std oder  

$$1127 \text{ m/60 sek} = \frac{1127}{60} \text{ m/sek} = 18,8 \text{ m/sek}.$$

Eine sekundliche Geschwindigkeit von 20 m würde gleichbedeutend sein mit

$$20 \cdot \frac{3600}{3600} \, \text{m/sek} = 72000 \, \text{m/std} = 72 \, \text{km/std},$$

d. h. mit einer stündlichen Geschwindigkeit von 72 km, während

$$100 \, \text{km/std} = \frac{100000}{3600} \, \text{m/sek} = 27,78 \, \text{m/sek}$$

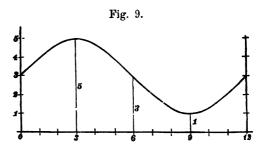
bedeuten.

Beispiel 2: Hat ein Radfahrer eine sekundliche Geschwindigkeit von 5 m, so legt er in der Stunde 5·3600 m == 18 km zurück, oder es ist

$$5 \, \text{m/sek} = \frac{5 \cdot 3600}{3600} \, \text{m/sek} = 18\,000 \, \text{m/std} = 18 \, \text{km/std}$$

Beispiel 3: Die lotrechte Auf- und Abwärts-Bewegung eines der Ebbe und Flut unterworfenen Wasserspiegels erfolge nach dem Bewegungsgesetz  $s=3+2\sin^{1}/6\pi t$ , wobei die Zeiten t in Stunden (abgekürzt std), die Wege s in Metern zu verstehen sind. Die Darstellung dieses Gesetzes (die Flutkurve)

hat dann die Form der Fig. 9. Für t=3 Stunden erreicht sin  $^1/e \pi t$  seinen größten Wert sin  $^1/2 \pi = 1$ , für t=9 std seinen kleinsten Wert sin  $^3/2 \pi = -1$ , so daßs s zwischen dem größten Werte 5 m und dem kleinsten Wert 1 m schwankt. Das Geschwindigkeits-Gesetz ist



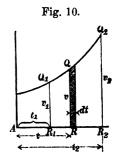
 $v=^1/s \pi \cos^1/s \pi t=1,047 \cdot \cos^1/s \pi t$ . Für t=0, t=12 und ganze Vielfache davon hat v seinen größten Wert, nämlich  $v_{max}=1,047 \, ^{m}/std$ . Für t=6, t=18, 30 u. s. w. hat v seinen größten negativen oder seinen Minimalwert, nämlich  $v_{min}=-1,047 \, ^{m}/std$ . Die Geschwindigkeit v ist positiv, solange die Wegeslängenkurve nach rechts ansteigt, und umgekehrt; sie ist Null, wenn das Steigen in Fallen übergeht, und umgekehrt, d. h. an den höchsten und tießten Punkten der Kurve, nämlich für t=3,9,15 u. s. w. — Fig. 9 stellt eine ideelle Flutkurve dar. Die wahren Flutkurven weichen davon zunächst grundsätzlich in der Weise ab, daß wegen der Bewegung des Mondes um die Erde die Zeit zwischen zwei höchsten Wasserständen nicht 12 Stunden, sondern mehr, nämlich 12 Stunden 25 Minuten beträgt. Außerdem enthalten die wirklichen Flutkurven Unregelmäßigkeiten, die von der örtlichen Gestaltung der Flußbetten, des Meerbodens, der Ufer, den Windverhältnissen u. s. w. abhängen.

# 2. Darstellung des Geschwindigkeits-Gesetzes der geradlinigen Bewegung eines Punktes.

Wie s eine f(t) war, so ist die Abgeleitete davon, nämlich v, ebenfalls eine  $\varphi(t) = f'(t)$ , welche das Geschwindigkeits-Gesetz heißen möge und ebenfalls zeichnerisch dargestellt werden kann.

Während man aus der Darstellung des Bewegungsgesetzes die in einem beliebigen Zeitraume zurückgelegte Wegeslänge unmittelbar

abgreifen konnte, ist dies aus dem Geschwindigkeits-Gesetze nicht ohne weiteres möglich. Da aber die Geschwindigkeit v aus dem Bewegungsgesetz s=f(t) durch Differentiation v=ds:dt zu finden war, so muß man durch das umgekehrte Verfahren, d. h. durch Integration, auch von v zu s gelangen können. Es ist nämlich  $ds=v\cdot dt$ , folglich mittels sog. unbestimmter Integration



$$s = \int v \cdot dt + C.$$

Die im allgemeinen unbestimmte Integrations-Konstante C läßt sich feststellen, wenn zu einem bestimmten Werte von t der zugehörige Wert von s bekannt ist, etwa für den Anfang der Beobachtung t=0 der Wert  $s=s_0$ .

Beispiel: Für die Bewegung eines Massenpunktes sei das Geschwindigkeitsgesetz v=3  $t^2$  gegeben; der Massenpunkt habe zu Anfang schon eine Entfernung  $s_0=3$  m von dem gewählten Festpunkte der Bahnlinie. Dann ist  $s=\int 3$   $t^2$   $dt+C=t^3+C$ .

Die Größe C ist nun an die Bedingung gebunden, daß die Gleichung für t=0 den Wert s=3 liefern muß. Setzt man demnach diese beiden Größen in die Gleichung ein, also 3=0+C, so bestimmt sich C=3, und das Bewegungsgesetz lautet

$$s = 3 + t^3$$
.

(Als Probe erhält man hieraus wieder  $v = ds : dt = 3 t^2$ .)

Die Gleichung  $ds = v \cdot dt$  hat übrigens auch eine geometrische Bedeutung, indem  $v \cdot dt$  den Inhalt des unmittelbar rechts neben v = RQ (Fig. 10) liegenden lotrechten Flächenstreifens der Geschwindigkeitskurve darstellt (mit Vernachlässigung einer unendlich kleinen Größe höherer Ordnung). Daher muß die endliche Wegeslänge  $s_2 - s_1$ , die zwischen den Zeitpunkten  $t = t_1$  und  $t = t_2$  zurückgelegt wird, durch die Summe aller zwischenliegenden Flächenstreifen,

d. h. durch die endliche Fläche  $Q_1Q_2R_2R_1$  ausgedrückt sein. Oder: die während einer gewissen Zeit, d. h. zwischen zwei gegebenen Zeitpunkten, zurückgelegte Wegeslänge wird dargestellt durch den Inhalt derjenigen Fläche, welche von der Geschwindigkeitskurve, der Zeitachse und den, jenen beiden Zeitpunkten entsprechenden Geschwindigkeits-Ordinaten eingeschlossen ist.

Läßt man den auf der Bahnlinie (Fig. 2) zu wählenden Festpunkt mit der Anfangslage des beweglichen Punktes zusammenfallen. d. h.  $s_0 = 0$  werden, so ergibt sich für die Wegeslänge von t = 0 bis t = t (indem man  $s_1 = s_0 = 0$ ,  $t_1 = 0$  setzt und statt  $t_2$  und  $s_2$  einfach t und s schreibt):  $s = \int_{t=0}^{t=t} dt$ . (1

### a) Gleichförmig veränderte Bewegung. Beschleunigung.

Der einfachste Fall einer ungleichförmigen (mit veränderlicher Geschwindigkeit erfolgenden) Bewegung ist offenbar ein solcher, wobei die ganze Geschwindigkeitsänderung während eines bestimmten Zeitraumes t sich gleichmäßig über letzteren verteilt. Ist also c die Anfangsgeschwindigkeit, v die Geschwindigkeit nach t Zeiteinheiten, so beträgt die ganze Geschwindigkeitsänderung v-c während des Zeitraumes t. Soll diese Änderung sich gleichmäßig über die Zeit t erstrecken, so muß sie für je de Zeiteinheit (v-c):t betragen. Setzt man diese gleichbleibende Geschwindigkeitsänderung für jede Zeiteinheit v-c0 voder

$$\boldsymbol{v} = \boldsymbol{c} + \boldsymbol{p} \boldsymbol{t}. \tag{2}$$

Eine solche Bewegung, bei welcher die Änderung der Geschwindigkeit verhältnisgleich mit der entsprechenden Zeit erfolgt, heißt eine gleichförmig veränderte Bewegung, und Gl. 2 ist ihr Geschwindigkeitsgesetz.

Ist die in jeder Zeiteinheit erfolgende Geschwindigkeits-Änderung p positiv, d.h. eine Zunahme, so heißt sie Beschleunigung, und die Bewegung wird eine gleichförmig beschleunigte genannt. Im entgegengesetzten Falle hat der Massenpunkt eine gleichförmig verzögerte Bewegung, und die dann negativ werdende Geschwindigkeits-Änderung in der Zeiteinheit heißt Verzögerung; das entsprechende Geschwindigkeitsgesetz ist

$$v = c - pt.$$

Offenbar kann eine Verzögerung einfach wie eine negative Beschleunigung behandelt werden.

Das Geschwindigkeitsgesetz v=c+pt, in welchem v und t veränderlich, c und p unveränderlich sind, wird durch eine ansteigende Grade BQ (Fig. 11) dargestellt. Fig. 11. Die Beschleunigung

$$p = \frac{v - c}{t} = \frac{NQ}{BN} = \operatorname{tg} \alpha$$

erscheint dabei als das Ansteigungsverhältnis der Geschwindigkeitslinie BQ.

Die zufolge einer gleichförmig beschleunigten Bewegung während des Zeitraumes

t=AR zurückgelegte Wegeslänge s ist (nach dem allgemeinen Satze auf S. 11) gleich der Flächenzahl der Figur ARQB, d. h.

$$s = 1/2 (\boldsymbol{v} + \boldsymbol{c}) \, \boldsymbol{t} \, .$$

Soll s aber durch c, p und t ausgedrückt werden, so zerlege man das Trapez in das Rechteck ABNR = ct und das Dreieck  $BNQ = \frac{1}{2}t \cdot NQ = \frac{1}{2}t \cdot pt = \frac{1}{2}pt^2$ , so daß

$$\mathbf{s} = \mathbf{c}\mathbf{t} + \frac{1}{2}\mathbf{p}\mathbf{t}^2$$

entsteht. Das Rechteck zeigt hierbei den Einfluß der Anfangsgeschwindigkeit, das Dreieck  $^{1/2}pt^{2}$  dagegen den Einfluß der Beschleunigung auf die Wegeslänge. Will man endlich noch s durch c, v und p ausdrücken, so ersetze man in Gl. 4 die Größe t durch  $\frac{v-c}{p}$ , um zu erhalten

6) 
$$s = \frac{v+c}{2} \frac{v-c}{p} = \frac{v^2-c^2}{2p}$$
.

Für die gleichförmig verzögerte Bewegung, bei der c > v, gelten die Gleichungen 3, 5 und 6 ebenfalls, sobald darin + p mit - p vertauscht wird.

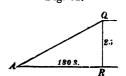
Legt man Meter und Sekunden zu Grunde, so kann eine Geschwindigkeit geschrieben werden:  $v^{m}/_{sek}$ . Die Beschleunigung ist

aber eine Geschwindigkeitszunahme, geteilt durch eine Zeit oder die auf die Zeiteinheit bezogene Geschwindigkeitszunahme, ist daher zu schreiben  $p^{m}/_{sek}$  und zu sprechen: p Meter in der Quadratsekunde. (Vorschlag von A. Hasselblatt, Petersburg.)

Beispiel 1: Ein Eisenbahnzug setze sich vom Bahnhof aus in Bewegung und habe, nachdem 180 Sekunden seit der Abfahrt verstrichen sind, seine volle Geschwindigkeit von 25 m/sek erreicht; es soll unter der Annahme, dass die Bewegung eine gleichförmig beschleunigte sei, die Größe der Beschleunigung, sowie die während der Anfahrt (d. h. der 180 sek) zurückgelegte Wegeslänge berechnet werden. Fig. 12.

Die Darstellung des Geschwindigkeitsgesetzes (Fig. 12) ist in diesem Falle, wo die Anfangsgeschwindigkeit = 0, ein Dreieck. Die Beschleunigung ist das Ansteigungsverhältnis der Geraden AQ, mithin

 $p = \frac{25}{180} = \frac{1}{7.2} = 0,14 \text{ m/sek}^2,$ 



oder es wächst die Geschwindigkeit in jeder Sekunde um 0,14 m/sek.

In km/std2, d. h. in Kilometern für die Quadratstunde, ausgedrückt, wird

$$p = \frac{1}{7.2} \frac{3600 \cdot 3600 \text{ m}}{(3600 \text{ sek})^2} = 1800000 \text{ m/std}^2 = 1800 \text{ km/std}^2,$$

wovon man sich auch leicht überzeugt, wenn man die Aufgabe mit

$$v = 90 \text{ km/std}$$
 und  $t = 180 \text{ sek} = \frac{1 \text{ std}}{20}$  durchführt.

Die Wegeslänge während der Anfahrt wird gemessen durch den Inhalt des Dreiecks AQR, d. h. es ist

$$s = \frac{180 \cdot 25}{2} = 2250 \,\mathrm{m}$$
.

Wenn der Zug auf freier Strecke die soeben erlangte Geschwindigkeit unverändert beibehält, so ist die Darstellung des Geschwindigkeitsgesetzes dieser nun gleichförmigen Bewegung eine durch den Punkt Q gezogene Wagerechte.

Soll der Zug nun auf der nächsten Haltestelle zum Stillstande kommen, so muß er durch geeignete Mittel (Widerstände, Bremsen, unter Abstellung des Dampfes der Lokomotive) verzögert werden. Es seien diese Mittel so beschaffen, dass sie dem Zug eine gleichbleibende Verzögerung von 0,4 m/sek2 erteilen; wie lange wird diese gleichförmig verzögerte Be-Fig. 12 a.

wegung bis zum Stillstande währen, und wie groß wird ihre Wegeslänge sein, d. h. in welcher Entfernung vor der Haltestelle muß sie beginnen (müssen die Bremsen angezogen werden)?

Die Darstellung des Geschwindigkeitsgesetzes sei  $Q_1 B$ (Fig. 12 a). Da die Geschwindigkeit von  $25 \, m_{\rm sek}$  während jeder Sekunde um 0.4 m/sek sich vermindert, so sind  $25:0.4=62.5 \text{ sek}=R_1 B \text{ zur}$ 

völligen Aufzehrung der Geschwindigkeit erforderlich. Die Wegeslänge in diesen 62,s sek beträgt nach der Figur  $1/2 \cdot 25 \cdot 62,s = 781,2s \text{ m}$ ; d. h. etwa 781 m vor der Haltestelle muß die Verzögerung beginnen.

Die Wegeslängen der gleichförmig beschleunigten und verzögerten Bewegungen würden bei gleichbleibender Geschwindigkeit von  $25\,\mathrm{m/sek}$  je in der Hälfte der Zeit zurückgelegt sein. Durch Anhalten und Wiederanfahren gehen daher, im Vergleiche zum einfachen Durchfahren, 90+31,25=121,25 sek oder rund 2 Minuten verloren. Mit Einschluss von einer Minute Ausenthalt kostet also jeder Haltepunkt einem Schnellzuge 3 Minuten Mehrauswand an Zeit.

Die Annahme, dass die Anfahrt und das Anhalten gleichförmig veränderte Bewegungen seien, ist eine vereinfachende Voraussetzung; das wahre Geschwindigkeitsgesetz wird sich nicht durch gerade Linien darstellen, ist vielmehr schwieriger zu ermitteln und hängt von vielen Umständen ab, die hier nicht berücksichtigt werden können.

Beispiel 2: Ein Gewehrgeschofs verlasse den 0,8 m langen Gewehrlauf mit einer sekundlichen Geschwindigkeit von 400 m. Wenn man nun die im Augenblicke des Abfeuerns mit der Geschwindigkeit Null beginnende beschleunigte Bewegung des Geschosses im Rohre wieder annähernd als gleichförmig beschleunigt betrachtet, wie lange dauert sodann die Bewegung im Rohr und wie groß ist die Beschleunigung?

Die Geschwindigkeitsfigur ist wiederum ein Dreieck, dessen Inhalt = 0,s (Wegeslänge) sein muß. Nennt man die Zeit t, so ist  $\frac{400}{2}t=0$ ,s, d. h.

$$t = \frac{0.8}{200} = \frac{4}{1000} = \frac{1}{250}$$
 sek.

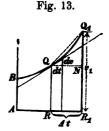
In dieser geringen Zeit wächst die sekundliche Geschwindigkeit von Null auf  $400 \,\mathrm{m}$ ; die Beschleunigung beträgt also  $400 : \frac{1}{250} = 400 \cdot 250 = 100\,000 \,\mathrm{m/sek^2}$ . Diese überraschend große Zahl ist so zu verstehen, daß, wenn die gleichförmig beschleunigte Bewegung unter Einwirkung der Pulvergase 1 Sekunde lang in unveränderter Weise fortdauerte, eine Geschwindigkeit von  $100\,000 \,\mathrm{m/sek}$  entstehen würde. Die beschleunigte Bewegung in dem Rohre währt aber nur  $^{1/250}\,\mathrm{sek}$  und bringt daher nur  $400\,\mathrm{m/sek}$  Geschwindigkeit hervor.

### b) Ungleichförmig veränderte Bewegung.

Ändert sich die Geschwindigkeit einer Bewegung nicht verhältnismäßig mit der Zeit, so heißt die Bewegung eine ungleichförmig veränderte; das Geschwindigkeitsgesetz ist dann nicht mehr einfach geradlinig, sondern von der allgemeinen Form  $v=\varphi(t)$ , oder die Geschwindigkeitslinie ist irgend eine Kurve.

In derselben Weise nun, wie auf S.6 der Begriff der Geschwindigkeit, ausgehend von der gleichförmigen Bewegung, durch Verallgemeinerung auf beliebige Bewegungen ausgedehnt wurde, findet auch hinsichtlich der Beschleunigung der geradlinigen Bewegung

eine allgemeinere Fassung des Begriffes statt. Ist  $BQQ_1$  (Fig. 13) die Geschwindigkeitslinie, so erfolgt in dem Zeitraume  $RR_1 = \Delta t$  eine Geschwindigkeitszunahme  $NQ_1 = \Delta v$ . Zieht man nun die Sehne  $QQ_1$ , so ist diese die Geschwindigkeitslinie einer gleichförmig beschleunigten Bewegung, vermöge welcher die Geschwindigkeit in dem Zeitraume  $\Delta t$  von v auf  $v + \Delta v$ , also um die gleiche Größe, wächst wie



bei der gegebenen Bewegung.  $p_m = \frac{\Delta v}{\Delta t}$  ist dann die mittlere Beschleunigung für diesen bestimmten Zeitraum  $RR_1$ . Wenn der beliebige Zeitraum  $\Delta t$  zur Grenze Null herabsinkt, nähert sich diese mittlere Beschleunigung  $p_m$  einem bestimmten Grenzwerte p, und diesen Grenzwert  $p = \lim \frac{\Delta v}{\Delta t}$  oder

$$p = \frac{dv}{dt}$$

nennt man die Beschleunigung zur Zeit t. Die Beschleunigung p ist die Abgeleitete der Geschwindigkeit v nach der Zeit t, oder die zweite Abgeleitete der Wegeslänge s nach der Zeit t.

2) 
$$v = \varphi(t) = \frac{ds}{dt} = f'(t); \ p = \frac{dv}{dt} = \varphi'(t) = \frac{d^2s}{dt^2} = f''(t).$$

Die Beschleunigung erscheint wegen p = dv : dt als das Ansteigungsverhältnis der Geschwindigkeitslinie, ebenso wie die Geschwindigkeit das Ansteigungsverhältnis der Wegeslängenkurve (S. 6) war.

Beispiel: Zu dem Bewegungsgesetz  $s=3+2\sin^{1/6}\pi t$  (S. 9) gehörte das Geschwindigkeitsgesetz  $v=^{1/3}\pi\cos^{1/6}\pi t=1$ ,047  $\cos^{1/6}\pi t$ . Hieraus ergibt sich die veränderliche Beschleunigung

$$p = -\frac{1}{18} \pi^2 \sin \frac{1}{6} \pi t = -0,548 \sin \frac{1}{6} \pi t.$$

Indem man p = dv : dt oder dv = p dt schreibt, betrachtet man die Geschwindigkeitsänderung dv als verhältnisgleich mit der

Zeit dt, betrachtet also ein Teilchen der beliebigen Bewegung als gleichförmig verändert. Für einen endlichen Zeitraum  $t_1 - t$  ist dann die Geschwindigkeitszunahme

3) 
$$v_1 - v = \int_t^{t_1} p \cdot dt;$$

oder man kann auch die Geschwindigkeit v im Zeitpunkte t in Form eines unbestimmten Integrals

$$4) v = \int p \, dt + C$$

schreiben, worin der Wert C bestimmt werden kann, wenn für irgend einen Zeitpunkt die Geschwindigkeit bekannt ist.

Beispiel 1: Das gegebene Bewegungsgesetz sei (auf Meter und Sekunden bezogen)  $s=2+6\ t-2\ t^2+{}^1/{3}\ t^3;$ 

dann ergibt sich die Geschwindigkeit

$$v = ds: dt = 6 - 4t + t^2$$

die Beschleunigung

$$p = dv : dt = -4 + 2t$$
.

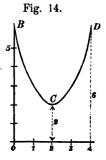
Man erkennt, das hier eine ungleichförmig veränderte Bewegung vorliegt, da p mit der Zeit t veränderlich. Zu Anfang, d. h. für t=0 ist  $p=-4^{m/sek^2}$ , die Bewegung ist also eine verzögerte; die Geschwindigkeit, welche zu Anfang  $6^{m/sek}$  betrug, nimmt zunächst ab. Es ist aber  $p \leq 0$  für  $t \leq 2^{sek}$ . Die Geschwindigkeits-Abnahme hört also auf nach 2 Sekunden, und es beginnt dann eine beschleunigte Bewegung, und zwar wächst nun auch die Beschleunigung verhältnisgleich mit der Zeit. Der Zeitpunkt  $t=2^{sek}$ , wo die Geschwindigkeit auf hört abzunehmen und zu wachsen beginnt, gibt für v einen Kleinstwert  $v_{min}=2^{m/sek}$ . Die Geschwindigkeitslinie ist eine Parabel

mit lotrecht aufwärts gerichteter Achse; der Scheitel entspricht dem Zeitwerte t=2 Sekunden. Die während der ersten 4 Sekunden zurückgelegte Wegeslänge  $s-s_0$  ist leicht als die unterhalb der Parabel  $B\ C\ D$  (Fig. 14) befindliche Fläche zu berechnen. Da man weiß, daß die Parabelfläche  $B\ C\ D=^2/3$  des umschriebenen Rechtecks ist, so wird

$$s - s_0 = 6 \cdot 4 - \frac{2}{3} (6 - 2) 4 = 13^{1/3} \text{ m}$$
.

Zur Prüfung liefert das Bewegungsgesetz

für 
$$t=4$$
  $s=15^{1/3}$ , für  $t=0$   $s_{0}=2$  , mithin  $s-s_{0}=13^{1}/3$  m.



**Beispiel 2:** Eine geradlinige Bewegung erfolge mit der Beschleunigung  $p=2+3t^2$ , und es sei für t=0: v=c=1,  $s_0=0$ . Dann wird aus  $dv=(2+3t^2) dt$ 

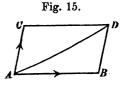
$$v - 1 = \int_{0}^{t} (2 + 3t^{2}) dt = 2t + t^{3} \text{ oder } v = 1 + 2t + t^{3} \text{ und}$$

$$s = \int_{0}^{t} (1 + 2t + t^{3}) dt = t + t^{2} + \frac{1}{4}t^{4}.$$

## 3. Zusammensetzung mehrerer gleichzeitigen Bewegungen eines Punktes.

Ein Massenpunkt durchlaufe während der Zeit t die Bahnlinie AB (Fig. 15), und zwar in der Richtung von A nach B; diese Bahnlinie gehöre aber einem Körper an, welcher sich derartig parallel verschiebt, dass der Punkt A der Linie AB während der

Zeit t die Bewegung AC ausführt und die ganze Bahnlinie AB in die parallele Lage CD kommt. Dann wird der Massenpunkt infolge der beiden gleichzeitigen Bewegungen aus der Anfangslage A in irgend einer Bahnlinie nach D gelangen, und man nennt diese



wahre Bewegung AD die Mittelbewegung oder Resultierende aus den beiden Seitenbewegungen AB und AC.

Anstatt diese wahre Bewegung AD als das Ergebnis der Bewegungen AB und AC zu bezeichnen, sagt man auch wohl kürzer, der Massenpunkt führe zwei gleichzeitige Seitenbewegungen aus, womit aber stets nur der beschriebene Vorgang gemeint sein soll. Da die Figur ABDC ein Parallelogramm ist, so ergibt sich ohne weiteres der Satz vom Parallelogramm der Bewegungen:

Führt ein Massenpunkt gleichzeitig zwei Seitenbewegungen aus, so ist der dem Anfangspunkt A gegenüberliegende Eckpunkt des aus den beiden Seitenbewegungen gezeichneten Parallelogrammes der wahre Ort des Punktes.

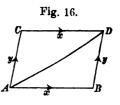
Man denke sich auf dem Stabe AB ein Sonnenkäferchen entlang laufend, während man den Stab parallel nach CD verschiebt; dann gelangt das Sonnenkäferchen in Wirklichkeit von A nach D.

Eine Gerade AB von bestimmter Richtung, bestimmter Größe und einem Pfeile, der einen bestimmten Bewegungssinn angibt,

3

nennt man eine Strecke. AB sei die Strecke x, AC die Strecke y. Zur Bestimmung des Punktes D ist offenbar nicht die Zeichnung des ganzen Parallelogramms erforderlich; vielmehr genügt es, an

den Endpunkt B der Strecke x die parallel verschobene Strecke BD=y anzutragen (Fig. 16). Beide bilden dann einen sog. "Streckenzug", und man kann sagen: Der wahre Ort D des Punktes ist der Endpunkt des aus den beiden Seitenbewegungen gebildeten Streckenzuges. Die Reihen-



folge der Zusammensetzung ist offenbar gleichgültig. Der Streckenzug AC = y und CD = x führt zu demselben Endpunkte D.

Sind die Gesetze der beiden Seitenbewegungen bekannt, so daßs man für den Zeitpunkt t die Strecken x und y berechnen kann, so ist auch der Ort des beweglichen Punktes für jeden Zeitwert t bekannt und damit auch die Bahnlinie der Mittelbewegung AD völlig bestimmt.

Beispiel: Die eine Seitenbewegung folge dem Gesetze x=t (in Metern und Sekunden), sei also gleichförmig, die andere dem Gesetz

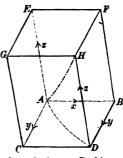
$$y = \frac{1}{2} t + \frac{1}{10} t^2$$

(also gleichförmig beschleunigt). Dann ist für

$$t = 0$$
 1 2 3 4 5  
 $x = 0$  1 2 3 4 5  
 $y = 0$  0,6 1,4 2,4 3,6 5.

Die Gleichung der Bahnlinie findet man, indem man t=x in die Gleichung für y einsetzt,  $y=\frac{1}{2}x+\frac{1}{10}x^2$ . Dies bedeutet eine Parabel als Bahnlinie des Punktes.

Erleidet, während die Seitenbewegungen AB und AC erfolgen, die ganze Ebene derselben eine Parallelverschiebung z in der Richtung von A nach E (Fig. 18), so wird der Massenpunkt, der infolge der beiden Bewegungen x und y nach D gelangen würde, sich nunmehr nach H bewegen, und es folgt der Satz vom Parallelepiped der Bewegungen:



Hat ein Massenpunkt drei gleichzeitige Seitenbewegungen, so ist der dem Anfangspunkt A gegenüberliegende Eckpunkt H des aus den drei Seitenbewegungen bestimmten Parallelepipeds, oder der Endpunkt des aus den Seitenbewegungen x, y und z gebildeten Streckenzuges ABDH der wahre Ort des Punktes.

Als Beispiel könnten die Bewegungsgesetze: x = t;  $y = \frac{1}{2}t + \frac{1}{10}t^2$ ; z = 3t benutzt werden.

Im allgemeinen ist die wahre Bahnlinie eine räumliche Kurve.

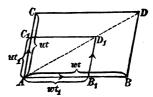
#### a) Zusammensetzung der Geschwindigkeiten.

1) Ein Massenpunkt habe zwei gleichförmige, geradlinige Seitenbewegungen mit den Geschwindigkeiten w bezw. u; dann sind die Wegeslängen nach t Zeiteinheiten (Fig. 19)

Fig. 19.

AB = x = wt und AC = y = ut; innerhalb eines anderen, etwa kleineren Zeitraumes  $t_1$ :

$$A B_1 = x_1 = wt_1$$
 und  $A C_1 = y_1 = ut_1$ .



Der wahre Ort nach t bezw.  $t_1$  Zeiteinheiten ergibt sich durch den Streckenzug ABD bezw.  $AB_1D_1$  zu D bezw.  $D_1$ . Es findet aber statt:

$$\frac{AB}{AB_1} = \frac{t}{t_1}; \ \frac{BD}{B_1D_1} = \frac{t}{t_1}, \ \text{also} \ \frac{AB}{AB_1} = \frac{BD}{B_1D_1},$$

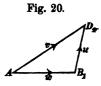
mithin sind die Dreiecke ABD und  $AB_1D_1$  ähnlich, so daß A,  $D_1$  und D auf derselben Geraden liegen müssen. Da dies für alle Werte für t und  $t_1$  gilt, so muß die wahre oder Mittelbewegung geradlinig erfolgen. Zugleich ist aber auch wegen

der Ähnlichkeit 
$$\frac{A\,D}{A\,D_1}=\frac{A\,B}{A\,B_1}=\frac{t}{t_1}$$
, oder die Wegeslängen  $A\,D$ 

und  $AD_1$  sind den entsprechenden Zeiten t und  $t_1$  verhältnisgleich. Die Mittelbewegung aus zwei geradlinigen und gleichförmigen Seitenbewegungen ist hiernach ebenfalls geradlinig und gleichförmig. Ihre Geschwindigkeit v erhält man, indem man den willkürlichen Zeitraum  $t_1$  zur Zeiteinheit werden läßt. Dann wird  $AB_1=w$ ;  $B_1D_1=u$  und  $AD_1=v$ , oder die Geschwindigkeit v der wahren oder Mittelbewegung erscheint als die Schlußseite eines aus den

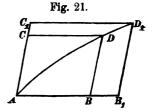
Geschwindigkeiten der Seitenbewegungen gebildeten Streckenzuges-(Fig. 20). Der Pfeil der Schlufsseite eines Streckenzuges wird stets-

von dem Anfange nach dem Ende des Streckenzuges verstanden, wie es sich hier bezüglich der Geschwindigkeit v als notwendig ergibt. Die in dieser Weise verstandene Schlusstrecke eines Streckenzuges heist auch die geometrische Summe der Einzelstrecken.



2) Sind die beiden Seitenbewegungen nicht gleichförmig, erfolgen sie vielmehr nach beliebigen Bewegungsgesetzen AB = x = f(t)

und  $AC = y = \varphi(t)$  (Fig. 21), so ändern sich AB und AC im allgemeinen nicht verhältnisgleich; es wird daher die Mittelbewegung krummlinig ausfallen. Gleichwohl läßt sich für jeden Zeitpunkt t der wahre Ort des Massenpunktes aus den Seitenbewegungen x und y konstruieren. Ändert sich t um dt, so werden in



diesem Zeitteilchen die Seitenbewegungen  $BB_1 = dx$ ,  $CC_1 = dy$  zurückgelegt, und der Massenpunkt gelangt von D nach  $D_1$ . Nun sind aber die Geschwindigkeiten der beiden Seitenbewegungen

im Zeitpunke 
$$t$$
:  $w = \frac{dx}{dt}$  bezw.  $u = \frac{dy}{dt}$ . Setzt man hiernach

dx = wdt und dy = udt, so betrachtet man für die Dauer eines Zeitteilchens dt die Seitenbewegungen als gleichförmig, so daß für die augenblickliche Geschwindigkeit v der wahren oder Mittelbewegung die für gleichförmige Bewegungen abgeleitete Fig. 20-gültig bleibt. Die Richtung der Geschwindigkeit v fällt hiernach mit der Sehne  $DD_1$ , also, da diese unendlich klein, mit der Richtung der Bahnlinie, d. h. mit der Bewegungsrichtung zusammen. Auch ist, wie bei der geradlinigen Be-

wegung 
$$v = \frac{DD_1}{dt} = \frac{ds}{dt}$$
. Die Geschwindigkeiten  $w$  und  $u$  der

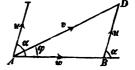
Seitenbewegungen nennt man kürzer die Seitengeschwindigkeiten des Massenpunktes, v die wahre oder Mittelgeschwindigkeit. Es gilt also für zwei beliebige geradlinige Seitenbewegungen der Satz vom Parallelogramm oder vom Dreieck der Geschwindigkeiten: Die Mittelgeschwindigkeit ist die Diagonale eines Parallelogrammes aus den Seitengeschwindigkeiten, oder die geometrische Summe der Seitengeschwindigkeiten.

Hiernach kann die Mittelgeschwindigkeit, die wahre oder resultierende Geschwindigkeit durch Zeichnung gefunden werden; will man aber ihre Größe und Richtung durch Rechnung bestimmen, so bedenke man, Fig. 22.

das in dem Dreieck ABD (Fig. 22)

$$v^2 = w^2 + u^2 - 2 wu \cos ABD, \text{ oder}$$
 weil  $\cos ABD = \cos(\pi - \alpha) = -\cos \alpha$ ,

 $v = \sqrt{w^2 + u^2 + 2wu \cos \alpha}$ 



ebenso gilt  $\sin \varphi : \sin ABD = u : v$ , also, weil  $\sin ABD = \sin \alpha$ ,

$$\sin \varphi = \sin \alpha \frac{u}{v}.$$

Gl. 1 liefert die Größe, Gl. 2 sodann die Richtung von v. Dabei ist zu bemerken, daß die Strecken w und u stets in der Weise aneinander zu setzen sind, daß die Pfeile in dem Zuge ABD übereinstimmenden Umfahrungssinn haben, und daß dann der Pfeil von v stets vom Anfang A nach dem Endpunkte D des Streckenzuges gerichtet ist.

Je kleiner der Winkel  $\alpha$  wird, desto mehr nähert sich u der Richtung von AB, desto näher fällt also auch v der Richtung von w. Fallen schließlich w und u in dieselbe Richtung, so wird  $\alpha = 0$ ,  $\cos \alpha = 1$ ,  $\sin \alpha = 0$ , und man erhält v = w + u;  $\varphi = 0$ . In diesem Falle wird die Mittelgeschwindigkeit v, welche allgemein die geometrische Summe von w und u, auch arithmetisch gleich der Summe von w und u.

Je mehr sich der Winkel  $\alpha$  dem Winkel  $\pi$  nähert, desto niedriger wird wiederum das Geschwindigkeits-Dreieck, desto kleiner wird die Schlusseite v. Ist  $\alpha = \pi$ , so wird  $\cos \alpha = -1$ ,  $\sin \alpha = 0$ , mithin, wenn w > u gedacht ist, v = w - u;  $\varphi = 0$ .

In beiden Fällen  $\alpha = 0$  und  $\alpha = \pi$  wird v die algebraische Summe von w und u, nämlich w + u bezw. w - u.

Von besonderer Wichtigkeit ist noch der Fall, wo die beiden Seitengeschwindigkeiten zueinander rechtwinklig stehen (Fig. 23). Es ist dann

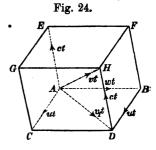
$$v = \sqrt{w^2 + u^2}$$
;  $\operatorname{tg} \varphi = u : w$ .

Ist z. B., bezogen auf Sekunden und Meter,  $w = 2$ ,
 $u = 1$ , so wird

$$v = \sqrt{5} = 2,236$$
; tg  $\varphi = 1/2$ ,  $\varphi = 26^{\circ}34'$ .

3) Hat man drei, nicht in derselben Ebene liegende, gleichförmige Seitenbewegungen mit den Geschwindigkeiten w, u und  $\sigma$ 

zusammenzusetzen (Fig. 24), so liefern zunächst zwei derselben, AB und AC, als Mittelbewegung wiederum eine geradlinige gleichförmige Bewegung AD mit der Geschwindigkeit  $v_1$ , welche aus dem Streckenzuge AB und BD als AD gefunden wird. Fügt man nun zu der Bewegung AD noch die dritte Seitenbewegung AE hinzu, so hat man wiederum zwei geradlinige, gleichförmige



Bewegungen zusammenzusetzen; man verlegt daher ct parallel an den Endpunkt D von AD und erhält H als Endpunkt der wahren oder Mittelbewegung, welche geradlinig und gleichförmig von A nach H erfolgen muß.

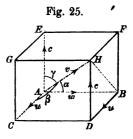
Läst man in Fig.  $24\ t=1$  werden, so erscheint die wahre oder Mittelgeschwindigkeit v als Diagonale eines Parallelepipeds aus den drei Seitengeschwindigkeiten, oder als die Schlusseite eines räumlichen, aus den drei Seitengeschwindigkeiten gebildeten Streckenzuges, welche man auch wiederum die geometrische Summe der Seitengeschwindigkeiten nennen kann.

Dieser Satz vom Parallelepiped oder (räumlichen) Viereck der Geschwindigkeiten erhält auch Gültigkeit für ungleichförmige Seitenbewegungen, wenn man dieselben Betrachtungen anstellt, wie auf S. 20 bezüglich zweier Seitenbewegungen geschah.

Stehen die 3 Seitengeschwindigkeiten rechtwinklig zueinander (Fig. 25), so wird die wahre (resultierende) oder Mittelgeschwindigkeit

$$v = \sqrt{w^2 + u^2 + c^2}$$

und für die Neigungswinkel  $\alpha$ ,  $\beta$  und  $\gamma$  der Geschwindigkeit v gegen die Richtungen w, u und c ergibt sich, weil die Seitenfläche BDHF rechtwinklig zu w steht, also auch  $\not \subset ABH$  ein Rechter,  $\cos \alpha = w : v$ ; ebenso  $\cos \beta = u : v$  und  $\cos \gamma = c : v$ .



#### b) Zusammensetzung der Beschleunigungen.

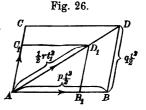
1) Ein Massenpunkt habe zwei gleichförmig beschleunigte Seitenbewegungen AB und AC, welche beide mit den Geschwindigkeiten Null beginnen. Die Beschleunigungen

seien p und q (Fig. 26); dann ist in t Zeiteinheiten (nach Gl. 5, S. 12):

$$AB = {}^{1}/{}_{2} p t^{2}; \quad BD = {}^{1}/{}_{2} q t^{2},$$
 in  $t_{1}$  Zeiteinheiten:

 $AB_1 = \frac{1}{2}pt_1^2; B_1D_1 = \frac{1}{2}qt_1^2.$ 

Die wahren Orte des Massenpunktes sind



D bezw.  $D_1$ . Somit ist  $\frac{AB}{AB_1} = \frac{t^2}{t_1^2} = \frac{BD}{B_1D_1}$ ; es sind also die Dreiecke ABD und  $AB_1D_1$  ähnlich, daher die wahre Bewegung geradlinig. Für die Wegeslängen gilt aber  $\frac{AD}{AD_1} = \frac{AB}{AB_1} = \frac{t^2}{t_1^2}$ , oder sie sind mit den Quadraten der entsprechenden Zeiten verhältnisgleich. Für ein solches Bewegungsgesetz  $s = at^2$  gilt aber v = 2 at, d. h. die Mittelbewegung ist wiederum eine gleichförmig beschleunigte mit der Anfangsgeschwindigkeit Null. Nennt man sodann die Beschleunigung dieser Bewegung r, so kann  $AD = \frac{1}{2}rt^2$   $AD_1 = \frac{1}{2}rt_1^2$  gesetzt werden. Wählt man endlich den beliebigen Zeitraum  $t_1$  so, daß  $\frac{1}{2}t_1^2 = 1$  wird, so werden  $AB_1$ ,  $B_1D_1$  und  $AD_1$  bezw. zu p, q und r, und es erscheint die Beschleunigung der wahren oder Mittelbewegung, welche kürzer die Mittelbeschleunigung genannt wird, ebenso wie die Geschwindigkeit, als Schlußlinie eines aus den Seitenbeschleunigung ung en

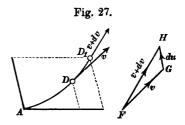
gebildeten Streckenzuges, als geometrische Summe der Seitenbeschleunigungen, oder als Diagonale eines Parallelogramms aus den Seitenbeschleunigungen.

2) Dies gilt einstweilen nur, wenn die beiden Seitenbewegungen gleichförmig beschleunigt sind und mit der Geschwindigkeit Null beginnen, so dass die Mittelbewegung geradlinig wird. Erfolgen die Seitenbewegungen aber nach beliebigen Bewegungsgesetzen, so entsteht eine krummlinige Bewegung, und für diese muß der Begriff der Beschleunigung erst eine Verallgemeinerung erfahren.

Die Richtung der Geschwindigkeit fällt nach Seite 20 mit der Bewegungsrichtung zusammen. Bei einer geradlinigen Bewegung bleibt also die Richtung der Geschwindigkeit dieselbe, es ändert sich nur deren Größe, und zwar während des Zeitteilchens dt um dv = pdt. Diese Vergrößerung von v kann man nun auch so auffassen, als ob zu der früheren Geschwindigkeit v eine neue Geschwindigkeit dv = pdt hinzugetreten wäre, und man nennt diese letztere die Elementarbeschleunigung, welche mittels Teilung durch das Zeitteilchen dt die (auf die Zeiteinheit bezogene) Beschleunigung p = dv: dt liefert.

Bei der krummlinigen Bewegung ändert sich während eines Zeitteilchen dt sowohl die Größe, wie auch die Richtung der

Geschwindigkeit (Fig. 27); diejenige Geschwindigkeit nun, welche mit der im Zeitpunkte t vorhandenen Geschwindigkeit v zusammengesetzt werden muß, um mit ihr die für den Zeitpunkt t+dt geltende Geschwindigkeit v+dv nach Größe und Richtung zu ergeben, heißt



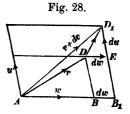
wiederum die Elementarbeschleunigung, welche dann, durch dt geteilt, die Beschleunigung p der krummlinigen Bewegung im Zeitpunkte t nach Größe und Richtung liefert.

Stellt also in Fig. 27 FG die Geschwindigkeit v im Zeitpunkte t, FH die Geschwindigkeit v+dv im Zeitpunkte t+dt dar, so ist GH die Elementarbeschleunigung =du. Letztere kann offenhar als die geometrische Differenz zwischen v+dv und v, oder weil sie unendlich klein, als das geometrische Differential von v bezeichnet werden.

Die Beschleunigung p der krummlinigen Bewegung  $ADD_1$  im Zeitpunkte t bezeichnet man nun als p=du:dt, d. h. als die geometrische Abgeleitete von v nach t und als mit der Richtung von du übereinstimmend. Die Beschleunigung weicht hiernach bei krummliniger Bewegung stets von der Bewegungsrichtung (v) ab.

Bei der Zusammensetzung zweier beliebigen geradlinigen Seitenbewegungen ist nun die Geschwindigkeit v = AD im Zeitpunkte t

(Fig. 28) die Mittelgeschwindigkeit aus w und u, die Geschwindigkeit  $v + dv = AD_1$  im Zeitpunkte t + dt die Mittelgeschwindigkeit aus w + dw und u + du. Legt man beide Streckenzüge so aufeinander, daß v und v + dv gemeinsamen Anfangspunkt A haben, so ist  $DD_1$  die geometrische Differenz von v + dv und v, oder die Elementar-



beschleunigung  $= r \cdot dt$ , wenn r die Beschleunigung.  $DD_1$  ist aber die Schlußseite eines aus  $dw = p \cdot dt$  und  $du = q \cdot dt$  gebildeten Streckenzuges  $DED_1$ . Dasselbe Verhältnis muß also auch zwischen r, p und q bestehen; mithin gilt auch für zwei beliebige geradlinige Seitenbewegungen das auf S. 23 unter 1 ausgesprochene Gesetz für die Beschleunigung.

Für die Berechnung der Größe und Richtung der Mittelbeschleunigung r gelten dieselben Formeln wie für die Geschwindigkeit (S. 21); man braucht in denselben nur w, u und v mit p, q und r zu vertauschen.

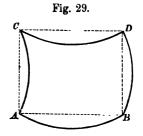
Ähnliche Betrachtungen, wie solche bezüglich der Geschwindigkeiten (S. 22 und 23) angestellt wurden, führen auch leicht zum Satze vom Parallelepiped oder Viereck der Beschleunigungen.

### c) Zusammensetzung krummliniger Seitenbewegungen.

Die im vorstehenden ausführlich entwickelten Gesetze für die Zusammensetzung von zwei oder drei Bewegungen, von deren Geschwindigkeiten und Beschleunigungen bleiben auch noch gültig, wenn die Seitenbewegungen nicht geradlinig, sondern krummlinig erfolgen. Unerlässliche Bedingung hierfür ist aber, dass die bewegliche Bahnlinie eine reine Parallelverschiebung erfahre.

Bewegt sich der Massenpunkt in der Bahnlinie AB (Fig. 29), während diese eine Verschiebung in die Lage CD erfährt, so

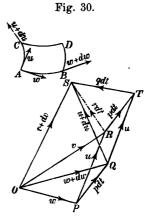
erkennt man leicht, dass D der Ort des Massenpunktes nach der Bewegung sein muß, und dass es gleichgültig ist, ob man den Punkt D mittels der wahren Bewegungslinien AB, AC und BD festlegt, oder ob man die Sehnen AB, AC und BD benutzt und aus ihnen ein Parallelogramm oder einen Streckenzug ABD bildet. Auch für die Geschwindigkeit v der wahren Be-



wegung in irgend einem Zeitpunkte t muß der früher (S. 21) bewiesene Satz aus dem Grunde gültig bleiben, weil mit dem Begriffe der Geschwindigkeit grundsätzlich die Vorstellung verbunden ist, daß man jede krummlinige Bewegung für ein unendlich kleines Zeitteilchen als geradlinig und gleichförmig betrachten darf, so daß man es in jedem Zeitpunkte nur mit der Zusammensetzung der Geschwindigkeit solcher einfachen Bewegungen zu tun hat.

Dass auch bezüglich der Beschleunigungen das Entsprechende gilt, ergibt sich durch folgende Betrachtung: AB und AC (Fig. 30)

seien die Seitenbewegungen während eines Zeitteilchens; w und w+dw bezw. u und u+du die Seitengeschwindigkeiten zu Anfang und zu Ende desselben. Man trage w und w+dw von einem Punkte O aus auf. Setze daran die Strecken PR=u bezw. QS=u+du. Dann ist OR=v die wahre Geschwindigkeit im Zeitpunkte t, OS=v+dv diejenige im Zeitpunkte t+dt. Darnach wird dann  $RS=r\cdot dt$  die Elementarbeschleunigung und r=RS:dt die Beschleunigung der Mittelbewegung;  $PQ=p\cdot dt$  ist die Elementarbeschleunigung der ersten Seiten-



bewegung. Macht man nun  $QT = \text{und} \parallel PR = u$ , so wird TS = q'dt die zweite Elementarbeschleunigung, und weil

$$RT \# PQ = p \cdot dt$$

so erscheint  $RS = r \cdot dt$  als Schlusslinie eines Streckenzuges aus

 $RT = p \cdot dt$  und  $TS = q \cdot dt$ . Mithin muß auch r die Schlußlinie eines Streckenzuges aus p und q sein. Damit ist der Satz vom Dreieck oder Parallelogramm der Beschleunigungen allgemein bewiesen. Die Erweiterung zum Satze vom Parallelepiped bezw. räumlichen Viereck der Beschleunigungen hat keine Schwierigkeit.

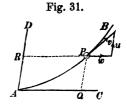
Erfährt aber die Bahnlinie AB nicht eine einfache Parallelverschiebung, sondern eine allgemeinere Bewegung, so werden die Beziehungen der wahren oder Mittelbewegung verwickelter; dieser schwierige Fall wird erst später in der Allgemeinen Mechanik behandelt.

## d) Zerlegung von Bewegungen, Geschwindigkeiten und Beschleunigungen.

Wie man aus zwei bezw. drei gleichzeitigen Seitenbewegungen mit Hülfe der Gesetze vom Dreieck bezw. Viereck der Bewegungen die Mittelbewegung finden konnte, wie ferner die Seitengeschwindigkeiten und Beschleunigungen zu den Mittel-Geschwindigkeiten und Beschleunigungen sich zusammensetzen ließen, so kann auch umgekehrt jede Bewegung eines Massenpunktes in der Ebene oder im Raum in zwei bezw. drei geradlinige Seitenbewegungen zerlegt oder durch diese ersetzt werden, und das Gleiche gilt auch bezüglich der Geschwindigkeiten und Beschleunigungen.

Ist z. B. die Bewegung eines Massenpunktes in einer ebenen Kurve AB gegeben (Fig. 31), kennen wir also für jeden Zeit-

wert t den Ort P des Punktes in der Kurve, so kann man durch A zwei mit der Kurve in derselben Ebene liegende Gerade AC und AD legen und nach deren Richtungen die gegebene Bewegung zerlegen. Sind PQ und PR parallel zu AC und AD, so kann die gegebene Bewegung AP vollständig

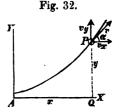


durch diese Seitenbewegungen ersetzt werden, sobald nur deren Bewegungsgesetze so geregelt sind, daß für jeden Zeitpunkt t die Orte P, Q und R der fraglichen Bewegungen einem solchen Parallelogramm AQPR angehören. Wird aus der Geschwindigkeit v der gegebenen Bewegung und den Seitenrichtungen AC und AD ein Dreieck gezeichnet, so sind die zu AC und AD parallelen Seiten zugleich die Geschwindigkeiten w und u der

Seitenbewegungen, oder es ist v in die Seitengeschwindigkeiten w und u zerlegt.

Für die Behandlung krummliniger Bewegungen bietet eine solche Zerlegung außerordentliche Erleichterung; sie schließt sich auch unmittelbar dem Verfahren der analytischen Geometrie an, welche ja auch einen Punkt P in einer Ebene durch zwei Koordinaten x und y gegen 2 Achsenrichtungen festlegt. In den meisten Fällen legt man die Achsen rechtwinklig zueinander.

Soll die Bewegung des Punktes P(Fig. 32) in der xy-Ebene völlig bekannt sein, so muß man für jeden Zeitpunkt t sowohl x als auch y kennen, oder es müssen x und y als Funktionen von t gegeben sein. Jede der Funktionen x = f(t) und  $y = \varphi(t)$  kann aber für sich allein als das Gesetz einer



geradlinigen Seitenbewegung aufgefaßt werden, und zwar würden für den Zeitpunkt t die Seitenbewegungen AQ = x und PQ = y sein, deren Vereinigung den Massenpunkt richtig nach seinem Orte P führt. Diese beiden Bewegungsgleichungen bestimmen die Bewegung des Massenpunktes vollständig und in einfachster Weise. Bezeichnet man die Seitengeschwindigkeiten in den beiden Achsenrichtungen mit  $v_x$  und  $v_y$ , ebenso die Seitenbeschleunigungen mit  $p_x$  und  $p_y$ , so ist nach S. 6

$$v_x = \frac{dy}{dt}$$
;  $v_y = \frac{dy}{dt}$ . Für die wahre Geschwindigkeit gilt dann  $v = \sqrt{v_x^2 + v_y^2} = \sqrt{\left(\frac{dx}{dt}\right)^2 + \left(\frac{dy}{dt}\right)^2} = \sqrt{\frac{dx^2 + dy^2}{dt}}$ ,

also, wie bei der geradlinigen Bewegung  $v = \frac{ds}{dt}$ . Ferner ist

$$\operatorname{tg} \alpha = \frac{v_y}{v_x} = \frac{\frac{dy}{dt}}{\frac{dx}{dt}} = \frac{dy}{dx},$$

d. h. die Richtung der Geschwindigkeit v stimmt mit der Richtung der Bewegung überein.

Nach S. 15 ist

$$p_{x} = \frac{dv_{x}}{dt} = \frac{d^{2}x}{dt^{2}}; \ p_{y} = \frac{dv_{y}}{dt} = \frac{d^{2}y}{dt^{2}};$$

für die wahre Beschleunigung gilt

$$p = \sqrt[V]{p_x^2 + p_y^2} = \sqrt[V]{\left(\frac{d^2x}{dt^2}\right)^2 + \left(\frac{d^2y}{dt^2}\right)^2}$$
 und 
$$\operatorname{tg} \varphi = \frac{p_y}{p_x} = \frac{\frac{d^2y}{dt^2}}{\frac{d^2x}{dt^2}}.$$

Da dieser Wert im allgemeinen von tg  $\alpha = \frac{dy}{dx}$  verschieden ist, so fallen, wie bereits S. 25 besprochen, die Richtungen der Beschleunigung und der Bewegung im allgemeinen nicht zusammen.

Erfolgt die Bewegung des Massenpunktes nicht in einer Ebene, sondern in einer räumlichen Kurve, so sind die drei rechtwinkligen Koordinaten des Ortes P als Funktionen der Zeit auszudrücken, und es können dann wieder die Gleichungen  $x=f(t);\ y=\varphi(t);\ z=\psi(t)$  als Gesetze dreier Seitenbewegungen aufgefaßt werden, deren Zusammenwirken die räumliche Bewegung des Massenpunktes vollständig wiedergibt. Es entsteht in ähnlicher Weise

$$v_x = \frac{dx}{dt}$$
:  $v_y = \frac{dy}{dt}$ ;  $v_z = \frac{dz}{dt}$ ;  $v = \sqrt{v_x^2 + v_y^2 + v_z^2} = \frac{ds}{dt}$ ;

ferner nach S. 23

$$\cos \alpha = \frac{v_x}{v} = \frac{dx}{ds}; \cos \beta = \frac{v_y}{v} = \frac{dy}{ds}; \cos \gamma = \frac{v_z}{v} = \frac{dz}{ds};$$

Für die Beschleunigungen ergibt sich das Entsprechende.

Beispiel: Für eine ebene Bewegung sind gegeben die Gleichungen  $x = a (1 - \cos t); y = b \sin t.$ 

Um hieraus die Gleichung der Bahnlinie zu finden, entferne man t. Es wird

$$\cos t = \frac{a-x}{a}; \sin t = \frac{y}{b},$$

mithin durch Quadrieren und Zusammenzählen:

$$\cos^2 t + \sin^2 t = 1 = \frac{(a-x)^2}{a^2} + \frac{y^2}{b^2}$$

Dies ist die Gleichung einer Ellipse (Fig. 33), aber nicht bezogen auf den Mittelpunkt M, sondern auf den Endpunkt A der Halbachse a. Denn sobald man  $a - x = x_1$  setzt, wird

Fig. 33.

aus obiger Gleichung die bekannte Formel  $1 = \frac{{x_1}^2}{a^2} + \frac{y^2}{b^2}$ 

· Die Seitengeschwindigkeiten sind:

$$v_x = \frac{dx}{dt} = a \sin t = \frac{a}{b} y$$

$$v_y = \frac{dy}{dt} = b \cos t = b \left( 1 - \frac{x}{a} \right).$$

Für t=0 ist x=y=0;  $v_x=0$ ;  $v_y=b$  (entsprechend dem Punkte A); für  $t=\frac{1}{2}\pi=1$ , t=1, sek. ist sin t=1, cos t=0,

x = a; y = b;  $v_x = a$ ;  $v_y = 0$ , enterpechand dem Punkte B;

für  $t = \pi = 3,14$  Sek. ist sin t = 0, cos t = -1,

x=2  $a; y=0; v_x=0; v_y=-b$ , entsprechend dem Punkte C; für  $t=\frac{3}{2}\pi$  ist  $\sin t=-1$ ,  $\cos t=0$ .

x = a; y = -b;  $v_x = -a$ ;  $v_y = 0$ ; enterprechend dem Punkte D.

Für fortlaufende Zeit nehmen x und y immer wieder dieselben Werte an, so oft sich t um  $2\pi$  geändert hat. Die Ellipse wird hiernach fortwährend in derselben Richtung durchlaufen, und ein Umlauf erfordert  $2\pi$  Sekunden. Für die Beschleunigungen gilt

$$p_x = \frac{dv_x}{dt} = \cos t = a - x = x_1$$
$$p_y = \frac{dv_y}{dt} = -b \sin t = -y.$$

Die Seitenbeschleunigungen werden also der Größe nach gemessen durch die Mittelpunkts-Koordinaten des Punktes P; u. zw. ist  $p_x = a - x = x_1$  nach rechts,  $p_y = -y$  aber, wegen des negativen Zeichens, nach unten gerichtet. Es wird

 $p = \sqrt{(a-x)^2 + y^2} = r = \text{dem Mittelpunkts-Fahrstrahle } PM$ , u. zw. ist der Sinn von p stets nach dem Mittelpunkte M gerichtet.

### 4. Physikalische Grundgesetze der Mechanik.

In dem vorstehenden haben wir die Bewegungen als gegeben angesehen und gewisse kennzeichnende Merkmale und Eigenschaften derselben aufgeführt. Die Betrachtungen waren rein mathematische; wenn auch das Bewegliche als Massenpunkt bezeichnet wurde, so geschah dies nur zur Erleichterung der Vorstellung.

Wollen wir nun aber die Bewegung eines Massenpunktes aus ihren Ursachen, den Kräften herleiten, so bedürfen wir gewisser physikalischer Grundgesetze, die sich nicht mathematisch beweisen lassen, die auch nicht ohne weiteres selbstverständlich sind, deren Richtigkeit aber dadurch genügend sichergestellt ist, daß alle Ergebnisse, welche daraus gezogen werden, mit der Beobachtung übereinstimmen (Erfahrungsgesetze).

Der erste Grundsatz ist das von Galilei im Jahre 1638 ausgesprochene Gesetz der Trägheit: Jeder Massenpunkt bleibt im Zustande der Ruhe oder der geradlinigen, gleichförmigen Bewegung, solange er nicht durch äußere Einwirkungen zu einer Änderung dieses Zustandes veranlaßt wird.

Hiernach bedarf ein Massenpunkt zur Fortsetzung einer Bewegung mit gleichbleibender Richtung und Geschwindigkeit keiner äußeren Einwirkung. Zu einer Abweichung aber von der geradlinig-gleichförmigen Bewegung ist eine Ursache, eine Kraft erforderlich. Eine solche Kraftwirkung, der ein Massenpunkt ausgesetzt ist, geht aber, so lehrt die Erfahrung, stets wieder von einem anderen Massenpunkt aus; man kann daher sagen: Unter "Kraft" versteht man die Einwirkung eines Massenpunktes auf die Bewegung eines anderen. — Die Wirkung einer Kraft besteht in einer Größen- oder Richtungs-Änderung der Geschwindigkeit eines Massenpunktes.

Eine nach Größe und Richtung gleichbleibende Beschleunigung, wie sie bei der geradlinigen, gleichförmig beschleunigten Bewegung eines Massenpunktes vorkommt, wird als die Wirkung einer ebenfalls nach Größe und Richtung gleichbleibenden Kraft angesehen. Richtung und Sinn der Kraft werden als übereinstimmend mit denen der entsprechenden Beschleunigung bezeichnet. Derjenige Massenpunkt aber, von dem die Kraftwirkung ausgeht, ist auf der Richtungslinie der Kraft zu suchen.

Wenn auf denselben Massenpunkt zu verschiedenen Zeiten zwei Kräfte K und  $K_1$  wirken und die Beschleunigungen p bezw.  $p_1$  hervorbringen, so bezeichnet man die Größen der Kräfte als verhältnisgleich mit den Beschleunigungen, setzt also  $\frac{K}{K_1} = \frac{p}{p_1}$  oder

 $\frac{p}{p_1}=\frac{K}{K_1}$ . Wenn aber die gleiche Kraftwirkung, auf verschiedene Massenpunkte ausgeübt, die verschiedenen Beschleunigungen p und  $p_1$  hervorbringt, so erklärt man diese abweichende Wirkung aus der verschiedenen Massengröße der beiden Punkte, und zwar bezeichnet man diejenige Masse als die größere, welche durch die gegebene Kraft die kleinere Beschleunigung erfährt,

und setzt die Massen m und  $m_1$  in umgekehrtes Verhältnis zu den entstehenden Beschleunigungen p und  $p_1$ , also  $\frac{m}{m_1} = \frac{p_1}{p}$  oder  $\frac{p}{p_1} = \frac{m_1}{m}$ . Die Masse eines Körpers ist völlig unveränderlich, wird sogar durch chemische Umwandlung in keiner Weise beeinflußt. Die Beschleunigung aber, die ein Massenpunkt erfährt, ist, wie die Erfahrung lehrt, nur von ihrer Ursache, der Kraftgröße, und von der Masse des Punktes abhängig. Da nun nach dem vorstehenden die Beschleunigung einmal in gleichem Verhältnisse zu der Kraft, ein anderes Mal im umgekehrten Verhältnisse zu der Masse steht, so gelangt man zu dem zweiten Grundgesetze, dem Beschleunigungsgesetze: Jede Kraft K, die auf einen Punkt von der Masse m wirkt, erteilt diesem eine Beschleunigung p, welche verhältnisgleich der Kraft und umgekehrt verhältnisgleich der Masse ist.

Man kann hiernach setzen  $p=a\cdot\frac{K}{m}$ . Darin bedeutet a eine Zahl, die sich offenbar nach den für Beschleunigung, Kraft und Masse gewählten Einheiten richtet. Umgekehrt kann man aber auch den Wert a willkürlich annehmen, wenn man zugleich auf die freie Wahl einer der drei Einheiten, z. B. der Masseneinheit, verzichtet. Man hat es nun zweckmäßig gefunden, a=1 zu setzen, so daß einfach

$$p=\frac{K}{m},$$

Die Beschleunigung messen wir in der Regel nach <sup>m</sup>/<sub>sek\*</sub>; wenn später in einzelnen Fällen es zweckmäßig wird, diese Größe in <sup>cm</sup>/<sub>sek\*</sub> auszudrücken, so ergibt sich leicht, welche sonstige Änderung damit verbunden ist.

Wie man die Krafteinheit zweckmäßig wählt und wie daraus dann die Masseneinheit sich von selbst ergibt (infolge der willkürlichen Setzung a=1), kann erst mit Hülfe des folgenden Grundgesetzes erklärt werden.

Drittes Grundgesetz, Gesetz der Schwere: Die Erde übt auf jeden Massenpunkt an ihrer Oberfläche eine Kraft aus, welche lotrecht abwärts gerichtet ist und jedem Massenpunkte die gleiche Beschleunigung erteilt. Diese Kraft heist die Schwerkraft oder das Gewicht des Massenpunktes, und die völlig gleiche Beschleunigung g heist die Beschleunigung der Schwere oder die Fallbeschleunigung.

Ist also Q das Gewicht einer Masse m, so ergibt sich hiernach  $g=Q\colon m$ , oder — weil g für alle Massen gleich — es ist das Gewicht eines Massenpunktes seiner Masse verhältnisgleich und umgekehrt.

$$Q = mg.$$

Die Fallbeschleunigung g ist für verschiedene Punkte der Erdoberfläche allerdings etwas verschieden, aus Gründen, die später erläutert werden sollen; es ändert das aber an dem vorstehenden Gesetze nichts; denn dieses soll zunächst nur ausdrücken, daß an derselben Stelle der Erdoberfläche verschiedene Massenpunkte übereinstimmende Fallbeschleunigung g erfahren, daß die auf die Massen ausgeübten Schwerkräfte verhältnisgleich ihren Massen sind.

Unter 45° geographischer Breite und in der Höhe des Meeresspiegels beträgt die Fallbeschleunigung  $g_{45} = 9,806 \, \mathrm{m}/\mathrm{sek^3}$ . In Berlin ist g = 9,813, in Hannover ebenfalls = 9,813 (S. 94).

Das Gewicht eines Liters Wasser im Zustande der größten Dichte (bei etwa  $4^{\circ}$  C.) heißt das Kilogramm und dient als Gewichtseinheit. Da dieser Wasserkörper eine ganz bestimmte Masse enthält, so ist seine Schwere Q wegen der Veränderlichkeit von g an verschiedenen Stellen der Erdoberfläche etwas verschieden. Das Gewicht eines Liters Wasser (bei  $4^{\circ}$  C.) an denjenig en Stellen der Erde, wo  $g=9,806\,\mathrm{m/sek^2}$  beträgt, wählen wir zur Krafteinheit und bezeichnen es als Kilogramm (kg). — An anderen Stellen der Erde wird das Gewicht eines Liters Wasser dann von  $1^{kg}$  etwas verschieden ausfallen, sich nämlich verhältnisgleich mit g ändern. Für technische Anwendungen kann diese Veränderlichkeit meist unberücksichtigt bleiben, indem man für die meisten Fälle einfach g=9,81 setzt. Nur grundsätzlich muß die

Stelle der Erde bezeichnet werden, wo das Gewicht von 1 Wasser gleich unserer technischen Krafteinheit, dem Kilogramm, ist.

Um nun die Masseneinheit kennen zu lernen, brauchen wir in der Gleichung  $Q=mg_{45}$  nur m=1 zu setzen, dann wird das Gewicht dieser Masseneinheit  $Q_1=g_{45}=9,806$  kg.

Die Masseneinheit ist also die Masse eines Körpers, der unter 45° geographischer Breite 9,806 kg wiegt, oder die in 9,806 Litern Wasser von 4°C. enthaltene Masse.

Masseinheiten der Physik. Da die Masse eines Körpers völlig unveränderlich ist, so liegt es eigentlich näher, einen Wasserkörper von abgerundeten Massen als Masseneinheit zu Grunde zu legen, wonach dann infolge der Gleichung 1 (S. 32) mit K=1 und m=1 auch p=1 werden, d. h. diejenige Kraft zur Krafteinheit werden würde, welche der Masseneinheit eine Beschleunigung 1 erteilt. So bezeichnet die neuere Physik die Masse eines Kubikcentimeters Wasser als Masseneinheit und nennt diese Masseneinheit das Gramm. Als Längeneinheit dient das Centimeter, als Zeiteinheit die Sekunde, so dass die Beschleunigung nach cm/sek2 gemessen wird Die Krafteinheit der Physik, die Dyne, ist diejenige Kraft, welche einem Kubikcentimeter Wasser eine Beschleunigung = 1 cm/sek2 erteilt. Das Gewicht eines Kubikcentimeters Wasser, d. h.  $\frac{1}{1000}$  unserer Krafteinheit, erteilt diesem Körper die Beschleunigung  $g = 981 \, \text{cm/sek}^3$ , ist also gleich 981 Dynen; unsere Krafteinheit, das Kilogramm, daher gleich 981000 Dynen. Für die technische Anwendung der Mechanik ist die Wahl dieser Krafteinheit, wenngleich sie wissenschaftlich große Vorzüge besitzt, nicht recht zweckmäßig. Bei den Aufgaben des Technikers kommt es meist darauf an, Schwerkräfte zu benutzen, oder ihnen entgegenzuwirken. Diese Schwerkräfte sind dann unmittelbar in Kilogrammen gegeben, und die Endergebnisse müssen für die Ausführung auch meist Gewichte oder sonstige Kräfte in Kilogrammen ausdrücken. Es würden daher bei den Aufgaben häufig Umwandlungen von Kilogrammen in Dyne und umgekehrt erforderlich werden. Ähnliche Umwandlungen müssen, streng genommen, freilich auch bei der Wahl unserer Krafteinheit ausgeführt werden, wenn die fraglichen Körper sich nicht unter 45° geographischer Breite befinden, sondern an einem Orte, wo g von 9,806 abweicht. Doch sind diese Abweichungen meist so gering, dass sie für die Anwendung keine Bedeutung haben.

Viertes Grundgesetz: Gesetz der Wechselwirkung. Die Kräfte, mit denen zwei Massenpunkte aufeinander wirken, treten stets paarweise in gleicher Größe aber entgegengesetztem Sinn auf. Es wurde schon erwähnt (S. 31), daß eine Kraft K, die auf einen Massenpunkt m wirkt, von irgend einem anderen, in der Richtungslinie der Kraft befindlichen

Massenpunkt  $m_1$  ausgehen müsse. Die Erfahrung lehrt nun aber, dass dann m auf  $m_1$  dieselbe Kraft K, nur in entgegengesetztem Sinne (mit entgegengesetztem Pfeil), ausübt. Dies Gesetz wurde schon von Galilei (geb. 1564 zu Pisa, gest. 1642 zu Arcetri) und Huyghens (geb. 1629 im Haag, gest. 1695 daselbst) angewandt, ist aber erst von Newton (geb. 1643 zu Woolstorpe, gest. 1726 zu Kensington) im Jahre 1687 bestimmt ausgesprochen worden.

Beispiel 1: Der auf S. 13 behandelte Eisenbahnzug erfuhr bei der sog. Anfahrt eine Beschleunigung  $p=0,_{14}\,\mathrm{m/sek^2}$ . Wenn nun das Gewicht des ganzen Eisenbahnzuges 200 000 kg beträgt, wie groß ist dann die zur Beschleunigung erforderliche Kraft K? Die Masse des Zuges ist  $m=200\,000:g$  Masseneinheiten, mithin ist  $K=mp=200\,000\:p:g$ . Für solche Stellen der Erde, für welche  $g=9,_{81}$  gesetzt werden kann, ist  $^{1}/_{g}=0,_{102}$ , mithin

$$K = 200\,000 \cdot 0.14 \cdot 0.102 = 2856 \,\mathrm{kg}$$

Setzt man annähernd  $g=10,\ ^1/_{\rm g}=0,$ 1, was für überschlägliche Rechnungen zulässig, so wird K=2800 kg.

Beispiel 2: Das auf S 16 behandelte Geschofs erfuhr eine Beschleunigung  $p = 100\,000$ . Wie groß ist die Ausdehnungskraft der Pulvergase, wenn das Geschofs  $20\,\mathrm{g} = 0,01\,\mathrm{kg}$  wiegt? Es ist m = 0,02:9,81 = 2:981, mithin  $K = 2\cdot 100\,000:981 = 204\,\mathrm{kg}$ ; für g = 10 wird K = 200.

## 5. Geradlinige Bewegung unter alleiniger Einwirkung der Schwere.

Hält man einen Punkt von der Masse m ruhend zwischen den Fingern, so wird die Schwerkraft durch die Muskelkraft der Finger aufgehoben, indem die Kraftwirkungen der Finger auf den Massenpunkt eine Gesamtkraft ausüben, welche dem Gewichte mg genau gleich und entgegengesetzt ist. Öffnet man aber die Finger der Hand nach unten, so kommt die Schwere zur alleinigen Wirkung und erteilt dem Massenpunkte die Beschleunigung g. Der Punkt hatte vorher keine Bewegung, d. h. die Geschwindigkeit

natte vorner keine Bewegung, d. n. die Geschwindigkeit c=0; es entsteht nun eine gleichförmig beschleunigte Bewegung in der Richtung der Schwere, also lotrecht abwärts. Nach t Sekunden ist die Geschwindigkeit im Punkte P (Fig. 34) nach Gl. 2, S. 11:

$$v=gt,$$

die zurückgelegte Wegeslänge

2) 
$$s = \frac{1}{2}gt^2$$
 (nach Gl. 4, S. 12).

Fig. 34.

Wenn man aus Gl. 1 t = v : g entnimmt und in Gl. 2 einsetzt, so entsteht auch

3) 
$$s = \frac{g}{2} \frac{v^2}{g^2} = \frac{v^2}{2g}$$
 oder  $v = \sqrt{2gs}$ .

Die lotrechte Wegeslänge, welche ein Massenpunkt durchfallen muß, um ganz allein durch die Wirkung der Schwere die Geschwindigkeit v zu erreichen, d. h. den Wert  $s = \frac{v^2}{2g}$  nennt man die der Geschwindigkeit v entsprechende Geschwindigkeitshöhe.

Für g = 9.81 wird

$$\frac{1}{2g} = 0.051 = \text{rund } 0.05 \text{ und } \sqrt{2g} = 4.429, = \text{rund } 4.4, \text{ mithin}$$
  
 $s = 0.05 \ v^2 : v = 4.4 \ \sqrt{s}.$ 

Beispiel: Durchsinkt ein Massenpunkt in freiem Fall eine Höhe s=4 m, so erreicht er eine Fallgeschwindigkeit  $v=4.4 \sqrt{4}=8.8$  m/sek. Die dazu erforderliche Zeit ist

$$t = 8.8 : 9.81 = 8.8 \cdot 0.1 = 0.88 \text{ sek}$$
.

Bei der geradlinigen Bewegung stimmen die Richtungen der Geschwindigkeit und der Beschleunigung überein, bei der krummlinigen aber nicht; mithin kann eine geradlinige Bewegung nur entstehen, wenn die Richtung der wirkenden Kraft mit derjenigen der Anfangsgeschwindigkeit übereinstimmt und sich während der Bewegung nicht ändert. Erteilt man also einem Massenpunkte mit der Hand eine derartige Bewegung, daß er in dem Augenblicke, wo die Hand den Punkt freiläßt, eine Geschwindigkeit c hat, so ist diese die Anfangsgeschwindigkeit für die unter alleiniger Wirkung der Schwere erfolgende Wurfbewegung, und letztere kann nur geradlinig werden, wenn die Anfangsgeschwindigkeit c lotrecht gerichtet ist.

Ist c lotrecht nach unten gerichtet, so entsteht wiederum eine beschleunigte Bewegung; es wird (Fig. 34) nach t Sekunden

$$v = c + gt$$
;  $s = ct + \frac{1}{2}gt^2 = \frac{(v+c)}{2}t = \frac{v^2 - c^2}{2g}$ , Fig. 35.

also auch  $v = \sqrt{c^2 + 2gs}$ .

Bei aufwärts gerichtetem Wurf aber (Fig. 35) entsteht eine gleichförmig verzögerte Bewegung. Nach t Sekunden ist v=c-gt;  $s=ct-1/2\,gt^2=\frac{c^2-v^2}{2\,g}$ ,  $v=\sqrt[3]{c^2-2\,gs}$ .



Nach  $t_1 = c/g$  Sekunden ist die Geschwindigkeit c durch die Verzögerung aufgezehrt; es ist v=0 und damit die größte mögliche Höhe, die Steighöhe  $AB = h = \frac{c^2}{2a}$  erreicht. Die Steighöhe ist hiernach gleich der Geschwindigkeitshöhe, welche der Anfangsgeschwindigkeit c entspricht. Ist der Massenpunkt an der höchsten Stelle B (Fig. 35) mit der Geschwindigkeit Null angelangt, so geht er nun sofort in eine Fallbewegung über; die Geschwindigkeit  $v_1$ , mit der der Massenpunkt die Anfangsstelle A wieder erreicht, ist  $v_1 = \sqrt{2gh}$  und weil  $h = \frac{c^2}{2g}$  war,  $v_1 = c$ , mithin gleich der aufwärts gerichteten Anfangsgeschwindigkeit, nur jetzt abwärts gerichtet. Auch die Zeit des Niederfallens  $t_2 = c/g$  ist gleich der Dauer  $t_1 = c/g$  des Steigens; überhaupt erfolgen Abwärts- und Aufwärtsbewegung ganz symmetrisch zu der Höchstlage, insofern jeder Punkt P die Bahnlinie beim Fallen mit derselben Geschwindigkeit v durchlaufen wird wie beim Steigen.

Beispiel: Ein Massenpunkt werde mit der Geschwindigkeit  $c=9\,\mathrm{m/sek}$  aufwärts geworfen. Dann ist die Steighöhe  $h=c^2:2\,g=81\cdot0.05=4.05\,\mathrm{m};$  die Steigdauer  $t_1=c/g=9\cdot0.1=0.6\,\mathrm{sek}.$  Ebensolange währt das Herabfallen; mit der Geschwindigkeit  $c=9\,\mathrm{m/sek}$  trifft der Punkt unten wieder ein. — Wurfgeschwindigkeiten, die man einem Massenpunkt erteilt, lassen sich schwer unmittelbar abmessen oder beurteilen. Dazu kann aber ein aufwärts gerichteter Wurf dienen, indem man die Dauer der Steig- und Fallbewegung zusammen beobachtet. Nennt man diese  $t_3$ , so ist  $t_3=2\,c/g$ , mithin  $c=1/2\,g\,t_3$ .

Ein Massenpunkt werde lotrecht aufwärts geworfen und lange nach  $t_3=6$  Sek. unten wieder an. Dann war seine Anfangsgeschwindigkeit  $c=\frac{1}{2}g\cdot 6=\text{rund }30$ , die erreichte Höhe

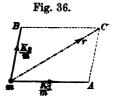
$$h = \frac{c^2}{2g} = \frac{1}{4} \frac{g^2 t_3^2}{2g} = \frac{1}{8} g t_3^2 = 45 \text{ m}.$$

Bei all diesen Betrachtungen war vorausgesetzt, dass auf den Massenpunkt nur die Schwere als Kraft wirke. Bei Fall- und Wurfbewegungen in freier Luft tritt aber ein Luftwiderstand der Bewegung entgegen, der an dieser Stelle noch nicht berücksichtigt werden kann. Es sei nur bemerkt, dass dieser Widerstand unbedeutenden Einflus hat bei Massenpunkten aus dichtem Stoff und bei kleinen Geschwindigkeiten. Wirft man eine Blei- oder Eisenkugel mit der Hand, so kann der Luftwiderstand meist vernachlässigt werden, während lockere Massen einen großen Luftwiderstand ersahren. Auch bei den großen Geschwindigkeiten der Geschosse hat der (mit dem Quadrate der Geschwindigkeit wachsende) Luftwiderstand so bedeutenden Einflus, dass vorstehende einfache Gleichungen für solche Fälle durchaus nicht mehr verwendbar sind.

### 6. Zusammensetzung und Zerlegung der Kräfte.

Auf einen Massenpunkt m (Fig. 36) mögen gleichzeitig 2 Kräfte  $K_1$  und  $K_2$  wirken; dann bringt nach dem Satz auf S. 32 jede

von ihnen eine entsprechende Beschleunigung  $p_1 = K_1 : m$ ;  $p_2 = K_2 : m$  hervor. Denken wir uns diese Beschleunigungen, denen der Punkt m gleichzeitig unterworfen ist, durch mA und mB dargestellt, so lassen sich beide nach dem Satz auf S. 23 durch eine Mittelbeschleunigung r ersetzen, die man erhält, indem man die Seitenbeschleunigungen zu einem Streckenzug

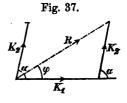


mAC zusammensetzt; die Schlußlinie mC ist dann die wahre oder Mittelbeschleunigung des Punktes m unter der Einwirkung der Kräfte  $K_1$  und  $K_2$ . Dieselbe Beschleunigung r würde aber auch entstehen, wenn in der Richtung m C auf den Punkt m eine Kraft. R = mr wirkte. Zeichnet man daher einen Streckenzug aus den Kräften  $K_1$  und  $K_2$  (statt aus den Beschleunigungen), so wird die Schlusslinie die Größe R=mr bekommen und nach Richtung und Sinn mit r übereinstimmen. Die so erhaltene Kraft R istdann den gegebenen Kräften  $K_1$  und  $K_2$  völlig gleichwertig und heißt ihre Mittelkraft oder Resultierende. Es folgt also der Satz vom Dreieck (oder vom Parallelogramm) der Kräfte: Die Mittelkraft zweier gegebenen Kräfte wird nach Größe, Richtung und Sinn durch die Schlußsseite des aus den gegebenen Kräften gebildeten Streckenzuges, also durch die geometrische Summe der Seitenkräfte, (oder durch die Diagonale des aus ihnen gezeichneten Parallelogramms) dargestellt.

Für die Berechnung ergeben sich (Fig. 37), wie bei der Zusammensetzung der Geschwindigkeiten (S. 21) gezeigt wurde, die Formeln:

1) 
$$R = \sqrt{K_1^2 + K_2^2 + 2 K_1 K_2 \cos \alpha}$$

$$\sin \varphi = \sin \alpha \, \frac{K_2}{R}.$$



Wird  $\alpha=0$ , d. h. haben die beiden Kräfte übereinstimmende Richtung und gleichen Sinn, so wird die Mittelkraft die wirkliche

Summe; haben sie aber (für  $\alpha=\pi$ ) entgegengesetzten Sinn, so wird die Mittelkraft gleich dem Unterschiede der gegebenen Kräfte und bekommt den Sinn der größeren von beiden. In diesen beiden Fällen stimmt die geometrische Summe mit der algebraischen Summe überein. Werden in letzterem Falle noch die beiden entgegengesetzten Kräfte K einander gleich, so ergibt sich die Mittelkraft zu Null; es bewegt sich dann der Massenpunkt ebenso, als ob gar keine Kraft auf ihn einwirkte, man sagt daher:

Zwei gleiche, aber entgegengesetzt gerichtete Kräfte heben sich an einem Massenpunkte vollständig auf oder halten einander das Gleichgewicht.

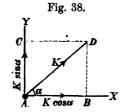
Stehen die beiden Kräfte rechtwinklig zueinander, so wird  $R = \sqrt{K_1^2 + K_2^2}$ ; tg  $\varphi = K_2 : K_1$ .

Kommt zu den Kräften  $K_1$  und  $K_2$  noch eine dritte  $K_3$  hinzu, die mit  $K_1$  und  $K_2$  nicht in derselben Ebene liegt, so hat man diese mit der Mittelkraft der beiden ersteren zusammenzusetzen, um die Mittelkraft R aller dreier Kräfte zu erhalten. Wie bei der Zusammensetzung der Geschwindigkeiten (S. 22) ausführlich erläutert, ergibt sich dann die Mittelkraft als Diagonale eines Parallelepipeds aus den drei Seitenkräften, oder als die Schlusseite eines räumlichen Streckenzuges der Seitenkräfte oder wiederum als deren geometrische Summe.

Wie Geschwindigkeiten und Beschleunigungen lassen sich selbstverständlich auch Kräfte in zwei bezw. drei Seitenkräfte zerlegen und durch diese völlig ersetzen.

Soll eine Kraft K nach zwei rechtwinklig aufeinander stehenden, mit ihr in derselben Ebene liegenden Achsenrichtungen zerlegt

werden (Fig. 38), so zieht man durch den Endpunkt D der Kraftstrecke AD eine Parallele DB zu AY; dann ist ABD der Streckenzug der Seitenkräfte. Schließt K mit der x-Achse den Winkel  $\alpha$  ein, so erhält man K cos  $\alpha$  und K sin  $\alpha$  als die Seitenkräfte. Soll die Zerlegung aber nach

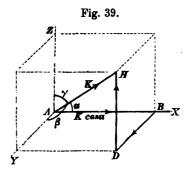


drei rechtwinklig zueinander stehenden Richtungen erfolgen (Fig. 39), welche mit der Kraft K bezw. die Winkel  $\alpha$ ,  $\beta$  und  $\gamma$  einschließen, so fällt man von H ein Lot HD auf die xy-Ebene und hat

damit die in die z-Achse fallende Seitenkraft  $K \cos \gamma$  mit dem Sinne von D nach H. Eine Parallele durch D zur y-Achse liefert die

Seitenkraft  $BD = K \cos \beta$  für die y-Richtung, und endlich ist  $AB = K \cos \alpha$  die Seitenkraft in der x-Richtung (vergl. S. 23, Fig. 25).

Greifen nun an einem Massenpunkte beliebig viele Kräfte  $K_1$ ,  $K_2 \ldots K_n$  mit beliebigen Richtungen an und will man deren Mittelkraft R nach Größe und Richtung finden, so legt man durch den Massenpunkt ein dreiachsiges Achsen-



kreuz, dessen Achsen mit den gegebenen Kräften die als bekannt zu betrachtenden Richtungswinkel  $\alpha_1$ ,  $\beta_1$ ,  $\gamma_1$ ;  $\alpha_2$ ,  $\beta_2$ ,  $\gamma_2$ ; ...  $\alpha_n$ ,  $\beta_n$ ,  $\gamma_n$  einschließen. Sodann zerlegt man jede der gegebenen Kräfte in drei Seitenkräfte, welche mit den Achsenrichtungen zusammenfallen, ersetzt also  $K_1$  durch  $K_1$  cos  $\alpha_1$ ,  $K_1$  cos  $\beta_1$ ,  $K_1$  cos  $\gamma_1$  u. s. f. Dadurch erhält man freilich die dreifache Anzahl der Kräfte, die aber nun in drei ganz bestimmten Richtungen liegen. Dann können die in die x-Richtung fallenden Seitenkräfte  $K_1$  cos  $\alpha_1$ ,  $K_2$  cos  $\alpha_2$  ...  $K_n$  cos  $\alpha_n$  durch eine einzige in derselben Richtung wirkende Kraft X gleich der algebraischen Summe der Seitenkräfte

3) 
$$X = K_1 \cos \alpha_1 + K_2 \cos \alpha_2 + \dots K_n \cos \alpha_n,$$

was man kürzer schreibt  $X = \Sigma K \cos \alpha$ , ersetzt werden, während sich in den anderen Richtungen in gleicher Weise ergibt:

$$Y = \Sigma K \cos \beta; Z = \Sigma K \cos \gamma.$$

Die drei rechtwinklig zueinander stehenden Seitenkräfte X, Y, Z lassen sich nun durch ihre geometrische Summe

$$4) R = \sqrt{X^2 + Y^2 + Z^2}$$

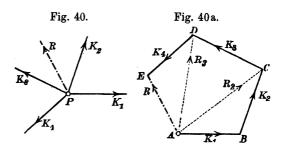
ersetzen, welche mit den drei Achsenrichtungen die Winkel  $\alpha$ ,  $\beta$  und  $\gamma$  einschließt. Da nun X die Seitenkraft von R in der x-Richtung, also  $X = R \cos \alpha$ , so wird

5) 
$$\cos \alpha = \frac{X}{R}$$
; ebenso  $\cos \beta = \frac{Y}{R}$ ;  $\cos \gamma = \frac{Z}{R}$ .

Damit ist die Mittelkraft R nach Größe und Richtung bestimmt. Da in den algebraischen Summen auf die Reihenfolge der Summanden nichts ankommt, so ist die Reihenfolge in der Zusammensetzung der Kräfte gleichgültig.

Auch durch Zeichnung kann man beliebig viele, beispielsweise vier Kräfte  $K_1$  bis  $K_4$  zusammensetzen. Von einem beliebigen

Punkt A aus setze man in einer Hülfsfigur 40a zuerst  $K_1$  und  $K_2$  zu einem Streckenzuge zusammen; dann ist die Schlufslinie  $AC=R_2$  die Mittelkraft beider. Mit dieser fügt man

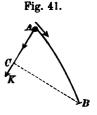


in gleicher Weise  $K_3$  zusammen, indem man den Streckenzug  $R_2$ ,  $K_3$  mit der Mittelkraft  $R_3 = AD$  bildet. Daran schließt sich in gleicher Weise  $K_4$ . Die Strecke AE, welche dann den gesamten Streckenzug der Kräfte  $K_1$  bis  $K_4$  schließt, ist offenbar die Mittelkraft R der gegebenen Seitenkräfte und ergibt sich wiederum als die geometrische Summe der Kräfte. Verlegt man diese nach Größe, Richtung und Sinn bestimmte Mittelkraft an den Massenpunkt m bei P (Fig. 40), so ist die Aufgabe gelöst. Die Hülfsfigur 40a heist (nach G. Lang), das Krafteck. Beim Zeichnen des Kraftecks hat man die zusammenzusetzenden Kräfte in solcher Weise aneinander zu reihen, dass in dem Streckenzug ABCDE die Pfeile übereinstimmenden Umfahrungssinn zeigen. — Diese Figur ist leicht zu zeichnen, wenn die gegebenen Kräfte in derselben Ebene, der Zeichenebene, liegen. Man erkennt aber leicht, dass, wenn diese Bedingung nicht erfüllt ist, das Krafteck grundsätzlich seine Bedeutung beibehält; nur bildet der Streckenzug der Kräfte dann ein räumliches Krafteck; aber immerhin stellt die Schlusslinie, d. h. die geometrische Summe der Kräfte, auch in solchen Fällen ihre Mittelkraft dar, deren zeichnerische Bestimmung dann freilich die Auftragung in Grundrifs und Aufris nach den Lehren der darstellenden Geometrie erfordert. Ist die Schlusslinie = Null, so halten sich die Kräfte im Gleichgewichte. Weiteres s. S. 65.

#### 7. Mechanische Arbeit einer Kraft.

Ein Massenpunkt m führe unter Einwirkung beliebiger Kräfte eine Bewegung von A nach B aus (Fig. 41). Eine der wirkenden Kräfte K sei gleichbleibend nach Größe und Richtung, so daß sie während der Bewegung stets ihrer Anfangsrichtung parallel bleibt.

Ist dann AC die rechtwinklige Projektion der Bahnlinie AB auf die Richtung der Kraft K, so nennt man AC die in der Kraftrichtung zurückgelegte Wegeslänge. Das Produkt aus der Kraft K und der in ihrer Richtung zurückgelegten Wegeslänge AC heifst dann die während der Bewegung AB von der Kraft K verrichtete mechanische Arbeit M.



Die in der Kraftrichtung zurückgelegte Wegeslänge AC gilt als positiv, wenn ihr Sinn mit dem der Kraft übereinstimmt

(Fig. 41) und umgekehrt. Bei dem Vorgange nach Fig. 42 ist AC negativ einzuführen und auch die Arbeit von K negativ, nämlich  $\mathfrak{A} = -K \cdot AC$ .

Ist die Kraft K nach Größe und Richtung nicht gleichbleibend, so ist die Bildung des Produktes  $K \cdot AC$  nicht möglich. Wenn

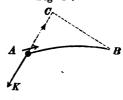
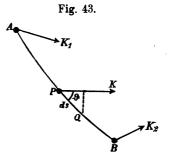


Fig. 42.

die Kraft bei A die Größe  $K_1$ , bei B die Größe  $K_2$  hat, an einem beliebigen Zwischenpunkte P aber = K war, so stellt man

sich vor, die Kraft behielte für ein Bewegungsteilchen PQ = ds Größe und Richtung bei und nähme erst bei Q plötzlich neue Größe und Richtung an. Diese Vorstellung der sprungweisen Änderung wird mit der wirklichen stetigen Änderung um so mehr übereinstimmen, je mehr das Bahnteilchen ds sich der Null nähert. Für das Bewegungsteilchen

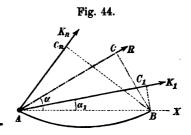


ist dann die Arbeit der Kraft K:  $d\mathfrak{A} = K \cdot ds \cdot \cos \vartheta$ . Als die Arbeit der veränderlichen Kraft K längs der endlichen Bewegung bezeichnet man nun  $\mathfrak{A} = \int K \cdot ds \cdot \cos \vartheta$ . Die Integration ist nur ausführbar, wenn man die Änderungsgesetze von K und  $\cos \vartheta$  kennt.

Steht die Kraft während eines beliebigen Teiles der Bewegung rechtwinklig zur Bahnlinie, so ist  $\cos \vartheta = 0$ , also auch  $d\mathfrak{A}$  und  $\mathfrak{A}$  während dieses Bewegungsstückes Null; oder: eine Kraft verrichtet keine mechanische Arbeit, solange sie rechtwinklig zur Bewegungsrichtung steht.

Ein Massenpunkt möge sich nun unter Einwirkung beliebig vieler Kräfte  $K_1$ ,  $K_2$ ... $K_n$  bewegen, von denen in Fig. 44 nur 2 gezeichnet sind; während der Bewegung von A nach B seien

die Kräfte gleichbleibend nach Größe und Richtung (welche Annahme auch für veränderliche Kräfte zulässig ist, sobald man für solchen Fall AB als unendlich klein betrachtet). Es sei R die Mittelkraft von  $K_1$ ,  $K_2$ ...  $K_n$ . Dann ist für diese (nach S. 40, Gl. 5)



 $R\cos\alpha=X=\Sigma K\cos\alpha.$ 

Fällt man aber von B Rechtwinklige auf die Kraftrichtungen, so ist  $\cos \alpha = AC : \overline{AB}; \cos \alpha_1 = AC : \overline{AB}; \ldots \cos \alpha_n = AC_n : \overline{AB};$  mithin wird aus Gl. 1 (nach Multiplikation mit  $\overline{AB}$ )

2)  $R \cdot AC = K_1 \cdot AC_1 + K_2 \cdot AC_2 + \ldots K_n \cdot AC_n$ .

Da aber AC,  $AC_1$  ...  $AC_n$  die rechtwinkligen Projektionen der Bahnlinie AB auf die Kraftrichtungen sind, so ist die Bedeutung der Gl. 2:

Die mechanische Arbeit, welche sich bei der Bewegung eines Massenpunktes für die Mittelkraft mehrerer auf ihn wirkenden Kräfte ergibt, ist gleich der algebraischen Summe der Arbeiten dieser Einzelkräfte bei derselben Bewegung.

(Bei veränderlichen Kräften gilt dieser Satz zunächst für ein unendlich kleines Bewegungsteilchen; weil aber als Arbeit einer veränderlichen Kraft die Summe ihrer Arbeitsteilchen bezeichnet ist, so gilt der obige Satz der mechanischen Arbeit ganz allgemein für Kräfte, die an demselben Massenpunkt angreifen.)

Der Ausdruck für das Arbeitsteilchen  $d\mathfrak{A} = K \cdot ds \cdot \cos \vartheta$  (S. 42) läßt sich jetzt auch noch anders deuten, als oben geschehen. Mann kann nämlich (Fig. 43) K zerlegen in die Seitenkräfte  $K \cos \vartheta$  (in der Bewegungsrichtung) und  $K \sin \vartheta$  (rechtwinklig dazu).

Erstere liefert die Arbeit  $K \cdot \cos \vartheta \cdot ds$ , während die andere nach S. 43 die Arbeit Null verrichtet. Die Arbeit von K ergibt sich daher wiederum zu  $d \mathfrak{A} = K \cos \vartheta \cdot ds$ .

Wird die Kraft K=1 kg, die Wegeslänge in ihrer Richtung =1 m, so wird die Arbeit  $X=K\cdot s=1\cdot 1=1$ , also gleich der Arbeitseinheit. Diese Arbeit, welche von 1 kg längs eines Weges =1 m verrichtet wird, heißt Meterkilogramm (mkg); n kg längs eines Weges =1/n Meter verrichten aber ebenfalls die Arbeit  $n\cdot \frac{1}{n}=1$  mkg.

# 8. Arbeitsvermögen (kinetische Energie oder lebendige Kraft) eines Massenpunktes.

1) Wirkt auf einen Punkt von der Masse m eine mit der Bewegungsrichtung übereinstimmende, nach Richtung und Größe gleichbleibende Kraft K, so entsteht eine geradlinige, gleichförmig beschleunigte Bewegung von der Beschleunigung p = K : m. Ist c die Anfangsgeschwindigkeit, v die Geschwindigkeit nach der Zeit t (Fig. 45), so ist die Wegeslänge (nach Gl. 5, S. 12)

$$s = \frac{v^2 - c^2}{2 \ v} = \frac{v^2 - c^2}{2 \ (K:m)}$$

oder

1) 
$${}^{1/2} mv^{2} - {}^{1/2} mc^{2} = Ks.$$

Hat ein Punkt von der Masse m in irgend einem Zeitpunkt eine Geschwindigkeit v, so nennt man das Produkt aus seiner Masse mal dem halben Quadrate der Geschwindigkeit, also die Größe  $^{1/2} mv^2$  das (in dem Massenpunkt aufgehäufte) Arbeitsvermögen. Älter und noch vielfach gebräuchlich ist dafür die Bezeichnung "lebendige Kraft" (als vis viva von Leibniz [geb. 1646 zu Leipzig, gest. 1716 zu Hannover] in die Mechanik eingeführt); da aber der Wert  $^{1/2} mv^2$  mit dem, was wir sonst Kraft nennen, nichts gemein hat, da auch bei dem Fehlen jeder Kraftwirkung, also bei gleichbleibender Geschwindigkeit, der Wert  $^{1/2} mv^2$  bestehen bleibt, so erscheint die Benennung lebendige Kraft wenig zweckmäßig. Die Bezeichnung "kinetische Energie" ist als angemessen zu bezeichnen; auch der Name "Wucht" ist dafür empfohlen; wir wollen diese Größe mit Franz Grashof (geb. am 11. Juli 1826 zu Düsseldorf, gest. am

30. Oktober 1893 zu Karlsruhe) das Arbeitsvermögen der Massenennen. Es war  $^{1/2}mc^{2}$  das anfängliche, es ist  $^{1/2}mv^{2}$  das nachherige größere Arbeitsvermögen. Die linke Seite der Gl. 1 ist also die "Zunahme an Arbeitsvermögen", welche der Massenpunkt durch die Kraft K erfahren hat. Die rechte Seite ist aber die mechanische Arbeit der Kraft K. Gl. 1 bedeutet hiernach:

Die Zunahme des Arbeitsvermögens eines Massenpunktes ist gleich der während der Bewegung an dem Massenpunkte verrichteten mechanischen Arbeit.

Ist der Sinn der Kraft K der Bewegungsrichtung entgegengesetzt (Fig. 46), so entsteht eine verzögerte Bewegung; es ist dann (nach S. 12)

$$s = \frac{c^2 - v^2}{2 p} = -\frac{v^2 - c^2}{2 (K; m)}, \text{ oder}$$

$$^{1/2} m v^2 - ^{1/2} m c^2 = -Ks.$$

In diesem Falle bewirkt die Kraft K eine Abnahme des Arbeitsvermögens, und zwar wird diese wiederum gemessen durch die von der Kraft geleistete Arbeit (im absoluten Sinne). Da aber die geleistete Arbeit jetzt als negativ aufzufassen ist, so empfiehlt es sich, für die allgemeine Anwendung dieses Satzes auch eine etwaige Abnahme des Arbeitsvermögens  $^{1}/_{2} mc^{2} - ^{1}/_{2} mv^{2}$  stets in der Form einer algebraischen Zunahme (deren Wert hier negativ ist) zu schreiben, d. h. (Gl. 1 und 2) stets von dem Endwerte des Arbeitsvermögens den Anfangswert abzuziehen und den Unterschied gleich der verrichteten Arbeit zu setzen; dann entspricht eine positive Arbeit einer positiven Zunahme des Arbeitsvermögens, und umgekehrt.

Hatte ein Massenpunkt die Anfangsgeschwindigkeit Null, die Endgeschwindigkeit v, so ist (Gl. 1)  $^{1}/2 mv^{2} = Ks$ , oder es drückt das Arbeitsvermögen einer Masse m diejenige Arbeit aus, welche verrichtet werden mußte, um den Punkt aus der Ruhe in die Geschwindigkeit v zu versetzen. Soll aber die Geschwindigkeit c in Null verwandelt werden, so muß stattfinden (Gl. 2)

$$0 = \frac{1}{2} m c^2 = -Ks$$
.

 $^{1}/_{2} m c^{2}$  ist also zugleich die absolute Größe der Verzögerungsarbeit, welche nötig ist, um eine Masse m von der Geschwindigkeit c zur Ruhe zu bringen. Will man einen Massenpunkt mit der

Geschwindigkeit c fortwerfen, so muß man durch Muskelkraft eine Arbeit von der Größe  $^{1/2}mc^{2}$  auf ihn übertragen. Und dieses Arbeitsvermögen, welches der Massenpunkt in sich trägt, kann, wie wir später sehen werden, wieder zur Arbeitsverrichtung benutzt werden. Das Arbeitsvermögen  $^{1/2}mc^{2}$  ist daher wirklich nur eine besondere Form von mechanischer Arbeit. Daß  $^{1/2}mc^{2}$  auch nach Meterkilogrammen zu messen ist, erkennt man, wenn man mit der Fallbeschleunigung multipliziert und dividiert; dann wird

$$^{1/2} mc^{2} = mg \cdot \frac{c^{2}}{2 g}.$$

Hierin ist mg eine Kraft,  $c^3/2 g$  aber eine Geschwindigkeitshöhe, d. h. eine Länge, so dass das Produkt in <sup>mkg</sup> zu verstehen ist.

Der Satz vom Arbeitsvermögen ist besonders für solche Aufgaben geeignet, wo es wesentlich auf die Größe der Endgeschwindigkeit, nicht aber auf Beschleunigung und Zeit der Bewegung ankommt.

Beispiel: Der Fall der abwärts gerichteten Wurfbewegung (Fig. 34, S. 35) ist für die Anwendung des vorstehenden Satzes sehr geeignet. Ist die Strecke s durchfallen, so hat die Schwere die Arbeit  $+ mg \cdot s$  verrichtet. Die Zunahme an Arbeitsvermögen ist daher

$$^{1/2} m v^2 - ^{1/2} m c^2 = mg \cdot s$$
, mithin  $v^2 - c^2 = 2 g s$  oder  $v = \sqrt{c^2 + 2 g s}$ .

Für die Aufwärtsbewegung (Fig. 35) ist die Arbeit negativ, nämlich —  $mg \cdot s$ , mithin

$$^{1}/_{2} m v^{2} - ^{1}/_{2} m c^{2} = - mg \cdot s$$

oder 
$$v^2 - c^2 = -2gs$$
, mithin  $v = \sqrt{c^2 - 2gs}$ .

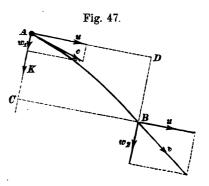
Fasst man die Bewegung vom Punkte P aus zur höchsten Stelle B und wieder zurück nach P zusammen, so ist die ganze Arbeit der Schwere Null, weil aufwärts —  $mg \cdot s$ , abwärts +  $mg \cdot s$  verrichtet wurde. Daher kann auch bei der Bewegung von P über B und nach P zurück keine Zunahme an Arbeitsvermögen entstehen, oder die Geschwindigkeit an einem beliebigen Punkte P muß für Abwärts- und Aufwärtsbewegung die gleiche sein.

Ein Eisenbahnzug von  $200\,000\,^{\rm kg}$  Gewicht und  $25\,^{\rm m/sek}$  Geschw. hat das Arbeitsvermögen  $\frac{200\,000\cdot25\,^2}{2\,g}=\frac{62\,500\,000}{g}$ . — Das Geschoß einer großen Kanone hat bei  $450\,^{\rm kg}$  Gewicht und  $527\,^{\rm m/sek}$  Geschw. ungefähr dasselbe Arbeitsvermögen, nämlich  $\frac{450\cdot527\,^2}{2\,g}=\frac{62\,489\,025}{g}$ . — Die Zugkraft der Lokomotive hat in 180 Sek. längs eines Weges von  $2250\,^{\rm m}$  (nach S. 13) dieselbe Arbeit geleistet, die von der Ausdehnungskraft der Pulverladung in einem

kleinen Bruchteil einer Sekunde längs des Kanonenrohres verrichtet worden ist (wenn man in beiden Fällen nur diejenigen Teile der Kräfte beachtet, welche zur Beschleunigung dienen, d h wenn man die Reibungs- und Luftwiderstände nicht berücksichtigt).

2) Es soll nun der Satz vom Arbeitsvermögen auch für krummlinige Bewegung bewiesen werden. Ein Massenpunkt bewege sich unter Einwirkung einer gleichbleibenden Kraft K, die aber nicht mit der Richtung der Anfangsgeschwindigkeit c zusammenfallen möge (Fig. 47); dann erteilt die Kraft dem Punkt eine Elementarbeschleunigung  $p \cdot dt$  in der Richtung der Kraft. Anfangsgeschwindig-

keit und Elementarbeschleunigung liegen in der durch die Richtungen von c und K bestimmten Ebene, daher müssen auch die ferneren Geschwindigkeiten in dieser Ebene verbleiben. Die unter Einwirkung einer gleichbleibenden Kraft entstehende Bahnlinie ist demnach eine ebene Kurve. Daher kann man die Bewegung



AB in zwei Seitenbewegungen AC (in der Richtung der Kraft K) und AD (rechtwinklig zur Kraft) zerlegen. Zerlegt man Geschwindigkeiten und Kraft nach denselben Richtungen, so erhält man die Seitengeschwindigkeiten und Seitenkräfte. In der Richtung AD wirkt keine Kraft; in dieser ist daher die Geschwindigkeit dauernd gleich u; in der Richtung AC aber vergrößert sich die Geschwindigkeit von  $w_1$  auf  $w_2$ . Für die Seitenbewegung AC = s ist das Gesetz vom Arbeitsvermögen bereits bewiesen, daher

so wird  $v^2 - c^2 = w_2^2 - w_1^2$ , so dass man aus Gl. 1 erhält 4)  $\frac{1}{2} mv^2 - \frac{1}{2} mc^2 = Ks$ .

Ks ist auch für die krummlinige Bewegung AB die Arbeit von K, so dass hiermit das Gesetz vom Arbeitsvermögen auch für krummlinige Bewegungen unter Einwirkung einer gleichbleibenden Kraft nachgewiesen ist.

3) Wird nun der soeben betrachtete Fall noch verallgemeinert, indem man K als veränderlich annimmt, so kann man auf Grund der auf S. 42 gepflogenen Erörterungen behaupten, das während eines Bewegungsteilchens die Zunahme an Arbeitsvermögen gleich dem Arbeitsteilchen, also  $d(1/2 mv^2) = d \mathfrak{A}$  sein muß. Eine Summierung auf beiden Seiten ergibt dann auch für die endliche Bewegung  $1/2 mv^2 - 1/2 mc^2 = \mathfrak{A}$ .

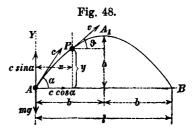
Steht der Massenpunkt unter Einwirkung beliebig vieler Kräfte, so kann man diese für jeden Augenblick durch ihre Mittelkraft ersetzen, deren Arbeit dann gleich der Zunahme an Arbeitsvermögen sein muß. Da aber nach S. 43 die Arbeit der Mittelkraft gleich der Arbeitssumme der Einzelkräfte ist, so hat man nun den Satz vom Arbeitsvermögen in der allgemeinen Form:

Die Zunahme an Arbeitsvermögen, welche ein Massenpunkt während einer Bewegung erfährt, ist gleich der algebraischen Summe der mechanischen Arbeiten, welche von allen auf den Punkt wirkenden Kräften während dieser Bewegung verrichtet werden.

#### 9. Parabolische Wurfbewegung.

Wird ein Massenpunkt mit der Geschwindigkeit c schräg aufwärts geworfen unter dem Neigungswinkel  $\alpha$  gegen die Wagerechte und der alleinigen Einwirkung der Schwere überlassen, so entsteht, wie bei Fig. 47 erläutert, eine krummlinige Bewegung in einer durch c und die lotrechte Richtung der Schwere bestimmten Ebene.

Zerlegt man (Fig. 48) die krummlinige Bewegung in zwei Seitenbewegungen nach der Richtung der Lotrechten AY und rechtwinklig dazu nach AB, so muß die letztere offenbar gleichförmig sein, weil in ihr keine Kraft auftritt. Sie erfolgt dem-



nach mit der Geschwindigkeit  $c \cos \alpha$ , welche sich durch Zerlegung von c ergibt. Es ist mithin

1)  $v_x = c \cos \alpha \text{ und } v_y = c \sin \alpha - gt$ , da die lotrechte Seitenbewegung wegen der Fallbeschleunigung

gleichförmig verzögert wird. Die Neigung von v gegen die Wagerechte ist

$$\operatorname{tg}\vartheta = \frac{v_y}{v_z} = \operatorname{tg}\alpha - \frac{gt}{c\cos\alpha}.$$

Die Wegeslängen in beiden Seitenbewegungen sind  $x = c \cos \alpha t$  und  $y = c \sin \alpha t - \frac{1}{2} g t^2$ .

Entfernt man t aus diesen beiden Gleichungen, indem man  $t=\frac{x}{c\cos\alpha}$  aus der ersten in die zweite einführt, so entsteht als Gleichung der Bahnlinie

2) 
$$y = x \operatorname{tg} \alpha - \frac{g}{2} \frac{x^2}{c^2 \cos^2 \alpha}$$
,

welche nach den bekannten Regeln der analytischen Geometrie als Parabel erkannt wird.

Da die lotrechte Seitenbewegung aufwärts und abwärts ganz symmetrisch, die wagerechte aber gleichförmig erfolgt, so schließt man leicht, daß der ansteigende Teil der Bahnlinie dem abfallenden Teile symmetrisch sein muß, daß also eine Lotrechte durch den höchsten Punkt  $A_1$  der Bahnlinie die Hauptachse der Parabel sein muß. Bestimmter überzeugt man sich davon noch, indem man die Kurve auf ein durch  $A_1$  gelegtes Achsenkreuz (wagerecht und lotrecht) bezieht. Die Höhe des höchsten Punktes  $A_1$  ist offenbar

$$h = \frac{c^2 \sin^2 \alpha}{2 g},$$

da in der lotrechten Seitenbewegung mit der Anfangsgeschwindigkeit  $c\sin\alpha$  nur diese Höhe erstiegen werden kann. Die dazu gehörige Zeit, nach welcher  $v_y=c\sin\alpha-gt=0$  wird, ist  $t_1=\frac{c\sin\alpha}{g}$ , und während dieser erfolgt eine wagerechte Seitenbewegung

4) 
$$b = v_x t_1 = c \cos \alpha \cdot \frac{c \sin \alpha}{g} = \frac{c^2 \sin \alpha \cos \alpha}{g}.$$

Hierdurch liegt der höchste Punkt  $A_1$  fest. Setzt man nun

$$x=b-x_1=rac{c^2\sinlpha\coslpha}{g}-x_1$$
 und  $y=h-y_1=rac{c^2\sin^2lpha}{2\ g}-y_1$  in Gl. 2 ein,

Keck, Mechanik I.

so ergibt sich nach einfacher Zusammenziehung

5) 
$$x_1^2 = 2 \frac{(c \cos \alpha)^2}{g} y_1.$$

Diese Gleichung stellt eine Parabel mit lotrechter Achse und dem Scheitel  $A_1$  dar, und zwar ist der Parameter  $\frac{c^2\cos^2\alpha}{g}$ ; es ist demnach diese Größe, welche die Form der Bahnlinie allein bedingt, nur von der wagerechten Seitengeschwindigkeit  $c\cos\alpha$ , nicht aber von der lotrechten anfänglichen Seitengeschwindigkeit  $c\sin\alpha$  abhängig. Letztere bestimmt aber, weil sie in den Gleichungen 3 und 4 vorkommt, die Lage des Scheitelpunktes  $A_1$  der Wurflinie gegen den Anfangspunkt A.

Besondere Fälle: 1) Ist  $\alpha = 0$ , wird der Punkt also wagerecht fortgeworfen (Fig. 49), so ist  $c\cos\alpha = c$ ,  $c\sin\alpha = 0$ , daher werden h und b beide zu Null, und der Anfangspunkt A ist gleichzeitig der höchste Punkt  $A_1$ . Der Parameter der Parabel wird  $c^2 : g$ .

2) Erfolgt aber der Wurf schräg ab wärts (Fig. 50),  $^{\dagger mg}$  so wird  $c \sin \alpha$ , den früheren Betrachtungen gegenüber, negativ; es ist dann

$$b = -\frac{c^2 \sin \alpha \cos \alpha}{g}; \quad h = \frac{c^2 \sin^2 \alpha}{2g};$$

mithin liegt dann der Scheitel  $A_1$  in der nach rückwärts verlängerten Bahnlinie, wird also von dem Massenpunkte, der seine Bewegung in A beginnt, nicht mehr durch- Fig. 50. laufen.

Der zuerst betrachtete Fall (Fig. 48) ist offenbar der vollständigere, da in ihm die abwärts gerichtete Bewegung mit vorkommt.

Die Geschwindigkeit v in einem beliebigen Punkte P der Bahnlinie ergibt sich am einfachsten nach dem Satze vom Arbeitsvermögen. Während der Bewegung von A nach P verrichtet nämlich die Schwerkraft die Arbeit — mgy, daher wird nach Gl. 4, S. 47

$$v = \sqrt{c^2 - 2} q y.$$

Solange der Punkt steigt, solange also y wächst, vermindert sich die Geschwindigkeit, und im Scheitel ist sie am kleinsten, indem

sie dort lediglich aus der wagerechten Seitenbewegung c cos a be-Ist der Scheitel überschritten, sinkt der Massenpunkt, so nimmt v fortgesetzt wieder zu ist im Punk te B für y = 0 wieder gleich der Anfangsgeschwindigkeit c und wird dann immer größer. Die Entfernung AB=l, in welcher der Massenpunkt wieder dieselbe wagerechte Ebene erreicht, von der er ausging, heist die

Wurfweite und ist offenbar =  $2b = \frac{c^2 2 \sin \alpha \cos \alpha}{g}$ 6)  $l = \frac{c^2 \sin 2 \alpha}{g}$ .

$$l = \frac{c^2 \sin 2 \alpha}{g}.$$

Die Dauer  $t_2$  dieses Wurfes beträgt, da  $l = c \cos \alpha t_2$  ist,

$$t_2 = 2t_1 = \frac{2 c \sin \alpha}{g}.$$

2) Bei einer Wurf-, Schieß- oder Schleudervorrichtung ist die Geschwindigkeit c, welche dem Massenpunkt erteilt wird, meist gegeben, der Winkel a aber beliebig wählbar. Will man eine bestimmte Wurfweite l erreichen, so zeigt Gleichung 6, dass diese mit  $\sin 2\alpha$ verhältnisgleich ist. Es haben aber zwei Winkel, die sich zu 1800 ergänzen, die man etwa  $90 + \varphi$  und  $90 - \varphi$  nennen kann, gleichen Sinus; jeder von beiden liefert daher, gleich 2 a gesetzt, den gleichen Wert von sin 2 a. Sonach geben 2 Steigungswinkel a, welche sich zu 90° ergänzen und welche man  $45° + \frac{1}{2}\varphi$  und  $45° - \frac{1}{2}\varphi$ nennen kann, dieselbe Wurfweite. Bei gleichen Anfangsgeschwindigkeiten c läst sich also ein gegebenes Ziel sowohl durch einen hohen, wie durch einen flachen Wurf erreichen. Beide fallen aber zu einem einzigen zusammen für  $\alpha = 45^{\circ}$ , und dieser Steigungswinkel liefert den Größtwert der Wurfweite, nämlich

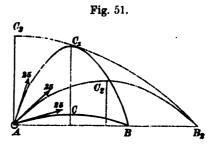
$$l_{max} = \frac{c^2}{q}.$$

Die größte erreichbare Höhe entsteht bei  $\alpha = 90^{\circ}$  und wird  $h_{max} = rac{c^2}{2 \ g}$ ; die mit einer Geschwindigkeit c erreichbare größte Wurfweite ist mithin doppelt so groß wie die größte erreichbare Wurfhöhe.

Bei  $\alpha = 45^{\circ}$  wird (nach Gl. 3)  $h = \frac{c^2}{4 \, a}$ , d. h. die Pfeilhöhe dieser Wurflinie beträgt 1/4 der Wurfweite (der Sehne).

Beispiel 1: Eine gespannte Armbrust (eine geladene Windbüchse, ein Blasrohr oder dergl.) erteile dem Geschofs eine Geschwindigkeit  $c=25\,\mathrm{m/sek}$ .

Mit welchem Steigungswinkel ist eine Wurfweite von  $l=40\,\mathrm{m}$  zu erreichen? (Fig. 51.) Nach Gl. 6 ist  $40=\frac{25^2\sin2\alpha}{9,81}$ , mithin sind  $2\alpha=0,828$ ; diesem entspricht ein Winkel  $2\alpha=39^{\circ}$ , zugleich aber auch  $2\alpha=141^{\circ}$ . Also sind die beiden Steigungswinkel  $\alpha=19,8^{\circ}$  und  $70,8^{\circ}$  verwendbar. Dann ist  $\sin\alpha=0,334$  bezw. 0,943, sonach



beträgt  $c \sin \alpha = 8,4$  bezw. 23,6 und die Wurfhöhe nach Gl 3: h = 3,5 bezw. 28,3 m, die Wurfdauer aber (Gl. 7):  $t_2 = 1,7$  bezw. 4,61 Sekunden. Die größte erreichbare Höhe bei  $\alpha = 90^{\circ}$  beträgt  $c^2: (2g) = 31,6 m$ , die größte mögliche Wurfweite bei  $\alpha = 45^{\circ}:$  doppelt soviel, nämlich  $63,8 m = AB_2$ .

Soll ein Ziel getroffen werden, welches nicht in gleicher Höhe mit A liegt, sondern die Koordinaten x und y hat, so findet man den erforderlichen Steigungswinkel, indem man Gl. 2 nach  $\alpha$  auflöst. Führt man zur Abkürzung die Geschwindigkeitshöhe  $k=\frac{c^2}{2g}$  ein, so wird Gl. 2: y=x tg  $\alpha-\frac{x^2}{4k\cos^2\alpha}$ ; bedenkt man, daß 1:  $\cos^2\alpha=\sec^2\alpha=1+\operatorname{tg}^2\alpha$ , so ergibt sich leicht

10) 
$$tg \alpha = \frac{2k}{x} + \sqrt{\frac{4k(k-y)}{x^2} - 1}.$$

Bei gegebenem k, d. h. gegebener Anfangsgeschwindigkeit des Geschosses gibt es bezüglich der Punkte, die für das Geschofs erreichbar sind, eine bestimmte Grenze. Für gewisse Wertpaare von x und y wird nämlich die Wurzel in Gl. 10 reell, für andere aber imaginär. Letztere Wertpaare entsprechen den unerreichbaren Punkten. Die Grenzlinie zwischen den erreichbaren und unerreichbaren Punkten erhält man, wenn die Größe unter dem Wurzelzeichen gleich Null gesetzt wird, d. h.  $4k^2-4ky=x^2$  oder

11) 
$$y = k - \frac{x^2}{4 k} = \frac{c^2}{2 q} - \frac{g}{2 c^2} x^2.$$

Dies ist die Gleichung einer Parabel, deren Scheitel in der Höhe  $k=c^2$ : (2g) lotrecht über dem Anfangspunkt A liegt, und deren halbe Sehne gleich der Wurfweite l=2  $k=c^2$ : g ist. Sie ist in Fig. 51 durch die Strichpunktierte  $C_3$   $B_2$  dargestellt. Gibt man  $\alpha$  alle möglichen Werte, so bezeichnet Gl. 2 (S. 49) eine Schar von unendlich vielen verschiedenen Wurfparabeln, die sämtlich von A ausgehen. Umschließt man diese unendlich vielen für eine gespannte oder geladene Wurf- oder Schießvorrichtung möglichen Parabeln durch eine sie sämtlich berührende Kurve, so nennt man diese die Umhüllungslinie, und die Parabel  $C_3$   $B_2$  der Gl. 11 ist eben diese Umhüllungslinie.

Ihre Gleichung kann auch noch auf andere Weise, als eben geschehen, gefunden werden, indem man nach der Lehre von den Umhüllungslinien die Abgeleitete der Gleichung 2 (S. 49) der Kurvenschar nach dem für die Kurvenschar veränderlichen tg  $\alpha$  gleich Null setzt. diese Gleichung mit Gleichung 2 verbindet und aus beiden tg  $\alpha$  entfernt. Es wird Gleichung 2, wenn man darin  $1:\cos^2\alpha=1+tg^2\alpha$  setzt:

12) 
$$y = x \operatorname{tg} \alpha - \frac{g x^2}{2 c^2} - \frac{g x^4}{2 c^2} \operatorname{tg}^2 \alpha.$$

Mithin

13) 
$$\frac{dy}{d (\lg a)} = 0 = x - \frac{g x^2}{c^2} \lg a.$$
Hieraus  $\lg a = \frac{c^2}{g x}$  gibt, in Gleichung 12 eingesetzt: 
$$y = \frac{c^2}{g} - \frac{g}{2 c^2} x^2 - \frac{c^2}{2 g} \text{ oder}$$

$$y = \frac{c^2}{2 g} - \frac{g}{2 c^2} x^2, \text{ wie in Gleichung 11.}$$

Beispiel 2: Hat ein Eisenbahnwagen eine Geschwindigkeit u in gerader Bahnlinie, so nehmen alle Körper, die in demselben in scheinbarer Ruhe sich befinden, an der Geschwindigkeit u teil. Läßt man also in einem solchen Wagen einen Massenpunkt aus der ruhenden Hand fallen, so ist seine scheinbare Bewegung freilich eine lotrechte Fallbewegung, die wahre Bewegung aber eine parabolische Wurfbewegung, die mit der wagerechten Geschwindigkeit u beginnt. Dasselbe gilt natürlich auch, wenn man einen Massenpunkt aus dem Fenster eines Eisenbahnwagens fallen läßt. Ein außerhalb des Zuges auf dem Erdboden befindlicher Beobachter erblickt in solchem Falle eine parabolische Bahnlinie nach Fig. 49, wenn darin c mit u vertauscht wird. Für  $u = 20 \, \mathrm{m/sek}$  wird der Parameter der Parabel  $20^{\circ}: 9.81 = 400 \cdot 0.102 = 40.8 \, \mathrm{m}$ .

Erteilt man aber dem Massenpunkte, statt ihn aus der ruhenden Hand vom Eisenbahnwagen aus fallen zu lassen, mittels Wurfes eine wagerechte

Geschwindigkeit  $w=10^{\rm m/sek}$  rechtwinklig zur Fahrrichtung (Fig. 52, Grundrifs), so ist diese nur eine Seitengeschwindigkeit; die wahre Geschwindigkeit v aber in Bezug auf den festen Erdboden ist die Mittelgeschwindigkeit aus w=10 und u=20, mithin

Fig. 52.

$$v = \sqrt{v^2 + u^2} = 10 \sqrt{5} = 22.361$$
.

Für den außen stehenden Beobachter entsteht eine Wurfbewegung, die mit der wagerechten Geschwindigkeit  $v=10\ V$ 5 beginnt und in der lotrechten Ebene durch v erfolgt. Würde der Beobachter von diesem Wurf etwa getroffen, so würde, wenn man nur die wagerechte Seitenbewegung berücksichtigt und die Vergrößerung der wahren Geschwindigkeit in schräger Richtung durch die Wirkung der Schwere außer Acht läßt, die Wirkung des Wurfes nach dem Arbeitsvermögen  $1/2 m v^2 = 1/2 m \cdot 10^2 \cdot 5$  zu

beurteilen sein. Der Werfende hat nur die Arbeit  $^{1/2}m$  10° auf den Massenpunkt übertragen; die durch die Kraft der Lokomotive erzeugte Zuggeschwindigkeit hat aber zur Folge, daß das Arbeitsvermögen (oder die Gewalt, die Wucht) des Wurfes auf das 5 fache gewachsen ist. Die aufgewendete Wurfgeschwindigkeit w entsprach nur einer Fallhöhe  $w^2:2g=5,1^m$ , während die Wirkung dieselbe ist, als fiele der Punkt aus der Höhe  $5\cdot 5,1=25,5^m$ . Hiernach kann man beurteilen, wie gefährlich das Hinauswerfen fester Körper aus fahrenden Eisenbahnzügen werden kann.

Bei den bisherigen Untersuchungen über Fall- und Wurfbewegungen wurde vorausgesetzt, dass auf den Massenpunkt allein die Schwere einwirke. Auf S. 37 wurde aber schon bemerkt, dass bei Körpern von verhältnismäsig großem Rauminhalt und bei großen Geschwindigkeiten der Luftwiderstand eine bedeutende Rolle spielt. Es sei hier nur bemerkt, dass ein Gewehrgeschoß schon bei etwa 50 m/sek Geschwindigkeit einen Luftwiderstand erfährt, der gleich dem Gewichte des Geschosses ist, so dass ein mit dieser Geschwindigkeit abwärts geworfenes Geschoss sich gleichförmig bewegen würde, da der Luftwiderstand die Schwere aufhebt. Weil der Luftwiderstand aber etwa verhältnisgleich dem Quadrate der Geschwindigkeit wächst, so wird er bei einer Schußgeschwindigkeit von 400 m/sek das 64 fache des Gewichts betragen. Hieraus ergibt sich klar, dass die Bewegung eines solchen Geschosses mit den hier entwickelten Formeln wenig Ähnlichkeit haben wird. Aus diesem Grunde haben wir auch in dem Beispiel auf S. 52 nicht ein Gewehrgeschoß, sondern ein Geschoss mit geringerer Geschwindigkeit der Rechnung unterzogen.

Ferner wurde bisher die Fallbeschleunigung als gleichbleibend nach Größe und Richtung vorausgesetzt. Im folgenden soll untersucht werden, wie sich die Fallbeschleunigung mit der Veränderung des Ortes ändert, woraus sich dann freilich zeigen wird, daß dieser Einfluß bei den vorkommenden Fällen der Wurfbewegung verschwindend klein ist.

### 10. Gesetz der allgemeinen Massenanziehung.

Das Gesetz der Schwere (S. 33) ist nur ein besonderer Fall des Gesetzes der allgemeinen Massenanziehung, welches von Newton 1685 aufgestellt wurde. Dasselbe lautet:

Je 2 Massenpunkte m und  $m_1$ , die sich in der Entfernung l voneinander befinden, üben aufeinander eine gegenseitige Anziehungskraft aus, die proportional dem Produkte der Massen und umgekehrt proportional dem Quadrat ihrer Entfernung ist.

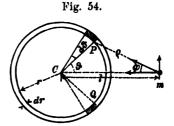
Es ist hiernach (Fig. 53)

$$K = k \frac{m m_1}{l^2},$$

worin k offenbar die Anziehungskraft zwischen 2 Massen ein heiten in dem Abstand l=1 bedeutet. Für Kilogramme als Kräfte, für Meter und Sekunden ist  $k=0.000\,000\,000\,64=\frac{64}{10^{11}}$ .

Diese Formel I gilt einstweilen nur für Massenpunkte ohne räumliche Ausdehnung; wir wollen darnach feststellen, wie eine dünne gleichartige Kugel-

schale auf einen Massenpunkt einwirkt. Die Kugelschale (Fig. 54) habe den Halbmesser r, die Wandstärke dr; der Massenpunkt m sei vom Mittelpunkte der Kugel um l entfernt. Man ziehe einen Halbmesser CP, der mit Cm den Winkel  $\vartheta$  einschließt und ziehe in dem Abstande  $d\vartheta$  einen zweiten Halbmesser. Beide lasse man sich um Cm als Achse drehen, dann schneiden sie aus der Hohlkugel eine kleine Zone heraus. Von der Umfangslänge der Zone denkt man



sich bei P ein Bogenteilchen ds rechtwinklig zur Bildebene herausgenommen, dann hat man bei P ein Massenteilchen, welches nach allen drei Richtungen unendlich klein ist. Der Stoff der Hohlkugel habe für 1 obm das Gewicht  $\gamma$  (unter 45° geographischer Breite gewogen). Das Gewicht eines Kubikmeters in Kilogrammen (unter 45° geogr. Br.) nennen wir die Dichte des Körpers. Das Körperteilchen hat dann die Masse  $\frac{\gamma}{g} \cdot dr \cdot rd\vartheta \cdot ds$  und

übt auf m die Anziehungskraft aus  $k \cdot \frac{r}{g} \cdot dr \cdot r \cdot d\vartheta \cdot ds \cdot \frac{m}{\rho^2}$ . Diese Kraft kann zerlegt werden in eine mit der Richtung m C und eine, welche im Punkte m rechtwinklig zu m C nach oben gerichtet ist. Die erstere beträgt

$$k\frac{\gamma}{g}\cdot d\mathbf{r}\cdot\mathbf{r}\cdot d\vartheta\cdot d\mathbf{s}\cdot\frac{m}{\rho^2}\cos\varphi$$
,

worauf die zweite durch die Einwirkung eines gleichen bei Q befindlichen Massenteilchens aufgehoben wird. Sämtliche Massenteilchen der Zone wirken in übereinstimmender Weise auf m ein, da für sie alle  $d\mathfrak{G}$ ,  $\rho$  und  $\varphi$  dieselben sind. Wir können daher die Gesamtanziehung der ganzen Kugelzone erhalten, wenn wir statt ds den Umfang  $2\pi r \sin \vartheta$  einsetzen. Dann entsteht die Anziehung

$$d\mathbf{K} = k \cdot \frac{\gamma}{g} \cdot d\mathbf{r} \cdot \mathbf{r} \cdot d\vartheta \cdot 2\pi\mathbf{r} \cdot \sin\vartheta \cdot \frac{\mathbf{m}}{\rho^2} \cdot \cos\varphi.$$

Nun ist aber die Masse der ganzen Hohlkugel  $M = \frac{r}{g} 4 r^2 \pi \cdot dr$ ; wird dies in dK eingeführt, so entsteht

$$dK \text{ eingeführt, so entsteht}$$
1) 
$$dK = \frac{kMm}{2} \frac{\sin \vartheta \cdot d\vartheta \cdot \cos \varphi}{\rho^2}.$$

Die Veränderlichen  $\vartheta$  und  $\varphi$  sollen auf  $\rho$  zurückgeführt werden. Es ist nämlich in dem Dreiecke CPm:  $r^2 = l^2 + \rho^2 - 2 \, l \, \rho \cos \varphi$  mithin  $\cos \varphi = \frac{l^2 - r^2 + \, \rho^2}{2 \, l \, \rho}$ ; ebenso cos  $\vartheta = \frac{l^2 + r^2 - \rho^2}{2 \, l \, r}$  und durch Differentiation —  $\sin \vartheta \cdot d \vartheta = - \frac{\rho \cdot d \, \rho}{l \, r}$ .

Hiernach wird

2) 
$$dK = \frac{k Mm}{2} \frac{l^2 - r^2 + \rho^2}{2 l^2 r \rho^2} d\rho = \frac{k Mm}{4 r l^2} \frac{l^2 - r^2 + \rho^2}{\rho^2} d\rho.$$

Um nun die Anziehungskraft K der ganzen Hohlkugel zu erhalten, muß man vorstehenden Ausdruck integrieren. Liegt der Punkt maußerhalb der Hohlkugel, so sind thre nächsten Teile im Abstand l-r, die fernsten im Abstand l+r vom Massenpunkte, so dass diese Werte als Grenzen für  $\rho$ einzusetzen sind. Daher wird

$$K = \frac{k Mm}{4 r l^2} \int_{l-r}^{l+r} \left[ (l^2 - r^2) \frac{d \rho}{\rho^2} + d \rho \right].$$

Das unbestimmte Integral aber ist

Dies wird mit Rücksicht auf obige Grenzen

$$-\frac{l^2-r^2}{l+r}+l+r+\frac{l^2-r^2}{l-r}-(l-r)=-(l-r)+l+r+l+r-(l-r)=4r,$$

mithin wird

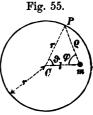
$$K = k \frac{Mm}{l^2}.$$

Diese Anziehungskraft ist (nach Gl. 1) dieselbe, als ob die Masse M der Kugelschale in ihrem Mittelpunkte vereinigt wäre. folgt weiter, dass eine Hohlkugel von endlicher Wandstärke oder auch eine Vollkugel, die aus lauter gleichartigen Kugelschalen besteht, bezüglich der Anziehungskraft gegen einen außerhalb befindlichen Massenpunkt ebenso wirkt, als ob die ganze Masse der Hohlkugel oder Kugel in ihrem Mittelpunkte vereinigt wäre. Dabei ist nicht erforderlich, dass die verschiedenen Kugelschalen dieselbe Dichte haben, wenn nur jede Schale für sich gleichartig an Dichte ist. Auch für die gegenseitige Anziehungskraft zweier Kugeln ergibt sich leicht, dass man die Masse einer jeden in ihrem Mittelpunkte vereinigt ansehen kann.

Liegt der Massenpunkt im Innern der Kugelschale (Fig. 55), so ergibt sich für die Anziehung einer Zone bei P dieselbe Gleichung l, daher auch dieselbe Gleichung 2; nur sind jetzt die Grenzen r + l und r-l als größte und kleinste Entfernung des Massenpunktes von der Schale. Die Einsetzung dieser Grenzen in Gl. 3 gibt:  $-\frac{l^2-r^2}{r+l}+r+l+\frac{l^2-r^2}{r-l}-(r-l)$ 

= r - l + r + l - r - l - r + l = 0, so dass auch

K=0 wird. Die Anziehungskraft einer dünnen, gleichartigen



Kugelschale gegen einen in ihrem Inneren befindlichen Punkt ist also Null.

Die Anziehung einer aus gleichartigen dünnen Kugelschalen bestehenden Hohlkugel von endlicher Wandstärke auf einen in ihrem Hohlraume gelegenen Punkt ist demnach ebenfalls Null.

Betrachten wir nun die Erde als Kugel, aus unendlich vielen Schalen bestehend, von denen jede für sich gleichartig ist, so ist ihre Anziehungskraft für einen außerhalb gelegenen Massenpunkt m ebenso zu berechnen, als ob ihre ganze Masse im Mittelpunkte vereinigt wäre. Für einen Massenpunkt an der Erdoberfläche, d. h. in dem Abstand r (Erdhalbmesser) vom Mittelpunkt M ist nun die Anziehungskraft gleich mg, mithin

Fig. 56.

$$\frac{kMm}{r^2} = mg \quad \text{oder}$$

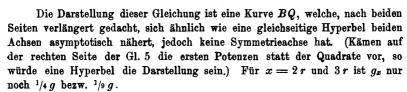
$$4) \qquad kM = gr^2.$$

Nennen wir aber die Anziehungsbeschleunigung (Fall-

beschleunigung) eines in größerem Abstand x vom Erdmittelpunkte befindlichen Punktes  $g_x$  (Fig. 56), so wird auch

$$kM = g_x x^2$$
, mithin

$$\mathbf{g}_{\mathbf{x}} \colon \mathbf{g} = \mathbf{r}^2 \colon \mathbf{x}^2.$$



Für die Veränderlichkeit der Fallbeschleunigung im Inneren der Erde wäre das Gesetz einfach, wenn man annehmen dürfte, das die Dichte der Erde überall gleich sei. Unter dieser Voraussetzung würde man für ein Massenteilchen im Abstand x von dem Mittelpunkte die Erde zerlegen in eine Vollkugel vom Halbmesser x und eine äußere Hohlkugel von der Wandstärke r-x. Letztere würde keine Einwirkung ausüben, erstere aber ebenso wirken, als ob ihre Masse in der Mitte vereinigt wäre. Darnach wird nach Gl. 4:

$$k M_x = g_x x^2,$$

wenn  $M_x$  die Masse der Kugel vom Halbmesser x. Da nun für x = r wiederum

$$kM = gr^2$$
, so wird

$$g_x = g \frac{r^2}{x^2} \frac{M_x}{M} \quad \text{oder, weil}$$

 $M_x: M = x^3: r^3:$ 

$$g_x = g\frac{x}{r},$$

dargestellt durch eine in Fig. 56 gezogene Gerade MB. Die Erde ist aber durchaus nicht von überall gleicher Dichte, vielmehr sind die tieferen Schichten bedeutend dichter als die uns bekannten, in der Nähe der Oberfläche gelegenen. Daher ist  $M_x: M > x^3: r^3$  und es wird  $g_x > g^x/r$ . Statt der Geraden MB ist daher eine oberhalb derselben liegende Kurve MB der wahre Ausdruck des Gesetzes, welches wir aber nicht entwickeln können, da das Gesetz der Veränderlichkeit der Dichte nicht bekannt ist.

Nehmen wir nun an, dass die dem Menschen zugänglichen oder auch durch Wurf zu erreichenden Höhen sich um höchstens  $10000^{\,\mathrm{m}}$  über die mittlere Erdoberfläche erheben, so würde, weil der mittlere Erdhalbmesser etwa  $6370000^{\,\mathrm{m}}$  beträgt, für diese Grenze  $x=6380000^{\,\mathrm{m}}$  beträgen, daher nach Gl. 5:

$$g_x: g = 637^2: 638^2$$
 sein;

dies ist etwa = 1000: 1003, d. h. sehr wenig von der Einheit abweichend. Nennt man h die Höhe eines Punktes über der Meeresfläche, so ist nach Gl. 5 mit x = r + h:

$$\frac{g_x}{g} = \frac{r^2}{(r+h)^2} = \frac{1}{\left(1 + \frac{h}{r}\right)^2} = \frac{\left(1 - \frac{h}{r}\right)^2}{\left[1 - \left(\frac{h}{r}\right)^2\right]^2} = \frac{1 - 2\frac{h}{r} + \left(\frac{h}{r}\right)^2}{1 - 2\left(\frac{h}{r}\right)^2 + \left(\frac{h}{r}\right)^4}.$$

Wenn man dann  $\left(\frac{h}{r}\right)^2$  und  $\left(\frac{h}{r}\right)^4$  gegen 1 vernachlässigt, so entsteht annähernd

8) 
$$g_x = g\left(1 - 2\frac{h}{r}\right).$$

Für die weitaus meisten technischen Anwendungen kann diese Veränderlichkeit von  $g_x$  mit der Höhe vernachlässigt werden.

Die Erde übt nun aber auch auf den Mond eine Anziehungskraft aus, und die dieser Kraft entsprechende Beschleunigung  $g_x$  ergibt sich, da die Entfernung des Mondes von dem Erdmittelpunkt etwa 60 Erdhalbmesser ausmacht, zu

$$g_x = g \left(\frac{r}{60 \cdot r}\right)^2 = \frac{1}{3600} g = 9.81 : 3600 = 0.0027$$

Hörte die Umlaufbewegung des Mondes um die Erde für einen Augenblick auf, so würde der Mond eine beschleunigte Fallbewegung

nach der Erde hin ausführen; die Beschleunigung würde anfänglich nur 0,0027 m/sek³ betragen, würde aber mit der Annäherung an die Erde wachsen und sich allmählich dem Werte 9,81 nähern. Dass diese Fallbewegung nicht zu stande kommt, rührt von der Geschwindigkeit des Mondes rechtwinklig zur Richtung der Anziehungskraft her, wie weiter unten noch besprochen werden wird.

Die Gl. 4 (S. 57) kann auch dazu dienen, die **Massenzahl M der Erde** zu bestimmen. Es ist  $M = gr^2 : k$  also  $M = 9.81 \cdot 6370000^2 \cdot 10^{11} : 64 = 622 \cdot 10^{21}$  Masseneinheiten. Die Erde hat etwa  $1083 \cdot 10^{18}$  Kubikmeter Inhalt; bestände sie aus Wasser (von  $4^{\circ}$  C.), so würde ihr Massengehalt  $1083 \cdot 10^{18} \cdot 1000 : 9.81 = 110 \cdot 10^{21}$  Masseneinheiten.

Mithin ist die Erde durchschnittlich  $622:110=5,65\,\mathrm{mal}$  dichter als Wasser.

Fallbeschleunigung an der Oberfläche anderer Himmelskörper. Die Gleichung 4, S. 57, für die Fallbeschleunigung g an der Erdoberfläche

$$g = Mk : r^2$$

gilt, ihrer Entwicklung nach, allgemein für die Zeitbeschleunigung an der Oberfläche eines beliebigen Himmelskörpers von der Masse M und dem Halbmesser r. Gehen M und r in  $M_1$  und  $r_1$  über, so wird

$$g_1 = M_1 k : r_1^2,$$

mithin ist das Verhältnis

$$\frac{g_1}{g} = \frac{M_1}{M} \frac{r^2}{r_1^2}.$$

Ist die Masse der Sonne 327000 mal so groß wie die der Erde, während die Halbmesser in dem Verhältnis 108:1 stehen, so wird das Verhältnis der Fallbeschleunigungen

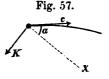
$$g_1: g = 327000: 108^2 = \text{rund } 28.$$

An der Oberfläche der Sonne beträgt also die Fallbeschleunigung ungefähr 275 m/sek²; an der Oberfläche des Mondes etwa nur 1/6·9,81 == 1,64 m/sek².

### 11. Parabolische Bewegung im allgemeinen.

Die alleinige Einwirkung der als gleichbleibend betrachteten Schwere bewirkte eine Bewegung des Massenpunktes in einer Parabel, deren Achse lotrecht abwärts, d. h. übereinstimmend mit der Kraft gerichtet, deren Parameter  $c^2 \cos^2 \alpha : g$  betrug.

Wirken nun auf den Massenpunkt beliebig viele nach Größe und Richtung gleichbleibende Kräfte, so können diese zu einer ebenfalls gleichbleibenden Mittelkraft K zusammengesetzt werden. Wählt man die Kraftrichtung dann zur negativen y-Richtung, die x-Achse rechtwinklig dazu in der durch K und die



Anfangsgeschwindigkeit c bestimmten Ebene, so ist wiederum (Fig. 57) c cos a

die gleichbleibende Geschwindigkeit  $v_x$ , während in der y-Richtung die gesamte Verzögerung  $K\colon m$  auftritt. Es entstehen daraus die Seitenbewegungen

$$x = c \cos \alpha t;$$
 $y = c \sin \alpha t - \frac{K}{m} \frac{t^2}{2}$ , und aus beiden
 $y = x \operatorname{tg} \alpha - \frac{K}{m} \frac{x^2}{2 c^2 \cos^2 \alpha}.$ 

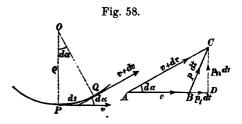
Die Verhältnisse sind also gerade so wie bei der Wurfbewegung; statt der lotrechten Richtung kommt aber hier die Richtung der Mittelkraft. statt der Fallbeschleunigung g der Wert K:m in Frage. Es folgt hieraus: Ein Massenpunkt bewegt sich unter Einwirkung gleichbleibender Kräfte in einer Parabel, deren Achse mit der Mittelkraft K aller wirkenden Kräfte gleichgerichtet, deren Parameter  $=\frac{m\,c^2\cos^2\alpha}{K}$  ist.

### 12. Tangential- und Normalbeschleunigung.

Nach S. 31 ist zu jeder Änderung der Geschwindigkeit, sowohl der Größe, wie der Richtung nach, eine Kraft erforderlich. Es soll nun für eine gegebene, ungleichförmige und krummlinige Bewegung die zur Größen- bezw. zur Richtungsänderung aufzuwendende Kraft bestimmt werden.

In der gegebenen Bahnlinie (Fig. 58) bewege sich der Massenpunkt in einem Augenblicke mit der Geschwindigkeit v, beschreibe

während des nächsten Zeitteilchens dt das Bahnteilchen PQ = ds; dann hat die Geschwindigkeit eine Richtungsänderung um den Winkel  $d\alpha$  erfahren, während ihre Größe v + dv geworden sein möge. Trägt man dann von einem Punkt



A aus v und v+dv als Strecken auf, so ist deren geometrische Differenz BC die Elementarbeschleunigung  $p \cdot dt$  (vergl.S.24). Zeichnet man noch das bei D rechtwinklige Dreieck BDC, so ist  $p \cdot dt$  die geometrische Summe von BD und DC. Die wahre Beschleunigung p der krummlinigen Bewegung hat die Richtung BC und läßt sich zerlegen in eine Seitenbeschleunigung in der Richtung der Bewegung, oder der Tangente an die Bahnlinie, die sogenannte

Tangentialbeschleunigung  $p_t$  und eine dazu rechtwinklige, in die Richtung der Normalen PO fallende, die sog. Normalbeschleunigung  $p_n$ . Danach sind dann  $BD = p_t dt$  und  $DC = p_n dt$  die entsprechenden Elementarbeschleunigungen. Nach der Figur ist aber  $p_t dt = (v + dv) \cos d\alpha - v$  oder, weil  $\cos d\alpha = 1$  zu setzen,  $p_t dt = v + dv - v = dv$ , mithin

$$p_{\bullet} = dv : dt.$$

Ferner ist  $p_n dt = (v + dv) \sin d\alpha$  oder, da  $\sin d\alpha = d\alpha$  und  $dv \cdot d\alpha$  als unendlich klein höherer Ordnung gegen  $v \cdot d\alpha$  zu vernachlässigen,  $p_n dt = v \cdot d\alpha$ . Weil aber  $PQ = ds = v \cdot dt = \varrho \cdot d\alpha$  oder  $d\alpha = v \cdot dt : \varrho$ , so wird  $v \cdot d\alpha = v^2 dt : \varrho$  oder

$$p_{n} = \frac{v^{2}}{\varrho}.$$

Ist die Bahnlinie eine ebene Kurve, so liegen beide Beschleunigungen  $p_t$  und  $p_n$  in der Ebene der Kurve, und  $\varrho$  ist der Krümmungshalbmesser. Ist die Bahnlinie aber doppelt gekrümmt, so bestimmen die an die beiden unendlich nahen Punkte gezogenen Tangenten v und v+dv die sog. Krümmungsebene; in dieser liegt dann die Figur ABDC, somit auch die Beschleunigungen p,  $p_t$  und  $p_n$ . O ist dann der Schnittpunkt der in der Krümmungsebene liegenden beiden Normalen PO und QO an die Kurve, der sog. Hauptnormalen, deren als gleich zu betrachtende Länge  $\varrho$  der erste Krümmungshalbmesser genannt wird.

Die Tangentialbeschleunigung  $p_t = dv : dt$  stellt allein die Größenänderung der Geschwindigkeit dar, die Normalbeschleunigung dagegen, welche mit  $1:\varrho$ , d. h. mit der Krümmung der Bahnlinie verhältnisgleich wächst, vertritt die Richtungsänderung. Die Normalbeschleunigung heißt auch Zentripetalbeschleunigung nigung, weil ihr Sinn stets nach dem ersten Krümmungsmittelpunkte gerichtet ist. Die wahre Beschleunigung ist die geometrische Summe der beiden berechneten Beschleunigungen, steht somit nach Größe, Richtung und Sinn fest. Die Gesamtbeschleunigung p kann nur dann mit  $p_t$  zusammenfallen, also in der Richtung der Bewegung liegen, wenn  $p_n=0$ , d. h. wenn  $\varrho=\infty$ , die Bahnlinie an der betreffenden Stelle in der Krümmungsebene ohne Krümmung ist. Es fällt p mit  $p_n$  zusammen, wenn  $p_t=dv:dt=0$  ist, d. h. wenn die krummlinige Bewegung gleichförmig erfolgt.

Werden die Beschleunigungen mit der Masse m des Punktes multipliziert, so erhält man die entsprechenden Kräfte. Zur Größenänderung der Geschwindigkeit ist hiernach eine tangential gerichtete Kraft  $K_t = m \cdot dv : dt$ , zur Richtungsänderung eine nach dem (ersten) Krümmungsmittelpunkte gerichtete Zentripetalkraft  $K_n = mv^2 : \varrho$  erforderlich.

Wirkt auf einen Massenpunkt eine Kraft, die stets normal zur Bahnlinie gerichtet ist, so entsteht nur eine Normalbeschleunigung, also eine gleichförmige krummlinige Bewegung, was übrigens auch schon daraus folgt, daß eine Kraft von solcher Richtung nach S. 43 keine Arbeit verrichtet, mithin auch keine Änderung des Arbeitsvermögens hervorbringen kann. Die Wirkung einer solchen Kraft besteht lediglich in einer Richtungsänderung der Geschwindigkeit.

Beispiel: Astronomischen Beobachtungen zufolge ist die Bewegung des Mondes um die Erde nahezu eine gleichförmige Bewegung mit der Geschwindigkeit  $v=1020\,\mathrm{m/sek}$  in einem Kreise, dessen Halbmesser etwa 60 Erdhalbmessern gleich ist (vergl. S. 58). Die Beschleunigung des Mondes, wenn man denselben als Massenpunkt auffafst, besteht daher in einer stets nach dem Mittelpunkte der Erde gerichteten Beschleunigung  $\frac{v^2}{\rho}=\frac{1020^2}{60\cdot 6\,370\,000}=0,_{0027\,\mathrm{m/sek}}.$  Der Umstand, daß diese Beschleunigung und die Fallbeschleunigung an der Erdoberfläche sich wie 1 zu 3600 = 1:60², mithin umgekehrt wie die Quadrate der Abstände von dem Erdmittelpunkte, verhalten (s. S. 58), hat Newton zuerst veranlafst, die Anziehungskraft zwischen zwei Massenpunkten als umgekehrt verhältnisgleich dem Quadrat ihrer Entfernung anzunehmen, welche Annahme dann, nachdem sie sich auch für die Planeten als zutreffend erwiesen hatte, zu dem allgemeinen Gesetze der Massenanziehung (S. 54) führte.

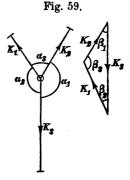
### 13. Gleichgewicht eines Massenpunktes.

Liefern die auf einen Massenpunkt wirkenden Kräfte eine Mittelkraft R=0, so bewegt sich der Punkt gerade so, als ob gar keine Kraft auf ihn wirkte; seine Geschwindigkeit erfährt dann weder der Größe noch der Richtung nach eine Änderung, er bewegt sich geradlinig und gleichförmig, und man sagt, die Kräfte halten sich an dem Massenpunkt im Gleichgewichte (vergl. S. 39). Ein besonderer Fall einer solchen Bewegung ist der Ruhezustand, in welchem nicht allein die Beschleunigung Null ist, sondern auch die Geschwindigkeit.

Halten beliebig viele Kräfte an einem Massenpunkt einander das Gleichgewicht, so ist jede derselben der Mittelkraft aller übrigen gleich und entgegengesetzt; denn sie hebt in diesem Falle jene Mittelkraft auf, somit auch die Wirkung aller derjenigen Kräfte, die durch diese Mittelkraft ersetzt wurden.

Sollen 3 Kräfte  $K_1$ ,  $K_2$  und  $K_3$  an einem Punkte im Gleichgewichte sein, so muß die Mittelkraft von irgend zweien dieser Kräfte durch die dritte aufgehoben werden. Da aber (nach S. 38) die Mittelkraft zweier Kräfte mit beiden in derselben Ebene liegt,

so müssen für den Gleichgewichtszustand die Richtungen der 3 Kräfte in derselben Ebene liegen. Bezeichnet man noch die den Kräften gegenüberliegenden Richtungswinkel mit  $\alpha_1$ ,  $\alpha_2$  und  $\alpha_3$  (Fig. 59) und bedenkt, daß nach S. 41 der Streckenzug der drei Kräfte ein geschlossenes Dreieck bilden muß, so läßt sich aus diesem das Verhältnis der drei Kräfte berechnen. Man erkennt leicht, daß die Dreieckswinkel  $\beta$  die Nebenwinkel der den Kräften gegenüberliegenden Richtungswinkel  $\alpha$  sind. Die



Sinus der Winkel  $\beta$  sind daher gleich den Sinus der entsprechenden Winkel  $\alpha$ . Man erhält sonach aus

$$K_1: K_2: K_3 = \sin \beta_1: \sin \beta_2: \sin \beta_3$$

die Gleichung

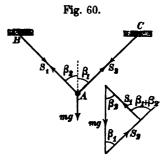
$$K_1:K_2:K_3:=\sin \alpha_1:\sin \alpha_2:\sin \alpha_3$$
.

Die Größen von drei an einem Massenpunkte sich im Gleichgewichte haltenden Kräften verhalten sich wie die Sinus der gegenüberliegenden Richtungswinkel. Aus der Figur folgt sofort: Fallen von den drei Kräften zwei in dieselbe Richtungslinie, so muß die dritte Null sein, wenn sie nicht ebenfalls in derselben Geraden liegt.

**Beispiel:** Ein Massenpunkt sei an zwei Fäden AB und AC aufgehangen (Fig. 60) und befinde sich in Ruhe; es sollen die in den Fäden herrschenden Spannkräfte  $S_1$  und  $S_2$  ermittelt werden.

Die Spannkraft der Fäden, die wir einstweilen als gewichtlos, aber vollkommen biegsam und undehnbar voraussetzen, fällt mit den Richtungen

der Fäden zusammen. Dies Zusammenfallen ist eben der Begriff der Biegsamkeit. Durch die Lage der Befestigungspunkte B und C, sowie durch die Fadenlängen ist das Dreieck BAC bestimmt. Auf den Massenpunkt wirkt die Schwere mg; dann müssen die Strecken mg,  $S_1$  und  $S_2$  ein geschlossenes Dreieck bilden, mithin, weil mg lotrecht ist, in einer lotrechten Ebene liegen. Es ist also Gleichgewicht nur möglich, wenn der Massenpunkt sich in der durch B und C gelegten lotrechten Ebene befindet. (Andernfalls wird der Punkt an den Fäden als ein Pendel



so large schwingen, bis infolge von Luft- und anderen Widerständen endlich in lotrechter Ebene Ruhe eintritt.) Schließen BA und CA mit der Lotrechten die spitzen Winkel  $\beta_2$  und  $\beta_1$  ein, so wird aus dem Krafteck

$$S_1: S_2: mg = \sin \beta_1: \sin \beta_2: \sin (\beta_1 + \beta_2).$$

Ist z. B. 
$$mg = 10 \text{ kg}$$
,  $\beta_1 = \beta_2 = 45 \text{ 0}$ , so wird aus der Figur  $S_1 = S_2 = 10 \cdot \sqrt[7]{1/2} = 7,07 \text{ kg}$ .

Zu beliebig vielen Kräften  $K_1$ .  $K_2$ , . . .  $K_n$ , welche nicht in derselben Ebene liegen, wurde (auf S. 40) die Mittelkraft in der Form

$$R = \sqrt{X^2 + Y^2 + Z^2}$$
 gefunden,

worin  $X = \Sigma K \cos \alpha$ ;  $Y = \Sigma K \cos \beta$ ;  $Z = \Sigma K \cos \gamma$  bedeuten. Soll nun Gleichgewicht herrschen, so muß R = 0, also auch  $X^2 + Y^2 + Z^2 = 0$  werden; da nun die Kräfte, somit auch X, Y und Z stets reelle Größen (wodurch negative Werte der Quadrate ausgeschlossen sind), so muß jeder der Summanden Null sein, oder es muß stattfinden:

$$\Sigma K \cos \alpha = 0$$
;  $\Sigma K \cos \beta = 0$ ;  $\Sigma K \cos \gamma = 0$ .

Also: An einem Massenpunkte halten sich beliebig viele Kräfte im Gleichgewichte, wenn in Bezug auf ein beliebiges rechtwinkliges Achsenkreuz die algebraische Summe der bei rechtwinkliger Zerlegung in jede Achsenrichtung fallenden Seitenkräfte gleich Null ist.

Da die Mittelkraft gegebener Kräfte (nach S. 41) auch durch die Schlusslinie eines ebenen oder räumlichen Kraftecks gefunden wird, so ist klar, dass die Schlusseite Null werden mus, wenn die Kräfte im Gleichgewichte sein sollen. Im Gleichgewichts-Zustande müssen also die Kräfte ein geschlossenes Krafteck mit übereinstimmendem Umfahrungssinne der Pfeile bilden.

Liegen die Kräfte in einer gemeinsamen Ebene, so legt man zweckmäßig auch die x- und y-Achse in diese Ebene. Dann werden die Neigungswinkel y gegen die z-Achse sämtlich zu  $90^{\,0}$  und  $K\cos y$  durchweg Null. Außerdem wird dann  $\cos \beta = \sin \alpha$ , und die Gleichgewichts-Bedingungen beschränken sich auf

$$\Sigma K \cos \alpha = 0$$
 und  $\Sigma K \sin \alpha = 0$ .

Liegen die x- und y-Achse bezw. wagerecht und lotrecht, so sagt man auch: Die Summe aller wagerechten Seitenkräfte muß Null sein und die Summe aller lotrechten Seitenkräfte ebenfalls.

### 14. Bewegung auf vorgeschriebener Bahn.

Wirkt auf einen Massenpunkt eine gegebene Kraft K ein, so wird er bei gegebener Anfangsgeschwindigkeit c eine bestimmte Bewegung ausführen müssen, die z. B. parabolisch ist, wenn K gleichbleibend nach Größe und Richtung.

Ist aber der Punkt nicht völlig frei, sondern in Berührung mit der Oberfläche eines unbeweglichen festen Körpers (Fig. 61), welcher derartig geformt ist, dass er den Massenpunkt verhindert, sich so (in der punktierten Bahn) zu bewegen, wie es unter alleiniger Wirkung von K geschehen müste, so übt die feste Oberfläche einen Einflus

Fig. 61.



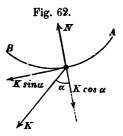
auf die Bewegung des Massenpunktes aus, und einen solchen Einfluß haben wir (nach S. 31) als eine Kraft aufzufassen, welche als zweite Kraft zu K hinzutritt und ihrer Größe nach von K in gewisser Weise abhängig ist.

Wir benutzen den Erfahrungssatz: Vollkommen glatte Körper, die sich ohne ein Bindemittel berühren, können an jeder Berührungsstelle nur einen gegenseitigen Druck, dessen Richtung rechtwinklig zur Berührungsebene steht, also einen gegenseitigen Normaldruck, aufeinander ausüben. Völlig glatte Körper gibt es freilich nicht; obiger Satz trifft aber um so mehr zu, je größer der Grad der Glätte ist, und umgekehrt. Die bezeichnete Kraft heißt der Normalwiderstand der vorgeschriebenen Fläche und wird mit N bezeichnet.

Noch enger beschränkt ist die Bewegung des Massenpunktes, wenn ihm eine bestimmte Linie als Bahn vorgeschrieben wird, z.B. durch eine Röhre, welche den als Massenpunkt gedachten Körper derartig umschließt, daß er sich nur längs der Mittellinie der Röhre bewegen kann, oder durch einen steißen glatten Draht, auf dem der Massenpunkt mittels einer Bohrung geführt wird. Beide Vorrichtungen sind geeignet, nach allen Richtungen innerhalb einer Normalebene zur vorgeschriebenen Bahnlinie den Widerstand N zu leisten. Diese Kraft N tritt stets in derjenigen Richtung und Größe auf, die erforderlich sind, um den Massenpunkt an dem Verlassen der vorgeschriebenen Bahnlinie zu hindern. N ist hiernach eine bedingte oder eine Bedingungskraft.

Der Normalwiderstand N kann bestimmt werden mit Hülfe der Formel für die Zentripetalbeschleunigung (S. 61).

Ein Punkt bewege sich auf der vorgeschriebenen ebenen Bahnlinie (Fig. 62) von A nach B unter Einwirkung einer gegebenen, in der Ebene der Kurve liegenden Kraft K, zu der die unbekannte Kraft N hinzutritt. Ob man N anfänglich nach innen oder nach außen gerichtet annimmt, ist grundsätzlich gleichgültig. Ist das Endergebnis positiv, so war der angenommene Sinn richtig, andern-



falls ist er umzukehren. Schließt K mit der Normalen den Winkel  $\alpha$  ein, so zerlegt man K in  $K\sin\alpha$  (in der Bewegungsrichtung) und  $K\cos\alpha$  rechtwinklig dazu. Dann wird  $K\sin\alpha$  als einzige Tangentialkraft die Tangentialbeschleunigung erzeugen; so daß  $dv:dt=K\sin\alpha:m$  wird. In der Richtung nach dem Krümmungsmittelpunkt ergibt sich als Gesamtkraft  $N-K\cos\alpha$ . Diese muß die Zentripetalbeschleunigung hervorbringen, daher ist

1) 
$$\frac{v^2}{\varrho} = \frac{N - K \cos \alpha}{m} \quad \text{oder}$$

$$N = \frac{mv^2}{\varrho} + K\cos\alpha.$$

Ist K so gerichtet, dass die Pfeilspitze von  $K\cos\alpha$  nach dem Krümmungsmittelpunkte hinweist, so wird

$$N = \frac{m v^2}{\rho} - K \cos \alpha.$$

Dem Anfänger ist dringend zu empfehlen, in jedem vorliegenden Falle dieser Art die Gleichung 1 für die Zentripetalbeschleunigung anzusetzen und daraus erst N zu berechnen, nicht aber zu versuchen, die Formeln 2 oder 3 für N unmittelbar anzuschreiben, weil dabei erfahrungsmäßig leicht Irrtümer begangen werden.

Ist in Gleichung 3 die Seitenkraft  $K\cos\alpha$  allein schon imstande, die Zentripetalbeschleunigung zu erzeugen, ist nämlich

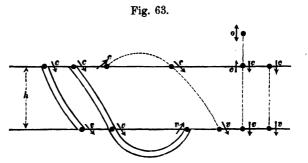
$$K\cos\alpha=\frac{mv^2}{\varrho},$$

so wird N = 0. An einer Stelle der Bahnlinie, für welche dies gilt, ist die Röhrenwandung bezw. der Führungsdraht überflüssig.

Für die Fälle der vorgeschriebenen Bewegung ist der Satz vom Arbeitsvermögen besonders vorteilhaft, weil der unbekannte Widerstand N keine Arbeit verrichtet, daher auch keinen Einflus auf die Geschwindigkeitsgröße hat.

Von besonderer Wichtigkeit sind solche Fälle der vorgeschriebenen Bewegung, bei denen als bewegende Kraft nur die Schwere auf-

tritt. Denkt man sich zwei wagerechte Ebenen im Abstande h voneinander (Figur 63), die durch beliebig, aber stetig gekrümmte Röhren als vorgeschriebene Bahnlinie miteinander



verbunden sind, so wird ein Massenpunkt, der oben mit einer Geschwindigkeit c in eine Röhre geworfen wird, sie unten mit der Geschwindigkeit v verlassen, und es gilt, weil nur die Schwere Arbeit verrichtet.

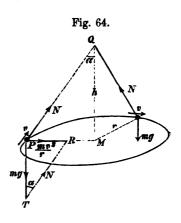
$$1/2 m v^2 - 1/2 m c^2 = mgh$$
 oder  $v^2 = c^2 + 2 gh$ ,

ganz wie bei der freien Fallbewegung. Ob der Punkt in freier (gerader oder parabolischer) Bahnlinie oder in beliebig gekrümmter vorgeschriebener Bahnlinie sich bewegt, ist für die Geschwindigkeitsgröße gleichgültig. Jedesmal, wenn er um h sich gesenkt hat, wird das Quadrat der Geschwindigkeit um 2gh gewachsensein. Bei aufwärts gerichteter Bewegung gilt  $v^2 = c^2 - 2gh$ .

### 15. Vorgeschriebene Bewegung in wagerechtem Kreise.

Die vorgeschriebene Bahn, etwa aus einem kreisförmig gebogenen Drahte gebildet (Fig. 64), liege in wagerechter Ebene; r sei der

Als bewegende Kraft Halbmesser. wirke die Schwere mg. Die Bewegung kann nur eine gleichförmige sein, weil die Schwere hier keine Arbeit verrichtet. Für diese Bewegung ist eine Zentripetalkraft  $mv^2:r$ , von P nach M gerichtet, erforderlich; folglich muß zu mgein derartiger Normalwiderstand Nhinzutreten, dass die Mittelkraft beider  $PR = mv^2 : r$  wird. Ist PT = mg. so wird die Strecke TR das gesuchte N darstellen. Selbstverständlich ist



dann N an den Punkt P parallel zu verschieben. N weicht von der Lotrechten um einen Winkel  $\alpha$  ab, für welchen gilt

1) 
$$\operatorname{tg} \alpha = \frac{m v^2}{r m g} = \frac{v^2}{g r}.$$

N kann auch aufgefaßt werden als Mittelkraft aus einem von P nach M gerichteten Drucke  $= mv^2 : r$  und einem lotrecht aufwärts gerichteten von der Größe mg. Nach dem Gesetze der Wechselwirkung übt der Massenpunkt auf die Bahn dieselben Kräfte in entgegengesetztem Sinn aus, drückt also mit der Kraft  $mv^2 : r$  nach außen, mit der Kraft mg lotrecht nach unten. Die Kräftefigur PTR liegt stets in einer lotrechten Ebene, läuft aber mit dem Massenpunkt um und dreht sich dabei um eine Lotrechte durch M als Achse. Die Richtungslinie von N geht dann durch

den festen Punkt Q dieser Achse, dessen Höhe h dadurch bestimmt ist, dass bei Q der Winkel  $\alpha$  sich wiederfindet. Es mus dann sein (mit Rücksicht auf Gleichung 1):

$$2) tg \ \alpha = \frac{r}{h} = \frac{v^2}{gr}, mithin$$

$$h = \frac{ar^2}{v^2}.$$

Die Kraft N können wir nun, nachdem wir ihre Bedingungen erkannt haben, auch noch in anderer Weise ausüben als durch den Draht. Wir können in Q einen völlig biegsamen und undehnbaren Faden befestigen, diesen in solcher Weise gerade ausspannen, daß h und r seine Projektionen sind, und bei P ihn mit dem Massenpunkte verbinden. Erteilen wir dann dem Massenpunkt eine Geschwindigkeit

4) 
$$v = r \sqrt{\frac{g}{h}} = \sqrt{gr \operatorname{tg} \alpha}$$
 (nach Gl. 2 und 3)

in wagerechter Richtung und zugleich rechtwinklig zum ausgespannten Faden, so sind die Bedingungen, welche ursprünglich
durch den Draht erzwungen wurden, auch mittels dieser Fadenaufhängung erfüllt; es wird also der wagerechte Kreis vom Halbmesser r gleichmäsig mit der Geschwindigkeit v durchlaufen werden.

Der Draht erzwingt auch bei anderer, etwa größerer, Geschwindigkeit  $v_1$  eine gleichförmige Kreisbewegung, doch wird dann tg  $\alpha$  (nach Gl. 1) größer. Bei der weniger bestimmten Fadenaufhängung ist aber genau diejenige Geschwindigkeit v erforderlich, die Gl. 4 entspricht. Was erfolgt, wenn die abweichende Geschwindigkeit  $v_1$  dem Punkt erteilt wird, soll weiter unten (S. 90) noch erörtert werden.

Da der Faden eine Kegelfläche beschreibt, so heißt diese Vorrichtung ein Kegelpendel, Bei einem Umlaufe muß der Punkt die Wegeslänge  $2r\pi$  zurücklegen, wozu eine Zeit t erforderlich ist, welche sich mit Hülfe von Gl. 4 zu

ergibt. Hiernach ist die Umlaufszeit t eines Kegelpendels nur von seiner Vertikalprojektion, der Höhe h, abhängig. Mehrere in Q

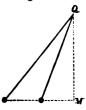
befestigte Kegelpendel gleicher Höhe h (Fig. 65) werden mithindieselbe Umlaufszeit haben. Es rührt dies daher, dass bei gleichem h die erforderlichen Geschwindigkeiten v nach Gl. 4 in gleichem Verhältnisse mit r, also auch mit den Wegeslängen eines Umlaufes wachsen.

Beispiel: Ist r = 1 m; h = 1 m, so muss

$$v=1\sqrt{\frac{9,81}{1}}=3,13 \, \mathrm{m/sek},$$

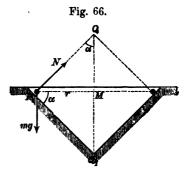
entsprechend einer Fallhöhe  $r^2:2h=1/2$  m, gemacht werden.

Es ist dann die Umlaufszeit 
$$t = 2 \pi \sqrt{\frac{1}{9,81}} = 2,01$$
 Sekunden.



Anstatt durch die Spannkraft eines Fadens kann die Kraft N auch durch den Gegendruck einer festen Fläche ausgeübt werden; letztere muß an der Stelle der Berührung mit dem Massenpunkte rechtwinklig zur Richtung von N stehen, mithin von der Wagerechten um den durch Gleichung 1 bestimmten Winkel abweichen. Dieser Bedingung würde genügt werden durch eine Kugelfläche

mit dem Mittelpunkte Q (Fig. 64) und dem Halbmesser QP, welche der unmittelbarste Ersatz des Fadens QP sein würde. Eine Kegelfläche mit der Spitze in  $Q_1$  (Fig. 66) erfüllt die Bedingung aber ebenfalls, sobald ihre Seiten mit der Wagerechten den Winkel  $\alpha$  bilden. Soll der Massenpunkt in solchem Trichter eine wagerechte Kreisbewegung vom Halbmesser r ausführen, so muß



ihm eine wagerechte Anfangsgeschwindigkeit rechtwinklig zu MP von der Größe  $v = \sqrt{gr \operatorname{tg} \alpha}$  (Gl. 4) erteilt werden.

Einer solchen Kegelfläche müssen auch die Oberkanten der beiden Schienen eines Eisenbahngleises angehören, wenn die Mittellinie desselben in einem wagerechten Kreisbogen vom Halbmesser r liegt.

Würden die Schienen nämlich in gleicher Höhe liegen (Fig. 67), so könnte die erforderliche Zentripetalkraft  $mv^2:r$  nur von dem

seitlichen Gegendrucke H der äußeren Schiene gegen den Spurkranz des Rades geliefert werden. Einer solchen Aufgabe ist aber die

Schiene bei größerer Geschwindigkeit, wobei H groß wird, nicht gewachsen.

Hebt man nun die äußere Schiene um h gegen die innere (Fig. 68), so daß die Oberfläche des Schienengleises um  $\alpha$  gegen die Wagerechte geneigt ist, so leistet das Gleis einen Normalwiderstand N, der um  $\alpha$  von der Lotrechten abweicht und mit dem Gewicht mg die nötige Zentripetalkraft  $mv^2:r$  liefert. Ein Seitendruck

der Schienen gegen die Spurkränze tritt

H

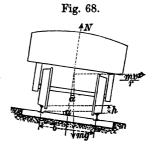
Fig. 67.

nun nicht ein, wenn die Geschwindigkeit v dem Winkel  $\alpha$  entspricht, d. h. wenn  $v = \sqrt{gr \operatorname{tg} \alpha}$  ist.

Ist b die Entfernung der beiden Schienen eines Gleises (Fig. 68) so beträgt die erforderliche Überhöhung der äußeren Kurvenschiene

$$h = b \sin \alpha$$
, wobei tg  $\alpha = \frac{v^2}{g r}$ .

In den vorkommenden Fällen der Anwendung ist  $\alpha$  stets so klein, daß  $\sin \alpha = tg \alpha$  gesetzt werden kann, so daß



$$h = b \, \frac{v^2}{qr} \text{ wird.}$$

Beispiel: Für eine Eisenbahnkurve von 600 m Halbmesser, b=1,5 m Schienentfernung ergibt sich für 20 m sekundl. Geschwindigkeit

tg 
$$\alpha = \frac{20^{\circ}}{9,81 \cdot 600} = 0,068$$
;  $\alpha = 3^{\circ}54'$ ;  $\sin \alpha = 0,088$ ;  $h = 1,5 \cdot 0,068 = 0,102 \text{ m}$ .

Diese Formel ist beim Eisenbahnbau lange benutzt worden; in neuerer Zeit hat man statt ihrer eine einfache Erfahrungsformel gewählt, was darin seine Begründung findet, daß die

Schienenüberhöhung nicht allein dem hier besprochenen Zwecke dienen, sondern zugleich noch andere Verhältnisse berücksichtigen muß.

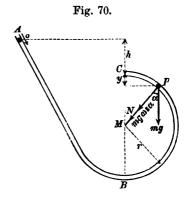
Beispiel: Auf demselben Grunde beruht die Notwendigkeit der Schrägstellung eines Kunstreiters (Fig. 69), welcher, auf dem Pferde stehend oder sitzend, im Kreise vom Halbmesser r mit einer Geschwindigkeit v sich bewegt.

Für 
$$r = 5$$
 m,  $v = 3$  m/sek wird tg  $\alpha = \frac{3^2}{9,\text{s}_1 \cdot 5} = 0,\text{1s}$ ;  $\alpha$  etwa = 10°. Wächst aber die Geschwindigkeit auf  $v = 5$ , so wird tg  $\alpha = 0,\text{s}_1$ ;  $\alpha = 27^\circ$ .

### 16. Vorgeschriebene Bewegung in lotrechtem Halbkreise.

BPC (Fig. 70) sei eine nach einem Halbkreise vom Halbmesser r gebogene Röhre in lotrechter Ebene. Bei B schließe

sich tangential eine Röhre AB von beliebiger Form an; A liege um h über dem Punkte C. Läßt man nun bei A einen Massenpunkt mit der Geschwindigkeit Null in die Röhre gelangen und gleitet er darin ohne Reibung und ohne Klemmen, so tritt er bei B mit einer Geschwindigkeit  $v_{max} = \sqrt{2g(h+2r)}$  in den Halbkreis, weil er von A bis B die Höhe h+2r durchsunken hat. Von B aus aufwärts steigend, verliert er an Geschwindigkeit, und zwar ist



diese an einer beliebigen Stelle P (bestimmt durch den Winkel  $\alpha$ ) noch  $v = \sqrt{2g(h+y)} = \sqrt{2g(h+r-r\cos\alpha)}$ . Der Normalwiderstand der Röhre sei N (nach innen gerichtet); dann zerlegt sich mg in  $mg\sin\alpha$  (tangential und verzögernd) und  $mg\cos\alpha$  (zentripetal). Es wird  $\frac{v^2}{r} = \frac{N + mg\cos\alpha}{m}$ , mithin

1) 
$$N = \frac{mv^2}{r} - mg \cos \alpha = mg \left(\frac{2h}{r} + 2 - 3\cos \alpha\right).$$

Für  $\alpha = 0$  (Punkt C) wird cos  $\alpha$  möglichst groß, nämlich = 1, daher N möglichst klein, nämlich

$$N_{min} = m g \left(\frac{2h}{r} - 1\right);$$

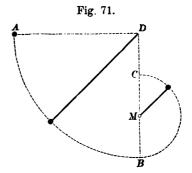
für  $\alpha = \pi$  (Punkt B) wird cos  $\alpha$  möglichst klein, nämlich = — 1 und N möglichst groß, nämlich

$$N_{max} = mg\left(\frac{2h}{r} + 5\right).$$

Im allgemeinen kann N positiv oder negativ werden. Ein positives N bedeutet einen nach innen gerichteten Widerstand, der von der äußeren Wand der Röhre zu leisten ist, und umgekehrt. Überall wo N > 0, muß die äußere Wandung wirken; gegen diese legt sich der Massenpunkt, während die innere Wand überflüssig ist. Soll an allen Stellen  $N \ge 0$  sein, so muß nach Gl.  $2 h \ge 1/2 r$  sein. In diesem Fall ist, statt einer völligen Röhre, eine einfache Rinne oder ein äußerer Zylindermantel hinreichend, welcher den Massenpunkt hindert, sich von der Kreisbahn tangential nach außen hin zu entfernen.

Beispiel: Ein stetes positives N, welches den Punkt nur hindert, nach außen aus der vorgeschriebenen Bahn hinauszutreten, kann durch einen einfachen Faden geleistet werden. Damit N auch an der höchsten Stelle noch

> 0 bleibe, muß  $h > ^{1}/2 r$  sein. Es möge etwa h = r gemacht werden. Dazu benutze man einen Faden von der Länge 3 r (Fig. 71) und befestige diesen in D. Der Faden wird in der Lage DA wagerecht ausgestreckt; läßt man nun den Massenpunkt los, so beschreibt er den Viertelkreis AB. In M muß nun ein vorstehender dünner Stift sich befinden, damit die oberen zwei Drittel der Fadenlänge in der Lage DM zur Ruhe kommen, das untere Drittel r des Fadens aber sich um M drehe und den Punkt zur Bewegung BC zwinge. Ist der Massenpunkt



unmittelbar rechts von B, so wird die Fadenspannkraft  $N_{max} = mg (2 + 5) = 7 mg$ , d. h. 7 mal so groß, als wenn der Punkt ruhend an dem Faden hinge. Bei der Bewegung nach C hin vermindert sich die Spannkraft auf  $N_{min} = mg (2 - 1) = mg$ . Der Massenpunkt wird sich, nachdem er C erreicht hat, in dem kleineren Kreise weiter bewegen (symmetrisch zu CB), und es würde sich der Faden allmählich auf den Stift bei M aufwickeln. Wenn man

aber in dem Augenblicke, wo der Massenpunkt zum ersten Male wieder in B angelangt ist, den Stift M entfernt oder den Faden vom Stift abschiebt, so wird der Massenpunkt symmetrisch zu BA einen Viertelkreis vom Halbmesser 3r beschreiben und auf der rechten Seite sich bis zur Höhe des Punktes A wieder erheben.

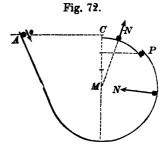
Liegt (Fig. 72) der Anfangspunkt A der Bewegung in gleicher Höhe mit C, ist die Überhöhung h = 0, so wird nach Gl. 1, 2 und 3 (S. 72 u. 73)

$$N = mg (2 - 3 \cos a);$$
  

$$N_{max} = mg \cdot 5; \quad N_{min} = -mg.$$

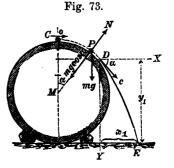
Mithin wird im oberen Teile des Kreises N negativ, nach außen gerichtet, d. h. der Massenpunkt drückt gegen die innere Wandung

der Röhre. Der Übergang aus dem Positiven ins Negative erfolgt bei  $\cos \alpha = \frac{2}{3}$ ;  $\alpha = 48^{\circ}$ ; hier ist N = 0. Diese Stelle P ist am einfachsten durch Zeichnung zu finden; man teile MC in drei gleiche Teile und ziehe durch den oberen Teilpunkt eine Wagerechte, so bestimmt diese den Punkt P. Unterhalb derselben ist ein äußerer, oberhalb ein innerer Mantel erforderlich.



Diese Betrachtungen finden auch auf einen solchen Fall teilweise Anwendung, wo nur ein innerer Mantel vorhanden ist (Fig. 73), auf welchem der Massenpunkt gleitet. Man denke sich einen ruhig

liegenden zylindrischen Körper (Dampfkessel, Strassenwalze, dicker Baumstamm oder dgl.), auf dessen höchster Stelle wir einen Massenpunkt ruhen lassen. Bringt man ihn durch einen genügend schwachen Anstoss in Bewegung, so wird er beschleunigt abwärts gleiten. Der Anstoss soll so gering sein, dass die Anfangsgeschwindigkeit bei C annähernd — Null gesetzt werden kann. An einer Stelle P ist dann die



Geschwindigkeit  $v = \sqrt{2 gy} = \sqrt{2 g (r - r \cos \alpha)}$ . Der Normalwiderstand N kann unter den vorliegenden Umständen nur nach

außen gerichtet auftreten. Daher muß jetzt  $\frac{v^2}{r} = \frac{m g \cos \alpha - N}{m}$ ,

mithin 
$$N = mg \cos \alpha - \frac{mv^2}{r} = mg (3 \cos \alpha - 2)$$
 sein. Für

cos  $\alpha={}^2/3$  oder  $\alpha=48\,^{\circ}$  wird wiederum N=0; an dieser Stelle drückt der Punkt nicht mehr gegen den zylindrischen Körper. Für  $\alpha>48\,^{\circ}$  oder cos  $\alpha<{}^2/3$  müßte zur Fortsetzung der kreisförmigen Bewegung ein nach innen gerichteter Druck N auftreten; da dieser aber nicht geleistet werden kann, so wird der Punkt von dieser Stelle an  $(\alpha=48\,^{\circ})$  der kreisförmigen Bahnlinie nicht mehr folgen, es wird der Normalwiderstand zu wirken aufhören und der Punkt sich unter alleiniger Einwirkung der Schwere parabolisch weiter bewegen, sich also von dem walzenförmigen Körper trennen. Es soll die weitere Bewegung untersucht und namentlich festgestellt werden, wann und wo der Punkt bei E den Boden erreicht.

Die Geschwindigkeit, mit der diese Bewegung im Punkte D beginnt, ist  $c = \sqrt{2g^{1}/3r}$  mit den Seitengeschwindigkeiten

$$c \cos \alpha = \frac{2}{3} \sqrt{\frac{2}{3}} \frac{gr}{gr} = V^{\frac{8}{27}} \frac{gr}{gr} = 1.7 \sqrt{r}$$

$$c \sin \alpha = \sqrt{1 - \frac{4}{9}} \sqrt{\frac{2}{3}} \frac{gr}{gr} = V^{\frac{10}{27}} \frac{gr}{gr} = 1.9 \sqrt{r}.$$

Nach t Sekunden ist (von D als Anfangspunkt gerechnet)

$$x = t c \cos \alpha = t \sqrt[8]{27} g r$$
  
$$y = t c \sin \alpha + \frac{1}{2} g t^2 = t \sqrt{\frac{10}{27} g r} + \frac{1}{2} g t^2.$$

Für den Endpunkt E gilt  $y_1 = \frac{5}{3} r$  oder

$$y_1 = \frac{5}{3} r = t_1 \sqrt{\frac{10}{27} g r} + \frac{1}{2} g t_1^2$$
.

Daraus erhält man

$$t_1 = \sqrt{\frac{r}{27g}} (10 - \sqrt{10}) = 0.42 \sqrt{r}$$

und hiermit 
$$x_1 = (10 - \sqrt{10}) \sqrt{\frac{r}{27 g} \frac{8}{27} g r} = 0.716 r.$$

Der Abstand des Endpunktes E von der Lotrechten CM wird dann  $r\sqrt[7]{5/9} + x_1 = 1.46 r$ .

Der vorgeschriebenen kreisförmigen Bewegung und der freien parabolischen Bewegung entsprechen im Punkte D dieselben Kräfte.

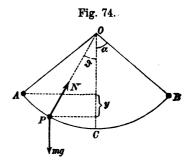
Daraus folgt, dass Parabel und Kreis an der Stelle D nicht allein den Punkt D und die Berührungsgerade gemein haben, sondern dass bei D auch der Krümmungshalbmesser  $\varrho$  der Parabel gleich demjenigen der Kreislinie, nämlich  $\varrho=r$  sein muß. Berechnet man nach den Formeln der Differentialrechnung und der analytischen Geometrie den Krümmungshalbmesser der parabolischen Bahnlinie DE und setzt in der betreffenden Formel x=0 (Punkt D), so ergibt sich auch tatsächlich  $\varrho=r$ .

In ähnlicher Weise würde, wenn in Fig. 72 zwischen P und C die innere Röhrenwandung fehlte, der Massenpunkt bei P in eine parabolische Bewegung übergehen, die sich nicht bis zur Höhe des Punktes C erheben würde.

### 17. Einfaches (mathematisches) Pendel.

Wiederum möge ein Massenpunkt auf einen kreisförmig gebogenen Draht in lotrechter Ebene unter Einwirkung der Schwere

sich bewegen, jedoch möge der höchste Punkt, wo die Geschwindigkeit Null ist, im unteren Halbkreise liegen (Fig. 74). Der Halbmesser des Kreisbogens sei l. Die Anfangslage A sei durch den Winkel  $\alpha$ , eine beliebige Zwischenlage P durch den Winkel  $\vartheta$  bezeichnet. Der Massenpunkt wird an der Stelle B, die mit A in gleicher Höhe liegt, wieder die Geschwindigkeit Null



haben, wird nach A zurückgehen und den Bogen AB und BA fortgesetzt durchlaufen symmestrisch zur tiefsten Lage C. Solche Bewegung heißt Schwingung. In der beliebigen Lage P ist die Geschwindigkeit

1) 
$$v = \sqrt{2 g y} = \sqrt{2 g l (\cos \vartheta - \cos \alpha)}.$$

Es muss also nach Gl. 1, S. 66 sein:

$$\frac{v^2}{l} = 2 g \; (\cos \vartheta - \cos \alpha) = \frac{N - m g \cos \vartheta}{m} \; \text{oder}$$

$$N = m g (3 \cos \vartheta - 2 \cos \alpha).$$

Da  $\vartheta$  und  $\alpha$  beide kleiner als  $^{1}/_{2}\pi$  sind, so wird für  $\vartheta=\alpha$   $N_{min}=m\ g\cos\alpha$ , für  $\vartheta=0$  aber  $N_{max}=m\ g\ (3-2\cos\alpha)$ .

Für  $\alpha=48^{\circ}$  und  $\cos\alpha=2/3$  wird z. B.  $N_{min}=2/3$  mg;  $N_{max}=5/3$  mg.

Da N stets positiv ist, kann es durch die Spannkraft eines in O befestigten Fadens, an dem der Massenpunkt hängt, geleistet werden. In dieser Form heißt die Vorrichtung ein Pendel, u. zw. ein einfaches oder mathematisches, wenn man die Masse des Fadens vernachlässigt und einen einfachen Massenpunkt annimmt. Ein wirkliches (physisches) Pendel mit Rücksicht auf die körperliche Ausdehnung wird später untersucht werden. Betrachten wir die Bewegung von A aus, so ist die Wegeslänge in t Zeiteinheiten s = AP = l ( $a - \vartheta$ ), daher

$$ds = -l d\vartheta = v dt = dt \sqrt{2gl} (\cos \vartheta - \cos \alpha);$$

hieraus folgt

3) 
$$dt = -\frac{l d\vartheta}{v} = -\frac{l d\vartheta}{\sqrt{2gl(\cos\vartheta - \cos\alpha)}} = -\sqrt{\frac{l}{g}} \frac{d\vartheta}{\sqrt{2(\cos\vartheta - \cos\alpha)}}$$
.

Dies ist die Zeit für die Zunahme des Winkels  $\vartheta$  um  $d\vartheta$ . Wird nun in der Zeit t der Bogen AP zurückgelegt, so muß

4) 
$$t = -\sqrt{\frac{l}{g}} \int_{\theta}^{\theta} \frac{d\theta}{\sqrt{2(\cos\theta - \cos\alpha)}} \text{ sein.}$$

Für t=0 ist nämlich  $\vartheta=\alpha$ , für t=t aber  $\vartheta=\vartheta$ . Die Intregation läßt sich in geschlossener Form nur ausführen, wenn man sich mit einer Annäherung begnügt, indem man nur kleine Winkel  $\alpha$  berücksichtigt. Es ist  $\cos\vartheta=1-2\sin^2(1/2\vartheta)$ , und wenn man den Sinus von  $1/2\vartheta$  mit dem Bogen  $1/2\vartheta$  vertauscht,

$$\cos \vartheta = 1 - 2 (1/4 \vartheta^2) = 1 - 1/2 \vartheta^2;$$

ebenso  $\cos \alpha = 1 - \frac{1}{2} \alpha^2$ , mithin  $2 (\cos \vartheta - \cos \alpha) = \alpha^2 - \vartheta^2$ . Also, wenn man noch in Gl. 4 die Grenzen vertauscht und daher gleichzeitig das Zeichen — durch + ersetzt,

$$t = \sqrt{\frac{l}{g}} \int_{\vartheta}^{\vartheta} \sqrt{\frac{d\vartheta}{\alpha^2 - \vartheta^2}}$$
. Dies gibt aber

$$t = \sqrt{\frac{l}{g}} \left[ \arcsin \frac{\vartheta}{\alpha} \right]_{\vartheta}^{\alpha}$$

und weil arc sin  $1 = \frac{1}{2} \pi$  ist,

$$t = \sqrt{\frac{l}{a}} \left\{ \frac{1}{2} \pi - \arcsin \frac{\vartheta}{\alpha} \right\}.$$

Dies ist die Zeit zum Durchlaufen des Bogens AP.

Um zu ermessen, wie groß der Fehler der Annäherung ist, nehme man  $\vartheta = 5^{\circ}$  an, dann ist  $\cos \vartheta = \cos 5^{\circ} = 0,996195$ . Es ist aber  $\vartheta = \arccos 5^{\circ} = \frac{5 \cdot \pi}{180} = 0,997266$ , daher  $1 - \frac{1}{2} \cdot \vartheta^2 = 0,996192$ ; es kommt also erst in der 6 ten Decimale eine Abweichung vor.

Die Dauer der Schwingung von A nach B ist offenbar doppelt so groß wie die von A nach C (für  $\vartheta = 0$ ), mithin wird die Dauer  $t_1$  einer einfachen Schwingung von A nach B

5) 
$$t_1 = 2\sqrt{\frac{l}{g}} (1/2\pi) = \pi \sqrt{\frac{l}{g}},$$

was man auch erhält, wenn man zwischen den Grenzen —  $\alpha$  und +  $\alpha$  integriert. Es ist für Meter und Sekunden und für g = 9.81:  $\frac{\pi}{V a} = 1.003$ , mithin

$$t_1 = 1,003 \text{ V } l$$
 oder annähernd  $t_1 = V l$ .

Für l=1 m wird  $t_1=1,003$  Sekunden, oder ein Pendel von 1 m Länge macht in der Stunde 3589 einfache Schwingungen.  $t_1=1$  gibt  $l=\frac{g}{\pi^2}=0,994$  m als Länge des Sekundenpendels.

Da die Länge des Sekundenpendels mit g verhältnisgleich ist, so muß diese Länge an der Oberfläche der Sonne bezw. des Mondes (nach S. 59) 28 bezw. 1/s mal so lang sein.

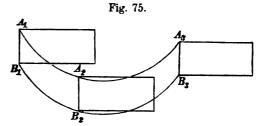
Man kann die Gleichung 5 auch schreiben  $g = l \frac{\pi^2}{t_1^2}$ , kann also mit Hülfe von Pendelschwingungen aus der gemessenen Pendellänge l und der beobachteten Dauer  $t_1$  einer Schwingung die Fallbeschleunigung an der betreffenden Stelle der Erde berechnen.

## 18. Scheinbare (relative) Bewegung eines Massenpunktes in Bezug auf einen fortschreitenden Raum.

Die Bewegung eines körperlichen Gebildes, eines Raumes, heißt fortschreitend, wenn alle Teile desselben stets parallel ihrer

Anfangslage bleiben (Fig. 75); hiermit ist notwendig verknüpft, dass dann alle Punkte des Körpers völlig übereinstimmende, nur

parallel gegen einander verschobene Bahnlinien  $A_1 A_2 A_3$  und  $B_1 B_2 B_3$  beschreiben, daher in einem bestimmten Augenblicke völlig übereinstimmende Geschwindigkeiten haben.



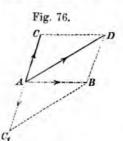
Die Bahnlinien brauchen dabei nicht geradlinig zu sein. Solche fortschreitenden Bewegungen werden auch Verschiebungen genannt, während man eine beliebige Bewegung, bei welcher der Körper der Anfangslage nicht parallel bleibt, als Verrückung bezeichnet.

Verschiebungen mit geraden Bahnlinien kommen sehr häufig vor; ein Eisenbahnwagen, ein Schiff führt solche auf geraden Strecken aus. Wenn aber der Wagen oder das Schiff einen krummlinigen Weg beschreibt, so erfährt der Eisenbahnwagen stets, das Schiff meistens eine Veränderung seiner Richtung, d. h. nicht mehr eine einfache Verschiebung. Eine parallele Verschiebung des Raumes wird im folgenden angenommen.

Wenn nun ein Massenpunkt während der Zeit t eine Bahnlinie AB (Fig. 76) beschreibt, diese Bahnlinie aber einem sich verschiebenden Raum angehört und daher der Punkt A gleichzeitig in dem Zeitraume t die Strecke AC zurücklegt, so wird nach S. 17 die wahre Bewegung des Punktes gefunden, indem man aus AB und AC ein Parallelogramm zeichnet, dessen vierter Eckpunkt D dann der wahre Ort des Punktes ist. Die Bewegung AB in dem fortschreitenden Raume heißt die scheinbare Bewegung des Punktes, weil ein in dem Raume befindlicher Beobachter, der die Bewegung des Raumes mitmacht, nur diese Bewegung wahrnimmt, oder die relative Bewegung in Bezug auf den Raum. Alle Bewegungen, die die Fahrgäste eines fahrenden Eisenbahnwagens in demselben ausführen, sind solche scheinbaren Bewegungen. Die wahre oder absolute Bewegung AD ist die Resultierende aus beiden Seitenbewegungen.

Häufig liegt die Aufgabe vor, aus der wahren Bewegung AD und der Verschiebung des Raumes AC die scheinbare Bewegung AB zu bestimmen. Dies kann nach den früheren Regeln

(S. 27) geschehen, indem man die wahre Bewegung AD zerlegt in die eine Seitenbewegung AC (des Raumes) und die gesuchte scheinbare Bewegung AB, nämlich zu den drei Eckpunkten A, C und D den vierten Eckpunkt des Parallelogrammes sucht. Für die Anwendung ist es aber häufig vorteilhafter, das Verfahren so einzurichten, daß die gesuchte Bewegung AB nicht als geometrische Differenz,

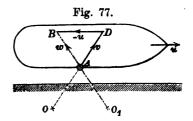


sondern als geometrische Summe erscheint, d. h. das Parallelogramm so anzuordnen, dass B dem Punkt A diagonal gegenüber liegt. Dies geschieht, indem man die Verschiebung AC des Raumes in entgegengesetztem Sinne, nämlich als  $AC_1$ , aufträgt und aus ADund AC1 ein Parallelogramm zeichnet, in dem dann B der vierte Eckpunkt des Parallelogramms wird. Ob die Bewegungen AB, AC und AD geradlinig sind oder nicht, ist für das Verfahren der Zusammensetzung und Zerlegung (wie S. 27 gezeigt wurde) völlig gleichgültig. Bei den Bewegungen kommt es nur auf die Orte nach t Zeiteinheiten an, welche man für die Konstruktion durch Gerade verbinden kann. Dabei ist wieder nicht das ganze Parallelogramm erforderlich; vielmehr genügt es, der Strecke AD der wahren Bewegung die Strecke DB als Entgegengesetztes der Verschiebung des Raumes anzufügen, um in der Schlusstrecke AB die scheinbare Bewegung zu erhalten. Wie früher gezeigt, gelten für die Geschwindigkeiten und Beschleunigungen dieselben Gesetze wie für die Bewegungen; daher haben wir die Sätze:

Die scheinbare Bewegung in einem fortschreitenden Raum ist die geometrische Summe aus der wahren Bewegung und dem Entgegengesetzten der Bewegung des Raumes. Die Geschwindigkeit bezw. Beschleunigung der scheinbaren Bewegung ist die geometrische Summe aus der wahren Geschwindigkeit bezw. Beschleunigung und dem Entgegengesetzten der Geschwindigkeit bezw. Beschleunigung des Raumes.

Beispiel 1: Ein Schiff bewege sich gleichförmig, geradlinig fortschreitend mit der Geschwindigkeit u nach rechts (Fig. 77). Vom Ufer aus werde ein Stein in der Richtung OA über das Verdeck hinweg geworfen. Von der Wurf-

bewegung wollen wir nur die geradlinige gleichförmige Seitenbewegung im Gruudrisse berücksichtigen, die mit der wahren Geschwindigkeit v erfolgen möge. Ein auf dem Schiffe mitfahrender Beobachter erblickt nicht die wahre Bewegung, sondern nur die scheinbare, deren Geschwindigkeit w wir erhalten, indem wir in A die Strecke v = AD auftragen und DB = u, aber nicht nach rechts, son-



dern mit entgegengesetztem Sinn, anfügen, dann ist AB die geometrische Summe von v und -u, d. h. die gesuchte scheinbare Geschwindigkeit w. In dieser Richtung AB wird der Stein über das Schiff hinwegstreichen, als ob der Wurf etwa von einem Ursprung  $O_1$  herrührte. Ist der Stein vielleicht ein Stück Kreide, so wird er die Bahnlinie AB selbsttätig aufzeichnen können. Als Probe der Richtigkeit dient die Betrachtung, daß die Geschwindigkeit w, verbunden mit der wirklichen Geschwindigkeit BD = +u des Schiffes, als geometrische Summe wieder die wahre Geschwindigkeit AD = v des Steines liefert. Ist das Verdeck vielleicht mit Tonnen, Ballen u. dergl. besetzt, so wird die Bewegung des Steines über dasselbe sich ungehindert nur dann entwickeln können, wenn längs AB zufällig eine Gasse frei geblieben ist. Diese Gasse ist dann gewissermaßen ein Kanal, eine Röhre, in welcher das fahrende Schiff den Stein so auffängt, daß er, ohne seitlich gestört zu werden, über das Verdeck hinweggleiten kann.

Beispiel 2: Nach dem vorstehenden sind die Bedingungen zu beurteilen, unter denen ein Fixstern in der Mitte des Gesichtsfeldes eines Fernrohres

erscheinen kann. Es findet dies statt, wenn der von dem Stern ausgehende Lichtstrahl sich in der Richtung der Mittellinie des Rohres fortpflanzt. Stände nun die Erde mit dem Fernrohre fest, so müßte das Rohr genau in die Richtung nach dem Sterne gestellt werden. Da aber die Erde mit dem Fernrohr eine Bewegung um die Sonne ausführt, so kommt die scheinbare Bewegung des Lichtes in Bezug auf die fortschreitende Erde in Frage. Ist (Fig. 78) u die Geschwindigkeit der fortschreitenden Erde und ist die Richtung nach dem zu betrachtenden Sterne rechtwinklig zu u, so hat man an die Geschwindigkeit des Lichtes v = AB das Entgegengesetzte BC der Geschwindigkeit u der Erde anzutragen, um in a C die scheinbare Geschwindigkeit u des Lichtes gegen das Fern-



rohr zu erhalten. Diese Richtung AC muß das Rohr haben, damit der vom Stern S ausgehende Strahl das Fernrohr ungehindert durchlaufen kann, damit also der Stern S in der Mitte des Gesichtsfeldes erscheine. Da man nun

gewohnt ist, einen im Fernrohr erblickten Gegenstand als in der Richtung des Fernrohres befindlich anzunehmen, so vermutet man S vielleicht an der Stelle  $S_1$ . Der Winkel  $\varphi$ , um den die scheinbare Richtung des Sternes von der wahren abweicht, heißt die Aberration des Lichtes. Die sekundl. Geschwindigkeit der Erde beträgt 29.7 km, die des Lichtes  $308\,000$  km, daher ist

$$tg \varphi = 29,7 : 308000 = 0,000000$$

Dieser Tangente entspricht ein Winkel von etwa 20".

Beispiel 3: Abschreiten eines vorüberfahrenden Baumstammes. Sieht man einen Baumstamm langsam und gleichmäßig auf einer Straße fahren, so kann man dessen Länge durch Abschreiten schätzen, indem man den Stamm einmal, ihn überholend, in der Fahrtrichtung abschreitet, ein zweites Mal gegen die Fahrtrichtung schreitet und für beide Fälle die Schritte zählt. Es empfiehlt sich hierbei, die Zeit eines Schrittes als Zeiteinheit zu wählen, dann ist die Schrittlänge zugleich die Geschwindigkeit v des Schreitenden. Mit u werde diejenige Strecke bezeichnet, welche der Stamm während eines Schrittes zurücklegt. Beim Überholen ist die scheinbare Geschwindigkeit des Schreitenden gegen den Stamm offenbar v-u. Ist nun t die Anzahl der Schritte beim Überholen, so muß die Länge l des Stammes betragen  $l=(v-u)\,t$ . Beim Entgegenschreiten wird die scheinbare Geschwindigkeit v+u, daher  $l=(v+u)\,t_1$ , wenn  $t_1$  die entsprechende Schrittzahl. Aus diesen beiden Gleichungen können u und l ermittelt werden, nämlich zu

$$u = v \frac{t - t_1}{t + t_1}; \quad l = v \frac{t t_1}{\frac{1}{2} (t + t_1)}.$$

Der Schreitende mache in jeder Sekunde 2 Schritte von je 0,s m. Zum Überholen des Stammes gebrauche er t=100 Schritte, zum Kreuzen nur  $t_0=20$  Schritte, dann ist  $\frac{u}{v}=\frac{80}{120}=\frac{2}{3}$ ; während eines Schrittes von 0,s m legt mithin der Baumstamm die Strecke  $u=0,s\cdot\frac{2}{3}=0,s_{33}$  m zurück. Die Länge des Stammes beträgt  $l=0,s\cdot\frac{100\cdot20}{60}=26,s_{7}$  m.

Fährt der Stamm schneller, als der Wanderer schreitet, so ist letzterer nicht im stande, den Stamm schreitend zu überholen, läßt sich vielmehr von dem Stamme während der Dauer von t Schritten überholen, kehrt dann laufend an das Vorderende des Stammes zurück und läßt ihn in entgegengesetzter Richtung während der Dauer von  $t_1$  Schritten an sich vorbeifahren. In diesem Falle wird leicht gefunden:

$$\frac{u}{v} = \frac{t+t_1}{t-t_1}; \quad l = v \frac{tt_1}{1/s (t-t_1)}.$$

Es sei jetzt  $v = 0.75 \,\mathrm{m}$ ; t = 300,  $t_1 = 20$ ; dann wird  $\frac{u}{v} = \frac{320}{280} = \frac{8}{7}$ , mithin

$$u = 0.857 \text{ m}; \ l = 0.75 \cdot \frac{300 \cdot 20}{140} = 32.14 \text{ m}.$$

Beispiel 4: Ein Stein werde mit der geringen Geschwindigkeit  $v = 10 \, \text{m/sek}$  senkrecht zur Fahrtrichtung gegen einen mit 20 m/sek fahrenden Eisenbahnzug geworfen; dann ist die scheinbare Geschwindigkeit des Steines gegen den Zug

$$w = \sqrt{10^2 + 20^2} = 10 \sqrt{5} = 22,361 \,\mathrm{m/sek}$$
.

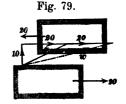
Diese Geschwindigkeit ist maßgebend für die Wirkung des Wurses gegen einen etwa getroffenen Fahrgast, u. zw. ist das hierfür in Frage kommende Arbeitsvermögen  $1/2 m w^2 = 1/2 m \cdot 10^2 \cdot 5$ , d. h. das 5 fache der von dem Wersenden geleisteten Arbeit  $1/2 m v^2 = 1/2 m \cdot 10^2$  (S. 53).

In noch viel höherem Grade aber vervielfacht sich die Wirkung, wenn 2 Züge mit je 20 m/sek aneinander vorbeifahren und der Stein aus dem einen Zuge gegen den anderen geworfen wird. Dann ist die wahre Geschwindigkeit des Steines die geometrische Summe aus der Seitengeschwindigkeit c=10 m/sek, welche der Fahrgast dem Stein erteilt hat, und der Geschw. 20 m/sek des ersten Zuges, d. h.  $v=\sqrt{10^2+20^2}=10\sqrt{5}=22,361$  m/sek. Diesem v

ist nun noch, wenn der zweite Zug nach links fährt (Figur 79), dessen Geschwindigkeit 20 m/sek nach rechts hinzuzufügen. Dann wird w offenbar die Hypotenuse eines Dreiecks, dessen eine Kathete 10, dessen andere aber 20 + 20 = 40 beträgt, also

$$w = \sqrt{10^2 + 40^2} = 10\sqrt{1 + 16} = 10\sqrt{17} = 41.23$$

Ein in dem zweiten Zuge befindlicher, etwa getroffener Fahrgast verspürt also eine Wurfwirkung von der

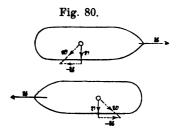


Größe  $^{1/2}$  m  $w^{2} = ^{1/2}$  m  $10^{2} \cdot 17$ ; d. h. durch die Bewegung der beiden Eisenbahnzüge ist die Stoßswirkung auf das 17 fache gewachsen, gegenüber dem Falle, wo der Stein aus einem stillstehenden Zug auf einen ebenfalls stillstehenden Zug geworfen würde. Die Geschwindigkeit von 10  $^{m}/_{sek}$  entspricht einer Fallhöhe von nur  $100 \cdot 0,001 = 5,1$   $^{m}$ ; ein Wurf mit solcher Geschwindigkeit ist daher als verhältnismäßig harmlos zu bezeichnen. 41,23  $^{m}/_{sek}$  entsprechen aber einer Fallhöhe von  $17 \cdot 5,1 = 86,7$   $^{m}$ , also einer Turmhöhe.

Beispiel 5: Fällt von einer über eine Eisenbahn führenden Brücke ein Stein lotrecht herab, so ist dessen wahre Bewegung eine lotrechte, gleichförmig beschleunigte mit der Anfangsgeschwindigkeit Null. Für einen vorbeifahrenden Zug aber wird die scheinbare Bewegung eine parabolische Wurfbewegung, deren wagerechte Seitengeschwindigkeit das Entgegengesetzte der Geschwindigkeit des Eisenbahnzuges ist. Diese parabolische Bahnlinie wird ein im Zuge fahrender Beobachter wahrnehmen. Ähnlich ist es auch mit Regentropfen, die, lotrecht fallend, einen Zug treffen. Die Spuren derselben an den Fenstern und Wänden der Wagen werden von der Lotrechten abweichen. — Kann man, Kopf oder Hand aus einem Eisenbahnzuge hinaus haltend, keinen Luftzug wahrnehmen, so muß die umgebende Luft die gleiche Bewegung wie der Zug haben, es muß also ein in der Fahrrichtung wehender Sturm herrschen.

Beispiel 6: Stellung der Windfahne auf einem Schiff. Eine leicht bewegliche Windfahne, deren Stange ruht, wird durch die Luftbewegung in die Richtung des Windes gestellt. Ist die Stange aber nicht in Ruhe, so kommt für die Stellung der Fahne die scheinbare oder relative Geschwindigkeit der Luft in Bezug auf die Fahnenstange in Frage. Bewegt sich ein Dampfschiff mit 5 m/sek und weht rechtwinklig dazu ein Wind von gleicher Geschwindigkeit

(Fig. 80), so ist die scheinbare Geschwindigkeit  $w=5\sqrt{2}$  und um  $45^{\circ}$  geneigt gegen die wahre Windrichtung. In der Richtung von w wird die Fahne sich einstellen. Man kann daher auf einem fahrenden Schiff aus der Richtung der Windfahne nicht ohne weiteres auf die Windrichtung schließen. Bei einem entgegengesetzt fahrenden Schiffe würde die Abweichung nach der anderen Seite er-



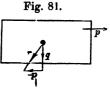
folgen, und unter den bezüglich der Geschwindigkeiten gemachten Annahmen würden die Fahnen auf den beiden sich begegnenden Schiffen rechtwinklig zu einander stehen.

Beschleunigung der scheinbaren Bewegung. Ist q die wahre Beschleunigung eines Punktes (Fig. 81), so ergibt sich die scheinbare Beschleunigung r als geometrische Summe

von q und dem Entgegengesetzten der Beschleunigung p des betreffenden Raumes.

Die wahre Beschleunigung q ist die

Die wahre Beschleunigung q ist die Wirkung einer wahren Kraft K=mq; die scheinbare Beschleunigung r kann als die Wirkung einer scheinbaren Kraft mr ange-



sehen werden, die man offenbar erhält als geometrische Summe der wahren Kraft K und einer Kraft (-mp), welche dem Entgegengesetzten der Beschleunigung des Raumes entspricht. Diese Kraft,

welche man zu der wirklichen hinzufügen muß, um die scheinbare Kraft zu erhalten, nennt man Ergänzungskraft der scheinbaren Bewegung.

Bewegt sich der Massenpunkt unter Einwirkung der Schwere in einem Raume (Kasten), der selbst eine Beschleunigung p (Fig. 82) lotrecht aufwärts erfährt, so ist g die wahre Beschleunigung des Punktes; zu dieser muß man p abwärts hinzufügen, um als

Fig. 82.

Summe beider die scheinbare Beschleunigung r = g + p zu erhalten.

Die scheinbare Kraft ist  $R=m\,(g+p)$ . Soll aber der Punkt verhindert werden, in dem Raume zu fallen, etwa dadurch, daß man ihn an einem Faden aufhängt, so muß die Spannkraft S des Fadens die scheinbare Kraft R aufheben, es muß also  $S=m\,(g+p)$  sein. (Ebenso groß würde der Gegendruck des Bodens sein, wenn der Massenpunkt auf dem Boden des Kastens läge.) Ist die Beschleunigung p des Kastens Null, so ist S einfach gleich dem Gewichte des Punktes. Die Beschleunigung des Kastens hat auf die scheinbare Bewegung denselben Einfluß, als ob die Fallbeschleunigung von g auf r=g+p erhöht wäre. Wird der an dem Faden hängende Punkt durch eine seitliche Bewegung aus der scheinbaren Ruhelage gebracht, so führt er Pendelschwingungen aus, und die Dauer einer kleinen einfachen Schwingung berechnet

sich, indem man in der Formel  $t = \pi \sqrt{\frac{l}{g}}$  (S. 78) g mit g + p vertauscht, zu

$$t = \pi \sqrt{\frac{l}{g+p}}.$$

Die Schwingungen erfolgen also wegen der stärkeren Beschleunigung in kürzerer Zeit.

Ist die Beschleunigung p des Kastens nach unten gerichtet, so wird r=g-p; R=m (g-p) und ein etwaiger Bodendruck oder eine etwaige Fadenkraft ebenfalls m (g-p). Die Schwingungsdauer des Pendels wird jetzt

$$t=\pi\sqrt{\frac{l}{q-p}}.$$

Bewegt sich der Kasten mit der Fallbeschleunigung p=g abwärts, so wird r=0; R=0; der Punkt hat keine scheinbare Beschleunigung gegen den Kasten (da beide gleiche Beschleunigung g haben). Bodendruck oder Fadenkraft werden Null; der Punkt drückt nicht mehr auf den Boden. Ein in dem Kasten befindlicher Mensch würde den Boden unter den Füßen verlieren. Da die Fadenkraft Null wird, ist auch ein Pendel nicht möglich; die Schwingungsdauer wird dann auch  $t=\infty$ , d. h. es kommt eine Schwingung nicht zu stande.

Ist aber die abwärts gerichtete Beschleunigung des Kastens p > g, so wird (Fig. 83) die scheinbare Beschleunigung r = p - g

nach aufwärts gerichtet; der Massenpunkt fällt in dem Kasten nach Ein etwaiger Deckendruck bezw. eine Fadenkraft S wird m (p-g), wobei der Faden an dem Boden befestigt sein muß. Bei einem seitlichen Anstoß entstehen Schwingungen um den unteren Befestigungspunkt, u. zw. von der Dauer

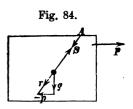


$$t=\pi\sqrt{\frac{l}{p-g}}.$$

Das in diesen verschiedenen Fällen über die Spannkraft S des Fadens Gesagte gilt auch, wenn ein Kasten gar nicht vorhanden ist, wenn man vielmehr etwa mit der Hand das eine Ende des Fadens erfast, während an dem andern Ende ein Massenpunkt angeschlossen ist. Bewegt man die Hand nach irgend einer Richtung gleichförmig und geradlinig, so ist die Spannkraft des stets lotrechten Fadens gleich dem Gewichte des angehängten Massenpunktes. Bewegt man die Hand aber mit aufwärts gerichteter Beschleunigung, so vergrößert sich die Spannkraft, und es kann infolge dieser Beschleunigung der Faden möglicherweise reißen. Will man in solchen Fällen das Reissen eines etwas schwachen Fadens oder Seiles vermeiden, so muss die Bewegung eine vorsichtige sein, d. h. eine solche ohne wesentliche Beschleunigung.

Ist der Kasten ein in wagerechtem Sinne beschleunigter Eisenbahnwagen mit der Beschleunigung p, so wird die scheinbare

Beschleunigung  $r = \sqrt{g^2 + p^2}$  schräg gerichtet; ebenso die scheinbare Kraft R = mr(Fig. 84). Soll der Massenpunkt durch einen aufhängenden Faden in scheinbarer Ruhe in dem Wagen erhalten werden, so muss.die Fadenspannkraft  $S = m\sqrt{g^2 + p^2}$  in die Richtung von r fallen. Um diese scheinbare Gleichgewichtslage als Mitte würden bei einem Anstoße



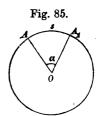
Pendelschwingungen von der Dauer  $t = \pi \sqrt{\frac{l}{r}}$  entstehen.

Richtung von r gibt zugleich die Stellung an, welche ein Fahrgast annehmen muss, um nicht umzufallen, wenn der Wagen eine nach rechts gerichtete beschleunigte Bewegung hat, oder wenn der nach links fahrende Wagen beim Anhalten eine Verzögerung p erfährt.

### 19. Ruhe in Bezug auf einen sich gleichmäßig drehenden Raum.

Dreht sich ein Körper um eine feste Achse O (rechtwinklig zur Bildebene, Fig. 85), so ist die Bewegungsart schon durch die

Bewegung eines einzigen Punktes oder auch eines beliebigen Drehungshalbmessers OA bestimmt. Der beliebige Punkt muß sich in einer Kreislinie bewegen, und wenn  $AA_1 = s$  die während der Zeit t zurückgelegte Wegeslänge ist, so wird s = f(t) das Bewegungsgesetz sein, welches die Kreisbewegung des Punktes A im Abstand OA = r von der Drehachse und damit auch die Dreh-



bewegung des Körpers völlig bestimmt. Es ist dann  $v=ds:d^t$  die Geschwindigkeit des Punktes A. Setzt man nun  $s=AA_1=r\alpha$ , so wird  $\alpha=^1/r\cdot f(t)$  oder  $\alpha=\varphi(t)$  das Gesetz der Drehbewegung des Halbmessers OA. Ebenso wie man v=ds:dt die Geschwindigkeit des Punktes A nennt, heißt  $\omega=d\alpha:dt=\varphi'(t)$  die Winkelgeschwindigkeit der Drehung, d. h. der auf die Zeiteinheit (Sekunde) bezogene Drehungswinkel oder die Umfangsgeschwindigkeit im Abstand Eins von der Drehachse. Wie  $s=r\alpha$  ist auch  $v=r\omega$  und  $\omega=v:r$ .

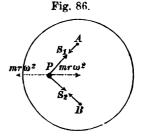
Beispiel: Dreht sich ein Körper in jeder Sekunde einmal gleichförmig um seine Achse, so beschreibt ein Punkt im Abstand r von der Achse den Weg  $2r\pi$  in jeder Sekunde, mithin ist  $v=2r\pi$ ; ein Punkt im Abstand r=1 also hat die Geschwindigkeit  $\omega=v:r=2\pi$ ; oder man kann auch sagen: Der Winkel  $2\pi$  einer gauzen Umdrehung wird in jeder Sekunde zurückgelegt daher ist  $\omega=2\pi$ . Die Grad zahl eines Winkels ist nicht ein natürliches sondern ein künstliches, willkürliches Maß für die Größe desselben. Die natürliche Einheit des Winkels ist derjenige Winkel  $\alpha$ , dem bei einem Halbmesser Eins eine Bogenlänge Eins entspricht. Da nun einem Winkel von 180° nach dem meist üblichen Gradmaß eine halbe Umdrehung, d. h. ein Bogen  $\pi$  entspricht, so wird der Bogeneinheit eine Gradzahl  $180:\pi=57$ ,3 entsprechen. Daß dieser Winkel etwas unter  $60^\circ$  liegen muß, ergibt sich daraus, daß beim Winkel von  $60^\circ$  die Sehne gleich dem Halbmesser, der Bogen also etwas größer als der Halbmesser ist.

Dreht sich ein Raum gleichförmig mit der Winkelgeschwindigkeit  $\omega$  um eine feste Achse und befindet sich in dem Raum ein Massenpunkt, und zwar in dem Abstand r von der Achse, in scheinbarer (relativer) Ruhe gegen den Raum, so macht er die Bewegung des Raumes tatsächlich mit, führt mithin eine gleichförmige Kreisbewegung mit der Geschwindigkeit  $v = r\omega$  aus, wobei er (nach S. 61) eine Zentripetalbeschleunigung

$$\frac{v^2}{r} = \frac{r^2 \omega^2}{r} = r \omega^2$$

erfährt. Dazu ist dann eine Zentripetalkraft von der Größe  $m \, r \omega^2$  erforderlich. Liegt z. B. auf einer wagerechten Scheibe, die sich

gleichförmig mit der Winkelgeschwindigkeit  $\omega$  um ihre lotrechte Achse dreht (Fig. 86), ein Massenpunkt, etwa eine kleine Kugel, so wird diese zur scheinbaren Ruhe gegen die Scheibe nur durch Kräfte gezwungen werden können, etwa durch die Spannkräfte  $S_1$  und  $S_2$  zweier bei A und B mit der Scheibe verbundenen Fäden.  $S_1$  und  $S_2$  werden dann so groß, daß ihre Mittel-



kraft von der Größe  $mr\omega^2$  und nach dem Mittelpunkt O gerichtet ist. Hierdurch sind  $S_1$  und  $S_2$  völlig bestimmt.

Diese Bedingung für die scheinbare Ruhe kann aber auch in ähnlicher Weise ausgedrückt werden wie die Bedingung für scheinbare Ruhe im fortschreitenden Raume. Haben nämlich die auf den Punkt wirkenden Kräfte  $S_1$  und  $S_2$  die Mittelkraft  $m r \omega^2$ , so würde das Entgegengesetzte dieser Kraft, d. h. eine radial nach außen gerichtete Kraft —  $m r \omega^2$ , mit  $S_1$  und  $S_2$  im Gleichgewichte sein. Diese zu den wirklichen Kräften  $S_1$  und  $S_2$  hinzuzufügende Kraft —  $mr\omega^2$ , welche mit ihnen im Gleichgewichte sein muß, entspricht dann genau der Ergänzungskraft — mp (S. 84); sie ist, wie diese, keine wirklich vorhandene Kraft, sondern nur eine gedachte Ergänzungskraft der scheinbaren Bewegung bezw. Ruhe und heisst wegen ihrer Richtung Zentrifugalkraft. Nach ihrer Hinzufügung ist dann die Bedingung für den scheinbaren Ruhezustand dieselbe wie für wirkliche Ruhe, nämlich Gleichgewicht der Kräfte. Nur muss man sich hüten, die Zentrifugalkraft als eine wirkliche Kraft anzusehen. In dem Falle der Figur 86 ist ja auch durchaus kein Körper nachzuweisen, der den Punkt mit der Kraft  $mr\omega^2$  nach außen triebe, vielmehr sind nur

die Fadenkräfte wirksam, die den Punkt hindern, sich von dem Mittelpunkt O weiter zu entfernen. Durchschnitte man die Fäden plötzlich, so würde der Punkt sich auch nicht etwa radial nach außen bewegen, sondern vielmehr tangential zu seiner bisherigen Kreisbahn mit der Geschwindigkeit v weiter gehen.

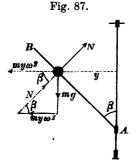
Von einer zum Schleifen dienenden, schnell umlaufenden Schmirgelscheibe fliegen die abgelösten, glühenden Metallteilchen in tangentialer Richtung fort. Läst man die Schnur einer Schleuder los, so fliegt der Stein aus derselben in tangentialer Richtung weiter.

Die Zentrifugalkraft ist nur eine Hülfsvorstellung zur Vereinfachung mancher Untersuchungen.

Soll ein Massenpunkt gegen einen sich mit der Winkelgeschwindigkeit  $\omega$  gleichförmig drehenden Raum bei einem Abstand r von der Drehachse in scheinbarer Ruhe verbleiben, so müssen die auf ihn wirkenden Kräfte sich mit der als Ergänzungskraft hinzuzufügenden Zentrifugalkraft  $mr\omega^2$  im Gleichgewichte halten.

Beispiel: An einer lotrechten Achse (Fig. 87) befinde sich ein schräger Arm AB aus Draht, auf welchem eine kleine Kugel verschiebbar sei. Wirkt

auf die Kugel die Schwere mg, so übt der Draht den Normalwiderstand N aus. Beide können sich aber allein nicht im Gleichgewichte halten, sondern es wird unter ihrer Einwirkung die Kugel auf dem Drahte beschleunigt abwärts gleiten. Erteilt man jedoch der Achse und damit auch dem Arm eine Winkelgeschwindigkeit  $\omega$ , so ist es nun möglich, daß die Kugel auf dem Arme sich nicht verschiebe. Die Bedingung dafür besteht darin, daß nach Hinzufügung der Zentrifugalkraft my  $\omega^2$  zu den Kräften mg und N Gleichgewicht herrsche. Diese drei Kräfte bilden dann ein rechtwinkliges Dreieck,



dessen Hypotenuse rechtwinklig zum Arme steht, also mit der Wagerechten den Winkel  $\beta$  bildet.

Daher muß tg  $\beta = mg : my\omega^2$  oder

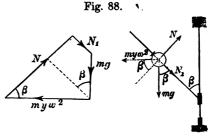
2) 
$$tg \beta = \frac{g}{y \omega^2} \text{ und } \omega = \sqrt{\frac{g}{y tg \beta}} \text{ oder } y = \frac{g}{\omega^2 tg \beta} \text{ sein.}$$

Ist z. B.  $\beta=45^{\circ}$ , tg  $\beta=1$ ,  $\omega=2$   $\pi$  (1 Umdrehung in der Sekunde), so ergibt sich  $y=\frac{9,s_1}{1\cdot 4 \pi^2}=0,_{25}$  m; d. h. in 0.25 m Abstand von der Achse

würde die Kugel nunmehr auf dem Arm in scheinbarer Ruhe verbleiben. Zu jedem anderen Wert y gehört aber auch ein anderes  $\omega$  bei sonst gleich bleibenden Verhältnissen.

Um zu erkennen, wie die Kugel sich bei größerer Winkelgeschwindigkeit, als Gl. 2 entspricht, bewegen würde, denken wir uns (Fig. 88) dicht oberhalb

der Kugel einen Vorsteckstift angebracht, der eine Vergrößerung von y verhindert. Dieser Stift übt dann einen Widerstand  $N_1$  in der Richtung des Armes nach unten aus, und es müssen sich nun die Kräfte N,  $N_1$ , mg und  $my\omega^2$  aufheben. Zerlegt man sämtliche Kräfte in solche, welche in die Richtung des Armes fallen bezw. dazu rechtwinklig



stehen, so muß die Kräftesumme in der Armrichtung Null sein, d. h.

$$\begin{split} N_1 &+ mg \cos \beta - my \, \omega^2 \sin \beta = 0, \\ N_1 &= my \, \omega^2 \sin \beta - mg \cos \beta \\ &= mg \cos \beta \left( \frac{y \, \omega^2 \log \beta}{g} - 1 \right). \end{split}$$

mithin

Ist nun  $\omega^2 > \frac{g}{y \operatorname{tg} \beta}$ , so wird  $y \omega^2 \operatorname{tg} \beta > g$  und  $N_1 > 0$ ; d. h. der

Stift leistet der Kugel tatsächlich einen Gegendruck; mithin drückt die Kugel nach dem Gesetze der Wechselwirkung auch gegen den Stift, würde also, falls der Stift fehlte, auf dem Arme nach oben gleiten. Der Stiftdruck wird Null, wenn  $y\omega^2$  tg  $\beta=g$ , während ein kleineres  $\omega$  ein negatives  $N_1$ , d. h. den nach oben gerichteten Widerstand eines unterhalb der Kugel angebrachten Stiftes verlangt, entsprechend der Neigung der Kugel, abwärts zu gleiten. Hiermit ist zugleich bewiesen, daß sich beim Kegelpendel (S. 69) der Neigungswinkel gegen die Lotrechte vergrößern wird, wenn man dem Massenpunkt eine zu große Geschwindigkeit v gibt, und umgekehrt. Denn die jetzt betrachtete Anordnung ist dem Wesen nach auch ein Kegelpendel.

Tritt an Stelle des geraden Armes ein nach einem Kreisbogen vom Halbmesser *l* geformter (Fig. 89), so behält Gl. 2 ihre Gültigkeit; es ist

$$\operatorname{tg} \beta \cdot y \, \omega^2 = g$$
, oder, weil  $y = l \cos \beta$  und  $\beta = 90^{\circ} - a$ ,  $\sin \beta l \, \omega^2 = h \, \omega^2 = g$  und  $h = g : \omega^2$ , in h dia Tiefe den Kurel unter  $G$  bedout

worin h die Tiefe der Kugel unter O bedeutet; h ändert sich im umgekehrten Verhältnisse mit  $\omega^2$ . Diese Vorrichtung wird als Schwung-

Fig. 89.

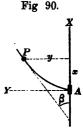
α C β y B B

kugel-Regler (Zentrifugal-Regulator) zur Regelung des Ganges von Maschinen benutzt. An der lotrechten Achse werden bei O zwei Gelenkstangen von der Länge l befestigt, welche die Kugeln tragen und ihnen

zugleich die Kreisbahn  $CBC_1$  vorschreiben. Bei einer Winkelgeschwindigkeit  $\omega$  wird sich dann die Höhe  $h=g:\omega^2$  bilden. Bei größerer Drehgeschwindigkeit werden die Kugeln steigen, und umgekehrt. Durch geeignetes Gestänge wirkt das Steigen bezw. Sinken der Kugeln auf die Kraftquelle, vermindert bezw. verstärkt dieselbe.

Soll die Kugel bei gleichbleibender Umdrehungsgeschwindigkeit an jeder Stelle des Armes in scheinbarer Ruhe verbleiben können, so muß die Form

des Armes eine solche sein, daß die Gl. 2 S 89:  $\lg \beta \cdot y \omega^2 = g$  für jeden Wert von y Gültigkeit hat. Es muß also offenbar  $\lg \beta$  mit y umgekehrt sich ändern. Bezieht man (Fig. 90) die gesuchte Kurve AP auf den Punkt A als Anfangspunkt, so ist  $\lg \beta = dy : dx$ , mithin  $y \omega^2 \cdot dy : dx = g$  oder  $2 \omega^2 y dy = 2 g \cdot dx$ . Sind zwei Differentiale einander gleich, so dürfen sich deren unbestimmte Integrale nur um eine Konstante C unterscheiden, und man erhält



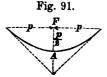
$$\boldsymbol{\omega^2 y^2} = 2 g x + C.$$

Weil aber der Punkt A mit den Koordinaten x=0 und y=0 auch der Kurve angehört, so muß die Konstante in obiger Gleichung so bestimmt werden, daß für x=0 auch y=0 wird. Das gibt

$$0=0+C$$
 oder  $C=0$ , und nach  $y^2$  aufgelöst:  $y^2=2\left(\frac{g}{\omega^2}\right)x$ .

Diese Gleichung bedeutet eine Parabel, deren Achse mit der x-Achse zusammenfällt und deren Parameter  $g: \omega^2$  ist. Für bestimmtes g entspricht jeder Dreh-

geschwindigkeit  $\omega$  eine bestimmte Parabel als Gleichgewichtsform. Ist die der Form entsprechende Drehgeschwindigkeit vorhanden, so kann die Kugel an jeder Stelle des Drahtes in scheinbarer Ruhe verbleiben, ist die Geschwindigkeit  $> \omega$ , so strebt die Kugel fortgesetzt nach außen, und umgekehrt.



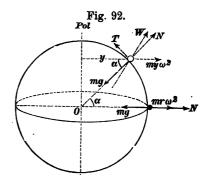
Dreht sich die Achse mit dem Arm in jeder Sekunde 1 Mal um, so ist  $\omega = 2 \pi$  und der Parameter der Parabel  $p = 9.81 : (4 \pi^2) = 0.25 \text{ m}$  (Fig. 91).

# 20. Einflus der Drehung der Erde um ihre Achse auf das scheinbare Gewicht bezw. die scheinbare Fallbeschleunigung.

Denken wir uns die Erde vorläufig als Kugel vom Halbmesser  $r=6370000^{\rm m}$  und betrachten wir einen Massenpunkt, der am Äquator auf der Erdoberfläche ruht, so ist dieser Zustand nur ein

scheinbarer Ruhezustand in Bezug auf die sich drehende Erde (Fig. 92). Zu der Anziehungskraft mg der Erde und dem nach

außen gerichteten Normalwiderstand N der Erdoberfläche muß daher noch die Zentrifugalkraft  $mr\omega^2$  hinzugefügt werden, damit Gleichgewicht entstehe. Daher ist  $N=mg-mr\omega^2$ . Nun wird aber das Gewicht eines Körpers nach dem Drucke beurteilt, den er im Ruhezustand auf eine wagerechte Unterlage (die Wagschale) ausübt, so daß N als



das scheinbare Gewicht und N:m als die scheinbare Fallbeschleunigung  $g_0$  in der geographischen Breite Null zu bezeichnen ist, also

$$g_0 = g - r\omega^2.$$

Die Zeit einer Umdrehung der Erde beträgt

$$23^{\text{ std }}56^{\text{ min }}4^{\text{ sek}} = 86164^{\text{ sek}}$$
:

daher  $\omega = 2 \pi : 86164 = 0,000073$ , hiernach wird

$$r\omega^2 = 6370000 \cdot 0.000073^2 = 0.034$$
.

Nun ist die scheinbare Fallbeschleunigung am Äquator durch Pendelbeobachtungen (s. S. 78) zu  $g_0 = 9.780 \,\mathrm{m/_{sek^3}}$  beobachtet, daher wird

$$q = 9.780 + 0.034 = 9.814$$

die wahre Beschleunigung der Schwere am Äquator, welche bei kugelförmiger Erde für alle Punkte der Erdoberstäche gelten würde.

In einer geographischen Breite  $\alpha$  halten sich nun an dem Massenpunkte die Schwere mg, die Zentrifugalkraft  $my\omega^2$  mit dem Gegendrucke W der Erdoberfläche im Gleichgewichte, woraus folgt, daß W im allgemeinen nicht durch den Erdmittelpunkt O geht. Zerlegt man W in einen Normalwiderstand N und einen Tangentialwiderstand T, so wird, weil  $y=r\cos\alpha$ ,

$$N = mg - mr\omega^2\cos^2\alpha = m(g - r\omega^2\cos^2\alpha)$$
 und 
$$T = mr\omega^2\sin\alpha\cos\alpha.$$

Von diesen beiden Seitenkräften ist  $N \ge m$  (9,814 – 0,034) oder  $N \ge m \cdot 9.78$ , dagegen  $T \le m \cdot 0.034 \cdot 1/2$  (für  $\alpha = 45^{\circ}$ ), daher  $N: T \ge 575$ . Da nun N und T die Katheten, W die Hypotenuse

eines rechtwinkligen Dreiecks darstellen, so ist die Hypotenuse W bei solchem Verhältnisse von N:T mit großer Annäherung gleich N zu setzen. W bedeutet aber wiederum die scheinbare Schwere und W:m die scheinbare Fallbeschleunigung  $g_{\alpha}$  in der geographischen Breite  $\alpha$ ; mithin ist

$$g_{\alpha} = g - r\omega^2 \cos^2 \alpha = g - r\omega^2 + r\omega^2 \sin^2 \alpha.$$

Da nun  $g - r\omega^2 = g_0 = 9,780$ , so wird

2) 
$$g_{\alpha} = 9,780 + 0,034 \sin^2 \alpha = 9,797 - 0,017 \cos 2 \alpha$$
, wenn man die Beziehung  $\sin^2 \alpha = \frac{1}{2} - \frac{1}{2} \cos 2 \alpha$  benutzt.

Die scheinbare Schwere W würde auch nach Richtung und Größe die Spannkraft eines Fadens bilden, an welchem ein Massenpunkt etwa als Lot aufgehängt wäre. Da nun W im allgemeinen nicht mit der Normalen N zusammenfällt, so geht auch die Richtung des Lotes im allgemeinen nicht durch den Mittelpunkt der Erde, nur am Äquator und an den Polen, wo  $T = m r \omega^2 \cdot 1/2 \sin 2 \alpha = 0$  ist, findet dies statt.

Für den Winkel &, um den das Lot von der Geraden nach dem Mittelpunkte der Erde abweicht, gilt

$$\operatorname{tg} \delta = \frac{T}{N} = \frac{m r \omega^{2} \sin \alpha \cos \alpha}{m g_{\alpha}}$$

$$= \frac{0,034 \sin \alpha \cos \alpha}{9,797 - 0,017 \cos 2 \alpha} = \frac{0,017 \sin 2 \alpha}{9,797 - 0,017 \cos 2 \alpha}.$$

Will man wissen, in welcher Breite  $\alpha$  dieses ein Maximum wird, so setzt man die Abgeleitete von tg  $\delta$  gleich Null, mithin

$$0 = (9,797 - 0,017 \cos 2 \alpha) \cdot 0,034 \cos 2 \alpha - 0,017 \sin 2 \alpha \cdot 0,034 \sin 2 \alpha, \text{ oder}$$

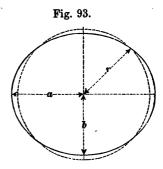
$$9,797 - 0,017 \cos 2 \alpha = 0,017 \sin 2 \alpha \text{ tg } 2 \alpha$$

und daraus cos 2 
$$\alpha = \frac{0.017}{9.797} = 0.001735$$
. Das gibt 2  $\alpha = 89^{\circ}54'$  und  $\alpha = 44^{\circ}52'$ .

Wäre die Erde vollkommen kugelförmig, so könnte ihre Oberfläche einen von der Normalen abweichenden Widerstand W gar nicht leisten; die Seitenkraft T, welche für den scheinbaren Ruhezustand erforderlich wäre, könnte von ihr nicht ausgeübt werden; es würden daher alle leicht beweglichen Körper, namentlich die Wasserteilchen des Meeres nach dem Äquator fortgleiten, bis die Kugelform sich so geändert haben würde, daß W rechtwinklig zur Oberfläche steht. Diese Formänderung findet aber nicht mehr statt, weil die Gestalt der Erde eben keine Kugel ist, sondern ein Ellipsoid, welches jener Bedingung, daß die Richtung des Lotes rechtwinklig

zur Oberfläche steht, entspricht (Fig. 93). Der Erdhalbmesser  $a=6377000\,\mathrm{m}$  am Äquator ist etwa  $21\,\mathrm{km}$  größer als der Polradius

b = 6356000 m. Infolge dieses Umstandes wird ein Massenpunkt, wenn man ihn vom Äquator her nach dem Pole verschiebt, dem Mittelpunkte der Erde näher kommen, woraus allein schon eine Zunahme der Anziehung folgt, deren Einflus jene andere Zunahme noch verstärkt, die infolge der Abnahme der Wirkung der Zentrifugalkraft sich ergibt. Pendelversuche



haben ergeben, dass man in Gl. 2 (S. 93) die Zahlenwerte ändern muß, um sie mit der Wirklichkeit in Übereinstimmung zu bringen; es ist nämlich tatsächlich

3) 
$$g_{\alpha} = 9,780 + 0,052 \sin^{2} \alpha = 9,806 - 0,026 \cos 2 \alpha.$$

$$\alpha = 0 \quad \text{gibt} \quad g_{0} = 9,780$$

$$\alpha = 45^{0} \quad , \quad g_{45} = 9,806$$

$$\alpha = 90^{0} \quad , \quad g_{p} = 9,832 \text{ (am Pole)}.$$

Für Hannover ist  $\alpha = 52^{\circ}23'$ , daher  $g_{\alpha} = 9.813$ .

Da wir das Gewicht eines Liters Wasser (bei 4°C.) unter 45° geographischer Breite als Krafteinheit (Kilogramm) bezeichnet haben, so beträgt das Gewicht dieses Körpers am Äquator

$$9,780:9,806 = 0,997$$
 kg, am Pole  $9,832:9,806 = 1,003$  kg.

Vorstehende Formeln und Zahlen gelten für die Höhe des Meeresspiegels. Die Fallbeschleunigung in einer Höhe von h Metern über dem Meeresspiegel wird dann genau genug gefunden, indem man nach S.58 die vorstehenden Werte noch mit (1-2h:r), oder, wenn man r=6370000 setzt, mit 1-0,00000032h) multipliziert. Dann wird (genau genug)  $g_{\alpha}=9,806-0,026\cos 2\alpha-0,000003h$ . Auf dem Brocken unter  $51^{\,0}50'$  geographischer Breite und in etwa  $1140^{\,\mathrm{m}}$  Meereshöhe ist  $g_{\alpha}=9,809$ , in Ilsenburg am Fuße des Brockens  $(260^{\,\mathrm{m}}$  Meereshöhe) 9,811. Der Unterschied ist also nur gering.

#### Zweite Abteilung.

### Mechanik starrer Körper.

#### 1. Einleitung.

Einen Körper denken wir uns als aus sehr vielen Massenpunkten zusammengesetzt, die so miteinander in Verbindung stehen, daß sie gegenseitig auf ihre Bewegung einzuwirken verstehen, daß sie also gegenseitig Kräfte aufeinander ausüben können. Diese Kräfte, mit welchen die einzelnen Massenpunkte eines Körpers gegenseitig aufeinander einwirken, heißen innere Kräfte des Körpers, im Gegensatze zu den äußeren Kräften, welche von anderen Körpern herrühren.

Die Verbindung zwischen den einzelnen Massenpunkten ist bei verschiedenen Körpern eine verschiedenartige. Wir haben zunächst feste Körper zu unterscheiden von nicht festen Körpern. Bei den festen Körpern setzen die einzelnen Massenpunkte einer jeden Änderung der Form des Körpers einen Widerstand entgegen. Die nicht festen Körper heißen flüssige Körper, zu denen im besonderen auch die gasförmigen Flüssigkeiten zu rechnen sind. Bei diesen zeigen die Massenpunkte keinen Widerstand gegen Formänderung im allgemeinen, sondern im wesentlichen nur einen solchen gegen Zusammendrängung auf einen kleineren Rauminhalt.

Denkt man sich die Massenpunkte eines festen Körpers derartig miteinander verbunden, daß die inneren Kräfte jede, auch noch so geringe Formänderung, um so mehr also gar eine Zerstörung, verhindern, so gelangt man zu dem Begriffe vollkommen fester oder starrer Körper. Solche starren Körper gibt es in Wirklichkeit nicht; vielmehr erleidet jeder wirkliche feste Körper unter Einwirkung äußerer Kräfte eine gewisse Formänderung, deren Art und Größe von den äußeren Kräften und von der Beschaffenheit des Körpers abhängt. Die inneren Kräfte treten bei äußeren Einwirkungen in Wirklichkeit mit allmählich zunehmender Größe auf,

und erst nach dem Eintreten einer gewissen Formänderung sind sie zu solcher Größe angewachsen, daß sie nun eine weitere Änderung verhindern können. Überschreitet aber die Größe der äußeren Kräfte gewisse Grenzen, so tritt eine Zerstörung des Körpers ein. Diese wirklich vorkommenden festen Körper nennt man, im Gegensatze zu den nur gedachten starren Körpern, elastisch feste Den Unterschied beider kann man sich Fig. 94. grobsinnlich vorstellen, indem man (Fig. 94) zwei Kugeln das eine Mal durch eine steife Stange, das andere Mal durch eine nachgiebige Schraubenfeder Sucht man mit den Händen die verbunden denkt. Entfernung der beiden Kugeln zu verändern, so wird dies in dem ersten Falle durch die inneren Kräfte verhindert, in dem zweiten nur in gewissem Grade erschwert.

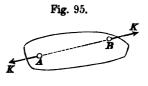
Bei sehr vielen Anwendungen der Mechanik hat nun die Ermittelung der Formänderung eines Körpers oder die Frage nach seiner Festigkeit keinen Wert. In solchen Fällen kann man daher zur Vereinfachung der Aufgaben die Körper als starre betrachten. In anderen Fällen aber wird gerade nach der Festigkeit und der Formänderung der Körper gefragt; dann muß man sie als elastisch fest behandeln. Es wird sich aber zeigen, daß man sehr viele Ergebnisse der Mechanik starrer Körper in der Mechanik elastisch fester Körper verwerten kann.

## 2. Zusammensetzung und Zerlegung von Kräften in einer Ebene mit gemeinsamem Angriffspunkte.

Die Zusammensetzung von Kräften mit gemeinsamem Angriffspunkte ist bereits in Abteilung I Ziffer 6 erörtert. Unter gewissen Voraussetzungen lassen sich die dort angegebenen Regeln auch dann anwenden, wenn die zu einer Mittelkraft zu vereinigenden Kräfte nicht unmittelbar einen gemeinsamen Angriffspunkt haben. Wir stützen uns dann auf folgenden, ohne weiteres einleuchtenden und mit der Erfahrung völlig übereinstimmenden

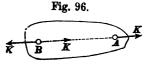
Grundsatz: Zwei gleiche entgegengesetzte Kräfte, deren Richtungslinien in dieselbe Gerade fallen, und die in zwei beliebigen Punkten dieser Geraden an einem starren Körper angreifen, haben auf die Bewegung des Körpers keinen Einfluss, heben sich gegenseitig auf, halten sich im Gleichgewicht und

umgekehrt, sollen zwei Kräfte miteinander im Gleichgewicht stehen, so müssen sie gleich und entgegengesetzt gerichtet sein und mit ihren Richtungslinien in dieselbe Gerade fallen. (Fig. 95.)



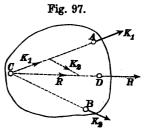
In der Mechanik des Massenpunktes war eine Kraft durch Größe, Richtung und Sinn gegeben; jetzt kommt aber auch noch diejenige Stelle des Körpers in Betracht, an welcher die Kraft angreift. Bei Kräften am starren Körper genügt statt dessen schon die Kenntnis irgend eines Punktes der Richtungslinie einer Kraft, oder ihre Lage, zur Beurteilung ihrer Wirkung, da man jeden Punkt der Richtungslinie einer Kraft als ihren Angriffspunkt

behandeln kann Denn: greift eine Kraft K (Fig. 96) an dem Punkt A eines Körpers an und ist B ein beliebiger, demselben starren Körper angehöriger Punkt der Richtungslinie von K, so kann man an dem Massenpunkte B zwei



in die Gerade AB fallende, entgegengesetzte Kräfte K anbringen, ohne im Bewegungszustande des Körpers etwas zu ändern. Da aber nach dem vorstehenden Satze die in A angreifende Kraft K mit der entgegengesetzten im Punkte B sich aufhebt, so bleibt als gleichwertig mit der ursprünglich gegebenen die in B angreifende Kraft gleicher Größe, Richtung und gleichen Sinnes übrig.

Zusammensetzung zweier Kräfte mit sich schneidenden Richtungslinien. Die gegebenen Kräfte  $K_1$  und  $K_2$  (Fig. 97) mit den Angriffspunkten A und B lassen sich nach vorstehendem Satz an den Schnittpunkt C der Richtungslinien verlegen und lassen sich hier durch eine Mittelkraft R nach der Lehre über die



Zusammensetzung der Kräfte am einfachen Punkt ersetzen. Diese

Mittelkraft R darf dann aber wiederum als in irgend einem Punkte D ihrer Linie eingreifend gedacht werden. Dabei ist es gleichgültig, ob der Schnittpunkt C der Kraftlinien dem Körper angehört oder nicht, weil die in D angreifende Kraft R den gegebenen  $K_1$  und  $K_2$  in A und B völlig gleichwertig ist.

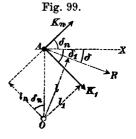
Ist aber der Schnittpunkt C der Kraftlinien wegen ungünstiger Lage nicht benutzbar, so kann man Größe, Richtung und Sinn der Mittelkraft R leicht finden, indem man das vorhin bei C gezeichnete Krafteck in A, in B oder an einer beliebigen Stelle zeichnet; zur Auffindung der richtigen Lage von R, die oben durch C bestimmt war, kann man entweder geometrische Beziehungen benutzen, oder mit besonderem Vorteil einen Satz der Mechanik, den wir jetzt entwickeln wollen, nämlich den Satz der statischen Momente von Kräften.

#### 3. Satz der Drehmomente der Kräfte.

Ist K eine in der Bildebene wirkende Kraft, O eine Achse rechtwinklig zur Bildebene (Fig. 98), so dass also Kraftlinie und Achse sich im Raume rechtwinklig kreuzen; dann nennt man das Produkt Kraft mal Hebelarm oder Kl das Drehmoment oder statische Moment der Kraft in Bezug auf die Achse O. Der Hebelarm ist die rechtwinklige Entfernung der Kraft von der Achse.

Momentum ist (wahrscheinlich) eine Abkürzung von Movimentum und bedeutet Bewegungsmittel: Drehmoment bedeutet also "Mittel zur Erzeugung einer Drehbewegung".

Greifen an demselben Massenpunkt A mehrere in der Bildebene liegende Kräfte  $K_1$  und  $K_n$  an, deren Mittelkraft R ist (Fig. 99), und sind  $l_1$ ,  $l_n$ , l die bezüglichen Hebelarme, von der Achse oder dem Drehpunkt O aus gemessen, so läst sich zeigen, das das Moment der Mittelkraft R gleich der Momentensumme der Einzelkräfte ist. Betrachtet man nämlich AO als y-Achse, AX nach rechts als positive x-Achse, welche mit den Kräften



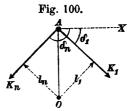
die Neigungswinkel  $\delta_1$ ,  $\delta_n$  und  $\delta$  bildet, so ist nach der Figur  $l_n = OA \cos \delta_n$ , ebenso  $l_1 = OA \cos \delta_1$ ,  $l = OA \cos \delta$ , so dass man die Momente auch schreiben kann:  $K_1 \cdot OA \cos \delta_1$ ,  $K_n \cdot OA \cos \delta_n$  und  $R \cdot OA \cos \delta$ . Da aber nach der Lehre von der Zusammensetzung der Kräfte (S. 40)

$$R \cos \delta = K_1 \cos \delta_1 + \ldots + K_n \cos \delta_n,$$

so folgt, wenn man allen Gliedern dieser Gleichung den Faktor OA hinzufügt, ohne weiteres, daß das Moment von R gleich ist der Summe der Momente der Kräfte K.

In Figur 99 waren sämtliche cos  $\delta$  positiv. In Figur 100 aber haben cos  $\delta_1$  und cos  $\delta_n$  verschiedene Vorzeichen, so dass in

der Gleichung  $R\cos\delta \cdot AO = \Sigma K\cos\delta \cdot AO$  auf der rechten Seite Summanden von verschiedenen Vorzeichen sich ergeben. Die Bedeutung dieses Unterschiedes ist aus der ursprünglichen Erklärung des Momentes Kl nicht ohne weiteres ersichtlich; sie tritt aber hervor, wenn man die drehende Wirkung der Kräfte, auf die es beim Momente wesentlich



ankommt, ins Auge fast. Denkt man sich den Punkt A mit der Achse O in starrer Verbindung und O als eine feste Drehachse, so haben in Fig. 99 die Kräfte  $K_1$  und  $K_n$  übereinstimmend einen Drehsinn rechts herum, im Sinne der Drehung des Uhrzeigers, während in Figur 100 der Drehsinn der Kräfte verschieden ist. Den Drehsinn rechts herum pflegt man als positiv zu bezeichnen, die entsprechenden Momente ebenfalls positiv zu setzen, und umgekehrt, doch ist diese Festsetzung eine willkürliche; man könnte auch das Entgegengesetzte wählen. Verschiedener Drehsinn kennzeichnet verschiedene Vorzeichen der Momente, aber welche Richtung man positiv einführen will, steht frei. Es ist jedoch nützlich, sich an vorstehende feste Regel zu binden, damit man bei der Aufschreibung einer Momentensumme nicht unnötig zu überlegen braucht. Mit Berücksichtigung dieses Umstandes ist dann bei beliebig vielen Kräften in einer Ebene mit gemeinsamem Angriffspunkte

$$Rl = \pm K_1 l_1 \pm K_2 l_2 + \ldots \pm K_n l_n$$

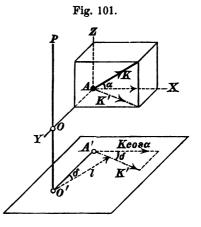
oder kürzer geschrieben

1) 
$$Rl = \Sigma Kl.$$

Liegen die an einem Punkt A angreifenden Kräfte nicht in einer zur Achse OP (Fig. 101) rechtwinkligen Ebene, so ist die bisherige

Deutung des Momentes nicht mehr brauchbar. Mit Rücksicht darauf aber, daß das Drehmoment ein Maß für die drehende Wirkung der Kräfte sein soll, was allerdings erst später, gelegentlich der Betrachtung der Drehbewegung um eine feste Achse näher erläutert werden kann, bezeichnet man als Moment einer Kraft K in Bezug auf eine beliebige Achse OP das Moment derjenigen Kraft K', welche sich als Projektion von Kauf eine zur Achse OP rechtwinklige Ebene ergibt. Es läßt sich zeigen, daß auch in dieser allgemeineren Bedeutung das

Moment der Mittelkraft gleich der Momentensumme der Einzelkräfte ist. Betrachtet man nämlich (Fig. 101) die durch A winkelrecht zu OP gelegte Gerade AO als y-Achse, legt AZ parallel zu OP, und AX winkelrecht zu beiden, so kann man K mittels eines Parallelepipeds in bekannter Weise zerlegen in  $K\cos\alpha$ ,  $K\cos\beta$ ,  $K\cos\gamma$ , von denen die beiden ersteren unten in der Projektionsebene in voller Größe erscheinen. K' bedeutet die Mittelkraft dieser



beiden. In der Projektionsebene aber kann das Moment K'l von K' auch in der Form  $K' \cdot O'A' \cdot \cos \delta$  (Fig. 101) geschrieben werden, oder, weil K' cos  $\delta$  die Seitenkraft in der Richtung AX,  $= K \cos \alpha$  bedeutet, auch in der Form  $K \cdot \cos \alpha \cdot OA$ . Greifen nun im Punkt A beliebig viele Kräfte K an, deren Mittelkraft R ist, so kann man in gleicher Weise das Moment von R in Bezug auf OP in die Form  $R \cos \alpha \cdot OA$  bringen. Weil nun noch  $R \cos \alpha = \Sigma K \cos \alpha$ , so wird auch

 $R \cos \alpha \cdot OA = \sum K \cos \alpha \cdot OA$ 

und man hat den Satz:

Für Kräfte an einem Punkt ist das Moment der Mittelkraft gleich der algebraischen Summe der Momente der Einzelkräfte.

Da das Moment der Krast K zu  $\mathfrak{M} = K \cos \alpha \cdot OA$  gefunden wurde, so wird es gleich Null, wenn  $\alpha = 90^{\circ}$  ist, d. h. wenn K

rechtwinklig zu AX steht, sich also in der yz-Ebene befindet, der auch die Achse OP angehört. Das Moment einer Kraft wird also Null in Bezug auf eine Achse, die mit ihr in derselben Ebene liegt, d. h. sie schneidet oder ihr parallel ist.

Eine Kraft, deren Projektion auf die Drehungsebene =  $1 \text{ }^{\text{kg}}$ , gibt mit einem Hebelarme =  $1 \text{ }^{\text{m}}$  das Moment Eins. Diese Momenten-Einheit nennt man, wie die Arbeitseinheit, Meterkilogramm; in ihrer Bedeutung aber ist sie von der Arbeitseinheit verschieden.

Für Momentengrößen wählen wir den deutschen Buchstaben  $\mathfrak{M}$ , weil der lateinische Buchstabe M für die Masse eines Körpers vorbehalten werden muß.

Zusatz: Der Satz der Drehmomente ist aus dem Satze vom Parallelepiped der Kräfte hergeleitet. Da ein entsprechender Parallelepiped-Satz auch von Geschwindigkeiten und Beschleunigungen gilt (S. 22 u. 25), so ist der Satz der Drehmomente nicht nur für Kräfte, sondern auch für Geschwindigkeiten und Beschleunigungen gültig.

Nunmehr kann die Lage der Mittelkraft R von zwei in der Zeichenebene liegenden Kräften auch gefunden werden, wenn der Schnittpunkt C in Fig. 97, S. 97, nicht benutzbar ist.

Man ermittelt zunächst (Fig. 102) Größe, Richtung und Sinn von R, indem man an beliebiger Stelle, z. B. in einer Hülfsfigur

aus  $K_1$  und  $K_2$  einen Kräftezug bildet, dessen Schlußseite = R. Sodann wählt man eine beliebige Achse O, rechtwinklig zur Zeichenebene, oder, was gleichbedeutend ist, einen Drehpunkt O in derselben, ermittelt die rechtwinklig gemessenen Hebelarme  $l_1$  und  $l_2$  der Kräfte und bedenkt, daß

 $R \, l = K_1 \, l_1 + K_2 \, l_2$  sein muß. In der Figur haben  $K_1$  und  $K_2$  beide

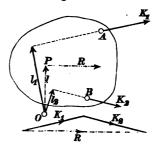


Fig. 102.

den Drehsinn rechts herum, weshalb ihre Momente positiv angesetzt wurden. R muß dann an dem Hebelarm

$$l = \frac{K_1 \, l_1 + K_2 \, l_2}{R}$$

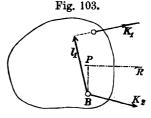
ebenfalls rechts herum drehen. Legt man daher durch O eine Rechtwinklige zur Schlußseite R des Kräftezuges und trägt auf ihr

die Länge l=OP ab, so muß die endgültige Lage von R durch P gehen, denn es dreht dann R an dem Arm OP, u. zw. rechts herum, wie erforderlich war. Da man aber O ganz beliebig wählen kann, so wird man ihm eine solche Lage geben, daß die Bestimmung der Lage von R möglichst einfach wird. Man wähle (Fig. 103) irgend einen Punkt der Richtungslinie von  $K_2$ , z. B. B zum Drehpunkte, dann hat  $K_2$  den Hebelarm

 $l_2 = 0$ , und es wird

$$l = \frac{K_1 l_1}{R} = BP,$$

womit die Lage von R bestimmt ist. Für einen Drehpunkt auf der Richtungslinie der Mittelkraft R wird deren Moment und folglich auch die Summe



der Momenten von  $K_1$  und  $K_2$  gleich Null, d. h. in Bezug auf Punkte der Mittelkraft stehen die Einzelkräfte im Drehungsgleichgewicht.

Beispiel:  $K_1 = 20 \text{ kg}$ ;  $K_2 = 30 \text{ kg}$  (dargestellt durch 2 bezw. 3 cm); sie schneiden sich unter dem Winkel  $\alpha = 30^{\circ}$ ;  $l_1 = 1,5 \text{ cm} = 0,015 \text{ m}$ . Dann wird

$$R = \sqrt{400 + 900 + 2 \cdot 20 \cdot 30 \cdot 0_{,566}} = 10 \sqrt{23_{,4}} = 48_{,4} \text{ kg.}$$

$$l = 20 \cdot 0_{,015} : 48_{,4} = 0_{,0062} \text{ m} = 6_{,2} \text{ mm.}$$

### 4. Zusammensetzung beliebiger Kräfte in einer Ebene.

### a) Zeichnerisches (graphisches) Verfahren.

Kräfte verschiedener Richtung.

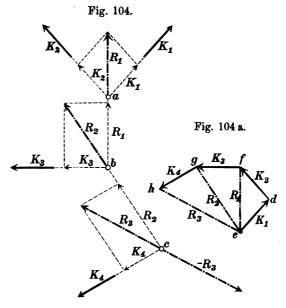
Die zu einer Mittelkraft zu vereinigenden Kräfte  $K_1$ ,  $K_2$ ,  $K_3$ ,  $K_4$  u. s. w. mögen ohne gemeinsamen Angriffspunkt zerstreut in einer Ebene liegen. (Fig. 104 u. 104 a.) Man verschiebe zunächst zwei derselben  $K_1$  und  $K_2$  in ihrer Richtung bis zum Schnittpunkte a ihrer Richtungslinien, vereinige sie hier zu einer Mittelkraft  $R_1$ , verschiebe diese und die folgende Kraft  $K_3$  in ihren Richtungen bis zum Schnittpunkte b und setze sie hier zu einer Mittelkraft  $R_2$  zusammen. In gleicher Weise setze man  $R_2$  mit  $K_4$  zu einer Mittelkraft  $R_3$  u. s. w. zusammen. — Größe und Richtung der Mittelkrafte  $R_1$ ,  $R_2$ ,  $R_3$  u. s. w. lassen sich auch,

und zwar bequemer, in einer Hülfsfigur 104 a ermitteln, indem man sie durch Parallelverschiebung zu einem Krafteck aneinander reiht, so dass die Pfeilrichtungen einander folgen. (Vergl. S. 41.)

Die Linien ef, eg und eh stellen die Mittelkräfte  $R_1$ ,  $R_2$  und  $R_3$  nach Größe und Richtung dar. Um ihre Lage zu finden, braucht man nur zu beachten, daß  $R_1$  durch den Schnittpunkt a

von  $K_1$  und  $K_2$ ,  $R_2$  durch den Schnittpunkt b von  $K_3$  und  $R_1$  u. s. w. gehen muß. Man zieht von a aus  $ab \parallel ef$ ,  $bc \parallel eg$  und  $R_3 \parallel eh$ , so erhält man Lage und Richtungslinien der Mittelkräfte.

Kehrt man die Mittelkraft  $R_3$  um, so hält sie sich mit den gegebenen Kräften  $K_1$ ,  $K_2$ ,  $K_3$  und  $K_4$  an dem Körper im Gleichgewicht. Denkt man sich die Punkte a, b, c, d



durch ein Seil verbunden, so würde auch durch Vermittelung desselben die Kraft —  $R_3$  die gegebenen Kräfte im Gleichgewicht halten. Den Linienzug abc nennt man daher ein Seileck (Seilpolygon) der Kräftegruppe  $K_1$   $K_2$   $K_3$  u. s. w., oder auch deren Mittelkraftpolygon. Die Anwendbarkeit des vorbeschriebenen Verfahrens hat zur Voraussetzung, daß die Schnittpunkte a, b, c u. s. w. der Kräfte  $K_1$  und  $K_2$ ,  $K_3$  und  $K_1$  u. s. w. auf die Zeichentafel fallen. Vielfach wird dies nicht, oder doch nicht bei allen Punkten zutreffen. Für diesen allgemeinen Fall ist das Verfahren wie folgt umzugestalten; vergl-Fig. 105 und 105 a:

Wir zerlegen  $K_1$  im Punkte a in beliebig gerichtete Seiten-kräfte I und II. Im Schnittpunkte b der Kraftlinien II und  $K_2$  zerlegen wir  $K_2$  in Seitenkräfte — II und III; ebenso im Schnitt-

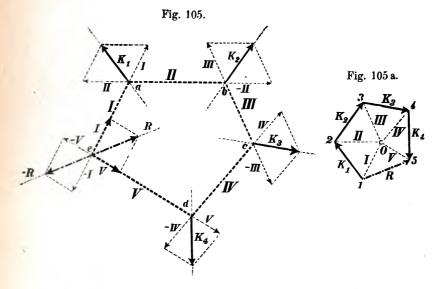
punkte c der Kraftlinien III und  $K_3$  letztere Kraft in die Seitenkräfte — III und IV u. s. w. Dann ist

$$egin{aligned} K_1 &\equiv I, \ II, \ K_2 &\equiv -II, \ III, \ K_3 &\equiv -III, \ IV, \ K_4 &\equiv -IV, \ V \ ext{u.s. w.} \end{aligned}$$

und im Zusammenwirken aller Kräfte

 $K_1$ ,  $K_2$ ,  $K_3$ ,  $K_4 \equiv I$ , II, -II, III, -III, IV, -IV, V, oder, da die entgegengesetzt gleichen Kräfte sich aufheben

$$K_1, K_2, K_3, K_4 \equiv I, V.$$



Der Linienzug abcde ist bestimmt durch die Wahl des Punktes a und der Richtungen der ersten beiden Seitenkräfte I und II. Bei zweckmäßiger Wahl dieser Bestimmungsstücke ist es unter allen Umständen leicht zu erreichen, daß die der gegebenen Kräftegruppe gleichwertigen, sie völlig ersetzenden Kräfte I und V in ihren Richtungslinien sich in einem auf die Zeichentafel fallenden Punkte e schneiden. Setzt man sie hier zu ihrer Mittelkraft R zusammen, so ist diese zugleich die Mittelkraft der gegebenen Kräftegruppe. Kehrt man sie um, so hält sie der gegebenen Kräftegruppe das Gleichgewicht, und diese Wirkung kommt auch zu

stande, wenn man die Kräfte, statt an einem Körper, an einem die Punkte a, b, c, d, e verbindenden Seile angreifen läßt. Der Linienzug a b c d e verdient danach wieder die Bezeichnung Seileck.

Bei dem hier gewählten Richtungssinn der Kräfte  $K_1$ ,  $K_2$  u. s. w. streben diese die Eckpunkte a, b, c, d, e des Seilecks voneinander zu entfernen, die Seilecksseiten zu zerreißen. - Kehrt man den Richtungssinn der gegebenen Kräfte um, so bleibt der Linienzug a b c d e derselbe. Jetzt aber streben die Kräfte, die Punkte a, b, c, d, e einander zu nähern, die Seilecksseiten zu zerdrücken. Demgegenüber können die Punkte nicht mehr durch ein Seil, sondern nur durch steife, in den Punkten a, b, c, d, e durch Gelenke miteinander verbundene Stangen in ihrer Lage erhalten werden. Für diesen Fall würde daher die Bezeichnung Gelenkvieleck zutreffender sein, doch hat sich der Name Seileck auch für beliebige Kraftrichtungen eingebürgert. Die materiell gedachten Seilecksseiten haben dabei allgemein den Zweck zu erfüllen, die Eckpunkte in unveränderlichen Entfernungen voneinander zu erhalten.

Die unmittelbare Zeichnung des Seilecks zwecks Zusammensetzung der gegebenen Kräftegruppe zu ihrer Mittelkraft erfordert die Zerlegung der Kräfte  $K_1$ ,  $K_2$  u. s. w. in den Punkten a, b, c und dnicht; sie ist hier nur geschehen, um das Wesen der Methode um so klarer hervortreten zu lassen. Bei Anwendung derselben führt man die Zerlegung bequemer in einer Hülfsfigur 105 a aus. Durch Parallelverschiebung werden die Kräfte zu einem ununterbrochenen Linienzuge dem Krafteck 1, 2, 3, 4, 5 vereinigt. Zieht man jetzt durch die Endpunkte 1 und 2 der Kraft  $K_1$  in geeigneten Richtungen die Linien 1-0 und 0-2, so kann man diese als die Seitenkräfte I und II der Kraft  $K_1$  ansehen. Verbindet man weiter den Punkt 0 mit 3, so stellen die Linien 2-0 = -II und 0-3 = III die Seitenkräfte der Kraft  $K_2$  u. s. w. dar. In den Linien 0-2 und 2-0, 0-3 und 3-0 u. s. w. erhält man die in den Seilecksseiten ab. bc u. s. w. sich auf hebenden Kräfte II und -II, III und -III u. s. w. Die Linien 1-0 und 0-5 drücken die allein zurückbleibenden, der gegebenen Kräftegruppe gleichwertigen Hülfskräfte I und V aus. Ihre Mittelkraft 1-5=R, die Schlußlinie des Kraftecks, ist auch die Mittelkraft der gegebenen Kräftegruppe. Den Punkt 0 nennt man den Pol des Kraftecks, die Linien 0-1, 0-2 u. s. w. die Polstrahlen; sie stellen, wie bemerkt, in ihrer Richtung und Größe die Hülfskräfte (Seilkräfte) I, II u. s. w. dar.

Durch die Wahl der Richtungen der ersten beiden Seitenkräfte I und II ergab sich im Schnittpunkt beider der Pol 0. Durch eine geeignete Wahl des Poles 0 wird umgekehrt Richtung und Größe sämtlicher Polstrahlen bezw. Hülfskräfte I, II, III u. s. w. festgelegt.

Die unmittelbare Anwendung der Methode gestaltet sich danach einfach wie folgt:

Man zeichnet das Krafteck 1-2-3-4-5 und erhält in der Schlusslinie 1-5 desselben die Mittelkraft R nach Größe und Richtung. Zur Bestimmung ihrer Lage zeichnet man das Seileck, indem man einen geeigneten Pol O wählt, die Polstrahlen I bis V zeichnet und von irgend einem Punkte a einer der Kraftlinien, z. B.  $K_1$  ausgehend, die Seilecksseite I parallel dem Polstrahl I, die Seilecksseite II parallel dem Polstrahl II bis zum Schnittpunkte a mit  $K_2$  u. s. w. alle Seilecksseiten parallel den zugehörigen Polstrahlen zieht. Durch den Schnittpunkt e der ersten und letzten Seilecksseite I und V geht die Mittelkraft, und damit ist auch ihre Lage bestimmt.

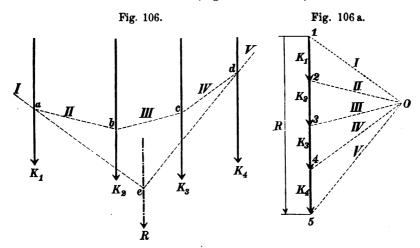
Das einmal gezeichnete Krafteck und Seileck setzen uns ohne weiteres auch in die Lage, für einzelne Kräfte der Gesamtgruppe die Mittelkraft zu bestimmen. Beispielsweise ist die Mittelkraft der Kräfte  $K_2$  und  $K_3$  nach Richtung und Größe gleich der Linie 2-4 bestimmt. Der Lage nach muß sie durch den Schnittpunkt der die Kräfte  $K_2$  und  $K_3$  einschließenden Seilecksseiten II und IV gehen.

Bei Anwendung des vorstehend beschriebenen Verfahrens erscheinen die Kräfte in ihrer Lage (im Seileck) nur in ihren Richtungslinien, im Krafteck dagegen nach Richtung und Größe.

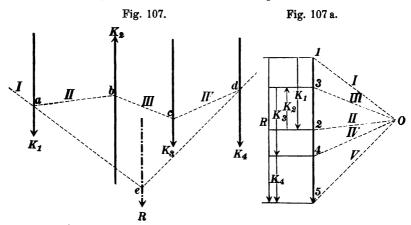
#### Parallelkräfte.

Das vorbeschriebene Verfahren läst sich ohne weiteres auch auf Parallelkräfte anwenden. Das Krafteck nimmt in diesem Falle die Form einer geraden Linie an. Haben alle Kräfte gleichen Richtungssinn, so reihen sie sich in derselben Richtung aneinander

und die Schlusslinie des Kraftecks, die Mittelkraft, stellt sich als Summe der Einzelkräfte dar. (Fig. 106 u. 106 a.)



Haben die Kräfte teils entgegengesetzten Richtungssinn (Fig. 107 und 107a), so decken sie sich im Krafteck teilweise; die Beiträge der Einzelkräfte zur Mittelkraft fallen z. T. negativ aus. In der Fig. 107a ist beispielsweise die Kraft  $K_1$ , im Krafteck durch die Strecke 1-2 dargestellt, abwärts, die Kraft  $K_2$  durch die Strecke 2-3

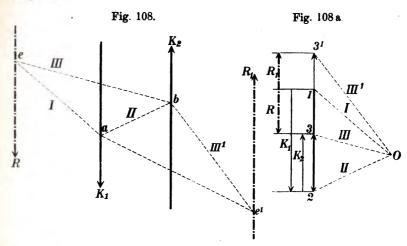


dargestellt aufwärts gerichtet. Die Mittelkraft beider, die Strecke 1-3, ist gleich ihrer Differenz. Die abwärts gerichteten Kräfte  $K_3$  und  $K_4$  reihen sich in den Strecken 3-4 und 4-5 an und die Schluß-

linie 1-5 ist die Mittelkraft der ganzen Gruppe. Bei der Zeichnung des Seilecks Fig. 107 ist auf die Reihenfolge der Polstrahlen zu achten. Der bessern Übersicht wegen empfiehlt es sich, die die einzelnen Kraftstrecken im Krafteck begrenzenden Punkte und die zugehörigen Polstrahlen mit entsprechenden arabischen und römischen Ziffern zu bezeichnen. Zur Zeichnung des Seilecks wählt man einen Pol 0, zieht die Polstrahlen und parallel denselben in entsprechender Reihenfolge die Seilecksseiten. Durch den Schnittpunkt e der äußern, d. h. der ersten und letzten Seilecksseite I und IV, ist die Mittelkraft R festgelegt.

#### Zwei Parallelkräfte von entgegengesetztem Richtungssinn — Kräftepaar.

Besondere Aufmerksamkeit verdient das Ergebnis der Zusammensetzung zweier Parallelkräfte. Das in vorbeschriebener Weise zu den Kräften gezeichnete Kraft- und Seileck ist in Fig. 108 u. 108 a dargestellt. Die Schlusslinie 1-3 des Kraftecks, die Differenz der



Kräfte  $K_1$  und  $K_2$  ist ihre Mittelkraft. Der Schnittpunkt e der äußeren, die Kräfte einschließenden Seilecksseiten I und III, durch welchen die Lage der Mittelkraft R bestimmt ist, liegt auf der Seite der größeren Kraft  $K_1$ . Denken wir uns  $K_2$  allmählich größer und endlich gleich  $K_1$  werdend, so nähert sich im Krafteck der Punkt 3 allmählich dem Punkte 1 und fällt endlich mit 1 zusammen;

ebenso der Polstrahl 0-3 mit 0-1. Die Schluslinie 1-3, die Mittelkraft, wird 0, die äußeren Seilecksseiten I und III werden parallel, ihr Schnittpunkt e rückt in unendliche Ferne und mit ihnen die Mittelkraft. In diesem Grenzfalle, gekennzeichnet durch eine Mittelkraft R=0 in unendlicher Ferne, nennen wir die beiden Kräfte ein "Kräfte paar". Die mechanischen Eigentümlichkeiten eines solchen werden weiter unten erörtert werden.

Lassen wir  $K_2$  noch weiter wachsen und größer werden als  $K_1$ , so rückt der Punkt 3 im Krafteck über 1 hinaus nach 3', die Mittelkraft 1-3 wechselt ihr Vorzeichen, der Schnittpunkt e der Seilecksseiten I und III bewegt sich durch die Unendlichkeit und tritt auf die rechte Seite der Kraft  $K_2$ , der nun größeren beider Kräfte. Die Mittelkraft zweier Parallelkräfte entgegengesetzten Richtungssinnes liegt also stets außerhalb beider Kräfte und zwar auf der Seite der größeren derselben.

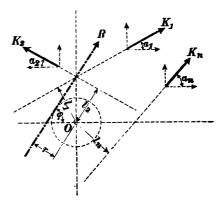
#### b) Rechnerisches (analytisches) Verfahren.

Kräfte verschiedener Richtung.

Koordinatensystem (Fig. 109). u. s. w. sei gegeben durch die Neigungswinkel  $\alpha_1$ ,  $\alpha_2$  u. s. w., welche ihre Richtungslinien mit der X-Axe einschließen und durch die senkrechten Abstände l<sub>1</sub>, l<sub>2</sub> u. s. w. dieser Richtungslinie vom Koordinaten-Nullpunkte. Um zunächst die Richtung und Größe der gesuchten Mittelkraft R zu erhalten, denken wir uns die Einzelkräfte  $K_1$ ,  $K_2$  u. s. w. in Seitenkräfte  $X_1$ ,  $X_2$  u. s. w. parallel zur X-Achse und

Wir beziehen die gegebene Kräftegruppe auf ein rechtwinkliges dinatensystem (Fig. 109). Die Lage der Einzelkräfte  $K_1$ ,  $K_2$ 

Fig. 109.



 $Y_1$ ,  $Y_2$  a. s. w. parallel zur Y-Achse zerlegt, so dass

 $X_1 = K_1 \cos \alpha$ ,  $X_2 = K_2 \cos \alpha_2$  u.s. w. und  $Y_1 = K_1 \sin \alpha$ ,  $Y_2 = K_2 \sin \alpha_2$  u.s. w. wird.

Ist dann X die Mittelkraft der horizontalen und Y diejenige der vertikalen Seitenkräfte, so muß sein

$$X = X_1 + X_2 + \ldots = K_1 \cos \alpha_1 + K_2 \cos \alpha_2 + \ldots = \sum K \cos \alpha$$
  
und  $Y = Y_1 + Y_2 + \ldots = K_1 \sin \alpha_1 + K_2 \sin \alpha_2 + \ldots = \sum K \sin \alpha$ .

Die Mittelkraft R der zueinander senkrechten Kräfte X und Y ist zugleich die Mittelkraft der gegebenen Kräftegruppe. Ihrer Größe nach ergibt sich dieselbe zu

$$R = \sqrt{X^2 + Y^2} = \sqrt{(\Sigma K \cos \alpha)^2 + (\Sigma K \sin \alpha)^2}$$

und für ihren Richtungswinkel  $\varphi$  gegen die X-Achse gilt die Gleichung

$$\operatorname{tg}\,\varphi=\frac{\sum K\sin\alpha}{\sum K\cos\alpha}.$$

Es bleibt die Lage von R zu bestimmen. Dieses soll mit Hülfe des Satzes von den statischen Momenten geschehen. Ist r der senkrechte Abstand der Mittelkraft R vom Koordinaten-Nullpunkte, so muß in Bezug auf diesen als Drehpunkt die Momentengleichung bestehen

5) 
$$R \cdot r = K_1 l_1 + K_2 l_2 - K_3 l_3 + K_4 l_4 + \ldots = \sum K l_4$$
 und daraus

6) 
$$r = \frac{K_1 l_1 + K_2 l_2 - K_3 l_3 + K_4 l_4 + \dots}{R} = \frac{\sum K l}{\sqrt{(\sum K \cos \alpha)^2 + (\sum K \sin \alpha)^2}}$$

Die Mittelkraft R muß also ihrer Lage nach einen Kreis vom Radius r, um 0 beschrieben, berühren. Diese Berührung kann, nachdem die Richtung von R oben bereits festgelegt ist, in zwei Punkten geschehen. Welche von beiden Tangentenlagen die richtige ist, darüber entscheidet das Vorzeichen von  $\Sigma$  Kl in Gleichung 5. Ist  $\Sigma K \cdot l$  positiv, üben also die Kräfte  $K_1$ ,  $K_2$  u. s. w. insgesamt ein rechtsherum gerichtetes Drehbestreben in Bezug auf den Punkt 0 aus, so muß auch das Drehbestreben von R rechtsherum gerichtet sein; die obere Tangentenlage stellt die Lage von R dar und umgekehrt. Ist  $\Sigma K l = 0$  und R > 0, so wird nach Gleichung 6 r = 0, die Mittelkraft geht durch 0. Ist dagegen R = 0, aber  $\Sigma K l > 0$ , so ist  $r = \infty$ ; die Gleichung 5 nimmt die Form an  $0 \cdot \infty = \Sigma K l$ . Die Kräftegruppe hat die Wirkung eines Kräftepaares. Der mechanische Wert der Kräftegruppe besteht in diesem Falle lediglich in einem Drehmoment. Wird gleichzeitig

$$R = \sqrt{(\Sigma K \cos \alpha)^2 + (\Sigma K \sin \alpha)^2} = 0$$

und  $\Sigma Kl = 0$ , so verschwindet auch das Moment und die Kräftegruppe hat keinerlei mechanische Wirkung auf den Körper, die Kräfte stehen miteinander im Gleichgewicht. Damit aber R = 0 sei, muß  $\Sigma K \cos \alpha = 0$  und  $\Sigma K \sin \alpha = 0$  sein.

Die allgemeinen Bedingungen für das Gleichgewicht von Kräften in einer Ebene lauten also:

$$\Sigma K \cos \alpha = 0$$
,  $\Sigma K \sin \alpha = 0$ ,  $\Sigma K \cdot l = 0$ ,

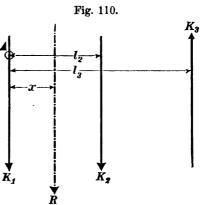
oder, wenn die X-Achse wagerecht, die Y-Achse lotrecht angenommen wird, in Worten:

Die algebraischen Summen aller wagerechten und aller lotrechten Seitenkräfte je für sich genommen und die algebraische Summe aller Momente der Kräftegruppe in Bezug auf einen beliebigen Punkt der Ebene müssen Null sein.

#### Parallelkräfte.

Es soll jetzt eine beliebige Anzahl von Parallelkräften  $K_1$ ,  $K_2$ ,  $K_3$  u. s. w. verschiedenen Richtungssinnes (verschiedener Pfeilrichtung) zu ihrer Mittelkraft vereinigt werden. (Fig.110).

Die Größe der Mittelkraft R ist nach den bezüglichen Ausführungen unter a gleich der algebraischen Summe der Kräfte und ihre Richtung parallel denselben.



$$1) R = K_1 + K_2 - K_3 + \ldots = \Sigma K.$$

Die Lage von R ergibt sich aus dem Satz der Drehmomente. Beziehen wir die diesem Satze entsprechende Momentengleichung, welche für jeden Punkt der Kraftebene gültig ist, der Einfachheit und Übersichtlichkeit halber auf einen der Richtungslinie einer der Kräfte z. B.  $K_1$  angehörigen Punkt A als Drehpunkt und bezeichnen den noch unbekannten senkrechten Abstand der Mittelkraft R von A mit x, siehe Fig. 109, so folgt

2) 
$$R \cdot x = K_1 \cdot 0 + K_2 \cdot l_2 - K_3 \cdot l_3 + \ldots = \Sigma K \cdot l$$

und daraus weiterhin

3) 
$$x = \frac{K_1 \, 0 + K_2 \, l_2 - K_3 \, l_3 + \ldots}{K_1 + K_2 - K_3 + \ldots} = \frac{\Sigma \cdot K \cdot l}{\Sigma \cdot K} .$$

Je nach dem Vorzeichen von  $\Sigma K \cdot l$  und  $\Sigma \cdot K$  fällt x positiv oder negativ aus; liegt also R rechts oder links vom angenommenen Drehpunkte A.

Eine völlige Umkehrung des Richtungssinnes der Kräfte, mit welcher eine gleichzeitige Umkehrung des Drehsinnes der Einzelkräfte verknüpft ist, würde den Abstand x und also die Lage der Mittelkraft nicht ändern, sondern nur ihren Richtungssinn umkehren.

Für einen Drehpunkt auf der Richtung von R würde X=0 und folglich auch  $R \cdot x = \sum K \cdot l = 0$ , d. h. die Kräfte halten sich also in Bezug auf einen solchen Punkt das Drehungsgleichgewicht.

Beispiel: Für  $K_1=300~{\rm kg}\,,~K_2=200~{\rm kg}\,,~K_3=-100~{\rm kg}$  und  $l_2=1,0$  m,  $l_3=1,5$  m wird

$$x = \frac{300 \cdot 0 + 200 \cdot 1.0 - 100 \cdot 1.5}{300 + 200 - 100} = \frac{+ 50}{+ 400} = + 0,125 \text{ m}.$$

Für  $l_2 = 0,5$  m und im übrigen dieselben Werte wird

$$x = \frac{-50}{400} = -0,_{125} \text{ m}.$$

Verschwinden die Kräfte bis auf zwei gleich gerichtete  $K_1$  und  $K_2$ , deren Entfernung l sei (Fig. 111), Fig. 111. so gehen die Gleichungen 1 und 3 über in

$$4) R = K_1 + K_2 und$$

$$5) x = \frac{K_2 l}{K_1 + K_2}.$$

$$\begin{array}{ccc} \text{Da} & \text{der} & \text{Quotient} & \frac{K_2}{K_1 + K_2} \end{array}$$

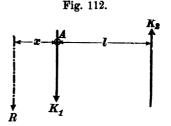
bei der Gleichsinnigkeit von  $K_1$  und  $K_2$  stets positiv und kleiner als eins sein muß, so ist x stets positiv und kleiner als l, d. h. die Mittelkraft zweier gleichsinniger Parallelkräfte liegt stets zwischen denselben. Für  $K_1 \geq K_2$  ist  $\frac{l \cdot K_2}{K_1 + K_2} \leq \frac{l}{2}$ , d. h. die Mittelkraft liegt näher der größeren Seitenkraft und in der Mitte beider, wenn sie einander gleich sind.

Kehrt die Kraft K2 ihren Richtungssinn um (Fig. 112), so wird

$$R=K_1-K_2,$$

$$x = \frac{-K_2 l}{K_1 - K_2}.$$

Ist dabei  $K_1 > K_2$ , so wird x negativ, d. h. die Mittelkraft R liegt außerhalb beider Kräfte und zwar auf der Seite der größeren. R ist gleichsinnig mit  $K_1$ .



Ist  $K_2 > K_1$ , so wird nach Glei-

chung 6 R negativ, und gleichsinnig mit  $K_2$  und nach Gleichung 7

$$x = \frac{-K_2 l}{-(K_2 - K_1)} = \frac{K_2 l}{K_2 - K_1}.$$

Da  $\frac{K_2}{K_2 - K_1}$  positiv und größer als eins, so muß x stets positiv und größer als l sein, d. h. auch in diesem Falle liegt die Mittelkraft R außerhalb beider Kräfte und wiederum auf der Seite der größeren.

Denkt man sich den Fall  $K_1 > K_2$  durch allmähliches Wachsen, von  $K_2$  in den Fall  $K_2 > K_1$  übergehend, so wird in dem Maße als  $K_2$  sich der Größe von  $K_1$  nähert, x im negativen Sinne immer größer und die Mittelkraft  $R = K_1 - K_2$  rückt nach links in immer größere Ferne.

Für 
$$K_1 = K_2$$
 wird nach den Gleichungen 6 und 7  $R = 0$ ,  $x = \mp \infty$ ;

beide Kräfte bilden ein Kräftepaar. Sobald  $K_2$  nur um ein Geringes größer wird als  $K_1$ , rückt R auf die rechte Seite der Kräfte, bewegt sich also durch die Unendlichkeit. (Vergl. S. 109.)

Für den Grenzfall  $K_1 = K_2$  folgt aus Gleichung 7

$$(K_1-K_2) x = 0 \cdot \infty = K_2 l.$$

Die Mittelkraft R=0 am Hebelarm  $x=\infty$  hat also das bestimmte endliche Moment  $K_2l$ . Das gleiche Moment hat das Kräftepaar in Bezug auf jeden Drehpunkt der Ebene, z. B. in Bezug auf den Punkt A (Fig. 113)

$$M = K \cdot (a+l) - K \cdot a = K \cdot l.$$

Fig. 113.

Keck, Mechanik I.

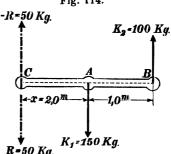
Jedes Kräftepaar hat also eine Mittelkraft = 0, und der einzige mechanische Wert desselben ist sein Moment  $K \cdot l$ .

Der wesentliche Unterschied zwischen der Wirkung eines Kräftepaares und derjenigen anderer Parallelkräfte besteht darin, dass ein Kräftepaar, weil es keine in der Endlichkeit liegende Mittelkraft hat, auch durch keine in der Endlichkeit liegende Kraft im Gleichgewicht gehalten werden kann.

Beispiel: Ein etwa stabförmiger Körper (Fig. 114) werde wie skizziert von Kräften  $K_1=150$  kg und  $K_2=100$  kg ergriffen. Die Mittelkraft beider ist dann R=150-100=50 kg und deren Lage im Abstande Fig. 114.

$$x = \frac{100 \cdot 1.0}{50} = 2.0 \text{ m}$$

links von A zu finden. Eine hier im Punkte C angebrachte Kraft -50 kg hält die Kräfte  $K_1$  und  $K_2$  im Gleichgewicht. Wird der Körper in C, wenn auch nur drehbar, festgehalten, so bleibt er in Ruhe. Die Momente der Kräfte  $K_1$  und  $K_2$  heben sich in Bezug auf C als Drehpunkt auf  $(-2 \cdot 150 + 3 \cdot 100 = 0)$  und C hat einen Widerstand von -50 kg



zu leisten. Für  $K_1=K_2=100\,{\rm kg}$  rückt R in unendliche Ferne und wird gleich Null. Hält man den Körper jetzt in C oder in irgend einem andern im Endlichen liegenden Punkte lediglich drehbar fest, so üben die Kräfte  $K_1$  und  $K_2$  ein Moment  $-2\cdot 100+3\cdot 100=100\,{\rm mkg}$  auf ihn aus und werden ihm daher eine Drehbewegung mitteilen. Gleichgewicht ist nicht möglich.

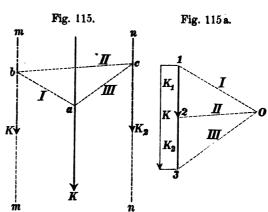
### 5. Zerlegung einer Kraft in Seitenkräfte.

Zerlegung einer Kraft in zwei Seitenkräfte.

Die Zerlegung einer Kraft in zwei Seitenkräfte von gegebenen Richtungslinien ist nur möglich, wenn der Schnittpunkt dieser letzteren auf die Richtungslinie der zu zerlegenden Kraft fällt, denn andernfalls würde die Mittelkraft der gesuchten Seitenkräfte ihrer Lage nach nicht mit der gegebenen Kraft zusammenfallen, ihr also nicht gleichwertig sein können. Der Fall, wo die Richtungslinien der gesuchten Seitenkräfte der gegebenen Kraft nicht parallel sind, ist bereits unter Ziffer 6 Seite 39 behandelt. Hier bleibt noch die Zerlegung einer Kraft in zwei parallele Seitenkräfte nachzuholen. Dies möge zunächst auf zeichnerischem Wege geschehen.

Gegeben seien die Kraft K und die Richtungslinien mm und nn (Fig. 115 und 115a) ihrer gesuchten Seitenkräfte. Man denke sich die

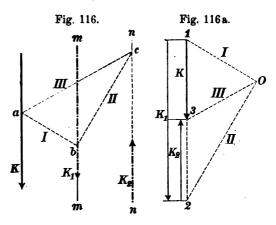
zu zerlegende Kraft K
als Schlußlinie 1-3
eines Kraftecks, wähle
einen Pol O und ziehe
die Polstrahlen O-1 u.
O-3 und durch einen
beliebigen Punkt a der
gegebenen Kraft K
Parallelen I und III
dazu, so können diese
als die die gesuchten
Kräfte einschließenden Seilecksseiten an



gesehen werden. Die mittlere Seite des Seilecks ergibt sich in der Verbindungslinie der Schnittpunkte b und c der Seiten I und III mit den gegebenen Kraftlinien mm und nn. Eine Parallele dazu durch den Pol O im Krafteck ergibt den zugehörigen Polstrahl 0-2, und in den Strecken 1-2 und 2-3 findet man die gesuchten Seitenkräfte. Ihre Zusammensetzung führt wieder auf die Mittelkraft K.

Liegen die Richtungslinien der gesuchten Seitenkräfte auf der-

selben Seite der zu zerlegenden Kraft, so bleibt die Konstruktion grundsätzlich dieselbe. (Fig. 116 und 116 a.) Der Teilpunkt 2 fällt dann außerhalb der Strecke 1-3. Die K am nächsten gelegene Seitenkraft  $K_1=1-2$  ist dann größer als K und  $K_2=2-3$  zeigt ent-



gegengesetzten Richtungssinn  $K = K_1 - K_2$ .

Rechnerisch gestaltet sich die Zerlegung wie folgt: In Bezug auf irgend einen Drehpunkt muß die Summe der Momente der gesuchten Kräfte gleich dem Moment der gegebenen Kräft K sein. Wählt man einen Punkt A auf der Richtungslinie mm (Fig. 117), so ergibt sich die Momentengleichung

Fig. 117.

$$K_2 \cdot (a+b) = K \cdot a$$

und daraus

$$K_2=\frac{K\cdot a}{a+b}.$$

Zufolge 
$$K_1 + K_2 = K$$
 ist

$$K_1 = K - K_2 = K - \frac{Ka}{a+b} = \frac{K \cdot b}{a+b}.$$

Liegen die gegebenen Richtungslinien auf derselben Seite von K

(Fig. 118), so lautet die Momentengleichung

$$K_{1}$$
 $K_{2}$ 
 $K_{2}$ 

$$K_2(b-a) = -K \cdot a$$
 und daraus  $K_2 = \frac{-K \cdot a}{b-a}$ .

 $K_2$  wird also negativ, nimmt entgegengesetzte Richtung an.

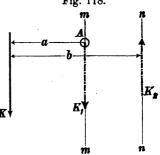
Daher wird

$$K_1-K_2=K,$$

$$K_1 = K + K_2 = K + \frac{K \cdot a}{b - a} = \frac{b \cdot K}{b - a}.$$

Da b > a, so folgt wieder  $K_1 > K_2$ .

Fig. 118.



Beispiel: Ein auf zwei Stützen A und B ruhender Balken trägt die Vertikallasten  $K_1$ ,  $K_2$  und  $K_3$ . Mit welchen Kräften A und B drückt er auf die Stützen (Auflager) A und B?

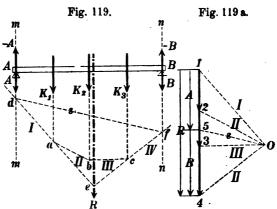
Man setzt, zeichnerisch oder rechnerisch, die Lasten  $K_1$ ,  $K_2$  und  $K_3$  zu ihrer Mittelkraft R zusammen und zerlegt diese nach den Richtungen der Auflager-Vertikalen mm und nn.

a) Zeichnerische Lösung: Die Größe von R wird in bekannter Weise als Schlußlinie 1-4 des Kraftecks Fig. 119a erhalten, und der Lage nach geht R durch den Schnittpunkt e der äußeren Seilecksseiten I und IV. Verbindet man die Schnittpunkte d und f der letzteren und der Stützvertikalen mm und nn miteinander und zieht im Krafteck  $0-5 \parallel df$ , dann ist 1-5 = A und 5-4 = B. Die in die Richtung der Stützvertikalen mm und nn fallenden Seitenkräfte von R sind völlig gleichwirkend mit den Lasten  $K_1$ ,  $K_2$  und  $K_3$ . A und B stellen also die Kräfte dar, mit welchen der Balken auf seine Stützen

drückt. Nach dem Grundsatz von der Wirkung und Gegenwirkung geben die Stützen A und B

entgegengesetzte gleiche Kräfte -A und -B zurück und diese halten den Lasten  $K_1$ ,  $K_2$  u. s. w. das Gleichgewicht.

b) Rechnerische Lösung (Fig. 120): Wie bekannt, ist die Mittelkraft  $R=K_1+K_2+K_3$  und ihr Abstand x von B, letzteren Punkt als Drehpunkt angenommen,



$$x = \frac{K_1 \cdot l_1 + K_2 l_3 + K_3 l_3}{K_1 + K_2 + K_3}.$$

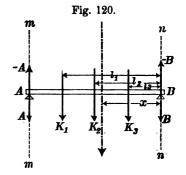
Für die Zerlegung nach den Stützvertikalen mm und nn gilt in Bezug auf B die Momentengleichung  $Al = R \cdot x$ , woraus  $A = \frac{R \cdot x}{l}$  und, für x und R obige Werte eingesetzt

obige Werte eingesetzt 
$$A = K_1 + K_2 + K_3 \cdot \frac{(K_1 \, l_1 + K_2 \, l_2 + K_3 \, l_3)}{l \, (K_1 + K_2 + K_3)} = \frac{K_1 \, l_1 + K_2 \, l_2 + K_3 \, l_3}{l}.$$

Überlegt man, daß die aufwärts gerichteten Kräfte A und B den Lasten gegenüber Gleichgewicht herstellen und mit ihnen zusammen in Bezug auf irgend einen Drehpunkt die Momentensumme Null liefern müssen, so ergibt sich für B als Drehpunkt die Momentengleichung  $A l - K_1 l_1 - K_2 l_2 - K_3 l_3 = 0$  und daraus, wie oben

$$A = \frac{K_1 l_1 + K_2 l_2 + K_3 l_3}{l}.$$

Der letztere Weg zur rechnerischen Lösung ist der kürzere und daher übliche.



Die Kraft B findet man ebenso, wenn man A als Drehpunkt annimmt. Wenn A schon bekannt, findet man kürzer aus der Gleichung

$$A + B = K_1 + K_2 + K_3$$
  
 $B = K_1 + K_2 + K_3 - A$ 

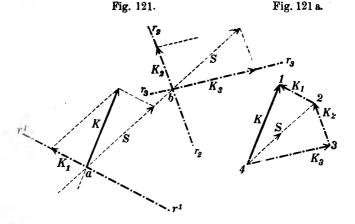
Zerlegung einer Kraft in drei Seitenkräfte.

Die Zerlegung einer Kraft nach drei in ihren Richtungslinien gegebene Seitenkräfte ist nur möglich, bezw. hat nur einen be-

stimmten Sinn, wenn die drei Richtungslinien keinen gemeinsamen Schnittpunkt haben. Die Wahrheit dieser Behauptung ergibt sich aus folgender Überlegung: Durch einen gemeinsamen Schnittpunkt der drei gesuchten Kräfte  $K_1$ ,  $K_2$  und  $K_3$  außerhalb der Richtung von K müßte auch deren Mittelkraft gehen und könnte sich daher nicht mit K decken. Schneiden sich die drei Richtungslinien auf der Richtung von K, so ist, wie leicht ersichtlich, die Aufgebe unbestimmt, es sind unendlich viele Lösungen möglich.

Ist obige Bedingung erfüllt, so gestaltet sich die Lösung wie folgt:

a) Zeichnerische Lösung.  $r_1-r_1$ ,  $r_2-r_2$ ,  $r_3-r_3$  Fig. 121 seien die gegebenen Richtungslinien. Wir bringen eine derselben, z. B.  $r_1-r_1$  zum Schnitt mit der Richtung von K und verbinden



den Schnittpunkt a mit dem Schnittpunkt b der beiden anderen Richtungslinien, dann muß die Mittelkraft S der in letztere Richtungen fallenden Seitenkräfte  $K_2$  und  $K_3$  in die Richtung ab fallen, denn sie muß zusammen mit  $K_1$  die Mittelkraft K liefern. Zerlegt man nun K in a nach den Richtungen  $r_1-r_1$  und ab in die Seitenkräfte  $K_1$  und S, letztere im Punkte b in die Seitenkräfte  $K_2$  und  $K_3$ , so sind  $K_1$ ,  $K_2$  und  $K_3$  die gesuchten Kräfte, denn ihre Mittelkraft wird wieder K.

Die Zerlegung geschieht zweckmäßig in einem besonderen Krafteck, Fig. 121a, indem man zunächst K nach Richtung und Größe aufträgt, durch deren Endpunkte 1 und 4 die Linien  $1-2 \parallel r_1 r_1$  und

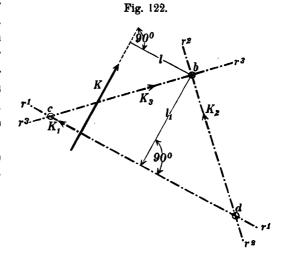
2-4 | ab und ferner durch die Punkte 2 und 4 die Linien 2-3 |  $r_2r_2$  und 3-4 |  $r_3r_3$  zieht.

b) Rechnerische Lösung. Die rechnerische Lösung stützt

sich wieder auf den Satz von den statischen Momenten. Wir wählen den Schnittpunkt zweier gegebenen Richtungslinien, z. B. b als Drehpunkt, Fig. 122. Es entsteht dann eine Momentengleichung, in welcher nur eine der gesuchten Seitenkräfte  $K_1$  vorkommt.

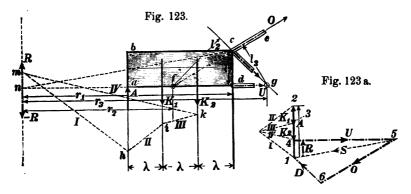
$$K \cdot l = K_1 \cdot l_1$$
 und daraus

$$K_1 = \frac{K \cdot l}{l_1}.$$



Wählt man nun weiterhin c und ein drittes Mal d als Drehpunkt, so berechnen sich in gleicher Weise die Seitenkräfte  $K_2$  und  $K_3$ .

Beispiel: Eine Scheibe abcd wird, wie aus Fig 123 ersichtlich, in ihrer Ebene von Parallelkräften A,  $K_1$  und  $K_2$  ergriffen. In den Punkten



c und d sind in den angegebenen Richtungen Stäbe ce, cf und dg drehbar befestigt. Es sind die in den Mittellinien dieser Stäbe anzubringenden Kräfte

O, D und U zu bestimmen, welche den gegebenen Kräften das Gleichgewicht halten.

Mit Hülfe eines Kraft- und Seilecks, Fig. 123 und 123s, werden zunächst in bekannnter Weise Größe, Richtung und Lage der Mittelkraft R der Kräfte A,  $K_1$  und  $K_2$  bestimmt. Die Bedingung des Gleichgewichts zwischen A,  $K_1$ und  $K_2$  und O, D und U erfordert, dass die Mittelkraft der letzteren Kräfte derjenigen der erstgenannten entgegengesetzt gleich ist und mit ihr in eine gerade Linie fällt. Kehrt man also R um, so muss -R gleichwertig O, D und U sein. Im Krafteck wird -R durch die Strecke 4-1 ausgedrückt. Verlängert man nun gd bis n, zieht nc und im Krafteck durch 4 und 1 4-5  $\parallel dg$  1-5  $\parallel nc$ , ferner durch 1 and 5 5-6 || ce and 1-6 || cg, so sind 4-5 = U, 5-6 = 0und 6-1 = D die gesuchten Kräfte.

Rechnerisch gestaltet sich die Lösung wie folgt:

Da die Kräfte A,  $K_1$  und  $K_2$  bezw. deren Mittelkraft R mit den gesuchten O, D und U im Gleichgewicht stehen sollen, so müssen sie in Bezug auf irgend einen Drehpunkt, z. B. c die Momentensumme Null aufweisen. In der Momentengleichung kommt dann nur U als Unbekannte vor und es ergibt  $\begin{aligned} & \text{sich } - U \cdot l_1 + R \cdot r_1 = - \ U \cdot l_1 + A \cdot 3 \ \lambda - K_1 \cdot 2 \ \lambda - K_2 \cdot \lambda = 0 \end{aligned} \text{ und daraus} \\ & U = \frac{R \cdot r_1}{c_1} = \frac{A \cdot 3 \ \lambda - K_1 \cdot 2 \ \lambda - K_2 \cdot \lambda}{l_1}.$ 

$$U = \frac{R \cdot r_1}{c_1} = \frac{A \cdot 3 \lambda - K_1 \cdot 2 \lambda - K_2 \cdot \lambda}{l_1}.$$

Wählt man ferner f und g als Drehpunkt, so ergibt sich in gleicher Weise D und O.

$$Dl_{2} + R \cdot r_{2} = 0 \quad D = -\frac{R \cdot r_{2}}{l_{2}}$$

$$O \cdot l_{3} + R \cdot r_{3} = 0 \quad O = -\frac{R \cdot r_{3}}{l_{3}}.$$

Die negativen Vorzeichen von D und O deuten an, dass der in der Figur vorläufig angenommene Richtungssinn der Kräfte D und O in Wirklichkeit entgegengesetzt zu nehmen ist.

### 6. Zeichnerische Ermittelung des Momentes einer beliebigen Kräftegruppe in einer Ebene.

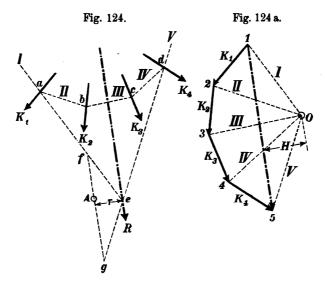
Nach dem Satz der statischen Momente ist, wenn  $M_R$  das Moment der Mittelkraft einer gegebenen Kräftegruppe  $K_1$   $K_2$  u. s. w. und  $\sum M_K$  die algebraische Summe der Momente dieser Einzelkräfte in Bezug auf irgend einen Punkt der Ebene bezeichnet

$$M_R = \Sigma M_K.$$

Ist nun zu der Kräftegruppe (Fig. 124) ein Krafteck 1-2-3-4-5 und unter Annahme eines beliebigen Poles O ein Seileck abcde gezeichnet und dadurch die Mittelkraft R nach Größe, Richtung und Lage bekannt geworden, so ist in Bezug auf A als Drehpunkt

$$M_R = R \cdot r.$$

Ziehen wir nun durch A eine Parallele zu R bis zu den Schnittpunkten f und g mit den die Kräftegruppe einschließenden Seilecks-



seiten I und V, so ist das entstehende Dreieck efg ähnlich dem Dreieck 1-0-5 und demnach, wenn man fg mit u bezeichnet

$$\frac{u}{r} = \frac{R}{H}$$
, oder  $R \cdot r = H \cdot u$ 

und unter Beachtung der Gleichung 1

$$\Sigma M_K = H \cdot u.$$

Daraus ergibt sich der Satz:

Das statische Moment einer beliebigen Kräftegruppe in der Ebene ist gleich dem Produkte aus der Polweite H ihrer Mittelkraft (senkrechter Abstand des Poles von der Mittelkraft) und der Strecke, welche die äußeren, die Kräftegruppe einschließenden Seilecksseiten auf einer durch den Drehpunkt zur Mittelkraft gezogenen Parallelen abschneiden.

Das Vorzeichen des Momentes lässt sich aus dem Drehungssinn der Mittelkraft leicht bestimmen. In Fig. 123 dreht R rechts herum, das Moment ist also positiv zu nehmen. Die Strecke u und folglich auch das Moment  $M = \sum M_K$  nimmt mit dem Abstande r des Drehpunktes A von der Mittelkraft verhältnisgleich

ab und zu. Fällt A auf die Richtung von R, so wird u und somit auch M=0. Bewegt sich A von der einen auf die andere Seite von R, so wechseln u und M ihre Vorzeichen.

Besonders bequem gestaltet sich die Anwendung der vorbeschriebenen Regel bei Ermittelung der Momente von Parallelkräften, beispielsweise der sog. Angriffsmomente von Balken, welche vertikale Lasten zu tragen haben. Fig. 124 stellt einen solchen auf zwei Stützen A und B ruhend mit Lasten  $K_1$ ,  $K_2$  und  $K_3$  dar. Das Krafteck und Seileck zu denselben werden in bekannter Weise gezeichnet und durch Ziehen der Linie 0-5 im Krafteck parallel zur Schlusseite s des Seilecks die aufwärts gegen den Balken wirkenden Stützkräfte A und B gefunden. Letztere, mit den Lasten im Gleichgewicht stehend, erscheinen mit diesem gemeinsam in das Seileck abcde eingeschlossen. In Bezug auf irgend einen Punkt C der Mittellinie des Balkens üben die links von demselben angreifenden Kräfte A,  $K_1$  und  $K_2$  ein bestimmtes Drehmoment, das sog. Angriffsmoment aus. Die Größe desselben findet man nach Obigem, indem man durch C eine Vertikale zieht und die Strecke u, welche die die Kräfte einschließenden Seilecksseiten s und III auf derselben abschneiden, mit der Polweite H multipliziert  $M = u \cdot H$ . empfiehlt sich aus Bequemlichkeitsrücksichten für H eine runde Zahl zu wählen. Macht man H=1, so wird M=u. ment wird, wie auch der Drehpunkt C gewählt werden möge, wie leicht ersichtlich, immer rechts herumdrehend, also positiv sein. Die rechts von C wirkenden Kräfte  $K_3$  und B üben in Bezug auf den Punkt ein gleich großes negatives Moment aus. Unter der Wirkung beider bleibt der Balken im Drehungsgleichgewicht.

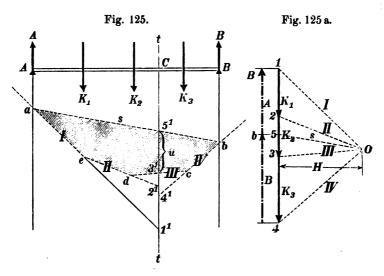
Um die Momente der Einzelkräfte hervortreten zu lassen, bringen wir die Seilecksseiten I bis IV und s zum Schnitt mit tt und bezeichnen die entsprechenden Schnittpunkte mit 1', 2', 3', 4' und 5'. Die die einzelnen Kräfte A,  $K_1$  u. s. w. einschließenden Seilecksseiten s und I, I und II, II und III u. s. w. schneiden dann auf tt die Strecke 1'-5', 1'-2', 2'-3' u. s. w. ab. Die Momente der Einzelkräfte links von tt sind also unter Beachtung ihrer Vorzeichen

$$M_A = H \cdot 1 - 5$$
,  $M_{K_1} = -H \cdot 2^1 - 1^1$ ,  $M_{K_2} = -3' - 2' \cdot H$  und ihre Summe

$$M = H(1'-5'-2'-1'-3'-2') = H \cdot 3!-5! = H \cdot u.$$

Ebenso die Momente der Kräfte rechts von tt

$$M = -H \cdot 5' - 4' + H \cdot 4' - 3' = H(4' - 3' - 5' - 4') = -H \cdot u$$
.



Je nach der Lage des Drehpunktes C fällt die Strecke u und somit auch das Angriffsmoment M verschieden groß aus. Fällt C mit A zusammen, so wird u und M=0. Bewegt sich C in der Richtung von A nach B, so nimmt sowohl u als M zunächst bis zu einem Größtwert zu, um dann wieder bis auf Null abzunehmen.

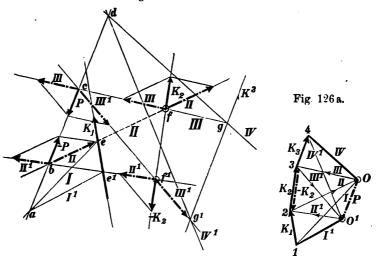
Im Falle der Fig. 124 liegt  $u_{max}$  in der Richtungslinie der Kraft  $K_2$  und wird, wie leicht ersichtlich, immer mit der Richtung einer der Kräfte zusammenfallen. Die Fläche abcde, deren Umfangslinien in jeder Lage von C auf der Linie tt die Strecke u abschneiden, nennt man die der Belastung entsprechende Momentenfläche des Balkens.

## 7. Polaraxe zweier mit verschiedenen Polen zu einer Kräftegruppe bezeichneter Seilecke.

Die einander entsprechenden Seiten zweier mit verschiedenen Polen zu einer Kräftegruppe gezeichneten Seilecke schneiden sich auf einer Geraden, welche parallel ist zur Verbindungslinie beider Pole und welche die Polaraxe beider Seilecke genannt wird. Die Richtigkeit dieses Satzes läst sich wie folgt beweisen:

Die Linienzüge I, II, III, IV und I', II', III', IV', Fig. 126, seien zwei mit den Polen 0 und 0' (Fig. 126 a), zu den Kräften  $K_1$ ,  $K_2$ ,  $K_3$  u. s. w. gezeichnete Seilecke. Denken wir uns

Fig. 126.



eine der Kräfte, heispielsweise  $K_2$  in ihrer Richtungslinie im Punkte f aufwärts und im Punkte f' als  $-K_2$  abwärts wirkend, so stehen  $K_2$  und  $K_2$  miteinander im Gleichgewicht. Ersetzen wir beide durch ihre Seitenkräfte in den Richtungen der sie einschließenden Seilecksseiten II und III bezw. II' und III', so müssen auch diese vier Kräfte miteinander im Gleichgewicht stehen. Im Krafteck erscheinen die Seitenkräfte II und III der Kraft K. (Strecke 2-3) in den Polstrahlen 2-0 und 0-3 und die Seitenkräfte II' und III' der Kraft —  $K_2$  (Strecke 3-2) in den Polstrahlen 3-0' und 0'-2. Vereinigen wir nun die Seitenkräfte II und II' im Schnittpunkte b und ebenso III und III' im Schnittpunkte c ihrer Richtungslinien je zu einer Mittelkraft P, so müssen auch diese miteinander im Gleichgewicht stehen, d. h., einander entgegengesetzt gleich sein und in derselben geraden Linie (bc) liegen. Im Krafteck wird die Mittelkraft von II und II' ausgedrückt durch die Linie 0-0'=P und die Mittelkraft von III und III', ebenso durch die Linie 0'-0 = -P. Die Linie bc, Fig. 126, muß also parallel sein der Verbindungslinie 0-0' beider

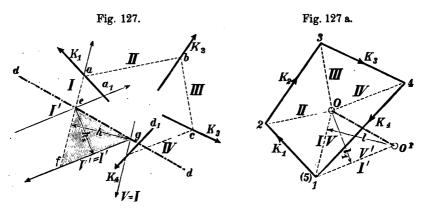
Pole (Fig. 126a). In völlig gleicher Weise läßt sich beweisen, daß auch die Linien ab und cd parallel 0-0' sein und daß also die Schnittpunkte a, b, c und d der einander entsprechenden Seilecksseiten I und I', II und II' u.s. w. in der geraden Linie abcd liegen müssen.

# 8. Graphische Merkmale für das Gleichgewicht einer Kräftegruppe.

Wie weiter oben bereits dargelegt, ist das Gleichgewicht, d. h., die gegenseitige Aufhebung einer Gruppe von Kräften in einer Ebene bedingt dadurch, daß gleichzeitig die Mittelkraft R der Kräftegruppe und die Summe der Momente aller Einzelkräfte, oder das Moment der Mittelkraft in Bezug auf irgend einen Drehpunkt gleich Null sei.

Da die Mittelkraft einer Kräftegruppe graphisch als Schlusslinie eines aus den Kräften gezeichneten Kraftecks erhalten wird, so entspricht der ersten Bedingung R=0 graphisch die Bedingung, das Krafteck zum Schlus kommt, also die Länge seiner Schluslinie =0 wird.

In Fig. 127a bilden die Kräfte  $K_1$  bis  $K_4$  ein schließendes Krafteck. Der Endpunkt 5 des Streckenzuges 1-2-3-4-5 fällt mit dem Anfangspunkte 1 zusammen; die Schlußlinie 1-5 ist = 0.



Um beurteilen zu können, ob auch das Gesamtmoment der Kräftegruppe = 0 ist, werde mit einem beliebigen Pole 0 ein Seileck I, II, III, IV, V, Fig. 127, gezeichnet. Dabei müssen die erste und letzte Seilecksseite I und V den im schließenden Krafteck zusammenfallenden Polstrahlen 0-1 und 0-5 und also auch unter sich parallel sein. Wie weiter oben dargelegt, haben wir uns in den Seilecksseiten Kräfte wirkend zu denken, welche ihrer Größe nach durch die entsprechenden Polstrahlen im Krafteck ausgedrückt sind und welche die gegebene Kräftegruppe in ihrer Wirkung völlig er-Diese Kräfte heben sich in den einzelnen Seilecksseiten mit Ausschluss der ersten und letzten, hier I und V, gegenseitig auf. Die allein zurückbleibenden Kräfte I und V sind also gleichfalls der gegebenen Kräftegruppe gleichwertig. Sie sind ihrer Größe nach gleich und entgegengesetzt gerichtet; fallen sie also in eine gerade Linie zusammen, d. h., schliesst auch das Seileck, so heben sie sich gleichfalls auf und es besteht Gleichgewicht. Fallen sie, wie in Fig. 122, nicht in eine gerade Linie, so bilden sie ein Kräftepaar mit einem bestimmt von Null verschiedenem Moment und es kann daher Gleichgewicht nicht bestehen. Es ist nun die Frage, ob nicht etwa ein mit irgend einem anderen Pole O1 gezeichnetes Seileck zum Schlus kommen und eine Aufhebung sämtlicher Seilkräfte würde eintreten können. Um diese Frage beurteilen zu können, ist es nur nötig, die erste und letzte Seite I' und V'dieses zweiten Seilecks zu zeichnen, was mit Hülfe der Polarachse leicht geschehen kann. Gibt man der ersten Seite I' die Lage  $ea_1$ , so ist dd, parallel zu 0-0 durch e gezogen, die Polarachse beider Seilecke, und durch den Schnittpunkt g derselben mit der Seite V des ersten muß auch die Seite V' des zweiten Seilecks gehen. Ist nun h der senkrechte Abstand der Seiten I und V des ersten, h' derjenige der Seiten I' und V' des zweiten Seilecks, beides also die Hebelarme der Kräftepaare I und I', so lässt sich leicht zeigen, dass die Momente  $h \cdot I$  und  $h' \cdot I'$  derselben einander gleich sind und dass daher auch bei jedem anderen zu der Kräftegruppe gezeichneten Seileck ein Kräftepaar von gleichem Moment sich ergibt.

Aus der Ähnlichkeit der Dreiecke efg, Fig. 127, und 0-1-0', Fig. 127a, mit parallelen Seiten folgt nämlich bei den aus den Figuren ersichtlichen Bezeichnungen

$$\frac{h}{h_1} = \frac{l}{l_1}.$$

Ferner ist der Flächeninhalt des Dreiecks 0-1-0'

2) 
$$\frac{I \cdot l}{2} = \frac{I' \cdot l'}{2} \text{ und daraus } \frac{l}{l_1} = \frac{I'}{I}.$$

Aus Gleichung 1 und 2 aber folgt

$$\frac{h}{h_1} = \frac{I'}{I}$$
 und demnach  $h \cdot I = h_1 \cdot I'$ .

Da nun I und I' stets endliche, von Null verschiedene Größen sind, so muß auch, wenn h>0 stets h'>0 sein, d. h., wenn irgend ein mit einem beliebigen Pole zu einer Kräftegruppe gezeichnetes Seileck nicht schließt, kann auch kein mit einem anderen Pole gezeichnetes Seileck zum Schluß kommen. Der mechanische Wert der Kräftegruppe ist dann gleich einem von Null verschiedenen Momente und Gleichgewicht kann nicht bestehen. Umgekehrt: schließt ein mit irgend einem Pole gezeichnetes Seileck, so schließt auch jedes andere; der mechanische Wert der Kräftegruppe ist gleich Null, die Kräfte befinden sich im Gleichgewicht.

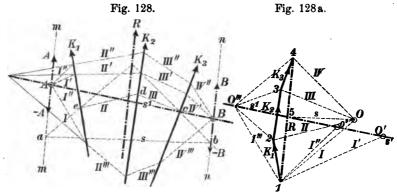
Hieraus folgt: Lässt sich irgend eine Kräftegruppe zu einem schließenden Krafteck vereinigen und kommt auch ein zu derselben gezeichnetes Seileck zum Schluß, so halten die Kräfte einander das Gleichgewicht und umgekehrt; ist eines der beiden Merkmale nicht vorhanden, so besteht auch zwischen den Kräften kein Gleichgewicht.

#### 9. Zeichnung eines Seilecks durch gegebene Punkte.

Ein Seileck zu einer gegebenen Kräftegruppe ist völlig bestimmt, wenn der Pol O und die Lage irgend einer Seilecksseite, bezw. ein Punkt derselben gegeben ist. Der Pol selbst kann durch zwei Bestimmungsstücke, z. B. durch die Richtung und Länge eines Polstrahles, oder durch die Richtung zweier Polstrahlen, oder durch die Länge zweier Polstrahlen u. s. w. als gegeben angesehen werden. Zur Festlegung eines Seilecks sind also im ganzen drei Bestimmungsstücke erforderlich. Anstatt des durch zwei Stücke bestimmten Poles können auch zwei weitere Punkte des Seilecks gegeben sein, so daß also ein Seileck wie ein Kreis durch drei Punkte bestimmt erscheint. Sind nur zwei Punkte gegeben, so lassen sich beliebig viele Seilecke durch dieselben zeichnen.

Bestimmung des geometrischen Ortes für den Pol eines durch zwei Punkte gehenden Seilecks.

Man zeichne zu der gegebenen Kräftegruppe  $K_1$ ,  $K_2$  und  $K_3$  (Fig. 128 und 128a) ein Krafteck und mit beliebigem Pol 0 ein Seileck. Dadurch wird in bekannter Weise Größe, Richtung und Lage der Mittelkraft R bekannt. Sind nun A und B die Punkte, durch welche das gesuchte Seileck gehen soll, so ziehe man durch sie Parallelen m und n zur Mittelkraft R, verbinde die Schnitt-



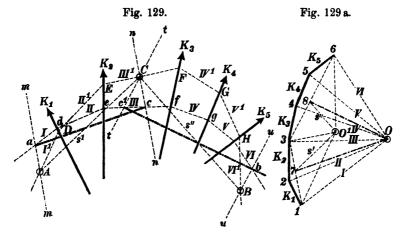
punkte a und b derselben und der äußeren Seilecksseiten I und IV miteinander und ziehe im Krafteck den Polstrahl  $0-5 \parallel ab$ . Dadurch erscheint R zerlegt nach den Richtungslinien mm und nn in Seitenkräfte A und B, welchen im Krafteck die Strecken 1-5 und 5-4 entsprechen. Wie R, so sind auch die Seitenkräfte A und B der gegebenen Kräftegruppe mechanisch gleichwertig, und die ihnen entgegengesetzt gleichen Kräfte A und B stehen daher mit der Kräftegruppe im Gleichgewicht. Sie bilden mit ihr das geschlossene Krafteck 1-2-3-4-5-1, und auch das zugehörige Seileck abcde ist unter Hinzutritt der Schlußlinie ab=s ebenfalls zum Schluß gekommen.

Wie weiter oben nachgewiesen, muß nun aber auch jedes andere zu den Kräften gezeichnete Seileck schließen. Legt man daher die Kräfte A und B verbindende Seite s' in die Richtung AB, so muß das Seileck durch die Punkte A und B gehen. Der der Seite s' entsprechende Polstrahl s' muß parallel sein zu AB und der Pol O' daher auf einer durch den Punkt 5 im Krafteck gezogenen Parallelen  $s_1 s_1$  zu AB liegen; diese ist somit der geometrische Ort des Poles für alle durch die Punkte A und B

zu den Kräften  $K_1$ ,  $K_2$  und  $K_3$ , — A und — B und mithin auch zu den Kräften  $K_1$ ,  $K_2$  und  $K_3$  gezeichneten Seilecke s', I', II', III', IV'', s', I'', III'', III'', IV'' u. s. w.

Zeichnung eines Seilecks durch drei Punkte A, B und C.

 $K_1$ ,  $K_2$ ,  $K_3$ ,  $K_4$  und  $K_5$  (Fig. 129) sei die gegebene Kräftegruppe. Durch die drei Punkte A, B und C ist das Seileck völlig bestimmt und es kommt nur darauf an, den zugehörigen Pol zu ermitteln.

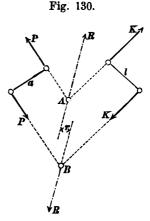


Dies geschieht, indem man in vorbeschriebener Weise je den geometrischen Ort zeichnet für den Pol der Seilecke, welche durch die Punkte A und C, und den Pol der Seilecke, welche durch die Punkte B und C gehen. Der Schnittpunkt beider (O') ist dann der gesuchte Pol. Die Lösung der Aufgabe gestaltet sich danach wie folgt:

### 10. Zusammensetzung von Kräftepaaren.

Sind in einer Ebene zwei Kräftepaare von den Momenten Kl und — Pa gegeben (Fig. 130), so kann man die im Punkt A sich

schneidenden Kräfte K und P durch eine Mittelkraft R ersetzen und ebenso die anderen beiden, welche sich in B schneiden. Die beiden Kräfte R sind gleich und entgegengesetzt, bilden daher im allgemeinen ein Kräftepaar vom Moment Rr. Wendet man den Satz der Drehmomente auf die in A sich schneidenden Kräfte an, bezogen auf B als Drehpunkt, so wird Rr = Kl - Pa. Die beiden gegebenen Kräftepaare von entgegengesetztem Sinne lassen sich hiernach durch ein einziges Kräftepaar ersetzen, dessen Moment gleich dem Unterschiede der Momente der gegebenen Kräftepaare

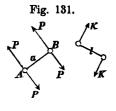


ist und dessen Sinn mit dem des stärkeren Kräftepaares übereinstimmt. Für Kl = Pa entsteht Rr = 0, d. h. r = 0. Die Kräfte R fallen dann in dieselbe Gerade und heben sich auf. Daraus folgt der Satz:

Zwei in derselben Ebene wirkende Kräftepaare von gleichen Momenten und entgegengesetztem Sinne heben sich auf.

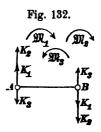
Ist nun ein Kräftepaar Kl gegeben (Fig. 131), so kann man in derselben Ebene an einem beliebigen Punkt A zwei gleiche ent-

gegengesetzte Kräfte P hinzufügen, ebenso im Punkte B. Wählt man die Lage der Punkte A und B so, daß Pa = Kl ist, so hebt das Kräftepaar Pa mit negativem Drehsinne das gegebene Kl auf, und es bleibt ein Kräftepaar Pa = Kl mit positivem Drehsinn übrig, welches mit dem gegebenen Kl gleichwertig ist, und man hat den Satz:



Zwei in derselben Ebene wirkende Kräftepaare von gleichen Momenten und gleichem Drehsinne haben gleiche Wirkung. Hiernach ist die Wirkung des Kräftepaares gar nicht von der Größe der Kräfte K, von ihrer Richtung und Lage, sondern nur von dem Momente, dem Drehsinne und der Wirkungsebene abhängig; ein Kräftepaar in einer bestimmten Ebene ist daher durch einen Drehungspfeil und die Momentengröße Menügend gekennzeichnet. Sind nun in der Zeichenebene mehrere

Kräftepaare gegeben, etwa  $\mathfrak{M}_1$  und  $\mathfrak{M}_2$  von positivem,  $\mathfrak{M}_3$  von negativem Sinne (Fig. 132), so kann man sie zu einem einzigen Paare vereinigen; hierzu wählt man einen Arm l=AB, macht  $K_1=\mathfrak{M}_1:l$  und stellt  $\mathfrak{M}_1$  durch zwei Kräfte  $K_1$  dar, die an den Punkten A und B angreifen. An denselben Punkten und mit denselben Richtungen kann man zwei Kräfte



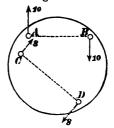
 $K_2=\mathfrak{M}_2:l$  anbringen als Darstellung von  $\mathfrak{M}_2$ , ebenso zwei Kräfte  $K_3=\mathfrak{M}_3:l$  mit entgegengesetzten Richtungen. In A kann man die drei Kräfte  $K_1$ ,  $K_2$  und  $K_3$  zu einer Mittelkraft  $R=K_1+K_2-K_3$  zusammensetzen, ebenso an B. R und R bilden ein Kräftepaar von dem Moment:

$$\mathfrak{M}=R\,l=K_1\,l+K_2\,l-K_3\,l=\mathfrak{M}_1+\mathfrak{M}_2-\mathfrak{M}_3,$$
 woraus sich ergibt:

Mehrere in derselben Ebene wirkende Kräftepaare können zu einem einzigen Paar in derselben Ebene zusammengesetzt werden, dessen Moment gleich der algebraischen Summe der Einzelmomente ist.

War  $\mathfrak{M}_1 = 12 \, \text{mkg}$ ;  $\mathfrak{M}_3 = 24 \, \text{mkg}$ ;  $\mathfrak{M}_3 = -20 \, \text{mkg}$  und wählt man  $l = 1 \, \text{m}$ , so wird  $K_1 = 12 \, \text{kg}$ ;  $K_2 = 24 \, \text{kg}$ ;  $K_3 = -20 \, \text{kg}$ , mithin  $R = 12 + 24 - 20 = 16 \, \text{kg}$  und das daraus entstehende Kräftepaar  $\mathfrak{M} = 16 \, \text{mkg}$ .

Sind an einem Holzklotze (Fig. 133) die vorstehenden Griffe A und B in 0,16 m Entfernung angebracht, ebenso C und D in 0,2 m Abstand, und übt man an A und B mit den Händen die Kräfte 10 kg aus, also das Moment  $10 \cdot 0,16 = 1,6$  mkg, so kann man ganz dieselbe Wirkung erreichen, wenn man an C und D ein Kräftepaar, bestehend aus zwei Kräften von 8 kg, angreifen läfst. Das zweite Kräftepaar würde, in entgegengesetzter Richtung angebracht, die Wirkung des



ersteren völlig aufheben, so daß der Körper sich so verhalten würde, als ob die Kräftepaare gar nicht vorhanden wären. In diesen Beziehungen wird nichts geändert, wenn man dem Klotze etwa eine feste Drehachse, rechtwinklig zur Bildebene, gibt. Wo die Achse auch liegen mag, — gleichwertige Kräftepaare werden um diese Achse stets dasselbe Drehungsbestreben haben, während gleiche entgegengesetzte Kräftepaare sich stets gegenseitig tilgen werden.

Auch in eine Parallelebene kann man ein Kräftepaar verschieben, ohne in der Wirkung etwas zu ändern. An einem starren

Parallelepiped (Fig. 134) seien die in den Punkten A und B der rechtsseitigen Stirnebene angreifenden Kräfte K gegeben, welche ein Paar bilden. In den Punkten C und D der linksseitigen Stirnebene, welche mit A und B ein Rechteck bilden, füge man je 2 gleiche, aber entgegengesetzte Kräfte K hinzu, dann haben die jetzt vorhandenen 6 Kräfte die gleiche Wirkung, wie die

Fig. 134.

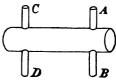
beiden gegebenen. Die beiden Diagonalen des Rechtecks ABCD halbieren sich gegenseitig in E. Die in A und C angreifenden aufwärts gerichteten Kräfte K kann man durch ihre Mittelkraft 2K im Punkt E ersetzen, ebenso die beiden in B und D angreifenden abwärts gerichteten. Da nun die beiden durch E gehenden Kräfte 2K sich aufheben, so bleiben nur noch die in der linksseitigen Stirnebene, bei D aufwärts, bei C abwärts wirkenden Kräfte übrig, welche dem gegebenen Kräftepaare gleichwertig sind.

Hat ein Körper 2 Arme AB und CD (Fig. 135), so ist es für die Bewegung von gleicher Wirkung, ob man mit den Händen in A und B oder in C und D angreift.

Diese Betrachtung führt dann mit den früheren Sätzen zu dem Ergebnisse:

Kräftepaare mit parallelen Drehungs-Ebenen können durch ein einziges Paar ersetzt werden, dessen Moment gleich der alge-

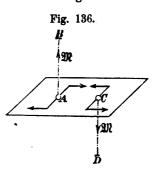




braischen Summe der Momente der gegebenen Paare ist und zu dessen Drehungsebene irgend eine den gegebenen parallele Ebene gewählt wird.

Hiernach gehört eine bestimmte Drehungsebene gar nicht zu den kennzeichnenden Eigenschaften eines Kräftepaares, sondern die Richtung seiner Drehungsebene. Zwei andere Merkmale sind die Größe des Momentes und der Drehungssinn. Diese drei lassen sich geometrisch mittels einer einzigen Geraden darstellen. Man errichtet eine Rechtwinklige zu der gegebenen Drehungsebene und bezeichnet sie als Achse des Kräftepaares. Jede zur Achse rechtwinklige Ebene kann dann zur Drehungsebene gewählt werden. Die Größe des Momentes läßt sich nach irgend einem Maßstab als Länge auf der Achse abtragen (Fig. 136). Diese Länge werde von

der Ebene aus auf der Achse in solchem Sinn aufgetragen, dass wenn man von dem Endpunkt auf die Ebene blickt, der Drehsinn als rechtsherum erscheint. Der Endpunkt aber läst sich kennzeichnen, indem man auf der Achse eine nach dem Endpunkte weisende Pfeilspitze anbringt. Das bei A wirkende Kräftepaar (Fig. 136) erscheint, von oben betrachtet, rechts drehend, von der Unter-



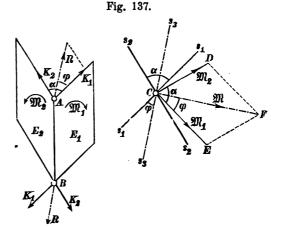
seite der Ebene aber erblickt man das Spiegelbild mit der Drehung links herum (ebenso wie das Spiegelbild einer Uhr oder eine Uhr mit durchscheinendem Zifferblatte, von der Rückseite betrachtet, eine Linksdrehung der Zeiger erkennen lässt). Daher muss der Endpunkt Bder Achse AB oberhalb A liegen, durch eine aufwärts weisende Pfeilspitze also B als Endpunkt gekennzeichnet werden, während es für das bei C wirkende Paar gerade umgekehrt ist. Diese mit bestimmten Pfeilrichtungen versehenen Linien AB und CD nennt man die Achsenstrecken der betr. Kräftepaare. Es lässt sich nun weiter zeigen, dass die Zusammensetzung von Kräftepaaren auch in sich schneidenden Ebenen mit Hülfe ihrer Achsenstrecken nach denselben Regeln wie die Zusammensetzung von Einzelkräften erfolgen kann. Dabei bietet sich noch die Erleichterung, daß, während eine Einzelkraft eine bestimmte Lage hat, die Achsenstrecke an irgend einem Punkte der Drehungsebene errichtet werden konnte, sich also auch beliebig parallel verschieben läst.

Es seien nun in zwei sich in der Geraden AB unter dem Winkel  $\alpha$  schneidenden Ebenen  $E_1$  und  $E_2$  (Fig. 137) die Kräftepaare  $\mathfrak{M}_1$  und  $\mathfrak{M}_2$  mit den durch die Drehungspfeile bezeichneten Drehungssinnen gegeben. Man führe sie beide auf den Arm AB = l zurück, so daß  $K_1 l = \mathfrak{M}_1$ ;

 $K_2 l = \mathfrak{M}_2$ . In A kann man  $K_1$  und  $K_2$  zur Mittelkraft R zusammensetzen, welche mit  $K_1$  den Winkel  $\varphi$  bildet. In B erscheint dann die gleiche entgegengesetzte Parallelkraft R, und man hat an Stelle der beiden gegebenen Paare ein einziges mit dem Moment Rl.

Wendet man aber auf die Achsenstrecken der Kräftepaare die Lehre von der Zusammensetzung der Kräfte an, so gelangt man zu dem

gleichen Ergebnisse. Eine Grundrissebene möge die Ebenen  $E_1$  und  $E_2$  rechtwinklig schneiden, dann schließen die Spuren  $s_1$  und  $s_2$  der Ebenen den Winkel a ein. Zeichnet man nun die Achsenstrecke des Paares M1, so wird diese gemäs dem früheren von C nach E



gerichtet sein müssen: man mache  $CE=\mathfrak{M}_1$ . Ebenso ist  $CD=\mathfrak{M}_2$  die Achse des zweiten Paares. Behandelt man  $CE=\mathfrak{M}_1$  und  $CD=\mathfrak{M}_2$  wie zwei Einzelkräfte, zeichnet aus ihnen ein Parallelogramm mit CF als Mittelkraft, so ist dieses Parallelogramm ähnlich dem aus  $K_1$  und  $K_2$  gezeichneten; seine Seiten haben die l fache Länge des letzteren und stehen zu ihnen rechtwinklig. Daher ist auch CF=Rl, d. h. gleich dem Momente des resultierenden Kräftepaares, und steht rechtwinklig auf der Ebene desselben. Von F aus betrachtet erscheint das Paar Rl rechts drehend; mithin hat CF alle Eigenschaften der Achsenstrecke des resultierenden Paares  $\mathfrak{M}$ , und eine Ebene mit der Spur  $s_3$ , rechtwinklig zu CF, würde als Wirkungsebene von  $\mathfrak{M}$  gewählt werden können.

Da das Gesetz vom Parallelogramm der Kräfte unmittelbar zum Parallelepiped-Gesetze führte, so muß letzteres auch für Kräftepaar-Achsen gelten. Danach sind auch die zur Zusammensetzung von Kräften an einem Punkt auf S. 40 angegebenen Verfahren unmittelbar auf solche Achsen zu übertragen. Oder:

Kräftepaare in beliebigen Ebenen lassen sich wie Kräfte, die an einem Punkt angreifen, mit Hülfe ihrer

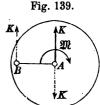
Achsenstrecken zusammensetzen, indem man letztere parallel an einen gemeinsamen Schnittpunkt verschiebt und wie Einzelkräfte behandelt.

Parallelverschiebung einer Kraft. Greift in einem Punkt A eine Kraft K an (Fig. 138), so kann man zwei gleiche entgegengesetzte Kräfte K in B hinzufügen; von den drei Kräften bilden nun die

ursprünglich gegebene und die entgegengesetzt hinzugefügte ein Kräftepaar  $\mathfrak{M} = Kl$ , und außerdem bleibt eine mit der gegebenen gleichgesinnte Kraft K übrig, welche um l gegen die ursprüngliche Lage verschoben ist. Die Parallelverschiebung einer Kraft K um die Entfernung lbedingt also die Hinzufügung eines Paares Kl.

Fig. 138.

Sind aber in einer Ebene eines starren Körpers eine Einzelkraft K in A mit dem Sinn aufwärts und ein Kräftepaar M gegeben (Fig. 139), so bringe man M auf die Form  $\mathfrak{M}=Kl$ , lege die eine Kraft K des Paares so durch A, dass sie mit der gegebenen entgegengesetzten Sinn hat, sich also damit aufhebt, und die andere in den Abstand  $AB = l = \mathfrak{M} : K$ ; dann bleibt letztere, durch B gehende Kraft K allein übrig.



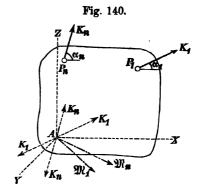
Ein Kräftepaar M setzt sich also in derselben Ebene mit einer Einzelkraft K zusammen zu einer Kraft K, welche um  $l = \mathfrak{M} : K$  gegen die gegebene Kraft K verschoben ist.

### 11. Zusammensetzung von Kräften im Raume mit verschiedenen Angriffspunkten.

Greifen an einem starren Körper beliebige Kräfte  $K_1$ , ...  $K_n$ an (Fig. 140), von denen der Einfachheit wegen nur  $K_1$  und  $K_n$ gezeichnet werden sollen, so wähle man zum Zwecke möglichster Vereinigung derselben einen beliebigen Punkt A und füge in diesem zwei gleiche entgegengesetzte Kräfte  $K_1$  hinzu; dann bilden die gegebene K1 und die entgegengesetzt hinzugefügte ein Kräftepaar, dessen Drehungsebene durch  $K_1$  in  $P_1$  und den Punkt A gegeben

ist, und dessen Hebelarm  $l_1$  der rechtwinklige Abstand der in  $P_1$  wirkenden Kraft  $K_1$  vom Punkt A ist. Dieses Paar läßt sich durch seine Achsenstrecke  $\mathfrak{M}_1$  darstellen, welche wir durch A legen können.

Ebenso verfährt man mit allen übrigen gegebenen Kräften, zuletzt mit  $K_n$ . Dann erhält man statt der gegebenen, am Körper zerstreut angreifenden n Kräfte: n Kräfte, deren Richtung, Größe und Sinn mit den gegebenen übereinstimmen, welche aber sämtlich in dem gemeinsamen Schnittpunkt A an greifen, und ebensoviele Kräftepaar-Achsenstrecken, die man sämtlich von A ausgehen lassen



kann. Die Einzelkräfte K lassen sich wie auf S. 40 zusammenset zen Sind  $\alpha_1$ ,  $\alpha_2 \ldots \alpha_n$  die Neigungswinkel der gegebenen Kräfte gegen die positive x-Richtung,  $\beta_1$ ,  $\beta_2 \ldots \beta_n$  und  $\gamma_1$ ,  $\gamma_2 \ldots \gamma_n$  diejenigen gegen die y-Richtung, bezw. z-Richtung, so ergibt sich

- in der Linie AX eine Kraft  $X = \sum K \cos \alpha$ ,
- in AY,  $Y = \sum K \cos \beta$ ,
- in AZ,  $Z = \sum K \cos \gamma$ ,

welche sich zu

$$4) R = \sqrt{X^2 + Y^2 + Z^2}$$

mit den Richtungs-Kosinussen

5) 
$$\cos \alpha = X : R; \cos \beta = Y : R; \cos \gamma = Z : R$$
 zusammensetzen.

Sind die Richtungswinkel der Kräftepaar-Achsen bezw.  $\delta_1$   $\varepsilon_1$ ,  $\eta_1$ , . . .  $\delta_n$ ,  $\varepsilon_n$ ,  $\eta_n$ , so ergibt sich

in 
$$AX$$
 eine Achse  $\mathfrak{M}_{x}=\Sigma\mathfrak{M}\cos\delta$ ,  
,  $AY$  ,  $\dot{\mathfrak{M}_{y}}=\Sigma\mathfrak{M}\cos\varepsilon$ ,  
,  $AZ$  ,  $\mathfrak{M}_{\varepsilon}=\Sigma\mathfrak{M}\cos\eta$ ,

welche sich zu einer resultierenden Achsenstrecke

$$\mathfrak{M} = \sqrt{\mathfrak{M}_x^2 + \mathfrak{M}_y^2 + \mathfrak{M}_z^2}$$

11. Zusammensetzung von Kräften mit verschiedenen Angriffspunkten. 137

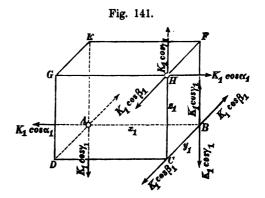
mit den Richtungs-Kosinussen

7)  $\cos \delta = \mathfrak{M}_s : \mathfrak{M}; \cos \varepsilon = \mathfrak{M}_v : \mathfrak{M}; \cos \eta = \mathfrak{M}_s : \mathfrak{M}$  zusammensetzen. Somit haben wir die beliebigen Kräfte zurückgeführt auf eine resultierende, durch A gehende Einzelkraft R und ein resultierendes Kräftepaar vom Momente  $\mathfrak{M}$ .

Die Kraft R ist aus den gegebenen Einzelkräften K völlig bestimmt; die Achsenstrecke  $\mathfrak M$  ist aber noch nicht auf unmittelbar gegebene Größen zurückgeführt. Es soll daher der Beitrag einer der gegebenen Kräfte, etwa  $K_1$ , zu der Achsenstrecke  $\mathfrak M_x$  näher bestimmt werden.

Der Angriffspunkt H von  $K_1$  (Fig. 141) habe die Koordinaten  $x_1$ ,  $y_1$ ,  $z_1$ , aus denen wir ein rechtwinkliges Parallelepiped zeichnen.

Zerlegen wir  $K_1$  in seine drei rechtwinkligen Seitenkräfte und bringen auch in A dieselben Kräfte entgegengesetzten Sinnes an, so bilden die beiden Kräfte  $K_1 \cos \gamma_1$ ein Paar, welches in einer Diagonalebene ACHE wirkt. Vereinfachung fügen wir im Punkte B noch zwei solche sich aufhebende



Kräfte hinzu; die in A abwärts, und die in B aufwärts wirkende Kraft bilden ein in der xz-Ebene wirkendes Paar, dessen Achse in AY fällt, mithin zu  $\mathfrak{M}_z$  keinen Beitrag liefert. Die in H aufwärts, in B abwärts wirkenden  $K_1 \cos \gamma_1$  liegen aber in der Seitenebene BCHF, haben, von rechts aus betrachtet, positiven Drehsinn, so daß ihre Achsenstrecke in der Größe  $K_1 \cos \gamma_1 y_1$  auf der AX aufzutragen ist.

Auch zu den beiden  $K_1 \cos \beta_1$  fügen wir in B und C noch zwei sich aufhebende hinzu. Die eine hiervon bildet mit der in A angreifenden ein Kräftepaar in der Ebene ABCD, dessen Achse in die AZ fällt, also zu  $\mathfrak{M}_x$  keinen Beitrag liefert; die in H und B angreifenden aber bilden mit dem Abstande  $z_1$  ein Kräftepaar,

dessen Drehsinn von rechts betrachtet negativ ist, dessen Beitrag zu  $\mathfrak{M}_x$  also ebenfalls negativ sein muß, nämlich —  $K_1 \cos \beta_1 z_1$ .

Die beiden in A und H angreifenden Kräfte  $K_1$  cos  $\alpha$  liefern zu  $\mathfrak{M}_x$  keinen Beitrag, denn ihre Wirkungsebene ist die Diagonalebene AGHB, so daß die Achse in der yz-Ebene, mithin rechtwinklig zu AX liegt.

Der gesamte Beitrag der Kraft  $K_1$  zu  $\mathfrak{M}_x$  ist also

$$K_1 \cos \gamma_1 y_1 - K_1 \cos \beta_1 z_1.$$

Die Beiträge der übrigen Kräfte ergeben sich in entsprechender Form, so das im ganzen

8) 
$$\mathfrak{M}_{x} = \Sigma K \cos \gamma y - \Sigma K \cos \beta z \text{ wird.}$$

In gleicher Weise erhält man für die anderen Richtungen

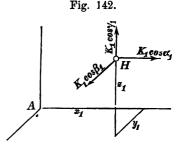
9) 
$$\mathfrak{M}_{y} = \sum \mathbf{K} \cos \alpha \mathbf{z} - \sum \mathbf{K} \cos \gamma \mathbf{x} \quad \text{und}$$

10) 
$$\mathfrak{M}_{z} = \Sigma K \cos \beta x - \Sigma K \cos \alpha y.$$

Hiermit ist die Aufgabe der Zusammensetzung der Kräfte gelöst.

 $\mathfrak{M}_z$ ,  $\mathfrak{M}_y$  und  $\mathfrak{M}_z$  bedeuteten die Achsenstrecken von Kräftepaaren; es läßt sich die Bedeutung derselben aber noch einfacher ausdrücken. Zu dem Zwecke wollen wir das Drehmoment der Kraft  $K_1$  in Bezug auf die Achse AX ermitteln. Wir können für dasselbe nach dem Satze der Momente (S. 100) die Summe der Momente der in H angreifenden Einzelkräfte  $K_1$  cos  $\gamma_1$ ,  $K_1$  cos  $\beta_1$  und  $K_1$  cos  $\alpha_1$ 

setzen. Die Seitenkraft  $K_1 \cos \gamma_1$  (Fig. 142) kreuzt die AX rechtwinklig in einem Abstand  $y_1$ , hat daher das Moment  $K_1 \cos \gamma_1 y_1$ . und zwar, von rechts gesehen, positiv drehend;  $K_1 \cos \beta_1$  kreuzt die AX rechtwinklig in einem Abstande  $z_1$ , und zwar, von rechts gesehen, negativ drehend, hat daher das Moment  $K_1 \cos \beta_1 z_1$ ;  $K_1 \cos \alpha_1$  aber ist



mit AX parallel, hat also (nach S. 100) in Bezug auf AX kein Moment. Das Moment der ursprünglich gegebenen Kraft  $K_1$  in Bezug auf AX ist demnach  $K_1 \cos \gamma_1 y_1 - K_1 \cos \beta_1 z_1$ , stimmt also mit dem Beitrage der Kraft  $K_1$  zu der Achsenstrecke  $\mathfrak{M}_x$ 

überein. Hiernach können die Kräftepaar-Achsenstrecken  $\mathfrak{M}_x$ ,  $\mathfrak{M}_y$  und  $\mathfrak{M}_z$  gedeutet werden als die Momentensummen der ursprünglich gegebenen Kräfte K in Bezug auf die Achsen AX, AY und AZ.

Führt die Zusammensetzung einer zweiten an einem starren Körper etwa angreifenden Kräftegruppe unter Benutzung desselben Koordinaten-Ursprunges A auf dieselbe Einzelkraft R und dasselbe Kräftepaars-Moment  $\mathfrak M$  wie die Zusammensetzung der ersten Kräftegruppe, so sind beide Kräftegruppen einander gleichwertig, also miteinander zu vertauschen; sie bringen die gleiche Bewegungswirkung an dem starren Körper hervor.

Aus dem vorstehenden ergeben sich als Bedingungen für die Gleichwertigkeit zweier Kräftegruppen, dass in Bezug auf ein beliebiges rechtwinkliges Achsenkreuz

- 1) die algebraische Summe der bei rechtwinkliger Zerlegung parallel zu jeder Achsenrichtung fallenden Seitenkräfte für beide Kräftegruppen die gleiche ist, und dass zugleich
- 2) die algebraische Summe der Momente der Kräfte in Bezug auf jede der Achsen für beide Kräftegruppen denselben Wert ergibt.

#### 12. Zentralachse einer Kräftegruppe.

Die Zusammensetzung einer beliebigen räumlichen Kräftegruppe hat (S. 136) auf R und  $\mathfrak{M}$  geführt. R ist einfach die Mittelkraft, die sich bei Parallelverschiebung aller Kräfte an einen Punkt ergab, mithin unabhängig von der Wahl des beliebig angenommenen Punktes A.  $\mathfrak{M}$  dagegen (S. 136 u. 138) ist von den Koordinaten der Angriffspunkte der Kräfte in Bezug auf ein durch A gelegtes Achsenkreuz abhängig, wird daher mit einer Verschiebung des Sammelpunktes A sich ändern. Hat man für einen angenommenen Sammelpunkt A die Mittelkraft R gefunden, so wird eine Verschiebung von A auf der Richtungslinie von R keine Änderung von  $\mathfrak{M}$  zur Folge haben, weil man ja jeden Punkt dieser Richtungslinie als Angriffspunkt von R behandeln kann. Verschiebt man aber A nach einer außerhalb R

gelegenen Stelle, entsprechend einer Parallelverschiebung von R selbst, so muß das zugehörige Achsenmoment  $\mathfrak{M}$  eine Änderung erfahren.

Um diese Veränderung möglichst einfach zu übersehen, wählen wir die Richtungslinie der im Punkt A erhaltenen Kraft R zur z-Achse (Fig. 143) und legen durch R und die zugehörige von A aus gezogene Momentenachse  $\mathfrak M$  eine xz-Ebene.  $\mathfrak M$  bilde mit R

den Winkel  $\lambda$ . Will man nun die durch A gehende Kraft R mit einer gleichen Kraft R vertauschen, welche die xy-Ebene in einem Punkte P mit dem Abstand AP=r schneidet, so bringe man in P zunächst zwei sich aufhebende Kräfte R und -R an. Dann bilden R in A und -R in P ein Kräftepaar, dessen Achsenstrecke Rr in der xy-Ebene liegt und von AY um den Winkel  $\alpha$  nach links abweicht, wenn AP mit AX den Winkel  $\alpha$  bildet. Diese Achsenstrecke

Fig. 143.

Rr muß nun mit  $\mathfrak{M}$  zusammengesetzt werden. Zu dem Zwecke zerlegen wir  $\mathfrak{M}$  und Rr nach den drei Achsen und erhalten

in der x-Achse:  $\mathfrak{M} \sin \lambda = Rr \sin \alpha$ ,

in der y-Achse:  $Rr \cos \alpha$ ,

in der z-Achse:  $\mathfrak{M} \cos \lambda$ .

Aus diesen Einzelmomenten entsteht dann das neue Gesamtmoment

$$\mathfrak{M}_1 = \sqrt{(\mathfrak{M} \sin \lambda - Rr \sin \alpha)^2 + (Rr \cos \alpha)^2 + (\mathfrak{M} \cos \lambda)^2}.$$

Hiernach ist  $\mathfrak{M}_1 \geq \mathfrak{M} \cos \lambda$ . Es ist aber eine solche Verschiebung von R, d. h. eine solche Wahl des Punktes P möglich, daß  $\alpha = 90^{\circ}$  und zugleich  $Rr\sin\alpha = \mathfrak{M}\sin\lambda$  wird. Dann fallen in der letzten Gleichung die von r und  $\alpha$  abhängigen Summanden fort, und es wird einfach

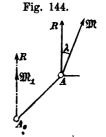
$$\mathfrak{M}_1 = \mathfrak{M} \cos \lambda$$
.

Weil nun allgemein  $\mathfrak{M}_1 \geq \mathfrak{M} \cos \lambda$  war, bei der angegebenen Wahl von r und  $\alpha$  aber  $\mathfrak{M}_1 = \mathfrak{M} \cos \lambda$  wird, so ist unter diesen Umständen das sich ergebende Achsenmoment  $\mathfrak{M}_1$  so klein wie

möglich; und weil  $\mathfrak{M}_1$  gleichbedeutend ist mit dem in die z-Achse fallenden Momente, während die in AX und AY fallenden Momente aufgehoben werden, so ist  $\mathfrak{M}_1$  nunmehr parallel der AZ, fällt also mit der Richtung von R zusammen.  $\alpha = 90^{\circ}$  bedeutet, daß P, der Punkt der neuen Lage von R, auf AY liegen muß, in einem Punkte  $A_0$  (Fig. 144), und zwar muß wegen  $Rr\sin\alpha = \mathfrak{M}\sin\lambda$ , die Parallelverschiebung der Kraft R, nämlich der Abstand  $AA = \pi = \mathfrak{M}\sin\lambda$ .

 $AA_0 = r = \Re \sin \lambda$ : R sein. Die durch  $A_0$  gelegte Richtungslinie von R heißt die Zentralachse der gegebenen Kräftegruppe. Das Ergebnis dieser Untersuchung fassen wir noch wie folgt zusammen:

Eine an einem starren Körper wirkende Kräftegruppe läst sich auf unendlich viele Arten zu einer Mittelkraft R und einem Kräftepaar oder Achsenmoment M zusammenfassen. Bei

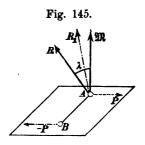


allen diesen Arten ist R nach Größe, Richtung und Sinn dieselbe; nur ihre Lage ist verschieden; das Moment  $\mathfrak{M}$  ist im allgemeinen nach Größe, Richtung und Sinn verschieden. Unter den verschiedenen Lagen von R gibt es eine, die Zentralachse der Kräftegruppe, bei welcher das Achsenmoment so klein wie möglich wird und mit der Richtung von R zusammenfällt.

Steht die ursprünglich gefundene Momentenachse  $\mathfrak{M}$  rechtwinklig zu R, ist also  $\lambda = 90^{\circ}$ , so wird  $\mathfrak{M}_1 = \mathfrak{M} \cos \lambda = 0$  und  $r = \mathfrak{M} : R$ ; d. h. in diesem Falle verschwindet das Achsenmoment

 $\mathfrak{M}_1$ , und die gegebene Kräftegruppe hat sich auf eine Einzelkraft R zurückführen lassen. (Vergl. S. 135, Fig. 139.)

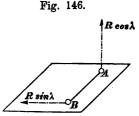
Eine beliebige Kräftegruppe läst sich auch stets auf zwei nicht in derselben Ebene liegende Kräfte zurückführen. Ist nämlich das Ergebnis der ersten Zusammenfassung etwa R und  $\mathfrak{M}$  im Punkt A (Fig. 145), so kann man  $\mathfrak{M}$  in die Faktoren



P.r zerlegen, wobei man die eine Kraft P durch A legt, AB = r macht und -P durch B gehen läßt. P und R kann man nun

zu  $R_1$  zusammensetzen, so dass  $R_1$  und -P der gegebenen Kräftegruppe gleichwertig sind. Dabei war die Größe P beliebig gewählt. Macht man aber  $P=R\sin\lambda$ , so fällt die Kraft  $R_1$  in die Richtung von  $\mathfrak M$  und bekommt die Größe  $R\cos\lambda$  (Fig. 146), während die durch B gelegte Kraft  $P=R\sin\lambda$  ist. Hiernach ist die Zurückführung einer Kräftegruppe auf zwei im Raume sich rechtwinklig kreuzende Kräfte möglich.

Diese Kräfte, auf welche sich eine gegebene Kräftegruppe zurückführen läßt, welche mithin der Kräftegruppe gleichwertig sind, entsprechen den auf S. 139 entwickelten allgemeinen Bedingungen für die Gleichwertigkeit von Kräftegruppen, haben also im besonderen auch in Bezug



auf irgend eine Achse die gleiche Momentensumme wie die gegebene Kräftegruppe.

### 13. Zusammensetzung von Parallelkräften gleichen Sinnes im Raume.

Ist (Fig. 147) 
$$\alpha_1 = \alpha_2 \dots = \alpha_n = \alpha,$$
  
 $\beta_1 = \beta_2 \dots = \beta_n = \beta,$   
 $\gamma_1 = \gamma_2 \dots = \gamma_n = \gamma,$ 

so wird nach S. 136

$$X = \cos \alpha \Sigma K;$$
  $Y = \cos \beta \Sigma K;$   $Z = \cos \gamma \Sigma K,$   
mithin  $R = \Sigma K$ 

für die bei der Zurückführung auf den Punkt A sich ergebende Einzelkraft. Außerdem entstehen nach S. 136 die Achsenstrecken:

$$\mathfrak{M}_{z} = \cos \gamma \, \Sigma \, Ky - \cos \beta \, \Sigma \, Kz,$$
  

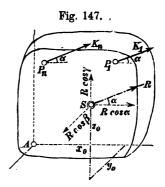
$$\mathfrak{M}_{y} = \cos \alpha \, \Sigma \, Kz - \cos \gamma \, \Sigma \, Kx,$$
  

$$\mathfrak{M}_{z} = \cos \beta \, \Sigma \, Kx - \cos \alpha \, \Sigma \, Ky.$$

Die Parallelkräfte müssen sich aber auch auf eine Kraft  $R=\mathcal{\Sigma}K$  ohne Achsenmoment zurückführen lassen; denn wenn man die Parallelkräfte der Reihe nach vereinigt, gelangt man stets

zu einer Einzelkraft; es kommt nur noch darauf an, deren Lage aufzufinden. Ein Punkt S derselben werde durch die unbekannten Koordinaten  $x_0$ ,  $y_0$ ,  $z_0$  bezeichnet. Diese durch den Punkt S gehende Einzelkraft R muß nun gleichwertig sein mit dem Ergebnisse der ersten Zusammensetzung mit Hülfe des Punktes A, oder, weil die Achsen-

momente nach S. 136 gleichbedeutend sind mit den statischen Momenten der Kräfte in Bezug auf die Koordinatenachsen, so muß die in S angreifende Kraft R, welche in die Seitenkräfte  $R\cos\alpha$ ,  $R\cos\beta$ ,  $R\cos\gamma$  zerlegt werden kann, die statischen Momente  $\mathfrak{M}_x$ ,  $\mathfrak{M}_y$ ,  $\mathfrak{M}_z$  haben. In Bezug auf AX hat  $R\cos\gamma$  das Moment  $R\cos\gamma y_0$ ,  $R\cos\beta$  das Moment  $-R\cos\beta z_0$ ,  $R\cos\alpha$  das Moment Null. Daher muß sein:



$$R\cos \gamma y_0 - R\cos \beta z_0 = \cos \gamma \Sigma Ky - \cos \beta \Sigma Kz;$$

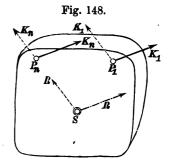
$$R\cos \alpha z_0 - R\cos \gamma x_0 = \cos \alpha \Sigma Kz - \cos \gamma \Sigma Kx;$$

$$R\cos \beta x_0 - R\cos \alpha y_0 = \cos \beta \Sigma Kx - \cos \alpha \Sigma Ky.$$

Diesen Gleichungen wird genügt durch  $Rx_0 = \Sigma Kx$ ;  $Ry_0 = \Sigma Ky$ ;  $Rz_0 = \Sigma Kz$ ; denn durch Einsetzung dieser Werte werden beide Seiten der drei Gleichungen einander gleich. Die Koordinaten des Punktes S werden hiernach

1) 
$$x_0 = \frac{\sum Kx}{\sum K}; \quad y_0 = \frac{\sum Ky}{\sum K}; \quad z_0 = \frac{\sum Kz}{\sum K}.$$

Da diese Werte ganz unabhängig von den Richtungswinkeln  $\alpha$ ,  $\beta$ ,  $\gamma$  der gegebenen Kräfte, nur abhängig sind von den Kraftgrößen K und von den auf ihren Richtungslinien gewählten Angriffspunkten P (der Koordinaten x, y, z), so bleibt S unverändert, wenn die Parallelkräfte K sich um die Angriffspunkte P drehen. Während einer solchen Drehung der gegebenen Pa-



rallelkräfte (Fig. 148) dreht sich also die Mittelkraft  $R = \Sigma K$ 

um den Punkt S, welcher aus diesem Grunde der Mittelpunkt der in den Punkten P angreifenden Parallelkräfte heißt.

In Gemässheit mit S. 139 mus in Bezug auf irgend eine Achse das Moment der Mittelkraft gleich der Momentensumme der Einzelkräfte sein.

# 14. Mittelpunkt der Massen (Schwerpunkt) eines starren Körpers.

Es möge die Gruppe der Parallelkräfte gleichen Sinnes derartig über die Masse des Körpers verteilt sein, daß an jedem Massenteilchen eine der Masse verhältnisgleiche Kraft angreife. Dann können die an den Massenteilchen  $m_1, m_2 \ldots m_n$  auftretenden Kräfte geschrieben werden:  $m_1 p, m_2 p \ldots m_n p$ . Es würde dann p die gemeinsame Beschleunigung sein, welche die Massenteilchen durch die Kräfte erfahren würden.

Die Abscisse des Mittelpunktes S dieser Parallelkräfte ist dann  $x_0 = \frac{\sum m \ p \ x}{\sum m \ p};$  die Bedeutung der  $\Sigma$ -Zeichen erhellt aus der Form:

$$x_0 = \frac{m_1 p x_1 + m_2 p x_2 + \dots m_n p x_n}{m_1 p + m_2 p + \dots m_n p};$$

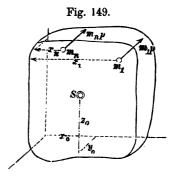
hierin hebt sich dann p als gemeinsamer Faktor im Zähler und Nenner fort, und es bleibt:

$$x_0 = \frac{m_1 x_1 + m_2 x_2 + \ldots + m_n x_n}{m_1 + m_2 + \ldots m_n} = \frac{\sum m x}{\sum m}.$$
Ebenso  $y_0 = \frac{\sum m y}{\sum m}; \quad z_0 = \frac{\sum m z}{\sum m}.$ 

Der so gefundene Mittelpunkt S ist ganz unabhängig von der Beschleunigung p, d. h. von der Größe der Kräfte, er wird lediglich bedingt durch die Massen der einzelnen Teilchen und ihre Koordinaten, d. h. durch die Massenverteilung des Körpers. Der Mittelpunkt solcher Kräfte, die sich gleichmäßig über die Masse eines Körpers verteilen, heißt deshalb der Massen mittelpunkt des Körpers.

Einen besonderen Fall solcher Kräfte bilden z. B. die Schwerkräfte. Bei solchen ist p=g und die Richtung lotrecht abwärts.

Der Massenmittelpunkt eines Körpers ist daher auch der Mittelpunkt der Schwerkräfte und heißt deshalb auch der Schwerpunkt. Wird der mit dem Achsenkreuze fest verbundene Körper gegen die Richtung des Lotes verdreht, so bleiben für jeden Massenpunkt die Werte m, x, y und z unverändert, die Richtungen der Kräfte aber bleiben lotrecht und verdrehen sich dabei gegen das Achsenkreuz. Diese Verdrehung hat



aber auf den Schwerpunkt S keinen Einfluss.

Der Schwerpunkt eines Körpers ist der Durchschnittspunkt der verschiedenen Richtungslinien des Gesamtgewichtes des Körpers bei verschiedenen Drehlagen desselben.

Nennt man die Gesamtmasse  $\Sigma m$  des Körpers einfach M, so ist das Gesamtgewicht Mg, und dieses geht immer durch den Schwerpunkt S hindurch, wie auch der Körper bewegt werden mag.

Die Gleichungen für die Koordinaten des Schwerpunktes kann man auch schreiben:

### 1) $\Sigma m x = M x_0$ ; $\Sigma m y = M y_0$ ; $\Sigma m z = M z_0$ .

Der Ausdruck  $\Sigma mx$  wird erhalten, indem man jedes Massenteilchen m mit seinem Abstande von der yz-Ebene multipliziert und diese Produkte zusammenzählt. Ein Produkt dieser Art, mx, heißt das statische Moment der Masse m in Bezug auf die yz-Ebene;  $Mx_0$ , bei dem man sich die ganze Masse des Körpers im Schwerpunkte vereinigt denkt, heißt das statische Moment der ganzen Masse. Dieselben Beziehungen, welche für die yz-Ebene gelten, sind auch für die anderen Koordinaten-Ebenen gültig, und weil die Koordinaten-Ebenen ganz willkürlich angenommen werden können, so gelten sie überhaupt für jede Ebene. Daher folgt der Satz:

Das statische Moment der ganzen Masse eines Körpers ist gleich der Momentensumme der einzelnen Teile in Bezug auf irgend eine Ebene. Kann man die Masse eines Körpers in zwei Teile  $M_1$  und  $M_2$  zerlegen, deren Schwerpunkte  $S_1$  und  $S_2$  schon bekannt sind, und sind deren Koordinaten  $x_1$ ,  $y_1$ ,  $z_1$  bezw.  $x_2$ ,  $y_2$ ,  $z_2$  (Fig. 150), so ist der Beitrag der Masse Fig. 150.

 $M_1$  zur Momentensumme  $\sum m x$  nach vorstehendem Satze  $M_1 x_1$ , derjenige der Masse  $M_2$  aber  $M_2 x_2$ ; daher wird

$$(M_1 + M_2)x_0 = M_1x_1 + M_2x_2.$$

Stellt die Gerade YZ die zur Bildebene rechtwinklige yz-Ebene dar, so ergibt sich ferner leicht, dass der Gesamtschwerpunkt S auf



der Geraden  $S_1$   $S_2$  liegen muß. Denn denken wir uns die Richtung der Schwere rechtwinklig zur Zeichenebene, so bilden  $M_1$  g und  $M_2$  g zwei Parallelkräfte, deren Mittelkraft in ihrer Ebene (mit der Spur  $S_1$   $S_2$ ) liegen muß. Dreht sich die Richtung der Schwere, so drehen sich  $M_1$  g und  $M_2$  g um  $S_1$  und  $S_2$ , ihre gemeinsame Ebene dreht sich um  $S_1$   $S_2$ , daher muß S in  $S_1$   $S_2$  liegen. Ist also der Körper in zwei Massenteile  $M_1$  und  $M_2$  zerlegt, so genügt schon die eine Gleichung für  $x_0$  zur Bestimmung von S auf  $S_1$   $S_2$ . Da bei der Zusammensetzung zweier Parallelkräfte gleichen Sinnes die Mittelkraft zwischen beiden liegt, und ihre Abstände von den beiden Kräften sich umgekehrt verhalten wie die Kräfte, so ist das Verhältnis dieser Abstände:

$$SS_1: SS_2 = M_2g: M_1g = M_2: M_1.$$

Hiernach kann man S leicht finden, indem man (Fig. 151) durch  $S_1$  und  $S_2$  beliebige Parallelen zieht und auf ihnen die Größen  $M_2$  bezw.  $M_1$  (d. h. die vertauschten Massen) als Längen nach entgegengesetzten Seiten aufträgt. Die Verbindungsgerade der Endpunkte

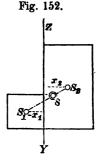
schneidet dann  $S_1 S_2$  in S.

Legt man die yz-Ebene so, daß die Teilschwerpunkte zu beiden Seiten der Ebene liegen (Fig. 152), so haben  $x_1$  und  $x_2$  verschiedene Vorzeichen, und es ist  $Mx_0 = M_2x_2 - M_1x_1 = \Sigma mx$ . Ist die yz-Ebene dann noch so gelegt, daß  $M_1x_1 = M_2x_2$ , so wird  $Mx_0 = \Sigma mx = 0$ , mithin  $x_0 = 0$ , d. h. der Schwerpunkt

liegt in der xy-Ebene. Ebenso wird allgemein nach Gl. 1, wenn  $\sum mx = 0$  ist, auch  $x_0 = 0$ ; somit hat man den vielfach angewendeten Satz:

In Bezug auf eine den Schwerpunkt eines Körpers enthaltende Ebene ist die Momentensumme seiner Massenteile gleich Null, und umgekehrt.

Ein Körper, dessen Masse M sich gleichförmig über seinen Rauminhalt V (Volumen) verteilt, heißt homogen. Das Gewicht  $\gamma$  der Raumeinheit (des Kubikmeters) heißt (S. 55) die Dichte des Körpers; diese ist bei einem homogenen Körper überall gleich. Das Gewicht des ganzen Körpers ist  $Mg = \gamma V$ , das eines Raumteilchens dV ebenso  $mg = \gamma \cdot dV$ ; mithin sind die Massen  $M = V \cdot \gamma \cdot g$  bezw.  $m = dV \cdot \gamma \cdot g$ . In den Gleichungen für den Schwerpunkt heben



sich dann die allen Gliedern gemeinsamen Faktoren  $\gamma$ : g fort, und es bleibt

$$Vx_0 = \int dV \cdot x,$$

indem statt des Zeichens  $\Sigma$  hier das gleichbedeutende  $\int$ -Zeichen gesetzt ist.

Eine Ebene, die einen homogenen Körper in zwei symmetrische Hälften teilt, enthält den Schwerpunkt, weil in Bezug auf sie  $\int dV \cdot x = 0$  ist.

Schwerpunkte von Linien. Hat der homogene Körper die Gestalt eines dünnen Stabes von überall gleichem Querschnitt F, so ist, wenn die Länge des Stabes s, diejenige eines Teilchens ds, V = Fs,  $dV = F \cdot ds$ . Es hebt sich dann der gemeinsame Querschnitt F in allen Gliedern fort, und man hat für einen solchen Stab, den man materielle Linie nennt:

$$sx_0 = \int ds \cdot x;$$

und für die anderen Richtungen entsprechend.

Der Schwerpunkt einer geraden Linie liegt selbstverständlich in der Mitte.

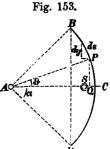
Bei einer gebrochenen Linie kennt man die Schwerpunkte  $S_1$ ,  $S_2$ , ... der einzelnen Teile und deren Koordinaten. Es ist dann  $(s_1 + s_2 + \ldots) x_0 = s_1 x_1 + s_2 x_2 + \ldots$ 

Der Schwerpunkt eines Kreisbogens vom Halbmesser r und dem Zentriwinkel  $2\alpha$  liegt auf der Mittellinie (Fig. 153), zu suchen ist nur  $AS = x_0$ . Das Teilchen  $ds = r \cdot d\vartheta$ ,

bei P gelegen, hat von der durch A gelegten lotrechten yz-Ebene den Abstand  $x = AQ = r\cos\vartheta$ . Es ist  $s = 2r\alpha$ , und es gilt die Gleichung

$$2r\alpha x_0 = r^2 \int_{-\alpha}^{+\alpha} \cos \vartheta \cdot d\vartheta.$$

Denn zählt man den positiven Winkel  $\vartheta$  nach oben, so entspricht dem unteren Endpunkte D der Winkel  $\vartheta = -\alpha$ . Jedoch sind die Beiträge der beiden Hälften des Bogens zur



Momentensumme gleich groß, so daß man zwischen  $\vartheta = 0$  und  $\vartheta = \alpha$  integrieren und das Ganze mit 2 multiplizieren kann. Weil aber  $d\sin\vartheta = \cos\vartheta \cdot d\vartheta$ , so ist  $\int \cos\vartheta \cdot d\vartheta = \sin\vartheta$ , also

$$2r\alpha x_0 = 2r^2 \Big[\sin\vartheta\Big]_0^{\alpha} = 2r^2\sin\alpha, \text{ oder}$$

$$\sin\alpha = 2r\sin\alpha$$

$$x_0 = r \frac{\sin \alpha}{\alpha} = r \frac{2 r \sin \alpha}{2 r \alpha}.$$

Weil nun  $2r\sin\alpha = \text{der Sehne } \overline{BD}$ ,  $2r\alpha = \text{dem Bogen}$   $\widehat{BD}$ , so kann das Ergebnis auch geschrieben werden:

$$x_0: r =$$
Sehne: Bogen.

Für einen sehr kleinen Bogen ist die Sehne gleich dem Bogen, daher  $x_0 = r$ ; für einen Halbkreisbogen aber  $\alpha = 1/2\pi$ ;  $\sin \alpha = 1$ , mithin  $x_0 = \frac{2}{\pi} r = 0.637 r$  (annähernd 2/3 r).

Schwerpunkte von Flächen. Hat der homogene Körper die Gestalt einer ebenen oder gekrümmten Platte F von überallgleicher Dicke  $\delta$ , so wird  $V = \delta \cdot F$ ,  $dV = \delta \cdot dF$ , mithin

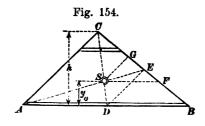
$$\mathbf{F}\mathbf{x}_0 = \int \mathbf{d} \, \mathbf{F} \cdot \mathbf{x}.$$

Eine solche Platte nennt man eine materielle Fläche.

Der Schwerpunkt der Fläche eines regelmäßigen Vielecks liegt natürlich im Mittelpunkte.

Eine Dreiecksläche (Fig. 154) läst sich in sehr viele Streisen, parallel zur Grundlinie AB, zerlegen. Weil deren Schwerpunkte

sämtlich auf der Mittellinie CD liegen, so muß diese auch den Schwerpunkt S der ganzen Fläche enthalten. Mit demselben Rechte gilt dieses von der Mittellinie AE. Folglich muß der Schnittpunkt der Mittellinien der Schwerpunkt S sein.



Da das Dreieck nur einen Schwerpunkt haben kann, so liegt hierin nebenbei der Beweis des geometrischen Satzes, daß die 3 Mittellinien eines Dreiecks sich in einem Punkte schneiden. Wegen der innigen Beziehungen zwischen Geometrie und Mechanik kommt es nicht selten vor, daß Sätze der Mechanik in einfacher Weise zur Lösung geometrischer Aufgaben benutzt werden können.

Zieht man DE, so findet man leicht, daß  $DE \parallel AC$  und  $DE = \frac{1}{2}AC$ , daher in den ähnlichen Dreiecken SAC und SED: SC: SD = AC: DE = 2:1,

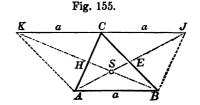
oder es liegt S im unteren Drittelpunkte der Mittellinie CD. Nennt man h das Höhenlot von C auf AB,  $y_0$  das Lot von S, so wird offenbar

7) 
$$y_0 = \frac{1}{3}h$$
.

Zieht man  $SF \parallel AB$ , so muß auch  $BF = \frac{1}{3}BC$  sein, und ebenso, wenn  $SG \parallel AC$ , auch  $CG = \frac{1}{3}BC$ . Man kann daher S auch bestimmen, indem man BC in 3 gleiche Teile zerlegt, durch den Teilpunkt F eine Parallele zur nächsten Seite AB, durch den Teilpunkt G eine Parallele zur nächsten Seite CA zieht. Beide schneiden sich dann in S.

Zwei Mittellinien des Dreiecks, z. B. AE und BH (Fig. 155) kann man auch ohne Hülfe eines Zirkels finden, indem man durch

C eine Parallele zu AB zieht und auf dieser durch  $BJ\|AC$  und  $AK\|BC$  die Punkte J und K so bestimmt, daß CJ=CK=AB ist. Zieht man dann AJ, so sind AJ und BC die Diagonalen eines Parallelogramms ABJC



und halbieren sich gegenseitig im Punkt E; entsprechendes gilt von

Mithin sind AE und BH zwei Mittellinien des BK und AC. Dreiecks ABC.

Das Trapez läst sich, wie das Dreieck, in lauter Streisen, parallel den Grundlinien a und b zerlegen, weshalb der Schwerpunkt auf der Mittellinie des Trapezes liegen muß. Um seine Höhenlage zu finden, teile man das Trapez (Fig. 156) durch eine Diagonale in zwei Dreiecke Fig. 156.

$$ACD = F_1$$
,  $ABC = F_2$ .

Von AB = a aus gemessen, sind dann die Höhenabstände der Teilschwerpunkte  $y_1 = \frac{2}{3}h$ ;  $y_2 = \frac{1}{3}h$ . Nach der Gleichung

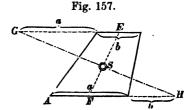
$$Fy_0 = F_1 y_1 + F_2 y_2$$

wird also

8)

$$^{1/2}(a+b)hy_0 = ^{1/2}bh \cdot ^{2/3}h + ^{1/2}ah \cdot ^{1/3}h$$
 oder  
 $(a+b)y_0 = \frac{h}{3}(2b+a)$  und  $y_0 = \frac{h}{3}\frac{a+2b}{a+b}$ .

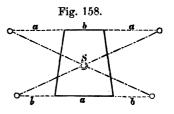
Zur geometrischen Konstruktion (Fig. 157) verlängert man die Seite b um a, die Seite a nach der anderen Richtung um b. Die Verbindungsgerade der Endpunkte der Verlängerungen schneidet dann die Mittellinie in S. Es ist nämlich in den ähnlichen Dreiecken SEGund SFH



$$SF: SE = FH: EG = (b + \frac{1}{2}a): (a + \frac{1}{2}b) = (a + 2b): (2a + b),$$
 ferner  $SF: EF = SF: (SE + SF)$  oder

$$SF: EF = (a + 2b): (a + 2b + 2a + b) = (2b + a): 3(a + b).$$

Dies stimmt mit dem Verhältnis yo: h überein, mithin ist die Konstruktion richtig. Trägt man aber die Verlängerung a nach rechts, die Verlängerung b nach links auf (Fig. 158), so mus das Ergebnis das gleiche sein. Man braucht daher die Mittellinie gar



nicht, sondern verlängert b nach beiden Seiten um a, a nach beiden

Seiten um b, verbindet die Endpunkte der Verlängerungen kreuzweise, so schneiden sich die Verbindungsgeraden in S.

Obige sehr einfache Konstruktion beansprucht viel seitlichen Sollen die Konstruktionslinien ganz innerhalb des Trapezes bleiben, so kann man folgende Eigenschaft des Schwerpunktes Sbenutzen: Nach obigem liegt S auf der Halbierungslinie, u. zw. ist SF : EF = (2b + a) : 3 (a + b).ziehe (Fig. 159) die Diagonale AC und Fig. 159. durch S eine Parallele Zieht man dann noch  $CG \parallel EF$ , so ist  $\triangle HSF \sim ACG$ . Mithin HF:AG=SF:CG und wegen CG=EF:

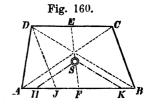
$$\frac{HF}{AG} = \frac{SF}{EF} = \frac{2b+a}{3(a+b)}.$$

Weil aber  $AG = \frac{1}{2}(a+b)$ , so wird

$$HF = \frac{2b+a}{3(a+b)} \frac{a+b}{2} = \frac{2b+a}{6} = \frac{b}{3} + \frac{a}{2} - \frac{a}{3} = \frac{a}{2} - \frac{a-b}{3}.$$

Da nun  $AF = \frac{1}{2}a$ , so muss  $AH = \frac{1}{3}(a-b)$  sein. Man ziehe also (Fig. 160)  $DJ \parallel CB$ , so dass AJ = a - b, teile dieses in 3 gleiche Teile, dann ist  $AH = \frac{1}{3}(a-b)$ . Nun zieht man durch

H eine Parallele zur Diagonale AC, so schneidet diese Parallele die Mittellinie EF in S. Macht man BK = AH $= \frac{1}{3}(a-b)$ , so must eine durch K gezogene Parallele zur anderen Diagonale BD aus demselben Grunde durch SZieht man also diese Parallele gehen. KS durch K, so kann man die Mittellinie entbehren.



Dieses Verfahren rührt von Prof. G. Lang (Rigaische Industrie-Ztg. 1883, S. 126) und Prof. Rob. Land (Zentralblatt der Bauverwaltung 1894, S. 458) her. Vergl. auch Zeitschrift des Hannov. Arch.- und Ing.-Vereins 1895, S. 115-117.

Schwerpunkt eines beliebigen Vierecks. Man teilt das Viereck (Fig. 161) durch die Diagonale BD in 2 Dreiecke, halbiert die Diagonale in M, zieht AM und CM, so liegen auf diesen die Teilschwerpunkte  $S_1$  und  $S_2$  mit  $MS_1 = \frac{1}{3} MA$ ;  $MS_2 = \frac{1}{3} MC$ . Aus diesen Verhältnissen folgt, daß  $S_1$   $S_2$   $\parallel$  A C sein muß. Teilt man das Viereck ein zweites Mal durch die Diagonale A C, so ergeben sich die Teilschwerpunkte  $S_3$  und  $S_4$ , u. zw. muß die Verbindungsgerade  $S_3$   $S_4$   $\parallel$  B D sein, gerade so wie  $S_1$   $S_2$   $\parallel$  A C war. Der Gesamtschwerpunkt S des Vierecks muß nun im Schnitte

von  $S_1 S_2$  mit  $S_3 S_4$  liegen. Zieht man nun durch D und C Parallelen zu AC bezw. BD, und schneiden sich diese in F, so muß die Verbindungsgerade EF durch S gehen, und es muís  $ES = \frac{1}{3}EF$ sein, da  $ES_1 = \frac{1}{3} ED$ ,  $ES_4$  $= \frac{1}{3}EC$ ,  $S_1S \parallel DF$ ,  $S_4S \parallel CF$ . Denkt man sich aber AF und BFwürde gezogen, 80 der Schwerpunkt eines Dreiecks ABF im unteren Drittelspunkte von EFliegen, d. h. mit S zusammenfallen.

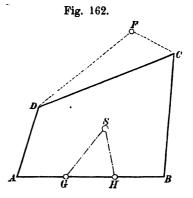
Fig. 161.

liegen, d. h. mit S zusammenfallen. Hiernach ist der Schwerpunkt des Vierecks ABCD gleichbedeutend mit demjenigen des Dreiecks ABF. Um ihn zu finden, ist es in diesem Falle wohl am ein-

fachsten, die Seite AB in drei gleiche Stücke zu teilen (Fig. 162),  $DF \parallel AC$ ,  $CF \parallel BD$ ,  $GS \parallel AF$ ,  $HS \parallel BF$  zu ziehen.

Die Teilschwerpunkte  $S_1$  bis  $S_4$  in Fig. 161 haben also nur zur Herleitung des Verfahrens gedient, sind aber für die Ausführung unnötig.

Dies Verfahren rührt von Prof. Rob. Land (Zeitschrift des Arch.- u. Ing.-Vereins zu Hannover

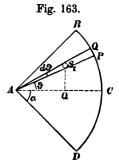


1895, S. 451) her und kann auch für Trapeze angewendet werden, da es ebenso einfach ist, wie die in Fig. 159 und 160 (S. 151) angegebenen Verfahren.

Die Dreiteilung von AB in Fig. 162 läst sich auch entbehren, wenn man den Schwerpunkt S des Dreiecks ABF nach Fig. 155 bestimmt.

Schwerpunkt des Kreisausschnittes. Schließt der beliebige Halbmesser AP (Fig. 163) mit der Mittellinie AC den Winkel  $\vartheta$ 

ein und ist PQA ein unendlich kleiner Ausschnitt vom Zentriwinkel  $d\vartheta$ , so ist dessen Fläche  $dF={}^{1/2}r\cdot rd\vartheta$ ; der Teilschwerpunkt  $S_1$  liegt um  ${}^{2/3}r$  von A entfernt und hat die Abscisse  $AQ={}^{2/3}r\cos\vartheta$ . In Gleichung 6, S. 148 bedeutet dF freilich ein nach zwei Richtungen unendlich kleines Flächenteilchen, doch kann man als Beitrag des Sektors PQA zu dem statischen Momente schreiben  $PQA \cdot AQ$ . Dann ist



$$Fx_0 = \frac{2r^3}{3} \int_0^{\alpha} \cos \vartheta \, d\vartheta = \frac{2}{3} r^3 \sin \alpha$$

und, weil  $F=2\frac{r^2\alpha}{2}=r^2\alpha$ ,

9) 
$$x_0 = \frac{2}{3} r \frac{\sin \alpha}{\alpha}.$$

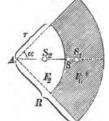
Für sehr kleines  $\alpha$  ist  $x_0={}^2/\Im\,r$ , für die Halbkreisfläche mit  $\alpha={}^1/2\,\pi$ :

10) 
$$x_0 = \frac{4}{3} \frac{r}{\pi} = 0.424 r \text{ (rund } 2/5 r\text{)}.$$

Schwerpunkt des Ringausschnittes. Der Ringausschnitt ist als Unterschied zweier Kreisausschnitte der Halbmesser R und r anzusehen. Ist S der Schwerpunkt des großen Ausschnittes von der Fläche F so ist AS = r.

Ausschnittes von der Fläche F, so ist  $AS = x_0$ ;  $S_2$  sei der Schwerpunkt des kleinen Ausschnittes von der Fläche  $F_2$  mit  $AS_2 = x_2$ ;  $F_1$  sei der Ringausschnitt mit  $AS_1 = x_1$ . Dann wird

$$Fx_0 = F_1 x_1 + F_2 x_2$$
, u. zw.  $F = R^2 \alpha$ ;  $F_2 = r^2 \alpha$ ;  $F_1 = (R^2 - r^2) \alpha$ .  $x_0 = \frac{2}{3} R \frac{\sin \alpha}{\alpha}$ ;  $x_2 = \frac{2}{3} r \frac{\sin \alpha}{\alpha}$  und



11) 
$$x_1 = \frac{2}{3} \frac{R^2 R \sin \alpha - r^2 r \sin \alpha}{(R^2 - r^2) \alpha} = \frac{2}{3} \frac{R^3 - r^3}{R^2 - r^2} \frac{\sin \alpha}{\alpha}.$$

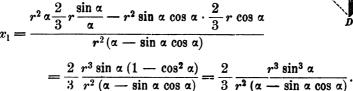
Schwerpunkt der Kreisabschnittfläche. Der Abschnitt  $F_1$  bildet mit dem Dreieck  $ABD=F_2$  den Ausschnitt ABCD=F. Die entsprechenden Schwerpunkts-Abscissen

seien  $A S_1 = x_1$ ,  $A S_2 = x_2$ ;  $A S = x_0$ . Dann ist

$$Fx_0 = F_1x_1 + F_2x_2,$$
u. zw.  $F = r^2\alpha$ ;  $F_2 = r^2\sin\alpha\cos\alpha$ ;
$$F_1 = r^2(\alpha - \sin\alpha\cos\alpha);$$

$$x_0 = \frac{2}{3}r\frac{\sin\alpha}{\alpha}; \quad x_2 = \frac{2}{3}r\cos\alpha \text{ und}$$

$$r^2\alpha\frac{2}{3}r\frac{\sin\alpha}{\alpha} - r^2\sin\alpha\cos\alpha\cdot\frac{2}{3}r\cos\alpha$$



Es ist aber die Sehne  $BD=l=2\,r\sin\alpha$ , also  $r\sin\alpha=\frac{1}{2}\,l$  mithin  $x_1=\frac{2}{3}\,\frac{l^3}{8\,F_1}=\frac{l^3}{12\,F_1}$ , wenn  $F_1$  die Fläche des Abschnittes.

Man kann auch schreiben

$$x_1 = \frac{2}{3} r \frac{\sin^3 \alpha}{\alpha - \sin \alpha \cos \alpha}.$$

Für  $\alpha=1/2$   $\pi$  wird der Abschnitt wieder zur Halbkreisfläche und  $x_1=\frac{4}{3}$   $\frac{r}{\pi}$ , wie vom Ausschnitte aus abgeleitet.

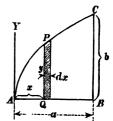
Schwerpunkt der halben Parabelfläche. (Fig. 166) habe die Gleichung  $y^2 = 2 p x$ . Für die Koordinaten des Endpunktes C wird dann  $b^2 = 2 p a$ , und durch Division entsteht

$$\frac{y^2}{b^2} = \frac{x}{a}.$$

Die unendlich kleinen Teilchen des Streifens  $PQ = y \cdot dx$  haben gemeinsamen Abstand x

Die Parabel A C Fig. 166.

Fig. 165.



von der AY, können daher zu dem Beitrage  $y \cdot dx \cdot x$  zusammengefast werden. Die Fläche ABC = F ist

$$\int_0^a y \cdot dx = \frac{b}{Va} \int_0^a x^{\frac{1}{2}} dx = \frac{b}{Va} a^{\frac{2}{3}} = \frac{2}{3} a b,$$

d. h.  $^{2}/_{3}$  von der Fläche des umschriebenen Rechtecks ab. Hiernach wird

$$\frac{2}{3} a b x_0 = \int_0^a y \cdot dx \cdot x = \frac{b}{V a} \int_0^a x^{3/2} dx$$
$$= \frac{2}{5} \frac{b}{V a} a^{3/2} = \frac{2}{5} b a^2$$

13) also 
$$x_0 = \frac{3}{5} a$$
, unabhängig von  $b$ .

Zur Auffindung der Ordinate  $y_0$  des Schwerpunktes trenne man einen Streifen ab, dessen Teilchen den gleichen Abstand y von AB haben (Fig. 167). Dann wird

$$\frac{2}{3} a b y_0 = \int_0^b (a - x) dy \cdot y;$$

dies wird wegen  $x: a = y^2: b^2:$ 

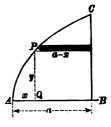
$$\frac{2}{3}aby_0 = \frac{a}{b^2} \int_0^b (b^2 - y^2) y \cdot dy$$

$$= \frac{a}{b^2} \left\{ b^2 \int_0^b \cdot dy - \int_0^b y^3 dy \right\}$$

$$= \frac{a}{b^2} \left\{ \frac{b^4}{2} - \frac{b^4}{4} \right\} = \frac{ab^2}{4}, \text{ mithin}$$

$$y_0 = \frac{3}{8}b.$$

Fig. 167.



Man hätte auch als Beitrag des Streifens  $y \cdot dx$  (Fig. 166) zum statischen Moment in Bezug auf AB die Fläche des Streifens mit der Schwerpunktshöhe 1/2y multipliziert einführen können, dann wäre

$$\frac{2}{3}aby_0 = \frac{1}{2}\int_0^a y^2 dx = \frac{1}{2}\frac{b^2}{a}\int_0^a \cdot dx = \frac{1}{2}\frac{b^2}{a}\frac{a^2}{2} = \frac{ab^2}{4}$$

entstanden.

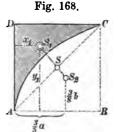
Die Koordinaten  $x_1$  und  $y_1$  des Schwerpunktes  $S_1$  der Ergänzungsfigur, welche die Parabelfläche zum Rechteck ABCD ergänzt (Fig. 168), findet man leicht, weil

das Rechteck die Schwerpunkts-Koordinaten  $x_0 = \frac{1}{2}a$ ;  $y_0 = \frac{1}{2}b$  hat:

$$x_1 \cdot \frac{1}{3} a b + \frac{3}{5} a \cdot \frac{2}{3} a b = \frac{1}{2} a \cdot a b$$
15) 
$$x_1 = \frac{3}{10} a.$$

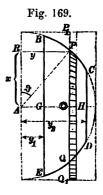
$$y_1 \cdot \frac{1}{3} a b + \frac{3}{8} b \cdot \frac{2}{3} a b = \frac{1}{2} b \cdot a b$$
16) 
$$y_1 = \frac{3}{4} b.$$

 $S_1$ , S und  $S_2$  liegen auf einer Geraden, und es ist  $SS_1 = 2 \cdot SS_2$ .



Schwerpunkt einer Kugelzonen-Oberfläche. Der unendlich kleine Teil der Oberfläche bei PQ (Fig. 169), entsprechend einem Bogenteilchen ds des äußeren Kreises, hat die Größe

 $dF = ds \cdot 2\pi x$ . Nun bildet ds mit dy denselben Winkel  $\vartheta$  wie AP=r mit AR=x. Daraus folgt  $ds = dy : \cos \theta = dy \cdot r : x$  und  $dF = 2 r \pi dy$ , gleich einer Zylinderfläche vom Halbmesser r und der Höhe dy. Diese Zylinderfläche bei  $P_1Q_1$  hat dann dasselbe statische Moment wie die Kugelzonenfläche. ganze Zonenfläche Daher muß auch die BCDE gleiche Fläche, gleiches Moment und gleiche Schwerpunktslage haben mit dem entsprechenden Teile der die Kugel umschließenden Zylinderfläche. Da der Schwerpunkt der Zylinderfläche in der Mitte der Mittellinie liegt,



so liegt auch derjenige der Kugelzone in der Mitte von GH. Die Rechnung führt zu gleichem Ergebnisse:

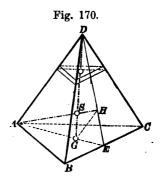
$$2 r \pi (y_2 - y_1) y_0 = 2 r \pi \left( y_1^{y_2} \cdot dy = r \pi (y_2^2 - y_1^2); \right)$$

 $y_0 = \frac{y_2 + y_1}{2}.$ 

Gleiches gilt von der Oberfläche der Kugelhaube.

Schwerpunkt des Körpers der dreiseitigen Pyramide. Schnitte, parallel mit der Grundfläche ABC (Fig. 170) lässt sich die Pyramide in dreieckige Scheiben zerlegen, deren Schwerpunkte durchweg auf der Verbindungsgeraden zwischen der Spitze D und

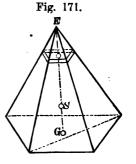
dem Schwerpunkte G der Grundfläche liegen. Die Linie DG enthält daher den Gesamtschwerpunkt S. Der Punkt G wird erhalten, indem man BC in Ehalbiert, AE zieht und  $EG = \frac{1}{3}EA$ macht. Betrachtet man in gleicher Weise BCD als Grundfläche, zieht DE mit  $EH = \frac{1}{3}DE$ , so muss der Schwerpunkt auch auf AH liegen. DG und AH schneiden sich in S.  $= \frac{1}{3} EA$ ,  $EH = \frac{1}{3} ED$ , ist  $GH \parallel AD$ 



und =  $\frac{1}{3}AD$ . Daher ist  $SGH \sim SDA$ ,  $SG = \frac{1}{3}SD = \frac{1}{4}GD$ . Teilt man also die Gerade von der Spitze nach dem Schwerpunkte der Grundfläche in 4 gleiche Teile, so ist der der Grundfläche zunächst liegende Teilpunkt der Schwerpunkt S. In demselben Verhältnis 1:4 wie SG:GD stehen auch die Höhenlote  $y_0$ und h, von dem Schwerpunkte S und der Spitze D auf die Grundfläche gefällt;

 $y_0 = \frac{1}{4}h$ . 18)

Eine vierseitige Pyramide (Fig. 171) läst sich in lauter ähnliche und ähnlich liegende Scheiben zerlegen. Gesamtschwerpunkt S wieder liegen auf der Geraden von der Spitze E nach dem Schwerpunkte G der Grundfläche. Zerlegt man die Pyramide in zwei dreiseitige mit der gemeinsamen Spitze E und der Höhe h, so liegt der Schwerpunkt jeder in der Höhe  $y_0 = \frac{1}{4}h$  über der Grundfläche, daher auch der Gesamtschwerpunkt S in dieser Höhe Es ist also  $GS = \frac{1}{4}GE$ .  $y_0 = \frac{1}{4} h$ . Offenbar gilt dies auch für die Körper viel-

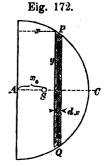


Daher muss der

seitiger Pyramiden und Kegel: der Schwerpunkt liegt im unteren Viertelpunkte der Geraden vom Schwerpunkte der Grundfläche nach der Spitze.

Schwerpunkt des Halbkugelkörpers. Schneidet man eine

zylindrische Scheibe PQ (Fig. 172) vom Halbmesser y im Abstand x vom Mittelpunkt A heraus, so haben deren Teilchen durchweg den gleichen Abstand x von der durch A gelegten yz-Ebene. Man kann daher den Inhalt der Scheibe zu  $dV = y^2\pi \cdot dx$  zusammenfassen mit dem Momente  $dV \cdot x = y^2\pi \cdot dx \cdot x$ , und hat:



$$^{2}/_{3} r^{3} \pi x_{0} = \pi \int_{0}^{r} y^{2} x \cdot dx.$$

Um unter dem Integralzeichen eine Differential-Funktion von x zu erhalten, muß man  $y^2 = r^2 - x^2$  setzen. Dann wird

$${}^{2/3}r^{3}\pi x_{0} = \pi \int_{0}^{r} (r^{2} - x^{2}) x \cdot dx = r^{2}\pi \int_{0}^{r} x \cdot dx - \pi \int_{0}^{r} x^{3} dx$$

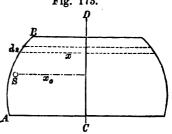
$$= {}^{1/2}r^{4}\pi - {}^{1/4}r^{4}\pi = {}^{1/4}r^{4}\pi, \text{ also}$$

$$x_{0} = {}^{3}/8 r.$$

Satz von Pappus und Guldin. Die Lehre vom Schwerpunkte war schon Archimedes (287—212 v. Chr.) bekannt. Der alexandrinische Gelehrte Pappus benutzte gegen Ende des dritten oder vierten Jahrhunderts n. Chr. die Schwerpunkte ebener Kurven und Flächen zur Berechnung von Umdrehungsflächen und -Körpern. Der betreffende Satz wurde vom Jesuitenpater Guldin aus St. Gallen 1635 n. Chr. weiter verwertet und heißt danach der Satz von Pappus Fig. 173.

1) Dreht sich eine ebene Kurve AB (Fig. 173) um eine in ihrer Ebene liegende Achse CD, so entsteht eine Umdrehungsfläche. Ein Bogenteilchen ds mit dem Drehungshalbmesser x erzeugt eine Fläche  $dF = ds \cdot 2\pi x$ . Der In-

und Guldin.



halt der ganzen erzeugten Umdrehungsfläche ist daher

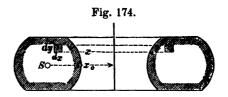
$$F = 2\pi \int ds \cdot x.$$

Weil nun nach der Lehre vom Schwerpunkte (S. 147, Gl. 4)  $\int ds \cdot x = s x_0$ , so wird

$$F = 2 \pi x_0 s.$$

Darin bedeutet  $x_0$  den Drehungshalbmesser der Schwerpunktes S der erzeugenden Kurve von der Länge AB = s.

2) Dreht sich aber eine ebene Fläche um eine in ihrer Ebene liegende Achse (Fig. 174), so erzeugt ein Flächenteilchen  $dF = dx \cdot dy$  mit dem Halbmesser x einen Kreisring vom Inhalte



$$dV = \left\{ (x + dx)^2 - x^2 \right\} \pi \cdot dy = d(x^2) \pi \cdot dy$$
$$= 2 x \cdot dx \cdot \pi \cdot dy = 2 \pi x \cdot dx \cdot dy = 2 \pi x \cdot dF.$$

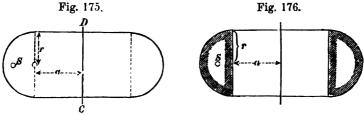
Der ganze Umdrehungskörper wird sonach  $V=2\pi\int dF\cdot x$ , oder, weil (S. 148, Gl. 6)  $\int dF\cdot x=Fx_0$ ,

$$V = F 2\pi x_0,$$

daher der Pappus-Guldin'sche Satz:

Der Inhalt einer Fläche, welche durch Drehung einer ebenen Kurve um eine in ihrer Ebene liegende Achse entsteht, ist gleich der Länge der Kurve mal dem Drehungswege  $2\pi x_0$  ihres Schwerpunktes. — Der Inhalt eines Körpers, welcher durch Drehung einer ebenen Fläche um eine in ihrer Ebene liegende Achse entsteht, ist gleich der Fläche mal dem Drehungswege ihres Schwerpunktes.

Beispiel 1: Dreht sich nach Fig. 175 ein Halbkreisbogen um die Achse CD, so ist nach S. 148



 $x_0 = a + 2 \frac{r}{\pi}$ , mithin  $F = r \pi \left( a + 2 \frac{r}{\pi} \right) 2 \pi = 2 r a \pi^2 + 4 r^2 \pi$ .

Der letzte Summand ist die Kugeloberfläche, welche für a = 0 entsteht.

Durch Drehung der Halbkreisfläche entsteht ein Körper (Fig. 176)

$$V = \frac{1}{2} r^2 \pi 2 \pi \left( a + \frac{4}{3} \frac{r}{\pi} \right) = r^2 \pi^2 a + \frac{4}{3} r^3 \pi.$$

Der letzte Summand bezeichnet den Inhalt des Kugelkörpers, welcher für a=0 entsteht. Fig. 177.

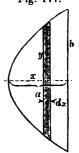
Beispiel 2: Der Inhalt eines Umdrehungs-Paraboloides (Fig. 177) ist leicht zu finden zu

$$V = \int y^2 \pi \, dx = \pi \, \frac{b^2}{a} \int_a^a dx = \frac{\pi \, b^2 \, a}{2} \, ,$$

gleich der Hälfte des umschließenden Zylinders. Daraus läßt sich nun die Schwerpunkts-Ordinate  $y_0$  der halben Parabelfläche berechnen:

$$^{1/2}b^{2}a\pi = ^{2/3}ab2\pi y_{0},$$

mithin  $y_0 = 3/8 b$ , wie auf S. 155 gefunden.



### 15. Zeichnerische Ermittelung des Schwerpunktes einer ebenen Fläche.

Man zerlegt die gegebene Fläche in Teile, deren Inhalte und Schwerpunkte sich leicht bestimmen lassen, denkt sich in den ein-

zelnen Schwerpunkten angreifend die Einzelflächen als parallele Kräfte, einmal in einer, sodann in einer anderen (etwa zur ersten senkrechten) Richtung wirkend und bestimmt vermittelst je eines Kraft- und Seilecks für beide Kraftrichtungen die Richtungslinien der Mittelkraft. Beide müssen den Schwerpunkt der Gesamtfläche enthalten, der damit gefunden ist.

In Fig. 178 und 179 ist die in der beschriebenen

Fig. 178.

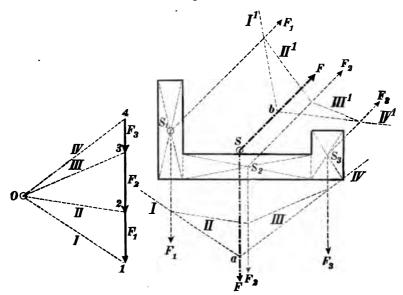
Fig. 178.

Weise erfolgte Ermittelung des Schwerpunktes je einer aus einzelnen Rechtecken bestehenden Fläche (etwa Profilflächen eiserner

Träger) dargestellt. Die Schwerpunkte der Einzelflächen werden in den Schnittpunkten der Diagonalen erhalten.

In Fig. 178 sind die als Kräfte gedachten Einzelflächen  $F_1$ ,  $F_2$  und  $F_3$  in den Teilschwerpunkten einmal senkrecht und einmal wagerecht angenommen. In Fig. 179 dagegen sind wegen des

Fig. 179.

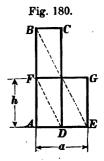


geringen senkrechten Abstandes der Teilschwerpunkte  $S_2$  und  $S_3$ , um eine klarere Figur zu erhalten, die Kräfte  $F_1$ ,  $F_2$  und  $F_3$  einmal senkrecht und einmal in zweckentsprechender Neigung angenommen. In beiden Fällen ist die Zeichnung eines Kraftecks nur für die senkrechte Richtung der Kräfte  $F_1$ ,  $F_2$  und  $F_3$  erforderlich, wenn man die der zweiten wagerechten oder geneigten Kraftrichtung entsprechenden Seilecksseiten unter gleichem Winkel gegen die Polstrahlen richtet, wie ihn die beiden Kraftrichtungen miteinander einschließen, etwa  $90^{\circ}$  oder  $45^{\circ}$ .

In den Kraftecken erscheinen die Flächen als Kräfte durch gerade Linien ausgedrückt. Man hat sich daher bei Darstellung derselben zunächst über einen entsprechenden Maßstab zu entscheiden, indem man festsetzt, wieviel Flächeneinheiten durch eine Längeneinheit ausgedrückt werden sollen. Drückt man beispielsweise

5 Flächeneinheiten durch eine Längeneinheit aus, so würde ein Rechteck vom  $10^{\rm cm}$  Länge und  $2^{\rm cm}$  Breite durch eine Linie von  $10\cdot 2 = 4^{\rm cm}$  Länge darzustellen sein, d. h. alle Flächen sind in Rechtecke von derselben Grundlinie  $5^{\rm cm}$  zu verwandeln und als Kräfte durch die entsprechenden Höhen darzustellen. Bei der zeichnerischen Behandlung kann man ohne Rücksicht auf bestimmte

Einheiten für alle Einzelflächen, als Rechtecke gedacht, eine Grundlinie von beliebiger Länge a annehmen und nach Maßgabe der Fig. 180 die entsprechende Höhe durch Zeichnung érmitteln. Ist ABCD die gegebene Teilfläche, AE=a die gewählte Grundlinie, so ist, wenn man E mit B verbindet und durch  $DDF \parallel EB$  zieht, AF die die Fläche darstellende Höhe h, denn es ist AD:AE=AF:AB und daher  $AD\cdot AB=AE\cdot AF=a\cdot h$ .



ί

Ist die Fläche, von welcher der Schwerpunkt zu bestimmen ist, krummlinig begrenzt, so hat man sie in Streifen von so geringer Breite zu zerlegen, dass diese mit genügender Genauigkeit als Rechtecke angesehen werden können.

# 16. Arbeit der Schwerkräfte an einer beliebigen Massengruppe.

Der Schwerpunkt wurde im vorhergehenden als der Mittelpunkt der Schwerkräfte eines starren Körpers oder sonstiger, über die Masse eines starren Körpers gleichmäßig verteilter Massenkräfte gleichen Sinnes bezeichnet. Aber auch für Körper veränderlicher Form, ja selbst für beliebige Gruppen von Massen (mit oder ohne gegenseitige Verbindung) nennt man den irgend einer gegenseitigen Lage der Massenteilchen entsprechenden Punkt mit der Eigenschaft:

$$x_0 = \frac{\sum m x}{\sum m}, \ y_0 = \frac{\sum m y}{\sum m}; \ z_0 = \frac{\sum m z}{\sum m}$$

den Massenmittelpunkt oder Schwerpunkt.

Sind  $m_1$ ,  $m_2$ , ...  $m_n$  (Fig. 181) einzelne Massenpunkte oder einzelne starre Körper, die zusammen einen starren, oder einen der

Form nach veränderlichen Körper, oder eine beliebige Massengruppe bilden, und wirkt auf diese die Schwere in der Richtung der

s-Achse, so verrichtet die Schwere bei einer unendlich kleinen Verrückung, bei der sich ein Massenteil m so bewegt, daß z um dz zunimmt, eine Arbeit  $mg \cdot dz$ . Die Arbeitssumme der Schwerkräfte an allen Massenteilchen ist dann

$$d\mathfrak{A} = g(m_1 dz_1 + m_2 dz_2 + \ldots + m dz) = g \Sigma m \cdot dz.$$

Nun ist aber  $m_1 z_1 + m_2 z_2 + \ldots + m z = \sum m z = z_0 \sum m$ , also, weil bei einer Verrückung die Massen m unveränderlich, die z-Werte aber veränderlich,  $\sum m \cdot dz = dz_0 \sum m$ ; mithin ist

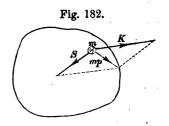
22) 
$$d\mathfrak{A} = g \cdot dz_0 \Sigma m = dz_0 \Sigma m g.$$

Die Arbeitsumme der Schwerkräfte an einer beliebigen Massengruppe berechnet sich gerade so, als ob die ganze Masse  $\Sigma m$  der Gruppe in ihrem Schwerpunkte zu einem Massenpunkte vereinigt wäre.

#### 17. Der Satz d'Alembert's.

Greift an einem Punkt m einer Massengruppe (Fig. 182) eine äußere Kraft K an, so würde der Punkt, wenn er frei wäre, im

Sinne von K eine Beschleunigung K:m erfahren. Die übrigen Punkte der veränderlichen oder unveränderlichen Massengruppe werden aber ebenfalls auf die Bewegung von m einwirken, also Kräfte, die sog. inneren Kräfte, auf m ausüben, deren Mittelkraft S sein möge. Durch S ist der Einfluß der übrigen



Punkte völlig ausgedrückt; nach Anbringung dieser Kraft verhält sich also der Punkt m wie ein freier. Nennt man daher p die wirkliche Beschleunigung des Punktes m, so muß die dazu erforderliche Kraft mp die Mittelkraft aus K und S darstellen, oder man kann schreiben

$$m p \equiv K, S.$$

Ist aber mp die Mittelkraft von K und S, so würde das Entgegengesetzte von mp, die Kräfte K und S aufheben, was man

schreiben kann: K, S,  $-mp \equiv 0$ . Diese Kraft -mp, die dem Entgegengesetzten der Beschleunigung p des Punktes m entspricht, nennen wir seine Ergänzungskraft, ebenso wie es bei der Betrachtung der scheinbaren Bewegung bezw. Ruhe eines Punktes (S. 84 u. 88) geschah. (Es ist ja auch ein Massenpunkt in scheinbarer Ruhe in Bezug auf einen Raum, der sich mit der Geschwindigkeit und Beschleunigung des Punktes verschiebt.)

Dies Tilgen der Kräfte K, S und -mp findet an jedem Massenpunkte statt; daraus folgt dann auch ein gegenseitiges Aufheben der Gesamtheit der entsprechenden Kräftegruppen an der ganzen Massengruppe, d. h.:

Die Gruppe der sämtlichen Ergänzungskräfte [-mp] (mit der eckigen Klammer als Gruppenzeichen) hebt die beiden Gruppen der äußeren Kräfte [K] und der inneren Kräfte [S] auf.

Die auf S. 96-162 entwickelten Lehren über die Gleichwertigkeit und Zusammensetzung der Kräfte gelten einstweilen nur für Kräfte an starren Körpern. Wenn aber an einer veränderlichen Massengruppe jeder Massenpunkt der Einwirkung von drei Kräften unterworfen wird, die sich aufheben oder im Gleichgewichte halten, so wird in diesem Gleichgewichtszustande der Kräfte jedes Punktes auch dadurch nichts geändert werden, dass man die Punkte in starre Verbindung bringt. Wenn man also die drei Kräftegruppen [-m p]. [K], [S] nach den Lehren über die Zusammensetzung der Kräfte an starren Körpern zu einer Mittelkraft R und einem Achsenmoment M vereinigt, so müssen R und M gleichzeitig Null werden. inneren Spannkräfte S wirken aber zwischen je zwei Punkten nach dem Gesetze der Wechselwirkung gleich und entgegengesetzt und heben sich daher bei der Zusammensetzung aller Kräfte zu je zweien auf, so dass die Gruppe der inneren Kräfte [S] überhaupt verschwindet. Daraus folgt der Satz, welchen d'Alembert (1717-1783) im Jahre 1743 in etwas anderer Fassung aufgestellt hat:

An einem starren Körper oder auch an einer veränderlichen Massengruppe heben die gesamten Ergänzungskräfte [-mp] die Gruppe der äußeren Kräfte [K] auf, wenn die Zusammensetzung der Kräfte wie an einem starren Körper erfolgt.

Mit Hülfe dieses Satzes läßt sich leicht die Frage beantworten, unter welcher Bedingung ein starrer Körper eine rein fort-

11

schreitende Bewegung, sog. Verschiebung ausführen kann. Bei einer Verschiebung haben alle Punkte des Körpers in einem Augenblicke gleiche Geschwindigkeit und Beschleunigung; nennt man die gemeinsame Beschleunigung p, so bilden die Ergänzungskräfte [-mp] eine Kräftegruppe, die sich gleichmäßig über die Masse des Körpers verteilt. Die Kräfte haben eine durch den Schwerpunkt gehende Mittelkraft — Mp, und diese muß von den äußeren Kräften aufgehoben werden. Erkennt man also, daß ein Körper eine reine Verschiebung erfährt, so kann man daraus schließen, dass die Mittelkraft aller auf ihn wirkenden äußeren Kräfte durch den Schwerpunkt gehen und von der Größe + MpUmgekehrt genügt aber das Wirken dieser Kraft noch nicht zur Erzeugung einer Verschiebung, sondern es ist dazu noch erforderlich, dass der Körper auch zu Anfang keine Drehbewegung hatte.

# 18. Satz von der Bewegung des Schwerpunktes.

Die Ergänzungskraft — mp hat nach der x-Richtung eine Seitenkraft —  $mp_x$ , die Seitenkraft einer äußeren Kraft K in der x-Richtung sei  $K \cos \alpha$ , dann muß nach d'Alembert's Satze sein:

$$\sum K \cos \alpha - \sum m p_x = 0,$$

oder, wenn man  $\Sigma K \cos \alpha = X$  setzt,

$$\sum m p_x = X.$$

Bezieht man nun die Punkte des Körpers auf ein festes Achsenkreuz, so ist dx:dt die Geschwindigkeit,  $\frac{d^2x}{dt^2}$  die Beschleunigung in der x-Richtung (S. 28), also

$$\sum m \frac{d^2x}{dt^2} = X.$$

Nach der Lehre vom Schwerpunkt ist  $\sum m x = Mx_0$  und, weil x und  $x_0$  mit der Zeit t veränderlich sind,

2) 
$$\Sigma m \frac{dx}{dt} = M \frac{dx_0}{dt},$$

$$\Sigma m \frac{d^2x}{dt^2} = M \frac{d^2x_0}{dt^2}; \text{ mithin wird (Gl. 1)}$$
3) 
$$M \frac{d^2x_0}{dt^2} = X.$$

Darin bedeutet  $\frac{d^2x_0}{dt^2}$  die Seitenbeschleunigung des Schwerpunktes in der Richtung der x-Achse. Dieselbe Beziehung gilt aber auch für einen einfachen Massenpunkt von der Masse M, der sich unter Einwirkung der äußeren Kräfte K bewegt, und zwar gilt dies für jede Achsenrichtung.

Also: Der Schwerpunkt eines Körpers oder einer beliebigen Massengruppe bewegt sich genau so, als ob die ganze Masse des Körpers oder der Gruppe in ihm vereinigt wäre und als ob sämtliche äußere Kräfte (parallel verschoben) an ihm wirkten. Die inneren Kräfte haben hiernach auf die Bewegung des Schwerpunktes keinen Einfluß.

Durch diesen Satz bekommt die Mechanik des Massenpunktes eigentlich erst ihr großes Anwendungsgebiet. Da es einen einzelnen Massenpunkt von verschwindend kleinen Abmessungen in aller Strenge nicht gibt, so konnte es bisher scheinen, als ob die Lehren von der Bewegung des Massenpunktes für die Anwendung ziemlich wertlos seien. Aus vorstehendem Satz aber erkennt man, daß die Lehre von der Bewegung des Massenpunktes auch für Körper ihre Bedeutung hat, insofern sie die Bewegung des Schwerpunktes richtig darstellt. Eine außerdem etwa noch vorkommende Drehung um den Schwerpunkt kann dann noch besonders untersucht werden und bildet eine Ergänzung oder Vervollständigung der ganzen Aufgabe, nicht aber eine Berichtigung. In vielen Fällen kann man auch auf diese (häufig schwierige) Ergänzung der Lösung verzichten und sich mit der Kenntnis der Bewegung des Schwerpunktes begnügen.

Ein Kräftepaar wird bei der Verschiebung der Kräfte an den Schwerpunkt zwei Kräfte liefern, die sich aufheben. Kräftepaare haben hiernach keine Einwirkung auf die Bewegung des Schwerpunktes, sondern beeinflussen nur die Drehung des Körpers um den Schwerpunkt.

# 19. Satz der Arbeit.

Auf einen Massenpunkt eines Körpers wirkt außer der äußeren Kraft K eine innere Kraft S. Diese verrichten bei einer Bewegung des Körpers die Arbeiten  $\mathfrak{A}_k$  und  $\mathfrak{A}_i$ . Sind c und v Anfangs- und

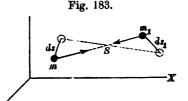
Endgeschwindigkeit des Punktes, so "gilt für den Massenpunkt  $^{1}/_{2} m v^{2} - ^{1}/_{2} m c^{2} = \mathfrak{A}_{k} + \mathfrak{A}_{i}$ , denn an dem Massenpunkt m kann (nach S. 43) für die Arbeit der Mittelkraft aus K und S ohne weiteres die Arbeitssumme der Einzelkräfte gesetzt werden. Stellt man diese Gleichung für sämtliche Massenpunkte auf, so ergibt sich durch Zusammenzählen:

1) 
$$\Sigma^{1/2} m v^2 - \Sigma^{1/2} m c^2 = \Sigma \mathfrak{A}_k + \Sigma \mathfrak{A}_i.$$

Oder die Zunahme des ganzen Körpers an Arbeitsvermögen ist gleich der Arbeitssumme der äußeren und der inneren Kräfte. Es läßt sich zeigen, daß die Arbeit der inneren Kräfte für einen starren Körper Null ist.

Die inneren Kräfte treten zwischen je zwei Massenpunkten paarweise gleich und entgegengesetzt auf. Betrachten wir ein

Paar solcher Massenpunkte m und  $m_1$  (Fig. 183) mit den inneren Kräften S, welche beispielsweise gegenseitige Anziehungskräfte sein mögen, und nehmen wir an, daß sich die Punkte um ds bezw.  $ds_1$  bewegen. Zerlegen wir dann die Kräfte S in X, Y, Z; ds in die



Projektionen dx, dy, dz;  $ds_1$  in  $dx_1$ ,  $dy_1$ ,  $dz_1$ , so wird an m die Arbeit verrichtet: Xdx + Ydy + Zdz, an  $m_1$  aber —  $(Xdx_1 + Ydy_1 + Zdz_1)$ . Die Arbeitssumme an beiden Punkten ist also

$$d\,\mathfrak{A}_{i} = -\left\{X\cdot d\,(x_{1}\,-\,x) +\,Y\cdot d\,(y_{1}\,-\,y) +\,Z\cdot d\,(z_{1}\,-\,z)\right\}.$$

Bildet aber S mit den Achsenrichtungen die Winkel  $\alpha$ ,  $\beta$ ,  $\gamma$ , so ist, wenn x, y, z bezw.  $x_1$ ,  $y_1$ ,  $z_1$  die Koordinaten von m und  $m_1$ , a ihre Entfernung:

$$X = S \cos \alpha = S \frac{x_1 - x}{a},$$

$$Y = S \cos \beta = S \frac{y_1 - y}{a},$$

$$Z = S \cos \gamma = S \frac{z_1 - z}{a}.$$

Daher kann man schreiben:

$$d \mathcal{A}_i = -\frac{S}{2a} d \{ (x_1 - x)^2 + (y_1 - y)^2 + (z_1 - z)^2 \}, \text{ oder,}$$

weil  $x_1 - x$ ,  $y_1 - y$  und  $z_1 - z$  die drei Projektionen von a:

$$d\mathfrak{A}_{i} = -\frac{S}{2a}d(a^{2}) = -\frac{S}{2a}2a \cdot da = -S \cdot da.$$

Ist also der Abstand a der beiden Punkte veränderlich, so verrichten die inneren Kräfte S eine Arbeit; dies wird gelten für elastisch-feste Körper, die während der Betrachtung ihre Form ändern. Für starre Körper aber ist da = 0, mithin auch  $d\mathfrak{A}_i = 0$ . Also:

Bei starren Körpern ist die Zunahme an Arbeitsvermögen gleich der Arbeitsumme der äußeren Kräfte 2)  $\Sigma^{1/2} m v^{2} - \Sigma^{1/2} m c^{2} = \Sigma \mathfrak{A}_{k}.$ 

Hatte ein starrer Körper zu Anfang keine Bewegung, war die Geschwindigkeit aller Punkte Null und überläßt man ihn der alleinigen Einwirkung der Schwere, so führt er (nach S. 164/65) eine lotrechte Verschiebung aus, bei welcher der Schwerpunkt und somit auch jeder andere Punkt eine lotrechte, gleichförmig beschleunigte Fallbewegung hat. Die Arbeit der Schwerkräfte richtet sich (S. 163) allein nach der Senkung h des Schwerpunktes und beträgt Mgh. Da in einem Augenblicke sämtliche Punkte dieselbe Geschwindigkeit haben, so ist einfach  $1/2 Mv^2 - 1/2 Mc^2 = Mgh$ , genau wie beim Massenpunkte.

Wird der Körper aber in schräger Richtung so fortgeworfen, dass zu Anfang die Bewegung ebenfalls ohne jede Drehung erfolgt, dass also sämtliche Punkte die gleiche Geschwindigkeit c haben, so mus (unter Vernachlässigung des Luftwiderstandes) die weitere Bewegung ebenfalls eine Verschiebung sein, und zwar wird der Schwerpunkt, und damit jeder andere Punkt, die Wurfparabel (S. 49) beschreiben, genau wie ein einfacher Massenpunkt.

# II. A. Gleichgewicht starrer Körper.

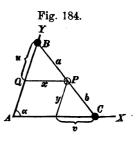
# 1. Gleichgewichts-Bedingungen.

Man bezeichnet einen Körper als im Gleichgewichte befindlich, wenn seine sämtlichen Massenpunkte im Gleichgewichte sind, d. h. eine geradlinig-gleichförmige Bewegung ausführen, oder (als Sonderfall) in Ruhe sind; in letzterem Falle haben sie weder Geschwindigkeit noch Beschleunigung. Solcher Gleichgewichtszustand besteht offenbar, wenn der Körper eine gleichförmige und geradlinige Verschiebung erleidet, u. zw. ist eine derartige Verschiebung auch die einzige Möglichkeit des Gleichgewichtes. Man könnte vielleicht meinen, daß die Punkte eines Körpers sich auch geradlinig bewegen könnten, ohne daß diese Bahnlinien notwendig einander parallel sein müßten, doch läßt sich zeigen, daß dies bei starren Körpern nicht möglich ist.

Denkt man sich den Punkt B (Fig. 184) längs einer Geraden A Y, den Punkt C längs einer Geraden A X geführt und haben

B und C eine unveränderliche Entfernung, so wird ein beliebiger Punkt P der Verbindungsgeraden, der von B und C um a bezw. b absteht, eine Ellipse beschreiben.

Nennt man nämlich die auf AX und AY bezogenen schiefwinkligen Koordinaten des Punktes Px und y, setzt AB-y=u, AC-x=v, so ist in dem Dreiecke BPQ,  $a^2=u^2+x^2-2ux\cos a$ .



Ferner ist nach der Figur u:y=a:b; setzt man dies ein, so wird

$$a^2 = \frac{a^2}{b^2}y^2 + x^2 - 2\frac{a}{b}yx\cos\alpha,$$

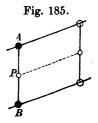
oder

$$1 = \frac{y^2}{b^2} + \frac{x^2}{a^2} - 2 \frac{y}{b} \frac{x}{a} \cos \alpha.$$

Dies ist die Gleichung einer Ellipse. Führt man also 2 Punkte A und B eines starren Körpers in nicht parallelen Geraden, so

bewegen sich die sonstigen Punkte der Geraden AB nicht in geraden Linien. Nur wenn die Führungslinien der Punkte A und B parallele Gerade sind (Fig. 185), beschreibt auch jeder andere Punkt der AB eine Gerade. Ein Körper ist also nur im Gleich-

gewichte bei einer gleichförmig-geradlinigen Verschiebung oder beim Ruhezustande (Verschiebung mit der Geschwindigkeit und Beschleunigung Null). Hierbei haben alle Massenpunkte die Beschleunigung Null, es sind mithin alle Ergänzungskräfte Null. Nach dem Satze d'Alembert's (S. 163) müssen sich also sämtliche äußere Kräfte schon unter sich allein aufheben.



Umgekehrt folgt aber aus dem gegenseitigen Aufheben der äußeren Kräfte noch nicht, daß der Körper im Gleichgewichte sei; vielmehr muß dazu außerdem noch die Bedingung erfüllt sein, daß der Körper auch zu Anfang keine Drehbewegung hatte. Ist im Anfange Ruhe oder gleichförmige geradlinige Verschiebung, also Gleichgewicht, vorhanden, so wird dieses andauern, solange sich die äußeren Kräfte aufheben. Etwaige äußere Kräfte lassen sich am starren Körper auf eine Mittelkraft R und ein Achsenmoment R zurückführen; und weil R und R im allgemeinen nicht vereinigt werden können, so ist zum Aufheben der gegebenen Kräfte erforderlich, daß gleichzeitig R=0 und R=0 sei, und dies ist nach Gleichung 1, 2, 3, 4, 6 (S. 136) nur möglich, wenn

1) 
$$\Sigma K \cos a = 0$$
; 2)  $\Sigma K \cos \beta = 0$ ; 3)  $\Sigma K \cos \gamma = 0$ ;

4) 
$$\mathfrak{M}_{x} = 0;$$
 5)  $\mathfrak{M}_{y} = 0;$  6)  $\mathfrak{M}_{z} = 0.$ 

Mit Rücksicht auf die Bedeutung von  $\mathfrak{M}_x$  u. s. w. nach S. 138 kann man also aussprechen:

Die an einem starren Körper wirkenden Kräfte heben sich auf, wenn in Bezug auf ein beliebiges Achsenkreuz

- 1. die algebraische Summe der bei rechtwinkliger Zerlegung parallel zu jeder Achsenrichtung fallenden Seitenkräfte Null ist, und wenn zugleich
- 2. die algebraische Summe der Momente der Kräfte in Bezug auf jede der Achsen Null ist.

Für Gleichgewicht haben also die äußeren Kräfte im allgemeinen sechs Bedingungen zu erfüllen.

Liegen die Kräfte aber durchweg in derselben Ebene, so wähle man diese zur xy-Ebene; es fällt dann die Gl. 3 (S. 136) aus, weil in der z-Richtung überhaupt keine Seitenkräfte sich ergeben; auch die Momentengleichungen 4 und 5 fallen fort, weil die in der xy-Ebene liegenden Kräfte in Bezug auf die x- und y-Achsenwelche mit ihnen in derselben Ebene liegen, keine Momente haben (S. 100). M. bedeutet dann die Momentensumme für einen beliebigen Punkt der Kräfteebene. Außerdem wird noch  $\cos \beta = \sin \alpha$ , und es verbleiben die drei Bedingungen (vergl. auch S. 110/111):

 $\sum K \cos a = 0$ ;  $\Sigma K \sin \alpha = 0$ ;  $\mathfrak{M}_{\cdot} = \Sigma K l = 0.$ 

Liegt die x-Achse wagerecht, die y-Achse lotrecht, so heißen die Bedingungen in Worten:

Die algebraische Summe aller wagerechten Seitenkräfte, die algebraische Summe aller lotrechten Seitenkräfte und die Momentensumme für einen beliebigen Punkt der Ebene müssen Null sein.

# 2. An einem Punkte befestigter Körper.

Ist ein Punkt A eines starren Körpers unwandelbar befestigt und soll der Körper in Ruhe bleiben, so muss der Punkt eine Widerstandskraft W leisten, welche den sonstigen an dem Körper auftretenden Kräften das Gleichgewicht hält. Sind diese Kräfte nur Schwerkräfte, so lassen sie sich zu dem durch den Schwerpunkt S gehenden Gesamtgewichte Q zusammensetzen. Es muss daher W genau das Entgegengesetzte von Q sein. Fig. 186.

Daher muss der Befestigungspunkt A in der Schwerpunkts-Lotrechten des Körpers liegen. Hierbei verhält sich aber der Körper, wenn er durch eine Drehung um A aus der Gleichgewichtslage gebracht wurde, verschieden, je nach der Höhenlage des Befestigungspunktes A.

Lag nämlich beim Ruhezustande der Befestigungspunkt A oberhalb des Schwerpunktes (Fig. 186), so kann der aus der Ruhelage in die punktierte schräge Lage gebrachte Körper, wenn man ihn loslässt

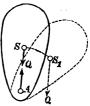
nicht mehr im Gleichgewichte sein, weil Q nicht durch A hindurchgeht. Vielmehr dreht sich nun der Körper um den Befestigungspunkt und kommt (nach einer gewissen Anzahl Schwingungen) erst wieder zur Ruhe, wenn er die ursprüngliche Lage wieder erreicht hat. Er kehrt also unter Einwirkung der Schwere in den früheren Gleichgewichtszustand zurück, deshalb nennt man diesen einen sicheren (stabilen) Gleichgewichtszustand.

Im Ruhezustande geht hiernach die Schwerpunkts-Lotrechte durch den Aufhängepunkt. Hängt man daher einen Körper nacheinander in verschiedenen Punkten A und B auf, so bestimmt sich dadurch in jeder Ruhelage eine Gerade, die den Schwerpunkt enthalten muß. Mittels zweimaliger Aufhängung kann also der Schwerpunkt eines Körpers durch Versuche gefunden werden.

Lag der Befestigungspunkt A lotrecht unter dem Schwerpunkte (Fig. 187), so kann der Körper nach einer seitlichen Ver-

drehung nicht wieder von selbst in die ursprüngliche Lage zurückkehren, vielmehr entfernt sich der Körper gänzlich aus der früheren Lage und sucht sich eine neue sichere Gleichgewichtslage, wobei der Schwerpunkt unterhalb S zu liegen kommt. Der anfängliche Zustand heißt dabei ein unsicherer (labiler) Gleichgewichtszustand; derselbe kann nur durch vorsichtiges Balancieren erhalten werden. Unentschieden (indifferent)

Fig 187.



heißt der Zustand, wenn der Befestigungspunkt  $\hat{A}$  mit dem Schwerpunkte zusammenfällt (Fig. 188). In diesem Falle besteht bei jeder Richtung des Körpers Gleichgewicht.

Zu beachten ist noch, dass im sicheren Gleichgewichte der Schwerpunkt so tief wie möglich liegt, dass bei einer Verdrehung aus derselben der Schwerpunkt gehoben werden mus, wozu ein äusserer Arbeitsaufwand nötig ist. Beim unsicheren Gleichgewichte liegt der Schwerpunkt so hoch wie möglich. Bei einer Störung desselben verrichtet die Schwerkraft positive Arbeit und erzeugt Geschwindigkeit;

A OS av

Fig. 188.

die Wiederherstellung des Gleichgewichts verlangt Hebung des Schwerpunktes, d. h. Aufwendung äußerer Arbeit. Beim unentschiedenen Gleichgewicht ist zu einer Drehung um den Schwerpunkt weder positive noch negative Arbeit erforderlich.

Die Befestigung eines Körpers an nur einem Punkte kommt ziemlich selten vor, ist auch gar nicht sehr einfach zu verwirklichen. Viel häufiger und einfacher ist die Befestigung an einer wagerechten geraden Linie, oder die Aufhängung eines Körpers an einer wagerechten Achse, etwa mittels Hindurchtreibens eines glatten, runden Drahtstiftes oder Hindurchsteckens eines glatten Bolzens durch ein zylindrisches Loch. Dafür gelten die vorstehenden Figuren ebenfalls, indem A die Projektion der Achse darstellt; die Bedingungen für die verschiedenen Arten des Gleichgewichts sind die gleichen.

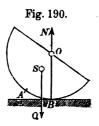
Unterstützte Körper. Ähnliche Betrachtungen gelten für den Gleichgewichtszustand eines Körpers, der sich mittels kugelförmiger Fläche auf eine wagerechte Ebene stützt (Fig. 189). Hierbei geht

der Normalwiderstand N durch den Krümmungsmittelpunkt O der Kugelfläche hindurch, auch wenn man den Körper etwas aus der aufrechten Lage entfernt (Fig. 190), und dieser Punkt O tritt nun für die Beurteilung der Sicherheit des Gleichgewichtes an die Stelle des Befestigungspunktes A. Stellt man den Körper schief

Fig. 189.

durch Drehung nach rechts, so geht der Normalwiderstand N nicht mehr durch A, sondern durch den neuen Berührungspunkt B, stets aber auch durch O. N und Q bilden ein Kräftepaar, welches den

Körper, falls S unterhalb O lag, in die Gleichgewichtslage zurückführt; zugleich hat S in der Gleichgewichtsstellung die tiefste mögliche Lage, und zur Störung des Gleichgewichtes ist äußerer Arbeitsaufwand erforderlich. Das Gleichgewicht war daher ein gesichertes. Liegt S oberhalb O, so entspricht dem Gleichgewichte die höchste mögliche Lage von S, das Gleichgewicht ist ein



unsicheres. Fallen S und O zusammen, so ist das Gleichgewicht unentschieden, bleibt auch nach einer kleinen Drehung noch bestehen.

Die Vertauschung der unteren Kugelfläche mit einer Zylinderfläche entspricht der obigen Ersetzung eines Befestigungspunktes A durch eine Drehachse.

Eine homogene Kugel befindet sich auf wagerechter Ebene im unentschiedenen Gleichgewicht, ebenso ein Cylinder. Halbkugel und Halbzylinder aber sind im sicheren Gleichgewichte. Beispiel: Wie hoch muß in Fig. 191 der Kegel sein, damit der aus Halbkugel und Kegel bestehende Körper im unentschiedenen Gleichgewichte sei? Der Gesamtschwerpunkt S

mus in O liegen, und dazu ist erforderlich (S. 146/47)

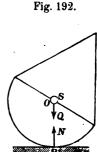
$$M_1 \cdot SS_1 = M_2 \cdot SS_2$$
.
Dichte des Kegels sei z.

Die Dichte des Kegels sei  $\gamma_1$ , die der Halbkugel  $\gamma_2$ , dann kann man statt des Verhältnisses der Massen das Verhältnis der Gewichte setzen, und weil  $SS_1 = {}^1/4\,h$ ,  $SS_2 = {}^3/6\,r$  (S. 157/58), so wird

$$\gamma_1 \frac{r_2 \pi h}{3} \frac{h}{4} = \gamma_2 \frac{2}{3} r^3 \pi \frac{3}{8} r.$$

Daraus folgt 
$$h^2 = \frac{3\gamma_2}{\gamma_1} r^2$$
.

Fig. 191.

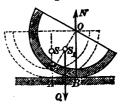


Sind die Einzelkörper aus demselben Stoffe, so wird  $h^2 = 3r^2$ . Die entsprechende Kegelseite wird dann = 2r; die Projektion des Kegels also ein gleichseitiges Dreieck (wie in Fig. 191 und 192 gezeichnet). Fig. 193.

Ist aber der Kegel aus Holz, die Halbkugel aus Metall, etwa mit  $\gamma_2 = 9 \gamma_1$ , so wird

$$h = 3r\sqrt{3} = 5,20r$$
.

Soll das Gleichgewicht sicher sein, so muß man h kleiner machen.

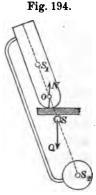


Besteht der Aufsatz aus einem Zylinder, so ist die Bedingung für unentschiedenes Gleichgewicht

$$h^2 = \frac{\gamma_2}{\gamma_1} \frac{r^2}{2}.$$

Fig. 193 zeigt den sicheren Gleichgewichtszustand einer Halbkugelschale. Ist bei einer solchen die Wandstärke gering, so liegt der Schwerpunkt nach S. 156 im Abstand  $^{1}/2r$  vom Mittelpunkt O.

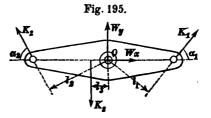
Fig. 194 (aus Ritter's Mechanik entnommen) zeigt, wie der obere Körper mit hoch liegendem Schwerpunkt  $S_1$  durch starre Verbindung mit einer tiefer liegenden Kugel  $S_2$  zu einem zusammengesetzten Körper mit dem Schwerpunkte S und mit sicherem Gleichgewicht umgeändert werden kann.



#### 3. Hebel.

Ein Hebel ist ein fester Körper, der nur um eine feste Achse Odrehbar und zum Angriffe verschiedener Kräfte eingerichtet ist. Das eigene Gewicht wird ebenso wie jede andere am Hebel auftretende Kraft behandelt und kann häufig gegen die sonstigen Kräfte vernachlässigt werden.

Die Kräfte mögen sämtlich in der Bildebene, rechtwinklig zur Achse O liegen (Fig. 195). Die Achse, völlig glatt angenommen, leistet einen durch die geometrische Drehachse gehenden Widerstand W, der nach Größe und Richtung



unbekannt ist, für welche beiden Unbekannten aber besser die beiden Seitenkräfte  $W_x$  und  $W_y$  eingeführt werden. In dem Falle der Fig. 195 heißt die Gleichung der wagerechten Kräfte

1) 
$$W_x + K_1 \cos \alpha_1 - K_2 \cos \alpha_2 = 0,$$

die Gleichung der lotrechten Kräfte

2) 
$$W_y + K_1 \sin \alpha_1 = K_2 \sin \alpha_1 - K_3 = 0;$$

die Gleichung der Momente wird am besten auf die wirkliche Drehachse bezogen, weil dann  $W_x$  und  $W_y$  in ihr nicht vorkommen, sondern nur die bewegenden Kräfte K. Es ist

3) 
$$0 = -K_1 l_1 + K_2 l_2 - K_3 l_3.$$

Häufig kommt es auf die Kenntnis des Widerstandes W der Drehachse nicht an; dann ist letzte Gleichung die allein maßgebende: Bei einem Hebel muß für den Gleichgewichtszustand die Momentensumme aller Kräfte in Bezug auf die Drehachse Null sein. Oder die Kräfte K müssen eine durch O gehende Mittelkraft haben.

Sind sämtliche Hebelarme gegeben, auch die beiden Kraftgrößen  $K_2$  und  $K_3$ , so ist durch die Momentengleichung  $K_1$  bestimmt. Hiernach kann man dann aus den Gleichungen 1 und 2 auch  $W_x$  und  $W_y$  berechnen. Die für die Momente in Frage kommenden Hebelarme sind im allgemeinen nicht die Abstände

der Angriffspunkte der Kräfte von der Drehachse, sondern die rechtwinkligen Abstände der Kraft- Fig. 197. richtungen von der Drehachse.

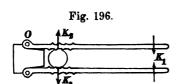
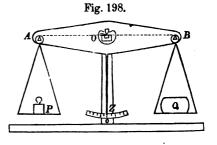


Fig. 196 zeigt die Vereinigung zweier Hebel zu einem Nußknacker, Fig. 197 einen um O drehbaren Pumpenschwengel;  $K_1$  ist die Triebkraft,  $K_2$  der Widerstand der Pumpenstange.

# 4. Hebelwagen.

Gleicharmige Hebelwage. Der Wagebalken ist mit einer wagerechten Drehachse O versehen (Fig. 198), welche zur Ver-

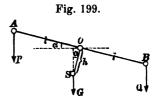
minderung der Reibung durch eine auf eine sog. Pfanne sich stützende Stahlschneide gebildet wird. Bei A und B sind in gleichen Abständen l von O ebenfalls Schneiden angeordnet, an denen gleich schwere Wagschalen aufgehängt sind. Die geometrischen Drehachsen A, O und B mögen



in einer Flucht liegen. Es ist zunächst erforderlich, dass der Wagebalken unter der Last der beiden gleich schweren Schalen sich wagerecht stelle und diese Stellung durch einen Zeiger Z markiere. Diese Bedingung wird, wie sich aus dem folgenden ergibt, erfüllt, wenn der Wagebalken für sich allein, d. h. ohne die Wagschalen in sicherem Gleichgewicht ist, wenn also sein Schwerpunkt S um eine Größe h unterhalb der Drehachse O liegt. Im Ruhezustand üben die bei A und B angehängten Wagschalen auch gleiche Kräfte auf den Balken aus und halten ihn im Gleichgewichte. Dasselbe gilt, wenn die Wagschalen mit Körpern von gleichem Gewichte belastet werden, Ist aber der Körper vom Gewichte Q auf der rechten Seite schwerer als das Gewichtsstück P

auf der linken (Fig. 199), so entsteht eine Drehung des Balkens, bei der die rechtseitige Schale sinkt; weil aber S unterhalb O liegt, so tritt nun das Gewicht G des Balkens auf die linke Seite und kommt mit seinem Momente dem der kleineren Belastung zu Hülfe, so daß bei einem bestimmten Ausschlagwinkel  $\alpha$  wieder sicheres Gleichgewicht eintritt. Die Beziehung zwischen dem Ge-

wichtsunterschiede Q - P und dem Winkel  $\alpha$  ist sehr einfach, wenn A, O und B in einer Geraden liegen, ist aber auch nicht schwierig, wenn diese Bedingung nicht erfüllt ist. Hier soll nur der einfachste Fall betrachtet werden. Da es nur auf den Gewichtsunterschied



ankommt, so mögen die Gewichte der Schalen und Ketten in P und Q mit enthalten sein. Dann entsteht die Momentengleichung  $Q l \cos \alpha = P l \cos \alpha + G h \sin \alpha$ , oder

$$Q - P = G \frac{h}{l} \operatorname{tg} \alpha.$$

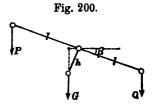
Bei der vorausgesetzten einfachen Anordnung ist der Gewichtsunterschied Q-P mit der Tangente des Ausschlagwinkels verhältnisgleich, so daß aus der Beobachtung von  $\alpha$  der Unterschied Q-P ersehen werden kann.

Beispiel: Es sei G (Gewicht des Wagebalkens) =  $2 \lg$ , h = 1.5 cm, l = 30 cm,  $\alpha = 6^{\circ}$ ,  $\lg \alpha = 0.1$ , dann ist  $Q - P = 2 \frac{1.5}{30} \cdot 0.1 = \frac{1}{100} \lg = 10 \text{ g}$ . Einem Winkel von  $6^{\circ}$  muß also an der Zeigerteilung die Bezeichnung  $10^{\circ}$  entsprechen.

Beim Gebrauche der Wage kann natürlich die Gleichgewichtsstellung nicht sofort eintreten; es muß aber dann ein Moment vor-

handen sein, welches die Wage zum Einspielen bringt. Unter Einspielen versteht man das Schwingen um eine sichere Gleichgewichtslage, das Bestreben, dieselbe einzunehmen.

Einem Gewichtsunterschiede Q-P möge ein Ausschlagwinkel  $\alpha$  entsprechen,



so dass Gh = (Q - P)l:  $\lg \alpha$ . Beträgt dann der augenblickliche Abweichungswinkel von der Wagerechten  $\beta$  und hält man die Wage für einen Augenblick fest, so entsteht, wenn  $\beta > \alpha$  gedacht wird,

ein links herum drehendes, nach der Gleichgewichtslage treibendes Moment  $\mathfrak{M} = G h \sin \beta - (Q - P) l \cos \beta.$ 

Setzt man hierin den vorstehenden Wert für Gh ein, so wird

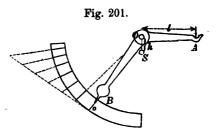
$$\begin{split} \mathfrak{M} &= \frac{(Q-P)\,l}{\operatorname{tg}\,\alpha} \sin\beta - (Q-P)\,l\,\cos\beta \\ &= (Q-P)\,l\,\cos\beta \left(\frac{\operatorname{tg}\,\beta}{\operatorname{tg}\,\alpha} - 1\right). \end{split}$$

Hiernach ist  $\mathfrak{M} \gtrsim 0$ , wenn  $\beta \gtrsim \alpha$ .  $\mathfrak{M}$  nennen wir das Einspielungs-Moment.

Da Q-P für Gleichgewicht verhältnisgleich mit tg  $\alpha$ , wobei tg  $\alpha$  zwischen 0 und  $\infty$  jeden Wert haben kann, so kann man theoretisch jeden beliebig großen Gewichtsunterschied Q-P mit Hülfe des Ausschlagwinkels  $\alpha$  messen, kann also ein Gewichtsstück P ganz entbehren, Q allein durch  $\alpha$  ermitteln. Nach diesem Grundgedanken ist eingerichtet die

Zeigerwage, welche zum Wägen von Briefen, Garnen, Papieren bestimmt ist. Fig. 201 entspricht einer Garnwage, bei welcher

keine Schale benutzt, sondern das Garn unmittelbar an den rechtsseitigen Haken aufgehängt wird. Die Fig. 201 stellt den unbelasteten Zustand dar, wobei der Zeiger auf Null steht; der Schwerpunkt S des Wagebalkens muß entsprechend um h lotrecht unter der Drehachse



O liegen. Wird bei A ein Gewicht Q eingehängt, so bildet sich eine neue Gleichgewichtslage mit einem Ausschlagwinkel  $\alpha$ , um den sich der ganze Hebel A O B verdreht und der an der Teilung meßbar wird. Für die Momentengleichung ist nur die Lage der Punkte A, O und S (Fig. 202) maßgebend, und es wird Q l cos  $\alpha = G$  h sin  $\alpha$  oder Q = G h tg a, entsprechend Gl. 1, S. 177 für P = 0.

Gh:l ist ein unveränderlicher Festwert für eine bestimmte Wage. Auf dem Kreisbogen wird man bei den Teilstrichen nicht Zahlen für die Winkel  $\alpha$ , sondern sogleich für die entsprechenden

Gewichte Q einritzen. Die Teilung ist dann selbstverständlich nicht gleichmäßig, da mit wachsendem Winkel die Tangente immer schneller wächst. Die Gewichtsteilung wird daher mit zunehmendem  $\alpha$  enger und enger werden; darin findet dann die Anwendbarkeit der Wage ihre Grenze.

Beispiel: Entspricht z. B. einem Gewichte von 10s ein Ausschlag von  $10^{\circ}$ , so ist

$$10 = G \frac{h}{l} \operatorname{tg} 10^{0} = 0,176 G \frac{h}{l}.$$

Will man nun die Ausschlagwinkel für Vielfache von 10s haben, so hat man zu bedenken, dass tg  $\alpha$  mit Q verhältnisgleich wächst.

Für 20 g ist tg 
$$\alpha = 2 \cdot 0.176 = 0.352$$
;  $\alpha = 19^{\circ} 24'$ ,  
" 100 g " tg  $\alpha = 1.76$ ;  $\alpha = 60^{\circ} 24'$ ,  
" 200 g " tg  $\alpha = 3.52$ ;  $\alpha = 74^{\circ} 9'$ ,  
" 300 g " tg  $\alpha = 5.28$ ;  $\alpha = 79^{\circ} 17'$ ,  
" 400 g " tg  $\alpha = 7.04$ ;  $\alpha = 81^{\circ} 55'$ ,

", 500 g , tg 
$$\alpha = 8.80$$
;  $\alpha = 85^{\circ}31'$ ,

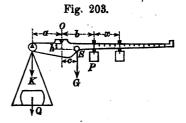
$$n = 1000 \, \text{g}$$
  $n = 17,60$ ;  $\alpha = 86^{\circ} \, 45'$ .

Während also die Teilstriche für Null und für 100s um 60° voneinander abstehen, sind die für 50° und 1000s nur 3° voneinander entfernt.

Die Teilung der Wage kann man leicht durch Zeichnung finden, indem man bei der Nullstellung des Zeigers OB eine Tangente an den Teilkreis vom Halbmesser r legt (Fig 201). Trägt man von OB aus den Winkel von 10 Graden ab, welcher dem Gewichte von 10 Grammen entsprach, so bekommt man auf der Berührungsgeraden sofort r tg  $10^{\circ}$ . Dieses Maß r tg  $10^{\circ} = 0,176$  r hat man dann auf der Berührungsgeraden 100 mal abzutragen bis zu einer Länge = 17,6 r. Zieht man nun von der Achse O aus Strahlen nach diesen Teilpunkten, so bekommt man auf dem Teilkreise die Striche, welche den Gewichten bis zu 1000 s zugehören.

Bei der Schnellwage (Fig. 203) wird nicht der Ausschlagwinkel a benutzt, vielmehr dient zum Abwägen ein der Größe

nach unveränderliches, auf dem wagerecht einzustellenden Hebel aber verschiebbares, sog. Laufgewicht. Es liegt bei dieser Wage der Schwerpunkt S des unbelasteten Wagebalkens nicht lotrecht unter der Drehschneide O, sondern um c nach rechts und um h nach unten. Die



Grose h ist, wie sich zeigen wird, für das Einspielen massgebend.

Ist K das Gewicht der leeren Schale, so gilt für das Gleichgewicht mit angehängter leerer Schale

$$Ka = Gc + Pb.$$

Legt man dann noch die Last Q auf die Schale, so muß das Laufgewicht P um x nach rechts verschoben werden, und wenn dann wieder eine wagerechte Ruhestellung des Hebels erreicht ist, so gilt dafür

2) 
$$(K+Q)a = Gc + P(b+x);$$

nach Abziehen der früheren Gleichung bleibt

3) 
$$Qa = Px$$
, mithin  $Q = Px : a$ .

P:a ist der Festwert der Wage, Q mit x verhältnisgleich, die Teilung des Laufhebels also gleichmäßig.

Bringt man die für wagerechte Ruhestellung belastete Wage durch Rechtsdrehung um den Winkel a aus dem Gleichgewichte, so ist dazu ein Moment M aufzuwenden, welches man leicht findet zu

$$\mathfrak{M} = (K+Q) a \cos \alpha - P(b+x) \cos \alpha - G c \cos \alpha + G h \sin \alpha.$$

Führt man hierin Gl. 2 ein, so bleibt  $\mathfrak{M} = Gh\sin\alpha$  als Einspielungsmoment, welches also ein positives h bedingt, aber von c unabhängig ist.

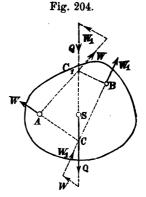
Alle diese Wagen, bei denen zur Ausführung der Wägung Gewichtstücke oder das eigene Gewicht eines Teiles der Wage (des Balkens) benutzt werden, liefern nicht eigentlich das wirkliche Gewicht des vorliegenden Körpers, d. h. die Größe der Anziehungskraft, welche der Körper von der Erde erfährt, sondern nur das Verhältnis seines Gewichtes zu dem Gewichte eines anderen Körpers an derselben Stelle der Erdoberfläche. Ein Körper, welcher eine richtige gleicharmige Hebelwage mit einem Gewichtstücke von der Bezeichnung "1 Kilogramm" auf der anderen Seite wagerecht (bezw. auf Null) stellt, erfährt am Meeresspiegel unter 450 geogr. Breite von der Erde eine Anziehungskraft = 1 kg, am Äquator aber beträgt die Schwerkraft des Körpers sowohl wie des Gewichtstückes nach S. 94 nur 0,997 kg. Eine solche Wägung stellt also eigentlich die Masse eines Körpers fest; so ist die Masse des eben beschriebenen Körpers ebenso wie diejenige des Gewichtstückes auf Grund der in diesem Buche gewählten Einheiten (S. 34) 1:q=1:9,806 Masseneinheiten, u. zw. unveränderlich an jeder Stelle der Erde und des Weltenraumes.

Federwagen dagegen, welche durch bestimmte Kräfte eine bestimmte, ablesbare Formänderung erleiden, zeigen die auf einen Körper ausgeübte Schwerkraft. Eine Federwage, deren Teilung an einem Ort angefertigt war, wo die Fallbeschleunigung 9,806 beträgt, wird an diesem Ort unter einer Belastung mit einem Gewichtstücke der Bezeichnung "1 Kilogramm" oder mit 1 1 Wasser die Schwerkraft zu 1 kg angeben, wird aber am Aquator unter derselben Last nur 0,997 kg zeigen. Beim Kauf und Verkaufe kommt es im Grunde genommen auf die Masse eines Körpers an. Käufer sind daher solche Federwagen nachteilig, die an einem Orte geteilt wurden, wo die Fallbeschleunigung kleiner ist als an dem Gebrauchsorte. Eine Federwage, deren Teilung am Äquator angefertigt wurde, die also dort unter Belastung mit 1 1 Wasser von 4° C. oder einem ebenso schweren Gewichtstücke der Bezeichnung "1 Kilogramm" die Schwerkraft mit 1 kg ablesen ließ, wird unter Belastung mit dem gleichen Körper oder einem Körper gleicher Masse unter 45° geogr. Breite die Schwerkraft zu 1,003 kg angeben, also schon durch eine Last von 0,997 1 Wasser zu einer Gewichtsangabe von 1 kg gebracht werden.

# 5. Zweifach befestigter bezw. unterstützter Körper.

Ist ein unter Einwirkung seines Gewichtes Q stehender Körper an zwei Punkten A und B befestigt (Fig. 204), so wirken an diesen

Widerstände W und  $W_1$ , welche mit Q im Gleichgewichte sein müssen. Die Mittelkraft von W und  $W_1$  muß also das Entgegengesetzte von Q sein, oder es müssen W,  $W_1$  und Q in einer Ebene liegen, und zwar in einer lotrechten Ebene, weil Q lotrecht ist. Da nun Q durch S geht, W und  $W_1$  durch A bezw. B, so ist Ruhe des Körpers nur möglich, wenn der Schwerpunkt desselben in einer durch A und B gehenden lotrechten Ebene liegt. Nehmen wir an, diese Bedingung sei in Fig. 204 erfüllt, dann stehen für die Ermittelung



der unbekannten Widerstände W und W, nur die drei Gleichgewichts-

Bedingungen für Kräfte in einer Ebene (S. 110/171) zur Verfügung. Jeder Widerstand ist aber nach Größe und Richtung unbekannt, oder hat, nach bestimmten Richtungen zerlegt, zwei unbekannte Seitenkräfte. Sonach liegen für die Ermittelung der Widerstände der Besetigungspunkte vier Unbekannte und nur drei Gleichungen vor. Die Aufgabe ist also mittels der Gleichgewichtsbedingungen allein nicht zu lösen, man nennt sie daher "statisch unbestimmt". und zwar im besonderen "einfach statisch unbestimmt", weil gerade eine Gleichung zu wenig vorhanden ist. Man kann diese Unbestimmtheit auch geometrisch erkennen. W,  $W_1$  und Q müssen sich in einem Punkte schneiden, oder, da die Richtung von Q gegeben, W und W, müssen sich in einem Punkte der Geraden Q schneiden; in welcher Höhe dieser Punkt aber liegt, ist unbestimmt, richtet sich nach der besonderen Art, wie die Besestigung vorgenommen wurde, und ist im allgemeinen nur schwierig, in vielen Fällen auch gar nicht festzustellen. Nimmt man einen Schnittpunkt C der Kräfte an, so sind die Richtungen von W und  $W_1$ bestimmt, es ist dann leicht das Kräftedreieck der drei Kräfte für Gleichgewicht (S. 63) zu zeichnen, womit auch die Größen von W und  $W_1$  feststehen. Ein anderer Punkt  $C_1$  aber liefert ein anderes Ergebnis für W und  $W_1$ .

Ähnlich sind die Verhältnisse, wenn die Befestigung nicht an zwei Punkten A und B, sondern an zwei zur Bildebene rechtwinkligen wagerechten Achsen A und B erfolgt. Dann fällt die erste Frage, ob und wann der Körper im Ruhezustande sein kann, fort. Der Körper ist unwandelbar befestigt, an jeder Bewegung verhindert, — abgesehen vielleicht von einer Verschiebung längs der beiden Achsen, deren Möglichkeit für diese Untersuchungen keine Wichtigkeit hat.

Über die Art der Unbestimmtheit der Aufgabe bekommt man einige Aufklärung, wenn man die Widerstände W und  $W_1$  zerlegt, u. zw. in den bestimmten Richtungen von A nach B und rechtwinklig dazu (Fig. 205). Nennt man die Seitenkräfte in der Richtung AB bezw. X und  $X_1$ , rechtwinklig

Fig. 205.

dazu Y und  $Y_1$  und bedenkt, dass, wenn AB mit der Wagerechten

den Winkel  $\alpha$  bildet, Q in Q sin  $\alpha$  und Q cos  $\alpha$  zerlegt werden kann, so lauten die Gleichungen der Kräftesummen in den beiden Achsenrichtungen

$$1) X + X_1 - Q \sin \alpha = 0$$

$$Y + Y_1 - Q \cos \alpha = 0.$$

Die Momente beziehen wir zweckmäßig auf eine der Befestigungsachsen, z. B. A, weil dann die unbekannten Kräfte X,  $X_1$  und Y aus der Momentengleichung fortbleiben; auch führen wir in diese Gleichung zweckmäßig die ursprüngliche Kraft Q, nicht aber ihre Seitenkräfte ein. Dann ist nach den Bezeichnungen der Figur

$$0 = -Y_1 l + Qa \quad \text{oder} \quad Y_1 = \frac{Qa}{l}.$$

In den Gleichungen 2 und 3 kommen nur die Unbekannten Y und  $Y_1$  vor, die daraus also zu bestimmen sind. Für X und  $X_1$  steht aber nur die Gleichung 1 zur Verfügung; von diesen Kräften ist also nur die Summe bestimmbar, nicht aber die ein-In der Richtung AB kann der Körper bei der zelnen Anteile. Befestigung jede beliebige Anspannung erfahren, die sich im allgemeinen nicht erkennen läst. Befestigt man z. B. ein hölzernes Brett mittels zweier Drahtstifte A und B an einer Holzwand, so kommt es bezüglich der Größe von X und  $X_1$  auf die Art der Eintreibung der Drahtstifte an; durch die letzten Schläge kann man erreichen, dass zwischen den Stellen A und B in dem Körper eine innere Zugkraft oder Druckkraft entsteht, deren Größe die Widerstände X und  $X_1$  beeinflusst, bei Annahme starrer Körper aber völlig unbestimmbar ist.

Die in zweckmäßiger Weise aufgestellte Momentengleichung 3 hat die gute Eigenschaft, daß darin nur eine einzige Unbekannte vorkommt. Setzt man  $Y_1$  nach Gl. 3 in Gl. 2 ein, so entsteht

4) 
$$Y = Q\left(\cos \alpha - \frac{a}{l}\right) = Q\left(\frac{a+b}{l} - \frac{a}{l}\right) = Q\frac{b}{l}.$$

Unmittelbar aber kommt man zu diesem Ergebnisse, wenn man die Gleichung der Kräftesumme in der Y-Richtung (Gl. 2) ganz fortläßt und dafür nochmals eine Momentengleichung anschreibt, jedoch in Bezug auf einen von A abweichenden Drehpunkt, den man so wählen muß, daß in der Gleichung womöglich nur diejenige Unbekannte

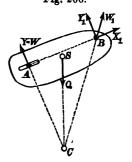
vorkommt, um deren Auffindung sich's gerade handelt, in diesem Fall also Y. Das wird erreicht durch die Wahl von B als Drehpunkt:

Fig. 206.

 $0 = Yl - Qb \quad \text{oder} \quad Y = Q \frac{b}{l},$ 

wie in Gl. 4.

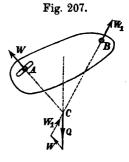
Von dieser Bevorzugung der Momentengleichungen in Bezug auf immer neue Drehpunkte wird in der Folge häufig Anwendung gemacht werden. Nur muß man nicht erwarten, dadurch die Zahl der überhaupt verfügbaren Gleichungen vergrößern zu



können. Für das Gleichgewicht von Kräften in einer Ebene gibt es drei voneinander unabhängige Gleichungen, mag man dieselben für Kräftesummen oder für Momente aufstellen. Vergrößert man

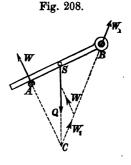
die Zahl der Momentengleichungen durch Wahl immer neuer Drehpunkte, so bleiben die Gleichungen nicht mehr voneinander unabhängig, so dass dadurch für eine unlösbare Aufgabe nichts gewonnen wird.

Die vorstehend behandelte Aufgabe verliert ihre Unbestimmtheit, wenn an einer der beiden Stellen, z. B. bei A, die Befestigung so geändert wird, daß über die Richtung des Widerstandes W keine Unbestimmtheit



herrscht, indem man, statt den hindurchgesteckten Bolzen oder Drahtstift von dem Körper rings umschließen zu lassen, in dem letzteren

etwa einen länglichen Schlitz anbringt. Hat der Schlitz, wie in Fig. 206, die Richtung von A nach B, so kann bei A ein Widerstand X gar nicht geleistet werden; es wird X=0 und Y=W; mithin  $X=Q\sin\alpha$ , womit die Widerstände sämtlich bestimmt sind. Auch die geometrische Lösung ist jetzt leicht möglich: Verlängert man die nun gegebene Richtung von W bis zum Schnitte C mit Q, so sind W und  $W_1$  nach Fig. 204, S. 181,



leicht bestimmt. Auch erkennt man, dass die zeichnerische Behandlung

von gleicher Einfachheit ist, welche Richtung auch der Schlitz haben mag, wenn man nur die Richtung eines der Widerstände W oder  $W_1$  bestimmt zu erkennen vermag

(Fig. 207):

In Fig. 208 ist die Richtung von W durch den runden Auflagerungsbolzen A gegeben, dadurch der Punkt C und die Richtung von  $W_1$  bestimmt, und man erkennt, daß nun auch eine völlige Umschließung des Bolzens B nicht mehr nötig wäre, sondern eine Stützung nach Fig. 209 für das Gleichgewicht hinreichen

würde. Fig. 208 bietet nur eine größere Sicherheit gegen Störungen des Gleichgewichts durch Erschütterungen, Stöße und das Hinzu-

treten neuer Kräfte. Scheinbar unwesentliche Änderungen der Form des Körpers in der Nähe der Unterstützungsstellen haben zuweilen sehr wichtige Folgen. Biegt man z. B. den Stab der Fig. 210 an seinem oberen Ende derartig um, daß er den Bolzen B mit einer wagerechten Ebene berührt (Fig. 211), so wird  $W_1$  lotrecht, der Schnittpunkt von Q und  $W_1$  rückt in un-

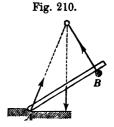


Fig. 209.

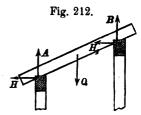
endliche Ferne, und dadurch wird W ebenfalls lotrecht, so daß nun die in Fig. 210 erforderlich gewesene seitliche Sicherung bei A entbehrlich wird. Die Größen von W und  $W_1$  Fig. 211. ergeben sich mittels der Momentengleichungen

 $\mathbf{zu} W = Qb: l; W_1 = Q \cdot a: l.$ 

Auflagerung der Dachsparren auf Dachpfetten. Die Dachpfette möge die Form eines aufrecht stehenden Rechtecks

haben (Fig. 212); der Sparren sei für die Auflagerung entsprechend ausgeschnitten. An den lotrechten Berührungsstellen kann keine

Kraft auftreten, denn es müßte  $H+H_1=0$  sein, und weil keine dieser Kräfte negativ werden kann, so müssen beide Null sein. An den wagerechten Berührungsstellen treten die lotrechten Widerstände A und B auf, die sich genau berechnen wie im vorhergehenden Falle.



Das Gewicht der Dachsparren übt daher auf die die Pfetten tragenden Wände nur lotrechte Drücke (das Entgegengesetzte von A und B) aus, wenn man von der Fig. 213.

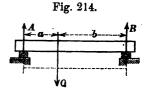
Reibung absieht.

Anders ist aber die Sache, wenn die Pfetten für die Auflagerung der Sparren schräg abgeschnitten sind (Fig. 213). Ist dann etwa nur bei B eine Nagelung ausgeführt, nicht aber in A, so werden die Widerstände W und  $W_1$  beide schräg. Die Entgegengesetzten derselben wirken auf die Tragwände der Pfetten.

Die Richtung der Widerstände wird durch die gegenseitige Höhenlage der Stützflächen nicht beeinflusst; besonders häufig ist die Auflagerung eines wagerechten Balkens

auf zwei Stützflächen (Fig. 214). wird wiederum, wenn Q das Gesamtgewicht des Balkens (einschl. etwaiger Last) bezeichnet,

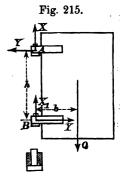
$$A=Q\frac{b}{l}; B=Q\frac{a}{l}.$$



Liegt die Last Q in der Mitte, so ist natürlich  $A = B = \frac{1}{2}Q$ ; rückt dann die Last näher an das linke Auflager, so wird dieses mehr belastet, das andere weniger. Der Abstand l der beiden

Auflagerdrücke ist rechnungsmässige die Spannweite des Balkens. Um die Formel B = Qa/l ohne weiteres zu erkennen, denke man sich den Balken als Hebel mit dem Drehpunkte bei A und stellt sich die Kraft B als Hubkraft einer Hand vor, dann erscheint a:lsofort als das Hebelverhältnis.

Eine Tür (Fig. 215) stützt sich drehbar auf zwei Zapfen. Das den Zapfen umschließende Türband berührt die Zylinderfläche und erfährt von dieser einen wagerechten



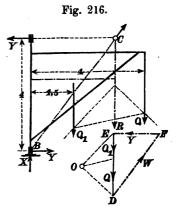
Widerstand Y: es stützt sich aber auch auf die untere Verdickung des Zapfens und erfährt dort einen lotrechten Widerstand X. Daher treten an jedem Zapfen zwei unbekannte Kräfte auf. Wäre die Tür nur bei B gehalten, so würde sie durch Q rechtsherum gedreht werden; dem muß bei A ein nach links gerichteter Druck Y widerstehen. Nach der Gleichung der wagerechten Kräfte muß bei B der gleiche Druck Y nach rechts wirken. Die Gleichung der lotrechten Kräfte verlangt  $X + X_1 = Q$ ; weiteres ist über X und  $X_1$  nicht zu finden: wie sich das Gewicht Q auf beide Zapfen verteilt, hängt von kleinen Zufälligkeiten der Ausführung ab. Y ist aber durch die Momentengleichung, etwa um B, leicht zu berechnen: 0 = Qb - Yh, oder Y - Qb : h.

Bei näherer Besichtigung einer Tür wird man zuweilen finden, dass an einem der beiden Zapfen das Türband mit der unteren Verdickung des Zapfens nicht in Berührung ist, dass daselbst ein Spielraum, eine offene Fuge sich zeigt. An einer solchen Stelle findet dann auch keine Druckübertragung statt, und es wird das Gewicht Q der Tür in solchem Fall allein von dem anderen Zapfen getragen.

In wichtigen Fällen, d. h. wenn große Kräfte auftreten, ist eine derartige Unbestimmtheit der Kraftwirkung zu vermeiden. Daher trifft man dann die Einrichtung so, daß die Kraft X nur an einer Unterstützungsstelle überhaupt auftreten kann, indem man an der anderen Stelle eine Berührung nur an der zylindrischen

Fläche des Zapfens zulässt; z. B. an dem Drehkrane (Fig. 216). Hier muß (mit Q = 3000,  $Q_1 = 2000^{\log}$ )  $X = Q + Q_1 = 5000^{\log}$ , und in Bezug auf den unteren Stützpunkt  $B = -Y \cdot 4 + 2000 \cdot 1.5 + 3000 \cdot 4$ ,

mithin  $Y=3750^{\text{kg}}$  sein. Man kann die Aufgabe auch rein zeichnerisch lösen: Nach irgend einem Maßstabe trägt man in einer Nebenfigur  $Q_1$  und Q zu einem Krafteck aneinander, wählt einen beliebigen Pol Q, zeichnet



zu den Polstrahlen ein Seileck in der Hauptfigur, deren äußerste Seiten durch ihren Schnittpunkt die Lage des Gesamtgewichtes R = 5000 bestimmen. Mit dieser Kraft R müssen nun der wagerechte

Widerstand Y des oberen Lagers und der schräge Gesamtwiderstand W des unteren Lagers im Gleichgewichte sein, sich also auf ihr schneiden. Der Schnitt C von Y und R bestimmt sonach die Richtung BC von W. Zieht man im Krafteck EF wagerecht,  $DF \parallel BC$ , so ist DF = W und FE = Y.

# 6. Dreifach und mehrfach befestigter bezw. unterstützter Körper.

Hat ein Körper drei feste Punkte, so läst sich der Widerstand jedes der Punkte in je drei Seitenkräfte zerlegen; man hat also 9 Unbekannte. Die Zahl der Gleichgewichts-Bedingungen beträgt im allgemeinen 6 (S. 170), mithin fehlen 3 Gleichungen zur völligen Bestimmung der Kräfte, oder die Aufgabe ist dreifach statisch unbestimmt.

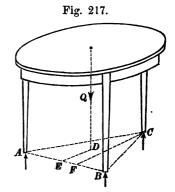
Ist aber der Körper ein nur lotrecht belasteter dreibeiniger Tisch oder Schemel, der sich an drei nicht in derselben Geraden liegenden Stellen auf eine wagerechte Ebene stützt, so sind von den drei Widerständen die Richtungen bekannt und nur die Größen gesucht. Benutzt man die Lotrechte als z-Richtung, so sind von den 6 Gleichgewichts-Bedingungen (S. 170) benutzbar: Gl. 3, 4 und 5, und diese genügen zur Bestimmung der 3 Unbekannten; doch wendet man zur Ermittelung der Unbekannten vorteilhaft nur Momenten-

Gleichungen an in Bezug auf Drehachsen durch je 2 Stützpunkte. Die lotrechten Widerstände A, B und C sind zn berechnen. Die Richtungslinie des Gewichtes Q des belasteten Tisches schneide die Unterstützungsebene in D (Fig. 217). Für die Achse AB gilt

$$0 = -C \cdot CF + Q \cdot DE$$
, also

1) 
$$C = Q \cdot \overline{DE} : \overline{CF}$$
.

In entsprechender Weise findet man A und B.



Ist der Tisch nur einfach auf den Boden gestellt ohne Bindemittel und ohne Verklammerung, so können die Widerstände nicht negativ werden. Es wird aber C=0, wenn DE=0, d. h. wenn

Q durch die Seite AB des Unterstützungsdreiecks geht. Liegt D außerhalb dieses Dreiecks, so ist Gleichgewicht nicht möglich, vielmehr kippt der Tisch dann um eine der Seiten des Dreiecks ABC.

Fällt D in den Schwerpunkt des Dreiecks ABC, so wird  $C = \frac{1}{3}Q$ , und ebenso groß werden A und B, so daß in diesem Falle das Gewicht sich gleichmäßig auf die 3 Stützpunkte verteilt.

Tritt zu dem Gewichte Q noch eine wagerechte Kraft K (Fig. 218), so vermögen die lotrechten Widerstände nicht mehr, Gleichgewicht herbeizuführen, sondern es müssen an den Auflagerstellen noch wagerechte Widerstände hinzutreten. Diese werden in Wirklichkeit bis zu einem gewissen Grade durch die Reibung geliefert; wir wollen statt dessen hier annehmen, daß eine vorgelegte Leiste die Ver-

schiebung hindere. Es ist dann außer dem Ruhezustande nur ein Kippen um die Leistenkante möglich.

Ersetzt man Q und K durch ihre Mittelkraft R, welche rechts von A im Abstand rvorbeigeht, so wird

Cc = Rr oder C = Rr : c.

Gleichgewicht ist nur möglich, solange r positiv ist, d. h. solange R innerhalb des Unterstützungsdreiecks durch die Grundebene hindurchgeht. Zugleich ist aber auch Rr = Qa - Kh. Es ist also Gleichgewicht

Fig 218.

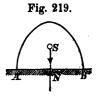
nur möglich, solange  $Qa \ge Kh$ . Qa heißt das Standsicherheits-moment (Stabilitätsmoment) in Bezug auf die Kante A, Kh das Umsturzmoment. Der Körper ist nur in gesichertem Gleichgewichte, solange das Standsicherheitsmoment größer als das Umsturzmoment.

Stützt sich ein Körper an mehr als drei Stellen auf eine wagerechte Ebene, so sind die Widerstände der Stützpunkte nicht mehr zu ermitteln. In geometrischer Beziehung ist dann die Ebene, in welcher der Körper die Unterstützungsfläche berührt, durch mehr als drei Punkte bestimmt, also über bestimmt, während, wenn die Unterstützungsstellen nicht genau eine Ebene bilden, ein Wackeln des Körpers bei Verschiebung der Last eintreten kann. Ein dreibeiniger Tisch kann nicht wackeln, ein mehrbeiniger aber bekanntlich sehr leicht; es hängt damit die Unbestimmtheit der Druckverteilung zusammen.

Bezüglich der Sicherheit gegen ein Umsturzmoment gilt für einen vierbeinigen Tisch das Gleiche wie für einen dreibeinigen.

Ruht ein Körper unter Einwirkung seines Gewichtes Q mittels ebener Fläche auf wagerechter Ebene (Fig. 219), so müssen die

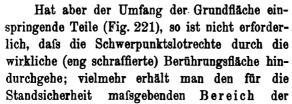
lotrecht aufwärts gerichteten Widerstände der Flächenteilchen eine Mittelkraft N liefern, die durch den Schwerpunkt S des Körpers geht. Nach welchem Gesetze sich aber N auf die Berührungsfläche verteilt, ist statisch unbestimmt. Da nun die Mittelkraft zweier Parallelkräfte gleichen Sinnes nach S.112 zwisch en den Parallel-

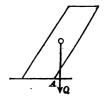


kräften liegt, so kann auch die Mittelkraft N nur innerhalb des Bereiches der Grundfläche liegen, oder es ist für Gleichgewicht erforderlich, dass die Schwerpunktslotrechte innerhalb des Bereiches

der Grundfläche bleibe; andernfalls tritt ein Kippen um eine Drehkante ein, z. B. in Fig. 220 um A.

Fig. 220.





Grundfläche, indem man die wirkliche Berührungsfläche so weit ergänzt, dass einspringende Winkel fortfallen. Denn eine Seite oder Tangente der Grundfläche kann nur dann zu einer Drehkante werden, wenn ihre Verlängerung die Berührungsfläche nicht.

wenn ihre Verlängerung die Berührungsfläche nicht mehr durchschneidet. Sämtliche Tangenten, die man an den einspringenden Bogen FED der Figur legt, sind keine möglichen Drehkanten. Es muß daher die leicht schraffierte Halbkreisfläche FED mit zu dem Bereiche der Grundfläche gerechnet werden, aus dem die Schwerpunktslotrechte nicht hinaustreten darf. Der Bereich der Grundfläche ist diejenige ebene Fläche,



Fig. 221.

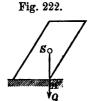
welche umschlossen wird von einer beweglichen Geraden, die die Unterstützungsfläche umhüllt, d. h. sich so um dieselbe bewegt, dass sie sie stets berührt, ohne sie aber zu schneiden.

Bekanntlich kann ein zusammengebogenes Papier- oder Kartenblatt auf einem Tische sicher stehen, wiewohl die Schwerlinie nicht durch die schmale Auflagerfläche hindurch geht. Ebenso bildet bei dem Tische (Fig. 217, S. 188) die gesamte Dreieckfläche ABC den Bereich der Grundfläche.

Geht die Schwerpunkts-Lotrechte gerade durch eine mögliche Drehkante (Fig. 222), so ist der Ruhezustand unsicher. Der Widerstand des Bodens verteilt sich nicht mehr über

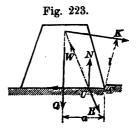
die Berührungsfläche, sondern wird nur noch von der Drehkante geleistet.

Tritt zu dem Gewicht Q des Körpers noch eine beliebig gerichtete Kraft K hinzu, die mit Q in derselben Ebene liegt (Fig. 223), so kann man die Mittelkraft R beider bestimmen, und letztere muß durch den Widerstand W des Bodens



aufgehoben werden, wenn der Körper in Ruhe bleiben soll. Die seitliche Verschiebung im Sinne der wagerechten Seitenkraft von K sei durch einen Vorsprung am Boden verhindert; dann kommt nur

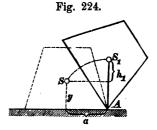
noch die Möglichkeit der Drehung um die Kante in Frage, deren Verschiebung durch den Vorsprung gehindert ist. Der Boden kann innerhalb des Bereiches der Grundfläche jeden beliebigen Normalwiderstand N leisten, der Vorsprung einen seitlichen Widerstand von beliebiger Größe; der aus beiden sich zusammensetzende Gesamtwiderstand W kann daher innerhalb des Bereiches der



Grundfläche jede beliebige Größe und Richtung haben, kann aber nicht aus diesem Bereiche heraustreten. Es muß daher die Lage von R die Unterstützungsebene gleichfalls im Bereiche der Grundfläche schneiden, wenn der Körper soll in Ruhe bleiben können. Ist der Hebelarm von Q in Bezug auf die Drehkante A (rechtwinklig zur Bildebene gedacht) wieder a, der der Kraft K aber l, so ist wieder Standsicherheit vorhanden, wenn Qa > Kl, d. h. wenn das Standsicherheitsmoment größer als das Umsturzmoment. Für Kl = Qa geht die Mittelkraft R aus K und Q durch die Drehkante, und der Körper ist im unsicheren Gleichgewichte. Wird Kl im geringsten größer als Qa, so wird der Körper sich um die Kante A drehen.

Erfolgt diese Drehung, so beschreibt der Schwerpunkt S (Fig. 224) einen Kreisbogen um A, die Richtungslinie des Gewichtes Q rückt der Kante immer näher, das Moment von Q wird immer kleiner und endlich zu Null, sobald der Schwerpunkt in  $S_1$  lotrecht über A liegt. Setzen wir voraus, die umstürzende Kraft K nehme in der Weise ab, daß ihr Moment stets gleich dem Momente von Q in Bezug auf A sei, so wird das Moment ihrer Mittelkraft R stets Null sein, R also stets durch A gehen. Es wird dann ein

langsames, allmähliches Aufkippen des Körpers möglich sein. Die hierzu von der Kraft K zu leistende Arbeit kann man leicht berechnen. Die Bewegung erfolge so langsam, das bei der höchsten Lage des Schwerpunktes die Geschwindigkeit aller Punkte des Körpers Null sei. Dann ist, von der sicheren Ruhelage aus gerechnet, die Zunahme



an Arbeitsvermögen Null. Mithin muß auch die Arbeitsumme Null sein. Nach S. 168 verrichten aber die inneren Kräfte die Arbeit Null, der in der Drehkante A auftretende Widerstand W verrichtet ebenfalls die Arbeit Null, weil sein Angriffspunkt sich nicht bewegt; mithin muß die Arbeit von Q und K zusammen Null sein. Bei einer Hebung des Schwerpunktes um  $h_1$  ist aber (nach S. 163) die Arbeit der Schwerkraft —  $Qh_1$ , folglich ist die zum völligen Aufkippen des Körpers erforderliche Arbeit

1) 
$$\mathfrak{A} = \mathbf{Q} \, \mathbf{h}_1.$$

Diese Arbeit heißt die dynamische Standsicherheit, sie kommt in Frage, wenn es sich darum handelt, ob ein Körper durch einen Stoß oder Wurf umzustürzen ist. In einem geworfenen Körper steckt ein bestimmtes Arbeitsvermögen; trifft er einen aufgestellten Körper, so kann ein gewisser Teil des Arbeitsvermögens zum Umstürzen wirksam werden.

Das Standsicherheitsmoment war das zum ersten Anheben erforderliche Moment und unabhängig von der Höhenlage des Schwerpunktes. Die zum völligen Aufkippen erforderliche Arbeit A aber ist auch von der Höhe y des Schwerpunktes abhängig. Es ist nämlich (Fig. 224)

$$AS = AS_1 = \sqrt{a^2 + y^2}; \quad h_1 = AS_1 - y = \sqrt{a^2 + y^2} - y,$$

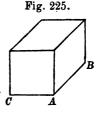
was man aber, wenn man mit  $\sqrt[V]{a^2+y^2}+y$  multipliziert und dividiert, auch schreiben kann

$$h_1 = \frac{a^2}{\sqrt{a^2 + y^2} + y}, \text{ oder}$$

$$\mathfrak{A} = Qa \frac{a}{\sqrt{a^2 + y^2 + y}}.$$

Man erkennt, dass bei gleich bleibendem a die Arbeit  $\mathfrak A$  um so kleiner wird, je höher der Schwerpunkt liegt. Körper mit hoch liegendem Schwerpunkte lassen sich also durch einen Stoß verhältnismäßig leicht umstürzen.

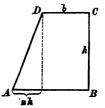
Beispiel: Ein parallelepipedischer Steinkörper (Fig. 225) von  $1 \times 1 \times 2^m$  wiegt, wenn  $\gamma = 2000$  kg/cbm, Q = 4000 kg. Liegt er mit einer Langseite auf dem Boden, so ist a = 0.5 m, y = 0.5 m, daher das Moment zum ersten Aufkippen  $\mathfrak{M} = Qa = 4000 \cdot 0.5 = 2000$  mkg. Oder es muß unter der linksseitigen Steinkante eine Hubkraft K = 2000 kg wirksam sein. Die Arbeit zum völligen Aufkippen, so daß er dann von selbst weiter umkippt, ist



$$\mathfrak{A} = Q a \frac{0.5}{\sqrt{0.5^2 + 0.5^2 + 0.5}} = \frac{2000}{\sqrt{2} + 1} = 2000 (\sqrt{2} - 1)$$
$$= 2000 \cdot 0.414 = 828 \, \text{m/g}.$$

Steht aber der Körper hochkantig, so ist a=0.5 m, y=1 m, mithin  $\mathfrak M$  ebenso groß wie vorher, dagegen  $\mathfrak A=Q\,a\,(\sqrt{1+4}-2)=2000\cdot 0.436=472$  mkg, also erheblich kleiner. Fig. 226.

Eine Mauer von trapezförmigem Querschnitte (Fig. 226) habe eine Höhe h, eine obere Breite b; der Grundris der geneigten Seite AD betrage nh; dann setzt sich das Standsicherheitsmoment aus den Beiträgen des rechteckigen und des dreieckigen Teiles zusammen in Welche man den Operschnitt zerle



sammen, in welche man den Querschnitt zerlegen kann. Für eine

Länge = 1 rechtwinklig zur Zeichenebene ist dann in Bezug auf die Kante A das Standsicherheitsmoment  $\mathfrak{M}_{a}$ :

$$\mathfrak{M}_{a} = \gamma h \left\{ b \left( \frac{1}{2} b + n h \right) + \frac{1}{2} n h \cdot \frac{2}{3} n h \right\}$$
  
=  $\gamma h \left\{ \frac{1}{2} b^{2} + b n h + \frac{1}{3} n^{2} h^{2} \right\}.$ 

In Bezug auf die Kante B:

$$\mathfrak{M}_b = \gamma h \left\{ \frac{1}{2} b^2 + \frac{1}{2} n h (b + \frac{1}{3} n h) \right\} = \gamma h \left\{ \frac{1}{2} b^2 + \frac{1}{2} b n h + \frac{1}{6} n^2 h^2 \right\},$$

mithin  $\mathfrak{M}_a > \mathfrak{M}_b$ , weil der Gesamtschwerpunkt näher an B als an A liegt. Würde man das Trapez mit einem flächengleichen Rechtecke von der Höhe h und der Breite  $b + \frac{1}{2} n h$  vertauschen, so betrüge das Standsicherheitsmoment nur

$$\mathfrak{M} = \gamma h^{1/2} (b + \frac{1}{2} n h)^{2}$$
  
=  $\gamma h \left\{ \frac{1}{2} b^{2} + \frac{1}{2} b n h + \frac{1}{8} n^{2} h^{2} \right\},$ 

also wiederum weniger als  $\mathfrak{M}_b$ .

# 7. Gleichgewicht einer Verbindung von Gelenkstangen.

Unter einer Gelenkstange verstehen wir einen starren Körper, der an zwei Stellen mit sog. Augen versehen ist, in welchen zylindrische, einander parallele Bolzen angebracht sind. Mittels dieser Bolzen sind die Körper miteinander, bezw. mit festen, unbeweglichen Widerlagern derartig verbunden, das in den Gelenken nur Kräfte auftreten können, welche durch die Achsen der Gelenkbolzen hindurch gehen und zu diesen rechtwinklig stehen. Die Form der Körper ist im übrigen gleichgültig, dieselben können die Gestalt von geraden oder einfach gekrümmten Stäben haben; der Einfachheit wegen mögen sie geradlinig gezeichnet werden. Die Reibung an den Bolzen wird vernachlässigt.

Verbindung zweier Gelenkstäbe. die Stäbe mit Widerlagergelenken verbunden, bei C greifen sie gelenkartig ineinander. G und  $G_1$  seien die Gesamtlasten der linken bezw. rechten Stange mit den wagerechten Abständen c und  $c_1$  von A bezw. B. Es seien b und  $b_1$  die wagerechten,

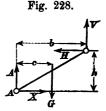
In A und B (Fig. 227) seien

h und  $h_1$  die senkrechten Projektionen der Stangen. Den Widerstand W

des Widerlagergelenkes A zerlegen wir in zwei Seitenkräfte A (senkrecht) und X (wagerecht); ebenso den Widerstand  $W_1$  des Gelenkes B in B bezw.  $X_1$ , während die gegenseitige Kraft D, welche die Gelenkstangen bei C aufeinander ausüben, in V (senkrecht) und H (wagerecht) zerfallen möge.

Soll die Verbindung im Gleichgewichte sein, so muss jede Stange für sich den Gleichgewichtsbedingungen genügen. Da nun für Kräfte in einer Ebene 3 Gleichgewichtsbedingungen aufzustellen sind, so stehen im ganzen 6 Gleichungen zur Verfügung, mittels deren die Unbekannten A, X,  $B, X_1, H$  und V bestimmt werden können.

Zuerst sollen die gegenseitigen Kräfte im Gelenke C berechnet werden. Das an der links-



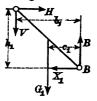
seitigen Stange die Kraft H nach links wirken muß, erkennt man leicht; der Sinn von V ist vorläufig unbestimmt; wir nehmen ihn nach oben an. Bei der Momentengleichung in Bezug auf A (Fig. 228) fallen A und X aus, und man erhält einfach: 0 = -Hh - Vb + Gc. An der rechtsseitigen Stange (Fig. 229) müssen H und V entgegengesetzt angebracht werden, und man erhält: Fig. 229.

$$0 = Hh_1 - Vh_1 - G_1c_1.$$

Aus beiden Gleichungen folgt:

1) 
$$H = \frac{G c b_1 + G_1 c_1 b}{b b_1 + b_1 h}$$

1) 
$$H = \frac{G c b_1 + G_1 c_1 b}{b h_1 + b_1 h}$$
2) 
$$V = \frac{G c h_1 - G_1 c_1 h}{b h_1 + b_1 h}.$$



Wird hierbei V negativ, so ist es in Fig. 228 abwarts, in Fig. 229 aufwärts gerichtet.

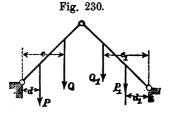
Weiter folgt dann leicht an der linken Stange:

3) 
$$A = G - V; \quad X = H;$$

an der rechten:

recruten: 
$$B = G_1 + V; \quad X_1 = H.$$

4) Wirken aber an jeder Stange zwei Lasten P und Q bezw.  $P_1$  und  $Q_1$ (Fig. 230), so kann man P und Q durch ihre Mittelkraft G, ebenso  $P_1$  und  $Q_1$ 



durch ihre Mittelkraft  $G_1$  ersetzen, u. zw. ist dann einfach

$$Gc = Pd + Qe$$
;  $G_1c_1 = P_1d_1 + Q_1e_1$ .

Führt man dies in die Gl. 1 und 2 ein, so entsteht:

5) 
$$H = \frac{Pdb_1 + Qeb_1 + P_1d_1b + Q_1e_1b}{bh_1 + b_1h} \text{ und}$$

6) 
$$V = \frac{Pdh_1 + Qeh_1 - P_1d_1h - Q_1e_1h}{bh_1 + b_1h}.$$

In diesen Gleichungen ist jede der 4 Lasten durch ein besonderes, von den anderen unabhängiges Glied vertreten; fallen z. B. die Lasten Q,  $Q_1$  und  $P_1$  fort, bleibt also nur P, so wird

$$H = \frac{P d b_1}{b h_1 + b_1 h}; \quad V = \frac{P d h_1}{b h_1 + b_1 h}.$$

Jede der Lasten liefert hiernach zu den Kräften H und V ihren bestimmten, unabhängigen Beitrag; man kann daher beim gleichzeitigen Vorhandensein beliebig vieler Lasten den Einfluß jeder einzelnen Last auf H und V besonders ermitteln und braucht die einzelnen Beträge dann nur mit Rücksicht auf ihre Vorzeichen zu summieren. Das eigene Gewicht der Stangen wird ebenso wie jede Last behandelt; man kann daher die Stangen als an und für sich gewichtlos betrachten.

Eine unbelastete und gewichtlos gedachte Gelenkstange hat aber Eigenschaften, die für die Berechnung der Stangenverbindungen sehr wichtig sind (A. Ritter, Technische Mechanik).

An einer solchen Stange müssen die Gelenkdrücke W und D sich allein im Gleichgewichte halten, also gleich und entgegengesetzt sein und in dieselbe Gerade fallen (Fig. 231), d. h. in die gerade Verbindungslinie beider Gelenke. Oder es gilt der Satz:

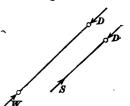


Fig. 231.

Eine gewichtlose unbelastete Gelenkstange kann nur Widerstände

in der Richtung der Verbindungsgeraden ihrer Gelenke ausüben.

Sind die Pfeilspitzen der an beiden Gelenken auftretenden Kräfte einander zugewandt, wie in Fig. 231, so erfährt die Stange Druck. Denken wir uns die Stange an irgend einer Stelle zwischen den Gelenken durchschnitten, so haben wir an der Schnittstelle eine innere Spannkraft S anzubringen, welche die Wirkung des

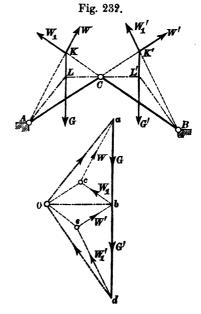
abgeschnittenen Stückes ersetzt; diese Spannkraft ist ebenfalls = D and ihr entgegengesetzt, oder:

Die Spannkraft einer unbelasteten Stange fällt in die Verbindungsgerade der beiden Gelenkpunkte.

Ist nun (Fig. 232) die linke der beiden Stangen mit G belastet, die rechte einstweilen unbelastet (man betrachte G' einstweilen als

nicht vorhanden), so übt letztere einen Gegendruck  $D=W_1$  in der Richtung BC, welche sich mit G im Punkte K schneidet; durch K muß dann auch der Widerstand W des Gelenkes A hindurchgehen, weil an der Stange AC die drei Kräfte: D, G und W sich im Gleichgewichte halten müssen. Nachdem hierdurch die Richtungen von W und  $W_1$  gefunden sind, läßt sich leicht ein Krafteck abc dieser drei Kräfte zeichnen, aus welchen dann die Größen W und  $D=W_1$  abgegriffen werden können.

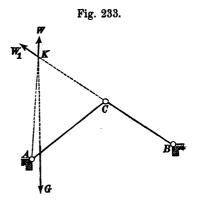
Für eine Belastung der rechten Stange mit G' findet man in entsprechender Weise die zugehörigen Widerstände W' und



 $W_1'$  im Krafteck  $b\,d\,c$ . Sind nun die Lasten G und G' gleichzeitig vorhanden, so treten auch die entsprechenden Widerstände gleichzeitig auf. Der Gesamtwiderstand im Punkt A ist dann die Mittelkraft aus W und W'. Diese ist aber leicht zu finden, wenn man aus  $b\,c$  und  $e\,b$  ein Parallelogramm  $O\,c\,b\,e$  zeichnet; dann finden sich  $O\,c = W'$  und  $c\,a = W$  aneinander gereiht, und ihre geometrische Summe  $O\,a$  ist der Gesamtdruck  $W_a$  in A. Ebenso ist  $d\,O$  der Gesamtdruck  $W_b$  in B. Bringt man diese Gesamtkräfte in A und B an, so schneiden sie G und G' in Punkten L und L', durch welche auch der Gesamtdruck des Gelenkes C hindurch gehen muß, die deshalb mit C in einer Geraden liegen müssen, und zwar muß diese Gerade  $L\,C\,L' \parallel O\,b$  sein, weil  $O\,b$  den Gesamtdruck des Gelenkes C nach Richtung und Größe darstellt.

Rückt die Last G (Fig. 233) dem Widerlagergelenk A näher und näher, so verschiebt sich der Schnittpunkt K der drei Kräfte auf

der Verlängerung von BC mehr und mehr nach oben, und die Richtung von W nähert sich mehr und mehr der Lotrechten. Im Grenzfalle, wo G mit A zusammenfällt, wird W lotrecht, fällt also mit G in dieselbe Richtung; aus diesem Grunde wird die dritte Kraft  $D=W_1$  (nach S. 63) = Null; die Last G wird unmittelbar von dem festen Gelenkpunkt A auf das Widerlager übertragen; im Gelenke C



tritt gar keine Kraft auf, und die Stangenverbindung bleibt ohne innere Spannkräfte. Also:

Eine Last, die an einem Widerlagergelenkpunkt einer Stangenverbindung angreift, bringt in der Stangenverbindung selbst keine Spannkräfte hervor.

Rückt aber die Last G der linken Stange nach C hin (Fig. 234), so nähert sich der Punkt K mehr und mehr dem Punkte C und

fällt mit ihm zusammen, wenn die Last durch C geht. Denkt man sich nun die Stangen durchschnitten, so müssen ihre Spannkräfte beide in die Richtungen AC und BC fallen. Oder:

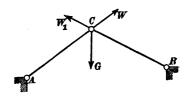


Fig. 234.

Greifen die Lasten nur in dem gemeinsamen Gelenk-

punkt einer Stangenverbindung an, so fallen die Spannkräfte der Stangen in die Verbindungsgeraden der Gelenkpunkte (die Stangenrichtungen).

Die beiden vorstehenden Sätze gelten, wie man leicht erkennt, auch für eine Verbindung von beliebig vielen Stangen.

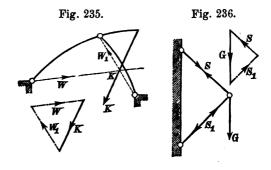
Die Bestimmung der Widerstände der festen Gelenke geschieht in derselben Weise, wie auf S. 197 beschrieben, wenn auch die

einzige vorhandene Last K an der Verlängerung einer Gelenkstange angreift und etwa von der lotrechten Richtung abweicht (Fig. 235).

In Fig. 236 ergeben sich leicht die Spannkräfte S und  $S_1$  der

beiden Gelenkstangen, und zwar wirkt die Spannkraft S auf Zug,  $S_1$  auf Druck.

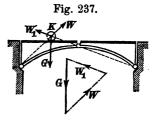
Ist bei einem Bogenträger mit drei Gelenken (Fig. 237) nur die linke Hälfte durch eine Einzellast G belastet, so kann, ohne Rücksicht auf die



Form, die rechte Hälfte wie eine gewichtlose Stange behandelt werden, so dass die Richtungen der Widerlagerdrücke W und  $W_1$ 

in einfacher Weise bestimmt sind und daher die Zeichnung des Kraftecks aus G, W und  $W_1$  ermöglicht ist.

Liegt das gemeinsame Gelenk C oberhalb der Geraden AB, so erfordert eine Last G (Fig. 234, S. 198) schräg aufwärts gerichtete Widerstände W und  $W_1$ ; diese Kräfte haben nach dem



Gesetze der Wechselwirkung das Bestreben, die Widerlager schräg nach unten und auseinander zu drängen; die Stangen erfahren

Druckkräfte. Liegt aber C unterhalb AB (Fig. 238), so verkehren sich alle Verhältnisse ins Entgegengesetzte: die Stangen werden gezogen und suchen die Widerlager nach innen zu ziehen.

Solche innere Zugkräfte, deren Richtung mit der Verbindungsgeraden zweier Gelenke zusammenfällt, können auch durch ein Seil aufgenommen werden.

Fig. 238.

An Stelle der Gelenke hat man sich dann Seilknoten zu denken. Verbindung von mehr als zwei Stangen. Eine Verbindung von zwei Gelenkstangen wie Fig. 238 bildet eine bestimmte Figur. nämlich ein durch drei Seiten bestimmtes Dreieck ABC, weil die festen Punkte A und B die Seite AB festlegen. Eine Verbindung von mehr als zwei Stangen bildet aber eine veränderliche Figur, weil ein Vieleck von mehr als drei Seiten nicht mehr durch die Seiten allein bestimmt ist. Sind die Längen der Stangen, deren Lasten und die Widerlagergelenkpunkte A und B gegeben, so gibt es nur eine gesicherte Gleichgewichtslage, welche sich allmählich von selbst einstellt, wenn man die Stangenverbindung der Wirkung der Lasten überläßt. Diese Ruhelage muß zunächst ermittelt werden, bevor man die Widerstände der Befestigungspunkte und die Spannkräfte der Stangen bestimmen kann.

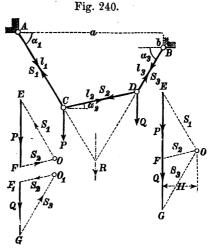
Betrachten wir eine Verbindung von drei Stangen, so sind deren Neigungswinkel  $\alpha_1$ ,  $\alpha_2$ ,  $\alpha_3$  in der Gleichgewichtslage unbekannt. Greifen die Lasten irgendwo zwischen den Gelenkpunkten an, so ist es zur Vereinfachung empfehlenswert, jede Last G durch zwei parallele Seitenkräfte K zu ersetzen, die je in einem Gelenk

Fig. 239.

angreifen. Es ist dann (Fig. 239)  $K_1=G_1\left(1-\frac{c_1}{l_1}\right);~K_1'=G_1\frac{c_1}{l_1}.$ 

Verfährt man mit den Lasten der anderen Stangen ebenso, so werden

die auf die Widerlagergelenke entfallenden Seitenkräfte, z. B.  $K_1$ , unmittelbar von diesen aufgenommen und kommen für das Gleichgewicht der Stangenverbindung nicht weiter in Betracht. An jedem Zwischengelenk aber summieren sich die von links und rechts herrührenden Seitenkräfte geben zusammen die Gelenk-, punktlast. Wir haben dann mit Gelenkpunktlasten nur P und Q zu tun (Fig. 240), und die Spannkräfte der Stäbe



können nach dieser Änderung mit Rücksicht auf den Satz S. 198 als in die Stabrichtungen fallend angesehen werden.

An dem Gelenkbolzen C hängt die Last P; die anschließenden Stäbe üben auf ihn die Kräfte  $S_1$  und  $S_2$  aus, und diese 3 Kräfte müssen sich das Gleichgewicht halten, weil der Bolzen in Ruhe sein soll. Es müssen daher diese Kräfte ein geschlossenes Krafteck OEF bilden (Fig. 240, links). Da nun  $S_1$  mit der Wagerechten den Winkel  $\alpha_1$  bildet, ist  $90^{\circ}-\alpha_1$  der Winkel FEO zwischen  $S_1$  und P; der Winkel bei O im Krafteck beträgt aber für die angenommenen Neigungen  $\alpha_1 + \alpha_2$ , derjenige bei F ist  $90^{\circ}-\alpha_2$ . Mithin wird nach dem Sinus-Satze:

$$P: S_2 = \sin (\alpha_1 + \alpha_2) : \cos \alpha_1.$$

Ebenso müssen die in D angreifenden Kräfte  $S_2$ , Q und  $S_3$  ein geschlossenes Dreieck  $O_1 F_1 G$  bilden, für welches die Gleichung gilt:

$$Q: S_2 = \sin (\alpha_3 - \alpha_2) : \cos \alpha_3.$$

Durch Division ergeben diese beiden Gleichungen:

1) 
$$\frac{\sin{(\alpha_1 + \alpha_2)}}{\sin{(\alpha_3 - \alpha_2)}} \frac{\cos{\alpha_3}}{\cos{\alpha_1}} = \frac{P}{Q}.$$

Dies ist die einzige Beziehung, welche zwischen den gegebenen Lasten und den Gleichgewichts-Neigungen  $\alpha_1$ ,  $\alpha_2$  und  $\alpha_3$  aufgestellt werden kann. Haben aber die Punkte A und B einen gegebenen wagerechten Abstand a, einen Höhenunterschied b, so müssen diese Werte gleich sein der algebraischen Summe der wagerechten bezw. senkrechten Projektionen der Stangen, oder

2) 
$$l_1 \cos \alpha_1 + l_2 \cos \alpha_2 + l_3 \cos \alpha_3 = a;$$

3) 
$$l_1 \sin \alpha_1 - l_2 \sin \alpha_2 - l_3 \sin \alpha_3 = b.$$

Die Gleichungen 1 bis 3 enthalten die Bedingungen für die 3 Unbekannten  $\alpha_1$ ,  $\alpha_2$  und  $\alpha_3$ , sind aber nach diesen Größen nur durch mühsames Probieren auflösbar.

In anderer Gestalt lässt sich die Bedingung für die Gleichgewichtsform der Stangenverbindung aussprechen, wenn man die beiden Kraftecke so zusammenschiebt, dass  $O_1 F_1$  mit OF zusammenfällt. In der so entstehenden Figur (Fig. 240, rechts) bildet EFG den Streckenzug der gegebenen parallelen Lasten, O den Pol. OF, OF, OG die Polstrahlen, und, wenn man nun bedenkt, dass  $OE \parallel AC$ ,  $OF \parallel CD$  und  $OG \parallel DB$  gezeichnet waren, so ist der Linienzug ACDB ein zu den Lasten P und Q gezeichnetes Seileck. Die Polstrahlen des Kraftecks geben Größe und Richtung der Stab-Spannkräfte.

Nach der Bedeutung der Seileckseiten ist DB die Richtungslinie einer Kraft  $S_3$  mit dem Sinne von B nach D, welche die Mittelkraft von  $S_1$  (aufwärts), P und Q darstellt. Lehren über die Zusammensetzung und das Gleichgewicht der Kräfte am starren Körper würden daher die an einem starren Körper wirkenden Kräfte  $S_1$ , P und Q mittels eines Seilecks zu einer Mittelkraft S3 vereinigt werden können; und eine entgegengesetzt gerichtete Kraft  $S_3$  (mit dem Sinne von D nach B) würde den Kräften  $S_1$ , P und Q das Gleichgewicht halten. Stangenverbindung haben wir nun gezeigt, dass sie unter Einwirkung der Stabkräfte  $S_1$  und  $S_3$  und den Gelenkpunktlasten Pund Q im Gleichgewichte sei. Da sich dieselben Kräfte auch am starren Körper im Gleichgewichte halten, so folgt daraus, dass, wenn eine Gelenkverbindung im Gleichgewicht ist, in dem Gleichgewichtsund Kräftezustande nichts geändert wird, wenn man den Gelenken die Beweglichkeit nimmt, also z. B. sie zu einem starren Körper zusammengeschweißt denkt.

Nach der Eigenschaft des Seilecks schneiden sich die Richtungen von  $S_1$  und  $S_3$  auf der Mittelkraft R der Lasten P und Q. Die Spannkräfte  $S_1$ ,  $S_2$  und  $S_3$  haben im Krafteck übereinstimmende wagerechte Projektion, d. h. übereinstimmende wagerechte Seitenkraft H, gemessen durch den rechtwinkligen Abstand des Poles O von der Lastlinie EFG.

Man erkennt leicht, dass das vorstehend für drei Stangen entwickelte im wesentlichen auch für beliebig viele, nur in den Gelenkpunkten belastete Stangen gilt; wir fassen dies unter Annahme reibungsloser Gelenke zu folgenden Sätzen zusammen:

- 1. Die Spannkraft einer jeden Stange fällt mit ihrer Richtung, d. h. mit der Verbindungsgeraden ihrer Gelenke zusammen.
- 2. An jedem Gelenkpunkte halten die Spannkräfte der beiden benachbarten Stangen der Last des Gelenkpunktes das Gleichgewicht.
- 3. Die Gleichgewichtsform der Stangenverbindung ist ein zu den Lasten gezeichnetes Seileck.
- 4. Die Spannkräfte irgend zweier Stangen halten den an den zwischenliegenden Gelenkpunkten angreifenden Lasten das Gleichgewicht (d. h. genügen den Bedingungen für das Gleichgewicht starrer Körper). Die Mittelkraft dieser Lasten geht durch den Schnittpunkt der beiden Spannkräfte.

Die vorstehenden Sätze gelten auch, wenn die Gelenkpunktslasten nicht lotrecht, sondern beliebig gerichtet sind. Werden die Lasten aber ausschließlich durch lotrechte Kräfte gebildet, so ist noch

5. die wagerechte Seitenkraft aller Spannkräfte von der gleichen Größe H.

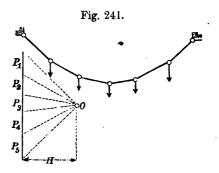
Sind nun n Stangen der Längen  $l_1, l_2 \ldots l_n$  und n-1Gelenklasten gegeben, so kann man damit unendlich viele Gleichgewichtsformen herstellen. Bei drei Stangen ließ sich aus den Gleichgewichtsbedingungen nur eine Gleichung (Gl. 1, S. 201) mit den drei Unbekannten  $\alpha_1$ ,  $\alpha_2$ ,  $\alpha_3$  entwickeln; die beiden anderen Gleichungen waren geometrische Bedingungen. Ähnlich ist es auch bei n Stangen: Sind die Abstände a und b der Befestigungspunkte in wagerechtem und lotrechtem Sinne gegeben, so lassen sich außer den geometrischen Bedingungen nach Art der Gl. 2 u. 3, S. 201, in derselben Weise wie bei drei Stangen noch n-2 Gleichgewichtsbedingungen herleiten. Die Auflösung der Gleichungen nach den unbekannten Winkeln  $\alpha_1, \alpha_2 \dots$  ist aber nur durch umständliches Probieren möglich. Viel leichter wird die Aufgabe, wenn statt der gegenseitigen Lage der Befestigungspunkte zwei andere Stücke gegeben sind. Die Neigungswinkel a sind sofort bestimmt, wenn im Krafteck (Fig. 240, rechts, S. 200) die Lage des Poles gegen den Streckenzug der Lasten gegeben ist. Sind also von irgend einer Spannkraft, z. B. von  $S_1$ , wagerechte und senkrechte Seitenkraft gegeben, so steht  $S_1$  nach Größe und Richtung fest und bestimmt damit den Pol O. Auch die Neigungen zweier Stäbe (d. h. ihrer Spannkräfte) legen den Schnittpunkt der beiden Polstrahlen, d. h. den Pol fest.

In Fig. 240 können die Spannkräfte  $S_1$ ,  $S_2$ ,  $S_3$  der Gelenkstangen ebenso gut durch Seilstücke aufgenommen werden. Ein Seil kann wegen seiner Biegsamkeit nur eine in seine Längenrichtung fallende Zugkraft aufnehmen (vergl. S. 64). Das zwischen zwei Knoten befindliche Stück eines gewichtlosen Seiles hat daher dieselbe Grundeigenschaft wie eine gewichtlose und unbelastete Gelenkstange, jedoch mit der noch hinzutretenden Beschränkung, daß im Seile nur Zugkräfte möglich sind. Das Viereck ACDB ist also die Gleichgewichtsform einer in den Knoten C und D belasteten Seilverbindung. Hiermit erklärt sich die S. 103 (nach dem Vorschlage von G. Lang) eingeführte Bezeichnung Seileck.

Würde im Krafteck (Fig. 240, rechts) der Pol O nach der linken Seite von EG symmetrisch verlegt, so erhielten  $S_1$ ,  $S_2$  und  $S_3$  dieselben Größen wie bisher,  $S_1$  würde dann aber im Seileck von A aus nach rechts ansteigen mit dem Ansteigungswinkel  $\alpha_1$ . gegen die Wagerechte. Das in solcher Weise zu den Lasten P und Q erbaltene Seileck würde eine Figur sein, in welcher die Knickpunkte C und D oberhalb AB liegen;  $S_1$ ,  $S_2$ ,  $S_3$  würden wie in Fig. 234 (S. 198) Druckkräfte werden. Diese Figur ist als Gleichgewichtsform eines Seiles nicht möglich, gleichwohl hat man den Namen Seileck auch für solche Fälle beibehalten, während man eigentlich richtiger Gelenkvieleck sagen würde. Ein solches Gelenkvieleck aus mehr als zwei Gelenkstangen mit hochliegenden Zwischengelenken (nach oben gekehrten Knien), in welchen durch abwärts gerichtete Lasten Druckkräfte entstehen, ist nur in unsicherem Gleichgewichte, kann nur künstlich gehalten werden und gerät bei der geringsten Veränderung in beschleunigte Abwärtsbewegung; in Bezug auf die Ermittelung der Gleichgewichtsform und der entsprechenden Kräfte ist sonst kein Unterschied zwischen der unsicheren und der sicheren Gleichgewichtsform, ebensowenig wie zwischen Fig. 234 und 238.

Beispiel: Sechs Stangen mögen die Längen:  $l_1 = 0.98 \,\mathrm{m}$ ;  $l_2 = 0.87 \,\mathrm{m}$ ;  $l_3 = 0.84 \,\mathrm{m}$ ;  $l_4 = 0.69 \,\mathrm{m}$ ;  $l_5 = 1.01 \,\mathrm{m}$ ;  $l_6 = 0.86 \,\mathrm{m}$  haben; die Lasten seien  $P_1 = 62 \text{ kg}; P_2 = 54 \text{ kg}; P_3 = 44 \text{ kg};$  $P_4 = 60 \text{ kg}$ ;  $P_5 = 62 \text{ kg}$ . Die äußersten Seiten des Seilecks mögen je unter 45° gegen die Wagerechte geneigt sein. Trägt man die Lasten zu einem Streckenzuge zusammen (im Masstabe 1 mm = 10 kg (Fig. 241), so wird die Gesamtlast 282 kg, und weil die äußersten Strahlen davon je um 45° abweichen, so ist der Polabstand  $H = \frac{1}{2} \Sigma P = 141 \text{ kg die}$ wagerechte Kraft, die durch die

ganze Verbindung hindurchgeht. Die



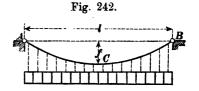
Stäbe sind der Reihe nach parallel den Polstrahlen in den gegebenen Längen (im Masstab 1:100) aufgetragen. Die Längen der Polstrahlen geben die Größe der Spannkräfte der entsprechenden Stäbe.

#### 8. Kettenlinien.

Wird die Zahl der Gelenkstangen immer größer, ihre Länge immer kleiner, so nähert sich die vieleckige Gleichgewichts-Figur mehr und mehr einer stetig gekrümmten Kurve. Immer aber bleiben dieselben Gesetze gültig: namentlich also fällt die Richtung der Spannkraft einer Stange mit der Richtung der Stange zusammen. Werden die einzelnen Stangen unendlich klein, so kommt man zu einer an jeder Stelle völlig biegsamen Kette oder einem biegsamen Faden mit stetiger Belastung. Die Spannkraft an irgend einer Stelle ist dann tangential gerichtet. Die Belastung der einzelnen Bogenteilchen der Kette kann überall gleich oder verschieden sein; danach wird die Gleichgewichtsform der Kette, die Kettenlinie, eine verschiedene.

Wir betrachten zunächst den einfachen Fall, dass die Belastung sich gleichförmig über die wagerechte Projektion der Kette verteile, dass also jede Längeneinheit (jedes Meter) dieser Projektion ein bestimmtes Gewicht q zu tragen habe. Dies können wir uns

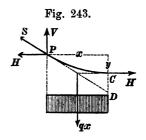
vorstellen durch einen prismatischen Belastungskörper mit dem Gewichte q für die Längeneinheit, der durch lotrechte Schnitte in unendlich viele Scheiben geschnitten ist, welche mittels gewichtloser Fäden oder Hängestangen an der



selbst gewichtlosen Kette aufgehängt sind (Fig. 242).

Im tiefsten Punkte C ist die Kette und daher auch die Spannkraft H dieser Stelle wagerecht gerichtet. Durchschneiden wir die

Kraft H dieser Stelle wagerecht gerichter. Kette nochmals in einem wagerechten Abstand x von C, so ist hier, bei P (Fig. 243) eine Spannkraft S anzubringen. Die Kräfte S und H müssen nun (nach S. 202, 4) den zwischenliegenden Lasten das Gleichgewicht halten. Die Mittelkraft dieser Lasten ist qx mit dem Abstand 1/2x von P. Die Momentengleichung in Bezug auf P liefert dann:  $0 = -Hy + 1/2qx^2$ , also:



1) 
$$y = \frac{q x^2}{2 H}$$
 oder  $x^2 = 2 \left(\frac{H}{q}\right) y$ .

Die Gleichgewichtsform der Kette ist also eine Parabel mit lotrechter Achse und vom Parameter H:q.

Für x = 1/2 l wird y = f, daher nach Gl. 1:

$$f = \frac{q \, l^2}{8 \, H};$$

durch Division beider Gleichungen entsteht dann:

$$\frac{y}{f} = \frac{4 x^2}{l^2}.$$

Bemerkenswert ist auch, dass der Schnitt der 3 Kräfte S, H und qx in der Mitte der Strecke x liegt, so dass wenn man die Richtung der Tangente S bis zur Lotrechten durch C verlängert, der hier entstehende Schnittpunkt D in der Tiese y unter C, d. h in der Tiese y unter y liegt. Dies ist eine kennzeichnende Eigenschaft der Parabel.

Die wagerechte Seitenkraft oder Projektion von S ist =H, die lotrechte  $V=q\,x$ .

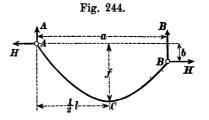
Zu einer gegebenen Last q sind unendlich viele parabolische Kettenlinien möglich, je nachdem H größer oder kleiner gewählt wird. Es läßt sich diese bestimmende Größe aber auf die Pfeilhöhe f der Parabel zurückführen; denn aus Gl. 2 folgt:

$$H = \frac{q l^2}{8 f}.$$

Vergrößerung von H bedingt also Verkleinerung der Pfeilhöhe f, und umgekehrt. Der Parameter  $\frac{H}{q}$  kann also auch  $\frac{l^2}{8f}$  geschrieben werden.

Liegen die Befestigungspunkte A und B in einem wagerechten Abstand a, befindet sich aber B um b tiefer als A, so liegt der tiefste Punkt C nicht in der

befindet sich aber B um b tiefer als A. Mitte (Fig. 244). Seine wagerechte Entfernung  $^1/2\,l$  von A soll berechnet werden. Die Widerstände A und H bei A und die Spannkraft H bei C müssen den Lasten zwischen A und C das Gleichgewicht halten, d. h.  $A=^1/^2ql$ ;  $Hf=^1/^8ql^2$  also  $H=\frac{ql^3}{8f}$ . Entsprechendes gilt für das Stück rechts von C, wo statt  $^1/^2l$  zu setzen ist



$$a-1/2l$$
, statt  $f$  aber  $f-b$ . Mithin  $H=\frac{q}{8} \frac{(2a-l)^2}{f-b}$ .

Die beiden Werte  $\boldsymbol{H}$  sind aber, wie bei jeder lotrecht belasteten Stangenverbindung, dieselben, mithin

$$\frac{(2a-l)^2}{l^2} = \frac{f-b}{f} = 1 - \frac{b}{f}$$
oder  $\frac{b}{f} = 1 - \frac{(2a-l)^2}{l^2} = \frac{-4a^2 + 4al}{l^2}$ .

Weil aber  $f = \frac{ql^2}{8H}$ , so wird  $\frac{b}{f} = \frac{8bH}{ql^2} = \frac{4al - 4a^2}{l^2}$ 
oder  $a(l-a) = \frac{2bH}{q}$ 

und  $l = a + \frac{2b}{a}\frac{H}{q}$  oder  $\frac{l}{2} = \frac{a}{2} + \frac{b}{a}\frac{H}{q}$ .

Wichtig ist auch die Gleichung der parabolischen Kettenlinie, bezogen auf den Anfangspunkt A. Man kann dieselbe entwickeln, indem man von der Gl. 1 (S. 205) ausgeht, kann sie aber ebensoleicht unmittelbar ableiten: Im Punkt A

(Fig. 242 und 245) wirken die Widerstände

 $A = \frac{1}{2}ql$  und  $H = \frac{ql^2}{8f}$ , und in Bezug auf den

Punkt P (Fig. 245) gilt die Momentengleichung: H

$$0 = \frac{1}{2}q lx - Hy - \frac{1}{2}q x^{2}, \text{ oder}$$

$$5) \qquad y = \frac{q}{2H}x(l-x) = \frac{4f}{l^{2}}x(l-x).$$

Dies ist also eine andere Form der Gleichung einer Parabel vom Parameter  $\frac{H}{g} = \frac{l^2}{8 f}$ .

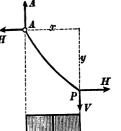


Fig 245.

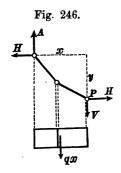
Auch künftig werden wir öfter auf eine Gleichung der Form y = Cx(l-x) kommen; diese bedeutet stets eine Parabel vom Parameter  $\frac{1}{2C}$ , deren Achse parallel der y-Achse ist und welche die in der x-Richtung liegende Sehne l symmetrisch überspannt.

Ist der prismatische Lastkörper nicht an unendlich vielen Stellen, sondern nur an einzelnen Punkten zerschnitten und an diesen Stellen mit der Kette verbunden, so wird die Gleichgewichtsform wieder ein Vieleck, ein Seileck, und zwar ist dies Seileck ein der Parabel (Gl. 5) eingeschriebenes Vieleck. Durchschneidet man (Fig. 246) die Stangenverbindung im Gelenkpunkte P (der Koordinaten x und y), so müssen die hier auftretenden Spannkräfte H und V nebst den in A auftretenden Widerständen  $A = \frac{1}{2}ql$  und H

wieder den zwischenliegenden Lasten qx das Gleichgewicht halten. Es entsteht dann ganz dieselbe Momentengleichung wie auf S. 207,

und für irgend einen Knotenpunkt P gilt die Gl. 5. Liegen nämlich die Befestigungspunkte A und B in gleicher Höhe und in dem Abstand l, so ergibt sich leicht, daß  $A = B = \frac{1}{2}q l$  sein muß, wie auch die Schnittstellen liegen mögen. Also:

Ist eine Stangenverbindung derartig belastet, daß die Last sich gleichförmig über die wagerechte Projektion verteilt, aber nur in einzelnen, den Teillinien der Last



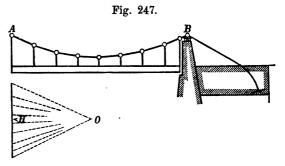
entsprechenden Gelenkpunkten auf die Stangenverbindung übertragen wird, so ist die Gleichgewichtsform ein Sehnenvieleck einer Parabel mit lotrechter

Achse; die wagerechte Spannkraft beträgt  $H = \frac{q l^2}{8 f}$ , wenn l die Spannweite, f die Pfeilhöhe der Parabel.

Sind die einzelnen Teile des prismatischen Lastkörpers nicht an den Schnittstellen, sondern je in der Mitte durch Hängestangen an der Gelenkstangenverbindung befestigt, so bildet die Gleichgewichtsform der letzteren, wie sich aus einer Betrachtung der Fig. 243 ergibt, ein der Parabel umschriebenes Seileck.

Beispiel: Die Kette einer Hängebrücke habe 40 m Spannweite und 5 m

Pfeilhöhe (Fig. 247). Ihre Belastung verteile sich nahezu gleichmässig über die wagerechte Projektion und betrage  $q = 1000 \,\mathrm{kg}$  für das Meter Länge. Die Kettenglieder werden demnach einer Parabel eingeschrieben Die



rechte Spannkraft wird  $H = \frac{q l^2}{8 f} = \frac{1000 \cdot 40 \cdot 40}{8 \cdot 5} = 40000 \text{ kg}$ . Die ganze Spannweite sei durch Hängestangen in acht gleiche Fache von je 5 m Länge

geteilt. Dann hat jede Stange das Gewicht zweier halben Fache = 5000 kg auf die Kette zu übertragen. Da sieben mittlere Knotenpunkte vorhanden sind, so kann man das entsprechende Krafteck zeichnen, indem man die sieben Lasten von je 5000 kg auf einer Lotrechten aufträgt (5000 kg =  $2^{1/3}$  mm). Der Mitte der Lasten gegenüber wählt man in einem Abstand  $H = 40000 \, \text{kg}$ = 20 mm den Pol O. Die Polstrahlen nach den Teilpunkten der Lastlinie geben dann Richtung und Größe der Spannkräfte der einzelnen Stäbe. Ein Punkt P der Kette in einem Abstand x=1/4l von der Mitte hat eine Höhe y über dem Scheitel C (nach Gl. 3):  $y = f \cdot 4x^2$ :  $l^2 = f \cdot \frac{1}{4} = \frac{5}{4}$  m. Würde man die Aufhängepunkte  $\Delta$  und B an den Pfeilern befestigen, so würden diese einen Druck A = B = 1/2 q l nach unten, zugleich aber eine nach innen gerichtete wagerechte Kraft  $H = 40\,000\,\text{kg}$  erfahren. Letzterer würde ein hoher Pfeiler nicht leicht widerstehen können, daher führt man die Kette jenseits dss Pfeilers fort und verankert sie in tiefer liegendem Mauerwerke, so dass der Pfeiler im wesentlichen nur lotrechten Druck erfährt. Die Breite der Pfeiler macht es unmöglich, die Endpunkte A und B als Aufhängepunkte der Last zu benutzen. Die hierdurch veranlaste Abweichung ist auf der rechten Seite, bei B, berücksichtigt (auch im Krafteck), während auf der linken, bei A, der ideelle Zustand beibehalten wurde.

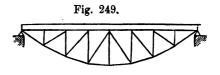
Die nach außen gerichtete Kraft H kann auf die beiden Punkte A und B auch durch eine steife gerade Verbindungsstange ausgeübt werden, welche

diese Kraft H als Druckkraft auszuhalten hat (Fig. 248). Alsdann brauchen die Stützen nur noch lotrecht aufwärts gerichtete Widerstände A und B zu leisten. Die Fahrbahn, welche bei Hängebrücken unter der Kette sich befindet, kann nun auch in die Höhe der Stange AB gelegt

Fig. 248.

und durch Druckstangen auf die Gelenke der Kette gestützt werden. Das Sehnen-Vieleck der Parabel bleibt aber nur im Gleichgewichte, solange die

Last gleichförmig verteilt ist. Kommt eine fremde Last hinzu, so wird die Stangenverbindung eine Verrückung erfahren; es treten Schwankungen ein, die bei Kettenbrücken bekannt sind, und erst nach längerer Zeit kann sich



ein neuer Gleichgewichtszustand bilden, wenn keine fernere Anderung der Last erfolgt. Diese Bewegungen kann man mehr oder weniger verhindern, indem man die einzelnen, in Fig. 249 befindlichen Trapeze durch Einfügung je einer Diagonale oder Strebe zu geometrisch bestimmten Figuren umwandelt. Auf diese Weise entsteht ein parabolischer Fachwerkträger. Dreht man die Figur um eine wagerechte Achse, bis das parabolische Vieleck oberhalb

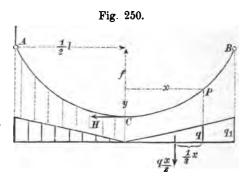
der Sehne AB liegt, so hat man einen parabolischen Träger anderer Art. Die Stäbe des Vielecks erfahren dann Druck, die Sehne AB aber Zug. (S. A. Ritter, Techn. Mechanik, 2. Aufl., S. 244.)

Kettenlinie für gleichförmig veränderte Belastung. Besteht der Belastungskörper aus zwei symmetrischen Keilen (Fig. 250), so

ist die Belastung q der Längeneinheit veränderlich, nämlich

$$q=q_1\frac{x}{\frac{1}{2}l},$$

wenn  $q_1$  die Einheitsbelastung an den äußeren Enden ist. Zwischen Cund P befindet sich dann eine Gesamtlast  $^1/2 qx$  mit dem Hebelarm  $^1/3 x$  in



Bezug auf P. Daraus folgt die Momentengleichung

$$0 = Hy - \frac{qx}{2} \cdot \frac{x}{3}$$

$$6) y = \frac{qx^2}{6H} = \frac{q_1x^3}{3Hl}.$$

Wird wiederum y = f für  $x = \frac{1}{2}l$ , so ergibt sich auch leicht 7)  $y: f = 8x^3: l^3$ .

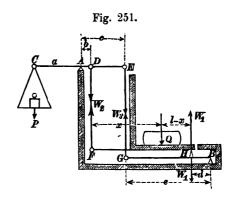
Die Kettenlinie bildet also von C bis B einen Zweig einer kubischen Parabel; CA ist dazu symmetrisch.

# 9. Brücken- und Tafelwagen.

Bei den auf S. 176 behandelten Hebelwagen wurde die Belastung einer Wagschale mittels Hängeketten auf einen bestimmten Punkt des Wagebalkens übertragen. Die dem Aufbringen der Last unter Umständen hinderlichen Ketten lassen sich entbehren, man kann für die Last eine freie Brücke oder Tafel schaffen und durch Anwendung geeigneter Stangenverbindungen erreichen, daß die Last an jede beliebige Stelle der Brücke oder Tafel gelegt werden darf, ohne das Ergebnis der Wägung zu beeinflussen.

Brückeuwage des Strafsburger Mechanikers Quintenz (1821). (Fig. 251). Das Ganze zeigt im Aufriß 2 feste Drehpunkte A und B. Die Stange EG, welche in der Figur den Brückenbalken FH

schneidet, geht in Wirklichkeit ungehindert daran vorbei, weil FH ebenso wie GB im Grundris aus 2 Teilen besteht. Die Last Q wird mittels des Brückenbalkens FH von zwei Kräften  $W_1$  und  $W_2$  im Gleichgewichte gehalten, u. zw. ist  $W_1 = Qx:l;$   $W_2 = Q - Qx:l,$  wenn l die Länge des Balkens ist.  $W_2$  wird mittels der Zugstange FD auf den oberen Hebel



CAE übertragen.  $W_1$  drückt auf den untersten Hebel BG nach unten und wird durch die bei G angreifende Spannkraft  $W_3 = W_1 \frac{d}{e} = \frac{Qx}{l} \frac{d}{e}$  im Gleichgewichte gehalten. Der oberste Hebel trägt bei C die Schale mit dem Gewichtstücke P, welches den Spannkräften  $W_2$  und  $W_3$  das Gleichgewicht halten muß. Also wird

$$Pa = W_2b + W_3c = \left(Q - Q\frac{x}{l}\right)b + \frac{Qx}{l}\frac{d}{e}c,$$

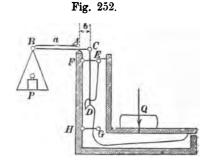
$$Pa = Qb - Q\frac{x}{l}\left(b - \frac{d}{e}c\right).$$

-oder

Damit nun die Lage der Last auf der Brücke gleichgültig sei, muß in der letzten Gleichung das mit x behaftete Glied verschwinden, es muß  $b=\frac{d}{e}c$  oder b:c=d:e sein; d. h. die rechte Seite ADE des obersten Hebels muß mit dem untersten Hebel BHG in gleichem Verhältnisse geteilt sein. Dann wird Pa=Qb, d. h. die Anwendung der Stangen und Hebel bewirkt, daß es für den obersten Hebel so ist, als ob die Last Q unmittelbar bei D hinge. Macht man dann noch a=10b, so hat man eine sog. Dezimalwage.

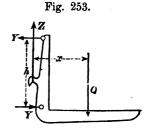
Brückenwage von George (Paris), 1840. Die Brücke (Fig. 252) wird von einem L-förmigen Rahmen getragen. Dieser hängt im

Punkte D mittels einer Hängestange DC an dem oberen Hebel CAB. Damit die durch Q belastete Brücke wegen ihrer seitlichen Unterstützung nicht umkippe, wird sie durch zwei parallele Stäbe EF und GH so geführt, daß sie stets parallel ihrer ursprünglichen Lage bleibt.



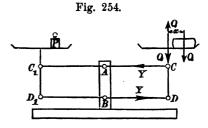
An der Brücke halten sich im Gleichgewichte (Fig. 253) das Gewicht Q, die Kraft Z der Hängestange und die Kräfte Y

und Y der Führungsstangen. Daher muß Yh = Qx sein und, was die Hauptsache, Z = Q, d. h. die Zugstange CD überträgt auf den obersten Hebel einfach die Last Q. Eine Verschiebung der Last beeinflußt nur die Kraft in den Führungsstangen; es wird also wieder Pa = Qb.



Tafelwage. Auf demselben Grundgedanken beruhen die Tafelwagen, welche einfach auf jeden Tisch gestellt werden können und bei denen die Schalen oben frei liegen (Fig. 254). Auch hier kann

die Last an jede Stelle der Schale gelegt werden. In der Linie CD fügt man zwei gleiche entgegengesetzte Kräfte Q hinzu, dann wirkt die abwärts gerichtete dieser beiden niederdrückend auf die parallelen Hebel  $CAC_1$  und  $DBD_1$ , während das außerdem



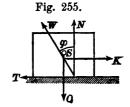
wirkende Moment Qx von den in der Längenrichtung dieser Hebel auftretenden, von den festen Drehpunkten A und B aufzunehmenden Kräften Y aufgehoben wird. Die Wage wirkt also wie eine gleicharmige Balkenwage. Wagerechter Stand bedingt Gleichheit zwischen Last Q und Gewichtstück P.

## 10. Reibung.

#### a) Reibungsziffer, Reibungswinkel und Reibungskegel.

Bisher haben wir die Körper als vollkommen glatt angenommen, wobei sie infolge einfacher Berührung nur Normalkräfte aufeinander ausüben konnten. Wäre dies wirklich der Fall, so würde ein Körper auf wagerechter Ebene, einmal in Bewegung gesetzt, seine Bewegung stets mit derselben Geschwindigkeit fortsetzen. Die Erfahrung lehrt aber, daß dies nicht zutrifft, daß vielmehr eine gewisse Zugkraft K erforderlich ist, um den Körper in gleichförmiger Bewegung zu erhalten. Daraus folgt das Vorhandensein eines Tangential- oder

Reibungswiderstandes T = K (Fig. 255). Die Reibung ist eine Folge der Rauheit der Oberflächen der Körper. Ihre Größe ist in erster Linie von der Größe des Normaldruckes N abhängig, und man nennt das Verhältnis T: N = f (frictio) die Reibungsziffer oder den Reibungs-Koëffizienten.



Ergibt sich, dass zum gleichmäßigen Fortziehen eines 62 kg schweren Schlittens auf einer wagerechten Eisfläche eine wagerechte Zugkraft K=2 kg erforderlich ist, so beträgt die Reibungsziffer  $f=\frac{T}{N}=\frac{K}{Q}=\frac{2}{62}=\frac{1}{31}$ .

Die Reibungsziffer zweier Körper hängt wesentlich von der Beschaffenheit der Berührungsflächen ab, also von der Natur der Körper, von der Art der Bearbeitung und der etwaigen Schmierung.

Daneben hat auch die Geschwindigkeit der Gleitbewegung einen Einflus auf die Reibung. Beim Übergang aus der Ruhe in die Bewegung ist die Reibung am größten und nimmt mit wachsender Geschwindigkeit ab. Auch die Größe des auf die Flächeneinheit kommenden Druckes beeinflust die Reibungsziffer. Bei sehr kleinem Einheitsdruck, also verhältnismäßig großer Berührungsfläche ist die Reibungsziffer groß, mit zunehmendem Einheitsdrucke nimmt sie anfänglich ab, dann aber wieder zu, wie durch Versuche erkannt wurde.

Diese Abhängigkeit von der Geschwindigkeit und der Größe des Einheitsdruckes ist aber nur erst für einige Sonderfälle näher festgestellt. Im allgemeinen müssen wir daher f als nur abhängig von der Beschaffenheit der Berührungsflächen behandeln, und voraussetzen, daß die entsprechende Zahl durch

Versuche, deren Umstände dem zu behandelnden Falle möglichst ähnlich sind, ermittelt wurde.

Gleitet ein Körper auf fester Fläche, so besteht die Einwirkung der letzteren auf den Körper in dem Normalwiderstand N und dem Tangentialwiderstande T=fN. Die Mittelkraft W beider heißt der Gesamtwiderstand der festen Fläche und schließt mit der Normalen N einen Winkel  $\varphi$  ein, für den

$$\operatorname{tg} \varphi = T : N = f N : N = f, \text{ d. h.}$$

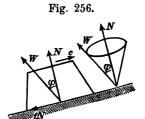
$$\operatorname{tg} \varphi = f.$$

Wegen der festen Beziehung zwischen  $\varphi$  und f nennt man  $\varphi$  den Reibungswinkel.

Der Reibungswiderstand ist stets der Bewegungsrichtung entgegengesetzt. Da nun die Gleitbewegung alle möglichen Richtungen in der Berührungsebene haben kann, so gilt

von fN das Gleiche. Setzt man jede dieser Kräfte fN mit N zusammen (Fig. 256), so bekommt man unendlich viele mögliche Richtungen von W, welche eine Kegelfläche mit der Achse N bilden, den sog. Reibungskegel.

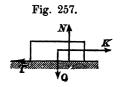
Der Reibungskegel ist eine Kegelfläche, deren Spitze im Angriffspunkte von N, deren Achse



in der Richtungslinie von N liegt und deren Seiten mit der Achse den Reibungswinkel  $\varphi$  einschließen. Gleitet ein Körper auf einer festen Fläche, so leistet diese einen Gesamt-Widerstand W, der in der Mantelfläche des Reibungskegels liegt.

Die von der Rauhigkeit der Körper herrührende Reibung ist nun aber eine Widerstandskraft, welche die relative Gleitbewegung an der Fläche wohl hindern oder verzögern, niemals aber eine

solche hervorbringen oder beschleunigen kann. Liegt z. B. (Fig. 257) ein Körper vom Gewichte  $Q=100^{\,\mathrm{kg}}$  auf wagerechter Ebene und ist f=0.3, so ist zum gleichmäßigen Fortziehen des Körpers (etwa mittels eines wagerecht gespannten Seiles) eine Kraft  $K=30^{\,\mathrm{kg}}$  erforder-



lich. Diese Kräfte werden auch an dem Körper noch im Gleichgewichte sein, wenn die Geschwindigkeit desselben zu Null wird.

Zieht man aber an dem ruhenden Körper mit einer Kraft  $K < 30^{kg}$ , vielleicht nur mit einer Kraft von 10kg, so wird nicht etwa der Reibungswiderstand T das Übergewicht über  $K = 10^{kg}$  gewinnen und den Körper beschleunigt nach links bewegen, denn der Reibungswiderstand einer Fläche kann eine Gleitbewegung an derselben nicht erzeugen, vielmehr wird nun die Widerstandskraft T nur  $= K = 10^{kg}$ werden. Und läst man K zu Null werden, so wird auch T=0.

Ist also ein Körper auf einer festen Fläche in Ruhe, so hat der Reibungswiderstand T im allgemeinen nicht den Wert fN. sondern er ist dann  $\leq fN$ , er tritt nur in derjenigen Größe auf. die erforderlich ist. um den Ruhezustand zu

Dann ist aber auch der Winkel erhalten. zwischen W und N (Fig. 259)  $\beta \leq \varphi$ , und die Richtungslinie von W liegt nicht in der Mantelfläche, sondern im allgemeinen im Inneren des Reibungskegels.

Soll ein Körper sich auf einer festen Ebene gleichmässig und geradlinig verschieben, wobei der Gesamtwiderstand W in der Mantelfläche des Reibungskegels liegt, so müssen die außer W noch vorhandenen Kräfte eine Mittelkraft R liefern, welche mit der Kraft W im Gleichgewicht ist, also ebenfalls in der Mantelfläche Fig. 259. des Reibungskegels liegt (Fig. 258).

Soll der Körper aber auf der festen Fläche in relativer Ruhe verbleiben, wobei W im allgemeinen im Inneren des Reibungskegels liegt (Fig. 259), so muss auch R eine solche Richtung und Lage Liegt beim ruhenden Körper R auf der Mantelfläche des Reibungskegels, so genügen die

Kräfte sowohl der Bedingung für die Ruhe als auch derjenigen für die Bewegung. Es befindet sich dann der Körper im Grenzzustande der Ruhe. Wird er in richtiger Weise (etwa durch einen Stoss) in Bewegung gesetzt, so verbleibt er auch in dieser.

Der Gesamtwiderstand W kann nur innerhalb des Bereiches der Unterstützungsfläche (s. S. 190) angreifen. Durch diese Unterstützungsfläche muß daher auch Rhindurchgehen; andernfalls würde der Körper umkippen (Fig. 260).

Fig. 258.

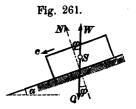


Fig. 260.

#### b) Schiefe Ebene.

Ist die Unterstützungsebene des Körpers unter dem Winkel  $\alpha$  gegen die Wagerechte geneigt und hat man diesen Winkel so geregelt, dass der Körper unter alleiniger Wirkung der Schwere

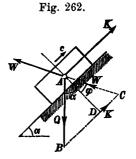
eine gleichmäßige, geradlinige Abwärtsverschiebung ausführt, wobei der Gesamtwiderstand W in der Richtung aufwärts von N um den vollen Reibungswinkel  $\varphi$  abweicht, so muß die einzige bewegende Kraft, die Schwere Q des Körpers, das Entgegengesetzte von W sein (Fig. 261). Da aber die Lotrechte mit der Rechtwinkligen zur schiefen Ebene den Winkel  $\alpha$ 



bildet, so muss  $\alpha=\varphi$  sein. Hierin liegt das einfachste Mittel zur Bestimmung des Reibungswinkels  $\varphi$  durch Versuche: Hebt man die schiefe Ebene allmählich höher an, bis der darauf liegende Körper, durch kleine Stöße in Bewegung gebracht, die Bewegung gleichförmig fortsetzt, so ist der entsprechende Neigungswinkel  $\alpha$  gleich dem Reibungswinkel  $\varphi$  für die beiden Stoffe, aus denen Körper und Bahn bestehen.

Es möge nun auf den Körper vom Gewichte Q noch eine, parallel zur schiefen Ebene, aufwärts gerichtete Zugkraft K wirken

(Fig. 262). K möge sich mit der Richtungslinie von Q im Punkt A schneiden. Soll der Körper gleichförmig auf wärts gezogen werden, so übt die Ebene auf ihn einen Widerstand W aus, der von der (punktierten) Normalen zur Ebene um den vollen Reibungswinkel  $\varphi$  nach unten abweicht. Diese drei Kräfte Q, K und W müssen sich nun im Gleichgewichte halten, d. h. sie müssen sich in dem Punkt A schneiden und außerdem ein geschlossenes Krafteck bilden. Man trage



also AB als Q auf, verlängere W nach unten und ziehe durch B eine Parallele zu K, d. h. zur Ebene, so ist ABC das Krafteck und BC die Größe K. Ohne Reibung wäre W = N = DA, mithin zeigt BD denjenigen Betrag, den K auf reibungsloser Ebene haben

müste (=  $Q \sin \alpha$ ), während DC wegen der Reibung hinzukommt. Da nun der Winkel  $BAC = \alpha + \varphi$ ,  $\angle BCA$  aber  $= 90^{\circ} - \varphi$ , so wird nach dem Sinus-Satze  $K: Q = \sin(\alpha + \varphi) : \sin(90^{\circ} - \varphi)$ , oder:

1) 
$$K: Q = \sin(\alpha + \varphi): \cos \varphi,$$

oder auch, bequemer für die Rechnung:

$$K: Q = \sin \alpha + f \cos \alpha,$$

wenn man  $\sin \varphi : \cos \varphi = \operatorname{tg} \varphi$  mit f vertauscht.

Soll aber der Körper nicht hinauf gezogen, sondern durch die aufwärts gerichtete Kraft, die nun  $K_1$  genannt werden möge, etwa an einem Seile, gleichmässig hinabgelassen werden (Fig. 263), so kehrt sich, wegen der entgegengesetzten Bewegung, die Reibung um, und der Widerstand W rückt in die zum ersten Falle symmetrische Lage, indem er von der Normalen nach oben hin abweicht. Die erforderliche Kraft K<sub>1</sub> wird nun durch das erheblich kleinere Stück  $BC_1$  dargestellt.

$$\angle BAC_1 = \alpha - \varphi; \angle BC_1A = 90^0 + \varphi,$$
mithin

3) 
$$K_1: Q = \sin (\alpha - \varphi) : \sin (90^{\theta} + \varphi)$$
$$= \sin (\alpha - \varphi) : \cos \varphi$$
$$= \sin \alpha - f \cos \alpha.$$

(Für  $\varphi > \alpha$  müste  $K_1$  abwärts gerichtet sein.)

Soll die Kraft K aber den Körper weder hinaufziehen noch hinunterlassen, soll sie vielmehr den in Ruhe befindlichen Körper in Ruhe erhalten, so hat man zur Bestimmung ihrer Größe  $K_2$  zu beachten, daß im Ruhezustande der Widerstand W irgend innerhalb des Reibungskegels, Richtung also hier innerhalb des doppelten Reibungswinkels einnehmen kann (Fig. 264), dass daher

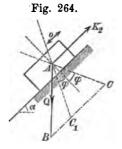


Fig. 263.

der Endpunkt der Kraft  $K_2$  im Krafteck irgendwo zwischen  $C_1$ und C liegen muss, so dass

$$K_2 \ge K_1$$
 und zugleich  $K_2 \le K$ 

sein muß, innerhalb dieser Grenzen aber völlig willkürlich gewählt werden kann.

Man kann diese Ergebnisse zusammenfassen in die einzige Gleichung:

$$\mathbf{K} = \mathbf{Q} (\sin \alpha + f \cos \alpha).$$

Darin bezieht sich das obere Vorzeichen auf die größere, zum Hinaufziehen erforderliche Zugkraft, welche neben der Seitenkraft der Schwere  $(Q \sin \alpha)$  noch die Reibung  $(fQ \cos \alpha)$  überwinden muß; das untere Vorzeichen auf die kleinere, zum Hinablassen erforderliche Kraft. Der Einfluss der entgegengesetzten Bewegung macht sich in der Formel durch Umkehrung der Vorzeichen von arphi oder f geltend, wie auch in allen späteren Fällen sich zeigen wird. Diese beiden Werte K und  $K_1$  bilden dann zugleich die Grenzen für die zum Festhalten erforderliche Kraft  $K_2$ . Wäre nämlich  $K_2 < K_1$ , so würde der Körper beschleunigt abwärts gleiten, wäre  $K_2 > K$ , so würde der Körper eine Beschleunigung nach oben erfahren. Soll weder das Eine noch das Andere erfolgen, so muss  $K_2$  zwischen  $K_1$  und K bleiben, ist im übrigen aber beliebig. Das Ergebnis, dass die für den Ruhezustand erforderliche Kraft zwischen den beiden, für die abwärts, bezw. aufwärts gerichtete Bewegung erforderlichen Kräften bleiben muß, gilt auch für alle anderen im nachstehenden behandelten Fälle dieser Art.

Beispiel: Eine Holzkiste von  $100 \, \text{kg}$  Gewicht soll auf einer unter  $45 \, \text{g}$  geneigten Ebene mittels eines, parallel mit der Ebene gespannten Seiles aufwärts gezogen werden. Die Reibungsziffer betrage unter der Annahme einer hölzernen Bahn f = 0.3, entsprechend einem Reibungswinkel  $\varphi = 17 \, \text{o}$ . Für  $\alpha = 45 \, \text{o}$  ist  $\sin \alpha = \cos \alpha = \sqrt{1/2} = 0.707$ . Mithin (Gl. 5)

$$K = 100 \cdot 0.707 \ (1 \pm 0.3) = 70.7 \pm 21.2 = 91.9 \text{ kg bezw. } 49.5 \text{ kg.}$$

Darin ist 70,7 der zur Überwindung der schräg abwärts gerichteten Seitenkraft der Schwere erforderliche Teil, 21,2 der Reibungswiderstand. Zum Hinaufziehen muß an dem Seile mit 91,9 kg gezogen werden, zum Hinablassen sind nur 49,5 kg erforderlich. Ist die Kiste in Ruhe und soll sie auch mittels des Seiles in Ruhe gehalten werden, so muß man an dem Seile mit einer Kraft  $K_2$  ziehen, welche zwischen 49,5 kg aus, so muß die Reibung mit ihrem vollen Betrage von 21,2 kg dem Arbeiter zu Hülfe kommen, um die Seitenkraft der Schwere von 70,7 kg aufzuheben. Es erfordert diese Verwendung der kleinsten Kraft aber ein gewisses Maß von Außmerksamkeit; denn läßt die ausgeübte Kraft nur im geringsten nach, so erfolgt eine beschleunigte Abwärtsbewegung,

die dann nur mit größerer Anstrengung wieder aufzuheben ist. Übt man an dem Seile, der Sicherheit wegen, eine größere Kraft aus als 49,5 kg, so ändert sich dadurch in dem sichtbaren Ruhezustande nichts; die Reibung tritt dann nur mit entsprechend geringerem Betrag auf. Hat die Spannkraft den Wert 70,7 kg, so kommt gar keine Reibung zur Wirkung, denn diese tritt im Ruhezustande stets nur in derjenigen Größe auf, die nötig ist, um das Gleiten zu verhindern. In diesem Falle würde auch bei völlig glatten Körpern kein Gleiten eintreten. Wächst die Spannkraft über 70,7 kg hinaus, so würde bei glatten Körpern schon ein beschleunigtes Gleiten nach oben eintreten; in Wirklichkeit wird der Überschuss einstweilen noch durch Reibung vernichtet, die nun aber sich nach unten richtet und der Schwere zu Hülfe kommt. Bei 91,9 kg Kraft nimmt diese Reibung den größten möglichen Wert an. Würde der Körper nun durch einen kleinen Anstofs nach oben in Bewegung gesetzt, so würde er diese Bewegung auch fortsetzen. Erschütterungen können den Eingriff der Unebenheiten der Körper zeitweise aufheben oder vermindern und deshalb auch die Reibung teilweise aufheben.

Ist die Zugkraft K nicht parallel der Ebene, sondern weicht Normalen zur Ebene von der einen Winkel  $\beta$  ab (Fig. 265), fährt man im übrigen wie oben. K und Q mögen sich in A schneiden. Von A aus trage man Q = AB auf, zeichne W wie in Fig. 262, ziehe  $BC \parallel K$ , so ist BC = K für die Aufwärtsbewegung. Und zwar ist

Fig. 265.

6) 
$$K: Q = \sin(\alpha + \varphi) : \sin(\beta - \varphi)$$
.

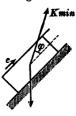
Für gleichförmige Abwärtsbewegung ist wiederum nur  $+ \varphi$ mit —  $\varphi$  und umgekehrt zu vertauschen, also

7) 
$$K_1: Q = \sin(\alpha - \varphi): \sin(\beta + \varphi).$$

Für Ruhezustand ist erforderlich, dass  $K_2$ zwischen  $K_1$  und K verbleibe.

Denkt man sich die Richtung der Zugkraft K, etwa des Zugseiles, veränderlich, andert sich auch die Größe von K. Dreieck ABC (Fig. 265) wird K = BC offenbar am kleinsten, wenn BC rechtwinklig zu ACist, wenn also  $\angle ACB = \beta - \varphi = 90^{\circ}$ , oder  $\beta = 90^{\circ} + \varphi$ ; es weicht dann die Kraft K von

Fig. 266.



der Parallelen zur Ebene um den Reibungswinkel nach oben hin ab, und es ist (Fig. 266)  $K_{min} = Q \sin (\alpha + \varphi)$ . Dagegen wird K=BC (Fig. 265) immer größer, wenn der Winkel ACB abnimmt; ist endlich  $BC\parallel W$ , d. h.  $\beta=\varphi$ , so wird  $K=\infty$ . Für diese Richtung einer zunächst endlich gedachten Kraft K fällt nämlich die Mittelkraft R aus K und Q in das Innere des Reibungskegels, wobei eine gleichförmige Gleitbewegung nicht möglich ist. Nur für  $K=\infty$ 

möglich ist. Nur für  $K = \infty$  würde Q gegen K verschwinden und R mit K und W zusammenfallen.

Ist K wagerecht, so wird  $\beta = 90^{\circ} - \alpha$ . Dieser einfache Fall ist aber ebenso leicht unmittelbar zu entwickeln wie aus Gl. 6. Es ist (Fig. 267)

$$K: Q = \operatorname{tg}(\alpha + \varphi).$$

Schreibt man

8) 
$$K = Q \operatorname{tg} (\alpha \pm \varphi),$$

so hat man in dem kleineren Werte wieder  $K_1$  zum Hinablassen und in K und  $K_1$  die Grenzen für den Ruhezustand.

Halbkugel auf schiefer Ebene. Eine Kugel kann unter alleiniger Einwirkung der Schwere auf schiefer Ebene nicht in Ruhe sein, wohl aber eine Halbkugel (Fig. 268). Der Ge-

samtwiderstand des Berührungspunktes A muß das Gewicht Q aufheben. Der Normalwiderstand N geht stets durch den Mittelpunkt O. Es muß stattfinden  $N = Q \cos \alpha$ , die Reibung  $T = Q \sin \alpha$ , und in Bezug auf O:

$$0 = + Tr - Q \cdot \overline{SO} \sin \vartheta,$$

mithin, weil nach S.158  $\overline{SO} = \frac{3}{8}r$ :

$$\sin\vartheta = \frac{8}{3}\sin\alpha.$$

Die Grenzbedingungen für die Ruhe sind  $\sin \alpha \le 3/8$ , weil  $\vartheta$  höchstens =  $90^{\circ}$  werden kann, und außerdem  $\alpha \le \varphi$ , weil die Halbkugel sonst ins Gleiten kommt.

## c) Bewegung in Keilnuten.

Liegt ein Körper, statt auf wagerechter Ebene, in einer wagerechten keilförmigen Rinne oder Keilnut mit dem Keilwinkel 2δ

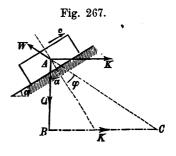


Fig. 268.

(Fig. 269), so müssen in der Querschnittsebene die Gegendrücke N der Seitenflächen dem Gewichte Q das Gleichgewicht halten. Es wird

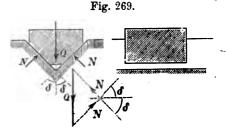
$$Q = 2 N \sin \delta$$
 oder  $2 N = Q : \sin \delta$ .

Der Bewegung setzt sich an jeder Seitenfläche ein Reibungswider-

stand fN entgegen, so dass die in der Längsrichtung der Keilnut erforderliche Zugkraft wird

9) 
$$K = 2fN = \frac{Qf}{\sin \delta}.$$

Das keilartige Einpressen des Körpers in die Nut hat im Vergleiche mit der Bewegung



auf ebener Fläche denselben Einfluß, als wäre die Rauhigkeit verstärkt, die Reibungsziffer f auf f: sin  $\delta$  vergrößert (A. Ritter, Technische Mechanik). Dasselbe Ergebnis findet man auch in anderen Fällen, wenn man aus dem Falle der Bewegung eines Körpers auf einer ebenen oder krummen Fläche zu demjenigen übergeht, wo in die Fläche keilförmige Rinnen eingearbeitet sind, in die der Körper keilartig eingreift und längs deren der Körper gleitet. Man hat dann stets f zu vertauschen mit f: sin  $\delta$ , oder auch den Reibungswinkel  $\varphi$  mit einem größeren Werte  $\psi$ , für den

$$tg \, \psi = \frac{f}{\sin \, \delta} \, ist.$$

Gibt man z. B. der Rinne eine Neigung a gegen die Wagerechte (Fig. 270), so ergibt sich  $Q \cos \alpha$  als diejenige Seitenkraft von Q, welche den Körper in die Keilnut eindrückt. In vorstehender Figur 269 ist dann Q mit  $Q \cos \alpha$  zu vertauschen; daher wird

$$2N = Q \cos \alpha : \sin \delta$$

und der gesamte Reibungswiderstand

$$2fN = Q\cos\alpha \cdot f : \sin\delta.$$

Setzt man diesen Wert =  $Q \sin \alpha$ , so erhält man die Bedingung

gleichförmige Abwärtsbewegung durch die Schwere,  $\operatorname{tg} \alpha = \frac{f}{\sin \delta} = \operatorname{tg} \psi$ , oder  $\alpha = \psi$ . lich

Es ist hierzu nicht erforderlich, dass eine wirkliche Keilnut vorhanden sei; gleiche Wirkungen treten auch auf, wenn der Körper sich etwa zwischen 2 runde Bäume einkeilt, wenn also die von den bewegenden Kräften herrührende Seitenkraft (in der Richtung rechtwinklig zur Bewegung) von 2 Kräften N aufgehoben wird, die mit ihr in einer Ebene liegen, aber nicht parallel sind.

Soll ein runder Körper zwischen den Bäumen einer sog. Streichleiter gleiten (Fig. 271) und ist  $\delta = 45^{\circ}$ der Winkel der Tangente bei A mit der Mittelebene, so wird  $f: \sin \delta = 1.414 f$  als Reibungsziffer einzuführen sein, also wenn, wie in dem Beispiele auf S. 218, f = 0.3 ist, statt dessen 0.42.  $\alpha = 45^{\circ}$  wird dann K = 100.4,  $K_1 = 41^{\circ}$ .

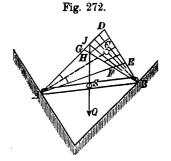


Fig. 271.

#### d) Stabförmiger Körper, von zwei Ebenen gestützt.

Der Körper mit dem Schwerpunkte S möge die Ebenen in den Punkten A und B berühren (Fig. 272), u. zw. sollen A, B und S in einer lotrechten Ebene liegen, zu welcher die beiden Stützebenen rechtwinklig sind. Wären die Körper völlig glatt, so könnten in A und B nur Normaldrücke N und  $N_1$  entstehen, durch deren

Schnittpunkt C die Schwerlinie des Stabes gehen müste, wenn Gleichgewicht bestehen sollte. Bei vorhandener Rauhigkeit aber hat man in und B die Reibungskegel zeichnen; die Mittelschnitte derselben haben ein Viereck DEFG gemeinsam, dies Reibungsviereck Bereich aller möglichen Schnittpunkte der Widerstände W und  $W_1$  der Stützpunkte A und B. Da nun für Gleich-

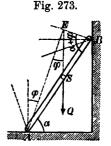


gewicht die Kraft Q mit W und  $W_1$  einen gemeinsamen Schnittpunkt haben muss, so erfordert der Ruhezustand, dass die Schwerlinie des Stabes durch das Viereck hindurchgehen muß. Schneidet die Schwerlinie das Viereck aber vielleicht in HJ, so sind längs dieser Strecke HJ unendlich viele Schnittpunkte von W,  $W_1$  und Q möglich, daher sind auch W und  $W_1$  nach Richtung und Größe unbestimmt. Nur wenn Q durch einen der Grenzpunkte E und G des Vierecks geht, ist die Richtung (und dann auch die Größe) von W und  $W_1$  bestimmt. In diesen Fällen befindet sich der Stab im Grenzzustande der Ruhe; W und  $W_1$  liegen auf den Mantelflächen der Reibungskegel, es treten in A und B die vollen Reibungswerte auf, und bei dem geringsten Anstoß gerät der Stab ins Gleiten.

Ruhestand einer Leiter. Eine Leiter AB von der Länge l stütze sich bei A gegen den Boden und lehne sich bei B gegen eine lotrechte Wand (Fig. 273). Die Reibungsziffern für beide Ebenen seien die gleichen. Der Schwerpunkt S der (etwa belasteten)

Leiter liege um AS = nl von A entfernt. Gesucht wird der Neigungswinkel  $\alpha$ , unter dem die Leiter an der Grenze des Ruhezustandes ist.

Wird die Leiter in gewöhnlicher Weise durch Besteigung belastet, so kann die Schwerlinie nur zwischen A und B hindurchgehen; es interessiert dann von dem Vierecke DEFG der Schnittpunkte (Fig. 272) nur der rechtsseitige Endpunkt E, bis zu dem die Schwerlinie nach rechts sich bewegen darf, wenn noch Ruhe



möglich sein soll. Dreieck AEB ist bei E rechtwinklig, ferner ist  $\angle ASE = 90^{\circ} + \alpha$ ,  $\angle EBA = \alpha + \varphi$ . Daher ist im  $\triangle AES$ :

$$AS:AE = \sin \varphi : \sin (90^{\circ} + \alpha) = \sin \varphi : \cos \alpha;$$

im Dreieck ABE:

$$AB:AE=1:\sin(\alpha+\varphi)$$
,

und aus beiden Gleichungen durch Teilung:

$$AS:AB=nl:l=n=\frac{\sin \varphi \cdot \sin (\alpha + \varphi)}{\cos \alpha}$$

oder  $n \cos \alpha = \sin \varphi (\sin \alpha \cos \varphi + \cos \alpha \sin \varphi)$ .

Teilt man auf beiden Seiten durch  $\cos \alpha \cdot \cos^2 \varphi$  und vertauscht tg  $\varphi$  mit f,  $\cos^2 \varphi$  aber mit  $1:(1+\operatorname{tg}^2\varphi)=1:(1+f^2)$ , so ergibt sich:

$$n(1 + f^2) = f(\lg \alpha + f),$$

oder, nach tg a aufgelöst:

1) 
$$\operatorname{tg} \alpha = n \left( \frac{1}{f} + f \right) - f.$$

Ist also n gegeben, d. h. bekannt, wie weit das Gesamtgewicht der Leiter sich von dem unteren Endpunkt entfernen kann, so steht damit der Winkel  $\alpha$  fest, welcher dem Grenzzustande der Ruhe entspricht.

Soll bei gegebener Schwerpunktslage Sicherheit gegen Gleiten vorhanden sein, so muß die wirkliche Schwerlinie links von E bleiben, oder es muß das nach dem Punkt E berechnete n der Gleichung 1 größer sein als das wirkliche  $n_1$ : d. h. das wirkliche

$$n_1 < \frac{f(\lg \alpha + f)}{1 + f^2}$$
, mithin

2) 
$$\operatorname{tg} \alpha > n_1 \left( \frac{1}{f} + f \right) - f.$$

Man kann vorstehende Aufgabe, die wir hier geometrisch gelöst haben, auch rechnerisch auf Grund der drei Gleichgewichts-Bedingungen behandeln. Im Grenzzustande treten an den Berührungsstellen zu den Normaldrücken Fig. 274. N und  $N_1$  die vollen Reibungen fN und  $fN_1$ 

möglichen Ausgleitens, d. h. nach rechts, bezw. nach oben (Fig. 274). Die Gleichung der wagerechten Kräfte heist:

hinzu, und zwar entgegengesetzt der Richtung des

3) 
$$fN = N_1$$
; die Gleichung der lotrechten Kräfte:

$$4) N+fN_1=Q;$$

die Momentengleichung in Bezug auf A:

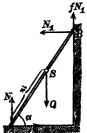
$$0 = Qn l \cos \alpha - N_1 l \sin \alpha - f N_1 l \cos \alpha.$$

Letztere Gleichung gibt:

$$\operatorname{tg} \alpha = \frac{Q n - f N_1}{N_1}.$$

Aus den Gleichungen 3 und 4 ergibt sich aber:

$$N_1 = \frac{Q}{\frac{1}{f} + f},$$



mithin wird wiederum:

$$\operatorname{tg} \alpha = n\left(\frac{1}{f} + f\right) - f.$$

Beispiel: Die Reibungsziffer betrage  $f = 0.4 = \text{tg } 22^{\circ}$ . Ist zunächst die Leiter durch ihr eigenes, in der Mitte angreifendes Gewicht belastet, d. h. n = 1/2, so wird

tg 
$$\alpha = \frac{1}{2} (2.5 + 0.4) - 0.4 = 1.05$$
;  $\alpha = 46^{1/2}$ .

Bis zu diesem Werte dürfte a abnehmen, ohne daß die Leiter ausglitte. Wird sie sodann bestiegen und hat der Besteigende dasselbe Gewicht wie die Leiter, so ist, wenn der Besteigende noch auf der untersten Sprosse steht, annähernd n=1/4, und

$$tg \alpha = \frac{1}{4}(2.5 + 0.4) - 0.4 = 0.325$$
;  $\alpha = 18^{\circ}$ .

Diese geringe Neigung darf aber nicht gewählt werden, wenn die Leiter höher hinauf bestiegen werden soll. Ist sie nämlich bis zur Mitte erstiegen, so ist wieder  $n = \frac{1}{2}$ . Wird sie aber bis oben bestiegen, so ist zuletzt  $n = \frac{3}{4}$  und

$$tg \alpha = \frac{8}{4}(2.5 + 0.4) - 0.4 = 1.78$$
:  $\alpha = 60^{\circ}40'$ .

Will man also eine Leiter bis zur höchsten Sprosse besteigen, so genügt es nicht, den Sicherheitszustand der unbelasteten Leiter zu prüfen; vielmehr ist eine steilere Stellung erforderlich. Zur Vermeidung jeder Gefahr befestige man an der obersten Sprosse ein Seil und hänge sich zur Probe an dieses, um denselben Belastungsfall zu haben wie beim Besteigen der Leiter bis zur höchsten Sprosse. — Ist die hierdurch bedingte steile Lage aus irgend welchen Gründen

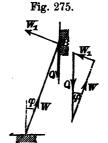
nicht gut ausführbar, so läst sich auch bei kleinerem Winkel  $\alpha$  die Sicherheit erhöhen, wenn ein zweiter Arbeiter seine Füsse entweder vor die Leiter setzt oder sich auf die unterste Sprosse stellt. Letzteres hat einen besseren Erfolg als das Davorstellen, wenn f für die Leiter vielleicht größer ist als für die Sohlen des Arbeiters.

Ist die Leiter sehr leicht, so wird, wenn ein Mensch sie bis oben erstiegen hat, annähernd n=1, mithin

$$\operatorname{tg} \alpha = \frac{1}{f} + f - f = \frac{1}{f}, \text{ d. h. } \alpha = 90^{\circ} - \varphi;$$

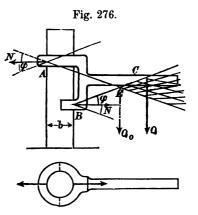
d. h. in diesem Falle darf die Leiter höchstens um den Reibungswinkel von der Lotrechten abweichen (Fig. 275). Für  $\varphi=22^{\,0}$  wäre  $\alpha=68^{\,0}$ . Die Gesamtwiderstände W und  $W_1$  schneiden sich mit Q in B, es wird  $W=Q\cos\varphi$ ;  $W_1=Q\sin\varphi$ .

Reibungs-Hülsen und Reibungs-Ringe zur Aufhängung von Lasten. Soll an einer Säule ohne Vorsprünge eine Last nur durch Reibung sicher aufgehängt werden, so schiebe man (Fig. 276) über



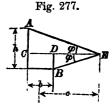
die Säule eine Hülse, welche erstere bei A und B berührt, bei A also einen geschlossenen Ring bildet, während bei B nur ein

Ringsegment erforderlich ist. Zuerst stützt man die Hülse gegen Hinabgleiten, etwa bei A, übt dann an dem seitlichen Arme C einen Druck nach unten aus und bewirkt dadurch ein Drehungsbestreben rechts herum, welchem sich bei A und B gleiche und entgegengesetzte Drücke N der Säule entgegenstellen. Mit Einschluß der Reibung bilden sich nun in A und B Gesamtwiderstände W und  $W_1$  innerhalb der



Reibungskegel der Punkte A und B. Die Mittelschnitte der Reibungskegel treffen sich zunächst im Punkte E; rechts von E aber liegt der Bereich der möglichen Schnittpunkte von W und  $W_1$ . Geht daher das Gesamtgewicht Q der Hülse einschließlich des belasteten Armes durch E, so befindet sich die Hülse im Grenzzustande der Ruhe, weil die Drücke N dann noch so gering sind,

daß nur die volle Reibung fN an beiden Stellen hinreicht, um das Abwärtsgleiten zu verhindern. Geht aber das Gesamtgewicht Q rechts von E vorbei, so ist das Gleichgewicht der Hülse gesichert, und zwar um so mehr, je weiter rechts Q liegt. Ist b die Breite der Säule, h der Höhenabstand der Punkte A und B, c die gesuchte Entfernung des



Punktes E von der Mitte der Säule (Fig. 277), so findet man leicht

$$h = AC + DB = \left(c + \frac{b}{2}\right) \operatorname{tg} \varphi + \left(c - \frac{b}{2}\right) \operatorname{tg} \varphi$$

$$h = 2 c \operatorname{tg} \varphi \quad \operatorname{oder} \quad c = \frac{h}{2f}.$$

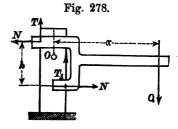
Ist x der Abstand der Gesamtlast Q von der Säulenmitte, so ist die Bedingung für Ruhe:

6) 
$$x \ge c$$
 d. h.  $x \ge \frac{h}{2f}$ .

Die Größe der Last Q ist ganz ohne Einfluß auf die Sicherheit des Gleichgewichts. Wenn also Säule und Hülse nur stark genug sind, so daß sie annähernd als starre Körper gelten können, so kann man an dem Seitenarme jede beliebig große Last aufhängen, weil mit zunehmender Last auch

N und die mögliche Reibung fN zunehmen.

Nennen wir die bei A und B zur Wirkung kommenden Reibungswiderstände T und  $T_1$ , so ist  $T+T_1=Q$ . Wie sich Q auf T und  $T_1$  verteilt, ist unbestimmt. Machen wir die willkürliche An-

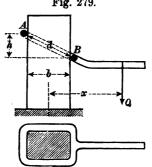


nahme:  $T=T_1={}^{1}/{}_{2}Q$ , so können auch N und  $N_1$  berechnet werden. In Bezug auf O (Fig. 278) ist dann, weil die Momente von T und  $T_1$  sich aufheben, Nh=Qx. Die Summe der größten möglichen Reibungswiderstände wäre

$$2fN = 2fQ\frac{x}{h}$$
 oder, weil  $h = 2fc$  war, 
$$2fN = Qx : c;$$

weil nun von der Reibung nur der Teil Q beansprucht wird, so ist die gesamte mögliche Reibung x:c mal so groß wie die nötige; x:c kann mithin als der Fig. 279. Sicherheitsgrad bezeichnet werden.

Die Reibungshülse kann durch den einfachen Reibungsring (Fig. 279) (mit der gleichen Wirkung) ersetzt werden. Der etwa aus Rundeisen geschmiedete Ring hat eine Weite d, welche größer ist als die Breite der Säule, so daß der Ring erst in schräger Lage die Säule bei A und B berührt. Die Reibungskegel bei



A und B haben dann die gleiche Bedeutung wie in Figur 276.

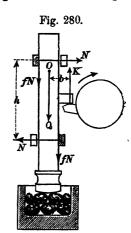
Beispiel: Es sei b=0,2 m die Breite der Säule, d=0,21 m die Weite des Ringes; dann wird  $h=\sqrt{d^2-b^2}=0,064$  m. Ist nun für Holz und Schmiedeeisen (ohne Schmierung) f=0,5, so wird c=0,064:  $(2\cdot0,5)=0,064$  m.

Macht man nun  $x = 0.2 \,\mathrm{m}$ , so ist die Sicherheit gegen Gleiten eine 0.2 : 0.064 = 3 fache (rund). Ist also die Gesamtlast  $Q = 100 \,\mathrm{kg}$ , so ist die gesamte mögliche Reibung  $300 \,\mathrm{kg}$ , von der aber nur  $100 \,\mathrm{kg}$  zur Wirkung kommen. Oder man kann die Sicherheit auch so auffassen, daß die Reibungsziffer  $0.6 \,\mathrm{kg}$  auf  $1/3 \,\mathrm{ihres}$  Wertes sich vermindern darf, bevor Gleiten eintritt. Für  $f = 1/6 \,\mathrm{wurde}$  nämlich  $c = 0.064 \cdot 3 = 0.192$ , d. h. fast = x.

#### e) Gleichförmige Hebung eines Pochstempels.

Ein zum Zerkleinern von Erzen oder dgl. dienender Stempel

vom Gewichte Q (Fig. 280) wird durch den Daumen einer sich drehenden Daumenwelle erfast und mittels einer Kraft K gehoben, bis er, nachdem der Daumen an dem Hubarme vorbeigekommen ist, frei herabfällt und die von ihm getroffenen Körper zerstampft. Da K und Q einen wagerechten Abstand b haben, so würde der Stempel umfallen, wenn er nicht durch Führungen in lotrechter Lage gehalten würde. Von den Führungshölzern werden beim Heben nur die schraffierten wirksam und liefern gleiche Normaldrücke N, denen beim Aufwärtsgleiten abwärts gerichtete



Reibungen fN entsprechen. Es ist nach der Gleichung der lotrechten Kräfte

$$1) K = Q + 2fN.$$

Die Momentengleichung in Bezug auf einen Punkt O der Mitte des Stempels lautet:

$$Nh = Kb.$$

Setzt man den hieraus erhaltenen Wert von N in Gl. 1 ein, so wird

$$K = Q + 2f \frac{Kb}{h}, \text{ mithin}$$

$$K = \frac{Q}{1 - 2f \cdot \frac{b}{h}}.$$

Soll K klein werden, so muß fb:h klein ausfallen; durch Glättung und Schmierung der Reibungsflächen muß hiernach f klein gemacht

Fig. 281.

werden; der Arm b muss so kurz sein, wie die Rücksichten der Ausführung und des Betriebes gestatten, und der Abstand h der Führungen muß möglichst groß sein.

Beispiel: Ist  $Q = 150 \, \text{kg}$ ,  $f = \frac{1}{8}$ , b : h = 1 : 8, so wird  $K = 155 \, \text{kg}$ . In der vorstehenden Ableitung ist angenommen, dass der Daumen auf den Arm b nur eine lotrechte Kraft ausübe; bei der Drehung der Welle gleitet

aber der Daumen unter dem Arme nach rechts fort und wirkt durch Reibung nach rechts ziehend auf den Arm, so dass zu der Kraft K noch die nach rechts wirkende Reibung fik hinzukommt. Dies ändert die sonstigen Kräfte, z. B. wird nun der Druck N an beiden Führungen nicht mehr der gleiche sein können (Fig. 281). Es wird

$$f_1K = N_1 - N;$$

1) 
$$f_1K = N_1 - N;$$
  
2)  $K = Q + f(N + N_1),$ 

and in Bezug auf B:

$$0 = -Q\frac{d}{2} + Nh - fNd - K\left(b - \frac{d}{2}\right) + f_1Kc.$$

Aus Gl. 1 und 2 wird  $N = \frac{K(1 - ff_1) - Q}{2f}$  und sodann aus Gl. 3  $K = \frac{Q}{1 - ff_1 + \frac{d}{h}f^2f_1 - 2\frac{b}{h}f + \frac{2c}{h}ff_1}$ 

$$K = \frac{Q}{1 - ff_1 + \frac{d}{h} f^2 f_1 - 2 \frac{b}{h} f + \frac{2 c}{h} f f}$$

$$K = \frac{Q}{1 - 2 \frac{b}{h} f - ff_1 \left(1 - \frac{d}{h} f - \frac{2 c}{h}\right)}.$$

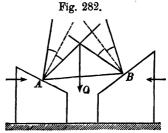
•oder

Q = 150;  $f = f_1 = \frac{1}{8}$ ;  $b : h = \frac{1}{8}$ ;  $d : h = \frac{1}{10}$ ;  $c : h = \frac{1}{2}$  gibt K=155 kg. Der Unterschied gegenüber obiger Vernachlässigung von  $f_1$  ist verschwindend klein.

# f) Festklemmen eines Stabes zwischen zwei Flächen.

Sind die beiden Ebenen, zwischen denen eine Stange sich be-

findet, nicht fest, sondern gehören sie zwei Körpern an, die durch seitliche einander genähert werden Kräfte können (Fig. 282), so ist das Verhalten der Stange gegenüber dem Versuche, die stützenden Körper zusammenzuschieben, ein verschiedenes, ie nachdem

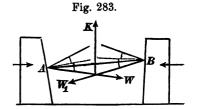


- 1. die Stange nicht in die beiden Reibungskegel der Punkte A und B fällt, oder aber
  - 2. dieser Bedingung genügt.

Im ersten Falle können die Gesamtdrücke W und  $W_1$  in A und B niemals in dieselbe Gerade (nämlich AB) fallen, können also auch niemals sich allein gegenseitig aufheben, sondern es können W und  $W_1$  nur einer dritten Kraft, etwa dem Gewichte Q der Stange das Gleichgewicht halten. Ist nun die Stange sehr leicht, so daß man annähernd Q=0 annehmen darf, so werden auch W und  $W_1$  zu Null, d. h. die Stange übt auf die seitlichen Körper keine nennenswerten Drücke aus. Versucht man, die Körper zusammenzuschieben, so kann die Stange dies nicht hindern, sondern sie weicht nach oben aus, indem sie sich entweder an beiden Stellen A und B oder nur an einer derselben längs der Ebene in die Höhe schiebt. An der Gleitstelle tritt dann der volle Reibungswiderstand auf, so daß dort W oder  $W_1$  die tiefste mögliche Lage einnimmt, falls Q nicht ganz gleich Null angenommen wird.

Liegt aber die Gerade AB innerhalb beider Reibungskegel (Fig. 283), so können W und  $W_1$  auch beide in die Gerade AB

fallen und sich dann allein, ohne Hinzutreten einer dritten Kraft, gegenseitig auf heben. Sie können nun in jeder beliebigen Größe auftreten, wenn die Stange zwischen den Ebenen ruht. Versucht man wieder, die Seitenkörper zusammen-

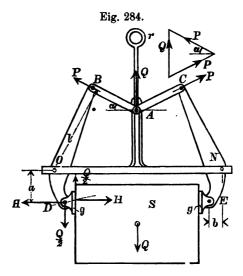


zuschieben, so wird die Stange dies vollständig verhindern. Je stärker man auf die Seitenkörper drückt, desto größer werden auch die Widerstände  $W=W_1$ . Soll die Stange aber, um Raum zu geben, bei A und B nach oben ausweichen, so kommen die tiefsten Richtungen von W und  $W_1$  zur Geltung, und um unter deren Einwirkung eine Bewegung der Stange nach oben zu ermöglichen, muß eine den Kräften W und  $W_1$  das Gleichgewicht haltende, d. h. nach oben gerichtete Kraft K aufgewendet werden, und zwar ist die erforderliche Größe dieser Kraft K abhängig von der Größe der Pressung, die man vorher durch Zusammenschieben der Seitenkörper hervorgebracht hatte. Die Befreiung der Stange erfordert daher unter Umständen ein kräftiges Herausreißen nach oben hin. Der Zustand, in dem sich die Stange in solchem Falle befand, nennt man ein Festklemmen zwischen den Seitenkörpern. Es ist ein solches Festklemmen möglich, wenn A B innerhalb der beiden Reibungskegel liegt.

### g) Steinzange zum Heben und Versetzen schwerer Werksteine.

Soll der Werkstein S (Fig. 284) vom Gewichte Q, der vorläufig auf dem Boden ruhen möge, von der Zange ergriffen werden, so öffnet man diese durch

Hinunterschieben des Kniegelenkes A so weit, dass der Abstand der unten befindlichen Greifer q und q größer ist als die Breite des Steines S. Die Greifer werden nun durch die Hände der Arbeiter an dem Stein in die gewünschte Lage gebracht und durch Emporziehen des Kniegelenkes A mittels einer an dem obersten Ringe r greifenden Winde - Vorrichtung einander



nähert, so daß sie den Stein zwischen sich fassen und auf ihn bei weiterem Emporziehen des Ringes r so große wagerechte Druckkräfte H ausüben, daß die hierdurch erzeugte Reibung genügt, um das Hinabgleiten des Steines aus den Greifern zu verhindern. Der Stein wird daher bei langsamer, gleichmäßiger Bewegung der Winde von den Greifern durch Vermittelung der Reibung getragen werden, also, je nach der Bewegung des an der Winde hängenden Ringes r, sich aufwärts oder abwärts bewegen, oder auch in beliebiger Höhe ruhig hängen bleiben.

Die Bedingungen, unter denen der Stein S von den Greifern g und g mit Sicherheit gehalten wird, ergeben sich in folgender Weise: Jeder Greifer hat auf den Stein vom Gewichte Q außer der wagerechten Druckkraft H noch eine lotrecht aufwärts gerichtete Kraft  $^{1}/_{2}$  Q auszuüben (wie in Fig. 284 an dem linksseitigen Greifer angegeben). Die Mittelkraft beider überträgt sich von der Angriffsfläche des Greifers auf das untere Ende D des Hebels DOB, so daß nach dem Satze der Wechselwirkung (S. 34) bei D auf den

Hebel die nach außen gerichtete Kraft H und die abwärts gerichtete Kraft  $^{1}/_{2}$  Q wirken. Wenn der Stein zwischen den Greifern hängt, so übt die Winde auf das Kniegelenk A eine aufwärts gerichtete Zugkraft aus, die, wenn man das Gewicht der Steinzange gegenüber dem des Werksteines vernachlässigt, von der Größe Q sein muß. Diese Kraft Q zerlegt sich an dem Kniegelenk A derartig in die beiden von den Gelenkstangen AB und AC aufzunehmenden Kräfte P, daß nach dem in der Figur (oben rechts) gezeichneten Krafteck

$$P = \frac{Q}{2\sin\alpha}$$

ist. Diese Kräfte P drücken die oberen Enden B und C der um O und N drehbaren Hebel BOD und CNE auseinander und pressen hierdurch die Greifer an den Stein. Für das Gleichgewicht des Hebels DOB gilt (nach S. 175) in Bezug auf den Drehpunkt O die Momentengleichung

$$0 = -Pl + Ha + \frac{1}{2}Qb \text{ oder wegen Gl. 1:}$$

$$\frac{Q}{2}\left(\frac{l}{\sin \alpha} - b\right) = Ha, \text{ woraus folgt}$$

$$2) \qquad H = \frac{Q}{2}\left(\frac{l}{a\sin \alpha} - \frac{b}{a}\right).$$

Soll nun an den Greifern kein Gleiten eintreten, so muß die zum Festhalten des Steines erforderliche Reibungskraft  $^{1}/2 Q$  kleiner als die größte mögliche Reibung fH, d. h.

3) 
$$f > \frac{1}{\frac{l}{a \sin \alpha} - \frac{b}{a}} \text{ sein.}$$

Beispiel: Ist etwa  $l=1,00 \,\mathrm{m}$ ;  $a=0,33 \,\mathrm{m}$ ;  $b=0,14 \,\mathrm{m}$ ;  $\sin\alpha=0,46$ ; f=0,5, so muss für sicheres Festhalten

$$f > \frac{1}{\frac{1}{0,33 \cdot 0,46} - \frac{0,14}{0,33}} = 0,16$$

sein. Würde also f auf diesen Wert herabsinken, so wäre keine Sicherheit gegen das Herausgleiten des Steines aus den Greifern mehr vorhanden. Kann man aber nach der Beschaffenheit der Berührungsflächen zwischen Stein und Greifer f = 0,5 annehmen, so ist der Grad der Sicherheit gegen das Abgleiten 0,5:0,16 = etwa 3 fach.

### h) Keil in dem Spalt eines Baumstammes oder dergl.

Ein zur Mittelebene symmetrischer Keil vom Keilwinkel  $2\delta$  (Fig. 285) soll durch eine Kraft K gleichmäßig in dem Spalte weitergeschoben werden. Zu den Normaldrücken N kommen die

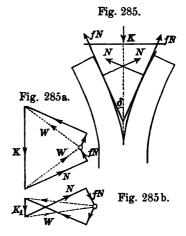
in die Keilflächen fallenden, nach oben gerichteten Reibungswiderstände  $f \cdot N$  hinzu. N schließt den Winkel  $\delta$  mit der Querrichtung des Keiles, fN denselben Winkel mit der Kraft K ein. Für Gleichgewicht wird daher (Fig. 285 a)

$$K = 2N\sin\delta + 2fN\cos\delta$$

1) = 
$$2N(\sin\delta + f\cos\delta)$$
.

Oder auch 
$$K = 2W \sin(\delta + \varphi)$$
  
mit  $W = N : \cos \varphi$ .

Für die rückgängige Bewegung des Keiles gilt (ebenfalls mit dem Sinne der Kraft nach unten, Fig. 285 b)



$$(2) K_1 = 2 N (\sin \delta - f \cos \delta).$$

Die Kraft  $K_2$  aber, welche für den Ruhezustand des Keiles erforderlich ist, muß zwischen den Werten  $K_1$  und K bleiben.

Ist  $\delta > \varphi$ , d. h.  $\operatorname{tg} \delta > f$  oder  $\sin \delta > f \cos \delta$ , so ist  $K_1 > 0$ . In diesem Falle muss auch bei der Aufwärtsbewegung noch eine abwärts gerichtete Kraft  $K_1$  wirken, damit die Bewegung nicht beschleunigt, sondern gleichförmig erfolge. Die Drücke N würden trotz der Reibung noch im stande sein, den Keil beschleunigt aus dem Spalt hinauszutreiben; oder der zu stumpfe Keil wird, sobald die treibende Kraft aufhört, zurückspringen. Für  $\delta < \varphi$  aber wird  $K_1 < 0$ , d. h. in diesem Fall ist ein Herausziehen des Keiles durch eine aufwärts gerichtete Kraft  $(-K_1)$  nötig. Der Keil wird durch die Reibung im Spalte festgehalten; je größer die Seitendrücke N werden, um so fester steckt er; es findet hier also ähnliches statt wie beim Festklemmen einer Stange (S. 230), und zwar erfolgt dies Klemmen ebenfalls, wenn der Keilwinkel  $2\delta < 2\varphi$ . Auch hier können in solchem Falle die Gesamtdrücke W und  $W_1$  der beiden Seitenflächen in dieselbe Linie fallen und sich allein gegenseitig aufheben.

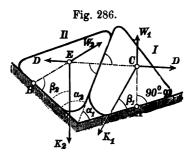
Bei der gewöhnlichen Anwendung des Keiles zum Spalten ist die Wirkung der Triebkraft eine unterbrochene. Wäre nun  $\delta > \varphi$ , so würde der Keil in den Pausen zwischen zwei Schlägen zurückspringen. Damit dies nicht geschehe, muß  $\delta < \varphi$  gemacht werden, der Keil muß sich gegen Zurückspringen festklemmen. Ein solcher Keil heißt selbstsperrend.

#### i) Gleichförmige Bewegung zweier sich berührenden Keile.

Zwei Keile mit den Keilwinkeln  $\alpha_1$  und  $\alpha_2$  (Fig. 286) berühren einander und außerdem zwei Seitenebenen. Auf die Keile wirken

die Kräfte  $K_1$  und  $K_2$ , welche mit den festen Ebenen die Winkel  $\beta_1$  und  $\beta_2$  bilden. Es soll deren Verhältnis ermittelt werden, unter der Annahme, dass Keil I der vorrückende, II der zurückgetriebene sei.

Die rechtsseitige Ebene übt einen Gesamtdruck  $W_1$  aus, der von der Normalen zur Ebene um den Reibungswinkel  $\varphi$  nach rechts



abweichen muß, wenn Keil I nach links vorrückt. Der Angriffspunkt von  $W_1$  ist unbestimmt, werde daher in A willkürlich ange- $W_1$  bildet mit dem oberen Teile der rechtsseitigen nommen. Unterstützungsebene, an der er abwärts gleitet, den spitzen Winkel  $90^{\circ} - \varphi$  (mit dem unteren Teile den stumpfen Winkel  $90^{\circ} + \varphi$ ). Durch den Punkt C, in welchem  $W_1$  die Kraft  $K_1$  schneidet, muß nun auch der gegenseitige Druck D zwischen beiden Keilen hindurchgehen, weil drei sich im Gleichgewichte haltende Kräfte einen gemeinsamen Schnittpunkt haben müssen. D muß die Berührungsebene beider Keile wieder so schneiden, dass der spitze Winkel  $90^{\circ} - \varphi$  im Keile I auf der oberen Seite erscheint. (Die Winkel  $90^{\circ} - \varphi$  sind in der Figur durch kleine Kreisbögen hervorgehoben.) Der gegenseitige Druck D schneidet  $K_2$  im Punkt E, durch welchen auch  $W_2$  hindurchgehen muß. Bei B aber, wo  $W_2$  die linksseitige feste Ebene trifft, muß der spitze Winkel  $90^{\circ} - \varphi$  an der unteren Seite erscheinen, da der Keil II nach oben gleitet. Hiermit stehen die Richtungen der Drücke an den Keilflächen fest: die Lagen ebenfalls, nachdem der Punkt A willkürlich angenommen

war. Trägt man nun die Kraft  $K_1$  nach einem beliebigen Maßstab als GF im Krafteck (Fig. 287) auf, setzt daran die Richtungen von  $W_1$  und D, so schneiden sich beide in O und schließen

das Kräftedreieck GFO, wie es der Gleichgewichtszustand fordert. Zieht man  $OJ \parallel W_2$ ,  $GJ \parallel K_2$ , so stehen nun auch die Kraftgrößen  $W_2$  und  $K_2$  fest. Der Linienzug ACEB, dessen Seiten die Richtungslinien der Drücke an den drei Keilflächen darstellen, heißt die Drucklinie der beiden Keile. Betrachtet man O als den Pol des Kraftecks, so sind die Seiten der Drucklinie den Polstrahlen OF, OG, OJ der Reihe nach parallel. Die Drucklinie bildet daher ein zu den Kräften  $K_1$  und  $K_2$  gezeichnetes Seileck. Die Lage des Poles O und die Größe der Kraft  $K_2$  sind aber an die Bedingung gebunden, daß die Seiten des Seil-

Fig. 287.

ecks, d. h. der Drucklinie, die Keilflächen in ganz bestimmter Weise unter den Winkeln  $90^{\circ} - \varphi$  schneiden müssen. Will man nun die Kräfte aus dem Krafteck auch berechnen, so muß man die Winkel des Kraftecks bestimmen.

Der spitze Winkel zwischen  $K_1$  und  $W_1$  würde  $90^0 - \beta_1$  betragen, wenn  $W_1$  ein Normaldruck wäre. Durch die Abweichung um  $\varphi$  wird jener Winkel noch um dieses Maß kleiner, d. h. es wird  $\angle OFG \triangleq 90^0 - \beta_1 - \varphi = 90^0 - (\beta_1 + \varphi)$ . Die Kräfte D und  $W_1$  würden, wenn sie beide Normaldrücke wären, denselben Winkel  $\alpha_1$  miteinander bilden wie die entsprechenden Keilflächen; durch die Abweichung einer jeden um  $\varphi$  vergrößert sich dieser Winkel um  $2\varphi$ ; daher ist  $\angle FOG = \alpha_1 + 2\varphi$ . Entsprechend findet man  $\angle OJG = 90^0 - (\beta_2 - \varphi)$ ,  $\angle JOG = \alpha_2 - 2\varphi$ . Sonach ergibt sich

$$K_1: D = \sin(\alpha_1 + 2 \varphi) : \cos(\beta_1 + \varphi);$$
  
 $K_2: D = \sin(\alpha_2 - 2 \varphi) : \cos(\beta_2 - \varphi).$ 

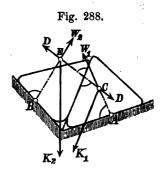
Durch Teilung beider Gleichungen entsteht dann

1) 
$$\frac{K_1}{K_2} = \frac{\sin{(\alpha_1 + 2\varphi)}\cos{(\beta_2 - \varphi)}}{\sin{(\alpha_2 - 2\varphi)}\cos{(\beta_1 + \varphi)}}.$$

Für  $a_2 = 2 \varphi$  würde  $\angle JOG = 0$  und  $K_2 = 0$  oder  $K_1: K_2 = \infty$ , in der Drucklinie würde BE mit CE zusammenfallen, d. h. der

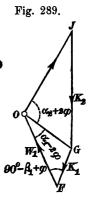
Keil II würde zwischen Keil I und der linksseitigen Ebene sich festklemmen. Die vorausgesetzte Bewegung würde ferner unmöglich werden für  $\beta_1 = 90^{\circ} - \varphi$ , weil dann  $\not\simeq OFG = 0$  werden würde. In diesem Falle würde  $K_1$  schon durch  $W_1$  allein aufgehoben und es entstände durch die Kraft  $K_1$  gar kein Druck D gegen den zweiten Keil, also auch keine Möglichkeit, die Kraft  $K_2$  an dem Keile II zu überwinden.

Soll die Bewegung der Keile umgekehrt erfolgen (Fig. 288), soll Keil II vorrücken und Keil I zurückweichen, so findet man, in einem Punkt A am Keile I beginnend, in gleicher Weise die Drucklinie; ihre einzelnen Seiten verdrehen sich aber, gegenüber der Fig. 286, je um  $2 \varphi$ . Die spitzen Winkel  $90^{\circ} - \varphi$  liegen jetzt durchweg an der anderen Seite als in Fig. 286. Im Krafteck (Fig. 289) wird, wenn  $K_1$ 



zu derselben Größe angenommen wird wie vorher,  $K_2$  nun viel größer als vorher. Das Verhältnis  $K_1\colon K_2$  ergibt sich leicht, wenn man in Gl. 1 durchweg die Vorzeichen von  $\varphi$  umkehrt.

Sind endlich beide Keile in Ruhe, so liegt die Richtung des Widerstandes  $W_1$  irgendwo innerhalb des doppelten Reibungswinkels, und dasselbe gilt für die Richtungen der Drücke D und  $W_2$ . Bei gegebenem  $K_1$  hat nun der Pol O des Kraftecks keine bestimmte Lage mehr, weil  $W_1$  und D innerhalb des doppelten Reibungswinkels jede Richtung haben können; ebenso wird die Richtung von  $W_2$  unbestimmt und damit auch die Größe  $K_2$ . Das Verhältnis  $K_1:K_2$  ist jetzt nur durch die beiden Grenzen bestimmt, welche sich aus den beiden untersuchten Bewegungsfällen ergeben haben und welche man auch leicht rechnerisch findet, indem



man Gl. 1 das eine Mal mit den angegebenen Vorzeichen von  $\varphi$ , das andere Mal mit den entgegengesetzten dieser Zeichen ausrechnet.

Man erkennt hieraus, dass es für die beiden ruhenden Keile im allgemeinen unendlich viele mögliche Drucklinien gibt. Jede derselben ist ein zu den Kräften  $K_2$  und  $K_1$  gezeichnetes Seileck,

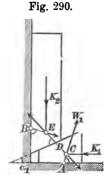
zu dessen Konstruktion der PolO und der Anfangspunkt A der Drucklinie innerhalb gewisser Grenzen beliebig gewählt werden können. Da aber die Seiten der Drucklinie die Richtung und Lage der Drücke an Keilflächen darstellen, so müssen sie zwei einschränkenden Bedingungen genügen:

- 1. darf eine Seite der Drucklinie höchstens um den Reibungswinkel von der Normalen zu der entsprechenden Keilfläche abweichen;
- 2. mus eine Seite der Drucklinie die zugehörige Keilfläche innerhalb des Bereiches der Berührung (vgl. S. 190) schneiden.

Der Ruhezustand der beiden Keile unter Einwirkung gegebener Kräfte  $K_1$  und  $K_2$  ist nur möglich, wenn wenigstens eine, diesen Bedingungen entsprechende, Drucklinie nachweisbar ist.

Beispiel: Ein mit  $K_3$  belasteter Pfosten (Fig. 290) soll mittels des unter-

geschobenen Keiles, an dem eine wagerechte Kraft  $K_1$  wirkt, gleichmäßig in die Höhe gekeilt werden. Die Drucklinie ACEB ergibt sich leicht unter Annahme eines willkürlichen Punktes A. (Die spitzen Winkel  $90^{\circ}-\varphi$  sind in Fig. 290 wieder durch kleine Bögen bezeichnet.) Der Druck D würde, wenn er ein Normaldruck wäre, mit der Lotrechten den Winkel  $\alpha_1$  bilden; wegen der Reibung wird dieser Winkel (s. das Krafteck Fig. 291)  $OGJ=\alpha_1+\varphi$ . Das Verhältnis  $K_1\colon K_2$  ließe sich leicht aus Gl. 1 berechnen, indem man dort die Sonderwerte dieses Falles einsetzte. Wir ziehen aber eine unmittelbare Berechnung vor. Man erkennt leicht, daß  $W_1$  und  $W_2$  von den zueinander rechtwinkligen Gleitebenen nach derselben Seite um  $90^{\circ}-\varphi$ 



abweichen, also ebenfalls zueinander winkelrecht sein müssen. Das Viereck GFOJ ist darnach bei G und bei O rechtwinklig, ist also ein einem Kreise vom Durchmesser FJ eingeschriebenes. Der Winkel  $FOG = \alpha_1 + 2 \varphi$  steht über dem

Bogen  $F\hat{G}$ ; demselben Bogen entspricht aber auch der Umfangswinkel FJG, der somit dieselbe Größe  $\alpha_1 + 2\varphi$  hat. Daher ist

$$K_1: K_2 = \operatorname{tg}(\alpha_1 + 2\varphi).$$

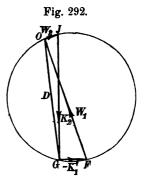
Für  $\alpha_1 + 2 \varphi = 90^{\circ}$  oder  $\alpha_1 = 90^{\circ} - 2 \varphi$  mithin  $\alpha_2 = 2 \varphi$  wird  $K_1: K_2 = \infty$ , oder das Hinaufkeilen unmöglich. Es fallen dann nämlich D und  $W_2$  zusammen und klemmen den als zweiten Keil geltenden Pfosten fest.

Für die entgegengesetzte Bewegung, d. h. für gleichmäßiges Hinablassen des Pfostens, gilt selbstverständlich

$$K_1': K_2 = \operatorname{tg}(\alpha_1 - 2\varphi).$$

Für die meisten Fälle ist es wünschenswert, dass der untere Keil selbstsperrend sei, d. h. dass für den Rückgang  $K_1' < 0$  werde. Mithin muss

 $\alpha_1 < 2\,\varphi$  sein. Für diesen Fall gilt das Krafteck Fig. 292, in welchem die den unteren Keil zurückziehende Kraft  $-K_1' = G\,F$  ist. Der Druck D zwischen beiden Keilen bildet mit der Lotrechten den Winkel  $O\,G\,J = \alpha_1 - \varphi$ . Würde dieser wegen  $\alpha_1 = \varphi$  zu Null, so ergäbe sich D lotrecht und  $O\,J = W_2 = 0$ . Unter diesen Umständen und ebenso für  $\alpha_1 < \varphi$  würde sich der Pfosten beim Zurückziehen des unteren Keiles nicht mehr gegen die lotrechte Wand stützen; er würde vielmehr wegen des lotrechten D, welches dann  $= K_2$  ist, durch den unteren Keil von der Wand abgezogen werden, würde auf dem Keile nicht abwärts gleiten, also



auch nicht sinken; es würde also der Zweck der Rückwärtsbewegung nicht erreicht werden. Für  $\alpha_1 < \varphi$  würde  $W_2$  sogar negativ werden, d. h. es müßte der Pfosten durch eine besondere Kraft gegen die Wand gedrückt werden, um sich nicht von ihr zu entfernen. Daraus folgt, daß der Keilwinkel  $\alpha_1$  zwischen den Werten  $\varphi$  und  $2\varphi$  liegen muß, damit die Vorrichtung ihren Zweck erfülle.

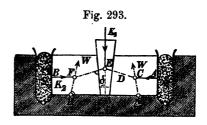
**Zahlenbeispiel:** Bei f = 0, oder  $\varphi = 11^{\circ}$  und  $\alpha_1 = 17^{\circ}$  mit tg  $\alpha_1 = 0$ , wird tg  $(\alpha_1 + 2\varphi) = \text{tg } 39^{\circ} = 0$ , mithin  $K_1 = 0$ ,  $K_2$  für Hinaufkeilen; tg  $(\alpha_1 - 2\varphi) = -\text{tg } (5^{\circ}) = -0$ , dh.  $-K_1' = 0$ ,  $K_2$  für Hinunterlassen.

#### k) Wirkung der Keilpresse.

Dieselben Grundgedanken wie bei zwei Keilen gelten auch, wenn die Zahl der Keile größer ist. Gleiten die Keile, so tritt an jeder Keilfläche ein Druck auf, der von der Normalen zur Keilfläche um den Reibungswinkel abweicht. An jedem Keile halten sich die Flächendrücke mit einer dritten Kraft K im Gleichgewichte, schneiden sich daher in einem Punkte. Bei gleichmässiger Bewegung bilden die drei Kräfte jedes Keiles einen geschlossenen Streckenzug. Das ganze Krafteck aber bildet wiederum ein Krafteck der gegebenen Kräfte K mit seitwärts liegendem Pole. Die Polstrahlen sind die Drücke der Keilflächen; die dazu parallelen Richtungslinien dieser Kräfte bilden daher ein zu den Kräften K gezeichnetes Seileck. Letzteres gilt auch für den Ruhezustand der Keile, nur liegt dann der Pol nicht mehr bestimmt fest, sondern ist innerhalb gewisser Grenzen unbestimmt. Für die Seileckseiten gelten dann dieselben Beschränkungen wie auf S. 237 angegeben.

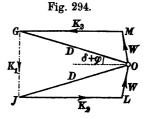
Bei einer Keilpresse etwa zum Auspressen von Öl aus zerstampftem Ölsamen (Fig. 293) wirkt  $K_1$  als Triebkraft auf den mittleren Keil vom Keilwinkel 2  $\delta$ . Durch Niederdrücken dieses

Keiles werden die Seitenkeile auf den wagerechten Gleitslächen auseinander getrieben und dadurch die Ölgutsäcke S, S gepreßt, welche dabei die Gegendrücke  $K_2$  leisten. ACEFB ist die Drucklinie der Keilgruppe. Stellt man die Triebkraft  $K_1$  durch



GJ im Krafteck (Fig. 294) dar, so sind JO und GO die Gegendrücke D der beiden Seitenkeile, welche von der Wagerechten um  $\delta + \varphi$  abweichen. Dadurch ist der Pol O bestimmt. Die Wider-

stände W der wagerechten Gleitflächen bilden mit der Lotrechten die Winkel  $\varphi$  und legen dann mit den Wagerechten durch G und J die Punkte L und M fest, wodurch  $JL = GM = K_2$  bestimmt werden. Es ist dann im Dreieck OGJ:



$$K_1: D = 2 \cdot \sin(\delta + \varphi),$$

im Dreieck OGM aber, weil  $\angle GOM = 90^{\circ} - (\delta + 2 \varphi)$ :

$$K_2: D = \cos(\delta + 2 \varphi) : \cos \varphi$$
,

mithin wird

1) 
$$\frac{K_1}{K_2} = 2 \frac{\sin(\delta + \varphi)\cos\varphi}{\cos(\delta + 2\varphi)}.$$

Weil beim Keile gewöhnlich tg  $\delta$  gegeben ist, kann man vorstehende Formel zur bequemeren Berechnung (ohne trigonometrische Tabellen) umformen, indem man die zusammengesetzten Funktionen auflöst und in Zähler und Nenner mit  $\cos\delta\cdot\cos^2\varphi$  teilt:

$$\frac{K_1}{K_2} = 2 \frac{\operatorname{tg} \delta + f}{1 - f^2 - 2f \operatorname{tg} \delta}.$$

## l) Wirkungsgrad einer Maschine.

Zur Beurteilung der Güte einer Maschine dient die Vergleichung der Arbeiten, welche von der Maschine übertragen bezw. aufgenommen werden. Der Zweck der Keilpresse z. B. besteht in

dem Zusammenpressen des Gutes bei S. Rückt nun jeder Seitenkeil um  $^{1}/_{2}v$  nach außen, während der Treibkeil sich um c abwärts bewegt, so verrichten die auf das Gut übertragenen Kräfte  $K_{2}$  zusammen eine Arbeit  $K_{2}v$ . Dies ist die Nutzarbeit;  $K_{1}c$  ist aber der Arbeitsaufwand. Das Verhältnis beider, nämlich

3) 
$$\eta = \frac{\text{Nutzarbeit}}{\text{Arbeitsaufwand}} = \frac{K_2 v}{K_1 c},$$

nennt man den Wirkungsgrad oder das Güteverhältnis der Maschine.

Das Verhältnis der Geschwindigkeiten v und c findet man aus dem geometrischen Zusammenhange der Maschine (Fig. 295). Rückt der Treibkeil um c abwärts, so drängt er jeden Seitenkeil um  $^{1/2}v$  zur Seite, wo  $^{1/2}v=c$  tg  $\delta$ . Daher ist hier

4) 
$$\eta = \frac{2 K_2}{K_1} \operatorname{tg} \delta.$$

Fig. 295.

Einen anderen Ausdruck kann man noch für den Wirkungsgrad  $\eta$  finden, wenn man sich die Maschine einmal ohne schädliche Reibungswiderstände, als eine ideelle, vollkommene Maschine vorstellt. Nennt man die für eine solche nötige Betriebskraft die ideelle Triebkraft =  $K_0$ , so wird, indem man in Gl. 2 f=0 setzt,



$$\frac{K_0}{K_2} = 2 \operatorname{tg} \delta = \frac{v}{c}.$$

Führt man dies in Gl. 3 ein, so erhält man

6) 
$$\eta = \frac{K_0}{K_1} = \frac{\text{ideelle Triebkraft}}{\text{wirkliche Triebkraft}}.$$

Nach Gl. 5 ist  $K_0 c = K_2 v$ , d. h. bei einer vollkommenen Maschine würden Arbeitsaufwand und Nutzarbeit einander gleich oder der Wirkungsgrad gleich Eins sein. Eine Maschine ist mechanisch um so vollkommener, je mehr sie sich diesem ideellen Zustande nähert. Die Beziehung  $K_0 c = K_2 c$  haben wir nur für den besonderen Fall der Keilpresse bewiesen; sie gilt aber allgemein. Bewegen sich nämlich alle Teile einer Maschine gleichförmig, so findet keine Zunahme des Arbeitsvermögens statt, also muß auch die gesamte Arbeit Null sein. Die inneren Spannkräfte einer vollkommenen Maschine verrichten aber nach S. 168 keine Arbeit. Die Widerstände völlig glatter Flächen, mit denen die einzelnen Maschinenteile ineinander

greifen und aneinander gleiten, ebensowenig. Die Nutzlast wirkt in Bezug auf die Maschine stets der Bewegung ihres Angriffspunktes entgegen, verrichtet daher eine negative Arbeit, die im absoluten Sinne der Arbeit der Triebkraft gleich sein muß. Also

$$v:c=K_0:K_2.$$

Dies ist der schon von Galilei ausgesprochene Satz: "Was an Kraft gewonnen wird, geht an Geschwindigkeit (oder an Weg) verloren." Man kann also den Wirkungsgrad nach Willkür auf Grund der Gl. 3 oder der Gl. 6 berechnen.

Beispiel: Die Reibungsflächen der Keilpresse seien gut geglättet und geschmiert, daher f=0,1. Auch in diesem Fall ist es nützlich, den Treibkeil selbstsperrend anzuordnen; dies ist erfüllt, wenn wir etwa tg  $\delta=1/20$  annehmen. In Gl. 2 werden dann die Größen  $f^2$  und 2f tg  $\delta$  nur je 1/100 und können zur Vereinfachung gegen 1 vernachlässigt werden. Es ist nämlich zu bedenken, daß die Reibungsziffern in Wirklichkeit schwanken werden und selten mit großer Genauigkeit zu schätzen sind. Daher ist in Gl. 2 der Zähler doch kaum auf  $2^{0}/0$  genau zu berechnen, so daß die Vernachlässigung im Nenner durchaus zulässig erscheint. Ähnliches gilt in allen Fällen, in denen Reibungswiderstände eine wichtige Rolle spielen. Dann wird

$$K_1 = 2 \cdot (0,05 + 0,1) \ K_2 = 0,8 \ K_2 \, ; \quad v = 2 \ c \cdot 0,05 = 0,1 \cdot c \, .$$
 Der Wirkungsgrad  $\eta = \frac{K_2 \ v}{K_1 \ c} = \frac{0,1}{0,3} = {}^1/3 \, .$  Es würde ohne Reibung  $K_0 = 2 \ K_3 \ \mathrm{tg} \ \delta = 0,1 \ K_2 \, ,$  also auch  $\eta = \frac{K_0}{K_1} = \frac{0,1 \ K_2}{0,3 \ K_2} = {}^1/3 \, ,$  wie vorstehend.

Bei dieser Maschine wird also von der aufgewandten Arbeit nur ein Drittel nützlich verwertet, während zwei Drittel durch Reibung aufgezehrt werden. Die Keilpresse ist daher eine wenig vollkommene Maschine; Wasserdruckpressen z. B. arbeiten erheblich vorteilhafter. Die soeben besprochene Maschine hat aber Einfachheit und Billigkeit als Vorzüge.

Der Wirkungsgrad dieser Maschine nach Gl. 6 läfst sich, wenn man in Gl. 2 die erwähnte Vereinfachung

$$K_1 = 2 K_2 (\lg \delta + f)$$

einführt, auch schreiben, weil  $K_0 = 2 K_2 \, \mathrm{tg} \, \delta$  ist,

8) 
$$\eta = \frac{\operatorname{tg} \delta}{\operatorname{tg} \delta + f} = \frac{1}{1 + \frac{f}{\operatorname{tg} \delta}}.$$

Vergrößert man tg  $\delta$ , so verkleinert sich der Nenner, mithin wächst  $\eta$ . Macht man z. B. tg  $\delta = f$ , so würde schon  $\eta = 1/2$  werden. Die beabsichtigte Selbstsperrung des Triebkeiles hat also den geringen Wirkungsgrad herbeigeführt. Es läßet sich zeigen, daß bei jeder Maschine, die selbstsperrend

sein soll, der Wirkungsgrad unter 0.5 liegen muß. Man kann nämlich setzen:  $K_1 = K_0 + F$ , wenn F der durch die Reibungswiderstände aufgezehrte Teil der Betriebskraft ist. Nimmt man nun an, daß beim Beginne der rückgängigen Bewegung der Reibungswiderstand annähernd noch dieselbe Größe F behält, so gilt für den Rückgang  $K_1' = K_0 - F$ . Soll also die Maschine selbst sperren, so muß  $K_1' \le 0$ , mithin  $F \ge K_0$  oder

$$K_1 \ge 2 \ K_0$$
 sein, d. h.  $\eta = \frac{K_0}{K_1} \le \frac{1}{2}$ .

#### m) Drucklinie eines Gewölbes.

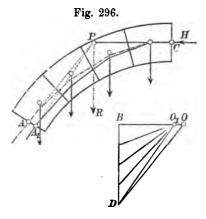
Auf S. 236 wurde gezeigt, dass die Drucklinie einer ruhenden Gruppe von zwei Keilen statisch unbestimmt ist, dass sie ein Seileck zu den Lasten K der Keile sein muß und das ihre Seiten an zwei beschränkende Bedingungen gebunden sind. Auf S. 238 wurde dann weiter erläutert, dass diese Sätze von der Zahl der Keile unabhängig sind, also auch bei beliebig vielen Keilen Gültigkeit behalten.

Die einzelnen Steine eines (ohne Mörtel gedachten) Gewölbbogens sind nun auch keilförmige Körper. Soll ein Gewölbbogen in Ruhe sein können, so muß eine dem Ruhezustand entsprechende Drucklinie nachweisbar sein. Die Drucklinie ist ein zu den Gewichten der Gewölbteile gezeichnetes Seileck. Die einzelnen Seiten desselben dürfen höchstens um den Reibungswinkel von den Normalen zu den Fugen abweichen und müssen die Fugen auch innerhalb des Bereiches der Berührung, d. h. innerhalb des Gewölbbogens schneiden.

Das Gewölbe möge symmetrisch zu einer lotrechten Mittelebene sein (auch bezüglich seiner Belastung). Betrachten wir diese Ebene als eine Schnittebene, so wird in ihr eine wagerechte Druckkraft, der Seitenschub H, wirken. Denn ein schräg gerichteter Scheiteldruck würde an der einen Hälfte nach oben, an der anderen aber zufolge des Gesetzes der Wechselwirkung nach unten gerichtet sein, was jedoch der Symmetrie widerspricht. Teilt man nun den halben Bogen (Fig. 296) durch Fugen in eine beliebige Zahl von Teilen, deren Gewichte  $Q_1$ ,  $Q_2$ , ... durch die Schwerpunkte der Teile hindurchgehen, so ist das Krafteck der Lasten Q leicht gezeichnet, indem man sie nach irgend einem Kräftemaßstab aneinander reiht. Wäre nun der Seitenschub H bekannt, so würde man den Pol Q in dem Abstande H dem oberen Endpunkte der Lasten gegenüber annehmen und hätte damit sämtliche Polstrahlen. Wäre außerdem noch der Angriffspunkt Q des Scheiteldruckes gegeben, so hätte man die Seileckseiten nur den

Polstrahlen der Reihe nach parallel zu ziehen und hätte damit das Seileck, d. h. die Drucklinie des Gewölbes. Den Punkt C wollen

wir in der Mitte der Scheitelfuge annehmen. Die letzte Seite des Seilecks könnte nun vielleicht aus der inneren Leibung des Gewölbes treten; dann erkennt man, dass dieses Seileck eine mögliche Drucklinie nicht ist. Um aber ein flacher verlaufendes Seileck zu erhalten, braucht man nur den Polabstand H zu vergrößern. und zwar kann man leicht H so bestimmen, dass die letzte Seite die Kämpferfuge an einer be-



stimmten Stelle A, etwa in ihrer Mitte, schneide. In Fig. 296 ist nach willkürlicher Annahme des Poles  $O_1$  das Seileck  $CA_1$ gezeichnet. Verlängert man nun die letzte Seite des ersten Seilecks bis zum Schnitte P mit der Richtungslinie von H, so muß nach S. 106 das Gesamtgewicht R der Gewölbhälfte durch P gehen. Die Lage von R ist nur von der Form des Gewölbes abhängig, nicht aber von der willkürlich angenommenen Lage des Poles O. Für ein größeres H und für ein wiederum durch C gehendes Seileck muß daher die letzte Seite ebenfalls durch P gehen. man also PA, so ist dies die Richtung der letzten Seite durch den gewünschten Punkt A. Eine Parallele zu AP durch Dbestimmt den neuen Pol O, und OB ist nun der Scheitelschub, welcher einem durch C und A gehenden Seileck entspricht. Dass die Seiten des Seilecks von den Normalen zu den Fugen nicht zu viel abweichen, läst sich ja nötigenfalls durch Änderung der Fugenrichtung leicht erreichen. Wichtiger ist, dass die Drucklinie

überall im Gewölbbogen verbleiben muß. Nur wenn sich eine solche Drucklinie finden läst, ist der Ruhezustand möglich.

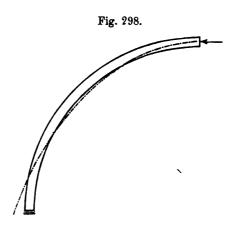
Wie schon gesagt, hat man, wenn das erste Seileck die innere Wölbfläche schneidet, H zu vergrößern, oder C nach oben zu verschieben, und umgekehrt. In Fig. 297 sind 2 vorläufige Seilecke

Fig. 297.

.16\*

eingezeichnet, die den Bedingungen einer Drucklinie noch nicht entsprechen, aber durch Veränderung von H zu möglichen Drucklinien umgewandelt werden können. Schneidet jedoch ein Seileck

(Fig. 298) erst die innere Wölblinie, kehrt dann durch dieselbe in das Gewölbe zurück und geht bei weiterem Verlaufe noch einmal durch die äußere Wölblinie, so ist Gleichgewicht unmöglich. Denn jede Änderung von H und C, die an der einen Stelle das Hinaustreten beseitigen könnte, müßte das Hinaustreten an der anderen Stelle noch verstärken; in solchem



Falle kann nur eine Vergrößerung der Gewölbstärke oder eine Änderung der Gewölbform zum Ziele führen.

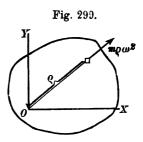
Auf diese Andeutungen über die Drucklinie in Gewölben müssen wir uns hier beschränken. Die wirkliche Lage des Scheitelschubes H und des Widerlagerdrucks W folgt aus dem elastischen Verhalten der Gewölbsteine und findet sich besprochen in Keck, Vorträge über Elastizitätslehre, S. 330 u. ff. Hat man aber die richtige Drucklinie gefunden, so geben die Polstrahlen des Kraftecks die Größe der Druckkräfte in den einzelnen Fugen an.

# 11. Wirkung der Reibung bei gleichmäßig sich drehenden Körpern.

Ein starrer Körper, der sich gleichförmig um eine feste Achsedreht, ist nicht im Gleichgewichte, weil die einzelnen Massenteilchen nicht geradlinige, sondern kreisförmige Bewegungen ausführen. Die Bedingungen für eine gleichförmige Drehbewegung lassen sich aber mit Hülfe des Satzes auf S. 164 aufstellen, wonach die Ergänzungskräfte den an dem Körper wirkenden äußeren Kräften das Gleichgewicht halten müssen.

Dreht sich der Körper mit der Winkelgeschwindigkeit  $\omega$  um die Achse O rechtwinklig zur Bildebene (Fig. 299), so erfährt ein

Massenteilchen m im Abstande  $\varrho$  von der Achse nach S. 88, Gl. 1 die Zentripetalbeschleunigung  $\varrho\,\omega^2$ ; daher müssen sämtliche Zentrifugalkräfte  $m\,\varrho\,\omega^2$  den äußeren Kräften das Gleichgewicht halten. Die äußeren Kräfte bestehen in bewegenden Kräften K, in den Normalwiderständen N der festen Achse O und in Reibungswiderständen der Lager der Drehachse. Da die Zentrifugalkräfte sämtlich durch



O hindurchgehen, so haben sie in Bezug auf die Achse das Moment Null. Gleiches muß also auch für die äußeren Kräfte gelten. Da nun die Normalwiderstände N ebenfalls durch O gehen, so ergibt sich als wesentliche Bedingung der gleichförmigen Drehung, daß die Momentensumme der bewegenden Kräfte K und der Reibungswiderstände  $f \cdot N$  in Bezug auf O zusammen Null betrage.

Die Normalwiderstände N der festen Drehachse sind im allgemeinen von der Massenverteilung des Körpers abhängig und werden erst weiter unten eingehend bestimmt werden. Jetzt wollen wir nur solche Fälle betrachten, bei denen die Masse derartig symmetrisch um die Achse verteilt ist, daß jedem Massenteilchen im Abstande  $\varrho$  auf der einen Seite der Achse ein gleiches Massenteilchen in demselben Abstand auf der anderen Seite entspricht, so daß die Zentrifugalkräfte dieser Massenteilchen sich gegenseitig aufheben, weshalb dann auch die sämtlichen äußeren Kräfte sich vollständig aufheben, d. h. den Gleichgewichtsbedingungen genügen müssen. Aus diesem Grunde können die Fälle der gleichmäßigen Drehung solcher Körper mit symmetrischer Massenverteilung schon an dieser Stelle, d. h. in der Gleichgewichtslehre, behandelt werden.

In den obigen Bedingungen wird nichts geändert, wenn zu der Drehung um die Achse O noch eine geradlinige und gleichmäßige Verschiebung des Körpers mit seiner Achse kommt. Denn eine derartige Verschiebung bedingt keine Beschleunigung, also auch keine Ergänzungskräfte.

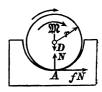
#### a) Reibungsmoment eines Tragzapfens.

Eine Achse sei rechtwinklig zu ihrer Mittellinie belastet und stütze sich mittels zylindrischer Zapfen auf zylindrische Lager, welche die Zapfen mit geringem Spielraum umschließen. Auf einen Zapfen vom Halbmesser r komme ein durch die Zapfenmitte gehender Zapfendruck D, der rechtwinklig zur Längenachse des Zapfens steht, so daß die Zylinderfläche des Zapfens den Druck bekommt. Ein derartiger Zapfen heißt Tragzapfen.

Wir betrachten zuerst einen sog. eingelaufenen Tragzapfen (Fig. 300), der mit merklichem Spielraum im Lager liegt und bei

dem man annäherungsweise annehmen kann, die Berührung mit dem Lager finde nicht in einer größeren Fläche, sondern in einer Seite des Zylinders (in der Figur durch einen Punkt dargestellt) statt. Im Ruhezustande würde A die Berührungsstelle sein. Dreht sich nun aber der Zapfen rechts herum, so gleitet bei A der Zapfen nach links; dem setzt sich der Wider-

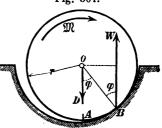
Fig. 300.



stand fN nach rechts entgegen. Das Moment  $fN\cdot r$  macht ein treibendes, die Reibung überwindendes Kräftepaar  $\mathfrak{M}=fNr$  im Sinne der Drehung nötig. Aber auch nach Anbringung desselben ist den

Gleichgewichtsbedingungen noch nicht genügt, weil die Summe der wagerechten Kräfte nicht Null ist. Es kann daher im Zustande der Bewegung die Berührung nicht in A stattfinden; vielmehr verschiebt sich die Berührungsstelle nach rechts bis zu einem Punkte B (Fig. 301), der so liegt, daß dort die Mittelkraft W aus N und fN lotrecht gerichtet

Fig. 301.



ist. Dies findet statt für  $\angle AOB = \varphi$ . Es wird dann W = D, und beide bilden ein dem treibenden Moment  $\mathfrak{M}$  widerstehendes Kräftepaar  $Dr\sin\varphi = \mathfrak{M}$ .

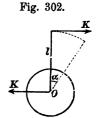
Nun ist  $\operatorname{tg} \varphi = f$ ; weil aber bei geschmierten Drehzapfen, wie wir sie hier voraussetzen, fast stets  $f \leq 0$ ,1 also  $\varphi \leq 6^{\circ}$  und  $\cos \varphi \geq 0.995$ , so ist bei derartig kleinen Winkeln  $\sin \varphi$  mit

Unmittel-

genügender Annäherung gleich tg $\varphi = f$  zu setzen, so dass das für die gleichförmige Drehung erforderliche Kraftmoment, welches zugleich das Reibungsmoment bezeichnet, gesetzt werden darf

1) 
$$\mathfrak{M} = \mathbf{D} \mathbf{f} \mathbf{r}.$$

Es entspricht z. B. f = 0.1 dem Werte  $\sin \varphi = 0.0995$ . bar ergibt sich Gl. 1 aus Fig. 300, wenn man daselbst, ohne Rücksicht auf den kleinen Verstoß gegen die Gleichung der wagerechten Kräfte, N = D also fN = fD einführt. Man denke sich also, um die Gl. 1 leicht zu merken, dass der Zapfendruck D eine Reibung fD und mit dem Hebelarm r ein Moment Dfrbedingt. Bringt man das Moment M auf die Form Kl (Fig. 302), legt die eine Kraft durch O, die andere ans Ende eines Halbmessers l und läst sich die Kräfte K bei der Drehung stets mitdrehen, so verrichtet die in O angreifende Kraft keine Arbeit: die am Endpunkte des Armes l aber während eines Drehungswinkels a die Arbeit  $Kl\alpha = \mathfrak{M}\alpha$ . Es ist also die Arbeit eines



Kräftepaares gleich seinem Momente mal dem Drehungswinkel. Die Zapfenreibung erfordert hiernach einen sekundlichen Arbeitsaufwand =  $\mathfrak{M} \omega = D f r \omega$ .

Als Arbeitseinheit dient das Meterkilogramm. Bei regelmäßig umlaufenden Maschinen pflegt man aber die in jeder Sekunde geleistete Arbeit in mkg als Leistung, Arbeitsstärke oder Effekt = E zu bezeichnen. Die Einheit der Leistung ist das Sekunden-Meterkilogramm = 1 mkg/sek. Als größere Einheit hat man die Pferdestärke  $(PS) = 75 \, \frac{\text{mkg}}{\text{sek}}$  eingeführt.

Ein lebendes Pferd leistet freilich eine sekundliche Arbeit von 75 mkg nur unter günstigen Umständen. Als aber James Watt i, J. 1782 Dampfmaschinen für Londoner Brauereien zu bauen hatte, kam es darauf an, diejenige Arbeit, die bisher von Pferden am Göpel verrichtet wurde, durch die Maschine leisten zu lassen. Watt mass daher die von den Pferden geleistete Arbeit, und eine Dampfmaschine, welche die Leistung von 10 Pferden ersetzte, wurde eine 10 pferdige Maschine genannt. Die dort benutzten Pferde waren sehr kräftig; auch wird Watt der Sicherheit wegen, damit seine Dampfmaschine keinen Misserfolg erleide, die Arbeit der Pferde eher zu hoch als zu niedrig geschätzt haben. Auf diese Weise hat sich als Maschinen-Pferdestärke die Leistung von 75 mkg/sek eingebürgert. Es wird dafür auch nicht selten

Pferde kraft gesagt; doch ist diese Bezeichnung wenig passend, da man mit dem Ausdrucke doch nicht eine Kraft, sondern eine sekundliche Arbeit bezeichnen will.

Für die Anzahl der Pferdestärken wird das Zeichen N benutzt, während n die Zahl der Um drehungen in einer Minute bedeutet.

Beispiel: Ein Wasserrad wiege einschl. des darin befindlichen Wassers  $10\,000\,{\rm kg}$ ; seine Achse werde durch zwei Zapfen von  $r=0,1\,{\rm m}$  Halbmesser getragen und mache 10 Umdrehungen in der Minute. Nimmt man  $f=0,1\,{\rm an}$ , so ist, da die Summe der Zapfendrücke an beiden Tragzapfen  $10\,000\,{\rm kg}$  beträgt, das gesamte Reibungsmoment  $\mathfrak{M}=10\,000\cdot0,1\cdot0,1=100\,{\rm mkg}$ . Bei n=10 ist der Drehungswinkel in der Minute  $20\,\pi$ , in der Sekunde also  $20\,\pi:60=1/s\,\pi=1,047$ , daher die sekundl. Reibungsarbeit  $E=104\,\tau\,{\rm mkg/sek}$  und der Reibungsverlust in Pferdestärken  $N=104,7:75=1,396\,PS$ .

Bei einem neuen Tragzapfen findet die Berührung längs einer größeren, dem Mittelpunktswinkel  $2\alpha$  entsprechenden Fläche ACB

statt (Fig. 303). Ist l die Länge des Zapfens und p der Druck für die Flächeneinheit an irgend einer Stelle, so kommt auf ein Teilchen  $l \cdot ds$  der Zylinderfläche die Druckkraft  $p \cdot l \cdot ds$  und die Reibung  $f \cdot p \cdot l \cdot ds$ . Das treibende Moment muß dann betragen

$$\mathfrak{M} = f l r \int p \cdot ds.$$

Macht man die Voraussetzung, dass der Zapfen überall gleich stark anliege, so wird

Fig. 303.

$$\mathfrak{M} = fp \, lr \int ds = 2 \, f \, p \, l \, r^2 \, \alpha.$$

Nun muss aber

$$D = p l \int \cos \vartheta \cdot ds$$

sein, oder, weil  $d s \cos \vartheta = d x$ 

$$D = p \, l \int dx.$$

Darin ist  $\int dx$  die Sehne  $AB = 2r \sin \alpha$ , mithin

$$D=2\,p\,l\,r\sin\alpha.$$

Dann wird  $\frac{\mathfrak{M}}{D} = fr \frac{\alpha}{\sin \alpha}$  oder

2) 
$$\mathfrak{M} = fDr \frac{\alpha}{\sin \alpha} = fDr \frac{\widehat{AB}}{A\overline{B}}.$$

Hiernach ist beim neuen Zapfen, weil wegen des teilweise keilförmigen Einpressens die Summe der Normaldrücke größer ist als D,

auch die Reibung größer als beim eingelaufenen Zapfen, u. zw. im Verhältnisse des Bogens zur Sehne.

$$\alpha = 0$$
 gibt wieder  $\mathfrak{M} = Dfr$ ;  
 $\alpha = \frac{1}{2}\pi$  aber  $\mathfrak{M} = Dfr^{\frac{1}{2}}\pi = 1,57 Dfr$ .

Die Reibungswiderstände geben, nach senkrechter oder wagerechter Richtung zerlegt, Seitenkräfte, die in senkrechter Richtung die Summe Null liefern, in wagerechter Richtung aber nicht. Daher besteht bei vorstehender Ableitung ein ähnlicher kleiner Verstoß gegen die Gleichung der wagerechten Kräfte wie bei Benutzung der Fig. 300 zur schnellen Entwickelung der Gl. 1.

Eine diesen Umstand berücksichtigende schärfere aber umständlichere Behandlung ergibt wiederum, daß für f eigentlich sin  $\varphi$  gesetzt werden müßte.

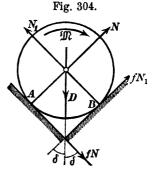
Beim Tragzapfen im Keillager (Fig. 304) werden die beiden Reibungswiderstände fN und  $fN_1$  wiederum die Zapfen einseitig nach rechts hinüber drücken, infolgedessen  $N_1$  etwas > N sein muß. Nimmt man aber trotzdem an-

näherungsweise  $N_1 = N$  an, so ergibt sich in lotrechter Richtung

$$2 N \sin \delta = D$$
, also  $2 N = \frac{D}{\sin \delta}$ ,

3) und 
$$\mathfrak{M} = 2fNr = \frac{Dfr}{\sin \delta}$$
.

Der Ersatz des eingelaufenen zylindrischen Lagers (Gl. 1) durch das Keillager bewirkt daher, daß wegen des keilförmigen Einpressens M größer wird als beim zylin-



drischen Lager, dass man aber, wie bei der Bewegung in Keilnuten (S. 221), statt f einfach den größeren Wert  $f:\sin\delta$  zu setzen hat  $\delta=30^{\circ}$  gibt  $f:\sin\delta=2f$ , entsprechend einer Verdoppelung des Reibungsmoments.

Mit Rücksicht auf den Unterschied zwischen N und  $N_1$  muß stattfinden

- 1. in wagerechter Richtung  $0 = N\cos \delta + f N\sin \delta N_1\cos \delta + f N_1\sin \delta;$
- 2. in senkrechter Richtung  $D = N \sin \delta f N \cos \delta + N_1 \sin \delta + f N_1 \cos \delta;$
- 3.  $\mathfrak{M} = f(N + N_1) r$ .

Die ersten beiden Gleichungen lassen sich ordnen:

$$0 = -(N_1 - N)\cos \delta + (N + N_1)f\sin \delta$$
  

$$D = (N_1 - N)f\cos \delta + (N + N_1)\sin \delta.$$

Multipliziert man die erstere dieser Gleichungen mit f, so entsteht durch Zusammenzählen

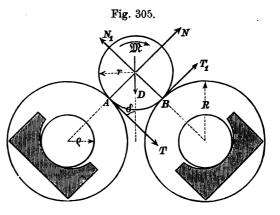
$$D=(N+N_1)\,(1+f^2)\sin\delta$$
 und nach Gl. 3 
$$\mathfrak{M}=\frac{D\,f\,r}{\sin\delta\,(1+f^2)}\,.$$
 Darin ist  $\frac{f}{1+f^2}=\frac{\mathrm{tg}\,\varphi}{\sec^2\varphi}=\frac{\sin\varphi}{\cos\varphi}\,\cos^2\varphi=\sin\varphi\cos\varphi=\frac{\sin2\varphi}{2}$  also  $\mathfrak{M}=D\,r\,\frac{\sin2\,\varphi}{2\,\sin\delta}\,.$ 

Bei f = 0, kann aber  $f^2$  gegen 1 vernachlässigt oder sin  $2 \varphi = 2$  tg  $\varphi$  gesetzt werden, so dass dann wieder als Annäherung Gleichung 3 entsteht.

Dem Nachteile der Vergrößerung der Reibung durch Benutzung des Keillagers steht der Vorteil gegenüber, daß der Zapfen im Keillager auch nach erfolgter Abnutzung immer noch eine genaue Führung findet, während er im eingelaufenen zylindrischen Lager um das Maß des Spielraumes hin und her schleudern kann. Das Keillager wird deshalb besonders bei Meß-Instrumenten angewandt, bei denen es mehr auf sichere Lage als auf Kleinheit der Reibung ankommt.

Die Lagerung auf Reibungsrollen (Fig. 305) von möglichst großem Halbmesser R, welche sich um Zapfen vom Halbmesser  $\varrho$  drehen, hat den Zweck der Verminderung des Reibungsmomentes. Der

obere Zapfen vom Halbmesser r erfährt von den Rollen bei A und B die Normaldrücke N und  $N_1$ . An den Berührungsstellen A und B findet aber kein Gleiten statt, vielmehr haben die Rollen dort dieselbe Umfangsgeschwindigkeit wie die Zapfen; daher



treten an diesen Stellen nicht die Gleitwiderstände fN und  $fN_1$  auf, sondern Reibungswiderstände T und  $T_1$ , die im allgemeinen kleiner sind. Es wird

$$\mathfrak{M}=(T+T_1)r.$$

Die Kräfte T und  $T_1$  wirken auf die Rollen in entgegengesetztem Sinne wie auf den Zapfen und bewirken die gleichmäßige Drehung der Rollen, haben also deren Zapfenreibung zu überwinden.

Die tatsächliche Ungleichheit von N und  $N_1$  würde in derselben Weise sich geltend machen wie im vorigen Falle; sie hat auf das wirkliche Ergebnis keinen nennenswerten Einfluß, soll daher der Einfachheit wegen vernachlässigt werden.

Die Kräfte  $N=N_1$  bilden (ebenfalls umgekehrt) die Zapfendrücke in den Lagern der Rollen, erzeugen dort die Reibungsmomente  $Nf\varrho$  und müssen durch die Momente der Umfangskräfte  $T=T_1$  überwunden werden. Daher wird  $TR=Nf\varrho$ ,  $T=Nf\frac{\varrho}{R}$  und  $\mathfrak{M}=2$   $Nf\frac{\varrho}{R}r$ . Am Zapfen liefert aber die Gleichung der lotrechten Kräfte wieder D=2  $N\sin\delta$ , wennn  $\delta$  der Winkel ist, den die Tangenten in A und B mit der lotrechten Mittellinie bilden; hiernach wird

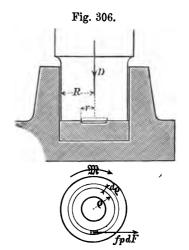
$$\mathfrak{M} = \frac{Dfr}{\sin \delta} \frac{\varrho}{R}.$$

Damit dies kleiner werde als Dfr, muß  $\varrho: R < \sin \delta$  sein.  $\sin \delta = \frac{1}{2}$  und  $\frac{\varrho}{R} = \frac{1}{6}$  geben beispielsweise  $\mathfrak{M} = \frac{1}{3} \, Dfr$ .

## b) Reibungsmoment eines Stützzapfens.

Beim Stütz- oder Spurzapfen (Fig. 306) wirkt der Druck  $oldsymbol{D}$ 

in der Achsenrichtung desselben. Die Berührung mit der Spurplatte des Lagers erfolge (der Allgemeinheit wegen) in einer Ringfläche von den Halbmessern r und R. Zeichnet man im Grundriß einen schmalen Ring vom Halbmesser  $\varrho$  und der Breite  $d\varrho$ , so kommt auf ein Teilchen dF desselben eine Druckkraft  $p \cdot dF$ , wenn p der Druck für die Flächeneinheit ist. Diese Druckkraft liefert eine Reibung  $fp \cdot dF$  und ein Reibungsmoment  $d\mathfrak{M} = fp \cdot dF \cdot \varrho$ . Da man annehmen darf, daß im ganzen Umkreise dieses Ringes der Einheitsdruck p denselben



252

Wert haben wird, so kann man dF sogleich als die Ringfläche  $2 \varrho \pi \cdot d\varrho$  einführen und erhält als gesamtes Reibungsmoment

1) 
$$\mathfrak{M} = 2 \pi f \int_{r}^{R} p \, \varrho^2 d \, \varrho.$$

Außerdem muß, da der schmale Ring den Druck  $p \, 2 \, \pi \varrho \cdot d \varrho$  aufnimmt,

$$D = 2 \pi \int_{r}^{R} p \varrho \cdot d\varrho \quad \text{sein.}$$

Beim neuen Zapfen nimmt man den Druck p überall gleich an,

daher 
$$p=rac{D}{(R^2-r^2)\pi}$$
 und

3) 
$$\mathfrak{M} = \frac{2 Df}{R^2 - r^2} \int_{r}^{R} \varrho^2 d\varrho = \frac{2}{3} Df \frac{R^3 - r^3}{R^2 - r^2}.$$

Ist die Berührungsfläche ein voller Kreis (r = 0), so wird

$$\mathfrak{M} = \frac{2}{3} \, \mathbf{D} f \mathbf{R},$$

also kleiner als beim Tragzapfen. Es kommt dies daher, daß, während beim Tragzapfen die ganze Reibung Df an dem vollen Halbmesser als Hebelarm wirkt, hier die Hebelarme der Reibungswiderstände im allgemeinen kleiner sind als der äußere Halbmesser.

Beim eingelaufenen Zapfen sind die Verhältnisse noch günstiger. Mit der gleitenden Bewegung des Zapfens ist nämlich eine Abnutzung, ein fortwährendes Abschleifen, verbunden, und, da die Gleitgeschwindigkeit nach dem äußeren Umfange hin zunimmt, so wird auch hier die Abnutzung am größten ausfallen; infolgedessen wird das Aufliegen des Zapfens auf der Spurplatte nach einiger Zeit nicht mehr ein gleichmäßiges sein; es wird der Einheitsdruck von innen nach außen hin abnehmen. Über die Veränderlichkeit von p wird die Annahme gemacht, daß p mit o0 umgekehrt proportional sei, daß man

$$p = \frac{p_1}{\rho}$$

setzen könne, worin  $p_1$  der Einheitsdruck im Abstand Eins von der Drehachse ist. Dann wird aus Gl. 2:

$$D = 2 \pi p_1 \int_{r}^{R} d\varrho = 2 \pi p_1 (R - r),$$

aus Gl. 1 aber:

so ist

Teilt man diese Gleichung durch die vorhergehende, so wird

$$\mathfrak{M}: D = \frac{1}{2}f(R+r) \quad \text{also}$$

$$\mathfrak{M} = \frac{1}{2} D f(R+r).$$

Es ist jetzt offenbar 1/2(R+r) der mittlere Hebelarm der Reibung. Für volle Kreisfläche (r=0) wird

$$\mathbf{M} = \frac{1}{2} \mathbf{D} \mathbf{f} \mathbf{R}.$$

Beim kegelförmigen Stützzapfen (Fig. 307) möge die Berührungsfläche sich von C bis B erstrecken. Ist dF ein Flächenteilchen derselben mit dem Einheitsdrucke p, so wird  $\mathfrak{M} = f \int p \cdot dF \cdot \varrho$ . Da aber  $p \cdot dF$  mit der Wagerechten den Winkel  $\delta$  bildet,

$$D = \sin \delta \int p \cdot dF.$$

Das Flächenteilchen dF bildet mit der wagerechten Grundrissebene den Winkel

 $90^{\circ} - \delta$ ; nennt man dF' den Grundrifs von dF, so wird  $dF' = dF \cos (90^{\circ} - \delta) = dF \sin \delta$ . Hiernach wird

$$D = \int p \cdot dF' \quad \text{und}$$
 
$$\mathfrak{M} = \frac{f}{\sin \delta} \int p \cdot dF' \, \varrho.$$

Da nun dF' mit  $2 \varrho \pi \cdot d\varrho$  eingeführt werden kann, so wird

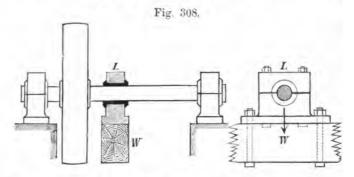
$$\mathfrak{M} = \frac{2\pi f}{\sin \delta} \int_{r}^{R} \varrho^{2} p \varrho \quad \text{und}$$
$$D = 2\pi \int_{r}^{R} \varrho \cdot d\varrho.$$

Vergleicht man diese Werte mit den Gl. 1 und 2, so erkennt man, dass der Ausdruck für D völlig mit Gl. 2 übereinstimmt, während in dem Werte für  $\mathfrak{M}$  nur f mit f: sin  $\delta$  vertauscht ist als Folge des kegelförmigen Einpressens, wie in allen ähnlichen Fällen. Daher muß sowohl in den Gl. 3 und 4 für einen neuen Zapfen, sowie auch in den Gl. 6 und 7 für den eingelaufenen Zapfen f vertauscht werden mit f: sin  $\delta$ .

Der kegelförmige Zapfen verursacht also mehr Reibung als der zylindrische Stützzapfen, gewährt aber auch, wie das Keillager, den Vorteil einer genauen Führung, die der Stützzapfen mit ebener Reibungsfläche nicht bietet, weil an der zylindrischen Seitenwand des Lagers sich Spielraum befindet oder bilden muß.

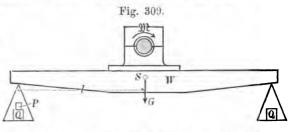
### c) Hirn'sche Reibungswage.

Die vom elsässischen Ingenieur Adolf Hirn im Jahre 1854 ersonnene Vorrichtung (Fig. 308 und 309) dient zur Ermittelung



der Reibungsziffer f eines Zapfenlagers durch Abwägen. Auf einer Welle, die von einer Maschine etwa mittels Riemscheiben in gleichmäßige Drehung versetzt wird, befindet sich der zu untersuchende Lagerkörper L, der aber nicht etwa zur Stützung der Welle dient, sondern an der Welle hängt. Unten an dem Lagerkörper ist ein Wagebalken W befestigt, an dessen gleichen Armen Wagschalen hängen. Die Wagschalen werden mit Gewichten beschwert, so daß der für die Versuche gewünschte Zapfendruck D entsteht, welcher das Reibungsmoment  $\mathfrak{M} = Dfr$  erzeugt. Dieses Moment, welches

vom Lager auf den Zapfen als ein der Drehung entgegen gerichtetes Moment ausgeübt wird, hat nach dem Gesetze der



Wechselwirkung das Bestreben, den Lagerkörper bei der Drehung

mitzunehmen, den Wagebalken also schräg zu stellen. Diesem Bestreben wirkt man entgegen, indem man in der linksseitigen Wagschale ein Übergewicht P anbringt (Fig. 309) und dieses so regelt, daß der Balken wagerecht einspielt. Der Zapfendruck beträgt D=2 Q+P+G, wenn G das Eigengewicht des Lagers mit dem Balken bezeichnet. Das Reibungsmoment beträgt also  $\mathfrak{M}=(2$  Q+P+G) fr und wird gemessen durch das Moment des Übergewichtes P, d. h.  $\mathfrak{M}=Pl$ . Dies ergibt

$$f = \frac{Pl}{(2Q + P + G)r}.$$

Beispiel: Bei  $l=1\,\mathrm{m}$ ,  $r=0,_{05\,\mathrm{m}}$ ,  $G=100\,\mathrm{kg}$ ;  $Q=2000\,\mathrm{kg}$  sei das Übergewicht  $P=10\,\mathrm{kg}$ ; dann ist  $f=\frac{10\cdot 1}{(4000+110)\,0._{05}}=0,_{049}$ .

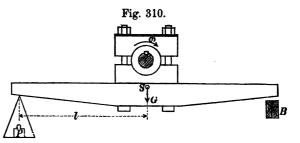
Damit der Balken gut einspiele, muß, wie bei einer Wage, der Schwerpunkt S (Fig. 309) unterhalb der Drehachse liegen.

#### d) Der Bremszaum von Prony.

Der Grundgedanke der vom franz. Ingenieur Prony 1821 ersonnenen Vorrichtung zum Messen der Leistung von Kraftmaschinen ist dem der Reibungswage ähnlich.

Man hebt nämlich die Triebkraft der zu untersuchenden Maschine durch einen Reibungswiderstand auf und mißt diesen mittels einer Wage. Da es in diesem Falle nur darauf ankommt, den ganzen

Betrag der Reibung zu messen, es aber nicht nötig ist, diese, wie bei der Reibungswage, nachträglich in die Faktoren f und D zu zer-



legen, so ist es auch nicht erforderlich, die Reibung durch eine Belastung zu erzeugen; vielmehr kann man sie einfacher durch Zusammenschrauben zweier Bremsklötze hervorbringen (Fig. 310). Auf der Welle der Kraftmaschine befestigt man eine Bremsscheibe und bringt auf dieser den Bremszaum an, dessen Schrauben vorläufig schwach angezogen werden. Dann setzt man die Kraftmaschine, etwa

eine Dampfmaschine, allmählich in Gang und zieht die Schrauben stärker an; die an dem Umfange der Scheibe entstehende Reibung hat nun das Bestreben, den Zaum mitzunehmen, infolgedessen sich der Wagebalken unten rechts auf eine als Hindernis dienende Schwelle B legt. Man bringt sodann die Dampsmaschine in den Zustand, in welchem sie beim regelrechten Betrieb arbeiten soll, zieht also die Bremsschrauben stärker an, wenn die Welle zu schnell läuft, und umgekehrt. Hat man auf diese Weise erreicht, dass die Welle die vorgeschriebene Zahl von n Umdrehungen in der Minute ausführt, so wird jetzt offenbar, weil ein regelmässiger Gang stattfindet, die ganze Arbeit der Maschine durch den Bremszaum in Reibung umgewandelt. Belastet man nun die linkseitige Wagschale mit einem Gewichte P (einschließlich der Wagschale) in dem Masse, dass der Balken sich rechts von der Schwelle abhebt und wagerecht einspielt, so ist Pl das Mass des an der Scheibe wirkenden Reibungsmomentes  $\mathfrak{M}$ . Die sekundliche Arbeit desselben beträgt mithin (nach S. 247)  $\mathfrak{M}\omega = Pl\omega$ , oder, weil  $\omega = \frac{2n\pi}{60}$  ist und 75 mkg/sek eine Pferdestärke ausmachen, es ist die Anzahl N der Pferdestärken der Maschine

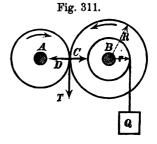
$$N = Pl \frac{n\pi}{30.75}.$$

Beispiel: Ist 
$$l = 2.5 \,\mathrm{m}$$
;  $P = 200 \,\mathrm{sg}$ ;  $n = 30$ , so wird 
$$N = \frac{200 \cdot 2.5 \cdot 30 \cdot \pi}{30 \cdot 75} = 20.9 \, PS.$$

Auch bei dieser Vorrichtung ist es wünschenswert, dem Wagebalken Standsicherheit zu geben, d. h. den Schwerpunkt S unterhalb der Achse anzuordnen, was hier erreicht ist, indem der schwere Balken sich unterhalb der Bremsklötze befindet.

## e) Reibungsräder.

Die Reibung zwischen zwei gegeneinander gepressten Scheiben kann benutzt werden, um die Drehung der einen auf die andere zu übertragen. A (Fig. 311) sei die treibende, B die mitzunehmende Welle. Auf beiden bringt man Scheiben an, die sich bei C berühren. Liesse man die Scheiben mittels zahnartiger Vorsprünge ineinander greifen, so würde dadurch eine Mitnahme der Welle B



erzwungen. Läst man aber die Vorsprünge fort, so kann auch die Reibung die Wirkung der Zähne ersetzen.

An der Welle B möge ein Widerstandsmoment  $\mathfrak M$  der Drehung entgegenwirken; dieses kann man durch eine Last Q, welche an einer Trommel vom Halbmesser r emporgewunden wird, zur Darstellung bringen, indem man  $\mathfrak M=Qr$  setzt. Zur Überwindung des Momentes ist eine Umfangskraft T bei C erforderlich, für welche TR=Qr also T=Qr: R wird. Ist nun D der Druck zwischen den Scheiben, so würde demselben beim Gleiten die Reibung fD entsprechen. Hier soll aber kein Gleiten stattfinden, vielmehr sollen die Scheiben stets gleiche Umfangsgeschwindigkeit haben. Unter diesen Umständen ist dann die zur Wirkung kommende Reibung  $T \leq fD$ , mithin

1) 
$$Q \frac{r}{R} \le f D \text{ oder } D \ge \frac{Q}{f} \frac{r}{R}.$$

Das Zeichen = in Gl. 1 würde auch noch für ein Gleiten der Scheiben aufeinander gelten; soll dies ausgeschlossen sein, also ein sicheres Mitnehmen der Welle B erfolgen, so muß für D das Zeichen > angewendet werden.

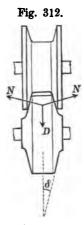
Beispiel: Ist das Widerstandsmoment  $\mathfrak{M}=100\cdot 0.2=20$  mkg, R=0.6 m, f=0.1 für Gußeisen auf Gußeisen, so wird  $D>\frac{20}{0.1\cdot 0.6}=333$  kg. Bei D=333 kg würde leicht noch ein Gleiten eintreten können, so daß die Last Q abwärts gehen könnte; man muß D um ein gewisses Maß >333 kg nehmen, damit man Sicherheit gegen Zufälligkeiten hat.

Der Druck D kann nur durch die Zapfenlager auf die Räder übertragen werden, erzeugt daher Zapfenreibung, deren Überwindung Arbeit kostet. Man muß suchen, das erforderliche D klein zu machen; dies wird erreicht, indem man die Reibungsräder nicht einfach zylindrisch gestaltet, sondern keilförmig ineinander greifen läßt (Fig. 312), wodurch eine Vergrößerung der Reibung entsteht. Ist wieder der halbe Keilwinkel  $\delta$ , so wird D=2  $N\sin\delta$ , die mögliche Reibung

2) 
$$2fN = \frac{Df}{\sin \delta} > \frac{Qr}{R} \text{ oder } D > Q \frac{\sin \delta}{f} \frac{r}{R}$$

d. h. kleiner als nach Gl. 1. Dass man bei der jetzigen Anwendung

Keck, Mechanik I. 17



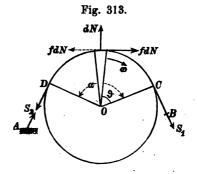
der sog. Keilnutenräder mehrere Keilnuten nebeneinander anordnet, hat mit der Wirkung nichts zu tun.

Beispiel: Macht man  $2 \delta = 30^{\circ}$ , so ist  $\sin \delta = 0.26$ , und es wird mit den sonstigen Zahlen des vorhergehenden Beispieles der untere Grenzwert von D:  $333 \cdot 0.26 = 87 \text{ kg}$ , also nur etwas mehr als  $^{1}/_{4}$  des vorigen.

#### f) Seilreibung.

1. Über einen Zylinder vom Halbmesser r, der sich gleichförmig um eine Achse O dreht (Fig. 313), sei ein biegsames Seil, ein biegsamer Faden, Riemen oder dgl. gelegt, bei A befestigt und bei B am freien

Ende mit einer Kraft  $S_1$  gespannt, dann drückt das Seil gegen den Zylinderumfang; an einem Bogenteilchen  $ds = r \cdot d\vartheta$  entsteht eine Normalkraft dN und ein Gleitwiderstand  $f \cdot dN$ , der auf den sich rechts drehenden Zylinder nach links, auf das Seil aber nach rechts wirkt, das Seil also mitzunehmen strebt. In dem bei A befestigten Seilstücke möge



eine Spannkraft  $S_2$  herrschen, dann befindet sich das Seil unter Einwirkung der an ihm auftretenden Kräfte  $S_1$ ,  $S_2$ , Gruppe [dN] und Gruppe  $[f \cdot dN]$  im Gleichgewichte, so daß die Momentengleichung in Bezug auf O liefert Fig. 314.

(weil die dN-Kräfte durch O gehen):  $S_1r + rf \Sigma dN = S_2r$ , d. h. die gesamte Seilreibung  $f\Sigma dN$  wird gemessen durch den Unterschied der Seilkräfte  $S_2$ — $S_1$ . Um also die gesamte Seilreibung zu finden, müssen wir  $S_2$ — $S_1$  zu ermitteln suchen.

Schneiden wir aus dem Seile das Bogenteilchen  $ds=r\cdot d\vartheta$  heraus (Fig. 314), so wirken außer den Kräften dN und  $f\cdot dN$  noch die Spannkräfte S und S+dS. Zerlegt man sämtliche Kräfte  $\parallel$  und  $\perp$  zu dN, so verlangt das

dN

Gleichgewicht  $dN = (S + S + dS) \sin^{-1}/2 d\vartheta$  und  $f \cdot dN = dS \cos^{-1}/2 d\vartheta$ ,

oder, weil sin  $1/2 d\vartheta = 1/2 d\vartheta$ , cos  $1/2 d\vartheta = 1$  und  $dS \cdot d\vartheta$  unendlich klein zweiter Ordnung ist:

$$dN = S \cdot d\vartheta$$
 und  $f \cdot dN = dS$ , mithin  $f \cdot d\vartheta = dS$ : S.

Durch Integration entsteht:

$$f \cdot \vartheta = 1S + C.$$

 $\vartheta = 0$  entspreche dem Punkte C (Fig. 313) und der Spannkraft  $S_1$ ,  $\vartheta = \alpha$  dem Punkte D und der Spannkraft  $S_2$ , dann wird  $f\alpha = l S_2 + C$ ;  $0 = l S_1 + C$ , mithin aus beiden:

$$f\alpha = l\left(\frac{S_2}{S_1}\right) \text{ oder } \frac{S_2}{S_1} = e^{f\alpha},$$

und die ganze Seilreibung

3) 
$$S_2 - S_1 = S_1 (e^{f\alpha} - 1).$$

Dabei ist besonders bemerkenswert, dass das Verhältnis der Kräfte unabhängig ist von r, nur abhängig von der Reibungsziffer und dem umspannten Bogen entsprechenden Mittelpunktswinkel  $\alpha$ .

Wenn der Zylinder ruht, so wird die Summe aller zur Wirkung kommenden Reibungswiderstände  $\int dT$  ebenfalls durch  $S_2 - S_1$  gemessen; es ist dann aber

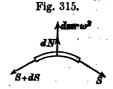
$$S_2: S_1 < e^{f\alpha}$$
 und auch  $S_2 - S_1 < S_1 (e^{f\alpha} - 1)$ .

Für  $S_2 = S_1$  würde keine Reibung ausgeübt werden. Bei einem Unterschiede zwischen  $S_1$  und  $S_2$  bezeichnen wir mit  $S_2$  stets die größere der Kräfte.

2. Ist das Seil nicht in Ruhe, sondern wird es mit gleichbleibender Geschwindigkeit  $v=r\omega$  über den ruhenden oder mit

anderer Geschwindigkeit sich drehenden Zylinder fortgezogen, so heben sich an einem Bogenteilchen  $r \cdot d\vartheta$  die normal gerichteten Kräfte nicht auf, sondern es geschieht dies erst, nachdem die Zentrifugalkraft  $dm \cdot r\omega^2$  hinzugefügt ist (Fig. 315). Es wird dann

$$dN = S \cdot d\vartheta - dm \cdot r\omega^2.$$



so wird

Darin ist  $dm = \frac{\gamma}{g} Fr \cdot d\vartheta$ , wenn F der Querschnitt,  $\gamma$  die Dichte des Fadens, Riemens oder Seiles. Die andere Gleichung  $f \cdot dN = dS$  bleibt unverändert; weil nun

$$d\left(S - \frac{\gamma}{g} F r^2 \omega^2\right) = dS,$$

$$f \cdot d\vartheta = \frac{d\left(S - \frac{\gamma}{g} F r^2 \omega^2\right)}{S - \frac{\gamma}{g} F r^2 \omega^2},$$
also 
$$f\vartheta = l\left(S - \frac{\gamma}{g} F r^2 \omega^2\right) + C,$$

oder zwischen Grenzen genommen:

$$flpha = 1 \left(rac{S_2 - rac{\gamma}{g} F r^2 \omega^2}{S_1 - rac{\gamma}{g} F r^2 \omega^2}
ight).$$

Daraus entsteht:

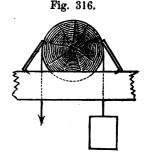
$$S_2 - \frac{\gamma}{g} F r^2 \omega^2 = \left( S_1 - \frac{\gamma}{g} F r^2 \omega^2 \right) e^{f\alpha}, \text{ oder}$$

$$S_2 - S_1 = \left( S_1 - \frac{\gamma}{g} F r^2 \omega^2 \right) (e^{f\alpha} - 1).$$

In den meisten Fällen ist der Einfluß des Gliedes  $\frac{\gamma}{g} Fr^2 \omega^2$  unbedeutend; nur bei großen Geschwindigkeiten  $r\omega$  verdient er Berücksichtigung (vgl. S. 264).

Beispiel: Ein runder Baum sei auf einer Schwelle festgelegt (Fig. 316) und außerdem durch Zimmermannshaken gehalten. Ein Seil sei derartig hinübergeschlungen, daß  $\alpha = \pi$ . An der rechten Seite hänge eine Last von  $1000 \, ^{1}$ g. Es soll berechnet werden, mit welcher Kraft links gezogen werden muß, um die Last hinauf zu ziehen. Da außer der Last noch die Reibung überwunden werden muß, so wird links die größere Kraft  $S_2$  wirken, während rechts  $S_1 = 1000 \, ^{1}$ g ist. Die Reibungsziffer werde für ein Hanfseil auf Holz zu f = 1/3 angenommen.

$$S_2: S_1 = e^{1/3 \pi}$$
.



Nimmt man von beiden Seiten der Gleichung die Briggischen Logarithmen, so wird  $\log\left(\frac{S_2}{S_1}\right) = \frac{1}{3} \pi \log e = 1,047 \cdot 0,454 = 0,4544$ . Dazu gehört eine Zahl  $2.55 = S_2:S_1$ . Mithin wird  $S_2 = 2850$  kg; die Seilreibung beträgt 1850 kg, ist also sehr groß. Diese Vorrichtung eignet sich daher nicht als Aufzugsmaschine, um so besser aber zum Hinablassen einer Last, wobei die Reibung günstig wirkt. Beim Hinablassen wirkt die kleinere Kraft  $S_1$  auf der linken Seite, während die Last jetzt  $S_2 = 1000$  kg wird. Wiederum ist  $ef\alpha = 2.65$ , daher  $S_1 = 1000: 2.65 = 351$  kg. Jetzt kommt also die Seilreibung im Betrage von 1000 - 351 = 649 kg der hinablassenden Kraft zu Hülfe. Die Zugkraft an der linken Seite darf zwischen den weiten Grenzen 351 und 2850 kg sich bewegen, ohne daß ein vorhandener Ruhezustand gestört werden würde. Da die Reibung das Bestreben hat, den Balken zu drehen, so muß er hiergegen sicher befestigt werden.

Zum Festhalten oder bequemen Hinablassen schwerer Lasten findet eine derartige Vorrichtung vielfache Anwendung. Die Reibung wird noch bedeutend vergrößert, wenn man den Winkel  $\alpha$  des umspannten Bogens vergrößert. Man kann dadurch jedes beliebige Verhältnis  $S_2:S_1$  erreichen. Wir wollen berechnen, wie große  $\alpha$  werden muße, wenn  $S_2:S_1=1000$  sein soll, d. h. wenn man durch Anwendung von  $S_1=1$  kg die Last von 1000 kg hinablassen will. Es muße  $e^{1/3}\alpha=1000$ , d. h. in Logarithmen 1/8  $\alpha$  0.434=3, oder  $\alpha=9:0.434=20.7$  sein. Da nun eine Umwickelung einem Winkel  $2\pi$  entspricht, so muße die Zahl der Umwickelungen  $n=20.7:2\pi=3.3$  betragen. Wenn man also das Seil 3 Mal und dann noch 1/8 oder vielleicht 1/8 Mal umlegt, so wird das Ziel erreicht sein. Bei öfterem Umschlagen genügt schließlich das Gewicht des überhängenden Seilendes zum Festhalten der Last.

Es ist für die Wirkung gleichgültig, ob der umspannte Bogen  $\alpha$  sich auf einem Zylinder befindet, oder ob das Seil nacheinander um mehrere Zylinder geschlungen ist; in letzterem Falle ist  $\alpha$  die Summe der umspannten Bögen. Auf diesem Grundgedanken beruhen die Rettungsvorrichtungen bei Feuersgefahr, mittels deren Menschen aus einem brennenden Hause hinabgelassen werden können.

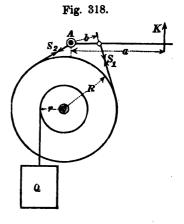
Fig. 317

Erheblich vergrößert wird die Seilreibung noch, wenn man das (runde) Seil in eine Keilrinne (Fig. 317) legt, weil dann  $f: \sin \delta$  an Stelle von f zu setzen ist.

## g) Bandbremse.

Ein dünnes Bandeisen, welches man um einen Zylinder spannt, um an diesem einen Reibungswiderstand zu erzeugen, heißt Bremsband und findet als Bandbremse bei Winden vielfache Anwendung zum gleichmäßigen Hinablassen von Lasten. An einer Windetrommel vom Halbmesser r (Fig. 318) hänge das Gewicht Q. Trommel fest verbunden ist die Bremsscheibe vom Halbmesser R.

Das umgelegte Bremsband sei mit dem einen Ende am Gestelle befestigt, z. B. an dem Drehpunkte A des Bremshebeis, das andere Ende des Bandes sei mit dem Hebel verbunden. Ende des Hebels wirke aufwärts die Kraft K, welche in dem Band eine Spannkraft S, auf der rechten Seite hervorruft. Bei der Drehung links herum entsteht an der Scheibe eine der Drehung entgegen wirkende Bandreibung  $S_2 - S_1 = S_1 (e^{fa} - 1)$ , welche, mit R multipliziert, dem Momente Qr der Last gleich sein



Ist nun b der Hebelarm von  $S_i$  (aber nicht als Länge am Hebel, sondern rechtwinklig zu  $S_1$  gemessen), so wird  $Ka = S_1b$ ,

mithin 
$$K = \frac{Q}{e^{fa} - 1} \frac{r}{R} \frac{b}{a}$$
.

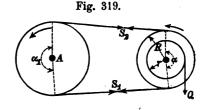
Beispiel: Der Winkel des umspannten Bogens sei  $\alpha = 0, 1 \cdot 2 \pi$ , die Reibungsziffer für Bandeisen auf gußeiserner Scheibe f = 0.18, r : R = 1/2, a:b=10; dann wird  $e^{af}=2$ ,21 und

$$K = \frac{Q}{2, 21 - 1} \frac{1}{2} \frac{1}{10} = \frac{Q}{24, 2},$$

d. b. mit einer Kraft K = 10 is kann man eine Last Q = 242 is hinablassen. Es ist rätlich, von den beiden Kräften des Bandes die kleinere  $S_1$  auf den Hebel wirken, die größere So aber vom festen Gestell aufnehmen zu lassen.

## h) Riemenscheiben.

Nützliche Anwendung findet die Seilreibung auch bei den Riemenscheiben, welche zur Übertragung der Bewegung von einer Welle auf eine ihr parallele Welle dienen, wenn die Entfernung der Wellen so groß ist, eine unmittelbare Übertragung mittels Reibungsräder



oder Zahnräder nicht zweckmäßig erscheint (Fig. 319). Der biegsame

Körper, der um die Umfänge der Scheiben gelegt wird, ist hier meist ein Lederriemen. Die Welle A drehe sich links herum; der Riemen sei genügend angespannt, so daß er auf den Scheiben nicht gleitet, daß vielmehr beide Scheibenumfänge und der Riemen die übereinstimmende Geschwindigkeit v haben müssen. Der Drehung der rechtsseitigen Welle setze sich ein Widerstandsmoment entgegen, welches wir wieder auf die Form  $\mathfrak{M} = Qr$  bringen wollen (vergl. S. 257). Sind  $S_2$  und  $S_1$  die Spannkräfte der Riementeile, so wird die ganze Seilreibung an der rechtseitigen Scheibe stets gemessen durch  $S_2 - S_1$ , und für gleichmäßige Drehung der rechtseitigen Welle ist erforderlich

$$S_2 - S_1 = Qr : R.$$

Da nun Riemen und Scheibe nicht aufeinander gleiten, so ist

2) 
$$S_2 - S_1 \le S_1 (e^{f\alpha} - 1),$$

oder durch Verbindung von Gl. 1 und 2:

$$S_1 \ge Q \frac{r}{R} \frac{1}{e^{f\alpha} - 1}$$
, wofter wir schreiben wollen:

3) 
$$S_1 = Q \frac{r}{R} \frac{1}{e^{f\alpha} - 1} + \Delta S;$$

darin ist  $\Delta S$  der Überschuß an Spannkraft, der wegen der Sicherheit gegen Gleiten nötig ist, dessen Grösse aber nur durch Erfahrung bestimmt wird. Aus Gl. 3 und 1 wird dann

$$S_2 = S_1 + \frac{Qr}{R} = \frac{Qr}{R} \left( \frac{1}{e^{f\alpha} - 1} + 1 \right) + \Delta S \text{ oder}$$

$$S_2 = \frac{Qr}{R} \frac{e^{f\alpha}}{e^{f\alpha} - 1} + \Delta S.$$

Die Größe  $\alpha$  des Winkels des umspannten Bogens wirkt in günstigem Sinn auf die Verhinderung des Gleitens. Da nun die gleichen Kräfte  $S_1$  und  $S_2$  an beiden Scheiben wirken, die Winkel  $\alpha$  und  $\alpha_1$  aber bei beiden Scheiben im allgemeinen ungleich sind, so muß von den beiden Winkeln  $\alpha$  und  $\alpha_1$  stets der kleinere in Rechnung geführt werden.

Beispiel: Für Lederriemen auf Gusseisenscheiben setzt man f = 0,28, sind ferner die beiden Scheiben gleich und daher  $\alpha = \pi$ , so wird

$$e^{f\alpha} = e^{0.36\pi} = 2.41$$
.

Ist num R = 0.6 m,  $\mathfrak{M} = 100 \cdot 0.2 = 20 \text{ mkg}$ , so wird

$$S_1 = \frac{20}{0.6} \frac{1}{1.41} + \Delta S = 23.64 \text{ kg} + \Delta S;$$

$$S_2 = 23.64 \cdot 2.41 + \Delta S = 56.97 \text{ kg} + \Delta S.$$

Wie bei den Reibungsrädern der Druck D, so verursachen hier die Spannkräfte  $S_1$  und  $S_2$  Zapfenreibungswiderstände in den Lagern. In ähnlicher Weise wie dort D, können hier  $S_1$  und  $S_2$ vermindert werden, wenn man den Riemen durch eine runde Schnur ersetzt und die Scheibe mit einer keilförmigen Rinne versieht (Fig. 320), so dass infolge der Keilwirkung wiederum f mit  $f: \sin \delta$  zu vertauschen ist. Man wähle δ so groß, daß das Seil sich in der Rinne nicht festklemme, mache also  $\delta > \varphi$ , damit das Seil beim Ablaufen sich ohne erheblichen Widerstand aus der Rinne entfernt, nicht aber gewaltsam herausgezerrt werden muß.

Fig. 320.



Ist für Hanfseile in gufseisernen Rinnen f = 1/3,  $\varphi = 18^{\circ}$ , so ist  $\delta = 30^{\circ}$  zulässig.

In den vorstehenden Rechnungen ist der Einfluss der Geschwindigkeit des Riemens auf Verminderung der Reibung nicht berücksichtigt. Für schnelllaufende Riemen ist an Stelle der Gl. 4 auf S. 259 zu setzen (nach Gl. 5, S. 260)

$$\left(S_1 - \frac{\gamma}{g} Fr^2 \omega^2\right) \left(e^{f\alpha} - 1\right) \geq S_2 - S_1 = Q \frac{r}{R}.$$

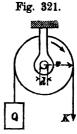
Dadurch kommt dann zu den Werten  $S_1$  und  $S_2$  nach Gl. 3 und 4, S. 263 noch der Summand  $\frac{\gamma}{a} Fr^2 \omega^2$  hinzu.

Hat z. B. ein Riemen von 0,5 cm × 6 cm = 3 qcm = 0,0003 qm Querschnitt eine Dichte von 900, so ist  $\gamma F = 0.27 \, \text{kg/m}$ . Bei 15 m sekundl. Umfangsgeschwindigkeit wird dann  $\frac{\gamma}{g} Fr^2 \omega^2 = \frac{0,97 \cdot 15^2}{9,81} = 6,7 \text{ kg}$ . Aus den Zahlen des vorstehenden Beispieles wird dann  $S_1 = 23,64 + 6,2 + \Delta S$  und  $S_2 = 57,27 + 6,2 + \Delta S$ .

# i) Seilrollen und Flaschenzüge.

Ist über eine Rolle (Fig. 321) ein völlig biegsamer Faden gelegt, der die Last Q trägt, so würde, wenn sich der Drehung der Rolle kein Widerstand entgegensetzte, zur gleichmäßigen Drehung kein Moment, also auch keine Seilreibung erforderlich sein, es würde dann K=Q hinreichen zum Hinaufziehen der Last. Nun findet aber ein Zapfendruck D=Q+K statt, also ein Reibungsmoment

 $\mathfrak{M}=Df\frac{d}{2}$  (wenn d der Zapfendurchmesser), zu dessen Überwindung eine am Umfange der Rolle angreifende Kraft  $\frac{\mathfrak{M}}{r}=Df\frac{d}{2r}=\frac{Q+K}{2r}fd$  nötig ist. Dies ist die auf den Rollenumfang bezogene Zapfenreibung Z. Diese Kraft kann von dem Seile nur durch die Seilreibung auf die Rolle



übertragen werden, oder es ist  $K-Q=\frac{K+Q}{2\,r}fd$ . Daraus entsteht

$$\frac{K}{Q} = \frac{1 + \frac{fd}{2r}}{1 - f\frac{d}{2r}}.$$

Zur Vereinfachung multiplizieren wir in Zähler und Nenner mit dem Zähler, erhalten

$$\frac{K}{Q} = \frac{1 + f\frac{d}{r} + \left(\frac{fd}{2r}\right)^2}{1 - \left(\frac{fd}{2r}\right)^2}$$

und vernachlässigen nun den kleinen Wert  $\left(\frac{fd}{2r}\right)^2$  gegen die Einheit, so daß genau genug

$$\frac{K}{Q} = 1 + f \frac{d}{r} \quad \text{wird.}$$

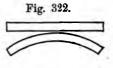
Man kann auch schreiben K = Q + Z, wo

$$Z = Qf \frac{d}{r}$$

die auf den Rollenumfang bezogene Zapfenreibung, d. h. man kann (nach A. Ritter, Lehrbuch der technischen Mechanik, 2. Aufl., S. 365) die Sache so ansehen, als ob zu der Kraft  $K_0 = Q$ , die bei einer ideellen Rolle hinreichen würde, noch der Betrag Z hinzutreten muß.

Außer der Zapfenreibung muß aber auch noch der Seilbiegungswiderstand berücksichtigt werden. Wir haben bisher ein Seil angenommen, dessen Richtung stets mit der Richtung seiner Spannkraft übereinstimmt, welches daher zu beiden Seiten der Rolle sich völlig tangential an diese legt. Wird aber ein wirkliches Seil

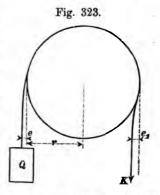
aus der geraden Form in eine Krümmung übergeführt (Fig. 322), so müssen wegen der Längenverschiedenheit am inneren und äußeren Umfange die einzelnen Fasern, aus denen das Seil besteht, sich gegeneinander verschieben,



und dieser Verschiebung setzt sich ein Widerstand entgegen. Auch beim Übergang aus dem gekrümmten Zustand in den geraden ergeben sich die gleichen Widerstände.

Soll nun an der linken Seite der Rolle die Last Q aufgewunden werden, so geht das Seil nicht plötzlich aus der geraden Tangente in die Krümmung 1:r über, sondern es verteilt sich diese Krümmungsänderung auf eine gewisse Länge, und die Folge davon ist, daß die Mittellinie des unteren Teils des Seiles um eine gewisse

Größe e von der Tangente nach außen abweicht (Fig. 323). Auf der Ablaufseite erfolgt der Übergang aus der Krümmung 1:r in die Krümmung Null ebenfalls allmählich mittels einer Gegenkrümmung, und es folgt daraus eine Abweichung der Kraft K von der Tangente um die Größe  $e_1$  nach innen. Die Biegungswiderstände haben dann dieselbe Einwirkung auf die Drehung der Rolle, als ob die Last Q an dem größeren Hebelarm r+e, die treibende



Kraft K aber an dem kleineren Hebelarm  $r-e_1$  angreift, wobei man die Abstände e und  $e_1$  gleich annehmen darf; daher wird

$$K(r-e) = Q(r+e)$$
 oder 
$$\frac{K}{Q} = \frac{r+e}{r-e} = \frac{1+\frac{e}{r}}{1-\frac{e}{r}},$$

wofür man, weil e:r wieder ein kleiner Wert ist, schreiben kann (vergl. S. 265)

$$\frac{K}{Q} = 1 + \frac{2e}{r}.$$

Nennt man  $Q \cdot 2e : r = B$  den auf den Rollenumfang bezogenen Biegungswiderstand, so kann man den Einfluß dieses Umstandes wieder so auffassen, als ob zu  $K_0 = Q$  wegen der unvollkommenen Biegsamkeit noch der Betrag B hinzutreten muß.

Die Größe e in Metern ist von der Dicke und Beschaffenheit des Seiles abhängig. Nach Versuchen ist für Seile von der Dicke  $\delta$  (in Metern)

3) 
$$e = 6.5 \delta^2$$
, oder  $B = Q \frac{13 \delta^2}{r}$ .

Werden nun durch die Wirkung der Zugkraft K bei gleichförmiger Drehung der Rolle Zapfenreibung und Biegungswiderstand zugleich überwunden, so kann man

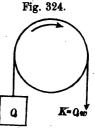
4) 
$$K = Q + Z + B = Q\left(1 + f\frac{d}{r} + \frac{13\delta^2}{r}\right)$$
 setzen, oder

wenn  $w = 1 + f \frac{d}{r} + \frac{13 \delta^2}{r}$  ist; w heißt dann die Widerstandsziffer für Seilrollen.

Ist die Seildicke  $\delta = 0,02$  m, der Rollenhalbmesser r = 0,00 m, der Zapfendurchmesser d = 0,03 m, f = 0,12, so wird

$$w = 1 + \frac{0,12 \cdot 0,03}{0,09} + \frac{13 \cdot 0,0004}{0,09} = 1 + 0,04 + 0,08 = 1,10.$$

Die Zapfenreibung vergrößert also die erforderliche Zugkraft um 4  $^{0}/_{0}$ , der Seilbiegungswiderstand um 6  $^{0}/_{0}$ ; der Abstand der Seilmitte von der Tangente beträgt  $e = 6.5 \cdot 0.0004 = 0.0026 \,\mathrm{m} = 2.6 \,\mathrm{mm}$ .



Um eine Last von  $100 \, \text{kg}$  mittels einer solchen Rolle und eines solchen Seiles gleichmäßig emporzuziehen, ist eine Kraft  $K=110 \, \text{kg}$  erforderlich (Fig. 324). Beim Hinablassen der Last vertauschen Q und K ihre Rollen; das Verhältnis beider bleibt aber w, daher wird dann

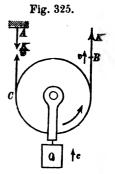
$$K = Q: w = 100:1, 1 = 90,9 \text{ kg}.$$

Bei einem über eine Rolle geführten Seil ist die Spannkraft in dem sich ab wickelnden Seilstücke die größere; das Verhältnis beider Spannkrafte beträgt stets w.

Streng genommen muß für jede gegebene Rolle mit Seil der Ausdruck w besonders berechnet werden. Da die Verhältnisse zwischen d, r und  $\delta$  aber meist nicht sehr schwanken, wollen wir für fernere Beispiele mit Seilrollen w=1,1 wählen.

Lose Rolle. Bei der sog. losen Rolle ist die Drehachse nicht fest gelagert; vielmehr ist das eine Ende des Seiles bei A (Fig. 325)

befestigt; an dem anderen wird bei B gezogen, und die Last hängt an der Achse der Rolle. Beim gleichmäßigen Aufwärtsziehen erfährt die Rolle eine aufwärts gerichtete Verschiebung mit der Geschwindigkeit c, welche sich mit der Umfangsgeschwindigkeit  $r\omega$  im Punkte C derartig vereinigt, daß dort die Geschwindigkeit Null entsteht. Denn das Seil AC ruht, und da es auf der Rolle nicht gleitet, so muß auch der Punkt C der Rolle die Geschwindigkeit Null haben. Mithin ist  $c = r\omega$ . An der rechten Seite der Rolle addieren sich c und  $r\omega$  zu der



Geschwindigkeit  $v=c+r\omega=2\,c$ , mit welcher der Punkt B des Seiles sich aufwärts bewegen muß. Die lose Rolle wälzt sich an dem Seile  $A\,C$  empor; die Bewegung ist eine Rollenbewegung, bei der die einzelnen Punkte der Rolle Zykloiden beschreiben.

Das Verhältnis der Spannkräfte des Seiles muß wieder w betragen; ist also rechts im ablaufenden Stücke die Spannkraft K, so muß sie links K:w sein. Nach S. 245 müssen auch bei dieser zusammengesetzten Bewegung die Kräfte K und K:w der Last Q das Gleichgewicht halten. Mithin wird

$$Q = K\left(1 + \frac{1}{w}\right) = K\left(1 + 0.91\right) = 1.91 K.$$

Für eine ideelle Rolle ohne Widerstände ist w=1, mithin  $Q=2\ K_0$ . Der Wirkungsgrad (s. S. 240) ist, weil  $v=2\ c$ :

$$\eta = \frac{Qc}{Kv} = \frac{Q}{2K} = \frac{2K_0}{2K} = \frac{K_0}{K} = \frac{1,91}{2} = 0,955.$$

Flaschenzug. Ein Achsgestell mit einer oder mehreren Rollen heißt ein Kloben — auch eine Flasche (weil früher die Form der Kloben mit einer Flasche einige Ähnlichkeit hatte). Aus einer durch ein umgeschlungenes Seil oder Kette hergestellten Verbindung von festen und losen Kloben besteht der Flaschenzug. Sind mehrere Rollen in einem Kloben angeordnet, so bringt man diese jetzt meistens auf dieselbe Achse. In der Fig. 326 sind aber der Deutlichkeit wegen die Rollen untereinander gezeichnet.

Die in Wirklichkeit gleichen Rollen zeigen hier etwas verschiedene Größe. Die Zahl der Rollen in jedem Kloben beträgt in der Zeichnung 2, allgemein sei sie n. Der obere Kloben ist in dem Deckenbalken befestigt, an dem unteren Kloben hängt die Last Q.

Beim Aufwinden drehen sich (Fig. 326) sämtliche Rollen links herum. Die bei B angreifende Kraft sei K, dann ist die Spannkraft in dem rechtseitigen Seilstücke K: w, sie vermindert sich nach dem Übergange über die Rollen schrittweise auf  $K: w^2$ ,  $K: w^3$ und  $K: w^4$ . Das Verhältnis v:c ist offenbar gleich der Zahl der Seilstücke, an denen der untere Kloben hängt, also 4 oder allgemein 2n. Die Seile werden als sämtlich lotrecht angenommen, da die geringen Abweichungen keine Bedeutung haben. Rückt die Last um c aufwärts, so verkürzen sich die Seilstücke je um c, zusammen also um 4c bezw. 2nc. gleiche Länge v = 4c bezw. v = 2nc muß daher bei B abwärts gezogen sein. Macht man durch einen Schnitt zwischen beiden Kloben den unteren frei, so verlangt dessen Gleichgewicht, dass die Last Q gleich der Summe der Kräfte der durchschnittenen

Seile sei. Ohne Widerstände wären die Seilkräfte durchweg  $K_0$ , daher  $Q=4~K_0$  bezw.  $=2~n~K_0$ , mithin ist wieder  $v:c=Q:K_0$ .

In Wirklichkeit ist

$$Q = K\left(\frac{1}{w} + \frac{1}{w^2} + \frac{1}{w^3} + \frac{1}{w^4}\right) = \frac{K}{w^4} (w^3 + w^2 + w + 1)$$

$$= \frac{K}{w^4} \frac{w^4 - 1}{w - 1} \text{ und ebenso (allgemein)}$$

7) 
$$Q = \frac{K}{w^{2n}} \frac{w^{2n} - 1}{w - 1}$$
: mithin

8) 
$$\eta = \frac{Qc}{Kv} = \frac{w^{2n} - 1}{2n \cdot w^{2n} (w - 1)}.$$

Beispiel: Es sei wieder w = 1,1, dann wird für n = 2: Q = 3,16 K,  $\eta = 0,79$ , für n = 4: Q = 5,34 K,  $\eta = 0,67$ .

Im ersten Falle werden 79 % der aufgewendeten Arbeit nützlich verwertet, im zweiten nur 67 %, während 21 bezw. 33 % verloren gehen. Mit wachsender

Rollenzahl nimmt also der Wirkungsgrad ab. Es ist daher besser, eine schwere Last an 2 Flaschenzügen zu je 4 Rollen aufzuwinden, als an 1 Flaschenzuge mit 8 Rollen.

Für das Hinablassen der Last ist durchweg w mit 1:w zu vertauschen.

Der Differenz-Flaschenzug (Fig. 327) Differenz-Flaschenzug. gestattet, mit nur 3 Rollen ein bedeutendes Übersetzungsverhältnis

v:c zu erreichen. Die beiden Rollen des oberen Klobens bilden zusammen ein Stück, haben daher gleichen Drehungswinkel. Statt eines Seiles dient eine Kette. Wird bei B eine Kettenlänge v abwärts gezogen, so findet bei C ein Aufwärtswinden um v, bei D ein Abwärtswinden um vr:R, also zusammen eine Verkürzung der Kette zwischen beiden Kloben um  $v\left(1-\frac{r}{R}\right)$  statt; da sich diese auf 2 Stücke verteilt, so hebt sich der untere Kloben um  $c = \frac{v}{2} \left( 1 - \frac{r}{R} \right)$  mithin ist

9) 
$$\frac{v}{c} = \frac{2}{1 - \frac{r}{R}}.$$

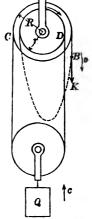


Fig. 327.

Der Name des Flaschenzuges erklärt sich daraus, das das Heben infolge der Differenz zwischen Aufwinden und Abwinden zu stande kommt.

Ohne Widerstände würde in jedem Kettenstücke des unteren Klobens eine Kraft 1/2 Q herrschen; dann ergibt (wenn  $K_0$  die ideelle Triebkraft) die Momentengleichung des oberen Klobens  $0 = K_0 R + \frac{1}{2} Q r - \frac{1}{2} Q R$  oder  $K_0 R = \frac{1}{2} Q (R - r)$ , d. h.  $Q: K_0 = 2: (1 - r: R) = v: c.$ 10)

Macht man z. B. r: R = 14:15, so wird  $Q: K_0 = v: c = 30$ .

An der linken Seite der kleineren Rolle des oberen Klobens ist die Kette ohne Spannkraft, während auf der rechten Seite eine Spannkraft = 1/2 Q herrscht; ebenso ist der Unterschied der Spannkräfte der großen Rolle ein so erheblicher, dass die Seilreibung nicht genügen würde, um ein Gleiten zu verhindern. Aus diesem Grunde hat man statt des Seiles eine Kette gewählt, die zwischen zahnartige seitliche Vorsprünge der oberen Rollenkörper (Fig. 328) eingreift und



Sw

dadurch ein Gleiten unmöglich macht. Eine solche Kette hat nur geringe Steifigkeit, weshalb man die Widerstands- Fig. 329. ziffer der Kettenrolle zu w = 1,05 aunehmen kann.

Betrachtet man die Verhältnisse annäherungsweise so, als ob der Widerstand ganz allein von der Zapfenreibung gebildet würde, so wäre nach Gleichung 4, S. 267

$$11) w = 1 + f \frac{d}{R}.$$

An der unteren Rolle wirken Kettenkräfte S und Sw (Fig. 329), und es ist

$$Q = S(1+w).$$

An der oberen Rolle tritt ein Zapfendruck auf, der annähernd gleich Q, da K nur ziemlich klein ist. Dadurch entsteht ein Zapfenreibungsmoment

 $^{1/2}Qfd$ . Die Momentengleichung für den oberen Rollenkörper lautet:  $0 = KR + Sr - SwR - \frac{1}{2}Qfd$ .

Daraus wird 
$$K = S\left(w - \frac{r}{R}\right) + Qf\frac{d}{2R}$$

$$= \frac{Q}{1+w}\left(w - \frac{r}{R}\right) + Qf\frac{d}{2R} \text{ oder,}$$
12) weil  $f\frac{d}{R} = w - 1 \text{ (Gl. 11),}$ 

$$K = \frac{Q}{1+w}\left(w - \frac{r}{R} + \frac{w^2 - 1}{2}\right).$$

Es ist aber  $w + \frac{w^2 - 1}{2} = w^2 - \frac{w^2 - 2w + 1}{2} = w^2 - \frac{(w - 1)^2}{2}$ .

Da nun  $w^2=1{,}05^2=1{,}1$ ,  $(w-1)^2$  aber nur = 0,0025, so ist  $\frac{(w-1)^2}{2}$  gegen  $w^2$  zu vernachlässigen, daher annähernd

13) 
$$K = \frac{Q}{1+w} \left( w^2 - \frac{r}{R} \right) \text{ zu schreiben.}$$

Für gleichmäßiges Hinablassen ist w durch 1:w zu ersetzen; es wird dann an Stelle von K die Kraft  $K_1$  nötig mit

14) 
$$K_1 = \frac{Q}{1 + \frac{1}{w}} \left( \frac{1}{w^2} - \frac{r}{R} \right).$$

Da nun  $1: w^2$  ein echter Bruch und r: R ebenfalls, so könnte man r:R beispielsweise  $=1:w^2$  wählen. Dann wird  $K_1 = 0$ , d. h. die Last geht gleichmäßig abwärts, ohne daß eine hemmende Kraft  $K_1$  nötig ist; oder die Last Q wird durch die Widerstände eben im Gleichgewichte gehalten. Unter diesen Verhältnissen  $(r: R = 1: w^2)$  wird für Aufwinden

$$K = Q \frac{\left(w^2 - \frac{1}{w^2}\right)}{1 + w} = \frac{0.2}{2.05} Q,$$

ohne Widerstände aber

$$K_0 = Q \frac{\left(1 - \frac{1}{w^2}\right)}{2} = \frac{0,1}{2} Q,$$

mithin ist der Wirkungsgrad  $\eta = \frac{0.1 \cdot 2.05}{2 \cdot 0.2} = 0.51$ , also (in Übereinstimmung mit S. 242) nahezu gleich 1/2.

Soll der Flaschenzug sich aber mit Sicherheit bremsen, so muss rechnungsmässig  $K_1 < 0$ , d. h.  $1: w^2 < r: R$ , oder  $r: R > 1: w^2$  sein. 15)

Diese Eigenschaft der Selbstsperrung wird bei dem Differenz-Flaschenzuge gewünscht. Weil nun ein negativer Zug  $K_1$  an der Kette nicht ausgeübt werden kann, so muß die Drehung linksherum durch einen Zug  $K_2$  an dem bisher nicht benutzten Kettenstücke bewirkt werden (Fig. 330). Da der Zapfendruck am oberen Zapfen wieder annähernd Q beträgt, das Reibungsmoment daher  $Qf^{1/2}d$ , so lautet die Momentengleichung der oberen Rolle

$$K_2r + SR = Swr + Qf^{1/2}d.$$

Wegen des geringen Unterschiedes zwischen r und R kann aber fd = (w-1)R (Gl. 12) annähernd auch = (w-1)r gesetzt werden, so dass

$$K_2 = S\left(w - \frac{R}{r}\right) + Q\frac{(w-1)}{2}$$
 wird,

oder, weil wieder Q = S(1 + w)

$$K_2 = \frac{Q}{1+w}\left(w-\frac{R}{r}\right) + \frac{Q}{2}\left(w-1\right) = \frac{Q}{1+w}\left(w-\frac{R}{r} + \frac{w^2-1}{2}\right).$$

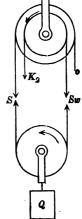


Fig. 330.

Es ist aber wieder  $w + \frac{w^2 - 1}{2} = w^2 - \frac{(w - 1)^2}{2}$  oder annähernd  $= w^2$ , mithin

$$K_2 = \frac{Q}{1+w} \left( w^2 - \frac{R}{r} \right),$$

was für  $w^2 > R : r$  (Gl. 15) positiv wird.

Beispiel: Für w = 1,05 ist  $w^2 = 1,1$ ,  $1:w^2 = 0,900$ . Wählt man nun r: R = 14:15, so ist  $\frac{14}{15} = 0,900 > 0,900$ , d. h. die Bedingung (15) der Selbstsperrung erfüllt. Es ist ferner (nach Gl. 10)  $v: c = 30 = Q: K_0$ . Für das Aufwinden wird (nach Gl. 13)  $K = \frac{Q}{2,05} \left(1,1 - \frac{14}{15}\right) = \frac{Q}{12,1}$ . Da nun  $K_0 = \frac{Q}{30}$ , so ist  $\eta = \frac{12,1}{30} = 0,40$ .

Zum Hinabwinden ist die Kraft  $K_2 = \frac{Q}{2,05} \left(1,1-\frac{15}{14}\right) = \frac{Q}{71}$  aufzuwenden.

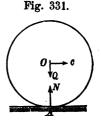
Also mit Aufwand von K=10 kg kann man Q=121 kg heben, während zum Hinabwinden  $K_2=1,7$  kg hinreicht.

Der Differenz-Flaschenzug ist offenbar keine vorteilhafte Aufzugsmaschine, da sein Wirkungsgrad nur 0,4 beträgt. Angenehm sind aber seine Einfachheit und die Bequemlichkeit der Handhabung. Beim Einspannen einer schweren Achse in eine Drehbank oder beim Versetzen eines schweren Steines ist die Selbstsperrung sehr wertvoll. Der ihn handhabende Arbeiter braucht ihn nicht vorsichtig festzuhalten, sondern kann seine volle Aufmerksamkeit auf die genaue Einstellung der Last richten, indem er durch Ziehen an der einen oder anderen Kette die Last bald hebt, bald senkt, wie es erwünscht ist.

# 12. Rollwiderstand der Walzen und Räder. Gleichmäßige Bewegung der Fuhrwerke.

Wird eine starre zylindrische Walze auf eine starre wagerechte Ebene gelegt, so findet die Berührung längs einer Zylinderseite statt

(Fig. 331). Das Gewicht Q der Walze wird von dem Widerstand N der Ebene aufgehoben, und, versetzt man die Walze in eine Rollbewegung, wobei die Geschwindigkeit c des Mittelpunktes O gleich der Umfangsgeschwindigkeit  $r\omega$  der Drehbewegung ist, so ist an der Berührungsstelle A die Gesamtgeschwindigkeit  $v = c - r\omega = \text{Null}$ , d. h. es findet kein Gleiten statt, und, da die



sonstigen Kräfte Q und N sich aufheben, so kommt keine Reibung

zur Wirkung. Daher sind die Bedingungen der gleichmäßigen Drehbewegung und der gleichmäßigen Verschiebung, mithin auch der gleichmäßigen Rollbewegung erfüllt, d. h. es ist bei vollkommener Starrheit zur Unterhaltung der Rollbewegung keine weitere Kraft erforderlich.

Bei den wirklichen festen Körpern kann aber der Druck N nicht von einer Linie aufgenommen werden, sondern er verteilt sich auf eine Fläche, indem sowohl die Walze wie die Unterlage ihre Form ändern, sich gegenseitig zusammendrücken. Diejenigen Teile der Bahn, welche die Walze schon überrollt hat, kehren in den meisten Fällen nicht ganz in den früheren Zustand zurück; sie sind um ein gewisses Maß dauernd niedergewalzt. Infolge-

dessen liegt der vor der Walze befindliche Teil der Unterlage höher als der andere; der Druck N verteilt sich nicht gleichmäßig zu beiden Seiten der Walzenmitte, vielmehr überwiegt der Gegendruck auf der Vorderseite. Dadurch verschiebt sich dann der Gesamtdruck N nach vorn, so daß er nicht mehr mit Q zusammenfällt, sondern mit Q ein Kräftepaar  $N \cdot e$  bildet (Fig. 332),

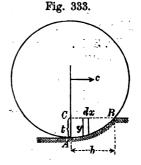


das Moment des Rollwiderstandes. Zur Unterhaltung der gleichmässigen Rollbewegung ist daher ein treibendes Moment

1) 
$$\mathfrak{M} = Ne$$
 erforderlich.

Zur Beurteilung der Verteilung des Druckes N auf die Unterstützungsfläche darf man wohl für die meisten Fälle die vereinfachende Annahme machen, daß nur die Unterlage eine Formänderung erfährt, während die Walze ihre

runde Form behält. Zuerst werde der Fall betrachtet, dass der von der Walze niedergedrückte Teil der Unterlage sich gar nicht wieder elastisch hinter ihr hebt, sondern niedergedrückt verbleibt (Fig. 333), wie es bei einem tonigen oder sandigen Wege etwa stattfinden wird. Den Gegendruck solcher Stoffe pflegt man mit der Eindrückungstiefe y verhältnisgleich zu nehmen. Ist  $\psi$  der Gegendruck der Längeneinheit der Horizontalprojektion für eine Tiefe gleich Eins, so hat er bei der Tiefe y den Wert  $\psi y$ , und es ist dann der Gegendruck einer Breite dx:  $\psi y dx$  und der gesamte Druck



$$N = \psi \int y dx = \psi \cdot ABC$$
.

; 1

Selbstverständlich geht dann auch N durch den Schwerpunkt der Fläche ABC.

Weil nun AB in den wichtigeren Fällen ein kleiner Bogen ist, so kann er annähernd als ein Parabelstück vom Parameter r (= dem Halbmesser des Rollkreises) betrachtet werden. Dann wird, wenn b und t die beiden Projektionen von AB,  $b^2 = 2rt$ ,  $t = b^2 : (2r)$  und

2) 
$$N = \psi \cdot \frac{2}{3} b t = \frac{1}{3} \psi \frac{b^3}{r},$$

$$daher \quad b^3 = \frac{3 N r}{\psi}.$$

Der Abstand e der Kraft N von dem Mittelpunkt ist (S. 155)

3) 
$$e = \frac{3}{8}b = \frac{3}{8}\sqrt{\frac{3Nr}{\psi}}$$

Ist die Unterlage aber nicht so vollkommen bildsam oder plastisch, daß jeder erzeugte Eindruck in voller Größe bleibt; kann vielmehr ein gewisser Grod von Electristat vorgegegetet worden es

Grad von Elastizität vorausgesetzt werden, so hebt sich die um die Tiefe  $t_1$  eingedrückte Unterlage hinter der Walze um  $t_2$  wieder empor (Fig. 334) und leistet dann entsprechende Gegendrücke.

Dann wird der Druck auf der Vorderseite

$$N_1 = \psi^2/3 \ b_1 \ t_1 = 1/3 \ \psi \frac{b_1^3}{r} \ ,$$

der auf der Rückseite

$$N_2 = 1/3 \, \phi \, \frac{b_2^3}{\pi} \, .$$

Ferner ist 
$$b_1^3 = \frac{3 N_1 r}{\psi}$$
;  $b_2^3 = \frac{3 N_2 r}{\psi}$ .

4) Setzt man  $b_3 = n b_1$ , so ist n von dem Grade der Elastizität der

so ist n von dem Grade der Elastizität der Unterlage abhängig. Dann kann man  $N_2=\frac{1}{3}\,\psi\,n^3\frac{b_1^3}{r}$  schreiben. Somit wird der Gesamtdruck

5) 
$$N = N_1 + N_2 = \frac{1}{3} \phi \frac{b_1^3}{r} (1 + n^3)$$
 und

6) 
$$b_1 = \sqrt[3]{\frac{3 Nr}{\psi (1 + n^3)}}.$$

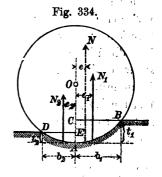
Die Abstände der Kräfte  $N_1$  und  $N_2$  von dem Mittelpunkt O betragen  $e_1 = {}^3/s$   $b_1$ ;  $e_2 = {}^3/s$   $b_2 = {}^3/s$  n  $b_1$ . Für die Mittelkraft N gilt dann die Momentengleichung in Bezug auf O

$$-Ne = -N_1 e_1 + N_2 e_2 = -3/8 b_1 (N_1 - n N_2),$$

daher wird, wenn man den gemeinschaftlichen Faktor  $^{7}/_{3}$   $\psi:r$  in allen Gliedern fortläfst,

7) 
$$e = \frac{3}{8} b_1 \frac{1 - n^4}{1 + n^3} = \frac{3}{8} \sqrt[3]{\frac{3 Nr}{\psi (1 + n^3)}} \frac{1 - n^4}{1 + n^3}.$$

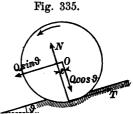
Für n = 0 entsteht wieder der Wert der Gl. 3.



Hiernach ist e in verwickelter Weise von  $\psi$  und n, d. h. von der Beschaffenheit der Unterlage, oder, weil die Zusammendrückung in Wirklichkeit eine gegenseitige ist, von den Stoffen der Walze und der Unterlage abhängig, außerdem aber auch von der Größe des Druckes N und von dem Halbmesser r des Rollkreises. Hat man aber e für einen Wert von N und r durch unmittelbare Messung oder auf mittelbarem Wege gefunden, so bringt eine Änderung von N oder von r nur geringe Änderung von e hervor, da Nr schon auf das Achtfache wachsen muß, wenn e sich verdoppeln soll. Daher zieht man es vor, für eine Gruppe praktisch wichtiger Fälle bei Mittelwerten von N und r die Größe e einmal zu bestimmen und diese Länge e dann für andere ähnliche Fälle innerhalb gewisser Grenzen unverändert beizubehalten

Die Ermittelung der Größe e kann durch Versuche in ähnlicher Weise erfolgen, wie man die Reibungsziffer mittels der schiefen Ebene (S. 216) feststellt. Gibt man der Rollbahn eine veränderliche Neigung, oder hat man eine genügende Anzahl von

Strecken mit verschiedenen Neigungen, legt die Walze auf und stellt durch Versuche denjenigen Neigungswinkel  $\vartheta$  der Bahn fest, bei welchem sich eine gleichmäßige Rollbewegung der Walze erhält, so läßt sich mittels dieses Rollwinkels  $\vartheta$  die Größe e berechnen (Fig. 335).



Das Gewicht Q der Walze zerlegt sich in  $Q\sin\vartheta$  und  $Q\cos\vartheta$ . Der Druck N der Bahn geht um e an O vorbei. Außerdem tritt nun noch die Reibung T an der Bahn auf. Diese vier Kräfte müssen den Gleichgewichtsbedingungen genügen, daher  $N=Q\cos\vartheta$ ;  $T=Q\sin\vartheta$ .

Die beiden auftretenden Kräftepaare müssen sich aufheben, daher  $Q\cos\vartheta\,e=Q\sin\vartheta\,r\,$  oder  $e=r\operatorname{tg}\vartheta$ ,

wofür man wegen der Kleinheit des Winkels  $\vartheta$  auch

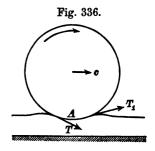
8)  $e = r\vartheta$  schreiben kann.

Nach den vorstehenden Betrachtungen würde der Rollwiderstand verschwinden, wenn die zusammendrückbare Fahrbahn sehr elastisch, annähernd n=1 wäre, indem dann e= Null entsteht. Man könnte glauben, daß eine Kautschukplatte oder auch eine Unterlage von Stahl in solchem Maße elastisch wäre, daß dafür nahezu n=1 gesetzt werden müßte. Damit steht nun freilich die Erfahrung im Widerspruche, denn bei dem Rollen einer eisernen Walze auf einer Kautschukplatte zeigt sich ein ziemlich erheblicher Widerstand, oder es ist eine ziemlich erhebliche Neigung  $\vartheta$  erforderlich, damit ein gleichmäßiges Rollen auf schiefer Ebene stattfinden kann.

Diese Erscheinung erklärt sich in folgender Weise. Wenn auch die Bahn von Kautschuk bezw. von Stahl so elastisch ist, das nach einiger Zeit keine Spur des Hinüberrollens mehr bemerkt wird, so erfolgt die Rückkehr in die ursprüngliche Form niemals sofort, sie erfordert vielmehr immer eine gewisse Zeit. Daher wird die Obersläche der Fahrbahn dicht hinter der Walze immer etwas tieser liegen als vor derselben und erst später, wenn die Walze sich von der Stelle entsernt hat, zur ursprünglichen Höhe zurückkehren.

Auch ist die Rollbewegung nach Versuchen von Prof. Osborne Reynolds im Jahre 1875 (Philosophical transactions, Bd. 166; Zeitschrift des Vereins deutscher Ingenieure 1877, S. 417) stets mit einem Gleiten verbunden. Die

Strecke s, welche eine eiserne Walze vom Halbmesser r auf einer Kautschukplatte bei einer Umdrehung zurücklegt, zeigt sich kleiner als der Umfangsweg  $2r\pi$ . Mit dem Zusammendrücken der Kautschukplatte ist vor und hinter der Zusammendrückung eine wulstartige Erhebung verbunden (Fig. 336). In der Nähe des Punktes A wird vielleicht kein Gleiten stattfinden, wohl aber zu beiden Seiten; aus dem Gleiten entstehen dann Reibungswiderstände T und  $T_1$ , die ein Widerstands-

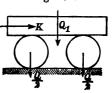


moment liefern. Hiernach darf auch für elastische Bahnen die Formel 1 (S. 274) für den Rollwiderstand beibehalten werden, solange eine bessere nicht gefunden ist.

Wird eine Last  $Q_1$  auf Walzen vom Gesamtgewichte Q fortgeschoben (Fig. 337), so tritt unten wie oben an den Walzen ein Rollwiderstand auf; die

9)  $K = \{Q_1 e_1 + (Q + Q_1)e\} : (2r);$ denn die Kraft K überträgt sich durch Reibung auf die oberen Teile der Walzen und bildet mit den unten an den Walzen auftretenden

erforderliche Kraft ist dann



Reibungswiderständen ein Kräftepaar vom Hebelarme 2r; e und  $e_1$  sind die Arme der Rollwiderstände unten bezw. oben.

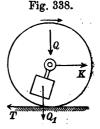
Sind alle in Frage kommenden Teile aus sehr hartem Holz, ist  $Q_1 = 1000$  kg, Q = 50 kg, r = 0,1 m, so wird

$$K = \frac{1000 \cdot 0,0005 + 1050 \cdot 0,0005}{0.2} = 5,1 \text{ kg}.$$

Hieraus erkennt man die Zweckmäsigkeit der Walzen zum Fortschaffen schwerer Körper (eiserner oder steinerner Bauteile).

Bei den Fuhrwerken nun ist die Last des Wagenkastens mittels Achslager auf die Achsen der Räder gestützt, und da der Wagenkasten wohl an der Verschiebung, nicht aber an der Drehung der Walze teilnimmt, so findet an den Zapfen vom Durchmesser d eine Zapfenreibung statt. Wir wollen zunächst eine

einzige Wagenachse von dem Gewichte Q betrachten und an ihr eine Last  $Q_1$  aufgehängt denken (Fig. 338). (Das Gehänge stellt sich dann wegen des Zapfenreibungsmomentes  $^{1/2}fQ_1$  d etwas schief.) Der Bodendruck beträgt  $Q+Q_1$ , daher das Moment des Rollwiderstandes  $(Q+Q_1)e$ . Die Zugkraft K auf wagerechter Ebene veranlaßt, daß der Zapfendruck etwas größer wird, doch hat dieser Umstand keine Bedeutung. An der Fahrbahn entsteht eine



Reibung T, welche mit K das treibende Kräftepaar liefert: es ist dann mit R als Radhalbmesser:

$$KR = \frac{1}{2} Q_1 f d + (Q + Q_1) e$$
, so dass  
10) 
$$K = \frac{1}{2} \frac{Q_1 f d + (Q + Q_1) e}{R} \text{ wird.}$$

Diese Formel bleibt auch gültig, wenn die Last des Wagenkastens  $Q_1$  auf mehrere Achsen vom Gesamtgewichte Q verteilt ist. Genauer bedeutet Q das Gewicht der rollenden,  $Q_1$  dasjenige der nur fortschreitenden Teile. Bei gewöhnlichen Straßenfuhrwerken bezieht sich Q nur auf die Räder, während die Achsen zu  $Q_1$  gehören; bei den gewöhnlichen Eisenbahnfuhrwerken dagegen ist die Achse mit den Rädern fest verbunden, so daß Q das Gewicht der Achsen und Räder bedeutet.

Nach Gl. 10 steht die erforderliche Zugkraft K im umgekehrten Verhältnisse zu dem Radhalbmesser R; zur Verminderung von K muß man daher R so groß machen, wie die sonstigen Umstände und Rücksichten gestatten.

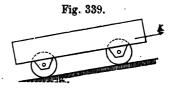
Beispiel: An einem zweiachsigen Eisenbahnwagen wiegen die beiden Achsen mit den Rädern  $Q = 2000 \, \text{ts}$ , die übrigen Teile nebst der Last  $Q_1 = 8000 \text{ kg}$ ; der Radhalbmesser sei R = 0.5 m, der Zapfendurchmesser d=0,1 m, die Reibungsziffer f=0,06, die Größe e=0,0005 m, dann ist die auf wagerechter gerader Bahn erforderliche Zugkraft

$$K = \frac{4000 \cdot 0.06 \cdot 0.1}{0.5} + 10000 \cdot \frac{0.0008}{0.5} = 48 + 10 = 58 \, \text{kg},$$

wovon 48 kg durch Zapfenreibung, 10 kg durch Rollwiderstand erfordert werden.

Soll das Fuhrwerk gleichmäsig eine Steigung unter dem Winkel a hinan gezogen werden (Fig. 339), so bleibt der ganze

Zapfendruck =  $Q_1$ , der Normalwiderstand N beträgt aber nur  $(Q_1 + Q) \cos \alpha$ ; doch ist cos a bei allen Bahnen und Wegen, die frei (ohne Seil oder Zahnstange) befahren werden, von der Einheit so wenig verschieden, dass Zapfenreibung + Rollwiderstand wiederum



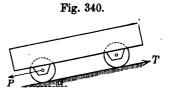
= K gesetzt werden können. Es tritt aber nun doch die schräg abwärts gerichtete Seitenkraft der Schwere  $Q \sin \alpha$  und  $Q_1 \sin \alpha$  auf, die beide von  $K_1$  mit überwunden werden müssen. Daher ist die jetzt erforderliche Zugkraft

$$K_1 = (Q + Q_1)\sin\alpha + K_1$$

worin aber a statt sin a geschrieben werden kann.

Diese Kräfte K und  $K_1$  müsten nach dem bisherigen (Fig. 338) eigentlich an den Mittellinien der Achsen angreifen. Bringt man sie aber in beliebiger Höhe an dem Fuhrwerk an, so wird durch diese Verschiebung nur die Verteilung der Last  $Q_1$  auf die beiden Achsen etwas geändert, im übrigen bleibt die Wirkung die gleiche.

Bewegt sich das Fuhrwerk gleichmässig abwärts und wird auf dasselbe (etwa mittels eines Seiles) eine hemmende Kraft  $K_2$  ausgeübt, so ist  $(Q + Q_1) \alpha - K_2$  die gesamte treibende Kraft P mit dem Sinn abwärts (Fig. 340). Die Neigung  $\alpha$  hat einen gewissen Einfluss auf die Verteilung der Last  $Q_1$  auf die beiden



Achsen; davon abgesehen, kann man sich aber die gesamte Kraft P in der Achsenmitte angreifend denken. An den Berührungsstellen der Räder mit der Bahn tritt eine gesamte Reibung T=P auf und bildet mit P das Kräftepaar PR zur Überwindung der Widerstandsmomente  $^{1}/_{2}Q_{1}fd+(Q+Q_{1})e$ , und da letztere Summe =KR (Gl. 10), so ist

$$(Q+Q_1) \alpha - K_2 = K,$$

oder die erforderliche Hemmkraft

12) 
$$K_2 = (Q + Q_1) \alpha - K$$
.

Für ein gewisses Gefällverhältnis  $\alpha = \alpha_0$  reicht  $(Q+Q_1)\alpha_0$  gerade zur Überwindung der Widerstände hin, so dass die erforderliche Hemmkraft  $K_2 = 0$  wird. Dieses Gefälle heisst die Gleichge wichtsneigung  $\alpha_0$ , u. zw. ist

$$a_0 = \frac{K}{Q + Q_1}.$$

Zugleich ist dann aber auch

$$K = (Q + Q_1) \alpha_0,$$

d. h. die auf wagerechter Ebene erforderliche Zugkraft K gleich dem Gesamtgewichte  $(Q + Q_1)$  mal der Gleichgewichtsneigung  $\alpha_0$ .

Durch Vorrichtungen zur Messung der Zugkraft oder durch Ermittelung der Gleichgewichtsneigung kann die für einen Wagen erforderliche Zugkraft K ziemlich scharf gemessen werden; von den beiden Widerständen aber, die von K zu überwinden sind, kann man nur die Zapfenreibung einigermaßen befriedigend berechnen, während der Betrag des Rollwiderstandes bisher nur sehr unvollkommen berechnet werden kann, wie aus den Bemerkungen auf S. 277 ersichtlich ist. Man zieht es deshalb vor, nur den Gesamtwiderstand K durch Versuche eingehender zu prüfen und K in ein Verhältnis zu dem Gesamtgewichte  $Q+Q_1$  des Fuhrwerkes zu bringen, trotzdem nach Gl. 10 der Wert K nicht genau verhältnisgleich mit  $Q+Q_1$  ist. Diese Verhältniszahl ist nach Gl. 14 aber die Gleichgewichtsneigung  $\alpha_0$ . Mit deren Einführung wird dann auf einer Steigung  $\alpha$  nach Gl. 11

15) 
$$\mathbf{K}_1 = (\mathbf{Q} + \mathbf{Q}_1)(\alpha + \alpha_0),$$

auf einem Gefälle α nach Gl. 12 die Haltkraft

$$\mathbf{K}_2 = (\mathbf{Q} + \mathbf{Q}_1) (\alpha - \alpha_0).$$

Auf Grund dieser Vereinfachungen bekommt nun die Gleichgewichtsneigung  $\alpha_0$  eine ähnliche Bedeutung, wie sie der Reibungs-

winkel  $\varphi$  bei gleitender Bewegung hat. Da bei Fuhrwerken  $\alpha_0$ stets ein kleiner Bruch, so ist  $\sin \alpha_0 = \alpha_0 = \operatorname{tg} \alpha_0$  zu setzen, ebenso wie bei kleinem Reibungswinkel  $\sin \varphi = \varphi = \operatorname{tg} \varphi = f$  gesetzt werden konnte. Die Gleichgewichtsneigung  $\alpha_0$  ist zugleich die Widerstandsziffer des Fuhrwerkes, welche man nur mit dessen Gewicht zu multiplizieren braucht, um den Gesamtwiderstand auf wagerechter Bahn zu erhalten. Man braucht daher zur zahlenmässigen Berechnung der erforderlichen Zug- oder Haltkräfte  $K_1$ und  $K_2$  auf die rollenden Räder und die damit zusammenhängenden Widerstände keine Rücksicht mehr zu nehmen, sondern kann, weil diese Widerstände in dem Wert α stecken, bei gleich mässiger Bewegung das Fuhrwerk wie einen Schlitten vom Gesamtgewichte  $Q + Q_1$  auf sehr glatter Bahn mit einer Reibungsziffer  $f = \alpha_0$ Die Kraft  $(Q + Q_1) \alpha_0$  ist dann stets entgegengesetzt betrachten. der Bewegung,  $(Q + Q_1)$  a stets abwärts anzubringen.

**Beispiel:** Für den Eisenbahnwagen auf S. 279 ist K = 58,  $Q + Q_1 = 10\,000$ , daher  $\alpha_0 = 0,0058 = 1:172$ , wofür man  $\alpha_0 = 0,006 = 1:170$  setzen kann. Ein Zug aus 40 derartigen Wagen hat ein Gewicht  $Q + Q_1 = 400\,000$  kg. Es ist dafür auf wagerechter

Bahn  $K = 400\,000$ , 0.006 = 2400 kg. Auf Fig. 341.

Bahn  $K = 400\ 000$ . 0,006 = 2400 kg. Auf einer Steigung  $\alpha = 1:800$  ist dann die Zugkraft nötig (Fig. 341)

 $K_1 = 400\,000:800 + 2400 = 2900$  kg; soll der Zug aber auf derselben Rampe abwärts fahren, so wirkt 500 abwärts, der Widerstand

Fig. 341.

= 2400 kg aufwärts; es ist also noch in der Richtung der Bewegung eine Zugkraft 2400 — 500 = 1900 kg nötig. — Für  $\alpha = \alpha_0$  ist bei der Abwärtsbewegung keine bewegende oder hemmende Kraft erforderlich, dagegen ist bei der Aufwärtsbewegung  $K_1 = (Q + Q_1) \alpha_0 + K = 2 K$ , d. h. doppelt so groß wie auf wagerechter Bahn. — Ist  $\alpha > \alpha_0$ , z. B.  $\alpha = 1:100$ , so wird für Aufwärtsfahrt eine Zugkraft  $K_1 = 400\,000:100 + 2400 = 6400\,\mathrm{kg}$ , für Abwärtsfahrt eine Hemm kraft (Gl. 16)  $K_2 = 400000:100 - 2400 = 1600$  kg nötig. Diese wird erzeugt, indem man Bremsbacken oder Bremsklötze mit solcher Kraft an die Räder presst, dass dadurch eine Gesamtreibung an den Umfängen der Räder im Betrage von  $K_2$  entsteht. Diese wirkt mit dem Widerstandsmomente  $K_2R$  an den Achsen wie eine vielfach vergrößerte Zapfenreibung und erfordert in ähnlicher Weise wie diese (Fig. 338) ein im Sinne der Drehung der Achsen wirkendes Kräftepaar  $K_2R$ , indem an den Stellen der Berührung der Räder mit den Schienen eine der Bewegung entgegengesetzt wirkende Reibungskraft von der Größe  $K_2$  hervorgerufen wird, welche nach dem Satze von der Bewegung des Schwerpunktes (S. 166) auf die Bewegung des Fuhrwerkes im ganzen gerade so einwirkt, als ob sie im Schwerpunkte des Fuhrwerkes oder in den Achsmitten oder irgendwo am oberen Teile des Wagenkastens angriffe.

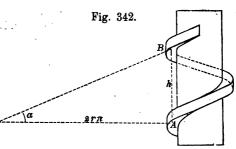
In den bisherigen Betrachtungen und Beispielen sind als Widerstände nur Zapfenreibung und Rollwiderstand berücksichtigt. Dies genügt nur für Bewegung mit geringer Geschwindigkeit. Denn es tritt noch ein Luftwiderstand hinzu, der bei langsamer Bewegung des Zuges gering, bei schneller Bewegung aber sehr bedeutend ist. Auf diesen Widerstand kann hier nicht eingegangen werden; es sei nur erwähnt, daß bei schnell fahrenden Personenzügen die Widerstandsziffer oder Gleichgewichtsneigung  $\alpha_0$  auf 0,01 steigt, daß also der Gesamtwiderstand bei voller Geschwindigkeit um das Mehrfache größer ist wie bei langsamer Bewegung.

Für Straßenfuhrwerke ist die Ziffer  $\alpha_0$  erheblich größer als für Eisenbahnwagen. Einmal sind die Achslager oder Achsbüchsen nicht so vollkommen; namentlich aber ist die Fahrbahn eine viel weniger regelmäßige, so daß der Rollwiderstand ganz bedeutenden Einfluß gewinnt. Auch bei diesen Fuhrwerken kann man nur den Gesamtwiderstand durch  $\alpha_0$  ausdrücken. Für bestes Steinpflaster ist etwa  $\alpha_0=1:80$ , für gewöhnliche Landstraßen  $\alpha_0=1:30$ . Soll nun auf Landstraßen im Flachlande, wo die gewöhnlichen Fuhrwerke nicht mit Bremsen versehen sind, beim Abwärtsfahren ein Zurückhalten des Wagens durch die Pferde nicht nötig sein, so dürfen die vorkommenden Gefälle nicht stärker als die Gleichgewichtsneigung  $\alpha_0$  sein. Für  $\alpha=\alpha_0$  läuft der Wagen abwärts frei, während die zum Aufwärtsziehen erforderliche Kraft doppelt so groß ist wie auf der Wagerechten.

#### 13. Die Schraube.

Die Schraubenspindel kann man betrachten als bestehend aus einem zylindrischen Kern, um den die Schraubengänge als nach einer Schraubenlinie gestaltete vorspringende Leisten herumgelegt sind. Die Schraubengänge bilden mit dem Kern einen festen Körper. Bei der flachgängigen Schraube hat der Schraubengang rechteckigen

Querschnitt, bei der scharfgängigen Schraube ist seine Querschnittsform ein gleichschenkliges (nahezu gleichseitiges) Dreieck. Die Schraubenmutter ist ein fester Körper, der die Schraubenspindel mit



geringem Spielraum umschliesst.

Wird die Schraubenmutter festgehalten, so kann die Schraubenspindel nur eine sog. Schraubenbewegung ausführen, indem mit der Drehung um die Achse der Spindel eine Verschiebung längs derselben verbunden ist. Verfolgt man einen Schraubengang, an einem Punkt A (Fig. 342) beginnend, so weit, bis man bei B eine Stelle trifft, die mit A auf einer und derselben Zylinderseite liegt, so ist der Abstand AB = h die Ganghöhe der Schraube; dies ist derjenige Weg, um welchen sich die Schraubenspindel während einer Umdrehung längs der Achse verschiebt. Befindet sich der Punkt A in einem Abstand r von der Achse, so ist die ebene Abwickelung der Schraubenlinie von A bis B eine geneigte Gerade mit den Projektionen h und  $2r\pi$ , mit einem Neigungsverhältnisse

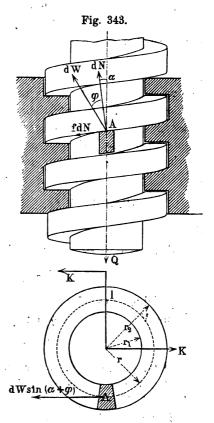
1)  $\operatorname{tg} \alpha = h:(2r\pi).$ 

Da nun h der für alle Teile der Spindel gleiche Verschiebungsweg längs

der Achse bei einer Umdrehung ist, so werden die Schraubenlinien, auf denen sich die verschiedenen Punkte der Spindel bewegen, verschiedene Ansteigungsmittel  $\alpha$  haben, u. zw. um so kleiner, je größer der Abstand r des Punktes von der Achse.

Je nachdem ein Gang oder mehrere Gänge sich um den Kern der Schraube gleichlaufend herumwinden, nennt man die Schraube ein- oder mehrgängig.

Flachgängige Schraube (Fig. 343). Auf die Spindel wirke eine (etwa abwärts gerichtete) Kraft Q in der Richtung der Achse. soll dasjenige Kräftepaar Kl berechnet werden, welches die Spindel in gleichmäßiger Schraubenbewegung erhält, so dass ihre Verschiebung dem Sinne der Kraft Q entgegengesetzt ist. Die Spindel stützt sich auf die Gänge der Schrauben-



mutter, erfährt von diesen Normal- und Reibungswiderstände, die

sich zu Gesamtwiderständen zusammensetzen. Die Widerstände verteilen sich auf die Breite des Schraubenganges, doch machen wir die vereinfachende Voraussetzung, dass sie an dem Halbmesser  $r = \frac{1}{2}(r_1 + r_2)$  angreifend gedacht werden können. An einem Teilchen des Schraubenganges bei A wirkt ein Normaldruck dN, der gegen die Achse der Spindel um denselben Winkel a geneigt ist, welchen die mittlere Schraubenlinie mit der Querschnittsebene der Spindel bildet. dN setzt sich mit der Reibung  $f \cdot dN$  zu dWzusammen, welches von dN um den Reibungswinkel  $\varphi$  abweicht, daher mit der Achsenrichtung der Schraube den Winkel  $\alpha + \varphi$ d W liefert in der Richtung der Drehachse eine Seitenkraft  $d W \cos (\alpha + \varphi)$ , und die Summe aller dieser Seitenkräfte muß der entgegengesetzten Kraft Q gleich sein, weil die Verschiebung gleichförmig erfolgen soll (s. A. Ritter, Technische Mechanik). nun  $\alpha$  und  $\varphi$  für die ganze Erstreckung des Schraubenganges dieselben Werte haben, so ist

$$Q = \cos (\alpha + \varphi) \sum d W.$$

Die wagerechten Seitenkräfte von d W sind Kräfte d W sin  $(\alpha + \varphi)$ , welche im Grundrisse sämtlich Tangenten an den Kreis vom Halbmesser r bilden. In Bezug auf die Achse der Spindel haben sie eine Momentensumme r sin  $(\alpha + \varphi)$   $\Sigma d$  W, welches Widerstandsmoment durch das treibende Kräftepaar Kl überwunden werden muß, also

3) 
$$Kl = r \sin (\alpha + \varphi) \Sigma d W.$$

Teilt man Gl. 3 durch Gl. 2, so entsteht  $\frac{Kl}{Q} = r \operatorname{tg} (\alpha + \varphi)$  oder

4) 
$$Kl = Qr \operatorname{tg}(\alpha + \varphi),$$

was sich mit tg  $\varphi = f$ , für die Rechnung bequemer, schreiben läßt:

$$Kl = Qr \frac{\lg \alpha + f}{1 - f \lg \alpha}.$$

Für gleichmäßige Abwärtsbewegung im Sinne der Kraft Q kehren sich die Vorzeichen von  $\varphi$  und f um:

6) 
$$K_1 l = Q r \operatorname{tg} (\alpha - \varphi) = Q r \frac{\operatorname{tg} \alpha - f}{1 + f \operatorname{tg} \alpha}.$$

Alle Kräftepaare  $K_2l$ , unter deren Einwirkung die Schraubenspindel im Ruhezustande verbleibt, liegen zwischen den Grenzen Kl und  $K_1l$ .

Für  $\alpha = \varphi$  ist  $K_1 l = 0$ , also  $K_1 = 0$ , d. h. es verhält sich in diesem Falle die Spindel ähnlich wie ein Körper, der auf schiefer

Ebene unter einem Neigungswinkel  $\alpha=\varphi$  unter Einwirkung der Schwere ohne Kräfte K gleichmäßig abwärts gleitet (S. 216). Für  $\alpha<\varphi$  muß der Körper durch eine abwärts gerichtete Kraft, die Spindel durch ein Moment (—  $K_1$  l) abwärts bewegt werden, da die abwärts treibende Kraft der Schwere oder der Last Q geringer ist als die Reibungswiderstände. Für  $\alpha>\varphi$  muß der Körper durch eine aufwärts gerichtete Kraft, die Spindel durch das Moment  $K_1$  l an beschleunigter Abwärtsbewegung verhindert werden. Im ersteren Falle nennt man das Gewinde "selbstsperrend", in letzterem Falle "nicht selbstsperrend".

Da die Kraft Q und das Moment Kl mit den Widerständen  $[d\ W]$  im Gleichgewichte sind und da die Widerstände  $[d\ W]$  nach dem Gesetze der Wechselwirkung entgegengesetzt auf die Schraubenmutter wirken, so übertragen sich Q und Kl auf die Schraubenmutter; soll nun letztere nicht in Bewegung geraten, so müssen an ihr Widerstände auftreten, welche dem Entgegengesetzten von Q und Kl gleichwertig sind.

Stützt sich die Mutter, ohne weiter festgehalten zu sein, auf eine ebene Unterlage AA (siehe Fig. 344), so muß diese einen der Last Q entgegengesetzt gleichen Gesamtwiderstand N leisten, und es muß unter der Wirkung desselben in der Stützebene ein dem Momente  $K \cdot l$  entgegengesetzt gleiches Reibungsmoment  $N \cdot f_1 \cdot r_1$  zustande kommen. Wird der mittlere Radius  $r_1$  der Stützfläche hinreichend groß bemessen, so läßt sich die letztere Bedingung stets sicher erfüllen. Nötigenfalls kann man das Reibungsmoment auch durch kegelförmige Gestaltung der Stützfläche entsprechend vergrößern.

Soll das Heben der Last  $Q_1$  bezw. die Axialbewegung der Spindel ohne Drehbewegung der letzteren durch Umdrehung der Schraubenmutter herbeigeführt werden, so muß das aufzuwendende Kraftmoment auch das Reibungsmoment der Mutter auf ihrer Unterlage mit überwinden. Für die Aufwärtsbewegung muß daher sein

7) 
$$K \cdot l = Qr \cdot \frac{\operatorname{tg} \alpha + f}{1 - \operatorname{tg} \alpha \cdot f} + Q \cdot f_1 r_1 = Q \left( r \frac{\operatorname{tg} \alpha + f}{1 - \operatorname{tg} \alpha f} + f_1 r_1 \right)$$

und ebenso für die Abwärtsbewegung

8) 
$$K_1 \cdot l = Qr \cdot \frac{\operatorname{tg} \alpha - f}{1 + \operatorname{tg} \alpha \cdot f} - Qf_1r_1 = Q\left(r \frac{\operatorname{tg} \alpha - f}{1 + \operatorname{tg} \alpha \cdot f} - f_1r_1\right)$$

worin  $f_1$  die etwa von f verschiedene Reibungsziffer der Schraubenmutter auf ihre Unterlage bedeutet.

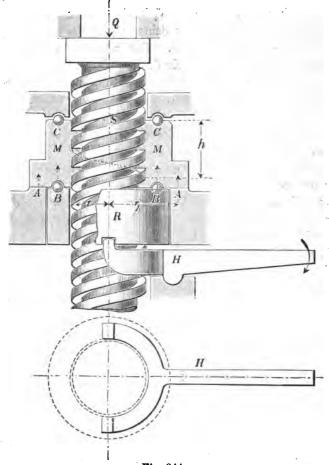


Fig. 344.

Je nachdem im Falle der Abwärtsbewegung

$$r \frac{\operatorname{tg} \alpha - f}{1 + \operatorname{tg} \alpha \cdot f} \leq f_1 r_1$$
 oder  $r_1 \geq \frac{r}{f_1} \frac{\operatorname{tg} \alpha - f}{1 + \operatorname{tg} \alpha f}$  ist,

fallt das für die gleichmäßige Bewegung aufzuwendende Kraftmoment  $K_1 l \leq 0$  aus, und ist dementsprechend die Schraubenmutter auf ihrer Unterlage selbstsperrend oder nicht selbstsperrend.

Von dieser Beziehung zwischen dem Steigungswinkel a des Gewindes und dem mittleren Radius  $r_1$  der Stützfläche der Schraubenmutter macht man mit Vorteil Anwendung in den sog. "Stützspindeln", wie sie z. B. als Sicherheitsorgane bei der Vertikalbewegung von Verkehrseinrichtungen, Aufzügen, Hubbrücken u. s. w. benutzt werden. (Vergl. Fig. 344.) Die Spindel S ist mit nicht sperrendem Gewinde versehen und um ihre Achse nicht drehbar. Wird der mittlere Radius  $r_1$  der Stützfläche AA so bemessen, daß  $r_1 > \frac{r}{f_1} \frac{\lg \alpha - f}{1 + \lg \alpha \cdot f}$ , so findet die Last Q vermittelst der Spindel S und der Schraubenmutter M sicherere Unterstützung. Wird aber die Mutter etwa durch den Hebel H und den Stützring R um ein Geringes gehoben, so dass in AA Berührung nicht mehr stattfindet, die Mutter vielmehr zwischen den Kugellagern BB und CC drehbar festgehalten ist, so vermindert sich das Reibungemoment zwischen der Mutter und ihrer Unterstützung, so dass erstere ihre Stützfähigkeit verliert und die nicht drehbare Spindel mit der Last Q in beliebiger Weise auf- und abwärts bewegt werden kann, wobei sich die Mutter um die Spindel einmal in einem, einmal im anderen Sinne dreht. Sobald aber die Mutter, sei es willkürlich, oder in automatischer Abhängigkeit von den Bewegungen des Gesamtapparates selbsttätig wieder auf die Stützfläche AA herabgelassen wird, steht die Spindel und Last wieder sicher fest.

Beispiel 1: Bei einer nicht selbstsperrenden Stützspindel sei  $h=15\,\mathrm{cm}$ ,  $r=7.5\,\mathrm{cm}$ , f=0.10,  $f_1=0.10$ . Dann erfordert die sichere Stützfähigkeit derselben  $r_1=\frac{7.5}{0.10}\cdot\frac{\mathrm{tg}\,\alpha-0.10}{1+\mathrm{tg}\,\alpha\cdot0.10}$ ,  $\mathrm{tg}\,\alpha=\frac{15}{2\cdot7.5\cdot\pi}=0.52$ ,

daher

$$r_1 = 16.0 \text{ cm}$$
.

Gibt man der Stützfläche die Form eines Kegelmantels mit  $\delta = 45^{\circ}$ , sin  $\delta = 0.70$ , so wird

$$r_1 = \sin \delta \cdot \frac{7,5}{0,10} \cdot \frac{\lg \alpha - 0,10}{1 + \lg \alpha \cdot 0,10} = 11,2 \text{ cm}.$$

Der Wirkungsgrad der flachgängigen Schraube ergibt sich, wenn man eine Umdrehung betrachtet, zu  $\eta = \frac{Qh}{Kl2\pi}$ , denn dabei wird der Angriffspunkt von Q um h gehoben, die Arbeit des Momentes Kl ist aber nach S. 247 gleich dem Momente mal dem Drehungswinkel. Da nun  $h = 2r\pi t g \alpha$ , so wird mit Gl. 4:

9) 
$$\eta = \frac{Q 2 r \pi \operatorname{tg} \alpha}{Q r \operatorname{tg} (\alpha + \varphi) 2 \pi} = \frac{\operatorname{tg} \alpha}{\operatorname{tg} (\alpha + \varphi)}.$$

Beispiel 2: Es sei f = 0.15. Wählt man nun tg  $\alpha$  ebenso groß, so wird tg  $(\alpha + \varphi) = \frac{0.15 + 0.15}{1 - 0.15 \cdot 0.15}$ , daher  $\eta = \frac{0.15 \cdot 0.9775}{0.3} = 0.49$ .

In diesem Fall  $\alpha = \varphi$  steht die Schraube an der Grenze der Selbstsperrung; im Zusammenhange damit ist ihr Wirkungsgrad annähernd 0,5

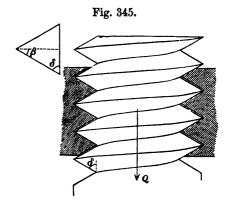
(vergl. S. 242). Bei den meisten Anwendungen der Schraube ist Selbstsperrung erwünscht; ist z. B. tg  $\alpha=0.07$ , f=0.15, so wird tg  $(\alpha+\varphi)=\frac{0.07+0.15}{1-0.07\cdot0.15}$  und  $\eta=\frac{0.07\cdot0.9895}{0.32}=0.32$ . Der Wirkungsgrad der Schraube ist daher nur ein geringer.

Bei kleinen Werten von f und  $tg \alpha$  kann  $f tg \alpha$  gegen 1 vernachlässigt werden, so daß  $tg (\alpha + \varphi) = tg \alpha + f$ ; dann ergibt sich einfach  $Kl = Qr (tg \alpha + f)$  und  $\eta = \frac{tg \alpha}{f + tg \alpha}$ . Dies ergibt z. B.

für 
$$f = \text{tg } \alpha = 0,15$$
;  $\eta = 0.5$ ;  
für  $f = 0,15$ ,  $\text{tg } \alpha = 0,07$ :  $\eta = 0,318$ .

Scharfgängige Schraube (Fig. 345). Bei dieser ist der Querschnitt des Schraubenganges ein gleichschenkliges Dreieck mit dem

Kantenwinkel  $2\beta = 55^{\circ}$ . Der Übergang von der flachgängigen zur scharfgängigen Schraube ist hinsichtlich des Verhältnisses der wirkenden Kräfte ungefähr so zu beurteilen wie der Übergang von dem Spurzapfen mit ebener Tragfläche zu dem kegelförmigen Spurzapfen; es findet auch hier ein keilartiges Einpressen der Spindel in die (wenn auch nur annähernd) trichterförmigen



Gänge der Schraubenmutter und dadurch eine Vergrößerung der Reibungswiderstände statt, die man am einfachsten berücksichtigt, indem man f, wo es in den Gleichungen der flachgängigen Schraube vorkommt, mit  $f:\sin\delta$  oder mit  $f:\cos\beta$  vertauscht. Denn  $\delta$  (der halbe Keilnutenwinkel) ist die Neigung der Kante des Gewindequerschnittes gegen die Achse, mithin  $\delta=90^{\circ}-\beta$ . Behufs kürzester Schreibweise kann man auch den Reibungswinkel  $\varphi$  mit dem Winkel  $\psi$  vertauschen, wenn

8) 
$$Kl = Qr \operatorname{tg}(\alpha + \psi) = Qr \frac{\operatorname{tg}\alpha + f \sec\beta}{1 - f \sec\beta \operatorname{tg}\alpha},$$

9) 
$$K_1 l = Qr \operatorname{tg} (\alpha - \psi) = Qr \frac{\operatorname{tg} \alpha - f \sec \beta}{1 + f \sec \beta \operatorname{tg} \alpha}.$$

Selbstsperrung tritt jetzt ein für tg  $\alpha \leq \operatorname{tg} \psi = f : \cos \beta$ .

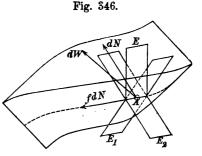
10) 
$$\eta = \frac{\operatorname{tg} \alpha}{\operatorname{tg} (\alpha + \psi)} = \frac{\operatorname{tg} \alpha}{\operatorname{tg} \alpha + f \sec \beta} (1 - f \sec \beta \operatorname{tg} \alpha).$$

Diese Gleichungen sind die allgemeineren; mit  $\cos \beta = \sec \beta = 1$ entstehen daraus wieder Gl. 5, 6 und 7 für flachgängige Schrauben.

Beispiel 3: Für 
$$r = 0,015 \text{ m}$$
;  $h = 0,003 \text{ m}$ ;  $\text{tg } \alpha = \frac{0,003}{2 \cdot 0,015 \cdot \pi} = 0,032$ ;  $f = 0,15$ ;  $\cos \beta = \cos 27^{1/2} = 0,887$ ;  $f \sec \beta = 0,17$  und  $l = 0,4 \text{ m}$  wird  $Kl = 0,003 \text{ odd } Q$ ;  $K = 0,0075 Q$ ;  $K_1l = -0,0030 Q$ ;  $K_1 = -0,005 Q$ ;  $K_2 = 0,16$ .

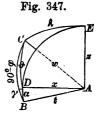
Die vorstehenden Gleichungen für die scharfgängige Schraube sind zur zahlenmäßigen Berechnung völlig ausreichend, können aber in wissenschaftlicher Beziehung nur als Annäherungen gelten, denn der Übergang von der flachgängigen Schraube zur scharfgängigen, wie er auf S. 288 behandelt wurde, ist nicht ganz zutreffend, da das Gewinde der scharfgängigen Schraube nicht als ein Kegel angesehen werden darf. Wir fügen daher noch folgende schärfere Behandlung des Falles nach, wobei wir der Notiz von Zierold über die Ableitung des Verhältnisses zwischen Kraft und Last bei der Schraube mit scharfem Gewinde (Civilingenieur 1894, S. 155) folgen.

A sei (Fig. 346) ein Punkt der mittleren Schraubenlinie vom Halbmesser r. Durch ein Bogenteilchen dieser Schraubenlinie legen wir eine Ebene E, welche den Zylinder vom Halbmesser r bei A berührt. Durch dasselbe Bogenteilchen legen wir eine Berührungsebene  $E_1$  an die gedrückte Schraubenfläche. Rechtwinklig zu ihr steht der Normaldruck dN; die Reibung  $f \cdot dN$  ist tangential zur mittleren Schraubenlinie; der



Gesamtwiderstand dW and dN und  $f \cdot dN$  liegt in einer Ebene  $E_2$ , welche auf  $E_1$  rechtwinklig steht, weil sie durch dN geht und dN winkelrecht zu  $E_1$ ist. Eine durch A gelegte Parallele zur Schraubenachse werde mit z be-

zeichnet, die Richtung der Kraft  $f \cdot dN$  als Tangente an die Schraubenlinie mit t. Ferner legen wir durch Aeine Gerade x; welche in der Ebene E liegt, u. zw. rechtwinklig zu z. Die Richtung von dW heiße w. Dann bilden w, x und t eine körperliche Ecke, und es entsteht, wenn man um A eine Kugelfläche beschreibt, das Kugeldreieck BCD (Fig. 347). Darin ist die Seite  $BC = 90^{\circ} - \varphi$ , weil dW von  $f \cdot dN$  um diesen Winkel abweicht, die Seite  $BD = \alpha$ , dem Neigungswinkel der mittleren Schraubenlinie. Die Seite CD zwischen w und x werde &, der



Winkel bei B an der Kante t aber  $\gamma$  genannt; dies ist der Winkel zwischen den Ebenen E und  $E_2$ . Für das Kugeldreieck gilt dann nach dem Cosinus-Satze, weil & und y einander gegenüber liegen:

$$\cos \vartheta = \cos \alpha \cos (90^{\circ} - \varphi) + \sin \alpha \sin (90^{\circ} - \varphi) \cos \gamma$$
11) 
$$\operatorname{oder} \cos \vartheta = \cos \alpha \sin \varphi + \sin \alpha \cos \varphi \cos \gamma.$$

Die Geraden z, t und w bilden eine räumliche Ecke, der das Kugeldreieck BCE entspricht. Der Bogen BE fällt mit BD teilweise zusammen, da t, x und z in der Ebene E liegen. In BCE ist wieder  $BC = 90^{\circ} - \varphi$ ,  $BE = 90^{\circ} + \alpha$  (denn x und z bilden miteinander einen rechten Winkel, x und t den Winkel  $\alpha$ ). Die Seite CE zwischen w und z werde  $\lambda$  genannt. In BCE liegen sich  $\gamma$  und  $\lambda$  gegenüber, daher ist

$$\cos \lambda = \cos (90^{\circ} + \alpha) \cos (90^{\circ} - \varphi) + \sin (90^{\circ} + \alpha) \sin (90^{\circ} - \varphi) \cos \gamma$$
12) 
$$\operatorname{oder} \cos \lambda = -\sin \alpha \sin \varphi + \cos \alpha \cos \varphi \cos \gamma.$$

Da dW mit x und z die Winkel & bezw.  $\lambda$  einschließt, so wird, entsprechend den Gl. 2 und 3, S. 284:

$$Kl = r \cos \vartheta \Sigma dW$$
 und 
$$Kl = Qr \frac{\cos \vartheta}{\cos \lambda} = Qr \cdot \frac{\cos \alpha \sin \varphi + \sin \alpha \cos \varphi \cos \gamma}{-\sin \alpha \sin \varphi + \cos \alpha \cos \varphi \cos \gamma},$$

oder, wenn man Zähler und Nenner durch  $\cos \alpha \cos \varphi$  teilt:

 $Q = \cos \lambda \, \Sigma d W$ ;

13) 
$$Kl = Qr \frac{f + \lg \alpha \cos \gamma}{-f \lg \alpha + \cos \gamma} = Qr \frac{\lg \alpha + f \sec \gamma}{1 - f \sec \gamma \lg \alpha}.$$

Es muss nun noch sec  $\gamma$  ermittelt, bezw. gezeigt werden, dass sec  $\gamma$  sehr annähernd = sec  $\beta$  ist, wodurch Gl. 13 in Gl. 8 übergehen würde.

Fig. 348.

80º2

Die drei Ebenen E,  $E_1$  und  $E_2$  gehen sämtlich durch t.  $E_2$  ist rechtwinklig zu  $E_1$ ; da nun der Winkel zwischen E und  $E_2$   $\gamma$  ist, so schließen deren Normalen  $n_1$  und  $n_2$  ebenfalls diesen Winkel ein, und weil  $E_1$  und  $E_2$  zueinander winkelrecht, so sind es auch deren Normalen  $n_1$  und  $n_2$ . Da die drei Ebenen durch die Tangente t gehen, so stehen die drei Normalen n,  $n_1$  und  $n_2$ (Fig. 348) sämtlich rechtwinklig zur Tangente t, und · zwischen den Normalen n und  $n_1$  findet sich der Winkel 90° -  $\gamma$ , so dass die Ebenen E und  $E_1$  ebenfalls den Winkel 900 - r miteinander bilden.

Nennt man g die durch A gelegte Erzeugende der Schraubenfläche, welche mit z den Winkel  $90^{\circ} - \beta$  einschließt, so bilden g, t und z eine Ecke entsprechend dem Kugeldreieck FGH(Fig. 349). FH liegt in der Ebene E durch z und t, GH in einer Ebene durch die Schraubenachse, welche zu E rechtwinklig, weshalb der Winkel

bei H (an der Kante z) ein Rechter. t ist gegen z um  $FH=90^{\circ}-\alpha$ , g gegen z, wie oben schon gesagt, um  $GH=90^{\circ}-\beta$  generating generating in g. Fig. 349. neigt; nennt man noch die Seite  $FG=\eta$ , so gibt g00° der Sinus-Satz:

$$\frac{\sin (90^{\circ} - \gamma)}{\sin 90^{\circ}} = \frac{\sin (90^{\circ} - \beta)}{\sin \gamma} \quad \text{oder}$$

14) 
$$\cos \gamma = \frac{\cos \beta}{\sin \gamma}$$
 und  $\sec \gamma = \frac{\sin \gamma}{\cos \beta}$ ;

der Cosinus-Satz:

$$\cos \eta = \cos (90^{\circ} - \beta) \cos (90^{\circ} - \alpha) + \sin (90^{\circ} - \beta) \sin (90^{\circ} - \alpha) \cos 90^{\circ}$$

$$15) \qquad \qquad \text{oder} \quad \cos \eta = \sin \beta \sin \alpha$$

$$\text{und} \quad \sin \eta = \sqrt{1 - \sin^{2} \beta \sin^{2} \alpha}, \quad \text{mithin wegen Gl. 14}$$

$$\sec^{2} \gamma = \frac{1 - \sin^{2} \beta \sin^{2} \alpha}{\cos^{2} \beta} = \sec^{2} \beta - tg^{2} \beta \sin^{2} \alpha$$

$$= 1 + tg^{2} \beta - tg^{2} \beta \sin^{2} \alpha = 1 + tg^{2} \beta \cos^{2} \alpha$$

$$= \cos^{2} \alpha (\sec^{2} \alpha + tg^{2} \beta) = \cos^{2} \alpha (1 + tg^{2} \alpha + tg^{2} \beta).$$

$$\text{Hinwise} \quad \sin^{2} \alpha (1 + tg^{2} \alpha + tg^{2} \beta).$$

Hiermit wird (Gl. 13)

16) 
$$Kl = Qr \frac{\operatorname{tg} \alpha + f \cos \alpha \sqrt{1 + \operatorname{tg}^2 \alpha + \operatorname{tg}^2 \beta}}{1 - f \sin \alpha \sqrt{1 + \operatorname{tg}^2 \alpha + \operatorname{tg}^2 \beta}}.$$

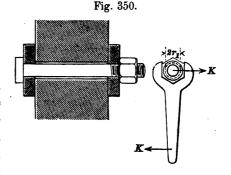
Bei den meist kleinen Ansteigungswinkeln  $\alpha$  ist nun aber der Winkel  $\gamma$  zwischen g und t (Fig. 349) nur wenig von einem Rechten verschieden, daher sin  $\gamma$  fast = 1 und deshalb (Gl. 14) sec  $\gamma$  nur wenig kleiner als sec  $\beta$ , oder, mit anderen Worten, es ist wegen der Kleinheit von  $\alpha$  annähernd cos  $\alpha$  = 1, sin  $\alpha$  = tg  $\alpha$  und  $1 + tg^2 \alpha + tg^2 \beta = 1 + tg^2 \beta = sec^2 \beta$ ,

womit Gl. 16 in Gl. 8 übergeht.

Für das Beispiel auf S. 289 wird nach Gl. 16 Kl = 0,00003 Q (gegen 0,00004 Q nach Gl. 8). Der Unterschied ist daher sehr gering. Es ist hiernach durchaus zu empfehlen, bei kleinen Winkeln  $\alpha$  stets Gl. 8—10 anzuwenden.

Die Reibungswiderstände sind (nach S. 288) bei scharfgängigen

Schrauben größer als flachgängigen. Soll daher eine Schraube zur Bewegungsübertragung (als einfache Maschine) dienen, so wählt man gewöhnlich eine flachgängige Schraube, während die scharfgängige als Befestigungs-Schraube mittel den Vorzug verdient, weil in diesem Falle die großen Reibungswiderstände gerade



die Sicherheit gegen unerwünschte Lösung der Besestigung bilden.

Soll durch Drehung der Schraubenmutter mittels des Schraubenschlüssels eine Platte mit einer Kraft Q gegen eine Wand gepreßst werden, so ist außer den Reibungswiderständen im Gewinde noch ein Reibungswiderstand zwischen Schraubenmutter und Platte zu überwinden [vergl. auch S. 286] (Fig. 350). Dieser möge an einem Kreise vom Halbmesser  $r_1$  angreifen, dann ist das ganze erforderliche Kraftmoment

$$Kl = Qr \frac{\operatorname{tg} \alpha + f \sec \beta}{1 - f \sec \beta \operatorname{tg} \alpha} + Qr_1 f_1.$$

Beispiel 4: Es sei wiederum, wie S. 289, r = 0.015 m; h = 0.003 m; tg  $\alpha = 0.032$ ; f = 0.15; cos  $\beta = 0.887$ ;  $f \sec \beta = 0.17$ ; l = 0.4 m;  $r_1 = 0.02 \text{ m}$ ;  $f_1 = 0.15$ ; Q = 1000 kg; dann wird

 $Kl = 0,003 \cdot 1000 + 0,15 \cdot 0,02 \cdot 1000 = 3 + 3 = 6 \text{ mkg}, \text{ mithin } K = 15 \text{ kg}.$  Zum Lösen ist erforderlich  $-K_1 l = 0,002 \cdot 1000 + 0,005 \cdot 1000 = 5 \text{ mkg},$   $-K_1 = 12,5 \text{ kg};$  ohne Reibung wäre  $K_0 = 0,015 \cdot 1000 \cdot 0,022 : 0,4 = 1,2 \text{ kg},$  mithin ist  $K = 12,5 K_0$  infolge der bedeutenden Reibung.

Beispiel 5: Schraubenpresse (Fig. 351). An den oberen Griffen wirke das Kräftepaar Kl zur Hervorbringung des Druckes Q der flachgängigen Spindel

gegen die Pressplatte. Dann entsteht an dem Zapfen, mittels dessen sich die Spindel auf die Pressplatte setzt, noch ein Reibungsmoment, welches wegen geringer Abrundung der Druckfläche (nach S. 253, Gl. 7) zu  $^{1/2}$   $Qfr_1$  angenommen werden möge, wenn  $r_1$  der Zapfenhalbmesser. Daher wird

$$Kl = Q\{r \operatorname{tg}(\alpha + \varphi) + \frac{1}{2}fr_1\}.$$
Für  $l = 0,6$  m;  $r = 0,04$  m;  $\operatorname{tg}\alpha = 0,07$   $f = 0,15$ ;  $r_1 = 0,03$  m erhält man

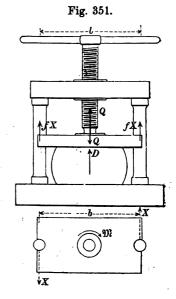
$$\begin{array}{l} {\rm tg}\; (\alpha+\varphi) = \frac{{\rm tg}\; \alpha+f}{1-f\; {\rm tg}\; a} = 0, 22 \quad {\rm und} \\ K \cdot 0, 4 = Q \left\{\; 0, 04 \cdot 0, 22 + \frac{1}{2} \; 0, 15 \cdot 0, 03 \; \right\} \end{array}$$

$$K \cdot 0,4 = 0,0111 Q; K = 0,028 Q.$$

Ohne Reibung wäre

$$K_0 \cdot 0.4 = Qr \text{ tg } \alpha; \quad K_0 = 0.007 \ Q.$$

Der Wirkungsgrad ist darnach  $K_0: K=\frac{1}{4}$ . Hierbei ist noch ein kleiner Widerstand unberücksichtigt geblieben. Das Zapfenreibungsmoment  $\mathfrak{M}=\frac{1}{4}fQr_1$  drückt nämlich die



Platte gegen die Führungssäulen mit den Kräften  $X = \mathfrak{M}: b$ ; daraus entsteht an jeder Säule ein Reibungswiderstand fX, der sich dem Abwärtsgleiten der

Pressplatte entgegensetzt. Mithin ist der Druck D der Platte auf den zu pressenden Körper nicht genau = Q, sondern

$$D = Q - 2fX = Q\left(1 - 2f \cdot \frac{fr_1}{2b}\right) = Q\left(1 - \frac{f^2r_1}{b}\right) = Q\left(1 - 0,0017\right)$$

für b=0,4 m. Der Unterschied zwischen D und Q ist hiernach ohne Bedeutung.

Die Kraftverhältnisse der Schraube sind unabhängig von der Anzahl der Gewindgänge, längs deren Spindel und Schraubenmutter sich berühren. In der Anwendung freilich ist die Berührung längs mehrerer Schraubengänge notwendig, weil sonst wegen des vorhandenen Spielraumes die Sicherheit des Eingriffes leidet, u. U. auch der Druck auf die Flächeneinheit zu groß werden würde.

Schlussbemerkung über die Reibung. Ist die Reibung bei Maschinen ein erhebliches Bewegungshindernis, dessen Überwindung viel Kosten verursacht, so ist ihr Nutzen doch im gewöhnlichen Leben und in der Technik ein sehr erheblicher. Welche Erleichterung ein großer Reibungswiderstand beim Gehen bietet, erkennt man beim Schreiten auf glattem Eise; ein großer Teil der Befestigungen im Bau- und Maschinenwesen (durch Nägel, Keile, Schrauben) beruht auf der Reibung; die Seilreibung wird beim Hinablassen schwerer Lasten und beim Riemenbetriebe verwertet, mittels der Reibung der Triebräder auf den Schienen setzt die Lokomotive den Zug in Bewegung; mit Hülfe der Reibung bringen wir den Zug oder ein Straßenfuhrwerk wieder zum Stillstande.

Die mechanische Arbeit, welche zur Überwindung von Reibungswiderständen dient, mithin keine sichtbare Geschwindigkeitszunahme der bewegten Körper, d. h. keine Zunahme ihres äußeren Arbeitsvermögens hervorbringt, geht aber keineswegs spurlos verloren; vielmehr setzt sie sich nach den Lehren der Physik in inneres Arbeitsvermögen, in Wärme, um. Gleichwohl ist man berechtigt, von einem Arbeitsverluste durch Reibung zu sprechen, weil die beim Gleiten entstehende Wärme dem Zweck einer Maschine gewöhnlich nicht förderlich ist, vielmehr häufig besondere Mittel zu ihrer Ableitung und Verteilung nötig macht.

## II. B. Beschleunigte Bewegung starrer Körper.

## Größe des Arbeitsvermögens eines Körpers bei einer Verschiebung bezw. einer Drehung um eine feste Achse.

Soll ein Körper von der Masse M eine reine Verschiebung erfahren, d. h. sollen seine sämtlichen Punkte in einem Augenblick übereinstimmende Geschwindigkeiten v und Beschleunigungen p haben, so muß nach S. 164/65 die Mittelkraft R aller äußeren Kräfte K durch den Schwerpunkt gehen. Die Beschleunigung des Schwerpunktes, also auch sämtlicher Punkte des Körpers ist dann

$$p = \frac{R}{M}.$$

Will man den Satz der Arbeit auf starre Körper anwenden, so ist zu bemerken, daß nach S. 168 die inneren Kräfte eines starren Körpers keine Arbeit verrichten, daß  $\Sigma \frac{m v^2}{2} - \Sigma \frac{m c^2}{2} = \mathfrak{A}_k$ , gleich der Arbeit der äußeren Kräfte K ist.

Es kommt nun darauf an, den noch unbestimmten, allgemeinen Ausdruck für das Arbeitsvermögen eines Körpers  $\Sigma \frac{mv^2}{2}$  für die einfachen Bewegungsarten in eine bestimmtere Form zu bringen.

Bei einer Verschiebung ist in einem Augenblicke die Geschwindigkeit vallen Massenpunkten gemeinsam, daher

$$\Sigma \frac{m v^2}{2} = \frac{v^2}{2} m_1 + \frac{v^2}{2} m_2 + \ldots + \frac{v^2}{2} m_n = \frac{\dot{M} v^2}{2},$$

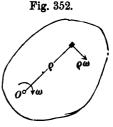
und der Satz der Arbeit lautet:

$$\frac{Mv^2}{2} - \frac{Mc^2}{2} = \mathfrak{A}_k.$$

Dreht sich der Körper (Fig. 352) aber um eine feste Achse O (rechtwinklig zur Bildebene), so ist die augenblickliche Winkel-

geschwindigkeit  $\omega$  allen seinen Punkten gemeinsam, die Geschwindigkeit eines Punktes im Abstande  $\varrho$  von der Achse beträgt  $v = \varrho \omega$ .

Daher wird  $\Sigma \frac{m v^2}{2} = \frac{\omega^2}{2} \Sigma m \varrho^2$ . Der Ausdruck  $\Sigma m \varrho^2$ , der nur von der Massenverteilung des Körpers in Bezug auf die Achse abhängt, heißt nach L. Euler (1707—1783)



das Trägheitsmoment des Körpers in Bezug auf die Achse O und wird mit J (von inertia) bezeichnet. Daher

3) 
$$J = \sum (m \varrho^2) \text{ und}$$

$$\sum \frac{m v^2}{2} = \frac{\omega^2}{2} J, \text{ sowie}$$
4) 
$$\frac{\omega^2}{2} J - \frac{\omega_1^2}{2} J = \mathfrak{A}_k,$$

wenn  $\omega_1$  die anfängliche Winkelgeschwindigkeit ist. Die Bezeichnung Trägheitsmoment ist ganz treffend, da diese Größe den Einfluß der trägen Masse eines Körpers bei der Drehung um eine Achse angibt.

In gleicher Weise wie S. 145 u. ff. die statischen Momente verschiedener Körper und ebener Flächen ermittelt wurden, soll dies nun auch bezüglich der Trägheitsmomente geschehen.

## 2. Trägheitsmomente.

Das Trägheitsmoment J wird für solche Körper am einfachsten, deren Massenteilchen sämtlich in gleicher
Entfarnung zu von der Achte sich befinden Dies Fig. 353.

Entfernung r von der Achse sich befinden. Dies findet statt bei einem Ringe von sehr geringer Wandstärke (Fig. 353). Es ist dann

$$J = \sum m \, \varrho^2 = r^2 \, \sum m = M r^2.$$

Für die weitere Anwendung ist es häufig vorteilhaft, das Trägheitsmoment eines Körpers in Bezug auf eine Achse gleich zu setzen dem 00 m

Trägheitsmoment eines dünnen Ringes von einem Halbmesser r.

Nennt man die Masse des gedachten Ringes  $\mu$ , so muß

$$J = \mu r^2$$

sein. Ist J berechnet, r angenommen, so ist dann auch  $\mu$  bestimmt. Man nennt  $\mu$  die auf den Abstand r bezogene Masse des Körpers. Bei gegebenem  $\omega$  ist dann das Arbeitsvermögen dieses Ringes von der Masse  $\mu$  ebenso groß wie dasjenige des gegebenen Körpers. In Gl. 1 kann von den Größen  $\mu$  und r eine gewählt werden. Setzt man  $\mu = M$ , d. h. gleich der wahren Masse des Körpers, und den zugehörigen Abstand r = i, so wird

$$J=Mi^2,$$

und man nennt i den **Trägheitsarm** oder **Trägheitshalbmesser** des Körpers für die Achse O. Denkt man sich die wahre Masse M des Körpers in dem Abstand i von der Achse zu einem Ring oder einem Punkte vereinigt, so hat dies Gebilde das gleiche Trägheitsmoment mit dem Körper.

Das statische Moment  $Mx_0 = \sum mx$  bezieht sich auf eine Achse oder eine Ebene. Verschiebt sich die Ebene um eine Größe e, so geht der Schwerpunktsabstand  $x_0$  über in  $x_0 \pm e$ , mithin ändert gich das statische Moment um  $\pm Me$ . Das Trägheitsmoment

bezieht sich auf eine Achse. Vertauscht man die gegebene Achse aber mit einer Parallelachse im Abstand e, so läßt sich zwischen den Trägheitsmomenten in Bezug auf die beiden Parallelachsen auch eine ähnlich einfache Beziehung außtellen, wenn die eine Achse durch den Schwerpunkt des Körpers geht.

Fig. 354.

Die Schwerpunktsachse S stehe rechtwinklig zur Bildebene (Fig. 354), ebenso eine Achse durch O. Die entsprechenden Trägheitsmomente seien  $J_S$  bezw.  $J_0$ . Dann ist  $J_S = \sum m r^2$ ,  $J_0 = \sum m \varrho^2$ . Weil nun  $\varrho^2 = (e + x)^2 + y_2$  und  $r^2 = x^2 + y^2$ , so wird  $\varrho^2 = e^2 + 2ex + r^2$ , mithin  $J_0 = \sum m e^2 + \sum m ex + \sum m r^2$  oder  $J_0 = Me^2 + 2e\sum mx + J_S$ . Weil aber der Abstand x von einer durch den Schwerpunkt S gehenden Ebene gemessen ist, so wird (nach S. 147)  $\sum mx = 0$ , also

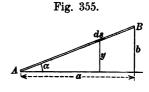
$$\mathbf{J_0} = \mathbf{J_8} + \mathbf{M}\mathbf{e}^2.$$

Das Trägheitsmoment in Bezug auf eine beliebige Achse ist gleich dem Trägheitsmoment in Bezug auf die parallele Schwerpunktsachse plus der Masse mal dem Quadrate der Entfernung beider Achsen.

Sämtliche Parallelachsen O,  $O_1$  . . . in demselben Abstand e von S liefern gleiches Trägheitsmoment. Von allen Parallelachsen liefert die durch den Schwerpunkt gehende das kleinste Trägheitsmoment.

Trägheitsmoment der materiellen geraden Linie. Ein gerader Stab von der Länge s und dem Querschnitt F sei an einem Ende

A an der als Drehachse dienenden x-Achse befestigt, während das andere Ende B durch eine masselose Stange b mit der Achse verbunden sei (Fig. 355). Ein Massenteilchen m ist dann nach S. 33



 $=\frac{\gamma}{g} F \cdot ds$  und liefert zum Trägheits-

moment J den Beitrag  $dJ = \frac{\gamma}{g} F \cdot ds \cdot y^2$ ; es ist aber ds : s = dy : b,

mithin 
$$J = \frac{\gamma}{g} \frac{Fs}{b} \int_{0}^{b} y^{2} dy = \frac{\gamma}{g} \frac{Fsb^{2}}{3},$$

oder, weil die Masse des Stabes  $M = \frac{\gamma}{g} Fs$ :

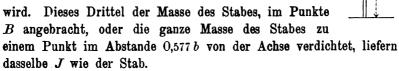
$$J = \frac{1}{3} Mb^2.$$

Setzt man dies  $= \mu b^2$ , so ist die auf dem Endpunkt B oder auf den Abstand b bezogene Masse des Stabes

5) 
$$\mu = 1/3 M$$
, Fig. 356.

während der Trägheitshalbmesser

6) 
$$i = \sqrt{\frac{J}{M}} = \frac{b}{\sqrt{3}} = 0,577 \, b$$



Für  $\alpha = 90^{\circ}$  (Fig. 356) gelten dieselben Werte; nur ist b hier gleich der Länge s des Stabes.

Trägheitsmoment einer materiellen ebenen Fläche (Scheibe). Trägheitsmomente in Bezug auf Achsen OX und OY in der Ebene der Figur (Fig. 357) nennen wir Durchmesser-Trägheitsmomente  $J_x$  und  $J_y$ . Es ist  $J_x = \sum m y^2$ ,  $J_y = \sum m x^2$ , ihre Summe  $J_x + J_y = \sum m (x^2 + y^2)$  Fig. 357.

und  $J_y$ . Es ist  $J_x = \sum my^2$ ,  $J_y = \sum mx^2$ , ihre Summe  $J_x + J_y = \sum m (x^2 + y^2)$ =  $\sum m\varrho^2$ ; letzterer Wert ist aber das Trägheitsmoment  $J_0$  in Bezug auf die Achse O rechtwinklig zur Fläche und heißt das polare Trägheitsmoment.

$$J_0 = J_y + J_x.$$

Es ist in Bezug auf einen Pol O das polare Trägheitsmoment einer ebenen Fläche gleich der Summe der beiden Durchmesser-Trägheitsmomente in Bezug auf zwei rechtwinklig zueinander stehende, durch den Pol O gelegte Durchmesser. Eine gemeinschaftliche Drehung der Durchmesser um O ändert diese Summe nicht, weil  $J_0$  dadurch nicht beeinflußt wird.

Trägheitsmoment einer materiellen Kreisfläche. Um das polare Trägheitsmoment in Bezug auf den Mittelpunkt O (Fig. 358) zu erhalten, nehmen wir einen Ring von dem Halbmesser  $\varrho$  und der Dicke  $d\varrho$  heraus. Dieser liefert, wenn  $\delta$  die Dicke der Scheibe, den Beitrag

$$dJ_0 = \frac{\gamma}{g} \, \delta \cdot 2 \, \varrho \, \pi \cdot d \, \varrho \cdot \varrho^2, \text{ daher ist}$$

$$J_0 = \frac{\gamma}{g} \, \delta \cdot 2 \, \pi \int_0^{r_3} d\varrho = \frac{\gamma}{g} \, \delta \cdot \pi \, \frac{r^4}{2},$$

$$J_0 = \frac{M r^2}{2},$$



Fig. 358.

 $\mu = 1/2 M$  (bezogen auf r),  $i = r \sqrt{1/2} = 0.707 r$ .

Da sämtliche Durchmesser = Trägheitsmomente des Kreises gleichwertig sind, so wird hier  $J_y = J_x$ , mithin  $J_x + J_y = 2 J_x = J_0$ , oder

9) 
$$J_{\mathbf{z}} = J_{\mathbf{y}} = \frac{Mr^2}{4} = \frac{\gamma}{g} \,\delta \cdot \frac{r^4 \pi}{4}.$$

Trägheitsmoment einer mat. Rechteckfläche. Das Trägheitsmoment des Rechtecks von der Breite d, der Höhe h (Fig. 359) in Bezug auf eine Kante AB=d läßt sich unmittelbar aus dem eines Stabes ableiten. Teilt man das Rechteck in lauter gleiche Streifen

von der Höhe h, so ist, nach Gleichung 5, die auf den Abstand h bezogene Masse jedes Streifens 1/3 der wahren Masse. Das gleiche Verhältnis gilt dann auch für das ganze Rechteck, Fig. 359. und es ist in Bezug auf AB:

$$J = \frac{1}{3} M h^2 = \frac{1}{3} \frac{\gamma}{g} \delta \cdot d \cdot h^3$$
.

Eine zu AB parallele Achse durch den Schwerpunkt S hat von AB den Abstand  $e = \frac{1}{2}h$ , mithin ist



10) 
$$J_S = \frac{1}{3} Mh^2 - \frac{1}{4} Mh^2 = \frac{1}{12} Mh^2 = \frac{1}{12} \frac{\gamma}{g} \delta \cdot d \cdot h^3$$
.

Für das Trägheitsmoment in Bezug auf eine Schwerpunktsachse, parallel mit h würde ebenso  $^{1}/_{12} M d^{2}$  entstehen, mithin für das polare Trägheitsmoment  $J_{0} = ^{1}/_{12} M (d^{2} + h^{2}) = ^{1}/_{12} M D^{2}$ , wenn D die Diagonale bedeutet.

Trägheitsmoment einer mat. Dreieckfläche von der Grundlinie d, der Höhe h (Fig. 360). Zum Trägheitsmomente  $J_x$  in Bezug auf eine Achse  $CX \parallel d$  liefert ein Streifen  $x \cdot dy$  den Fig. 360.

Beitrag 
$$dJ = \frac{\gamma}{g} \delta \cdot x \cdot dy \cdot y^2 = \frac{\gamma}{g} \frac{\delta \cdot d}{h} y^3 dy$$
 (wegen  $x : d = y : h$ ), daher ist

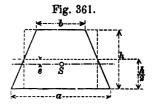
$$J_{x} = \frac{\gamma}{g} \frac{\delta \cdot d}{h} \int_{0}^{h} y^{3} dy = \frac{\gamma}{g} \delta \frac{d \cdot h^{3}}{4} = \frac{Mh^{2}}{2};$$



darin bezeichnet  $\delta$  die Dicke der Platte. In Bezug auf eine Schwerpunktsachse || d ist wegen des Abstandes  $e = \frac{2}{3}h$ :

11) 
$$J_s = J_z - M \frac{4}{9} h^2 = M h^2 \left( \frac{1}{2} - \frac{4}{9} \right) = \frac{M h^2}{18} = \frac{\gamma}{g} \delta \frac{d \cdot h^3}{36}.$$

Trägheitsmoment eines mat. Trapezes. In Bezug auf eine Achse in der Mitte der Höhe (Fig. 361) ist das Trägheitsmoment  $J_1$  offenbar ebenso groß wie dasjenige des gestrichelten flächengleichen Rechtecks, da die von unten nach oben verdrehten Dreiecke in beiden Lagen die gleichen Beiträge liefern; es ist also  $J_1 = \frac{M}{12} h^2$ .



Der Schwerpunkt liegt, wie man au' Gl. 8, S. 150, leicht findet, um  $e = \frac{h}{6} \frac{a-b}{a+b}$ 

unterhalb der Mitte, daher ist in Bezug auf die wagerechte Schwerpunktsachse  $J_S = \frac{Mh^2}{12} - \frac{Mh^2(a-b)^2}{36(a+b)^2}$ . Dies läßt sich zusammenziehen zu

12) 
$$J_{S} = \frac{Mh^{2}}{18} \left( 1 + \frac{2 a b}{(a+b)^{2}} \right),$$

in welcher Formel selbstverständlich diejenigen für Rechteck und Dreieck als Sonderfälle enthalten sind.

Trägheitsmoment eines Zylinders überall gleicher Dichte, von der Länge l, bezogen auf seine geometrische Achse. Der Zylinder läßt sich in lauter Scheiben von gleicher Dicke zerlegen, die sämtlich gleich viel zur Masse sowie zum Trägheitsmomente beitragen. Daher muß gelten wie für die mat. Kreisfläche (Gl. 8)

13) 
$$J_0 = M \frac{r^2}{2} = \frac{\gamma}{q} \frac{r^4 \pi}{2} l \text{ und } \mu = 1/2 M.$$

Für einen Ring von den Halbmessern r und R, der Länge l ist  $J_0$  der Unterschied der Trägheitsmomente der Zylinder der Halbmesser R und r, d. h.

$$J=rac{\gamma}{g}rac{\pi}{2}(R^4-r^4)\,l, \quad ext{und weil}$$
  $M=rac{\gamma}{g}\pi(R^2-r^2)\,l,$   $J_0={}^{1/2}\,M(R^2+r^2)\,.$ 

**Trägheitsmoment eines Kegels** in Bezug auf seine geometrische Achse (Fig. 362). Zerlegt man einen Umdrehungskörper in Scheiben, rechtwinklig zur Drehachse, vom Halbmesser y und der Dicke dx, so liefert Fig. 362. eine solche Scheibe zum Trägheitsmomente den Beitrag (Gl. 8)

$$dJ = \frac{\gamma}{g} \frac{\pi}{2} y^4 dx, \text{ so dafs}$$

$$J = \frac{\gamma}{g} \frac{\pi}{2} \int y^4 dx.$$

Diese Formel gilt für alle Umdrehungskörper. Die Beziehung zwischen y und x richtet sich nach der besonderen Art der Meridianlinie.

Beim Kegel ist y:b=x:a, daher

$$J = \frac{\gamma}{g} \frac{\pi}{2} \frac{b^4}{a^4} \int_0^a x^4 dx = \frac{\gamma}{g} \pi \frac{ab^4}{10}.$$

mithin, weil  $M = \frac{\gamma}{g} \pi \frac{a b^2}{3}$ :

16) 
$$J = \frac{3}{10} Mb^2$$
;  $i = b\sqrt{0.3} = 0.548 b$ ,

und, auf den Abstand b bezogen:

$$\mu = 0.3 M.$$

Für ein Umdrehungsparaboloid wird mit  $y^2 = 2 p x$ 17)  $J = \frac{1}{3} Mb^2$ ; i = 0.577 b;  $\mu = \frac{1}{3} M$ .

Trägheitsmoment der Halbkugel (Fig. 363). Es ist  $y^2 = r^2 - x^2$ , daher (Gl. 15)  $J = \frac{\gamma}{a} \frac{\pi}{2} \int_{1}^{r} (r^4 - 2r^2x^2 + x^4) dx = \frac{8}{30} \frac{\gamma}{a} r^5 \pi$ ;

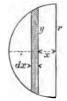
oder, weil 
$$M = \frac{2}{3} \frac{\gamma}{g} r^3 \pi$$
:

Fig. 363.

18)  $J = 0.4 Mr^2$ ;  $i = r\sqrt{0.4} = 0.632 r$  und, auf den Abstand r bezogen:

$$\mu = 0.4 M.$$

Für die ganze Kugel ist sowohl J wie M doppelt so groß, daher gelten die gleichen Verhältniszahlen.



Geometrische Trägheitsmomente. Setzt man in den Ausdrücken der Trägheitsmomente für ebene Flächen die Masse der Flächeneinheit  $\frac{\gamma}{g}\delta=1$  und in denen für Körper die Masse der Körpereinheit  $\frac{\gamma}{g}=1$ , so erhält man für die Trägheitsmomente Ausdrücke, die nur von der geometrischen Form der Flächen bezw. Körperabhängen. Für die Massen treten dann die Flächen F bezw. Körperinhalte V an die Stelle. Diese Werte der Trägheitsmomente nennt man geometrische Trägheitsmomente. Die Werte sind:

Für die Kreisfläche  $J_0 = \frac{1}{2} Fr^2 = \frac{1}{2} r^4 \pi$ ;

$$J_x = \frac{1}{4} Fr^2 = \frac{1}{4} r^4 \pi.$$

Für das Rechteck in Bezug auf eine Mittelachse

21) 
$$J = \frac{1}{12} dh^3 = \frac{1}{12} Fh^2.$$

302 Zweite Abteilung. B. Beschleunigte Bewegung starrer Körper.

Für das Dreieck in Bezug auf die Schwerpunktsachse

$$22) J = \frac{1}{36} d \cdot h^3 = \frac{1}{18} Fh^2.$$

Für das Trapez in Bezug auf die Schwerpunktsachse

24) 
$$J = \frac{1}{18} F h^2 \left( 1 + \frac{2 a b}{(a+b)^2} \right) = \frac{h^3}{36} \left( a + b + \frac{2 a b}{a+b} \right).$$

Für den Zylinder

24) 
$$J = \frac{1}{2} V r^2 = \frac{1}{2} r^4 \pi l$$
 u. s. w.

Das geometrische Trägheitsmoment einer Fläche ist wegen der Form  $Fi^2$  vom vierten Grade, das eines Körpers wegen der Form  $Vi^2$  vom fünften Grade.

Geometrisches Trägheitsmoment eines ringförmigen Umdrehungskörpers. Ein Teilchen dF der Meridian-Figur (Fig. 364)

liefert zum geometrischen Trägheitsmoment J in Bezug auf die geometrische Achse den Beitrag  $dJ = dV \cdot x^2 = 2 x \pi \cdot dF \cdot x^2$  $= 2 \pi x^3 dF$ , daher ist

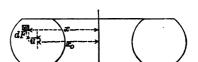


Fig. 364.

$$25) J = 2\pi \int x^3 dF.$$

Legt man durch den Schwerpunkt der Meridianfigur eine Achse, parallel der Umdrehungsachse, und hat dF von dieser Achse den Abstand u, so ist

$$x = x_0 + u;$$
  $x^3 = x_0^3 + 3x_0^2u + 3x_0u^2 + u^3,$ 

mithin, weil  $x_0$  für die Integration unveränderlich:

$$J = 2\pi \left\{ x_0^3 F + 3x_0^2 \int dF \cdot u + 3x_0 \int dF \cdot u^2 + \int dF \cdot u^3 \right\}.$$

Nach dem Satze von Guldin (S. 158) ist aber der Rauminhalt des Körpers  $V=2\pi x_0 F$ ; ferner  $\int dF \cdot u = 0$  (nach S. 147); endlich  $\int dF \cdot u^2$  das geometrische Trägheitsmoment der Meridianfigur in Bezug auf die zur Umdrehungsachse parallele Achse durch ihren Schwerpunkt; dieses werde  $\Im$  genannt, so daß

26) 
$$J = Vx_0^2 + 6\pi x_0 \Im + 2\pi \int dF \cdot u^3.$$

Ist die Schwerpunktsachse der Figur eine Symmetrieachse derselben, so wird  $\int d \mathbf{F} \cdot u^3 = 0$ , da  $d \mathbf{F} \cdot u^3$  in gleich viel positiven und negativen Elementen von derselben Größe auftritt, daher

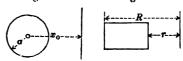
27) 
$$J = Vx_0^2 + 6\pi x_0 \Im = V\left(x_0^2 + 3\frac{\Im}{F}\right).$$

(Für einen sehr dünnen Ring wäre bekanntlich nach Gl. 1  $J = Vx_0^2$ )

Ist die Meridianfigur ein Kreis vom Halbmesser a (Fig. 365), so wird  $\mathfrak{Z} = \frac{1}{4} F a^2$  (Gl. 20), mithin Fig. 365. Fig. 366.

$$J = V(x_0^2 + \frac{3}{4}a^2)$$
.

Für ein Rechteck als erzeugende Figur (Fig. 366) ist  $\mathfrak{F} = F \cdot \frac{1}{12} (R - r)^3$  (Gl. 21),  $x_0 = \frac{1}{2} (R + r)$ , somit



$$J = V \left\{ \frac{1}{4} (R + r)^2 + \frac{1}{4} (R - r)^2 \right\}$$

$$= \frac{1}{4} V \left\{ R^2 + 2Rr + r^2 + R^2 - 2Rr + r^2 \right\}$$

$$= \frac{1}{4} V (R^2 + r^2), \text{ übereinstimmend mit Gl. 14, S. 300.}$$

Trägheitsmoment eines aus 2 Teilen bestehenden Körpers. Legt man (Fig. 367) durch die Schwerpunkte  $S_1$  und  $S_2$  der beiden Teile und durch den Gesentschwerpunkt  $S_1$  nerellele

durch den Gesamtschwerpunkt S parallele Achsen, sind  $e_1$ ,  $e_2$  und e die Abstände der Achsen,  $J_1$  und  $J_2$  die Trägheitsmomente der Teile bezüglich der eigenen Schwerpunktsachsen, so ist für den ganzen Körper und seine Schwerpunktsachse (Gl. 3, S. 296)

$$J=J_1+M_1\,e_1^2+J_2+M_2\,e_2^2.$$
 Weil aber  $M_2\,e_2=M_1\,e_1$  und  $e_1+e_2=e$ , so wird  $e_1=\delta\,rac{M_2}{M_1+M_2}.$ 

S<sub>1</sub> S<sub>2</sub> S<sub>3</sub> S<sub>4</sub>

Fig. 367.

Man kann daher auch schreiben:

$$J = J_1 + J_2 + M_1 e_1 e_1 + M_2 e_2 e_2$$

$$= J_1 + J_2 + M_1 e_1 (e_1 + e_2)$$

$$\stackrel{\cdot}{=} J_1 + J_2 + M_1 \frac{e^2 M_2}{M_1 + M_2}$$

$$28)$$

$$J = J_1 + J_2 + \frac{M_1 M_2}{M_1 + M_2} e^2.$$

## 3. Winkelbeschleunigung.

Soll ein Körper sich gleichförmig um eine feste Achse drehen, so muß die Momentensumme der äußeren Kräfte in Bezug auf die Achse Null sein (S. 245). Ist die Momentensumme von Null verschieden, so erfolgt die Drehung nicht gleichförmig, sondern mit einer Winkelbeschleunigung  $\varepsilon$ . Ebenso wie bei der geradlinigen Bewegung die Beschleunigung  $p = \frac{dv}{dt}$  (S. 15), so ist

die sekundliche Zunahme der Winkelgeschwindigkeit die Winkelbeschleunigung

$$\varepsilon = \frac{d\omega}{dt}.$$

Die Beziehung zwischen der Winkelbeschleunigung  $\varepsilon$  und deren Ursachen, den äußeren Kräften, kann man aus dem Satze vom Arbeitsvermögen ableiten, indem man diesen auf ein Zeitteilchen dt anwendet. Die Zunahme an Arbeitsvermögen kann dann nach Gl. 4 (S. 295) geschrieben werden  $^{1}/_{2}Jd(\omega^{2})=J\omega\,d\,\omega$ . Die entsprechende Arbeit aber findet man in folgender Weise: Eine der

äußeren Kräfte sei P und liege im allgemeinen windschief zur Achse O. Das gemeinsame Lot zwischen der Kraft P und der Achse sei r; man zerlege die Kraft P im Fußpunkt A von r in eine Seitenkraft Z, parallel mit der Achse O, und eine Seitenkraft Z, welche die Achse rechtwinklig kreuzt. Die Kraft Z hat in Bezug auf O das Moment Null und verrichtet auch bei der Drehung keine Arbeit,

09

Fig. 368.

weil sie rechtwinklig zur Bewegungsrichtung des Punktes A steht. Die Seitenkraft K aber hat das Moment Kr (Fig. 368) und verrichtet bei der unendlich kleinen Drehung um den Winkel  $\omega \cdot dt$  die Arbeit  $K \cdot r \omega \cdot dt$ . Für sämtliche Punkte des Körpers ist in einem Augenblicke die Größe  $\omega \cdot dt$  die gleiche. Verfährt man mit allen äußeren Kräften ebenso wie mit P, so wird die Arbeitssumme  $d\mathfrak{A}_k = \omega \cdot dt \, \Sigma Kr$ . Darin ist  $\Sigma Kr$  die Momentensumme der äußeren Kräfte in Bezug auf die Drehachse, schreiben wir dafür  $\mathfrak{M}$ , so wird nunmehr  $J\omega \cdot d\omega = \omega \cdot dt \cdot \mathfrak{M}$ , mithin

$$\varepsilon = \frac{d\omega}{dt} = \frac{\mathfrak{M}}{J}.$$

Ebenso wie bei der Verschiebung die Beschleunigung p = R: M = Kraft; träge Masse, so ist bei der Drehung um eine feste Achse die Winkelbeschleunigung = Kraftmoment: Trägheitsmoment.

Wählt man einen bestimmten Drehungshalbmesser oder Hebelarm r, so ist an dessen Endpunkte die Umfangsgeschwindigkeit  $v=r\omega$ , die Umfangsbeschleunigung oder Tangentialbeschleunigung

$$p_{t} = r \cdot d\omega : dt = r\varepsilon;$$

Bringt man nun das Kraftmoment M auf den Hebelarm r, setzt  $\mathfrak{M} = Kr$  und schreibt  $J = \mu r^2$ , so wird aus Gl. 2 und 3

$$p_t=r\,arepsilon=rac{\mathfrak{M}\,r}{J}=rac{K\,r^2}{\mu\,r^2}$$
 oder  $p_t=rac{K}{\mu}\,,$ 

d. h. wenn man alles auf den gleichen Abstand oder Drehungshalbmesser r bezieht, hat man wie bei einer Verschiebung:

$$\label{eq:Umfangsbeschleunigung} Umfangsbeschleunigung = \frac{Kraft}{Masse}.$$

Auch Gl. 4 (S. 295) für das Arbeitsvermögen kann man entsprechend umformen. Setzt man am Ende des Armes r die Anfangsgeschwindigkeit  $r\omega_1 = c$ , die Endgeschwindigkeit  $r\omega = v$ ,  $J = \mu r^2$ , so wird aus  $1/2 (\omega^2 - \omega_1^2) J = \mathfrak{A}_k$ :

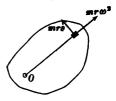
$$1/2 (v^2 - c^2) \mu = \mathfrak{A}_k$$
 oder

$$\frac{\mu v^2}{2} - \frac{\mu c^2}{2} = \mathfrak{A}_k,$$

wie (S. 294) für die Verschiebung eines Körpers.

Man kann Gl. 2,  $\mathfrak{M} = \varepsilon J$  auch mittels des Satzes vom d'Alembert (S. 163) ableiten. Ist in einem Augenblick  $\omega$  die Winkelgeschwindigkeit, & die Winkelbeschleunigung, so führt ein Punkt des Körpers im Abstand r von der Achse (Fig. 369) eine ungleichförmige Kreisbewegung mit der Geschwindigkeit  $v = r \omega$  und der Tangentialbeschleunigung  $p_r = r \varepsilon$  aus; die Zentripetalbeschleunigung ist  $p_n = v^2 : r = r \omega^2$  (Gl. 1, Seite 88). Diesen entsprechen die Ergänzungskräfte mrs bezw.  $m r \omega^2$ . Deren Momentensumme in Bezug auf O

Fig. 369.

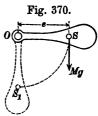


ist  $-\varepsilon \sum mr^2 = -\varepsilon J$ . Den gleichen, aber entgegengesetzten Wert muß auch die Momentensumme M der äußeren Kräfte haben, d. h. 6)  $\mathfrak{M} = \varepsilon J$ .

## 4. Physisches Pendel.

Ein Körper, der um eine nicht durch den Schwerpunkt gehende wagerechte Achse drehbar ist und unter alleiniger Wirkung der Schwere steht, bildet, wenn er in der sicheren Gleichgewichtslage nicht die Geschwindigkeit Null hat, ein Pendel, welches, zum Unterschiede von dem aus einem einzelnen Massenpunkt m mit gewichtlosem Faden bestehenden, S. 76 behandelten, mathematischen Pendel, physisches Pendel genannt wird.

Der beliebig gestaltete Körper sei zunächst so festgehalten, daß der Schwerpunkt S (Fig. 370) in gleicher Höhe mit der Achse O liegt, und werde nun losgelassen. Es soll die Winkelgeschwindigkeit  $\omega$  berechnet werden, mit der der Drehungshalbmesser OS=e des Schwerpunktes durch die Lotrechte hindurchschwingt.



Wendet man auf die Bewegung  $SS_1$  den Satz der Arbeit an, so ergibt sich (nach S. 163 u. 295)  $^{1}/2$   $\omega^2 J - O = Mge$ , mithin

1) 
$$\omega = \sqrt{2 g e \frac{M}{J}} = \sqrt{2 g \frac{e}{i^2}} \text{ mit } J = M i^2 \text{ (S. 296)}.$$

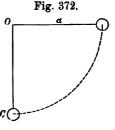
Ist der Körper ein Stab, eine materielle Gerade, von der Länge a (Fig. 371), so ist

$$e = \frac{1}{2} a$$
,  $J = \frac{1}{3} M a^2$ 

(S. 296), mithin

$$2) \quad \omega = \sqrt{\frac{g \, a \, 3}{a^2}} = \sqrt{\frac{3 \, g}{a}}$$

und die Umfangsgeschwindigkeit bei C:



$$v = a \omega = \sqrt{3 g a},$$

während für einen Massenpunkt am Ende einer gewichtlosen Stange von der Länge a (Fig. 372)

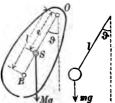
4) 
$$v = \sqrt{2 g a}$$
 (Gl. 1, S. 76) sein würde.

Schwingungsdauer des physischen Pendels. In einer beliebigen Zwischenlage (Fig. 373), in der OS mit der Lotrechten den Winkel  $\vartheta$  bildet, ist das Fig. 373. Moment

$$\mathfrak{M} = Mg e \sin \vartheta,$$

daher die Winkelbeschleunigung (Gl. 2, S. 304)

$$\varepsilon = \frac{Mge\sin\vartheta}{J_0}.$$



Für ein mathematisches Pendel aber von einer Pendel-Tänge l ist bei demselben Abweichungswinkel  $\vartheta$ , weil  $J=m\,l^2$ ,

$$\varepsilon_1 = \frac{m g \, l \sin \vartheta}{m \, l^2} = \frac{g \sin \vartheta}{l}.$$

Beide Beschleunigungen  $\varepsilon$  und  $\varepsilon_1$  sind verhältnisgleich mit sin  $\vartheta$  und stimmen völlig überein, wenn

$$\frac{\underline{M}\underline{g}\underline{e}}{J_0} = \frac{\underline{g}}{l}, \text{ d. h. wenn}$$

$$b = \frac{J_0}{\underline{M}\underline{e}} \quad \text{ist.}$$

Wählt man die Länge des mathematischen Pendels nach Gl. 5 und gibt beiden Pendeln einen gleichen Anfangswert von  $\vartheta$ , bei dem die Geschwindigkeit Null war, läßt also beide Pendel von derselben Anfangsneigung aus sich in Bewegung setzen, so wird die Beschleunigung beider Pendel für jeden Winkel  $\vartheta$  die gleiche sein, daher werden beide Pendel sich übereinstimmend bewegen, mithin auch gleiche Schwingungsdauer haben müssen.

Bei kleinen Schwingungen ist nun für das mathematische Pendel die Dauer einer einfachen Schwingung nach S. 78

$$t=\pi\sqrt{\frac{l}{g}}.$$

Setzt man hierin den Wert l nach Gl. 5 ein, so entsteht

$$6) t = \pi \sqrt{\frac{J_0}{Mge}}$$

als Dauer einer einfachen kleinen Schwingung des physischen Pendels.

Man nennt die Länge l die Schwingungslänge des physischen Pendels. Trägt man diese Länge von O aus auf der Geraden OS ab, so erhält man mit OB = l einen Punkt B, den man den Schwingungspunkt des physischen Pendels nennt (Fig. 373). Die Achse durch B, rechtwinklig zur Bildebene, heißt Schwingungsachse. Der Punkt B und jeder Punkt der Achse B in dem physischen Pendel schwingt gerade so, als wäre er ein einzelner, mittels eines gewichtlosen Fadens mit O verbundener Massenpunkt.

Zweite Abteilung. B. Beschleunigte Bewegung starrer Körper. 308

Denkt man sich durch S eine zu der Drehachse O parallele-Achse gelegt und nennt das entsprechende Trägheitsmoment des-Körper  $J_s$ , so ist  $J_0 = J_s = Me^2$ , mithin (Gl. 5)

$$l = \frac{J_s}{Me} + e.$$

Zeichnet man um S als Mittelpunkt einen Kreis vom Halbmesser SO = e (Fig. 374) und denkt sich den Körper an einer beliebigen, zur ursprünglichen Achse O parallelen, durch irgend einen Punkt des Kreises gelegten Achse  $O_1$  aufgehängt, so ergibt sich für diese neue Aufhängung die Schwingungslänge nach Gl. 7 von derselben Größe wie bei der Aufhängung in O. Alle Seiten eines geraden Zylinders, der den genannten Kreis zum Grundkreise hat, sind hier-A chsen gleicher Schwingungslänge Schwingungsdauer für den Körper.

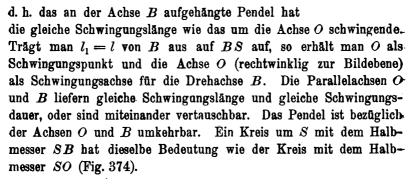
Fig. 374.

Hängt man den Körper aber an der Schwingungsachse B auf (Fig. 375), so hat man ein physisches Pendel von der Schwingungslänge  $l_1$ , wofür sich nach Gl. 7 ergibt, indem man e mit l - e vertauscht: Fig. 375.

$$l_1 = \frac{J_{\scriptscriptstyle S}}{M\,(l\,-\,e)} + (l\,-\,e).$$

Weil aber (nach Gl. 7)  $J_{s} = Me(l-e)$ , so erhält man

8) 
$$l_1 = \frac{Me(l-e)}{M(l-e)} + l - e = l,$$



Sämtliche Achsen, rechtwinklig zur Bildebene, welche durch irgend einen Punkt einer der beiden Kreislinien gelegt werden, sind für den Körper Drehachsen mit übereinstimmender Schwingungslänge 1.

Nach Gl. 7 ist die Schwingungslänge l von e abhängig. Fasst man nämlich bei der Vergleichung nur Achsen ins Auge, die zur Bildebene rechtwinklig, d. h. mit der ursprünglichen Drehachse O parallel sind, so ist  $J_S$ : M ein konstanter Wert  $=i^2$  (wo i der der Achse S entsprechende Trägheitshalbmesser ist). Wird nun e größer und größer, verschiebt sich also die Drehachse immer weiter vom Schwerpunkte, so nähert sich der erste Summand der rechten Seite von Gl. 7 mehr und mehr der Null, während der zweite fortwährend zunimmt; daher wird für  $e=\infty$  auch  $l=\infty$  und  $t=\infty$ . Geht aber umgekehrt e gegen Null, so wird ebenfalls  $l=\infty$  und  $t=\infty$ , d. h. wenn die Drehachse durch den Schwerpunkt geht, so ergibt sich, wie auch schon von S. 172 bekannt, kein Drehmoment, so daß auch keine Schwingung zu Stande kommen kann.

Es muss daher einen Wert von c geben, für den l ein Minimum wird.

Schreibt man zur bequemeren Übersicht  $l=y\,,\ e=x\,,$  und untersucht

$$y = \frac{i^2}{x} + x$$

auf Minimum, so ist  $\frac{dy}{dx} = -\frac{i^2}{x^2} + 1 = 0$  zu setzen. Dies verlangt  $x = \pm i$ . Eine besondere Untersuchung, ob hierbei ein Maximum oder Minimum vorliege, ist nicht erforderlich; denn den für x = 0 und  $x = \infty$  eintretenden Größtwert  $y = \infty$  kennen wir bereits.

$$10) x = \pm i$$

oder in der früheren Schreibweise  $e=\pm i$ , worin es wegen der Bedeutung der beiden Kreise in Fig. 375 nur auf den absoluten Wert e=i ankommt, ergibt die Schwingungslänge

$$l = \frac{i^2}{e} + i = 2i$$
, also  $l - e = 2i - i = i$ .

Für eine Drehachse O, welche von S um  $i = \sqrt{\frac{J_S}{M}}$  entfernt ist, wird also die Schwingungslänge

$$l_{min}=2i=2e,$$

womit die beiden Kreise in Fig. 375 zusammenfallen.

Die Darstellung der Gl. 9 ist eine Hyperbel, deren eine-Asymptote die Ordinatenachse, während die andere, durch den Anfangspunkt gehend, den rechten Winkel der

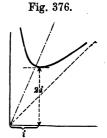
Koordinatenachsen halbiert. x = i und  $y_{min} = 2i$ 

sind in Fig. 376 angegeben.

Bekanntlich werden Pendelversuche benutzt zur Ermittelung der scheinbaren Fallbeschleunigung g an verschiedenen Stellen der Erde; aus

$$t = \pi \sqrt{\frac{l}{g}}$$
 wird  $g = l\pi^2 : t^2$ . Hieraus kann

man g berechnen, wenn man für ein Pendel die Schwingungslänge l und die Dauer t einer



einfachen Schwingung kennt. Letztere läst sich durch Zählung der Anzahl der Schwingungen während einer längeren Zeit feststellen. Die Schwingungslänge könnte man wohl nach Gl. 5, S. 307, berechnen, jedoch nicht mit der erforderlichen Genauigkeit für feine Messungen, wie sie zur Ermittelung von g nötig sind. Denn kein Körper lässt sich so gleichmässig herstellen, dass man  $J_0$  und das statische Moment Me mit großer Schärfe durch Messung und Rechnung zu bestimmen vermöchte. Wohl aber dient zur scharfen-Bestimmung der Schwingungslänge l die Eigenschaft des Pendels, dass Drehachse und Schwingungsachse miteinander vertauschbar sind. Man stellt also ein Pendel her mit fester Schneide (Drehachse) O, berechnet annähernd l, bringt in diesem Abstand l = OB eine Gegenschneide B an und verstellt an dem Körper verschiebbare Gewichte so lange, bis das Pendel, ob in O oder in B aufgehängt, gleiche Schwingungsdauer zeigt. Dann ist, wenn B und O nicht in derselben Entfernung vom Schwerpunkte liegen. wenn also B nicht den Punkt  $O_1$  in Fig. 375 bedeutet, OB = tdie Schwingungslänge, die zwischen den Schneiden mit großer Schärfe gemessen werden kann. Ein solches Pendel heist ein Umkehrungspendel (Reversionspendel).

Ist der Körper ein dünner prismatischer Stab von der Länge a (Fig. 377) und an seinem oberen Ende aufgehängt, so ist  $J_0 = \frac{1}{3} M \alpha^2$ ,  $e = \frac{1}{2} a$ , mithin die Schwingungslänge (Gl. 5)

12) 
$$l = \frac{2}{3} \frac{Ma^2}{Ma} = \frac{2}{3} a.$$

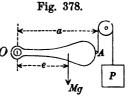
Die Achsen O,  $O_1$ , B und  $B_1$  liefern gleiche Schwingungslänge.

Die Beobachtung der Schwingungsdauer eines als physisches Pendel eingerichteten Körpers kann auch benutzt werden, um dessen Trägheitsmoment in Bezug auf die Drehachse zu bestimmen. Gl. 6 liefert nämlich

$$J_0 = Mget^2: \pi^2.$$

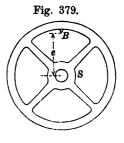
Hat man (Fig. 378) den Punkt  $\mathcal A$  bestimmt, der in der sicheren Gleichgewichtslage lotrecht unter  $\mathcal O$  liegt, so kann man mittels

der Aufhängung des Körpers nach Fig. 378 durch das den Körper im Gleichgewichte haltende Gewicht P das statische Moment Mge = Pa finden. Beobachtet man sodann och t für kleine Schwingungen, so bestimmt sich  $J_0$  nach Gl. 13.



Soll das Trägheitsmoment  $J_s$  eines Körpers in Bezug auf eine Schwerpunktsachse bestimmt werden, um welche keine Schwingung entsteht, so läßt man den Körper

um eine zeitweilige Achse B schwingen (Fig. 379), bestimmt  $J_B = J_0$  nach Gl. 13 und findet daraus  $J_S = J_B - Me^2$ . Oder, wenn die Befestigung einer besonderen Achse oder Schneide nicht ausführbar ist, so verbindet man mit dem Körper eine Ergänzungsmasse  $M_1$  derartig, daß sich beide Massen nicht gegeneinander verrücken können.  $M_1$  muß so gewählt sein, daß man dessen Beitrag zu J und Mge leicht bestimmen



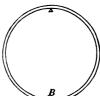
kann. Bringt man M1 so an, dass es nunmehr mit dem gegebenen

Körper ein mögliches Pendel bildet, so kann man leicht das Gesamt-Trägheitsmoment und daraus das Trägheits- Fig. 380.

moment des gegebenen Körpers berechnen.

Ein dünner Ring vom Halbmesser r, nach Fig. 380 um eine Schneide schwingend, hat, wegen  $J_s = Mr^2$ , nach Gleichung 7 die Schwingungslänge

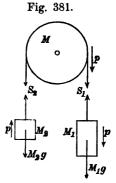
l=2r.



## 5. Beschleunigte Bewegung einer Seilrolle.

Um eine Seilrolle von der Masse M (Fig. 381) sei ein völlig biegsamer Faden geschlungen, an dessen Enden ungleiche Massen  $M_1$  und  $M_2$  hängen. Es soll die Umfangsbeschleunigung p der Rolle berechnet werden ohne Rücksicht auf Zapfenreibung und

Seilbiegungswiderstand und unter der Annahme, daß ein Gleiten des Fadens auf der Rolle nicht stattfindet. Die Masse  $M_1$  erfährt die Beschleunigung p abwärts, die Masse  $M_2$  dieselbe Beschleunigung aufwärts. Die Spannkräfte der Seilstücke sind nicht etwa  $M_1g$  und  $M_2g$ , denn diese Gleichheit findet nach S. 86 nur statt, wenn die Massen keine Beschleunigung erfahren. An der Masse  $M_1$  muß die Mittelkraft  $M_1g - S_1 = M_1p$ , mithin



1) 
$$S_1 = M_1 g - M_1 p$$
, d. h.  $< M_1 g$ 

sein, weil  $M_1g$  und  $S_1$  zusammen die Beschleunigung p erzeugen. Ebenso muß an der Masse  $M_2$  die aufwärts gerichtete Beschleunigung p durch die aufwärts gerichtete Kraftsumme  $S_2 - M_2g$  hervorgebracht werden;  $S_2 - M_2g = M_2p$ , mithin

$$S_2 = M_2 g + M_2 p, \text{ d. h.} > M_2 g.$$

Kann der Faden als gewichtlos betrachtet werden, so wird die gesamte Seilreibung, welche die Rolle zu beschleunigter Drehbewegung veranlaßt, gemessen durch den Unterschied der Spannkräfte  $S_1$  und  $S_2$ , daher wird nach Gl. 4, S. 305,  $\mu p = S_1 - S_2$ , wenn  $\mu$  die auf den Umfang bezogene Masse der Rolle ist.

Also 
$$\mu p = M_1 g - M_1 p - M_2 g - M_2 p,$$

$$p (M + M_2 + \mu) = M_1 g - M_2 g, \text{ oder}$$

$$3) \qquad p = \frac{M_1 g - M_2 g}{M_1 + M_2 + \mu} = g \frac{M_1 - M_2}{M_1 + M_2 + \mu}.$$

In dieser Gleichung erscheint also der Gewichtsunterschied  $M_1 g - M_2 g$  als treibende Kraft, als träge Masse aber die Summe aller Massen, die an der Beschleunigung p teilnehmen, d. h.  $M_1$ ,  $M_2$  und die auf den Umfang bezogene Masse  $\mu$ .

Eine Vorrichtung nach Fig. 381 ist die Atwood'sche Fall-maschine, sie dient, da p mit g verhältnisgleich ist, zur Vorführung der Gesetze der Fallbewegung in verkleinertem Maßstabe, weil die wirkliche Fallbewegung unbequem schnell erfolgt.

Beispiel: Ist Mg=1 kg und (nach S. 300, Gl. 13) das auf den Umfang bezogene Gewicht der Rolle  $\mu g=1/2$  kg,  $M_1g=4$ ,  $M_2g=3$ , kg, so wird, wenn man in Zähler und Nenner statt der Massen die g mal größeren Gewichte einführt,

$$p = g \frac{4 - 3.9}{4 + 3.9 + 0.5} = g \cdot \frac{0.1}{8.4} = \frac{g}{84},$$

die Bewegung der angehängten Massen erfolgt daher nur mit <sup>1</sup>/s4 der wahren Fallbeschleunigung.

Will man auch die Zapfenreibung mit der Reibungsziffer f und dem Zapfendurchmesser d berücksichtigen, so wird

der Zapfendruck 
$$D = S_1 + S_2 + Mg$$
; es ist, wie vorher,  
 $S_1 = M_1 g - M_1 p$   
 $S_2 = M_2 g + M_2 p$  und daher

 $D = (M + M_1 + M_2)g - (M_1 - M_2)p$ 

mit dem Zapfenreibungs-Momente  $^{1}/_{2}$  Dfd. Sonach wird, wenn r der Rollenhalbmesser  $\mu p = S_{1} - S_{2} - Df\frac{d}{2\pi}$ 

$$= M_1 g - M_1 p - M_2 g - M_2 p - (M + M_1 + M_2) g f \frac{d}{2r} + (M_1 - M_2) p f \frac{d}{2r}$$
und daraus
$$p = g \frac{M_1 - M_2 - (M + M_1 + M_2) f \frac{d}{2r}}{M_1 + M_2 + \mu - (M_1 - M_2) f \frac{d}{2r}}.$$

Mit 
$$d: r = 1: 25$$
,  $f = 0.08$ ,  $M_1g = 4$ ,  $M_2g = 3.9$ ,  $Mg = 1$ ,  $\mu g = 0.5$  kg wird 
$$p = g \frac{0.1 - 0.014}{8.4 - 0.00016} \text{ oder rund } \frac{g}{100}.$$

Hiernach wird  $S_1=4\,(1-0,01)=3,96$  kg,  $S_2=3,9\,(1+0,01)=3,94$  kg. Damit kein Gleiten des Fadens entstehe, muß nach S.  $259\,\frac{S_1}{S_2} \le e^{\int_1^{\alpha}}$  sein, worin  $f_1$  die Reibungsziffer des Fadens,  $\alpha=\pi$ . Dieser Bedingung wird schon für  $f_1\ge 0,0017$  genügt. Der Seilbiegungswiderstand ist hierbei vernachlässigt, da der Faden als sehr dünn angenommen.

Beispiel 2: Gleiche Massen  $M_1$  mögen an zwei miteinander verbundenen Rollen von ungleichen Halbmessern R und r hängen (Fig. 382); es soll die Umfangsbeschleunigung p der größeren Rolle berechnet werden; die der kleinen ist dann pr:R. — Die Fadenkräfte sind  $S_1 = M_1g - M_1p$ ;  $S_2 = M_1g + M_1pr:R$ ; die Winkelbeschleunigung der Rolle ohne Rücksicht auf Reibung (nach S. 304)

$$arepsilon = rac{S_1R - S_2r}{\mu\,R^2} = rac{M_1gR - M_1pR - M_1gr - M_1prac{r^2}{R}}{\mu\,R^2},$$
mithin, weil  $R\,arepsilon = p$ ,
 $\mu\,p = M_1g - M_1p - M_1g\,rac{r}{R} - M_1p\,rac{r^2}{R^2}$ ,
 $M_1\left(1 - rac{r}{R}
ight)$ 

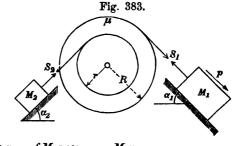
5) 
$$p = g \frac{M_1 \left(1 - \frac{r}{R}\right)}{M_1 \left(1 + \frac{r^2}{R^2}\right) + \mu}.$$

Für R=2r wird dann  $p=g^{\frac{1/2}{8}}\frac{M_1}{\sqrt[8]{4}M_1+\mu}$ , wobei zu beachten, dass  $\mu$  auf den Abstand R bezogen ist.

Beispiel 3: Hängen die Massen  $M_1$  und  $M_2$  nicht frei herab, sondern gleiten sie mit Reibung auf schiefen Ebenen mit den Neigungswinkeln  $\alpha_1$  u.  $\alpha_2$  (Fig. 383), während an dem Rollenkörper keine Bewegungswiderstände auftreten, so entsteht an der Masse M1 eine treibende Kraft  $M_1 g \sin \alpha_1$ 

und eine hindernde Reibung, daher ist

ebenso ist



Figur 382.

$$S_1 = M_1 g \sin \alpha_1 - f M_1 g \cos \alpha_1 - M_1 p;$$
  
 $S_2 = M_2 g \sin \alpha_2 + f M_2 g \cos \alpha_2 + M_2 p \frac{r}{R},$ 

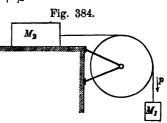
wie in Beispiel 2 wird nun  $\mu Rp = S_1 R - S_2 r$  und demnach

6) 
$$p = g \frac{M_1 (\sin \alpha_1 - f \cos \alpha_1) - M_2 (\sin \alpha_2 + f \cos \alpha_2) \frac{r}{R}}{M_1 + M_2 \frac{r_2}{R_3} + \mu}.$$

Für r = R und  $\alpha_1 = \alpha_2 = 90^{\circ}$  entsteht Gl. 3; für  $M_2 = M_1$ ,  $\alpha_1 = \alpha_2 = 90^\circ$ entsteht Gl. 5.

Für  $\alpha_1 = 90^{\circ}$ ,  $\alpha_2 = 0$ , r = R(Fig. 384) ergibt sich

7) 
$$p = g \frac{M_1 - f M_2}{M_1 + M_2 + \mu}$$
.

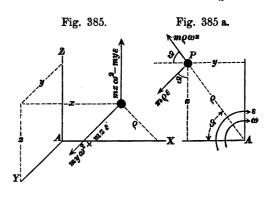


# 6. Widerstände der festen Drehachse eines Körpers bei beschleunigter Drehbewegung.

An der Achse des Körpers mögen an 2 Lagerstellen A und B die Widerstände A und B auftreten, welche die Aufgabe erfüllen, die Achse unbeweglich zu halten. Es mögen an dem Körper bewegende Kräfte [K] wirken. Sind  $\omega$  und  $\varepsilon$  die augenblickliche Winkel-Geschwindigkeit und Beschleunigung, so hat ein Massenpunkt eine daraus zu ermittelnde Beschleunigung p, welcher eine Ergänzungskraft — mp entspricht. Es muß nun nach dem Satze von d'Alembert die Gruppe dieser Kräfte [-mp] im Gleichgewichte sein mit den Widerständen A und B und der Gruppe der sonstigen äußeren Kräfte [K]. Hiernach können A und B gefunden werden, wenn man die Kräftegruppe [-mp] kennt.

Zusammensetzung der Ergänzungskräfte — mp bei ungleichmäßiger Drehbewegung. Ein Massenpunkt im Abstande  $\varrho$  von der Achse (Fig. 385) führt eine Kreisbewegung aus. Seine Tangentialbeschleunigung ist  $p_t = \varrho \varepsilon$ , seine Zentripetalbeschleunigung  $p_n = \varrho \omega^2$ 

(Seite 88). Die entsprechenden Ergänzungskräfte sind (Fig. 385 a) die Kraft  $m \varrho \varepsilon$  (links herum) und die Zentrifugalkraft  $m \varrho \omega^2$ . Die Drehachse wählen wir zur x-Achse; A sei der Anfangspunkt des Achsenkreuzes (Fig. 385). In der rechtsseitigen Figur (385 a)



ist der Körper in der Richtung der Drehachse, also auf die yz-Ebene projiziert, weil die Beschleunigungen  $p_t$  und  $p_n$  und ebenso die entsprechenden Kräfte in dieser Projektion am deutlichsten erscheinen. Bildet der Halbmesser  $\varrho=AP$  mit der AY den Winkel  $\vartheta$ , so ist

$$\varrho \cos \vartheta = y; \ \varrho \sin \vartheta = z.$$

Die Kraft  $m \varrho \omega^2$  liefert in der positiven y-Richtung die Seitenkraft  $m \varrho \omega^2 \cos \vartheta = m y \omega^2$ , in der positiven z-Richtung die Seitenkraft  $m \varrho \omega^2 \sin \vartheta = m z \omega^2$ . Ebenso gibt die Kraft  $m \varrho \varepsilon$  die

entsprechenden Seitenkräfte  $m \varrho \varepsilon \sin \vartheta = m z \varepsilon$  bezw.  $-m \varrho \varepsilon \cos \vartheta = -m y \varepsilon$ .

Diese Seitenkräfte sind in Fig. 385 eingetragen. Denkt man sich solche Kräfte für jeden einzelnen Massenpunkt angebracht und setzt diese Kräftegruppe nach S. 136 zusammen, so erhält man drei durch den Punkt A gehende Seitenkräfte X, Y, Z und drei Kräftepaar-Achsen  $\mathfrak{M}_z$ ,  $\mathfrak{M}_y$ ,  $\mathfrak{M}_z$ . In der x-Richtung ergeben sich keine Seitenkräfte. In der positiven y-Richtung entsteht  $Y = \sum my\omega^2 + \sum mz\varepsilon$ , oder, weil  $\omega$  und  $\varepsilon$  für alle Punkte dieselben Werte haben und außerdem  $\sum my = My_0$ ,  $\sum mz = Mz_0$  (mit  $y_0$  und  $z_0$  als Koordinaten des Schwerpunktes),  $Y = My_0 \omega^2 + Mz_0 \varepsilon$ .

In gleicher Weise wird  $Z=Mz_0\omega^2-My_0\varepsilon$ . Zur Ermittelung der Kräftepaar-Achse  $\mathfrak{M}_x$  gehen wir am einfachsten auf die ursprünglichen Kräfte  $m\varrho\,\omega^2$  und  $m\varrho\,\varepsilon$  zurück, da  $m\varrho\,\omega^2$  in Bezug auf  $A\,X$  kein Moment hat,  $m\varrho\,\varepsilon$  aber das Moment  $-m\varrho\,\varepsilon\varrho$ , so daß  $\mathfrak{M}_x=-\varepsilon\,\varSigma m\,\varrho^2=-\varepsilon\,J_x$ , was nach Gl. 2, S. 304 selbstverständlich war. Die in der z-Richtung wirkenden Kräfte gehen an der  $A\,Y$  in einem Abstand x vorbei, liefern daher mit Rücksicht auf den Drehungssinn  $\mathfrak{M}_y=-\omega^2\,\varSigma m\,x\,z+\varepsilon\,\varSigma m\,x\,y$ ; ebenso ist  $\mathfrak{M}_z=\omega^2\,\varSigma m\,x\,y+\varepsilon\,\varSigma m\,x\,z$ . Das Gesamtergebnis der Ergänzungskräfte  $[-m\,p]$  ist also

1) 
$$\begin{cases} X = 0 \\ Y = My_{0}\omega^{2} + Mz_{0}\varepsilon \\ Z = Mz_{0}\omega^{2} - My_{0}\varepsilon \\ \mathfrak{M}_{x} = -\varepsilon J_{x} \\ \mathfrak{M}_{y} = -\omega^{2}\Sigma mxz + \varepsilon\Sigma mxy \\ \mathfrak{M}_{z} = \omega^{2}\Sigma mxy + \varepsilon\Sigma mxz. \end{cases}$$

Hiermit müssen die sämtlichen äußeren Kräfte [K] und die Widerstände A und B im Gleichgewichte sein. In den vorstehenden Gleichungen erscheinen Summenausdrücke  $\Sigma mxy$  und  $\Sigma mxz$ ; um sie zu erhalten, muß man jedes Massenteilchen m mit zweien seiner Koordinaten xy bezw. xz multiplizieren und die Glieder dann summieren. Diese Ausdrücke sind von demselben Grade, derselben Dimension, wie die Trägheitsmomente  $J = \Sigma m \varrho^2$  und heißen Zentrifugalmomente = C. Wir wollen  $\Sigma mxy$  und  $\Sigma mxz$  von einander unterscheiden, indem wir neben C als Zeiger diejenige Ordinate setzen, welche in den Summen nicht vorkommt, mithin  $\Sigma mxy = C_z$ ;  $\Sigma mxz = C_y$ .

Im allgemeinen sind die Ergänzungskräfte von  $\omega$  und  $\varepsilon$  abhängig, so dass auch die Widerstände der sesten Achse sich mit  $\omega$  und  $\varepsilon$  ändern. Geht aber die Drehachse durch den Schwerpunkt, so dass  $y_0 = z_0 = 0$ , und sind ausserdem die Zentrifugalmomente  $C_y$  und  $C_z$  gleich Null, so werden außer X=0 auch Y=Z $=\mathfrak{M}_v=\mathfrak{M}_z=0$ , und es bilden die Kräfte [-mp] nur ein  $\mathfrak{M}_z$ . Aus den Gl. 1 verschwinden dann, abgesehen von  $\mathfrak{M}_x = -\varepsilon J_x$ , sämtliche von  $\omega$  und  $\varepsilon$  abhängigen Glieder, so daß die Widerstände A und B der festen Achse sich ebenso berechnen lassen wie für den ruhenden Körper. Bilden unter dieser Voraussetzung die bewegenden Kräfte [K] ein Kräftepaar  $\mathfrak{M}$ , dessen Achsenstrecke (S. 133) die Richtung AX hat, so ist dies mit dem berechneten  $\mathfrak{M}_x = -\varepsilon J_x$  im Gleichgewichte. Weil die Normalwiderstände A und Bder Achse zu dem treibenden Momente nichts beitragen, die Kräfte [-mp] sich aber in jeder anderen Beziehung aufheben, so müssen in diesem Falle die Widerstände A und B der festen Achse ver-Die Achse bedarf dann gar keiner Befestigung, der Körper führt seine Drehung um die unbefestigte Achse so aus, als ware sie fest. Eine solche Achse nennt man deshalb eine freie Achse. Da die sämtlichen äußeren Kräfte [K], A und B mit [-mp]im Gleichgewichte sind, so kann man den Satz aussprechen:

Dreht sich ein Körper um eine freie Achse, so setzen sich sämtliche äußeren Kräfte an demselben lediglich zu einem Kräftepaare zusammen, dessen Achsenstrecke mit der Drehachse zusammenfällt, heben sich aber in jeder anderen Beziehung auf; die Normalwiderstände der Drehachse sind von der Geschwindigkeit und Beschleunigung unabhängig.

Ist die Drehung eine gleichförmige ( $\varepsilon = 0$ ), so bestehen die Kräfte [-mp] nur in den Zentrifugalkräften, deren Zusammensetzung liefert (Gl. 1)

3) 
$$\begin{cases}
X = 0 \\
Y = My_0 \omega^2 \\
Z = Mz_0 \omega^2 \\
\mathfrak{M}_z = 0 \\
\mathfrak{M}_y = -\omega^2 C_y \\
\mathfrak{M}_z = \omega^2 C_z.
\end{cases}$$

Hiermit müssen wieder die äußeren Kräfte im Gleichgewichte sein. Weil nun zur Zusammensetzung der Zentrifugalkräfte die Summen C nötig sind, so erhielten diese den Namen "Zentrifugalmomente".

Ist einem Körper eine Drehbewegung um eine feste Achse erteilt und setzt er diese ohne weitere Einwirkung von Kräften K fort, so müssen die Widerstände A und B mit den Kräften der Gl. 3 im Gleichgewichte sein. Diese Widerstände sind durch die Winkelgeschwindigkeit bedingt und verschwinden mit dieser. Ist aber die Drehachse eine freie Achse, so heben sich die Zentrifugalkräfte vollständig auf, und es werden auch keine Achswiderstände nötig; die Drehung setzt sich um die unbefestigte Achse fort, als wäre dieselbe festgehalten. Man kann daher sagen, eine freie Achse für einen Körper ist eine solche, in Bezug auf welche die Zentrifugalkräfte sich aufheben.

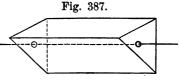
Einige Bedingungen für eine freie Achse. Die Zentrifugalmomente  $C_y$  und  $C_z$  werden gleich Null, wenn der Körper rechtwinklig

zur Drehachse AX eine Symmetrie-Ebene hat; wählt man diese nämlich zur yz-Ebene (Fig. 386), so entspricht jedem Massenteilchen mit positivem x ein gleiches mit negativem x, so daß in  $\Sigma mxy$  und  $\Sigma mxz$  stets je zwei gleiche, sich aufhebende Glieder + mxy und - mxz vorkommen. Geht außerdem noch di

Fig. 386.

vorkommen. Geht außerdem noch die Drehachse durch den Schwerpunkt, so ist AX eine freie Achse. Hiernach ist für einen

gleichartigen Körper von der Form eines geraden Prismas oder Zylinders die Verbindungsgerade der Schwerpunkte der Endflächen (Fig. 387) eine freie Achse.



Ferner ist AX eine freie Achse, wenn man durch sie zwei rechtwinklig zueinander stehende Symmetrie-Ebenen legen kann. Wählt man diese nämlich zur xy-Ebene und zur xz-Ebene, so liegen je zwei Massenteilchen mit +y und mit -y einander gegenüber, deren eines den Beitrag +mxy, deren anderes den Beitrag -mxy liefert, so daß  $C_z = 0$  wird; ebenso  $C_y = 0$ .

Eingehendere Rechnungen zeigen, das jeder noch so unregelmässige Körper mindestens drei zueinander rechtwinklige freie Achsen hat.

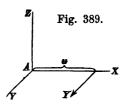
Andere Arten der Zusammensetzung der Ergänzungskräfte.

Trennt man in Gl. 1 die durch den Anfangspunkt A gehenden Kräfte Y und Z in diejenigen Teile  $Y_1 = My_0\omega^2$  und  $Y_2 = Mz_0\varepsilon$ bezw.  $Z_1 = Mz_0 \omega^2$  and  $Z_2 = -My_0 \varepsilon$ , welche allein von  $\omega$ , bezw. von  $\varepsilon$  abhängen (Fig. 388), so lassen sich nunmehr  $Y_1$  und  $Z_1$  wieder zusammensetzen zu einer Mittelkraft

$$R_1$$
 $S$ 
 $Y_0$ 
 $Z_2$ 
 $Z_3$ 
 $Z_2$ 
 $Z_3$ 
 $Z_4$ 
 $Z_2$ 

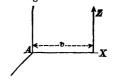
$$R_1 = M\omega^2 \sqrt{y_0^2 + z_0^2} = M\omega^2 e,$$

wenn e die Entfernung des Schwerpunktes von der Drehachse bedeutet. Diese Kraft ist parallel mit der Richtung jenes rechtwinkligen Abstandes e.  $Y_2$  und  $Z_2$  geben in gleicher Weise eine Mittelkraft  $R_2 = M \varepsilon e$ , die zu  $R_1$  rechtwinklig und, dem Sinne nach, der Umfangsbeschleunigung des Schwerpunktes entgegengesetzt ist.



Vereinigt man die Kraft Y der Gl. 1 mit der Kräftepaarachse  $\mathfrak{M}_z$ , so ergibt sich aus beiden eine Kraft von derselben Größe  $Y = My_0 \omega^2 + Mz_0 \varepsilon$ , welche von A Fig. 390.

im Sinne der positiven x-Richtung parallel verschoben ist (Fig. 389).

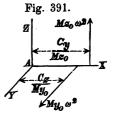


Vereinigt man ebenso Z mit  $\mathfrak{M}_{v}$ , so erhält man eine gleiche Kraft

6) 
$$Z = Mz_0\omega^2 - My_0\varepsilon$$
, welche um

7) 
$$v = \frac{-\mathfrak{M}_{y}}{Z} = \frac{\omega^{2} C_{y} - \varepsilon C_{z}}{M z_{0} \omega^{2} - M y_{0} \varepsilon}$$

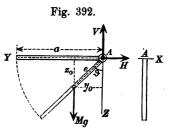
im Sinne der positiven x-Richtung parallel verschoben ist (Fig. 390). Auf diese beiden im Raume sich rechtwinklig kreuzenden Kräfte ist mithin die Gruppe [-mp] auch zurückzuführen.



Im Falle der gleichförmigen Drehung ( $\varepsilon = 0$ ) vereinfachen sich diese Ergebnisse in der Weise der Fig. 391.

Beispiel I: Eine als materielle Gerade aufzufassende Stange von der Länge a schwinge unter Einwirkung der Schwere um eine durch den Endpunkt A gelegte

wagerechte Achse (Fig. 392). Die Bewegung möge von der wagerechten Lage ausgegangen sein. Hier liegt ein Fall vor, wo  $C_y$  und  $C_z$  Null sind, weil AYZ eine Symmetrie-Ebene für die Stange ist. Die Drehachse ist aber keine freie Achse, weil sie nicht durch den Schwerpunkt geht. In einer beliebigen Zwischenlage ist  $y_0 = e \sin \vartheta$ ;  $z_0 = e \cos \vartheta$ , wobei  $e = \frac{1}{2} a$ ; ferner ist  $J_x = \frac{1}{8} M a^2$ ; und für die Winkelgeschwindigkeit  $\omega$  und



Beschleunigung & in der beliebigen Zwischenlage gelten:

$$(\text{nach S. 295}) \quad {}^{1/2} J_x \omega^2 = Mg z_0,$$

$$\omega^2 = \frac{2 Mg z_0}{J_x} = \frac{3 g \cos \vartheta}{a},$$

$$(\text{nach S. 304}) \qquad \varepsilon = \frac{Mg e \sin \vartheta}{J_x} = \frac{3}{2} \frac{g \sin \vartheta}{a}.$$

Die Kräftegruppe [-mp] liefert hiernach (Gl. 1, S. 316)

$$X = 0;$$

$$Y = \frac{Ma}{2} \sin \vartheta \frac{3g \cos \vartheta}{a} + \frac{Ma}{2} \cos \vartheta \frac{3}{2} \frac{g \sin \vartheta}{a}$$

$$= \frac{9}{4} Mg \sin \vartheta \cos \vartheta = \frac{9}{8} Mg \sin 2\vartheta;$$

$$Z = \frac{Ma}{2} \cos \vartheta \cdot \frac{3g \cos \vartheta}{a} - \frac{Ma}{2} \sin \vartheta \cdot \frac{3}{2} \frac{g \sin \vartheta}{a}$$

$$= \frac{Mg}{2} (3 - 3 \sin^2 \vartheta - \frac{3}{2} \sin^2 \vartheta) = \frac{Mg}{8} (3 + 9 \cos 2\vartheta);$$

$$\mathfrak{M}_x = \frac{1}{2} Mg a \sin \vartheta;$$

$$\mathfrak{M}_y = 0; \quad \mathfrak{M}_z = 0.$$

Mit diesen Kräften müssen die Schwerkraft Mg und die Widerstände der Drehachse im Gleichgewichte sein. Letztere brauchen in diesem Falle, weil  $\mathfrak{M}_y$  und  $\mathfrak{M}_z=0$  sind, nur in dem Punkte A der Achse anzugreifen; man zerlege sie in V und H. Dann muß

$$H=Y=rac{9}{8}~Mg\sin 2~\vartheta~{
m sein}$$
 ebenso  $Mg-V=-Z=-{}^{1}/{}^{8}~Mg~(3~+~9\cos 2~\vartheta),$  d. h.  $V={}^{1}/{}^{8}~Mg~(11~+~9\cos 2~\vartheta).$ 

Der wagerechte Achsenwiderstand H ist für  $\vartheta = 90^{\circ}$ , d. h. in der Anfangslage gleich Null, ebenso in der tiefsten Lage für  $\vartheta = 0$ ; am größten wird er für  $\vartheta = 45^{\circ}$ , nämlich  $H_{max} = {}^{\circ}/s Mg$ .

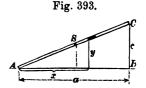
Der lotrechte Widerstand ist

für 
$$\vartheta = 90^{\circ}$$
:  $V = \frac{1}{4} Mg$ ,  
für  $\vartheta = 45^{\circ}$ :  $V = \frac{11}{8} Mg$ ,  
für  $\vartheta = 0$ :  $V_{max} = \frac{5}{2} Mg$ .

Diese Größtwerte von H und V sind im Verhältnis zum Gewicht Mg des Stabes erheblich. Die Kraft H wirkt abwechselnd bald nach links, bald nach rechts, je nach der Lage des schwingenden Körpers. — Von besonderer Wichtigkeit sind diese Kräfte, wenn der schwingende Körper eine schwere Glocke ist. Die Achswiderstände H und V müssen dann von dem sog. Glockenstuhle ausgeübt werden. Der fortwährende Wechsel des Sinnes der Kraft H ist für den Turm besonders gefährlich. Der Rechnungsgang ist im wesentlichen derselbe wie in dem vorliegenden Falle. — Wurde die Stange in der Anfangslage  $(\mathfrak{S}=90^{\,0})$  am linksseitigen Ende etwa unterstützt, so war im Ruhezustande  $V=1/2\,Mg$ ; durch plötzliches Loslassen des Endes verändert sich V auf  $1/4\,Mg$ . — Weitere Beispiele sollen sich auf gleich förmige Drehung beziehen.

Beispiel 2: Eine materielle Gerade A C (Fig. 393) drehe sich gleichförmig um eine Achse A B; der Punkt A sei unmittelbar, der Punkt C mittels einer gewichtlosen Stange c mit der Achse verbunden.

Die Projektionen der Stange seien a und c. Da der Körper ein ebenes Gebilde, so lege man A CB in die xy-Ebene, dann ist  $y_0 = \frac{1}{2}c$ ;  $z_0 = 0$ ; ferner wird  $\sum mxz = C_y = 0$ , weil sämtliche z-Werte Null sind. Die Zusammensetzung der sämtlichen Zentrifugalkräfte beschränkt sich daher nach Fig. 391 auf eine Einzel-



kraft 
$$Y = My_0 \omega^2 = 1/2 Mc \omega^2$$
, im Abstand  $u = \frac{C_z}{My_0}$  rechts von A liegend.

Ein Massenteilchen von der Länge ds hat die Masse  $m=\frac{\gamma}{g}\,F\cdot ds$ , wenn F der Querschnitt des Stabes,  $\gamma$  die Dichte. Man kann aber bei der Berechnung von u die selbstverständlichen Faktoren  $F\gamma\colon g$  fortlassen, wenn man m=ds und ebenso M=s= der Länge der Stange setzt. Das Teilchen liefert zu  $C_z$  den Beitrag  $ds\cdot xy$ , was wegen  $y=xc\colon a$  und  $ds=dx\cdot s\colon a$  geschrieben werden kann:

$$mxy = \frac{sc}{a^2}x^2dx.$$

Daraus folgt

$$C_z = \sum m x y = \frac{s c}{a^2} \int_{0}^{a} x^2 dx = \frac{1}{3} s c a.$$

Weil nun nach obigem  $My_0 = 1/2 cs$ , so wird u = 2/3 a.

Derartig einfache Fälle kann man auch leicht ohne Anwendung der allgemeinen Formeln unmittelbar behandeln. Dem Teilchen ds entspricht die Zentrifugalkraft  $ds \cdot y \omega^2$ . Die Mittelkraft R der Zentrifugalkräfte ist die Summe der gleichgerichteten Kräfte  $[ds \cdot y \omega^2]$ , mithin

$$R = \omega^2 \int ds \cdot y = \omega^2 s \, y_0 = \omega^2 s^{1/2} \, c = {1/2} \, M \omega^2 c$$
.

Nach dem Satze der Momente wird dann in Bezug auf A:

$$Ru = \omega^2 \int ds \cdot xy = \omega^2 s \frac{c}{a^2} \int_0^a dx,$$

d. h.  $1/28c\omega^2 u = 1/3\omega^2 8ca$ , wonach u = 2/3a.

Dass die Kraft  $^{1}/2 M \omega^{2} c$  durch den Schwerpunkt des Dreiecks ABC (Fig. 394) geht, folgt auch daraus, dass man die Teilkraft  $ds \cdot y \omega^2$  schreiben kann

$$= \omega^2 \frac{s}{a} y \cdot dx,$$

d. h. proportional dem Flächenstreifen  $u \cdot dx$  des Dreiecks.

Wirken nun auf die Stange keine bewegenden Kräfte [K], so müssen die etwa in  $\boldsymbol{A}$  und  $\boldsymbol{B}$  angreifenden Achsenwiderstände mit  $\boldsymbol{R}$ im Gleichgewichte sein. Daher wird

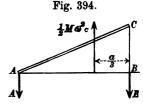


Fig. 395.

A.F.Mg/

A

By

$$A = \frac{1}{3}R = \frac{1}{6}M\omega^2c; \quad B = \frac{2}{3}R = \frac{1}{8}M\omega^2c.$$

Steht die Drehachse AB lotrecht und wirkt die Schwere auf die sich drehende Stange (Fig. 395), so müssen die Schwere Mg und die Widerstände A

und B zusammen mit  $R = 1/2 M\omega^2 c$  im Gleichgewichte sein. X = 0 erfordert, daß etwa in A ein lotrecht aufwärts gerichteter Widerstand  $A_x = Mg$  wirke. Es ist ferner in Bezug auf B:

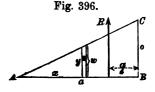
$$0 = -\frac{1}{2} M \omega^2 c \frac{a}{3} + A_y a - M g \frac{c}{2},$$

d. h. 
$$A_y = Mg \frac{c}{2a} + \frac{Mc\omega^2}{6} = \frac{Mgc}{2} \left(\frac{1}{a} + \frac{\omega^2}{3g}\right)$$
  
und ebenso  $B_y = \frac{Mgc}{2} \left(-\frac{1}{a} + \frac{2}{3}\frac{\omega^2}{g}\right)$ .

Es wird der Widerstand  $B_y = 0$  für  $\omega^2 = \frac{3}{2} \frac{g}{a}$ ; unter dieser Bedingung bewegt sich die Stange als

ein physisches Kegelpendel; d. h. nicht durch einen Stab BC, sondern nur infolge der Drehung wird der Winkel a unverändert erhalten. mathematische Kegelpendel (S. 69) war  $\omega^2 = \frac{g \operatorname{tg} \alpha}{c} = \frac{g \operatorname{c}}{a \operatorname{c}} = \frac{g}{a}$ 

Beispiel 3: Der sich gleichförmig um die Achse AB drehende Körper sei eine materielle Dreieckfläche ABC (Fig. 396). Dann ist, wenn man die Masse der Flächeneinheit = 1 setzt,  $M = \frac{1}{3} a c$ ,  $y_0 = \frac{1}{3} c$ , die gesamte Zentrifugalkraft R  $= \frac{1}{8} Mc \omega^2$  im Abstand u von A.  $C_z = \sum mxy$  zu bestimmen, bedenke man, daß  $C_z = \int dx \cdot dy \cdot xy$ .



Mω<sup>3</sup>c

Teilchen eines lotrechten Flächenstreifens haben übereinstimmendes x und dx liefern daher zu  $C_s$  den Beitrag  $x dx \int_{v_0}^{\omega} y \cdot dy$ ,  $= x dx^{1/2} \omega^2$ , wenn  $\omega$  die Höhe des Streifens; darin ist  $\omega = cx : a$ , also wird Fig. 397.

$$C_z = \frac{1}{2} \frac{c^2}{a^2} \int_0^a x^3 dx = \frac{1}{8} c^2 a^2 = \frac{1}{4} Mac.$$

Mithin nach Fig. 391  $u = \frac{C_2}{My_0} = \frac{1/4 \, Mac}{1/3 \, Mc} = \frac{3}{4} a$ .

Die entsprechenden Achsenwiderstände werden dann

$$A = \frac{1}{4}R = \frac{1}{12}Mc\omega^2$$
 und  $B = \frac{3}{4}R = \frac{1}{4}Mc\omega^2$ .

Stellen wir wiederum die Drehachse lotrecht (Fig. 397) und lassen die Schwere wirken, so sind in A und B die wagerechten Widerstände  $A_y$  und  $B_y$  nötig, für welche gilt:

$$^{1/4}aR = A_{y}a - Mg^{1/3}c,$$

mithin  $A_y = \frac{1}{4}R + \frac{1}{3}Mg\frac{c}{a}$  und ebenso  $B_y = \frac{3}{4}R - \frac{1}{3}Mg\frac{c}{a}$ . Wiederum wird die Befestigung bei B unnötig, wenn

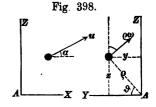
$$^{9}/_{4}\,R={}^{1}/_{4}\,M\,c\,\omega^{2}={}^{1}/_{8}\,M\,g\,rac{c}{a}\,,\,\,\,\,{
m d.\,\,h.\,\,für}\,\,\,\,\,\omega^{2}=rac{4}{3}\,rac{g}{a}\,.$$

# $\textbf{7. Gleichzeitige Verschiebung und Drehung eines K\"{o}rpers.}$

### a) Arbeitsvermögen.

Ein Körper drehe sich um eine Schwerpunktsachse, die zur x-Achse gewählt werden möge, mit der Winkelgeschwindigkeit  $\omega$ ; zugleich werde die Achse mit einer der xz-Ebene parallelen

Geschwindigkeit u parallel verschoben, und zwar möge u mit der x-Richtung den Winkel  $\alpha$  bilden (Fig. 398). Dann setzt sich die gesamte Geschwindigkeit v eines Punktes der Koordinaten x, y, z im Abstande  $\varrho$  von der Achse aus den Einzelgeschwindigkeiten u und  $\varrho \omega$  zusammen.



Mg

Fig. 398 stellt das Achsenkreuz in zwei Projektionen dar. Bildet  $\varrho$  mit AY den Winkel  $\vartheta$ , so ist  $\varrho$  cos  $\vartheta=y$ ,  $\varrho$  sin  $\vartheta=z$ ; somit zerlegt sich  $\varrho\omega$  in  $-z\omega$  und  $y\omega$ . Die Seitengeschwindigkeiten eines Punktes nach den Achsenrichtungen werden dann

$$v_x = u \cos \alpha$$
;  $v_y = -z \omega$ ;  $v_z = y \omega + u \sin \alpha$ .

324 Zweite Abteilung. B. Beschleunigte Bewegung starrer Körper.

Daher wird

$$v^{2} = u^{2}\cos^{2}\alpha + z^{2}\omega^{2} + y^{2}\omega^{2} + 2y\omega u \sin \alpha + u^{2}\sin^{2}\alpha$$
$$= u^{2} + \varrho^{2}\omega^{2} + 2y\omega u \sin \alpha.$$

Das Arbeitsvermögen des Körpers ergibt sich dann zu

 $\Sigma(1/2 m v^2) = 1/2 M u^2 + 1/2 \omega^2 \Sigma m \varrho^2 + \omega u \sin \alpha \Sigma m y$ , weil u,  $\omega$  und  $\alpha$  für alle Teile des Körpers dieselben. Da aber die Ebene  $A \times Z$  den Schwerpunkt enthält, so ist  $\Sigma m y = 0$  (S. 147), mithin das Arbeitsvermögen

$$1/2 Mu^2 + 1/2 J\omega^2$$
,

wenn J das Trägheitsmoment des Körpers in Bezug auf die Drehachse. Das Arbeitsvermögen setzt sich hiernach aus zwei Teilenzusammen, deren einer das Arbeitsvermögen wegen der Verschiebung, deren anderer dasjenige wegen der Drehung bedeutet.

#### b) Bewegung eines freien Körpers.

Wirken an einem freien starren Körper beliebige äußere Kräfte  $K_1$ ,  $K_2$ ,  $K_3$  . . . , so füge man im Schwerpunkt S des Körpers je zwei gleiche entgegengesetzte Kräfte K hinzu. Dann lassen sich im Schwerpunkte die den gegebenen gleichgesinnten Kräfte K zu einer Mittelkraft R vereinigen, während jede gegebene Kraft Kmit der entgegengesetzt hinzugefügten ein Kräftepaar bildet, deren Achsenstrecken ein Gesamtmoment M (S. 136) liefern. Schwerpunkt S bewegt sich nach dem Satze von der Bewegung des Schwerpunktes nur unter Einwirkung der Kraft R mit der Beschleunigung  $p_0 = R:M$ . (Wäre etwa R unveränderlich nach Größe und Richtung, so würde der Schwerpunkt eine Parabel beschreiben, S. 59.) Das Achsenmoment M bewirkt aber noch eine Drehung um den Schwerpunkt. Denkt man sich nun mit dem Schwerpunkt ein Achsenkreuz verbunden, welches dessen Bewegung völlig mitmacht, aber stets der Anfangslage parallel bleibt, so kannman die Drehung des Körpers auffassen als scheinbare Bewegung gegen dieses mit der Beschleunigung  $p_0$  sich verschiebende Achsen-Diese Bewegung kann dann betrachtet werden wie einekreuz. Drehung um den festliegenden Schwerpunkt, wenn man an allen Punkten des Körpers die entsprechenden Ergänzungskräfte [-  $mp_0$ ] anbringt. Weil diese sich gleichmäßig über die ganze Masse verteilen, so liefern sie eine Mittelkraft —  $Mp_0$ , die durch den

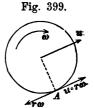
Schwerpunkt geht, daher auf die Drehung um ihn keinen Einfluss haben kann. Die Drehung geschieht also gerade so, als ruhte der Schwerpunkt.

Ist nun die durch den Schwerpunkt gelegte Achsenstrecke des Gesamt-Kräftepaares M eine freie Achse und hat der Körper anfänglich keine Drehung um eine andere Achse, so wird die Drehachse ihre Richtung im Raum und im Körper nicht ändern, und der Körper wird sich um diese Achse des Gesamt-Kräftepaars M gerade so drehen, als ware sie eine festgehaltene Achse. Denn, hielte man sie tatsächlich fest, so würden die Widerstände des Festhaltens wegen dieser Eigenschaft der freien Achse (S. 317) zu Null werden. Drehung um diese Achse erfolgt dann mit der Winkelbeschleunigung  $\varepsilon = \mathfrak{M}: J(S.304, Gl.2)$ . — Dies trifft zu für eine gleichartige Kugel unter Einwirkung beliebiger aber gleichbleibender Kräfte, wenn sie zu Anfang keine Drehbewegung um eine andere Achse als die Achse des Gesamtmomentes M hatte. Der Schwerpunkt beschreibt eine Parabel; die Achse M verschiebt sich mit dem Schwerpunkte und bildet, weil jeder Durchmesser eine freie Achse ist, fortwährend die Drehachse für den Körper. - Ist aber die Achse M durch den Schwerpunkt keine freie Achse, oder ist zu Anfang schon eine Drehung um eine andere Achse vorhanden, so ändert die Achse, um welche die Drehung geschieht, fortwährend ihre Richtung im Körper und im Raum; es entsteht neben der Bewegung des Schwerpunktes, die hiervon nicht berührt wird, im allgemeinen eine unregelmäßig wirbelnde Bewegung um den Schwerpunkt, die so verwickelt ist, dass sie an dieser Stelle nicht weiter behandelt werden soll: man kann solche Bewegung beobachten, wenn man einen Stab so fortwirft, dass er eine Drehung um eine schief zu ihm liegende Achse mit auf den Weg bekommt. Wird ein Stab (Speer oder Ger) in der Mitte erfast und in wagerechter Lage so fortgeworfen, dass er keine Drehung auf den Weg bekommt, so beschreibt sein Schwerpunkt - abgesehen von der Wirkung des Luftwiderstandes - eine Wurfparabel; die Stange erfährt, weil  $\mathfrak{M} = 0$  ist, keine Drehung, sondern bleibt immer ihrer Anfangslage parallel, stellt sich aber nicht etwa tangential zur Wurflinie. Anders ist es mit einem gespitzten und gefiederten Pfeile; dieser wird durch den Luftwiderstand stets so gedreht, dass seine Längenrichtung ziemlich tangential zur Wurflinie sich stellt.

#### c) Rollbewegung auf schiefer Ebene. Fuhrwerke.

Bewegung ohne Berücksichtigung des Rollwiderstandes. Hat ein Umdrehungskörper eine Winkelgeschwindigkeit  $\omega$  rechtsherum um seine geometrische Achse und wird er gleichzeitig rechtwinklig zur Achse mit der Geschwindigkeit  $u=r\omega$  nach rechts verschoben, so setzen sich die Geschwindigkeiten der verschiedenen

Punkte eines Kreises vom Halbmesser r aus den Einzelgeschwindigkeiten  $r\omega$  rechtwinklig zum Drehungshalbmesser und  $u=r\omega$  zusammen. An dem Punkt A (Fig. 399) ist dann die Gesamtgeschwindigkeit v=0. Bringt man den Körper an dieser Stelle mit einer Ebene in Berührung, welche mit u und der geometrischen Achse des Körpers parallel ist, so wird der Umdrehungskörper sich gegen diese Ebene in der Art be-



wegen, dass die Berührungsstelle fortwährend wechselt, dass an der Berührungsstelle aber stets die relative Gleitgeschwindigkeit Nult ist. Eine solche Bewegung nennt man eine Rollbewegung. Andere, ebenfalls aus Drehung und Verschiebung zusammengesetzte Bewegungen, bei denen aber die Bedingung  $r\omega = u$  nicht erfüllt ist, erscheinen äußerlich ebenfalls wie Rollbewegungen, sind es aber nicht, sondern sind, weil an der Berührungsstelle die relative Gleitgeschwindigkeit nicht gleich Null, Gleitbewegungen sich drehen der Körper auf einer Ebene. Für die Kräfte und damit auch für die Gesetze der Bewegung ist es von maßgebender Bedeutung, ob die Gleitgeschwindigkeit an der Berührungsstelle Null ist oder nicht. Im ersteren Falle kommt nämlich die Reibung im allgemeinen mit einem Betrage  $T \leq fN$  zur Wirkung, während, wenn u nur im geringsten von  $r\omega$  abweicht, der volle Betrag der Reibung fN wirksam wird.

An dieser Stelle behandeln wir die reine Rollbewegung und werden die Gleitbewegung S. 338 besprechen.

Das Arbeitsvermögen der Rollbewegung ist nach S. 324  $^{1/2}Mu^{2} + ^{1/2}\omega^{2}J$ , oder, wenn  $\mu$  die auf den Halbmesser des Rollkreises r bezogene Masse (wegen  $r\omega = u$ ):

1) 
$$^{1/2}(M + \mu)u^{2}$$
.

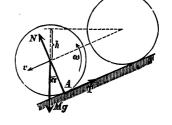
Wird ein Umdrehungskörper (Zylinder, Reif oder Kugel) mit der Geschwindigkeit Null auf eine schiefe Ebene gesetzt und lediglich der Einwirkung der Schwere Mg und des Normalwiderstandes Nder Ebene überlassen, so würde er unter Annahme völliger Glätte nicht in Drehung geraten können, weil Mg und N beide durch den Schwerpunkt gehen; es würde der Körper also eine beschleunigte, rein fortschreitende Gleitbewegung ausführen. In Wirklichkeit setzt sich ein Reibungswiderstand T dem Gleiten entgegen, und wenn dieser in der erforderlichen Größe zur Wirkung gelangen kann, so wird er das Gleiten verhindern und eine Rollbewegung erzeugen. Unter welchen Bedingungen dies geschieht, bleibt noch zu untersuchen. Daher setzen wir zunächst voraus, dass eine vollkommene Rollbewegung stattfinde, welche entweder durch Reibung erzeugt, oder durch einen um den Rollkreis geschlungenen, von A aus auf der Ebene nach oben hin gerade gestreckten und an ihr befestigten Faden, oder endlich durch eine Verzahnung von Rollkreis und Bahn erzwungen werde. Dann wird durch eines dieser Mittel die für das Rollen erforderliche Umfangskraft T geliefert.

Beginnt die Rollbewegung mit der Geschwindigkeit Null und ist die Geschwindigkeit des Schwerpunktes, nachdem dieser um h gesunken, v geworden (Fig. 400), so ist die Zunahme an Arbeitsvermögen  $1/2 (M + \mu) v^2$ . Arbeit wird

vermögen  $1/2 (M + \mu) v^2$ . Arbeit wird nur von der Schwere im Betrag Mgh verrichtet, denn N und T greifen an der Berührungsstelle A an, deren Geschwindigkeit Null ist. Hiernach muß

$$^{1}/_{2}\left( M+\mu 
ight) v^{2}=Mgh$$
 sein, oder

$$v = \sqrt{\frac{2gh}{1 + \frac{\mu}{M}}}.$$

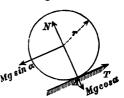


Will man die Bewegung in ihren Einzelheiten kennen lernen, so muß man die Beschleunigungen beider Fig. 401. Einzelbewegungen berechnen. Zerlegt man Mg

in  $Mg \sin \alpha$  und  $Mg \cos \alpha$  (Fig. 401), so mus

$$N = Mg \cos \alpha$$

sein, weil der Schwerpunkt sich geradlinig bewegt, d. h. keine Zentripetalbeschleunigung erfährt (S.67). Die Beschleunigung p des Schwer-



punktes erhält man nach S. 166, indem man T an den Schwerpunkt

verschoben denkt, mithin ist  $Mp=Mg\sin\alpha-T$ . Weil T noch unbekannt, ist eine zweite Gleichung erforderlich. Da in jedem Augenblick  $r\omega=v$ , so muß das gleiche Verhältnis auch für die Beschleunigungen gelten, d. h.  $r\varepsilon=p$ . Weil nun die Umfangsbeschleunigung  $r\varepsilon=p$  von T herrührt, so ist nach Gl. 4, S. 305.

$$\mu p = T.$$

Führt man dies in obigen Ausdruck für Mp ein, so ergibt sich schließlich

$$p = \frac{Mg \sin \alpha}{M + \mu} = \frac{g \sin \alpha}{1 + \frac{\mu}{M}},$$

d. h. die treibende Seitenkraft der Schwere  $Mg \sin \alpha$  ist nicht allein durch die Masse M, sondern durch die Summe  $M + \mu$  zu teilen, da sie nicht nur die fortschreitende Masse M, sondern zugleich die Schwungmasse  $\mu$  zu beschleunigen hat (vgl. S. 213).

Hiermit ist auch die Umfangskraft T bestimmt (Gl. 4) zu

6) 
$$T = \mu p = \frac{\mu M q \sin \alpha}{M + \mu} = \frac{M g \sin \alpha}{1 + \frac{M}{\mu}}.$$

Soll nun die Rollbewegung allein durch die Reibung, ohne sonstigen Zwang, gesichert sein, so muß  $T \le fN = fMg \cos \alpha$  sein, oder

$$\frac{\mu Mg \sin \alpha}{M+\mu} \leq f Mg \cos \alpha.$$

Das gibt, nach a aufgelöst:

7) 
$$\operatorname{tg} \alpha \leq f\left(1 + \frac{M}{u}\right).$$

Genügt die Neigung der schiesen Ebene dieser Bedingung, so ist Rollbewegung möglich. Bei zu großer Neigung ist  $fMg\cos\alpha$  zu klein, um die der großen Schwerpunktsbeschleunigung p entsprechende Umfangsbeschleunigung zu erzeugen; es wird dann eine Gleitbewegung entstehen.

Natürlich ist die betrachtete Rollbewegung nur möglich, wenn die Wirkungsebene der Kräfte N und T durch den Schwerpunkt geht. Es findet dies statt beim Zylinder, beim Reif, bei der Kugel; nicht beim Kegel, wohl aber bei einem Doppelkegel und allgemeiner bei jeder Achse, auf der zwei symmetrische Umdrehungskörper als

Räder befestigt sind. Da beim dünnen Reif  $\mu = M$ , beim Zylinder  $\mu = \frac{1}{2} M$ , bei der Kugel  $\mu = 0.4 M$  (S. 300 u. 301), so wird für den Reif:

 $v = 0.707 \sqrt{2gh} = \sqrt{gh}$ ;  $p = 1/2g \sin \alpha$ ;  $T = 1/2 Mg \sin \alpha$ ;  $tg \alpha \le 2f$ ; für den Zylinder:

 $v=0.817\sqrt{2gh}$ ;  $p=2/3g\sin\alpha$ ;  $T=1/3Mg\sin\alpha$ ;  $\log\alpha\leq 3f$ ; für die Kugel:

 $v=0.845\sqrt{2gh};\ p=5/7\ g\sin\alpha;\ T=2/7\ Mg\sin\alpha;\ {\rm tg}\ \alpha\le3.5f.$  Dagegen wurde für reibungsloses Gleiten gelten

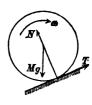
$$v = \sqrt{2gh}; p = g \sin \alpha.$$

Reif, Zylinder und Kugel, auf schiefer Ebene nebeneinander losgelassen, bewegen sich hiernach mit verschiedenen Geschwindigkeiten. Die Kugel eilt am meisten; u. zw. sind dabei die Durchmesser ohne Einflus; nur auf die Form der Körper kommt es an. Hierbei wurde kein Rollwiderstand vorausgesetzt, der natürlich die Ergebnisse ändern muß.

Wird der Körper in eine aufwärts gerichtete Rollbewegung versetzt und der Schwere überlassen, so könnte man auf den ersten Blick vielleicht meinen, der Sinn der Reibung T müßte mit der Umkehrung der Bewegung sich ebenfalls umkehren. Dies wäre jedoch ein Trugschluß, denn an der Berührungsstelle findet ja weder in der Richtung aufwärts, noch abwärts ein Gleiten statt, mag der Körper aufwärts oder abwärts rollen. Daß vielmehr T beim Aufwärtsrollen denselben Sinn behalten muß wie beim Abwärtsrollen, erkennt man aus folgendem: Beim Aufwärtsrollen wird die

Arbeit der Schwere negativ, somit muß die Bewegung des Schwerpunktes verzögert sein, und Gleiches folgt hieraus für die Drehbewegung. Damit aber die einzige Drehkraft T beim Aufwärtsrollen eine Verzögerung der Drehung erzeuge, muß sie (Fig. 402) aufwärts gerichtet sein. Da nun die Kräfte jetzt genau dieselben sind wie beim Abwärtsrollen, so gelten auch für p, T und tg  $\alpha$  dieselben Gleichungen wie beim Abwärtsrollen.

Fig. 402.



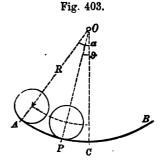
Geschieht die Rollbewegung nicht auf einer schiefen Ebene, sondern im unteren Teil einer Zylinderfläche vom Halbmesser R+r mit wagerechten Erzeugenden (Fig. 403), so ist die Geschwindig-

keit des Schwerpunktes in der Zwischenlage P nach der auch hier gültigen Gl. 2 (S. 327)

$$v = \sqrt{\frac{2gh}{1 + \frac{\mu}{M}}} = \sqrt{\frac{2gR(\cos\theta - \cos\alpha)}{1 + \frac{\mu}{M}}},$$

wenn die Bewegung bei A mit der Geschwindigkeit Null begann. Bei einem mathematischen Pendel von der Fadenlänge R würde

$$v_1 = \sqrt{2 g R (\cos \vartheta - \cos \alpha)}$$
 sein



Die Vertauschung des einfachen Pendels mit einem hin und her rollenden Körper ist also (wegen der Verkleinerung der Beschleunigung des Schwerpunktes, S. 328) gleichbedeutend mit einer Ersetzung der Fallbeschleunigung g durch den kleineren Wert  $g: \left(1 + \frac{\mu}{M}\right)$ ; mithin wird die Dauer einer kleinen einfachen Schwingung sein

$$t = \pi \sqrt{\frac{R}{g} \left(1 + \frac{\mu}{M}\right)}.$$

Bewegung der Fuhrwerke mit Berücksichtigung des Roll-widerstandes. Tragen die auf schiefer Ebene rollenden Räder von der Gesamtmasse M ein Fuhrwerk von der Masse  $M_1$ , welches nur an der Verschiebung mit der Beschleunigung p Teil nimmt, so denkt man sich zur Berechnung der letzteren die Masse  $M_1$ 

zunächst an der Achse des rollenden Körpers reibungslos aufgehängt. Die Gelenkstange zur Aufhängung nimmt dann im relativen Ruhezustande gegen die Achse des rollenden Körpers eine Richtung an, welche von der Rechtwinkligen zur schiefen Ebene um einen Winkel  $\beta$  abweicht (Fig. 404). Nennt man die Spannkraft der Stange, die zugleich den Druck auf die Achse bedeutet, D, so müssen D und  $\beta$  so bestimmt werden, daß  $M_1$  die Ver-



Fig. 404.

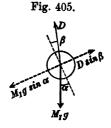
schiebungsbeschleunigung p erfahre. Ersetzt man die Stange durch die Kraft D und zerlegt die an  $M_1$  wirkenden D und  $M_1g$ 

parallel zur schiefen Ebene und rechtwinklig dazu (Fig. 405), so wird  $D\cos\beta = M_1 g\cos\alpha$ , ferner  $M_1 p = M_1 g\sin\alpha - D\sin\beta$  oder  $D\sin\beta = M_1 g\sin\alpha - M_1 p$ . Daraus folgt

$$tg \beta = tg \alpha - \frac{p}{g \cos \alpha};$$

9) 
$$D = M_1 g \sqrt{1 - 2 \sin \alpha \frac{p}{g} + \left(\frac{p}{g}\right)^2}.$$

An dem rollenden Körper M wirken nun die in Fig. 406 angegebenen Kräfte, wo M das gesamte, aus Zapfenreibung und Rollwiderstand herrührende Moment bedeutet. Nach S. 278 ist



 $\mathfrak{M}={}^{1}/{}_{2}\,Dfd+Ne$ , wenn d der Zapfendurchmesser, e der Arm des Rollwiderstandes. Dann gilt für die Beschleunigung p des Schwerpunktes

 $Mp = Mg \sin \alpha + D \sin \beta - T$  oder 10)  $Mp = Mg \sin \alpha + M_1 g \sin \alpha - M_1 p - T$ ; und für die Umfangsbeschleunigung der Drehung nach S. 305

$$\mu p = T - rac{\mathfrak{M}}{R}, \; ext{oder}$$
  $T = \mu p + rac{Dfd}{2R} + rac{Ne}{R},$ 

Fig. 406.

wenn R der Halbmesser des Rollkreises. Setzt man dies in Gl. 10 ein, so ergibt sich

$$(M + M_1 + \mu) p = (Mg + M_1g) \sin \alpha - \frac{Dfd}{2R} - \frac{Ne}{R}.$$

Diese Gleichung ist nach p nicht ohne weiteres aufzulösen, weil in D nach Gl. 9 die Größe p ebenfalls noch vorkommt. Für alle wichtigeren Fälle aber, in denen ein Fuhrwerk frei läuft, ist  $\alpha$  und daher auch p:g nur klein im Verhältnisse zu Eins, so daß man mit genügender Annäherung  $D=M_1g$  setzen kann. Mithin wird der Zapfenreibungswiderstand  $M_1gfd:(2R)$ , und, weil  $N=(M+M_1)g\cos\alpha$ , der Rollwiderstand  $(M+M_1)g\cos\alpha$ . e:R, wobei für schwache Neigungen  $\cos\alpha$  mit Eins vertauscht werden darf.

Führt man aber, wie S. 280, wiederum die Gleichgewichts-Neigung  $\alpha_0$  ein, welche so beschaffen, dass, wenn  $\alpha=\alpha_0$ , p=0 ist, so wird die Summe der beiden Widerstände wieder gleich mit

 $(M + M_1) g \sin \alpha_0$ , und wenn man dann noch, wie früher (S. 279),  $\sin \alpha$  mit  $\alpha$  vertauscht, so entsteht

11) 
$$(M + M_1 + \mu) p = (M + M_1) g (\alpha - \alpha_0),$$

worin auf der linken Seite die Beschleunigung p mit der Summe der drei Massen multipliziert erscheint, welche an der Beschleunigung p Teil nehmen (ebenso wie bei der Fallmaschine, S. 313).

Beispiel: Für einen Eisenbahnwagen auf schiefer Ebene sei Mg = 2000,  $M_1g = 8000$ ,  $\mu g = 1000$  kg,  $\alpha = 1:200$ ,  $\alpha_0 = 1:400$ . Dann wird, wenn man auf beiden Seiten der Gl. 11 statt der Massen die Gewichte einführt,

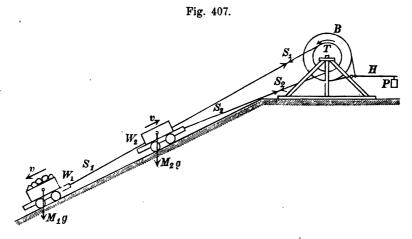
$$11\,000\,p = 10\,000\,g\cdot 1/400$$
 oder

$$p = \frac{g}{440} = 0,023 \, \text{m/sek}^2.$$

Ohne Geschwindigkeit losgelassen, wird der Wagen in 10 Sekunden eine Strecke  $^{1/2}pt^{2}=1$ ,  $^{1}$  zurückgelegt haben, innerhalb einer Minute aber 36 mal so viel, nämlich 39.6 m. Der Wagen läuft auf dem Gefälle 1:200 unter Einfluß der Widerstände ganz so, als ob er widerstandslos sich auf einem um  $\alpha_{0}$  schwächeren Gefälle 1:400 bewegte.

#### d) Das Anhalten der Wagen einer selbstwirkenden Seilbahn, eines sog. Bremsberges.

Hat man beim Bau eines Einschnittes, beim Betrieb eines Steinbruches, Bergwerkes oder dergl. Erd- oder Steinmassen nach



einem tiefer gelegenen Orte zu befördern, so kann zu diesem Zweck eine Seilbahn benutzt werden. Auf dem einen Gleise fährt ein beladener Wagen  $W_1$  hinab und zieht durch das Übergewicht der Ladung einen leeren Wagen  $W_2$  auf dem anderen Gleise empor (Fig. 407). Jeder Wagen ist zu dem Zweck an einem Drahtseil ( $S_1$  und  $S_2$ ) befestigt, und beide Seile sind derartig um eine am oberen Ende der Bahn gelegte Seiltrommel T geschlungen, daß die Bewegung in der gewünschten Weise vor sich gehen kann.

Zur Regelung der Geschwindigkeit und zum Anhalten der Wagen dient eine mit der Seiltrommel verbundene Bremse B, deren längerer Hebel H durch ein Gewicht P niedergedrückt wird.

Der Neigungswinkel der schiefen Ebene sei α; das beladene Fuhrwerk habe das Gewicht  $M_1g$ , die Schwungmasse seiner Räder und Achsen, d. h. ihre auf den Rollkreis bezogene Masse, sei  $\mu_1$ ; für das leere Fuhrwerk seien die entsprechenden Größen  $M_2g$  und Ein solcher Wagen habe auf einem Gleise, wie es in der Förderbahn liegt, ein Gleichgewichts-Gefälle  $\alpha_0$ , d. h.  $M_1 g \cdot \alpha_0$  stellt die Summe der Zapfenreibungs- und Rollwiderstände des Wagens vom Gewicht  $M_1g$  dar auf wagerechter Bahn (s. S. 280); dann wird der Gesamtwiderstand des Wagens auf der geneigten Bahn nur  $M_1 g \cos \alpha \cdot \alpha_0$  betragen, weil der Wagen nur mit der Seitenkraft  $M_1 g \cos \alpha$ auf das Gleis drückt. Soll das bergab laufende Fuhrwerk angehalten werden, so mus man ihm eine Verzögerung erteilen, die einer aufwärts gerichteten Beschleunigung  $p_1$  gleichkommt. Sinne dieser Beschleunigung wirken an dem Wagen die Spannkraft  $S_1$  seines Seiles, sein Widerstand  $M_1 g \cos \alpha \cdot \alpha_0$ , während die Seitenkraft  $M_1g$  sin  $\alpha$  seines Gewichtes entgegengesetzt gerichtet ist. nun die Masse  $M_1$  des ganzen Fuhrwerks die Verschiebungs-Beschleunigung  $p_1$ , die Schwungmasse  $\mu_1$  der Räder die gleiche Umfangs-Beschleunigung erfährt, so wird, wie in Gl. 10, S. 332

1) 
$$(M_1 + \mu_1) p_1 = S_1 - M_1 g (\sin \alpha - \alpha_0 \cos \alpha).$$

Das aufwärts gehende leere Fuhrwerk  $M_2g$  erfährt die gleiche Beschleunigung abwärts; gleichwohl möge dieselbe einstweilen zum Unterschiede  $p_2$  genannt werden. In ihrem Sinne wirken  $M_2g\sin\alpha$  und der der Aufwärtsbewegung entgegen gerichtete Widerstand  $M_2g\cos\alpha\cdot\alpha_0$ ; aufwärts wirkt die Spannkraft  $S_2$  des an diesem Wagen befestigten Seiles; daher wird

$$(M_2 + \mu_2) \ p_2 = M_2 g \ (\sin \alpha + \alpha_0 \cos \alpha) - S_2.$$

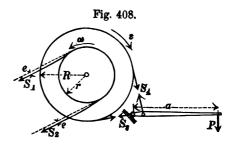
334 Zweite Abteilung. B. Beschleunigte Bewegung starrer Körper.

Aus Gl. 1 und 2 folgen die Seilkräfte

3) 
$$S_1 = M_1 g (\sin \alpha - \alpha_0 \cos \alpha) + (M_1 + \mu_1) p_1;$$

4) 
$$S_2 = M_2 g (\sin \alpha + \alpha_0 \cos \alpha) - (M_2 + \mu_2) p_2$$
.

Sind  $S_3$  und  $S_4$  (Fig. 408) die Spannkräfte des Bremsbandes der mit der Trommel von Halbmesser r verbundenen Bremsscheibe vom Halbmesser R, so erzeugt die Bandreibung an der sich linksherum drehenden Scheibe ein Widerstandsmoment



5) 
$$(S_4 - S_3) R = S_3 (e^{f\alpha} - 1) R = S_4 \frac{e^{f\alpha} - 1}{e^{f\alpha}} R$$

(s. S. 259 und 262). An der Trommelachse entsteht ein Zapfenreibungsmoment  $Df \cdot {}^1/2d$ , wenn D der Zapfendruck, d der Zapfendurchmesser ist. Wegen der Seilsteifigkeit (S. 267) vermindert sich der Hebelarm der Spannkraft  $S_1$ , welche im Sinne der Drehungsrichtung der Trommel wirkt, von r auf r-e, während derjenige der Seilkraft  $S_2$  sich von r auf r+e vergrößert. Ist  $\delta$  der Durchmesser des Seiles, so setze man (nach Gl. 3, S. 267) e=6.5  $\delta^2$  (alle Maße in Metern). Die linksherum sich drehende Trommel muß beim Anhalten eine rechtsherum gerichtete Winkelbeschleunigung  $\varepsilon$  erfahren. Wird mit  $\mu_3$  die auf den Trommelumfang bezogene Masse der Trommel nebst Bremsscheibe, also mit  $\mu_3 r^2$  ihr Trägheitsmoment bezeichnet, so ist (nach Gl. 2, S. 304)

6) 
$$\mu_3 r^2 \cdot \varepsilon = (S_4 - S_3) R - S_1 (r - e) + S_2 (r + e) + D f \cdot 1/2 d$$
.

Bezeichnet man nun die Umfangs-Beschleunigung  $r \cdot \varepsilon$  der Trommel, welche gleich den Beschleunigungen  $p_1 = p_2$  der Fuhrwerke sein muß, zunächst mit  $p_3$ , so wird die hierfür erforderliche Bandreibung

7) 
$$S_4 - S_3 = \frac{r}{R} \left\{ \mu_3 p_3 + S_1 - S_2 - (S_1 + S_2) \frac{e}{r} - Df \frac{d}{2r} \right\}.$$

Mit den Arm-Verhältnissen des Bremshebels (großer Arm a, kleiner Arm b, rechtwinklig zu  $S_4$  gemessen), ergibt sich dann die erforderliche Belastung P am längeren Hebel zu

8) 
$$P = S_4 \frac{b}{a} = (S_4 - S_3) \frac{e^{f\alpha}}{e^{f\alpha} - 1} \frac{b}{a}.$$

Beispiel: Ein Bremsberg habe auf eine wagerechte Länge von 200 m eine Höhe von 100 m, dann ist

tg  $\alpha=0.5$ ;  $\alpha=26^{\circ}34'$ ;  $\sin\alpha=0.447$ ;  $\cos\alpha=0.894$ ;  $\sec\alpha=1.118$ , daher die schräg gemessene Länge  $200\cdot1.118=224\,\mathrm{m}$ . Der leere Wagen wiege  $2000\,\mathrm{kg}$ , der beladene  $6000\,\mathrm{kg}$ ; Gleise und Fuhrwerk seien von solcher Beschaffenheit, daß das Gleichgewichtsgefälle oder die Widerstandsziffer  $\alpha_0=0.008$  gesetzt werden kann. Das Seil habe den Durchmesser  $\delta=2\,\mathrm{cm}=0.002\,\mathrm{m}$  und das Einheitsgewicht  $q=1.25\,\mathrm{kg/m}$ , dann ist

$$e = 6.5 \cdot \delta^2 = 6.5 \cdot 0.004 = 0.0026 \,\mathrm{m}$$

Die Seiltrommel habe den Halbmesser  $r = 0,75 \,\mathrm{m}$ ; die Bremsscheibe den Halbmesser  $R = 1,25 \,\mathrm{m}$ .

Die Wagen sollen sich regelmäßig mit einer Geschwindigkeit von  $1^{m/sek}$  bewegen; der Sicherheit halber werde vorausgesetzt, es sei die Geschwindigkeit durch einen Zufall auf  $v=2^{m/sek}$  angewachsen und es müsse nun die Bewegung längs eines Weges von  $s=2^m$  zum Aufhören gebracht werden. Dann gilt für die dazu erforderliche Zeit t (s. S. 13):

$$s = \frac{v}{2} t$$
 oder  $t = \frac{2s}{v}$ ;

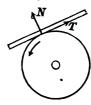
somit beträgt die Verzögerung

$$p = \frac{v}{t} = \frac{v^2}{2s}$$
; also  $t = 2 \text{ sek}$ ;  $p = 1 \text{ m/sek}^2$ .

Die Fallbeschleunigung werde durchweg zu g=10 angenommen; die Schwungmasse der Räder eines Wagens betrage  $\mu_1=\mu_2=40$ ; es wird  $\alpha_0 \cdot \cos \alpha = 0,008 \cdot 0,894 = 0,007$ . Das Gewicht eines ganz abgewickelten Seiles beträgt  $224 \cdot 1,25 = 280$  kg. Versteht man unter  $S_1$  und  $S_2$  die Spannkräfte

der Seile an Stellen dicht neben der Trommel, so müssen diese den abgewickelten Teilen der Seile die gleiche Beschleunigung erteilen wie den Fuhrwerken; diese Seilgewichte können also den Wagengewichten beigezählt werden, u. zw. gilt dies auch bezüglich der Widerstände. Das Seil hängt nämlich nicht auf eine große Länge frei, weil die dazu erforderliche Höhe nicht vorhanden ist, es wird vielmehr, damit es nicht auf dem Boden schleife, durch Reibungsrollen unterstützt, welche es durch Reibung mitnimmt, ohne auf ihren Umfängen zu gleiten (Fig. 409).





Zum Mitnehmen ist eine Umfangskraft T erforderlich, für welche gilt (s. S. 250/51)  $Nf \cdot \frac{1}{2} d_1 = T \cdot R_1$ , wenn  $d_1$  und  $2R_1$  Zapfen- und Rollendurchmesser bedeuten.

Mit f = 0.00 und  $2R_1 = 10 d_1$  wird dann T: N = 0.000, ebenso groß wie  $\alpha_0$  für die Fuhrwerke. Die Wagen sind offenbar am schwersten zu bremsen, wenn der volle unten, der leere oben ist; dann muß man also

$$M_1 g = 6000 + 280$$
;  $M_2 g = 2000 \,\mathrm{kg}$ , daher  $M_1 = 628$ ;  $M_2 = 200 \,\mathrm{setzen}$ .

Hiermit wird Gl. 3

 $S_1 = 6280 (0.447 - 0.007) + (628 + 40) 1 = 2763 + 668 = 3431 kg$  als stärkste Zugkraft im Seile. Gl. 4 gibt:

$$S_3 = 2000 (0.447 + 0.007) - (200 + 40) \cdot 1 = 908 - 240 = 668 \, \text{kg}$$

Die Trommel habe mit Einschluß des darauf befindlichen Seiles und der Bremsscheibe ein Gewicht von  $1600\,\mathrm{kg}$  und eine auf den Abstand  $r=0.75\,\mathrm{m}$  bezogene Schwungmasse  $\mu_3=150$ . Der Zapfendruck D der Trommel wird wesentlich durch  $S_1+S_2$  bedingt; die Vergrößerung, welche er noch durch das Gewicht der Trommel einschl. des aufgewickelten Seiles erfährt, kann wohl vernachlässigt werden, da dieser Vergrößerung noch eine Verminderung durch die Bremsbandkräfte  $S_4$  und  $S_3$  gegenüber steht und schließlich der Einfluß der Zapfenreibung höchst unbedeutend ist. Daher werde  $D=S_1+S_2=4099$  gesetzt; dann wird mit f=0.98 und  $2\,r=10\,d$  aus Gl. 7:

$$S_4 - S_3 = \frac{0.75}{1.25} \left\{ 150 \cdot 1 + 3431 - 668 - 4099 \cdot \frac{0.7026}{0.75} - \frac{4099 \cdot 0.08}{10} \right\}$$
  
= 0.6 (150 + :431 - 668 - 14 - 33).

Hieraus ist ersichtlich, daß die beiden letzten Glieder (Seilbiegungsund Zapfenreibungs-Widerstand an der Trommel) verschwindend klein sind. Es wird  $S_4 - S_3 = 0.6 \cdot 2866 = 1720 \,\mathrm{kg}$ .

Ist f = 0,18 die Reibungsziffer des Bremsbandes,  $\alpha = 0,7 \cdot 2 \pi$  der umspannte Bogen, so wird  $e^{f\alpha} = 2,21$ ; sind noch a = 3,00 m und b = 0,05 m die Arme des Bremshebels, so gibt Gl. 8:

$$P = 1720 \cdot \frac{2,21}{2,21} \cdot \frac{0,05}{3} = 52,3 \text{ kg}.$$

Für die gleichmäßige Bewegung (mit  $p_1 = p_2 = p_3 = 0$ ), u. zw. in dem Augenblicke, wo der volle Wagen oben ist, also  $M_1g = 6000$ ;  $M_2g = 2000 + 280$  beträgt, geben die Gleichungen 3, 4, 7 und 8:

$$\begin{split} S_1 &= 6000 \; (0,447 - 0,067) = 2640 \; \text{kg} \,; \\ S_2 &= 2280 \; (0,447 + 0,007) = 1035 \; \text{kg} \,; \\ S_4 &- S_3 = 0,6 \left\{ 2640 - 1035 - (2640 + 1035) \cdot \frac{0,0026}{0,75} - (2640 + 1035) \cdot \frac{0,08}{10} \right\} \\ &= 0,6 \left\{ 2640 - 1035 - 13 - 29 \right\} = 938 \; \text{kg} \,; \\ P_0 &= 938 \; \frac{2,21}{1,21} \; \frac{0,05}{3} = 28,5 \; \text{kg} \,. \end{split}$$

Im vorstehenden ist für die Bremse der ungünstigste Fall angenommen, dass die Drehung der Trommel linksherum erfolgt, wobei von den Bremsbandkräften die größere am Hebel angreift und von P hervorgerufen werden muß, während die kleinere vom Gestell aufgenommen wird. Bei Rechtsdrehung aber greift die größere am Gestelle, die kleinere am Hebel an (vergl. S. 262). Bei Rechtsdrehung wird also für das Anhalten

$$P' = \frac{1720}{e^{f\alpha} - 1} \frac{b}{a} = \frac{1720}{1,\text{s1}} \cdot \frac{0,\text{os}}{3} = \frac{52,\text{s}}{2,\text{s1}} = 24 \text{ kg},$$

für den Beginn der Bewegung

$$P_0' = \frac{938}{1,21} \frac{0,05}{3} = \frac{28,5}{2,21} = 13 \, \text{kg}.$$

Es empfiehlt sich nun, ein Gewicht, welches das Mittel aus  $P_0$  und  $P_0$  ist, d. h. rund  $21 \, {\rm kg}$ , an dem Hebel dauernd zu befestigen. Soll dann die Trommel sich rechtsherum in Bewegung setzen, so hat der Wärter den Hebel mit  $21-13=8 \, {\rm kg}$  Kraftaufwand zu heben, während er bei der Links drehung den Hebel dauernd mit 28, s-21=7, s kg abwärts zu drücken hat. Das Anhalten aus der Rechtsdrehung erfordert ein Niederdrücken mit  $24-21=3 \, {\rm kg}$ , dasjenige aus der Linksdrehung ein solches mit 52, s-21=31, s kg, die der Wärter mit seinem Körpergewichte leicht auszuüben vermag.

Die Gleichungen 1 bis 7 lassen auch erkennen, was geschehen wird, wenn der Wärter des Bremsberges in dem Bestreben, die Wagen möglichst schnell anzuhalten, den Hebel einmal ungewöhnlich stark belastet. Dann entsteht eine größere Verzögerung an der Trommelwelle, und es kann infolgedessen vorkommen, daß das Seil des leeren Wagens spannungslos wird. Nach Gl. 2 wird  $S_2=0$  für

$$p_2 = \frac{M_2 g \left(\sin \alpha + \alpha_0 \cos \alpha\right)}{M_2 + \mu_2} = \frac{2000 \left(0,447 + 0,007\right)}{240} = 3,5 \text{ m/sek}^2.$$

Bei der gleichen Verzögerung  $p_1 = 3.8$  würde nach Gl. 3

$$S_1 = 6280 (0,447 - 0,007) + 628 \cdot 3,8 = 5153 \text{ kg};$$

sie verlangt nach Gl. 6 (mit  $S_2 = 0$  und  $D = S_1$ ) eine Bandreibung

$$S_4 - S_3 = \frac{0.75}{1.25} \left\{ 150 \cdot 3.8 + 5153 \left( 1 - 0.0035 - 0.008 \right) \right\} = 3400 \, \text{kg}$$

und bei Rechtsdrehung der Trommel eine Hebelbelastung

$$P = \frac{3400}{1,^{21} \cdot 60} = 47 \text{ kg}.$$

Bei dieser Belastung wird das Seil  $S_2$  gerade spannungslos. Belastet man den Hebel aber noch stärker, so wird die Verzögerung noch größer, und Gl. 4 würde nun für  $S_2$  einen negativen Wert liefern. Da eine negative Spannkraft in einem Seil aber nicht möglich ist, so wird die Kraft  $S_2 = 0$  bleiben, das Seil aber nun schlaff werden. Infolgedessen verliert die geometrische Bedingung gleicher Geschwindigkeiten und Beschleunigungen von  $M_1$  und  $M_2$  ihre Gültigkeit; es erfährt nunmehr jeder Wagen seine besondere Bewegung.

Während das beladene Fuhrwerk in kurzer Zeit  $t_1$  längs des Weges  $s_1$  zur Ruhe kommt, läuft der leere Wagen, von dem Augenblicke des stärkeren Bremsens an gerechnet, mit der Verzögerung  $p_2$  um eine längere Strecke  $s_2$  aufwärts, wobei das Seil um den Unterschied  $s_3-s_1$  schlaff wird. Dann kehrt der leere Wagen unter Wirkung seines Gewichtes die Bewegung um, erreicht nach Zurücklegung des Weges  $s_2-s_1$  mit der Beschleunigung  $p_2$  eine Geschwindigkeit  $v_2$  und ein Arbeitsvermögen  $(M_2+\mu_2)$   $\frac{v_2^2}{2}$ , welches durch die Arbeit der inneren Kräfte des Seiles zu Null gemacht werden muß.

Fügt der Wärter z. B. der festen Hebel-Belastung von 21 kg noch sein ganzes Körpergewicht von 75 kg hinzu, so daß P=21+75=96 kg ausmacht, so entsteht bei Rechtsdrehung der Trommel eine Bandreibung

$$S_4 - S_3 = \frac{96 \cdot 3}{0.05} (e^{f\alpha} - 1) = 96 \cdot 60 \cdot 1, 21 = 6970 \text{ kg}.$$

Dann wird nach Gl. 6 mit  $r \varepsilon = p_1$  und  $S_2 = 0$ :

$$\begin{array}{c} 150\,p_1\cdot r = 6970\,R \,-\,S_1\;(r\,-\,0,0026\,-\,0,08\cdot0,1\cdot r) \quad {\rm oder} \\ \\ 150\,p_1 = \frac{6970\cdot1,25}{0,75}\,-\,S_1\;0,9885. \end{array}$$

Gl. 1 aber liefert für die Verzögerung  $p_1$  des vollen Wagens:

$$628 p_1 = S_1 - 6280 (0,447 - 0,007).$$

Aus beiden Gleichungen folgt nach Entfernung von  $S_1$ :  $p_1 = 11,4^{\text{m}/\text{sek}} \cdot s$ . Mit dieser Verzögerung wird die Geschwindigkeit von  $2^{\text{m}/\text{sek}}$  in der Zeit  $t_1 = \frac{2}{11,4} = 0,18^{\text{sek}}$  längs eines Weges  $s_1 - \frac{2}{2} t_1 = 0,18^{\text{m}}$  aufgezehrt.

Die Verzögerung  $p_2$  des leeren Wagens folgt aus Gl. 2 mit  $S_2 = 0$ ; es ist  $240 p_2 = 2000 (0,447 + 0,007)$ ,

also  $p_2=3.78 \,\mathrm{m/sek^2}$ . Mit ihr wird die Geschwindigkeit von  $2 \,\mathrm{m/sek}$  in der Zeit  $t_2=\frac{2}{3.78}=0.53 \,\mathrm{sek}$  längs eines Weges  $s_2=\frac{2\cdot0.53}{2}=0.53 \,\mathrm{m}$  aufgezehrt. Das Seil des leeren Wagens wird also um  $s_2-s_1=0.53-0.18=0.35 \,\mathrm{m}$  schlaff.

Beim Abwärtsrollen hat das leere Fuhrwerk eine Beschleunigung

$$p_2' = \frac{M_2 g (\sin \alpha - \alpha_0 \cos \alpha)}{M_2 + \mu_2} = \frac{2000 \cdot 0.44}{240} = 3.67 \, \text{m/sek}^2$$

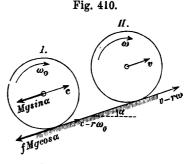
und erreicht mit dieser längs des Weges  $s_2-s_1=0$ , ss m bis zum Spannen des Seiles eine Geschwindigkeit  $v_2=\sqrt{2\,p_{2^{'}}(s_2-s_1)}=1$ , s m/sek und ein Arbeitsvermögen  $240\cdot p_{2^{'}}(s_2-s_1)=308$ , s mkg, welches von dem Seil aufgenommen werden muß.

#### e) Gleitbewegung sich drehender Körper auf schiefer Ebene.

Beim Rollen, wo die Geschwindigkeit des Körpers gegen die Ebene an der Berührungsstelle Null ist, tritt der Reibungswiderstand nur in derjenigen Größe auf, die erforderlich, um das Gleiten zu verhindern. Ist daher (Gl. 7, S. 328) tg  $\alpha < f\left(1 + \frac{M}{\mu}\right)$ , so ist T < fN;

sind aber die anfänglichen Einzelbewegungen so beschaffen, dass an der Berührungsstelle ein Gleiten stattfindet, so tritt die Reibung in der

Größe fMg cos  $\alpha$  auf; doch wird nach einer gewissen Zeit die Gleitbewegung in eine Rollbewegung übergehen, wenn die Bedingung für eine solche (Gl. 7, S. 328) erfüllt ist, und in diesem Augenblicke vermindert sich dann die Reibung plötzlich. Der Umdrehungskörper habe zu Anfang (Stellung I in Fig. 410) eine Drehung mit der Umfangsgeschwindigkeit  $r\omega_0$ , eine Geschwindig-



keit des Schwerpunktes c und werde mit diesen Geschwindigkeiten auf die schiefe Ebene gesetzt, so daß an der Berührungsstelle die Gesamtgeschwindigkeit  $c-r\omega_0$  entsteht. Es sei  $c>r\omega_0$ , dann wirkt in Fig. 410 der Reibungswiderstand  $fMg\cos\alpha$  abwärts, die Seitenkraft der Schwere  $Mg\sin\alpha$  ebenfalls abwärts. Der Schwerpunkt erfährt dadurch eine abwärts gerichtete Beschleunigung

1) 
$$p = g (f \cos \alpha + \sin \alpha).$$

Die Drehung erfährt nach S. 305 und unter Vernachlässigung des Rollwiderstandes eine Umfangsbeschleunigung

$$2) r\varepsilon = f \frac{M}{\mu} g \cos \alpha.$$

In t Sekunden entstehen die Geschwindigkeits-Änderungen

$$c-v=pt$$
 und  $r(\omega-\omega_0)=r\varepsilon t$ 

mit dem Verhältnisse

$$\frac{c-v}{r\omega-r\omega_0}=\frac{p}{r\varepsilon}.$$

Soll nun v diejenige Geschwindigkeit des Schwerpunktes sein, bei der die Rollbewegung beginnt (Stellung II, Fig. 410), so muß  $r\omega = v$  eingesetzt werden. Hiermit liefert die letzte Gleichung,

nach v aufgelöst:  $v = \frac{cr\varepsilon + pr\omega_0}{p + r\varepsilon}$ ; die Zeit  $t_1$ , nach welcher das Rollen beginnt, ist dann  $t_1 = \frac{c - v}{p}$ , oder nach Einsetzen von v

$$t_1 = \frac{c - r\omega_0}{p + r\varepsilon}.$$

Nach dieser Zeit  $t_1$  ist die Geschwindigkeit an der Berührungsstelle Null, und die Reibung wechselt ihren Sinn. Ist nun die Bedingung Gl. 7, S. 328 erfüllt, so wird eine Rollbewegung eintreten. Andernfalls wird die Gleichheit der beiden Geschwindigkeiten v und  $r\omega$  nur einen Augenblick währen, aber sogleich wieder aufhören, weil die Reibung nicht hinreicht, sie zu erhalten. — Für  $r\omega_0 > c$  wechselt die Reibung in Fig. 410 ihren Sinn, es wird

$$p=g\;(\sin\,\alpha-f\cos\,\alpha),\quad r\varepsilon=-frac{M}{\mu}g\;\cos\,\alpha\;\;{
m und}$$
  $t_1=rac{r\,\omega_0-c}{r\,\varepsilon-p},\;{
m wie\;\;man\;\;leicht\;\;findet}.$ 

Beispiel 1: Eine Kugel von  $0,1^m$  Halbmesser werde nach Fig. 410 mit  $8^m$  sekundlicher Geschwindigkeit des Schwerpunktes und  $2^m$  Umfangsgeschwindigkeit der Drehbewegung auf eine mit  $\alpha = 1/10$  ansteigende Bahn geworfen. Die anfängliche Gleitgeschwindigkeit ist daher  $6^m/_{sek}$ . Die Reibungsziffer betrage f = 0,2.

In diesem Fall ist cos  $\alpha$  annähernd = 1 zu setzen, sin  $\alpha \doteq 0.1$ ,  $M = 2.5 \mu$  (S. 310), mithin p = g (0.2 + 0.1) = 0.3 g;  $r \epsilon = g \cdot 2.5 0.2 = 0.5 g$ . Die Geschwindigkeit, mit der das Rollen beginnt, ist  $v = 5.75 \, \text{m/sek}$ ; die entsprechende Zeit 8 = 2

 $t_1 = \frac{8-2}{0.8 \ q} = 0.76 \ ^{\text{sek}}.$ 

In diesem Augenblicke vermindert sich die Reibung nach Gl. 6, S. 328 auf

$$T = \frac{Mg \cdot 0,1}{3.5} = \frac{1}{35} Mg$$

während sie vorher  $^1/5$  Mg betrug. Die Verzögerung der Rollbewegung wird nun (Gl. 5, S. 328)  $p=^5/7$  g sin  $\alpha=0,0714$  g=0,7. Die Geschwindigkeit wird Null

nach weiterem Verlaufe von 5.75:0.7=8.2 sek, während dessen (nach Gl. 4, S. 12)  $5.75\cdot4.1=23.6$  m zurückgelegt werden. Von dieser Stelle an rollt die Kugel mit der Beschleunigung p=0.7 m/sek² rückwärts, soweit die Bahn reicht. — Die Geschwindigkeitsgesetze sind in Fig. 411 dargestellt. Die obere Linie bezieht sich auf den Schwerpunkt,

Fig. 411.

die untere auf die Umfangsgeschwindigkeit der Drehung; beide treffen sich beim Beginne des Rollens. 1 a. Hat die Bahn keine nennenswerte Neigung, ist also  $\alpha=0$ , so wird während des Gleitens die Verzögerung des Schwerpunktes  $p=0,_2g$ ; die Umfangsbeschleunigung der Drehung  $r\varepsilon=0,_5g$ . Die Geschwindigkeit, mit der das Rollen beginnt, wird dann  $v=6,_3$  m/sek, die entsprechende Zeit  $t_1=0,_{874}$  sek. Mit der Geschwindigkeit v setzt die Kugel die Rollbewegung gleichmäßig fort, wenn kein Rollwiderstand sie verzögert.

Berücksichtigung des Rollwiderstandes. Während des Gleitens wird nach S. 274 und 339

zu setzen sein, während des Rollens

$$p = g \frac{\sin \alpha - e/r \cos \alpha}{1 + \frac{\mu}{M}}.$$

Letzteres gibt für  $\alpha = 0$ , e = 0.5 mm, r = 100 mm eine Verzögerung  $= \frac{g}{280} = 0.035 \text{ m/sek}^2$ .

1 b. Ein Umdrehungskörper, z. B. eine Kugel, kann auch auf wagerechter Bahn so fortgeworfen, fortgeschnellt, werden, daß sie nach einer gewissen Zeit zurückrollt (Billardkugel). Gibt man ihr eine große Drehungsgeschwindigkeit  $\omega_0$  links herum und wirft sie mit nicht zu großer Geschwindigkeit c nach rechts fort (Fig. 412), so erfährt sie unter Vernachlässigung des Rollwiderstandes eine Verzögerung des Schwerpunktes p=fg, eine Umfangsverzögerung  $r\varepsilon=fgM:\mu$ ; also  $\mu r\varepsilon=Mp$ . Ist v die Geschwindigkeit, mit der das Rollen beginnt, so muß diese negativ, d. h. nach links gerichtet sein, Fig 412.

rechter Bahn kann eine Änderung des Sinnes der Geschwindigkeit nicht mehr vorkommen. Ist  $t_1$  die Zeit, nach der das Zurückrollen beginnt, so wird

$$c+v=pt_1,\ r\omega_0-v=r\varepsilon t_1,$$

mithin 
$$v = \frac{p r \omega_0 - c r \varepsilon}{p + r \varepsilon}$$
 und  $t_1 = \frac{c + r \omega_0}{p + r \varepsilon}$ .

+7100

Soll nun die Kugel rückläufig, also v>0 sein, so muß  $p r \omega_0 > c r \varepsilon$  oder  $\mu r \omega_0 > Mc$ , also bei einer Kugel mit  $\mu=0.4\,M$  muß  $r \omega_0 > {}^5/2\,c$  sein. Es läßt sich sogar erreichen, daß v>c wird, d. h. daß die Kugel schneller zurückrollt, als sie fortgeworfen wurde. Dazu ist erforderlich

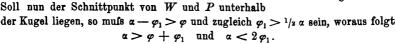
$$r\omega_0>c\left(1+2rac{rarepsilon}{p}
ight),\;\; ext{bei einer Kugel}\; r\omega_0>6\;c.$$

1 c. Sollen der ursprünglich ruhenden Kugel durch eine große, nur sehr kurze Zeit  $t_0$  wirkende Kraft P solche Geschwindigkeiten  $r\omega_0$  und c erteilt-

werden, dass ein Zurückrollen eintritt, dass also  $\mu r \omega_0 > Mc$  wird, so sind dazu Beschleunigungen  $r \varepsilon_0$ und  $p_0$  erforderlich, die in der Zeit  $t_0$  die Geschwindigkeiten  $r\omega_0$  und c hervorbringen; es muss also auch  $\mu r \varepsilon_0 > M p_0$  sein.

Auf die Kugel wirke die Schwere Mg, der um den Reibungswinkel \varphi von der Normalen abweichende Gesamtwiderstand W der Bahn und die gesuchte Kraft P. Die Mittelkraft R dieser drei muß wagerecht gerichtet sein, da die Beschleunigung  $p_0$  des Schwerpunktes wagerecht sein soll (Fig. 413), u. zw. muss die Lage von R sich unterhalb des Schwerpunktes befinden (etwa um 1), dann wird  $\mu r \varepsilon_0 = R l : r$  und  $M p_0 = R$ , wobei l > r sein muß, damit  $\mu r \varepsilon_0 > M p_0$ . werde. Gegenüber der großen Kraft P möge das Gewicht der Kugel vernachlässigt werden.

Der Punkt B (Fig. 414), an welchem der Druck P auf die Kugel ausgeübt werden soll, möge durch den Mittelpunktswinkel a bestimmt sein. Übt man die Kraft P aus, indem man mit einem lederbeschlagenen Stabe bei B in der Richtung BCgegen die Kugel stößt, oder indem man mit der Hand an der Kugel (bei B sie berührend) abwärts schlägt, so wird der Stab bezw. die Hand an der Kugel gleiten und die Richtung des Druckes P von der Normalen DB um den Reibungswinkel  $\varphi_1$ , der für Kugel und stoßenden Körper gilt, abweichen. Soll nun der Schnittpunkt von W und P unterhalb



Der Winkel a muß also zwischen den Grenzen  $\varphi + \varphi_1$  und  $2\varphi_1$  liegen, und es muss  $\varphi_1 > \varphi$  sein, d. h. der Körper, mit dem der Druck P ausgeübt wird,

muss rauher sein als die Unterlage der Kugel. Ist z. B. f = 0.2 ( $\varphi = 11^{\circ}$ ),  $f_1 = 0.8$  ( $\varphi_1 = 39^{\circ}$ ), so muss a zwischen 50 und 78° liegen; es würde daher  $\alpha = 60^{\circ}$  der Bedingung entsprechen.

Zerlegt man nun den Druck P in einen Normaldruck K und die Reibung  $f_1$  K, den Widerstand W in N and fN, zerlegt ferner K and  $f_1K$ nach wagerechter und lotrechter Richtung, so wird (Fig. 415), da in lotrechtem Sinne keine Verschiebung erfolgt,  $N = K (\cos \alpha + f_1 \sin \alpha)$ .

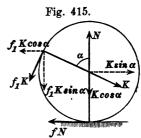


Fig. 413.

Fig. 414.

Dann ergibt sich als Beschleunigung des Schwerpunktes nach rechts

$$p_0 = \frac{K \sin \alpha - f_1 K \cos \alpha - f N}{M}$$

oder 
$$p_0 = \frac{K}{M} (\sin \alpha - f_1 \cos \alpha - f \cos \alpha - f f_1 \sin \alpha)$$

und die Umfangsbeschleunigung der Drehung

$$r \varepsilon_0 = \frac{f_1 K - f N}{\mu} = \frac{K}{\mu} (f_1 - f \cos \alpha - f f_1 \sin \alpha).$$

Für das Zurückrollen besteht nun die Bedingung  $\mu r \varepsilon_0 > p_0 M$ ; weil aber  $p_0$  und  $r \varepsilon_0$  beide mit K verhältnisgleich sind, so kommt es auf die Größse von K nicht an, sondern nur auf die Winkel  $\alpha$ ,  $\varphi$  und  $\varphi_1$ . Eine Veränderlichkeit der Größse von K, wie sie beim Stoßse besteht, bringt keine wesentliche Änderung.

Es sei  $\alpha=60$ °, f=0.2,  $f_1=0.8$  und beispielsweise  $K=20\,Mg$ , dann wird

$$p_0 = 20 g (0.866 - 0.8 \cdot 0.5 - 0.2 \cdot 0.5 - 0.2 \cdot 0.8 \cdot 0.866) = 44.5;$$

$$r \varepsilon_0 = 50 g (0.8 - 0.2 \cdot 0.5 - 0.2 \cdot 0.8 \cdot 0.866) = 275.$$

Wie es sein musste, ist  $r \varepsilon_0 > 2,5 p_0$ .

Wirkt die Kraft K=20~Mg nebst der entsprechenden Reibung  $f_1~K$  nur  $^{1}/_{20}$  Sekunde, so braucht man die Verschiebung ihres Angriffspunktes nicht zu berücksichtigen. Es wird dann  $c=44.5\cdot ^{1}/_{20}=2.23$ .  $r\,\omega_0=13.75$ . Mit diesen Geschwindigkeiten wird sich die Kugel nach dem Aufhören der Kräfte K und  $f_1~K$  bewegen und wird, da nun p=0.2~g und  $r\,\varepsilon=0.5~g$ , zurückrollen mit der Geschwindigkeit

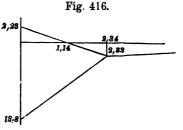
$$v = \frac{0.2 \cdot 13,75 - 2,23 \cdot 0.5}{0.2 + 0.5} = 2,33;$$

das Gleiten währt im ganzen

$$t_1 = \frac{c + r \, \omega_0}{p + r \, \varepsilon} = 2,34 \, \text{sek} \, .$$

Die Umkehr der Kugel erfolgt übrigens schon während des Gleitens. Nach der Zeit t=c:(fg)=2,23:1,962=1,14 sek und, nachdem die Kugel sich um

der Zeit  $t''=2,33\cdot 1,14\cdot 0,5=1,37$  m nach rechts bewegt hat, ist die Geschwindigkeit des Schwerpunktes nach rechts Null geworden, kehrt dann während des Restes der Gleitzeit, d. h. während der Zeit t''=2,34-1,14=1,20 sek um  $s''=2,33\cdot 1,20\cdot 0,5=1,4$  m gleitend nach links zurück. An dem um 0,13 m links von der Ausgangsstelle gelegenen Punkte beginnt erst das Rollen, welches



sich dann mit der Geschwindigkeit 2,33 m/sek fortsetzt. Fig. 416 zeigt die Geschwindigkeitsgesetze der Bewegungen.

Beispiel 2: Wirkt auf eine auf wagerechter Ebene anfänglich ruhende Kugel eine wagerechte Kraft K, die um l oberhalb des Schwerpunktes liegt,

nach rechts und soll eine Rollbewegung entstehen, so ist am Auflagerpunkt ein Widerstand T erforderlich, den wir nach links gerichtet annehmen wollen (Fig. 417). Die Beschleunigung des Schwer-

punktes p (S. 166) und die Winkelbeschleunigung  $\varepsilon$  der Drehung (S. 304) werden dann

$$p = \frac{K-T}{M}$$
;  $\epsilon = \frac{Kl+Tr}{\mu r^2}$ .

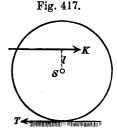
Für Rollbewegung muß nun  $r \in p$  sein, oder

sie wird sofort eine Rollbewegung beginnen.

$$K\mu r - T\mu r = KMl + TMr.$$

Hieraus bestimmt sich

$$T = K \frac{\mu r - Ml}{(M + \mu) r}.$$



Für l=0 wird  $T=K:\left(1+\frac{M}{\mu}\right)=\frac{2}{77}K$ . Für l=r wird T negativ, nämlich  $T=-K\frac{M-\mu}{M+\mu}=-\frac{3}{77}K$ . Soll aber die Kraft K ohne jede Mitwirkung von T, d. h. auf völlig glatter Ebene eine Rollbewegung erzeugen, soll T=0 sein, so muß  $l:r=\mu:M=0,4$  sein, d. h.  $l=\frac{2}{5}r$ . In dieser Höhe darf eine Kugel beliebig heftig gestofsen werden, ohne daß sie unten gleitet;

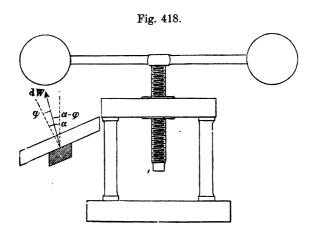
### f) Beschleunigte Schraubenbewegung.

Die Schraubenbewegung besteht aus einer Drehung um die Achse der Schraube und einer gleichzeitigen Verschiebung längs der Achse. Sind die Geschwindigkeiten dieser Bewegungen  $\omega$  und u, so ist das Arbeitsvermögen der Schraube  $^{1}/_{2}J\omega^{2}+^{1}/_{2}Mu^{2}$  (S. 324). Weil aber bei der Schraube vom mittleren Halbmesser r und dem Steigungswinkel  $\alpha$  der mittleren Schraubenlinie die Ganghöhe  $h=2r\pi tg\alpha$ , so ist auch  $r\omega tg\alpha=u$ , also mit  $J=\mu r^{2}$ 

1) 
$${}^{1/2}(J\omega^{2}+Mu^{2})={}^{1/2}\left(\frac{\mu}{\mathrm{tg}^{2}\alpha}+M\right)u^{2}.$$

Hiernach würde man für eine ideelle Schraube leicht den Satz der Arbeit anwenden können. Der bei wirklichen Schrauben sehr bedeutende Einflus der Reibung kann aber (nach A. Ritter, Techn. Mechanik) am leichtesten berücksichtigt werden, wenn man die Beschleunigungen der Einzelbewegungen berechnet.

Die Schraube sei flachgängig und oben mit Schwungkugel-Armen versehen (Fig. 418). Solche Schrauben kommen in Prägewerken und in Hüttenwerken (zum Zerbrechen von Eisenstäben) vor. Die Schrauben werden durch Arbeiter in die Höhe gedreht und sind nicht selbsthemmend, vielmehr gewinnen sie durch ihr Gewicht (z. T. unter Nachhülfe der Arbeiter) ein gewisses Arbeitsvermögen, welches dann zum Zerbrechen verbraucht wird. Die treibende Kraft sei allein die Schwere Mg. Ein Teilchen der Schraubenmutter leistet beim Abwärtsgleiten einen Widerstand dW, der um  $\alpha-\varphi$  von der Achsenrichtung abweicht.



Der Schwerpunkt der Schraube kann sich nur geradlinig bewegen; die Beschleunigung p des Schwerpunktes folgt aus der Gleichung

2) 
$$Mp = Mg - \cos(\alpha - \varphi) \int dW.$$

Die wagerechten Seitenkräfte sin  $(\alpha - \varphi) dW$  bilden das treibende Kräftepaar für die Drehung; es wird (S. 305, Gl. 4)

$$\mu r \varepsilon = \sin (\alpha - \varphi) \int dW$$
.

Weil aber  $r\omega$  tg  $\alpha = u$ , so muss auch  $r\varepsilon$  tg  $\alpha = p$  sein, mithin

3)  $\mu p = \operatorname{tg} \alpha \sin (\alpha - \varphi) \int dW.$ 

Entfernt man aus Gl. 2 und 3 die Größe  $\int dW$ , so wird

4) 
$$p = \frac{g}{1 + \frac{\mu}{M} \frac{1}{\lg \alpha \lg (\alpha - \varphi)}}.$$

Ist die Schraube in aufwärts drehende Bewegung versetzt und wird sie dann der Wirkung der Schwere überlassen, so kehrt die

346 Zweite Abteilung. B. Beschleunigte Bewegung starrer Körper.

Reibung ihren Sinn um, es ist  $-\varphi$  mit  $+\varphi$  zu vertauschen, und die Verzögerung der aufwärts gerichteten Bewegung wird

$$p = \frac{g}{1 = \frac{\mu}{M} \frac{1}{\lg \alpha \lg (\alpha + \varphi)}}.$$

Bei einer Spindel mit Schwungkugeln wird nun das Trägheitsmoment wesentlich von diesen geliefert, und es ist, wenn die Schwungkugeln zusammen die Masse  $M_1$  haben und im Abstand R von der Mitte sich befinden, annähernd  $J=M_1\,R^2$ ; dann wird  $\mu\,r^2=M_1\,R^2$  und, weil R:r meist groß, auch  $\mu$  sehr groß gegen M. Außerdem sind, wenn auch  $\alpha>\varphi$  ist, tg  $\alpha$ , tg  $(\alpha-\varphi)$  und tg  $(\alpha+\varphi)$  immer ziemlich kleine Brüche, sodaß  $\frac{\mu}{M}\frac{1}{\operatorname{tg}\,\alpha\,\operatorname{tg}\,(\alpha+\varphi)}$  gegen die Einheit so groß wird, daß diese dagegen verschwindet. Daher kann man mit großer Annäherung statt der Gl. 4 und 5 die einfachere Doppelformel

6) 
$$p = g \frac{M}{\mu} \operatorname{tg} \alpha \operatorname{tg} (\alpha \mp \varphi) \quad \text{schreiben.}$$

Beginnt die Bewegung mit der Geschwindigkeit Null, so ist nachdem die Schraube um h gesunken,

$$u^2 = 2 ph.$$

Das Arbeitsvermögen wird dann  $\frac{1}{2} \left( \frac{\mu}{\operatorname{tg}^2 \alpha} + M \right) 2 p h$ .

Beispiel: Das Gesamtgewicht der Schraube betrage 300 kg, wovon auf die Schwungkugeln 200 kg kommen mögen. Außerdem sei tg  $\varphi=f=0,1$ ; tg  $\alpha=0,2$ ;  $R=20\,r$ . Dann ist tg  $(\alpha-\varphi)=0,098$ , tg  $(\alpha+\varphi)=0,306$ . Ferner ist mit genügender Genauigkeit  $\mu\,r^2=\frac{2}{3}\,M\,R^2$ , daher  $\mu=\frac{2}{3}\cdot400\,M=\frac{800}{3}\,M$ , so daß dagegen M in Gl. 1 zu vernachlässigen ist. Dann kann auch das Arbeitsvermögen einfacher geschrieben werden  $\frac{\mu}{\mathrm{tg}^2}\frac{u^2}{2}=\frac{20\,000\,M}{3}\,\frac{u^2}{2}$ . Die Beschleunigung der Abwärtsbewegung wird nach Gl. 6

$$p = g \frac{\mathbf{3}}{800} \, \mathbf{0}, \mathbf{2} \cdot \mathbf{0}, \mathbf{098} = \mathbf{0}, \mathbf{000} \, \mathbf{074} \, g = \mathbf{0}, \mathbf{000} \, \mathbf{72} \, \mathbf{m}/\mathbf{sek^2}.$$

Nennt man  $p_0$  die Beschleunigung einer reibungslosen Schraube von den gleichen Verhältnissen, so ist nach Gl. 6 (für  $\varphi = 0$ )

$$p_0 = g \frac{M}{\mu} \operatorname{tg} \alpha \operatorname{tg} \alpha$$
, daher  $p = p_0 \frac{\operatorname{tg} (\alpha - \varphi)}{\operatorname{tg} \alpha}$ .

Da nun nach Gl. 7  $u^2$  mit p verhältnisgleich, so ist auch, wenn  $\mathfrak A$  und  $\mathfrak A_0$  das Arbeitsvermögen der wirklichen bezw. der reibungslosen Schraube,  $\mathfrak A=\mathfrak A_0\frac{\operatorname{tg}\,(\alpha-\varphi)}{\operatorname{tg}\,\alpha}$ . Will man daher das Arbeitsvermögen der sinkenden Schraube verwerten, so ist  $\eta=\frac{\operatorname{tg}\,(\alpha-\varphi)}{\operatorname{tg}\,\alpha}$  der Wirkungsgrad der sinkenden Schraube. Es muß zugleich  $\mathfrak A_n=Mgh$  sein, da bei der reibungslos sinkenden Schraube nur die Schwerkraft Arbeit verrichtet. Um aber von der Höhe h sinken zu können, mußte die Schraube um diese Größe gehoben werden, und weil der Wirkungsgrad der Schraube beim Heben nach S. 287  $\eta_1=\frac{\operatorname{tg}\,\alpha}{\operatorname{tg}\,(\alpha+\varphi)}$ , so war zum Heben die Arbeit  $\mathfrak A_1=Mgh\frac{\operatorname{tg}\,(\alpha+\varphi)}{\operatorname{tg}\,\alpha}$  erforderlich. Betrachtet man nun Auf- und Abwärtsbewegung im Zusammenhange, so ist der Gesamt-Wirkungsgrad

$$\eta_2 = \frac{\mathfrak{A}}{\mathfrak{A}_1} = \frac{\operatorname{tg} (\alpha - \varphi)}{\operatorname{tg} (\alpha + \varphi)} = 0,32.$$

Annähernd kann man auch bei der Kleinheit der Winkel  $\alpha$  und  $\varphi$  tg  $(\alpha \mp \varphi) = \operatorname{tg} \alpha \mp f$  schreiben, dann wird

$$\eta_2 = \frac{0,2-0,1}{0,2+0,1} = \frac{1}{3} = 0,33.$$

Derartige Vernachlässigungen sind zulässig, weil ja  $\varphi$  und f doch in jedem Falle nur unsicher bekannt sind. Um die Schraube von 300 kg Gewicht um h=0,1 m zu heben, waren  $30\cdot\frac{\mathrm{tg}\;(\alpha+\varphi)}{\mathrm{tg}\;\alpha}=$  annähernd 45 mkg Arbeit aufzuwenden. Nach dem Hinabsinken um 0,1 m beträgt das Arbeitsvermögen noch  $30\cdot\frac{\mathrm{tg}\;(\alpha-\varphi)}{\mathrm{tg}\;\alpha}=$  annähernd 15 mkg.

# Alphabetisches Verzeichnis und Bedeutung der in den Formeln benutzten Buchstaben unter Hinweis auf die erklärenden Seiten des Buches.

- C Zentrifugalmoment. 316.
- D Zapfendruck. 246.
- E Effekt, sekundliche Arbeit. 247.
- F Flächeninhalt. 154.
- G Gewicht eines Wagebalkens. 177.
- H wagerechte Seitenkraft einer Stangenverbindung. 203.
- J Trägheitsmoment. 295.
- K Kraft, 32.
- K Triebkraft. 240. 267.
- K Zugkraft für ein Fuhrwerk auf wagerechter Bahn. 280.
- K<sub>1</sub> Zugkraft für ein Fuhrwerk auf einer Steigung. 280.
- K<sub>2</sub> Haltkraft für ein Fuhrwerk auf einem Gefälle. 280.
- M Masse eines Körpers oder einer Massengruppe. 125.
- M oder M Moment einer Kraft, oder einer Kräftegruppe. 101. 120.
- N Normalwiderstand. 66.
- N Normalwiderstand einer Fläche. 213.
- N Anzahl der Pferdestärken. 248.
- P Gewicht. 200.
- PS Pferdestärke. 247.
- Q Gewicht. 33, 216.
- Q Last. 265.
- R Mittelkraft. 38. 97. 106. 136.
- R äußerer Halbmesser eines Ringes. 153.

- R größerer Halbmesser eines Spitzzapfens. 253.
- R Halbmesser eines Wagenrades. 278. 331.
- S Spannkraft einer Stange. 196.
- $S_1$  und  $S_2$  Spannkräfte in einem Seile. 64. 258 263.
  - T Reibungswiderstand. 213.
- V Rauminhalt eines Körpers. 159.
- W Gesamtwiderstand einer Fläche.
- X Kräftesumme in der x-Richtung.
- Y Kräftesumme in der y-Richtung. 64.
- Z Kräftesumme in der z-Richtung. 64.
- Länge eines schwingenden Körpers. 320.
- Geschwindigkeit, besonders gleichbeibende.
   5.
- c Geschwindigkeit, Anfangs-. 11.
- cm Zentimeter. 7.
- d Zapfendurchmesser. 265.
- e Arm des Seilbiegungswiderstandes.
- e Arm des Rollwiderstandes. 274.
- e Abstand des Schwerpunktes von der Drehachse. 296.

- f Reibungsziffer. 213.
- g Fallbeschleunigung. 33.
- h Steighöhe. 37.
- h Höhe eines Dreiecks. 149.
- h Höhe eines Trapezes. 150.
- h Höhe einer Pyramide. 157.
- h Ganghöhe der Schraube. 282
- i Trägheitshalbmesser. 296.
- k Ziffer der Massenanziehung. 55.
- km Kilometer. 7.
- l Wurfweite. 51.
- l Hebelarm. 98.
- l Fadenlänge eines Pendels. 76.
- l Schwingungslänge eines Pendels. 307.
- m Masse eines Punktes. 32. 34.
- m Meter. 7
- mkg Meterkilogramm. 44.
- min Minute. 7.
  - n minutl. Anzahl der Umdrehungen. 248.
  - p Beschleunigung. 11. 32.
  - p Druck für die Flächeneinheit. 248. 252.
- p<sub>n</sub> Normal oder Zentripetal Beschleunigung. 61.
- p. Tangentialbeschleunigung. 61.
- p, Umfangsbeschleunigung. 305.
- q Seitenbeschleunigung. 23
- r Halbmesser eines Kreises. 153.
- r Erdhalbmesser, 57.
- r innerer Halbmesser eines Ringes. 153.
- r Halbmesser einer Kugel. 156.
- r Zapfenhalbmesser. 246.
- r Halbmesser der mittleren Schraubenlinie. 283.
- r Rollenhalbmesser. 265.
- r Mittelbeschleunigung. 23
- r scheinbare Beschleunigung. 85
- s Wegeslänge. 3.
- s Länge einer Linie. 147.
- sek Sekunde. 7.
- std Stunde. 7.
  - t Zeit. 3.

- t Schwingungsdauer eines Pendels. 78. 307.
- u Seitengeschwindigkeit. 19.
- u Geschwindigkeit eines Raumes. S1.
- v Geschwindigkeit, besonders veränderliche. 6.
- v Endgeschwindigkeit. 12.
- v Mittelgeschwindigkeit. 21.
- w Seitengeschwindigkeit. 19.
- w scheinbare Geschwindigkeit. 81.
- w Widerstandsziffer für Seilrollen.
- x Länge einer Seitenbewegung. 18.
- $x_0$ ,  $y_0$ ,  $z_0$  Koordinaten des Mittelpunktes von Parallelkräften und Massen. 143.
- $x_0, y_0, z_0$  Koordinaten des Schwerpunktes. 145.
- y Länge einer Seitenbewegung. 18.
- z Länge einer Seitenbewegung. 18.
- ∆t Zeitraum. 6.
  - α Neigungswinkel gegen die Abszissenachse. 5.
- a halber Mittelpunktswinkel. 148.
- 2 NeigungswinkelderschiefenEbene. 216.
- α von einem Seil umspannter Bogen. 258.
- a Steigungswinkel der mittleren Schraubenlinie. 282.
- 20 Gleichgewichtsneigung oder Widerstandsziffer für ein Fuhrwerk. 280.
- a<sub>1</sub>, a<sub>2</sub> Keilwinkel. 234.
  - β Neigungswinkel gegen die y-Achse. 23.
  - β halber Kantenwinkel der scharfgängigen Schraube. 288.
  - γ Neigungswinkel gegen die z-Achse. 23.
  - γ Dichte, Gewicht der Raumeinheit. 55. 147.
  - d halber Keilwinkel. 233.
  - & halber Keilnutenwinkel. 221.

- δ Dicke einer Platte. 148. 298.
- ε Winkelbeschleunigung. 303.
- n Wirkungsgrad. 240.
- $\mu$  auf einem Abstand r bezogene Masse. 296.
- ρ Krümmungshalbmesser. 61.
- φ Reibungswinkel. 214.
- $\psi$  Reibungswinkel für die Bewegung in Keilnuten. 221.
- w Winkelgeschwindigkeit. 87.

- 21 Arbeit. 42.
- A. Arbeit der inneren Kräfte. 167.
- Arbeit der äußeren Kräfte. 167.
- geometrisches Trägheitsmoment einer Fläche, wenn dasselbe von dem eines Körpers (J) unter-schieden werden muß. 302.
- M Reibungsmoment. 247.

## Alphabetisches Inhaltsverzeichnis.

(Die Ziffern geben die Seitenzahlen an.)

Achsen, freie. 317. Achsenstrecke eines Kräftepaares. 133. Achswiderstände bei der Drehbewegung. 315. d'Alembert's Satz. Anziehung der Massen. 54. Arbeit A, der inneren Kräfte. 167. Arbeit der Schwerkräfte einer Massengruppe. 162. Arbeit 21 einer Kraft. 42. Arbeit, sekundliche E. 247. Arbeitseinheit. 44. Arbeitsvermögen. 44. 168. 323. Arbeitsvermögen einer Rollbewegung. Arbeitsvermögen eines starren Körpers. 324. Auflagerdruck. 186.

Balken auf 2 Stützen. 186.
Bandbremse. 261.
Beschleunigung. 11. 15. 32.
Beschleunigung der Schwere. 33. 58.
Bewegung auf vorgeschriebener Bahn.
65
Bewegung eines freien Körpers. 324.
Bewegungen, Zusammensetzung der —.
17.
Bewegung, fortschreitende. 79.

Bewegung, geradlinige. 3. Bewegung, gleichförmig beschleunigte. 11. Bewegung, gleichförmige. 5. Bewegung in Keilnuten. 221. Bewegung, krummlinige. 25. 47. Bewegung, scheinbare (relative). 78. Bewegungs-Gesetz. 3. Bewegung, ungleichförmige. 6. Bewegung, vorgeschriebene - in lotrechtem Halbkreise. 72. Bewegung, zusammengesetzte. 17. Bewegung, zusammengesetzte, Verschiebung und Drehung. 323. Bremsberg. 332. Bremszaum. 255. Brückenwage. 211.

#### C siehe Z.

Dichte  $\gamma$ . 55. 147.

Differenz-Flaschenzug. 270.

Drehachse, Widerstände einer —. 315.

Drehmomente M. 98.

Drehung, ungleichförmige. 303.

Dreifach unterstützter Körper. 188.

Drucklinie einer Keilgruppe. 235.

Drucklinie eines Gewölbes. 242.

Dynamische Standsicherheit. 192.

Ebene, schiefe. 216.

Effekt E. 247.

Energie. 44. 168. 323.

Erdmasse. 59.

Ergänzungskräfte. 84. 88. 163.

Fahrpläne. 8.
Fallbeschleunigung g. 33. 58.
Fallbeschleunigung, scheinbare — an verschiedenen Stellen der Erde. 94.
Fallbewegung. 35.
Fallmaschine. 313.
Festklemmen eines Stabes zwischen 2 Flächen. 229.
Flaschenzug. 268.
Flutkurve. 9.
Fuhrwerke. 273.
Fuhrwerke, beschleunigte Bewegung der —. 330.

Gelenkstangen-Verbindung. 194. Geschwindigkeit. 5. 6. Geschwindigkeit, mittlere. Geschwindigkeitsgesetz. Geschwindigkeitshöhe. 36. Gewicht. 33, 94. Gewicht, Arbeit des Gewichtes einer Massengruppe. 162. Gewölbe. 242. Gleichgewicht aufgehängter Körper. Gleichgewicht eines Punktes. 62. Gleichgewicht; sicheres, unsicheres und unentschiedenes. 172. 173. Gleichgewichts - Neigung  $\alpha_0$  für ein Fuhrwerk. 280. Gleichgewicht starrer Körper. 169. Gleichgewicht unterstützter Körper. 173. Gleitbewegung sich drehender Körper auf schiefer Ebene. 338. Gravitation, 54. Guldin'sche Regel. 160.

Güteverhältnis 7. 218. 240.

Halbkugel auf schiefer Ebene. 220. Hängebrücke. 208. Hebel. 175. Hebelarni. 98. Hebelwage, 176. Kegelpendel. 68. 322. Keil. 233. Keile, mehrere. 234. Keillager. 249. Keilnuten, Bewegung in —. 221. Keilnutenräder. 257. Keilpresse. 238. Kettenbrücke. 186. 208. Kettenlinie, parabolische. 205. Klemmen eines Stabes zwischen zwei Flächen. 229. Kraft. 32. Kraft, lebendige. 44. 168. 323. Kraft, Parallelverschiebung einer -. 135. Krafteck. 41, 103, 105, 106. Kräftegruppe, Zentralachse einer -. 139. Kräftepaar, 108, 109, 113, Kräftepaar-Achse. 133. Kräftepaare, Zusammensetzung der -. Kräfte-, Parallel- - im Raume. 142. Kräftezusammensetzung im Raume. 135. Kräfte, Zusammensetzung paralleler -.. 106, 111, Kran, Kräfte an dem Drehzapfen. 187. Lebendige Kraft. 44. 168. 323. Leistung E einer Kraft. 247. Masse. 34.

Masse. 34.
Masse, auf einen Abstand bezogen, μ-296.
Massenanziehung. 54.
Massengruppe. 162.
Massen-Mittelpunkt. 144.
Massenpunkt m. 1.
Materieller Punkt m. 1.
Mechanik des Massenpunktes. 3.

Mechanik starrer Körper. 95.

Mechanische Arbeit A. 42.

Meterkilogramm mkg. 44.

Mittelbewegung. 17.

Mittelkraft. 38.

Mittelpunkt der Massen. 144. 163.

Mittelpunkt von Parallelkräften. 143.

Moment, Drehmoment oder statisches M. 98.

Moment, statisches — einer Masse. 145.

Normal-Beschleunigung  $p_n$ . 61. Normalwiderstand N. 66, 213.

Pappus-Guldin'scher Satz. 158.
Parabolische Bewegung. 59.
Parallelepiped-Gesetz. 18. 22. 40.
Parallelkräfte im Raume. 142.
Parallelogramm-Gesetz. 17. 20. 23. 38.
Parallelverschiebung einer Kraft. 135.
Pendel, einfaches. 76.
Pendel, Kegel- —. 68. 322.
Pendel, physisches. 305.
Pferdestärke. 247.
Pochstempel. 228.
Prony's Zaum. 255.

Regler, Schwungkugel- —. 90.
Reibung. 213. 293.
Reibungskegel. 214.
Reibungsring. 227.
Reibungsrollen. 250.
Reibungswage. 254.
Reibungswinkel. 214.
Reibungsziffer. 213.
Relative Bewegung. 78.
Reversions-Pendel. 310.
Riemenscheiben. 262.
Rollbewegung auf schiefer Ebene. 326.
Rollwiderstand. 273.

Satz der Arbeit. 166.
Satz von d'Alembert. 163.
Satz von der Bewegung des Schwerpunktes. 165.
Scheinbare Bewegung. 78.

Keck, Mechanik I.

Schiefe Ebene. 216. Schnellwage. 179. Schraube. 282. Schraube, flachgängige. 283. Schraubenbewegung, beschleunigte. 344. Schraube, scharfgängige. 288. Schwerkräfte, Arbeit der einer Massengruppe. 162. Schwerpunkt. 144. 165. Schwerpunkts-Bewegung. 165. Schwingungsdauer eines Pendels. 78. Schwingungslänge eines Pendels. 307. Schwungkugel-Regler. 90. Seilbiegungs-Widerstand. 266. Seileck 103, 105, 106, Seilpolygon. 103. Seilreibung. 258. Seilrolle, beschleunigte Bewegung einer -. 312. Seilrollen. 264. Seitenkraft. 38. 114. Spannkraft S einer Stange. 196 Spitzzapfen. 253. Spurzapfen. 251. Stabilität. 172. 192. Standsicherheits-Moment. 189. Stangen-Verbindung. 194. Statisches Moment M. 98. Statisches Moment einer Masse. 145. Steighöhe eines aufwärts geworfenen Körpers. 37. Steinzange. 231. Stützspindeln. 287. Stützzapfen. 250.

Tafelwage. 190. 212.
Tangential-Beschleunigung  $p_t$ . 61.
Tür, Aufhängung derselben. 186.
Tisch, Gewichtsverteilung. 188.
Trägheit. 31.
Trägheitshalbmesser i. 296.
Trägheitsmoment J. 295.

Umkehrungs-Pendel. 310. Unterstützung in einer ebenen Fläche. 190.

## Alphabetisches Inhaltsverzeichnis.

Verrückung. 79. Verschiebung. 79. Verzögerung. 12.

Wage. 176. Walzen. 277. Wechselwirkung. 34. Wegeslängen-Kurve. 4. Widerstandsziffer  $\alpha_0$  für ein Fuhrwerk. 280. Widerstandsziffer w für Seilrollen. 267. Winkelbeschleunigung  $\varepsilon$ . 303. Winkelgeschwindigkeit  $\omega$ . 87. Wirkungsgrad  $\eta$ . 240. Wurf bewegung. 48.

Zapfenreibung. 246. Zaum, Prony's. 255.

Zeichnerische Zusammensetzung von Kräften. 102-108. Zeigerwage. 178. Zentralachse einer Kräftegruppe. 139. Zentrifugalkraft. 88. Zentrifugalmoment. 316. Zentripetal-Beschleunigung  $p_n$ . 61. Zerlegung einer Kraft. 114. Zusammensetzung der Kräfte. 40. 96. Zusammensetzung paralleler Kräfte. 106, 111. Zusammensetzung von Bewegungen. 17. Zusammensetzung von Kräften im Raume. 135. Zusammensetzung von Kräftepaaren. Zusammensetzung von Parallelkräften im Raume. 142. Zweifach unterstützter Körper. 187.



· 

